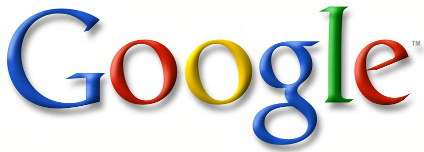


Astronomisch-Nautische

EPHEMERIDEN

für das Jahr

1891.

DEUTSCHE AUSGABE.

Ueber Veranlassung der Marine-Section des k. k. Reichs-Kriegsministeriums herausgegeben
vom
astronomisch-meteorologischen Observatorium
der k. k. Handels- und nautischen Akademie in Triest
unter Redaction von

Dr. FERDINAND ANTON.



JAHRGANG IV.

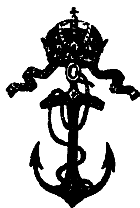
TRIEST.
BUCHDRUCKEREI DES ÖSTERR.-UNGAR. LLOYD.
1889.

Astronomisch - Nautische
EPHEMERIDEN
für das Jahr
1891.

DEUTSCHE AUSGABE.

Ueber Veranlassung der Marine-Section des k. k. Reichs-Kriegsministeriums herausgegeben
vom
astronomisch-meteorologischen Observatorium
der k. k. Handels- und nautischen Akademie in Triest
unter Redaction von

Dr. FERDINAND ANTON.



JAHRGANG IV.

TRIEST.
BUCHDRUCKEREI DES ÖSTERR.-UNGAR. LLOYD.
1889.

VORWORT.

Die vorliegenden astronomischen Ephemeriden, welche besonders für den Gebrauch zur See bestimmt sind, schliessen sich ihrem Inhalte nach vollständig an das durch die Britische Admiralität publicirte Werk „The Nautical Almanac and Astronomical Ephemeris etc." an und beziehen sich auf den Meridian von Greenwich.

Abweichend von den Angaben des „Nautical Almanac" sind für die Halbmesser der Planeten nach Newcomb die folgenden aus Washingtoner Beobachtungen abgeleiteten und für die Einheit der Distanz geltenden Werthe angenommen worden:

Venus	8″.55
Mars	5″.05
Jupiter (Polar-Halbmesser) . .	94″.12
Saturn (Polar-Halbmesser) . .	78″.16;

für dieselbe Distanz ist 961″.82 der Halbmesser und 8″.848 die Aequatorial-Horizontalparallaxe der Sonne.

Die Elemente der Sternbedeckungen sind für die Sterne erster bis vierter Grösse in ausführlicherer Weise gegeben, als dieses im „Nautical Almanac" geschieht, indem zur Erleichterung der einschlägigen Rechnungen die Hilfsgrössen p', q_0, q', $\log n$ und N unter die Elemente aufgenommen wurden.

Die am Schlusse beigefügten Hilfstafeln sind grösstentheils in der Form gegeben, wie sich dieselben in den Jahrbüchern von Bremiker und Tietjen vorfinden, und nur bezüglich der Tafel V ist zu erwähnen, dass dieselbe mit einer etwas abweichenden Constant-Zahl berechnet wurde.

Triest, im August 1889.

Dr. FERDINAND ANTON.

INHALT.

EINLEITUNG.

Die Umdrehung der Erde um ihre Rotationsachse, welche den Schein einer täglichen Umdrehung des Fixsternenhimmels um eben diese Achse, aber mit umgekehrter Drehungsrichtung hervorruft, gibt Veranlassung zu den meisten Problemen der sphärischen Astronomie und der Nautik. Die einfacheren Probleme sind dabei diejenigen, welche die eigentlichen Fixsterne zur Grundlage haben, weil es sich dann nur um Erscheinungen handelt, die durch die gemeinsame gleichmässige tägliche Bewegung aller Fixsterne hervorgerufen werden; vielfach die wichtigeren dieser Probleme aber sind diejenigen, bei welchen es sich um Gestirne mit scheinbarer oder wirklicher eigenen Bewegung handelt (Sonne, Mond, Planeten, Trabanten), deren Ortsveränderungen also, wie sie sich dem Augenscheine darbieten, zum Theil in der gemeinsamen täglichen Bewegung, zum Theil in der eigenen Bewegung ihren Grund haben.

Die Orte der Gestirne bestimmt man durch sphärische Coordinaten, von denen in der Astronomie mehrere Systeme benützt werden. Für die hier vorliegenden Zwecke sind besonders das System der *Rectascensionen* und *Declinationen* und das System der *Stundenwinkel* und *Declinationen* von Wichtigkeit, weshalb auf die Grundlagen dieser beiden Coordinaten-Systeme kurz eingegangen werden soll.

Bei der scheinbaren täglichen Bewegung des Fixsternenhimmels beschreiben die einzelnen Gestirne Parallelkreise, deren Ebenen auf der Achsenrichtung (verlängerte Rotationsachse der Erde) senkrecht stehen; die Achsenrichtung trifft die scheinbare Himmelssphäre in zwei Punkten, welche der täglichen Bewegung nicht unterworfen sind und *Welt-* oder *Himmels-Pole* genannt werden; der der Nordhälfte der Erde zugekehrte Pol ist der *Nordpol*, der entgegengesetzte der *Südpol*. Unter allen Parallelkreisen ist einer zugleich ein grösster Kreis der Himmelskugel; man nennt diesen den *Aequator* der Himmelssphäre, weil die Ebene des Erd-Aequators, entsprechend erweitert gedacht, das Himmelsgewölbe in eben diesem grössten Kreise schneiden würde. Die Weltpole und der Himmels-Aequator bilden die Grundlage für das Coordinaten-System der Rectascensionen und Declinationen.

Die Sonne beschreibt in ihrer scheinbaren jährlichen Bewegung (die ihren Grund in der wirklichen Bewegung der Erde um die Sonne hat) ebenfalls einen grössten Kreis am Himmel, welcher mit dem Aequator nicht zusammen fällt, und die *Ekliptik* (auch *Sonnenbahn*) genannt wird. Ekliptik und Aequator schneiden sich als grösste Kreise in zwei um 180^0 von einander entfernt liegenden Punkten, den *Nachtgleichen-* oder *Aequinoctial-Punkten;* in ihrer Jahresbahn passirt die Sonne den einen derselben im Herbst, den zweiten im Frühling, weshalb ersterer der *Herbst-Nachtgleichenpunkt,* letzterer der *Frühlings-Nachtgleichenpunkt* (auch *Frühlingspunkt*) heisst. Der Frühlingspunkt kommt in der Astronomie vielfach in Betracht und dient hier zunächst als Ausgangspunkt für die Zählung der Rectascensionen. Der Neigungswinkel der Ebenen des Aequators und der Ekliptik wird als *Schiefe der Ekliptik* bezeichnet.

Um nun die Lage eines Gestirnes zu bestimmen, denkt man sich durch dasselbe und durch die beiden Himmelspole einen grössten Kreis, den *Declinationskreis,* gelegt; derselbe schneidet den Aequator rechtwinklich in zwei Punkten, von denen hier aber nur der dem Sterne zunächst liegende Durchschnittspunkt in Betracht kommt, und es ist das Bogenstück des Declinationskreises zwischen diesem Durchschnittspunkte und dem Sterne die *Declination,* das Bogenstück des Aequators zwischen eben diesem Schnittpunkte und dem Frühlingspunkte die *Rectascension* des Sternes. Die Rectascension wird vom Frühlingspunkte ab entgegengesetzt dem Sinne der täglichen Bewegung von 0^0 bis 360^0 oder auch von 0^h bis 24^h ($1^h = 15^0$), die Declination von 0^0 bis 90^0 und zwar positiv (+) gegen den Nordpol, negativ (—) gegen den Südpol des Himmels hin gezählt. Der Nordpol des Himmels hat demnach die Declination $+90^0$, der Südpol die Declination -90^0, sämmtliche Punkte des Aequators haben die Declination 0^0.

Rectascension und Declination bestimmen die Lage der Gestirne unabhängig von der scheinbaren täglichen Bewegung der Himmelskugel, also unabhängig von der Zeit, für welche die tägliche Bewegung das Maass bildet und auch unabhängig von der Lage jedes Beobachtungsortes.

Durch die tägliche Bewegung ändert sich für einen bestimmten Ort der Erde die *Höhe* der Gestirne über dem Horizonte von Moment zu Moment entsprechend der verfliessenden Zeit, dieselbe ändert sich aber ausserdem auch von Ort zu Ort, d. h. ist für einen bestimmten Stern und einen bestimmten Zeitmoment für verschiedene Orte verschieden.

Um diese nach *Zeit* und *Ort* vor sich gehenden Veränderungen auszudrücken, hat man ein zweites System sphärischer Coordinaten eingeführt, dessen Grundebene von Ort zu Ort wechselt.

Denkt man sich in einem bestimmten Beobachtungsorte an die sphäroidische Erde eine Tangentialebene gelegt, so schneidet dieselbe, entsprechend erweitert gedacht, das Himmelsgewölbe in einem grössten Kreise, welcher der *Horizont* des Beobachtungsortes heisst; die Ebene desselben ist die *Horizontalebene* und eine durch den Ort zu dieser Ebene senkrecht gelegte Richtung ist die Zenithlinie (auch Lothlinie) des Ortes. Letztere schneidet die scheinbare Himmelskugel ebenfalls in zwei einem grössten Kreise angehörigen Punkten, von denen der eine über dem Orte befindliche das *Zenith*, der um 180° entfernte das *Nadir* des Ortes heisst.

Ein grösster Kreis durch die Weltpole und den Zenithpunkt eines Ortes der Erde gelegt gedacht, heisst der *Meridian* dieses Ortes; derselbe ist der Declinationskreis des Zenithpunktes, und während alle übrigen durch die einzelnen Gestirne gezogen gedachten Declinationskreise an der scheinbaren täglichen Bewegung theilnehmen, ist der Meridian für jeden einzelnen Ort der einzige fixe Declinationskreis, und deshalb eignet sich die Ebene desselben ganz besonders zur Ausgangsebene des erwähnten zweiten sphärischen Coordinaten-Systems.

An einem bestimmten Orte der Erde bildet der Declinationskreis eines Gestirnes in irgend einem Augenblicke mit dem Meridiane des Ortes am Himmelspole einen sphärischen Winkel, und da der Declinationskreis des Sternes der täglichen Bewegung unterworfen ist, so ändert sich dieser Winkel in demselben Maasse, als die Rotation fortschreitet. Fällt der Declinationskreis eines Gestirnes mit dem Meridian zusammen, so *culminirt* das Gestirn für den Ort; dieses geschieht für jede Erdrotation zweimal, weshalb eine *obere* und eine *untere* Culmination unterschieden wird; in den folgenden Auseinandersetzungen soll stets die *obere Culmination* verstanden werden, wenn nicht ausdrücklich das Gegentheil bemerkt wird.

Während der Zeit, die von der oberen Culmination eines Gestirnes bis zur folgenden (oberen) verfliesst, ändert sich jener Winkel am Pole von 0° bis 360°; der Werth, den derselbe in irgend einem Zeitmomente hat, gibt somit ein Maass der Zeit, die seit dem letzten oberen Meridiandurchgange (Culmination) des Gestirnes verflossen ist. Deshalb nennt man jenen Winkel den *Stundenwinkel* des Gestirnes; derselbe wird im

Sinne der scheinbaren täglichen Bewegung von 0^0 bis 360^0 gezählt, und es bilden *Stundenwinkel* und *Declination* das zweite sphärische Coordinatensystem; in demselben werden die Declinationskreise auch als *Stundenkreise* bezeichnet.

Da durch die Stundenwinkel eigentlich nichts Anderes als der *Zeitverlauf* ausgedrückt wird, so hat man für dieselben ausser der Bogenzählung von 0^0 bis 360^0 auch noch die Zeitzählung von 0 bis 24 Stunden (von 0^h bis 24^h) eingeführt, so dass eine Aenderung des Stundenwinkels um 15 Bogengrade oder um *eine* Zeitstunde (1^h) gleichbedeutend ist; die Relation $1^h = 15^0$ gibt also die Grundlage für die Verwandlung von *Zeitmaass* in *Bogenmaass* und umgekehrt.

Man unterscheidet in der Astronomie *Sternzeit, wahre* Sonnenzeit und *mittlere* Sonnenzeit, oder kurzweg *wahre* und *mittlere* Zeit. Die scheinbare Umdrehung des Fixsternenhimmels in der Richtung von Ost nach West, welche ganz *gleichförmig* vor sich geht, gibt das Maass für die Sternzeit, und es wird das Zeitintervall zwischen zwei aufeinander folgenden oberen Durchgängen eines Sternes durch denselben Meridian ein *Sterntag* genannt. Man ist übereingekommen, denselben mit dem Momente beginnen zu lassen, wenn der Frühlingsnachtgleichenpunkt den Meridian passirt; die Dauer desselben ist nur von den sehr kleinen Ortsveränderungen beeinflusst, welche der Frühlingspunkt in Folge der Nutation erfährt, und kann daher als nahezu unveränderlich angesehen werden.

Die Sonne nimmt an der scheinbaren Umdrehung des Fixsternenhimmels Theil, zeigt aber ausserdem eine *eigene* Bewegung unter den Fixsternen in der Richtung von West nach Ost.

Das Zeitintervall zwischen zwei aufeinander folgenden oberen Durchgängen der Sonne durch denselben Meridian ist der *wahre* Sonnentag; derselbe ist (wegen des scheinbaren Fortschreitens der Sonne gegen die Fixsterne) stets *grösser* als der Sterntag, zugleich aber auch von *veränderlicher Dauer,* einerseits weil die Revolutionsbewegung der Erde um die Sonne eine *ungleichförmige,* und andererseits, weil die Grundebene für die Zeitzählung nicht die Sonnenbahn, sondern der Aequator ist, also auch die Neigung der beiden Ebenen in Betracht kommt.

Diese Ungleichheit der Dauer des *wahren* Sonnentages hat Veranlassung gegeben, den *mittleren* Sonnentag mit *unveränderlicher* Dauer einzuführen. Die scheinbare jährliche Bewegung der (wahren) Sonne geht, wie bereits mehrfach erwähnt, mit ungleichförmiger Geschwindigkeit in

der Ekliptik vor sich; denkt man sich nun eine zweite Sonne, welche sich mit gleichförmiger Geschwindigkeit im Aequator bewegt und in derselben Zeit einen tropischen Umlauf vollendet wie die wahre Sonne, so hat man in der Bewegung dieser fingirten Sonne, welche man die *mittlere* Sonne zu nennen pflegt, die Grundlagen für die Bestimmung der *mittleren Zeit.* Die mittlere Sonne ist also eine Fiction, welche lediglich zum Zwecke einer bequemeren Zeitzählung eingeführt ist, und es ist wieder ein *mittlerer Sonnentag* das Intervall zwischen zwei aufeinander folgenden oberen Durchgängen der mittleren Sonne durch denselben Meridian. Der Moment der *oberen* Culmination der Sonne für einen Ort wird als *Mittag* des Ortes bezeichnet, so dass man einen *wahren* und *einen mittleren Mittag* zu unterscheiden hat; der Augenblick der *unteren Culmination* der Sonne ist die Mitternacht, und es ist überhaupt für einen bestimmten Ort in jedem Augenblicke:

1. der Stundenwinkel des Frühlingspunktes die *Sternzeit,*
2. der Stundenwinkel der wahren Sonne die *wahre Zeit,*
3. der Stundenwinkel der mittleren Sonne die *mittlere Zeit* dieses Augenblickes.

Es ist also für einen Ort 3^h Sternzeit, wenn der Stundenwinkel des Frühlingspunktes 3^h oder 45^0 beträgt, 3^h wahre Zeit, wenn der Stundenwinkel der wahren Sonne gleich 3^h oder 45^0 ist, und 3^h mittlere Zeit, wenn der Stundenwinkel der mittleren Sonne diesen Werth erreicht hat.

Die mittlere Sonne ist der wahren Sonne in ihrem Laufe bald voraus, bald hinter derselben zurück, culminirt bald später, bald früher, oder, anders ausgedrückt, der mittlere Mittag tritt bald *nach,* bald *vor* dem wahren Mittage ein. Der Zeitunterschied zwischen diesen beiden Mittagen ist in den vorliegenden Ephemeriden als „*Zeitgleichung* im mittleren Mittage" angegeben, sowie überhaupt der Unterschied zwischen wahrer und mittlerer Zeit in der Astronomie als „Zeitgleichung" bezeichnet wird.*)

*) Die wahre Zeit wird durch Beobachtung der wahren Sonne direct erhalten, die mittlere Zeit dagegen ist ein Rechnungsresultat, zu welchem die Berücksichtigung folgender Verhältnisse führt:

Wie die wahre Sonne bewege sich in der *Ekliptik* eine Hilfssonne mit gleichförmiger Geschwindigkeit so, dass letztere mit der wahren Sonne gleichzeitig durch das Perigaeum (Punkt der grössten Bahngeschwindigkeit der Erde) geht; im *Aequator* bewege sich eine zweite fingirte Sonne ebenfalls mit gleichförmiger Geschwindigkeit so, dass dieselbe mit der Hilfssonne gleichzeitig den Frühlingspunkt passirt; dann ist die letztere Sonne die sogenannte *mittlere Sonne* und aus den hier angedeuteten Umständen bestimmt sich die *Zeitgleichung.*

Das Verhältniss der *Sternzeit* zur mittleren Zeit ist durch den Umstand gegeben, dass in Folge des scheinbaren Fortschreitens der Sonne gegen die Fixsterne das tropische Jahr einen Sterntag mehr enthält als mittlere Sonnentage, dass also 365,242201 mittlere Sonnentage gleich 366,242201 Sterntagen sind; daraus folgt:

Ein Sterntag = einem mittleren Tage — $3^m\,55^s.909$ mittlerer Zeit,

ein mittlerer Tag = einem Sterntage + $3^m\,56^s.555$ Sternzeit.

(Vergl. Tafel III, pag. 242, und IV, pag. 243).

Der *astronomische Tag* beginnt für einen Ort im Mittage dieses Ortes, der wahre Tag also im wahren, der mittlere im mittleren Mittage; es tritt also im Mittage der astronomische Datumwechsel ein.

Da im bürgerlichen Leben die Stunden nicht von 0^h bis 24^h, sondern zweimal nach einander von 0^h bis 12^h gezählt werden und das Datum um Mitternacht wechselt, so stimmen zwischen Mittag und darauf folgender Mitternacht astronomische und bürgerliche Datirung und Stundenangaben überein, zwischen Mitternacht und darauf folgendem Mittage aber nicht; im letzteren Falle ist das bürgerliche Datum dem astronomischen um eine Einheit voraus und zugleich die bürgerliche Stundenangabe um 12 kleiner, als die astronomische. Es ist also beispielsweise bürgerlich Mai 30, 3^h Nachmittags auch astronomisch Mai 30, 3^h; dagegen bürgerlich Mai 30, 10^h Vormittags in astronomischer Zählweise Mai 29, 22^h. Die astronomische Ausdrucksweise: „Januar 0", bezeichnet den 31. December des vorangehenden Jahres.

Gemäss den Definitionen, welche für die Begriffe „Sternzeit", „Rectascension" und „Stundenwinkel" eines Gestirnes gegeben wurden, hat man folgende fundamentale Relation zwischen diesen Grössen, welche für jeden Ort, jedes Gestirn und jeden Zeitmoment stattfindet:

Sternzeit = *Rectascension* eines Gestirnes + *Stundenwinkel* desselben.

Ein in der Nautik sehr häufig benütztes Coordinatensystem ist noch das der *Azimuthe* und *Höhen*. Ein grösster Kreis durch das Zenith eines Ortes und ein Gestirn gelegt, ist der *Höhenkreis* (*Verticalkreis*) des Gestirnes; derselbe schneidet den Horizont des Ortes rechtwinklich, und es ist der Bogen zwischen diesem Durchschnittspunkte und dem Gestirne die Höhe des letzteren. Der Meridian des Ortes (gleichsam der Höhenkreis des sichtbaren Poles) schneidet den Horizont ebenfalls in zwei Punkten, dem *Südpunkte* und dem *Nordpunkte*, und es ist der am Horizonte gezählte Bogen zwischen Südpunkt und Höhenkreis das Azimuth des Gestirnes, gewöhnlich von 0^0 bis 180^0, und zwar nach

West *positiv* (+), nach Ost *negativ* (—) gezählt; die Höhe des sichtbaren Poles eines Ortes heisst die *Polhöhe* des Ortes, und es ist dieselbe identisch mit dessen *geographischer Breite.*

Den früheren Erklärungen gemäss muss überall da, wo eine Zeitangabe gemacht wird, zugleich der Meridian, d. h. der Ort bezeichnet werden, für welchen die Zeitangabe gilt. Die vorliegenden Ephemeriden nun gelten durchgängig für den Meridian von Greenwich, d. h. die in den Ephemeriden enthaltenen astronomischen Elemente sind für bestimmte Zeitepochen dieses Meridians (z. B. für den Greenwicher mittleren Mittag) gegeben, für andere Zeitepochen dieses Meridians hat man dieselben durch Interpolation zu ermitteln; verlangt man die Kenntniss der Elemente für einen anderen Meridian, so sind die Angaben der Ephemeriden mittelst der Meridiandifferenz (Längenunterschied) umzurechnen, indem von der Ortszeit zuerst auf die entsprechende Greenwicher Zeit übergegangen und dann für letztere in den Ephemeriden interpolirt wird. Ist überhaupt: T eine beliebige Greenwicher Zeit, T_0 die dieser entsprechende Zeit eines anderen Ortes, dessen *östliche* Länge (gegen Greenwich) O ist, so hat man

$$T + O = T_0,$$
$$T_0 - O = T;$$

für einen Ort, dessen *westliche* Länge W ist, hat man ähnlich, wenn wieder T eine Greenwicher Zeit und T_w die entsprechende Ortszeit bedeutet:

$$T - W = T_w,$$
$$T_w + W = T.$$

Die Angaben der Ephemeriden selbst sind in der Art eingetheilt, dass für jeden Monat 18 Seiten bestimmt wurden, welche fortlaufend von I bis XVIII bezeichnet sind; rücksichtlich des Inhaltes der einzelnen Seiten sollen in Kürze noch einige Explicationen beigesetzt werden.

Erklärung der Ephemeriden:

Seite I jedes Monates.

Die ersten mit „Tag im Jahre“ und „Wochentag und Datum“ bezeichneten Columnen bedürfen keiner Erklärung.

Es sind dann für den mittleren Greenwicher Mittag jedes einzelnen Datums, oder für $0^h\ 0^m\ 0^s$ mittlerer Greenwicher Zeit der Reihe nach als

Hauptwerthe gegeben: *Rectascension*, *Declination* und *Halbmesser* der wahren Sonne, sowie die *Zeitgleichung*, endlich noch die Declination der Sonne für den Moment des *wahren* Mittages, welche letztere Angabe häufig gebraucht wird, um aus einer gemessenen Mittagshöhe der Sonne die geographische Breite (Polhöhe) des Beobachtungsortes zu bestimmen. Das Zeitintervall für die ersten vier Elemente ist demnach der mittlere Sonnentag, für das letzte Element der Seite der wahre Sonnentag.

Neben den Hauptwerthen (Rectascensionen, Declinationen etc.) sind hier, sowie überall, wo es nöthig ist, die *Aenderungen* der Hauptwerthe innerhalb eines angemessenen Bruchtheiles des Intervalles angesetzt, um die Interpolation zu erleichtern, und zwar bei 24stündigem und 12stündigem Intervall immer die „*stündlichen Aenderungen*“. Diese stündlichen Aenderungen gelten unmittelbar für dieselben Epochen, wie die Hauptwerthe, mit denen sie auf derselben Horizontalzeile stehen, d. h. ebenfalls immer für den mittleren Greenwicher Mittag, und bieten ein einfaches Mittel, die Hauptwerthe ganz streng, nämlich mit Rücksicht auf zweite Differenzen, zu interpoliren.

Der Anblick der Ephemeriden zeigt, dass die Differenzen der auf einander folgenden Werthe der „stündlichen Aenderungen“ stets sehr klein sind, so dass der einem bestimmten Zeitmomente entsprechende Werth einer solchen *Aenderung* stets a vue ohne jede Rechnung gebildet werden kann. Hat man nun zwischen die beiden direct in den Ephemeriden vorfindlichen Hauptwerthe H_0 und H_1 hinein für s Stunden (Minuten und Secunden in Bruchtheilen der Stunde angesetzt) zu interpoliren, und sind v_0 und v_1 die beziehungsweise zu H_0 und H_1 gehörigen *stündlichen Aenderungen*, so interpolirt man zunächst zwischen v_0 und v_1 für $\frac{1}{2} s$ Stunden; ist v der so erhaltene Werth der stündlichen Aenderung (für 24stündiges Intervall also $v = v_0 + \frac{s}{2} \frac{v_1 - v_0}{24}$), dann ist

$$H_0 + s\,v$$

der verlangte, streng mit Rücksicht auf zweite Differenzen gebildete Hauptwerth, und es wird das Product $s\,v$ gewöhnlich als Proportionaltheil bezeichnet.

Hat man, ganz allgemein ausgedrückt, einen Hauptwerth (Rectascension, Declination, Zeitgleichung, Mondes-Culmination oder Mondes-Parallaxe) für die beliebige Zeit t zu bilden, welche zwischen die Ephemeriden-Epochen t_0 und t_1 hineinfällt, so bildet man mittelst

einfacher Interpolation die „stündliche Aenderung" für die Zeit $\frac{t+t_0}{2}$ und multiplicirt den so erhaltenen Werth der „Aenderung" mit dem Zeitintervall $t - t_0$; das Resultat ist dann der mit Rücksicht auf zweite Differenzen genaue Proportionaltheil.*)

Beispiel: Es sei für einen Ort, welcher 77° oder $5^h 8^m$ westlich von Greenwich liegt, die Declination der Sonne für 1891, Mai 28, $3^h 16^m$ Ortszeit zu finden. Die gegebene Ortszeit ist (nach pag. XIII) zunächst durch Berücksichtigung des Längenunterschiedes in Greenwicher Zeit umzusetzen.

Mai 28, $3^h 16^m$ Ortszeit = Mai 28, $3^h 16^m + 5^h 8^m$ = Mai 28, $8^h 24^m = 8^h.4$ Greenwicher Zeit. Auf pag. 74 der Ephemeriden findet sich H_0, nämlich die Declination der Sonne für Mai 28, 0^h zu $+21°27'52''$ angegeben; zugleich findet man ebendort $v_0 = +24''.2$, $v_1 = +23''.3$, und da die Declination für 8·4 Stunden zu interpoliren ist, so ist zwischen v_0 und v_1 für 4·2 Stunden zu interpoliren, was (nach $v = v_0 + \frac{s}{2}\,\frac{v_1 - v_0}{24}$ $= +24''.2 + 4{\cdot}2 \times \frac{-0''.9}{24}$) den Werth $v = +24''.0$ gibt; man hat also:

H_0 = Declination Mai 28, 0^h	$+21°27'52''$
$s\,v = 8{\cdot}4 \times (+24''.0) = +201''.6$	$+3'21''.6$
Streng interpolirter Werth . . .	$+21°31'14''$;

denselben Werth gibt die ausführliche Interpolation bei Berücksichtigung zweiter Differenzen.

Es wird indess, namentlich in der nautischen Praxis, diese grösste Schärfe der Rechnung nicht nöthig sein, sondern man wird sich begnügen können, direct den Werth v_0 oder v_1 oder auch das arithmetische Mittel dieser Werthe zur Interpolation zu verwenden; übrigens sind in der Sonnenephemeride die Differenzen der „stündlichen Aenderungen" selten so bedeutend, wie in dem vorigen Beispiele.

---

*) Nach dem Taylor'schen Satze ist nämlich bis inclusive zweite Differenzen genau

$$f(t_0 + \tau) = f(t_0) + \tau f'(t_0) + \frac{\tau^2}{2} f''(t_0),$$

wobei $f'(t_0)$ und $f''(t_0)$ Aenderungen erster und zweiter Ordnung der Function $f(t_0)$ vorstellen; nach demselben Principe und mit derselben Genauigkeit ist aber offenbar auch

$$f'\left(t_0 + \frac{\tau}{2}\right) = f'(t_0) + \frac{\tau}{2} f''(t_0);$$

die Substitution der letzteren in die obere Gleichung gibt nun

I. $$f(t_0 + \tau) = f(t_0) + \tau f'\left(t_0 + \frac{\tau}{2}\right),$$

oder auch, wenn $\tau = t - t_0$ genommen wird,

II. $$f(t) = f(t_0) + (t - t_0) f'\left(\frac{t + t_0}{2}\right);$$

diese Relationen I. oder II. drücken die oben gegebene Interpolationsregel aus und sind ihrer Ableitung nach bis auf zweite Differenzen genau.

Die Columne „Halbmesser der Sonne“ kommt zur Verwendung, wenn Beobachtungen eines Sonnenrandes auf den Sonnenmittelpunkt zu reduciren sind.

Die „Zeitgleichung“ dient zur Verwandlung der *mittleren* in *wahre* Zeit und umgekehrt, und ist im Sinne: „*Mittlere Zeit — wahre Zeit*“, ebenfalls für jeden mittleren Greenwicher Mittag unter Beigabe der stündlichen Veränderung zur Uebertragung auf andere Epochen angesetzt. Man findet beispielsweise für den 1. April die Zeitgleichung mit dem Werthe $+ 3^m\ 58^s.7$ angegeben, d. h., im Momente des mittleren Greenwicher Mittags (1891, April 1) ist der Unterschied: „Stundenwinkel der mittleren (fingirten) Sonne — Stundenwinkel der wahren Sonne“ $= + 3^m\ 58^s.7$, der Stundenwinkel der mittleren Sonne ist also der grössere, oder die mittlere Zeit ist der wahren Zeit in diesem Momente um $3^m\ 58^s.7$ voraus; die Culmination der mittleren Sonne erfolgt früher, als jene der wahren, und es ist für Greenwich April 1, $0^h\ 0^m\ 0^s$ mittlere Zeit = März 31, $23^h\ 56^m\ 1^s.3$ wahre Zeit.

Für die Verwandlung von wahrer Zeit in mittlere und umgekehrt gelten die Relationen:

Wahre Zeit = mittlere Zeit — Zeitgleichung,

Mittlere Zeit = wahre Zeit + Zeitgleichung,

in welche Relationen die Zeitgleichung mit dem Vorzeichen einzuführen kommt, wie dasselbe in den Ephemeriden gegeben ist. Die zweite dieser Relationen muss eigentlich, wenn streng verfahren werden soll, durch ein Näherungsverfahren bestimmt werden, da man aus der Ephemeride die Zeitgleichung nur für Epochen mittlerer Zeit interpoliren kann, und jene Relation die Zeitgleichung für eine gegebene wahre Zeit verlangt; in den meisten Fällen aber kann man die hieraus entspringenden kleinen Ungenauigkeiten vernachlässigen.

Der letzten Columne der Seite I sind keine stündlichen Aenderungen beigesetzt, weil es genügt, hier für Interpolationszwecke dieselben Werthe zu benützen, welche der Sonnendeclination des mittleren Mittages beigesetzt sind.

Seite II jedes Monates.

Die Sternzeit im mittleren Greenwicher Mittage irgend eines Datums ist diejenige Zeit, die eine richtige Sternzeituhr auf der Greenwicher Sternwarte in dem Momente anzeigen muss, in welchem die richtig nach mittlerer Zeit eingestellte Uhr $0^h\ 0^m\ 0^s$ zeigt. Diese Angabe ist, anders

ausgedrückt, der Stundenwinkel des Frühlingspunktes oder auch die Rectascension der mittleren Sonne im Momente ihrer Culmination in Greenwich, und wird zur Verwandlung einer gegebenen mittleren Zeit in Sternzeit, oder einer gegebenen Sternzeit in mittlere Zeit benützt, wobei die Tafeln III und IV (pag. 242, 243) in Verwendung kommen. Beispiele für solche Verwandlungen finden sich am Fusse dieser Tafeln.

Ist eine solche Verwandlung von Zeiten eines anderen Meridians vorzunehmen, so muss man die Sternzeit im mittleren Mittage dieses Meridians kennen; um aus der Sternzeit im Greenwicher Mittage die entsprechende Sternzeit im mittleren Mittage eines anderen Meridians abzuleiten, hat man erstere für jede Stunde (oder 15^0) Längenunterschied um $9^s.8565$ zu corrigiren, und zwar ist die Correction *positiv* bei *westlicher* Länge, *negativ* bei *östlicher* Länge gegen Greenwich. Man findet in den Ephemeriden z. B. für 1891 Januar 21 die Sternzeit im mittleren Greenwicher Mittage $20^h\ 2^m\ 15^s.1$ angegeben; für einen Ort, welcher $9^h\ 10^m\ 6^s = 9^h.17$ (in Bruchtheilen der Stunde angesetzt) *westlich* von Greenwich liegt, wird die Correction dieser Angabe $+9^s.8565 \times 9{\cdot}17 = +90^s.4$ betragen, d. h., für diesen Ort wird die Sternzeit im mittleren Mittage $20^h\ 3^m\ 45^s.5$ sein.

Die übrigen Columnen der Seite II jedes Monates beziehen sich auf den Mond, und zwar ist zunächst die mittlere Zeit der oberen Culmination des Mondes, nebst einer Grösse, „Stündliche Verzögerung" genannt, angegeben, welche zur Berechnung der Zeit der Mondculmination für einen anderen Meridian dienen soll, und ebenso benützt wird, wie die *stündlichen Aenderungen* bei den anderen Elementen der Ephemeride.

Für Orte, die *östlich* von Greenwich liegen, tritt die Mondculmination früher, für *westlich* gelegene später ein, als für Greenwich, und zwar um einen Zeitbetrag, den man erhält, wenn man den in Zeit (Stunden und Bruchtheile der Stunde) ausgedrückten Längenunterschied mit der entsprechenden *stündlichen Verzögerung* multiplicirt.

Um streng vorzugehen, muss man den Werth der „stündlichen Verzögerung" nach dem oben angegebenen Principe ebenfalls für den halben Betrag der Zeit, um den man nach vorwärts oder rückwärts gehen will, interpoliren, u. z. wird man für *östliche* Orte die vorangehende, für *westliche* die nachfolgende Differenz der stündlichen Verzögerung zu dieser Interpolation benützen. Der durch Multiplication des Längenunterschiedes mit der so gebildeten stündlichen Verzögerung erhaltene

Proportionaltheil wird für *östliche* Orte von der Greenwicher Culminationszeit *subtrahirt*, für *westliche* dagegen zu der letzteren *addirt*.

Die Ephemeride gibt auf pag. 3 für 1891, Januar 6, die Culminationszeit mit $20^h\ 59^m.9$ mittlere Greenwicher Zeit, die stündliche Verzögerung mit $2^m.25$ und den darauf folgenden Werth derselben mit $2^m.45$ an, so dass die 24stündige Differenz $+0^m.20$ beträgt. Washington liegt $5^h\ 8^m\ 12^s = 5^h.137$ *westlich* von Greenwich; zwischen $2^m.25$ und $2^m.45$ für $\frac{1}{2} \times 5{\cdot}137 = 2{\cdot}6$ Stunden interpolirt, erhält man $2^m.27$ als den Werth der Verzögerung, welcher für eine strenge Interpolation der Culminationszeit zu verwenden kommt; die Correction der Culminationszeit für Washington ist demnach $5{\cdot}137 \times 2^m.27 = 11^m.7$, so dass für Washington der Mond am 6. Januar 1891 um $20^h\ 59^m.9 + 11^m.7 = 21^h\ 11^m.6$ culminirt.

Für einen Ort, welcher $5^h.137$ *östlich* von Greenwich liegt, wäre unter gleichen Umständen die „stündliche Verzögerung" für den Zeitbetrag $\frac{1}{2} \times 5{\cdot}137 = 2{\cdot}6$ Stunden nach rückwärts zu interpoliren, was $2^m.23$ geben würde, da die vorausgehende 24stündige Differenz der stündlichen Verzögerungen $0^m.20$ beträgt; die Culminationszeit für diesen Ort würde also sein:

$$20^h\ 59^m.9 - 5{\cdot}137 \times 2^m.23 = 20^h\ 59^m.9 - 11^m.5 = 20^h\ 48^m.4.$$

Es möge hier übrigens wiederholt werden, dass eine so scharfe Rechnung selten nöthig ist, und dass es meist vollkommen genügt, den bei der Greenwicher Culminationszeit stehenden Werth der *stündlichen Verzögerung* unverändert zu benützen.

Da sich die Mondculmination für einen bestimmten Ort von Tag zu Tag um ungefähr 50 Minuten verzögert, so kommt in jedem Monate ein Tag vor, an welchem keine (obere) Culmination des Mondes stattfindet; in den vorliegenden Ephemeriden sind diese Tage durch ein Sternchen bezeichnet. Die Culminationszeiten des Mondes finden bei Berechnung der Hochwasserzeiten, sowie der Auf- und Untergänge des Mondes Verwendung.

Es finden sich weiter auf Seite II jedes Monates *der Halbmesser* und *die Horizontalparallaxe des Mondes* für die Momente des Greenwicher Mittags und der Greenwicher Mitternacht angegeben. Man versteht unter Halbmesser des Mondes den vom Mittelpunkte der Erde aus gesehenen Winkel zwischen dem Rande und dem Mittelpunkte des Mondes, unter Horizontalparallaxe dagegen den Winkel, unter welchem, vom Mondmittelpunkte aus gesehen, der Halbmesser des Erdäquators erscheint; mittelst ersterer Grösse werden Beobachtungen, die sich auf den Mondrand beziehen (Höhenbeobachtungen des Mondes, Monddistanzen), auf den Mondmittelpunkt, mittelst letzterer Mondbeobachtungen, die von irgend einem

Punkte der Erdoberfläche aus angestellt werden, auf den Erdmittelpunkt reducirt. Da die Horizontalparallaxe eine rasch veränderliche Grösse ist, so findet sich zur Erleichterung der Interpolation hier ebenfalls die „stündliche Aenderung" beigesetzt, welche für eine *strenge* Rechnung ganz analog wie in allen bisherigen Fällen zu benützen wäre, wobei nur darauf zu achten käme, dass man es in diesem bestimmten Falle mit einem 12stündigen Zeitintervalle zu thun hat; der Anblick der Ephemeriden zeigt indess, dass sich die *stündlichen Aenderungen* der Mondparallaxe von 12 zu 12 Stunden so langsam ändern, dass man sich stets begnügen kann, in einem gegebenen Falle den nächstliegenden Werth der „Aenderung" zur Rechnung zu benützen.

Um beispielsweise, nur linear interpolirt, für einen Ort, welcher $1^h = 15^\circ$ *östlich* von Greenwich liegt, Halbmesser und Horizontalparallaxe des Mondes für 1891, März 5, 5^h Vormittags bürgerlicher Zählung zu finden, hat man zunächst zu berücksichtigen, dass bürgerlich 1891, März 5, 5^h Vormittags = astronomisch 1891, März 4, 17^h ist, ferner dass 17^h Ortszeit für einen 1^h *östlich* von Greenwich gelegenen Ort $17^h - 1^h = 16^h$, Greenwicher Zeit ist; auf pag. 39 findet sich für März 4, 12^h (Mitternacht) der Mondhalbmesser mit 15′ 54″ und für März 5, 0^h (Mittag) mit 16′ 1″ angegeben, so dass die 12stündige Differenz + 7″, somit die einstündige Differenz $+\frac{7''}{12}$ beträgt; ferner findet man die Horizontalparallaxe für März 4, 12^h mit 58′ 15″ und die zugehörige stündliche Aenderung mit + 2″.3 angegeben, und da beide Grössen für 16^h Greenwicher Zeit zu berechnen sind, so hat man:

Greenwich 1891, März 4, 12^h . . .	Halbmesser	15′ 54″	Horiz.-Parallaxe	58′ 15″
	$+\frac{7}{12}\times 4$	+ 2″	+ 2″.3 × 4	+ 9″
Gesuchte (einfach interpolirte) Werthe . .		15′ 56″	. . . .	58′ 24″.

Die letzte Columne der Seite gibt das sogenannte „Alter" des Mondes, d. h. die Anzahl der Tage an, die seit dem Momente des letzten Neumondes verflossen sind.

Seiten III bis X jedes Monates.

Diese Seiten geben die *Rectascension* und *Declination* des Mondes in der ausführlichsten Weise, nämlich für alle Tage des Monates von Stunde zu Stunde mittlerer Greenwicher Zeit, sowie ausserdem die „Aenderungen" der Rectascensionen und Declinationen innerhalb des Zeitraumes von 10 Minuten.

Hat man nun einen Werth (Rectascension oder Declination) für die Zeit t zu bilden, welche zwischen die Ephemeriden-Epochen t_0 und t_1 hineinfällt, so bildet man mittelst einfacher Interpolation die

„Aenderung in 10^m“ für die Zeit $\frac{t+t_0}{2}$ und multiplicirt den so erhaltenen Werth der „Aenderung“ mit dem Zeitintervall $\frac{1}{10}(t-t_0)$, wobei der Factor $\frac{1}{10}$ davon herrührt, dass man es mit Aenderungen für 10 Zeitminuten zu thun hat. Das Resultat ist dann der für zweite Differenzen verbesserter Proportionaltheil.

Beispiel: Man sucht für einen Ort, der 60° oder 4^h *östlich* von Greenwich liegt, Rectascension und Declination des Mondes für 1891, Januar 18, $21^h 40^m$ Ortszeit.

Dieser Ortszeit entspricht die Greenwicher Zeit $21^h 40^m - 4^h = 17^h 40^m$ und es ist im vorliegenden Falle $t_0 = 17^h$, $t = 17^h 40^m$, somit $\frac{1}{2}(t+t_0) = 17^h 20^m$ und $\frac{1}{10}(t-t_0) = 4$.

Man findet auf pag. 8, dass die „Aenderung in 10^m“ für die Rectascension bei 17^h den Werth $21^s.38$, bei 18^h den Werth $21^s.40$ hat, demnach innerhalb einer Stunde um $0^s.02$ zunimmt, so dass der Zeit $17^h 20^m$ der Werth $21^s.39$ entspricht; ähnlich findet man $+107''.7$ als Werth der „Aenderung“ in Declination für die Zeit $17^h 20^m$. Die Rechnung ist also folgende:

Greenwich 1891, Januar 18, 17^h	A. R.	$3^h 23^m 29^s.1$	Decl.	$+16°40'38''$
(Aendererung in 10^m) $\times \frac{t-t_0}{10}$	$21^s.39 \times 4$	$+1^m 25^s.6$	$+107''.7 \times 4$	$+7'11''$
Streng interpolirte Werthe . . .		$3^h 24^m 54^s.7$	. . . .	$+16°47'49''$

Da die Variation der „Aenderungen“ nirgends beträchtlich ist, so kann die Interpolation derselben für die Zeit $\frac{1}{2}(t+t_0)$ stets im Kopfe ausgeführt werden.

Auf pag. X jedes Monates, am Schlusse der Mondephemeride, findet man noch die mittleren Greenwicher Zeiten der *Mondviertel*, nämlich diejenigen Momente, in welchen der Unterschied der *Längen* *) von Sonne und Mond beziehungsweise 0°, 90°, 180° und 270° beträgt; es sind dieses die Momente für *Neumond*, *erstes Viertel*, *Vollmond*, *letztes Viertel*. An derselben Stelle sind auch die Zeiten für das *Perigaeum* und das *Apogaeum* (kleinste und grösste Entfernung des Mondes von der Erde) angegeben.

Die Seiten XI und XII jedes Monates

enthalten in ihrem Haupttheile die Rectascensionen und Declinationen der Planeten *Venus*, *Mars*, *Jupiter*, *Saturn* in 24stündigem Intervalle sammt den „stündlichen Aenderungen“, und ausserdem die mittlere Zeit der oberen Culmination dieser Planeten im Greenwicher Meridian.

---

*) Was hier unter „Länge“ zu verstehen ist, wird auf pag. XXXIX im Zusatze unten erklärt.

Folgendes Beispiel möge die Uebertragung dieser Grössen auf einen anderen Meridian und eine andere Zeit verständlich machen:

Man berechne für Washington ($5^h 8^m.2 = 5^h.137$ westlich von Greenwich), u. zw. für 1891, November 18, die Rectascension und Declination des Planeten Venus im Momente der oberen Passage durch den Meridian von Washington.

Die nöthigen Angaben finden sich auf pag. 192 der Ephemeriden, und es ist zunächst die Zeit der Meridianpassage für Washington zu ermitteln. In Greenwich findet die Passage am 18. November um $0^h 50^m.3$, am 19. November um $0^h 51^m.7$ mittlerer Zeit statt, verfrüht sich also in 24 Stunden um $1^m.4$, also in *einer* Stunde um $\frac{1\cdot4}{24}$ Minuten; die Verfrühung bis zum Durchgange in Washington ist demnach $\frac{1\cdot4}{24} \times 5\cdot137 = 0\cdot3$ Minuten, d. h. in Washington culminirt Venus am 18. November 1891 um $0^h 50^m.6$ mittlerer Ortszeit.

Es ist weiter Washington 1891, November 18, $0^h 50^m.6$ mittlere Ortszeit = November 18, $0^h 50^m.6 + 5^h 8^m.2 = 5^h 58^m.8$ Greenwicher Zeit, und man hat also auf pag. 192 von November 18 aus für $5^h 58^m.8 = 5^h.98$ zu interpoliren.

Man findet als „stündliche Aenderung" der Rectascension $+ 13^s.35$ und als Differenz mit dem folgenden Werthe $+ 0^s.04$; ferner als „stündliche Aenderung" in Declination $- 31''.8$, Differenz $+ 1''.6$; da die Hauptwerthe für 5·98 Stunden zu interpoliren sind, so kommen für die strenge Rechnung die „stündlichen Aenderungen" für 2·99 Stunden zu interpoliren, so dass man $+ 13^s.35$ und $- 31''.6$ als die zu benützenden Werthe der stündlichen Aenderungen in Rectascension und Declination findet.

Man hat demnach:

Greenw. 1891, Nov. 18, Venus	A. R.	$16^h 39^m 14^s.0$	Decl.	$-22^\circ 36' 19''$
(Stündl. Aenderung) × 5·98	$+13^s.35 \times 5\cdot98$	$+1^m 19^s.8$	$-31''.6 \times 5\cdot98$	$-3' 9''$
Gesuchte Werthe (streng interpolirt)		$16^h 40^m 33^s.8$	. . . . . .	$-22^\circ 39' 28''$

welche Werthe für den Moment der oberen Culmination in Washington gelten.

Am Fusse der Seiten XI und XII findet man in Intervallen von 10 zu 10 Tagen die *Halbmesser* und *Horizontalparallaxen* jedes der vier hier berücksichtigten Planeten angegeben.

Die Seiten XIII bis XVIII jedes Monates.

Diese Seiten geben für alle Tage des Monates, abgesehen von wenigen Tagen in der Nähe des Neumondes, die Distanzen des Mondmittelpunktes vom Mittelpunkte der Sonne, eines der helleren Planeten oder auch von irgend einem der hellsten Fixsterne, und zwar von 3 zu 3 Stunden mittlerer Greenwicher Zeit. Die Distanzen sind geocentrisch, d. h. so zu verstehen, wie sie vom Mittelpunkte der Erde aus betrachtet sich darstellen würden, und durch Beisetzung des Buchstabens „W" oder „O" zu dem Namen des betreffenden Sternes ist angedeutet, ob der Stern *westlich* oder *östlich* vom Mondrande steht.

Jeder Distanz ist in einer eigenen Columne unter der Aufschrift „Lg. pr." noch eine Zahl beigegeben, welche gleich nachher ihre Erklärung findet.

Mit Hilfe dieser Angaben kann man aus einer an irgend einem Punkte der Erdoberfläche angestellten Monddistanz-Beobachtung die mittlere Greenwicher Zeit des Beobachtungsmomentes und durch gleichzeitige Bestimmung der mittleren Ortszeit die *Längendifferenz* gegen Greenwich ableiten; es ist hierbei darauf Rücksicht zu nehmen, dass die beobachtete Distanz zunächst auf den Erdmittelpunkt *reducirt* werden muss, indem man dieselbe vom Einflusse der Parallaxe und überdies von jenem der Refraction befreit.

Es sei nun D die reducirte Monddistanz eines Sternes, für welche die zugehörige Zeit t gesucht wird; die Distanz D fällt jedenfalls zwischen irgend zwei in den Ephemeriden etwa für die (Greenwicher) Zeiten t_0 und t_1 angesetzten Distanzen D_0 und D_1 dieses Sternes hinein, somit wird t zwischen t_0 und t_1 hineinfallen, wobei t_1 die grössere Zeitangabe sein soll. Wenn sich die Distanzen der Zeit proportional ändern würden, so würde man aus der Proportion

$$(t - t_0) : (t_1 - t_0) = (D - D_0) : (D_1 - D_0)$$

das Glied $t - t_0 = x$ bestimmen können, da alles Uebrige bekannt ist, und dann einfach haben: $t = t_0 + x$.

Thatsächlich bildet der aus dieser Proportion gefundene Werth von t die erste sehr gute Annäherung an die wahre zur Distanz D gehörige Zeit, und man kann sich mit einer solchen Annäherung in vielen Fällen begnügen. Das Zeitintervall $t_1 - t_0$ ist in den Ephemeriden zu 3 Stunden = 10800 Secunden angenommen.

Beispiel: Man verlangt die mittlere Greenwicher Zeit des Momentes, in welchem für 1891, September 15, die reducirte Distanz: Mond — α Aquilæ 40° 16′ 44″ beträgt.

Nach pag. 161 der Ephemeriden fällt diese Distanz zwischen die zu den Epochen $t_0 = \mathrm{XII}^h$ und $t_1 = \mathrm{XV}^h$ gehörigen Distanzen $D_0 = 39^\circ 51' 51''$ und $D_1 = 40^\circ 49' 14''$ hinein, und da somit der Reihe nach

$$D_0 = 39^\circ 51' 51''$$
$$D = 40^\circ 16' 44''$$
$$D_1 = 40^\circ 49' 14''$$

ist, so folgt $D - D_0 = +0^\circ 24' 53'' = +1493''$, $D_1 - D_0 = +0^\circ 57' 23'' = +3443''$, und man hat die Proportion $x : 10800 = 1493 : 3443$,

woraus sich $$x = \frac{10800 \times 1493}{3443} = 4684 \text{ Secunden} = 1^h\, 18^m\, 4^s$$

findet. Die gesuchte Greenwicher Zeit ist also:

$$t = \mathrm{XII}^h + x = 13^h\, 18^m\, 4^s.$$

Man kann solche Rechnungen noch in anderer Weise führen. Die Betrachtung des hier gegebenen Beispieles zeigt, dass der Nenner in dem Werthe von x die Differenz zweier in den Ephemeriden aufeinander folgenden Distanzen D_1 und D_0 ist, während die Zahl 10800 des Zählers in allen Fällen constant auftreten muss, indem die Distanzen durch die Ephemeriden von 3 zu 3 Stunden gegeben sind; es kann also der Bruch $\frac{10800}{D_1 - D_0}$ in die Ephemeriden aufgenommen werden, was thatsächlich geschieht, indem zwischen D_0 und D_1 der Logarithmus jenes Bruches in der Columne „Lg. pr." angesetzt ist; sämmtliche Werthe Lg. pr. haben die gemeinsame Charakteristik o, welche fortgelassen ist.

Im vorigen Beispiele ist, nach pag. 161 der Ephemeriden, 0·4965 der zwischen D_0 und D_1 stehende Proportional-Logarithmus, und da man

$$\log x = \text{Lg. pr.} + \log 1493$$

hat, so findet man mit Hilfe einer gewöhnlichen Logarithmentafel

$$\begin{aligned} \text{Lg. pr.} &= 0{\cdot}4965 \\ \log 1493 &= 3{\cdot}1741 \\ \hline \log x &= 3{\cdot}6706 \\ x &= 4684 \text{ Secunden} = 1^h\, 18^m\, 4^s \end{aligned}$$

wie oben.

Will man aber eine Tafel der Proportional-Logarithmen benützen (eine Tafel, welche mit dem Argumente d die Werthe von $\log \frac{10800}{d}$ gibt), so hat man folgende Rechnung:

Ephemeriden (pag. 161): Distanz um Mitternacht	$D_0 = 39^\circ\, 51'\, 51''$	Lg. pr. 4965
Reducirte Distanz	$D = 40^\circ\, 16'\, 44''$	
Differenz $D - D_0$ und zugehöriger Pr. lg. . . .	$0^\circ\, 24'\, 53''$	8594
Differenz der Proportional-Logarithmen . . .		3629
dazu gehöriger Werth (einer Tafel von Proportional-Logarithmen entnommen)		$1^h\, 18^m\, 3^s$

wie früher.*)

Das hier auseinandergesetzte Verfahren gibt, wie bereits erwähnt, nicht strenge Werthe für $t - t_0$, weil auf die zweiten Differenzen der Distanzen keine Rücksicht genommen ist; diese Aenderungen können mit Hilfe der Tafel I (pag. 238) berücksichtigt werden, wie später gelegentlich der Explication dieser Tafel (auf pag. XXXI) gezeigt werden wird; man

---

*) Das hier angewendete Rechnungsverfahren folgt daraus, dass man den Werth von x, nämlich:

$$x = \frac{10800}{D_1 - D_0}(D - D_0)$$

in der Form

$$\frac{10800}{x} = \frac{\frac{10800}{D - D_0}}{\frac{10800}{D_1 - D_0}}$$

schreiben kann, in welcher Form Alles durch Proportional-Logarithmen ausgedrückt ist.

kann dieselben aber auch in folgender Weise *direct* in Rechnung bringen und gleich das strenge Resultat für $t - t_0 = x$ erhalten.

Ist kurz $D - D_0 = d$, $D_1 - D_0 = \Delta'$, wo Δ' nichts Anderes als die *erste* Differenz der Distanzen D_0 und D_1 der Ephemeride vorstellt, und denkt man sich noch die zweite Differenz Δ'' gebildet, indem man um noch einen Distanzwerth der Ephemeride weiter geht, so ist zunächst wie früher

$$x = 180 \frac{d}{\Delta'}$$

der Näherungswerth für $t - t_0 = x$, nur hier wegen des Factors 180 (3 Stunden = 180 Minuten) in Zeitminuten erhalten.

Setzt man sich nun, und zwar nur approximativ, den Bruch

$$m = \frac{\Delta' - d}{2\Delta'}$$

an, so ist jetzt, *genau* in Minuten und deren Bruchtheilen ausgedrückt,

$$x = 180 \frac{d}{\Delta' - m\Delta''},$$

und bei der so geführten Rechnung bedarf es keiner Proportional-Logarithmen und keiner Hilfstafel.

Das obige Beispiel würde darnach in folgender Weise zu behandeln sein:

Die Ephemeride gibt die Distanzen (pag. 161)

		Δ'	Δ''
Greenwicher Zeit XII^h	$D_0 = 39^\circ 51' 51''$		
		$+3443''$	
XV^h	$D_1 = 40^\circ 49' 14''$		$+194''$
		$+3637''$	
XVIII^h . . .	$D_2 = 41^\circ 49' 51''$		

und es ist die Distanz D_2 für XVIII^h nur deshalb herausgeschrieben, um die zweite Differenz $\Delta'' = +194''$ bilden zu können.

Reducirte Distanz $D = 40^\circ 16' 44''$

$D_0 = 39^\circ 51' 51''$

$d = +0^\circ 24' 53'' = +1493$

$\Delta' = +3443$

$\left.\begin{array}{r}\Delta' - d = +1950 \\ 2\Delta' = +6886\end{array}\right\}$ also approximativ $m = +\frac{19}{69}$,

$m\Delta'' = +\frac{19}{69} \times 194 = +53''$;

Genaues Resultat . . . $x = 180 \frac{1493}{3390} = 79{\cdot}27$ Minuten $= 1^h\, 19^m\, 16^s$,

$t = t_0 + x = 13^h\, 19^m\, 16^s$ mittlere Greenwicher Zeit.

Dieses Resultat wird später mittelst der Hilfstafel I geprüft werden.

Verfinsterungen der Jupiter-Trabanten.

Als Beigabe zu den bisher gegebenen Ephemeriden finden sich auf den Seiten 218—223, ebenfalls monatweise geordnet, die mittleren Greenwicher Zeiten der Verfinsterungen der Jupiter-Trabanten angegeben, und

zwar sind mit den römischen Ziffern I, II, III, IV die Trabanten, mit den Buchstaben „E“ und „A“ die Phasen, nämlich der „Eintritt“ in, oder der „Austritt“ aus dem Kernschatten Jupiters bezeichnet. Eine kleine Zeichnung, welche für jeden Monat den Zeitangaben vorausgeht, gibt die ungefähre Stellung der Trabanten gegen die Jupiterscheibe, und zwar so, wie dieselbe im astronomischen (umkehrenden) Fernrohre sich darstellt.

Um die Zeit der Verfinsterung (Eintritt oder Austritt) für irgend einen anderen Ort zu finden, hat man die in Zeit ausgedrückte Längendifferenz zu den für Greenwich angegebenen Zeiten zu *addiren*, oder davon zu *subtrahiren*, je nachdem der Ort *östlich* oder *westlich* von Greenwich liegt; umgekehrt gibt die Differenz der Ortszeit der Beobachtung einer Verfinsterung gegen die für Greenwich angegebene Zeit die Längendifferenz des Beobachtungsortes.

Ephemeriden der Fixsterne für 1891.

Seite 224 und 225. Mittlere Oerter von 100 Hauptsternen für 1891, Januar 0.

Diese beiden Seiten geben für die gewählten 100 Sterne die *mittleren*, d. h. die auf das mittlere Aequinoctium bezogenen, von *Nutation* und *Aberration* freien Positionen (Rectascensionen und Declinationen) für den astronomischen Jahresanfang. Mit Hilfe der sowohl den Rectascensionen, als auch den Declinationen beigegebenen „*Jährlichen Veränderung*“ kann die mittlere Position für jeden beliebigen Jahrestag berechnet werden.

Unter diesen Sternen sind 75 ausgewählt worden, für welche auf den folgenden Seiten ausführliche Ephemeriden gegeben werden, und zwar sind diese letzteren Sterne in dem Verzeichnisse der mittleren Oerter mit einem Sternchen bezeichnet; die Columne „Grösse“ gibt die Helligkeitsverhältnisse der Sterne an und bedarf keiner weiteren Erklärung.

Seite 226. Auf dieser Seite sind für 5 den Himmelspolen sehr nahe stehende Sterne (Polsterne) Jahresephemeriden in der Art gegeben, dass man die Rectascensionen und Declinationen für die Momente der oberen Culmination in Greenwich in Intervallen von 10 zu 10 Tagen direct angegeben findet, für beliebige andere Tage aber zu interpoliren hat. Die Tage, an welchen zwei obere Culminationen stattfinden (für jeden Stern ist dieses derjenige *wahre* Tag, an welchem die Rectascension der Sonne der Rectascension des Sternes gleich wird), sind sowohl auf dieser Seite, als auch auf den nachfolgenden Seiten 227—233 für die übrigen Sterne in einer eigenen Horizontalcolumne am Schlusse der jeweiligen Ephemeride angesetzt.

Seite 227—233. Die auf diesen Seiten gegebenen Ephemeriden von 70 Sternen laufen in Intervallen von 20 zu 20 Tagen, was bei der langsamen Veränderlichkeit der Rectascensionen und Declinationen der Sterne vollständig genügend ist. Die in diesen, sowie in den Ephemeriden der Polsterne auf pag. 226 gegebenen Rectascensionen und Declinationen geben die *scheinbaren* Oerter der Sterne, d. h. die Oerter, wie sich dieselben mit Rücksicht auf *Nutation* und *Aberration* darstellen.

Sternbedeckungen.

Die Seiten 234 – 237 (inclusive) geben als „*Elemente für die Sternbedeckungen*" des Jahres 1891 gewisse Hilfszahlen, um auf die rascheste Weise aus der Zeit des an irgend einem Orte beobachteten „Eintrittes" oder „Austrittes" eines Sternes am Mondrande die *genaue* Länge des Ortes zu berechnen, wenn dessen geographische Breite (φ) und eine *genäherte* Länge des Ortes bekannt sind.

Es ist für die meisten der im Jahre 1891 bedeckten Sterne erster bis inclusive vierter Grösse in den auf pag. 234—237 angeführten Elementen gegeben:

I. Datum der Bedeckung, Name und Grösse des bedeckten Sternes;
II. Rectascension und Declination des bedeckten Sternes (welche hier für die Zwecke der Rechnung beziehungsweise mit A und D bezeichnet werden mögen);
III. Die Grenzen in geographischer Breite, innerhalb welcher die einzelnen Bedeckungen sichtbar sind;
IV. Die mittlere Greenwicher Zeit T_0 des Momentes, wenn Mond und Stern gleiche geocentrische Rectascension haben (geocentrische Conjunction);
V. Endlich die vom Mondorte abhängigen Grössen:

$$p' = \frac{d\alpha \cos\delta}{\pi} = n \sin N,\; q' = \frac{d\delta}{\pi} = n \cos N,\; q_0 = \frac{\delta - D}{\pi},$$

worin α, δ, π die *Rectascension*, *Declination* und *Horizontalparallaxe* des Mondes zur Zeit T_0, und $d\alpha$ und $d\delta$ die stündlichen Aenderungen der Rectascension und Declination des Mondes bedeuten.

Um aus einer an irgend einem Orte beobachteten Sternbedeckung die genaue Länge abzuleiten, muss man zunächst aus der bekannten geographischen Breite φ des Ortes die geocentrischen Coordinaten ρ (geocentrische Distanz) und φ' (geocentrische Breite), oder, was im vorliegenden Probleme bequemer ist, die Grössen log ($\rho \cos \varphi'$) und log ($\rho \sin \varphi'$) ableiten.

Die folgende hier angesetzte Tafel gibt mit dem Argumente φ (geographische Breite) die beiden Grössen c und s, mittelst welcher man die gewünschten Grössen durch die Formeln:

$$\log (\rho \cos \varphi') = \log \cos \varphi + c,$$
$$\log (\rho \sin \varphi') = \log \sin \varphi - s$$

findet, wobei eine nördliche Ortsbreite mit dem Zeichen (+), eine südliche mit dem Zeichen (—) zu nehmen ist.

Die Tafel selbst ist die nachstehende:

Breite φ	c	s	Breite φ	c	s	Breite φ	c	s
°			°			°		
0	0·00000	0·00291	30	0·00036	0·00255	60	0·00109	0·00182
1	0·00000	0·00291	31	0·00038	0·00252	61	0·00111	0·00180
2	0·00000	0·00291	32	0·00041	0·00250	62	0·00113	0·00178
3	0·00000	0·00290	33	0·00043	0·00248	63	0·00115	0·00175
4	0·00001	0·00290	34	0·00045	0·00245	64	0·00117	0·00173
5	0·00001	0·00290	35	0·00048	0·00243	65	0·00119	0·00171
6	0·00002	0·00289	36	0·00050	0·00241	66	0·00121	0·00170
7	0·00002	0·00289	37	0·00053	0·00238	67	0·00123	0·00168
8	0·00003	0·00288	38	0·00055	0·00236	68	0·00125	0·00166
9	0·00004	0·00287	39	0·00057	0·00233	69	0·00127	0·00164
10	0·00004	0·00286	40	0·00060	0·00231	70	0·00128	0·00162
11	0·00005	0·00286	41	0·00062	0·00228	71	0·00130	0·00161
12	0·00006	0·00285	42	0·00065	0·00226	72	0·00131	0·00159
13	0·00007	0·00284	43	0·00068	0·00223	73	0·00133	0·00158
14	0·00008	0·00282	44	0·00070	0·00221	74	0·00134	0·00156
15	0·00010	0·00281	45	0·00073	0·00218	75	0·00136	0·00155
16	0·00011	0·00280	46	0·00075	0·00216	76	0·00137	0·00154
17	0·00012	0·00278	47	0·00078	0·00213	77	0·00138	0·00153
18	0·00014	0·00277	48	0·00080	0·00211	78	0·00139	0·00152
19	0·00015	0·00275	49	0·00083	0·00208	79	0·00140	0·00151
20	0·00017	0·00274	50	0·00085	0·00206	80	0·00141	0·00150
21	0·00019	0·00272	51	0·00088	0·00203	81	0·00142	0·00149
22	0·00020	0·00270	52	0·00090	0·00201	82	0·00143	0·00148
23	0·00022	0·00269	53	0·00093	0·00198	83	0·00143	0·00148
24	0·00024	0·00267	54	0·00095	0·00196	84	0·00144	0·00147
25	0·00026	0·00265	55	0·00097	0·00193	85	0·00144	0·00147
26	0·00028	0·00263	56	0·00100	0·00191	86	0·00145	0·00146
27	0·00030	0·00261	57	0·00102	0·00189	87	0·00145	0·00146
28	0·00032	0·00259	58	0·00104	0·00186	88	0·00145	0·00146
29	0·00034	0·00257	59	0·00107	0·00184	89	0·00145	0·00145
30	0·00036	0·00255	60	0·00109	0·00182	90	0·00145	0·00145

Man findet beispielsweise für einen Ort, dessen geographische Breite $\varphi = -15^\circ 55' 26''$ ist, zunächst aus einer trigonometrischen Tafel die Werthe:

	$\log \cos \varphi = 9{\cdot}98300$	$\log \sin \varphi = 9_n 43832$
aus der voranstehenden Tafel . .	$c = 0{\cdot}00011$	$s = 0{\cdot}00280$
somit	$\log (\rho \cos \varphi') = 9{\cdot}98311$	$\log (\rho \sin \varphi') = 9_n 43552.$

Es sei nun an einem Orte, dessen georgaphische Breite φ und dessen *approximative* Greenwicher Länge $\pm\lambda$ ist, ($+\lambda$ bei östlicher, $-\lambda$ bei westlicher Länge zu nehmen), zur mittleren Ortszeit T eine Sternbedeckung (d. h. entweder ein Eintritt oder ein Austritt) beobachtet worden; es soll mit diesen Ortsangaben und mit Benützung der auf pag. 234—237 gegebenen Bedeckungs-Elemente eine Correction $d\lambda$ für die Länge gefunden werden, derart, dass die *genaue* Greenwicher Länge des Ortes dann

$$L = \pm\lambda + d\lambda$$

ist. Die Rechnungsmethode ist (ohne hier eine Erklärung der Methode geben zu können), die folgende:

Man bildet zunächst die der mittleren Ortszeit T der Beobachtung entsprechende Orts-Sternzeit θ; ist nämlich θ_0 die Sternzeit im entsprechenden Greenwicher Mittage, so ist

$$\theta_0 \mp 9^s.8565\,\lambda$$

die Sternzeit im mittleren Mittage des Beobachtungsortes, je nachdem λ eine $\left\{\begin{matrix}\text{östliche}\\ \text{westliche}\end{matrix}\right\}$ und zwar in Stunden und Bruchtheilen derselben ausgedrückte Länge ist, und man hat

$$\theta = \theta_0 \mp 9^s.8565\,\lambda + T + \text{Accel. der Sternzeit für die Zeit } T;$$

für einen Fehler von je 6 *Zeitminuten* $= \frac{1}{10}$ Stunde in λ wird also θ nur um den Betrag von je *einer Zeitsecunde* (genau $0^s.986$) fehlerhaft.

Da A und D, nämlich Rectascension und Declination des bedeckten Sternes, aus den Bedeckungs-Elementen bekannt sind, so wird $t = \theta - A$ der Stundenwinkel des Sternes für den Beobachtungsmoment, und man kann

$$\begin{aligned} u &= (\rho \cos \varphi') \sin t \\ v_1 &= (\rho \sin \varphi') \cos D \\ v_2 &= (\rho \cos \varphi') \sin D \cos t \\ v &= v_1 - v_2 \end{aligned}$$

rechnen; entnimmt man weiter den Elementen die Grössen T_0, p', q_0 q', und ist

$$T - (T_0 \pm \lambda) = \tau, \left\{\begin{matrix} +\lambda \text{ für eine östliche Länge} \\ -\lambda \text{ „ „ westliche „} \end{matrix}\right\}$$

wobei τ in Bruchtheilen der Stunde angesetzt werden muss, so kann man die Zahlen

$$p = p'\tau$$
$$q = q'\tau + q_0$$

bilden, und aus den Relationen

$$p - u = m \sin M$$
$$q - v = m \cos M,$$

deren linke Seiten nunmehr nur bekannte Grössen enthalten, die Zahl m und den Winkel M bestimmen, wobei m stets positiv zu nehmen, und darnach der Quadrant für den Winkel M zu bestimmen ist [sin M hat also dasselbe Zeichen wie $(p - u)$, und cos M dasselbe Zeichen wie $(q - v)$].

Endlich kann man den Elementen den Winkel N und den Werth von log n entnehmen, und unter Zuziehung der constanten Zahl $k = 0{\cdot}27296$ (log $k = 9{\cdot}43609$) einen Hilfswinkel ψ aus der Gleichung

$$\cos\psi = \frac{m}{k} \sin (M - N)$$

bestimmen, wobei ψ immer kleiner als 180^0 genommen wird. Dann bestimmt sich der gesuchte Werth von $d\lambda$ aus

$$d\lambda = \frac{m}{n} \frac{\cos (M - N \mp \psi)}{\cos \psi}$$

und zwar ist im Zähler $(-\psi)$ für einen beobachteten *Eintritt*, $(+\psi)$ für einen beobachteten *Austritt* anzunehmen; $d\lambda$ wird in Bruchtheilen der Stunde erhalten, ist also in Minuten und Secunden umzusetzen.

Beispiel: Es sei an einem Orte, dessen geographische Breite $\varphi = -15^0 55' 26''$ und dessen *genäherte* Greenwicher *westliche* Länge $\lambda = 7^0 0' = 28^m$ ist, am 22. Februar 1891 der Eintritt von η Leonis hinter den Mondrand um $14^h 44^m 1.^s2$ mittlere Ortszeit beobachtet worden; es ist daraus die *genaue* Länge des Ortes gegen Greenwich abzuleiten. (Nota: Das Beispiel bezieht sich auf die geographische Lage von St. Helena).

Die Grössen log $(\rho \cos \varphi')$ und log $(\rho \sin \varphi')$ sind schon vordem für die gegebene geographische Breite φ berechnet worden; für den mittleren Greenwicher Mittag 1891, Februar 22, findet man ferner in den Ephemeriden (pag. 21) die Sternzeit $\theta_0 = 22^h 8^m 24^s.9$ und da λ, in Decimaltheilen der Stunde ausgedrückt, den Werth $0^h.4667$ hat, und zudem eine *westliche* Länge ist, so wird

$$\theta_0 + 9{\cdot}8565\,\lambda = 22^h 8^m 24^s.9 + 4^s.6 = 22^h 8^m 29^s.5,$$

und die numerische Rechnung, welche vierstellig zu führen für nautische Zwecke genügt, ist jetzt, nachdem aus pag. 234 der Ephemeriden als Elemente der Sternbedeckungen für η Leonis, Februar 22, die Grössen:

$A = 10^h\ 1^m\ 24^s.4,$	$p' = +0{\cdot}5184,$	$\log n = 9{\cdot}7392,$
$D = +17^0\ 17'\ 36'',$	$q_0 = -0{\cdot}0327,$	$N = 109^0 4',$
$T_0 = 14^h\ 3^m\ 51^s,$	$q' = -0{\cdot}1793,$	

entnommen sind, die folgende:

T_0	$14^h\ 3^m\ 51^s$
West . . . . . . $-\lambda$	$-28\ \ 0$
$T_0-\lambda$	13 35 51
T	14 44 1
$\tau=T-(T_0-\lambda)$	+1 8 10
In Decimalen der Stunde τ	$+1^h.1361$
$\log p'$	9·7147
$\log \tau$	0.0554
$\log q'$	$9_n\,2535$
$\log p=\log p'\tau$	9·7701
$\log q'\tau$	$9_n\,3089$
$q'\tau$	−0·2037
q_0	−0·0327
$q=q'\tau+q_0$	−0·2364
T	$14^h\ 44^m\ 1^s.2$
Accel.	+2 25·2
$\theta_0+9^s.8565\,\lambda$	$22^h\ 8\ 29·5$
θ	$12^h\ 54^m\ 55^s.9$
A	10 1 24·4
$t=\theta-A$	+ 2 53 31·5
t in Graden.	$+43^\circ\ 22'\ 52''$
$\log(\rho\cos\varphi')$	9·9831
$\log\sin t$	9·8369
$\log u$	9·8200
$\log(\rho\sin\varphi')$	$9_n\,4355$
$\log\cos D$	9·9799
$\log v_1$	$9_n\,4154$
$\log(\rho\cos\varphi')$	9·9831
$\log\sin D$	9·4731
$\log\cos t$	9·8614
$\log v_2$	9 3176
v_1	−0·2603
v_2	+0·2078
$v=v_1-v_2$	−0·4681

$p'\tau=p$	+0·5890
u	+0·6607
$p-u$	−0·0717
q	−0·2364
v	−0·4681
$q-v$	+0·2317
$\log(p-u)=\log m\sin M$	$8_n\,8555$
$\log\cos M$	9·9801
$\log(q-v)=\log m\cos M$	9·3649
$\log\operatorname{tang} M$	$9_n\,4906$
M	$342^\circ\ 48'$
N	109 4
$M-N$	233 44
$\log m$	9·3848
$\log k$	9·4361
$\log n$	9·7392
$\log(m:k)$	9·9487
$\log\sin(M-N)$	$9_n\,9065$
$\log\cos\psi$	$9_n\,8552$
ψ	$135^\circ\ 46'$
Eintritt! . . $M-N-\psi$	97 58
$\log\cos(M-N-\psi)$	$9_n\,1418$
$\log(m:n)$	9·6456
$\log(1:\cos\psi)$	$0_n\,1448$
$\log d\lambda$	8·9322
$\log 60$	1·7782
In Minuten . . . $\log d\lambda$	0·7104
In Minuten . . . . $d\lambda$	$+\ 5^m.13$
In Minuten u. Secunden $d\lambda$	$+\ 5^m\ 7^s.8$
Westlänge . . . . $-\lambda$	$-28^m\ 0^s.0$
Verb. Länge $L=-\lambda+d\lambda$	$-22^m\ 52^s.2$

Würde der Werth von $d\lambda$ so gross gefunden worden sein, dass die Grösse $\mp 9^s.8565\,d\lambda$ ($d\lambda$ in Theilen der Stunde ausgedrückt) eine wesentliche Aenderung von θ und somit auch des Stundenwinkels t bewirken würde, so wäre der Formelcomplex mit dem Werthe L statt λ nochmals durchzurechnen. Das Verfahren ist abgeschlossen, sobald man $m=k$ findet, was im vorliegenden Beispiele schon der Fall ist, wenn man die Rechnung mit dem Werthe $L=0^h\ 22^m\ 52^s.2$ wiederholt.

Zusatz. Für die Bequemlichkeit der Beobachtung einer Sternbedeckung ist es vortheilhaft, die Zeit des zu beobachtenden Eintrittes oder Austrittes für den Ort wenigstens approximativ vorauszuberechnen, nachdem man sich informirt hat, dass der Ort für eine gewählte Bedeckung in der Sichtbarkeitszone liegt. Folgendes sind die Formeln, welche praktisch ebenso verwerthet werden, wie die oben angeführten:

Ist $\pm\lambda$ die bekannte $\left\{\begin{matrix}\text{östliche}\\ \text{westliche}\end{matrix}\right\}$ Länge des Ortes, so ist $T_0 \pm \lambda$ die mittlere Ortszeit der *geocentrischen* Conjunction, und wenn man wieder die dieser Zeit $T_0 \pm \lambda$ entsprechende Orts-Sternzeit θ und daraus den Stundenwinkel $t = \theta - A$ bildet, so gibt die Formel

$$\tau' = \frac{\rho \cos \varphi' \sin t}{p' - l\rho \cos \varphi' \cos t} \quad (\text{dabei } \log l = 9{\cdot}41916)$$

eine Zeitcorrection τ' (in Bruchtheilen der Stunde), und es ist die Zeit $T_0 \pm \lambda + \tau'$ die genäherte mittlere Ortszeit der *scheinbaren* Conjunction für den Ort. Bildet man dann:

$p = p'\tau'$, $q = q'\tau' + q_0$, $t_1 = \theta_1 - A$, (θ_1 der mittleren Ortszeit $T_0 \pm \lambda + \tau'$ entsprechend), ferner:

$$u = \rho \cos \varphi' \sin t_1, \qquad u' = l\rho \cos \varphi' \cos t_1,$$
$$v = \rho \sin \varphi' \cos D - \rho \cos \varphi' \sin D \cos t_1, \qquad v' = l\rho \cos \varphi' \sin D \sin t_1,$$
$$p - u = m \sin M, \qquad p' - u' = r \sin R,$$
$$q - v = m \cos M, \qquad q' - v' = r \cos R,$$

worin m und r stets positiv zu nehmen und daraus die Quadranten von M und R zu bestimmen sind, und endlich

$$\cos \psi = \frac{m}{k} \sin (M - R)^{*}), \quad (\psi \text{ stets kleiner als } 180^0 \text{ anzunehmen}),$$

so kann man jetzt die Grössen

$$\Delta\tau'_e = -\frac{m}{r}\,\frac{\cos (M - R - \psi)}{\cos \psi}, \quad \Delta\tau'_a = -\frac{m}{r}\,\frac{\cos (M - R + \psi)}{\cos \psi},$$

welche ebenfalls in Bruchtheilen der Stunde erhalten werden, berechnen, und man hat:

Mittlere Ortszeit des *Eintrittes* . . $T_e = T_0 \pm \lambda + \tau' + \Delta\tau'_e$.

Mittlere Ortszeit des *Austrittes* . . $T_a = T_0 \pm \lambda + \tau' + \Delta\tau'_a$.

Der vom Nordpunkte des Mondrandes nach links herum gezählte Positionswinkel des Sternes ist $P_e = R + \psi - 90^0$ für den Eintritt,
$P_a = R - \psi - 90^0$ für den Austritt.

Tafeln.

Tafel I, pag. 238. Correction der aus einer Monddistanz gefundenen Greenwicher Zeit wegen Differenz der Proportional-Logarithmen.

Bereits auf pag. XXIII wurde auf diese Tafel verwiesen, mit Hilfe deren man bei Berechnung der Greenwicher Zeit aus einer gemessenen reducirten Monddistanz auf die zweiten Differenzen der Distanzen, oder

*) Findet man $\cos \psi > 1$, so findet für den Ort keine Bedeckung statt.

auf die Differenzen der Proportinal-Logarithmen Rücksicht nehmen kann. Dort wurde mit Hilfe einer Proportion diese Greenwicher Zeit $t - t_0$ genähert ermittelt. Die nöthige Correction nun wird aus Tafel I mit dem Doppelargumente „Differenz der Proportional-Logarithmen" und „Genähertes Zeitintervall" entnommen und zur genäherten Greenwicher Zeit *addirt*, wenn die Proportional-Logarithmen *abnehmen*, von derselben *subtrahirt*, wenn dieselben *zunehmen*. Als „Differenz der Proportional-Logarithmen" wird die Differenz des schon früher benützten und des in der Ephemeride darauf folgenden Proportional-Logarithmus genommen, das genäherte Zeitintervall dagegen wird als Tafelargument auf volle Minuten abgerundet.

In dem auf pag. XXII gegebenen Beispiele ist 4965 der benützte, 4727 der in der Ephemeride (pag. 161) darauf folgende Pr. lg., die Differenz also 238 und die Pr. lg. nehmen ab; das genäherte Zeitintervall ist $1^h\, 18^m$.

Man sollte jetzt mit $1^h\, 18^m$ als Verticalargument und 238 als Horizontalargument in die Tafel I eingehen, bemerkt aber, dass die Tafel im Horizontalargumente nicht bis 238 reicht, sondern mit dem Werth 138 abschliesst; deshalb muss man mit der Hälfte des Horizontalargumentes, also mit 119 operiren und die aufgefundene Correction nachher verdoppeln.

Mit $1^h\, 18^m$ als Verticalargument und 119 als Horizontalargument, gibt die Tafel einem Werth von etwa 36 Secunden, die wirkliche Zeitcorrection ist also 72 Secunden, u. z. *positiv* anzubringen, weil die Pr. lg. abnehmen.

Der gesuchte genaue Zeitwerth ist also:

$$t - t_0 = 1^h\, 18^m\, 3^s + 72^s = 1^h\, 19^m\, 15^s,$$

welches Resultat mit dem auf pag. XXIV bereits direct gefundenen, innerhalb der Rechnungs-Unsicherheit stimmt.

Tafel II, pag. 239, 240, 241.

Diese Tafel besteht aus drei Abtheilungen, welche mit *A*, *B*, *C* bezeichnet sind, und dient zur Berechnung der geographischen Breite (Polhöhe) eines Ortes aus einer ausserhalb des Meridians gemessenen Höhe des Polarsternes, und zwar ist einfach:

Breite = gemessene Höhe des Polarsternes + Corr. *A* + Corr. *B* + Corr. *C*, wobei Correction *A* aus Tafel II, *A*, pag. 239, Correction *B* aus Tafel II, *B*, pag. 240, 241 und Correction *C* aus Tafel II, *C*, pag. 240, 241, entnommen wird.

Die Tafel II *A* hat *einfaches* Argument, nämlich die Sternzeit der Höhenbeobachtung des Polarsternes.

Die Abtheilungen *B* und *C* der Tafel II sind Tafeln mit doppeltem Argument, und zwar hat II *B* als Verticalargument die Sternzeit der

Beobachtung (von 30^m zu 30^m) und als Horizontalargument die beobachtete Polarsternhöhe (von 5^0 zu 5^0); II *C* hat als Verticalargument ebenfalls die Sternzeit der Beobachtung (von 2 zu 2 Stunden) und als Horizontalargument das Datum der Beobachtung. Die Einrichtung der Tafeln ist so getroffen, dass alle daraus erhaltenen Werthe das positive Vorzeichen haben.

Die gemessene Höhe des Polarsternes ist vorerst für Instrumentalfehler, für Refraction, und wegen der Depression des Horizontes zu corrigiren, bevor dieselbe in die Rechnung eintritt.

Beispiel: Es sei 1891, März 6, an einem Orte, dessen westliche Länge gegen Greenwich $37^0 = 2^h\,28^m = 2^h.47$ beträgt, um $7^h\,43^m\,35^s$ mittlere Ortszeit die reducirte Höhe des Polarsternes $46^0\,17'\,28''$ gefunden worden; es ist die geographische Breite des Ortes zu ermitteln.

Die Sternzeit θ der Beobachtung ist, wenn θ_0 die Sternzeit im mittleren Greenwicher Mittage ist, gegeben durch

$$\theta = \theta_0 + 2\cdot47 \times 9^s.8565 + 7^h\,43^m\,35^s + \text{Accel. der Sternzeit für } 7^h\,43^m\,35^s \text{ mittl. Zeit.}$$

Man findet pag. 39 für März 6	. . . .	$\theta_0 = 22^h\,55^m\,44^s$
	$2\cdot47 \times 9^s.8565$	$+\,24^s$
	Mittlere Ortszeit	$7^h\,43^m\,35^s$
	(Tafel III, pag. 242) Acceleration . . .	$1^m\,16^s$
	Orts-Sternzeit der Beobachtung . . .	$\theta = 6^h\,40^m\,59^s$

Die Sternzeit ist Argument für die Tafeln II *A*, *B*, *C*, und man hat weiter:

	Höhe des Polarsternes			$46^0\,17'\,28''$
Correction *A*	Tafel II *A*, Argument	$6^h\,40^m\,59^s$	pag. 239	$-\,13'\,32''$
				$46^0\,3'\,56''$
Correction *B*	Tafel II *B*, Verticalargument / Horizontalargument	$6^h\,41^m$ / $46^0\,17'$	pag. 241	$+\,0'\,51''$
Correction *C*	Tafel II *C*, Verticalargument / Horizontalargument, März 6	$6^h\,41^m$	pag. 240	$+\,1'\,18''$
	Geographische Breite des Ortes			$46^0\,6'\,5''$.

Die praktische Benützung der Tafeln II *B* und II *C* zeigt häufig, dass das Intervall, für welches die einzelnen Tafelwerthe gerechnet sind, ein zu grosses ist, wodurch die Interpolation nach zwei Richtungen oft etwas mühsam wird.

Es wird sich deshalb, da diesem Umstande nur durch eine wesentliche Erweiterung der Tafeln abgeholfen werden könnte, in vielen Fällen empfehlen, die Polhöhe direct nach der folgenden Formel zu rechnen, welche den Tafeln II *A*, II *B*, II *C* zu Grunde liegt.

Ist α die Rectascension, δ die Declination des Polarsternes zu der Zeit, für welche seine Höhe h gemessen wurde und t der Stundenwinkel,

welcher dem Momente der Messung entspricht, so ist die geographische Breite φ des Beobachtungsortes durch die Formel

$$\varphi = h - p \cos t + \frac{1}{2} \operatorname{arc} 1'' \, p^2 \sin^2 t \operatorname{tang} h$$

bestimmt, in welcher $p = 90^0 - \delta$ die in Bogensecunden ausgedrückte Poldistanz des Polarsternes bedeutet.

Bei Anwendung dieser Formel auf das eben behandelte Beispiel findet man zunächst für 1891, März 6 auf pag. 226 den Ort von α Ursae minoris gegeben durch $\alpha = 1^h\, 17^m\, 53^s.7$, $\delta = +88^0 43' 47''$, somit $p = 90^0 - \delta = 1^0 16' 13'' = 4573''$; da für die Sternzeit der Beobachtung bereits vorher der Werth $\theta = 6^h\, 40^m\, 59^s$ gefunden wurde, so hat man $t = \theta - \alpha = 5^h\, 23^m\, 5^s = 80^0 46' 15''$ und erhält φ durch folgende einfache Rechnung:

$\log \cos t = 9{\cdot}2053$	$\log \sin t = 9{\cdot}9943$
$\log p = 3{\cdot}6602$	$\log \sin^2 t = 9{\cdot}9886$
$\log p \cos t = 2{\cdot}8655$	$\log p^2 = 7{\cdot}3206$
$-p \cos t = -733''.7$	$\log \operatorname{tang} h = 0{\cdot}0196$
$+\frac{1}{2} \operatorname{arc} 1'' p^2 \sin^2 t \operatorname{tang} h = +51''.7$	$\log \frac{1}{2} \operatorname{arc} 1'' = 4{\cdot}3845$
$-682''.0 = -11' 22''$	$1{\cdot}7133$
$h = 46^0 17' 28''$	
$\varphi = 46^0\ 6'\ 6''.$	

Dieses Resultat stimmt mit dem früher gefundenen bis auf eine Bogensecunde überein, ist aber jedenfalls das genauere, weil die zweimalige Interpolation nach zwei Argumenten selbst grössere Abweichungen erwarten lässt.

Die aus Tafel II *A* und II *C* erhaltenen Werthe geben vereinigt den Werth des Gliedes $-p \cos t$, u. z. derart, dass Tafel II *A* für einen mittleren Ort $\alpha = 1^h\, 19^m$ und $\delta = +88^0 44'$ (also $p = 4560''$) des Polarsternes berechnet ist, während II *C* den Uebergang auf den wahren Ort vermittelt; Tafel II *B* gibt das Glied $+\frac{1}{2} \operatorname{arc} 1'' \, p^2 \sin^2 t \operatorname{tang} h$.

Tafel III, pag. 242, und *Tafel IV, pag. 243,* dienen zur Zeitverwandlung und sind durch unmittelbar am Fusse angesetzte Beispiele zur Genüge erklärt.

Tafel V, pag. 244, gibt mit dem Argumente „Höhe des Auges" (über der Meeresfläche) in Metern die *scheinbare* Depression des Meereshorizontes (Kimmtiefe) in Bogenmaass. Bedeutet h die Augenhöhe in Metern, so ist $d = 106''.36\sqrt{h}$ der Tafelwerth, und nach dieser Relation müsste für einen Werth von h, welcher den Umfang der Tafel überschreitet, gerechnet werden, um die *scheinbare* Depression d in Bogensecunden zu erhalten.

Tafel VI, VII, VIII, pag. 244, 245, 246.

Diese Tafeln geben die Refractions-Correctionen einer beobachteten Höhe, und zwar hat Tafel VI (pag. 244), welche den Hauptbetrag der Refraction, die sogenannte *mittlere Refraction* gibt, als einfaches Argument die gemessene Höhe, die Tafeln VII und VIII haben Doppelargument, und geben beziehungsweise die Correction für *Temperatur* und für *Barometerstand.*

Das Verticalargument für Tafel VII (pag. 245) ist die „Lufttemperatur“ in Celsiusgraden angesetzt, das Horizontalargument die „mittlere Refraction“, und mit diesen beiden Argumenten gibt die Tafel die Temperaturs-Correction in Bogensecunden.

Das Verticalargument für Tafel VIII (pag. 246) ist der „Barometerstand“ in Millimetern ausgedrückt, das Horizontalargument ist die Summe „Mittlere Refraction + Temperaturs-Correction“; die Tafelwerthe sind gleichfalls in Bogensecunden angesetzt. Werden zu der (aus Tafel VI erhaltenen) *mittleren Refraction* die Correctionen aus Tafel VII und VIII mit ihren entsprechenden Vorzeichen zugelegt, so erhält man den *wahren* Betrag der Refraction; dieser ist von der gemessenen Höhe zu *subtrahiren*, um die wahre Höhe zu erhalten.

Beispiel: Es sei bei + 19° Celsius und bei 762mm Barometerstand die Höhe eines Gestirnes 7° 45′ 12″ gefunden worden; welches ist die *wahre Höhe?*

Mit dem Argumente:	7° 45′ 12″	gibt Tafel VI die mittlere Refraction . .	6′ 41″
Mit den Argumenten:	+ 19° Verticalargument 6′ 41″ Horizontalargument	gibt Tafel VII die Temperatur-Correction .	— 15″
Mit den Argumenten:	762mm Verticalargument 6′ 26″ Mittlere Refraction + Temperatur-Correction	gibt Tafel VIII die Barometer-Correction .	+ 5″
		Refaction	6′ 31″
		gemessene Höhe	7° 45′ 12″
		wahre Höhe	7° 38′ 41″.

Tafel IX, pag. 247. Die Einrichtung dieser zur Verwandlung der Thermometer- und Barometer-Scalen gegebenen Tafel ist an und für sich verständlich und bedarf keiner näheren Erklärung.

Tafel X, pag. 247 und XII, pag. 248. Ihrem Inhalte nach sind diese beiden Tafeln zusammengehörig und hier nur wegen Raumersparniss getrennt worden; Tafel X gibt die *Höhenparallaxe der Sonne* mit den Argumenten: „Höhe der Sonne“ und „Monat“, Tafel XII dagegen die *Höhenparallaxe der Planeten* mit den Argumenten: „Höhe“ und „Horizontal-Parallaxe“ irgend eines Planeten.

Tafel XI, XIII, XIV. Correction eines Sonnen- oder Mond-Halbmessers wegen Refraction.

Durch die Refraction, deren Betrag mit zunehmender Höhe abnimmt und deren Wirkung sich in einer scheinbaren Hebung der Objecte äussert, wird der *untere* Rand der Sonne und des Mondes mehr beeinflusst (gehoben), als der Mittelpunkt, und der Mittelpunkt mehr, als der *obere* Rand. Die Folge davon ist eine *scheinbare* Verkürzung oder Contraction des *verticalen* Durchmessers dieser Gestirne in der Art, dass der *untere* Halbmesser stärker contrahirt ist, als der *obere*, während der *horizontale* Durchmesser unverändert bleibt; ein schräg genommener Durchmesser wird durch die Contractionserscheinung ebenfalls beeinflusst, und zwar um so stärker, je mehr seine Lage von der horizontalen abweicht. Die kreisrunden Scheiben von Sonne und Mond nehmen auf diese Art scheinbar die Gestalt einer Ellipse an, deren untere Hälfte stärker excentrisch ist.

Wenn nun die Höhe eines dieser beiden Gestirne oder eine Distanz von einem anderen Gestirne in die Rechnung eingeführt werden soll, so wird stets die Mittelpunktshöhe oder die Mittelpunktsdistanz gemeint; da die Beobachtung sich aber stets auf einen Mond- oder Sonnen-*Rand* bezieht, so muss die Mittelpunktshöhe oder Mittelpunktsdistanz unter Benützung des *scheinbaren* Halbmessers erst berechnet werden, wenn nicht eine Beobachtung an beiden Rändern den Halbmesser zu eliminiren erlaubt. Die Ephemeriden geben fortlaufend den *wahren* geocentrisch gesehenen Halbmesser, von welchem nun mittelst der Tafeln XI, XIII, XIV auf den *scheinbaren* Halbmesser übergegangen werden muss.

Speciell gibt: *Tafel XI, pag. 248*, für Höhen-Reductionen die Grösse der *Verkürzung* eines *verticalen* Halbmessers mit den Argumenten: „(Geocentrischer) Halbmesser“ und „Scheinbare Höhe des Randes“, und zwar in zwei Abtheilungen, je nachdem der Halbmesser vom Mittelpunkte aus gegen den *unteren* oder gegen den *oberen* Rand hin gerichtet ist. Die aus der Tafel erhaltenen Correctionen sind an den geocentrischen Halbmesser *subtractiv* anzubringen, um den *scheinbaren* Halbmesser zu erhalten.

Tafel XIII, pag. 249, gibt für Distanz-Reductionen die *Verkürzung* eines Halbmessers in schräger Richtung und zwar für einen Mittelwerth von 15′ 40″ des Halbmessers. Argumente der Tafel sind „Scheinbare Höhe des Mittelpunktes“ und „Winkel mit dem Verticalkreise“; letzterer Winkel ist der Winkel, welchen der Bogen vom Zenith zum Sonnen- oder Mondmittelpunkte mit der Distanz bildet und wird von 0° bis 180°

gezählt. Handelt es sich um eine Distanz: Mond—Sonne, so sind beide Halbmesser nach Tafel XIII zu corrigiren; auch die aus Tafel XIII erhaltenen Correctionen sind stets *negativ* an den geocentrischen Halbmesser anzubringen. Der Anblick der Tafel zeigt übrigens, dass man den Winkel zwischen Verticalkreis und Distanz nur näherungsweise zu kennen braucht, besonders da Beobachtungen in sehr kleinen Höhen aus anderen Gründen vermieden werden müssen.

Tafel XIV, pag. 249, endlich gibt diejenigen kleinen Correctionen, welche aus dem Unterschiede zwischen dem für Tafel XIII angenommenen mittleren Halbmesser von 15′ 40″ und dem wahren Halbmesser resultiren; Argumente der Tafel sind „(geocentrischer) Halbmesser“ und „Werthe, aus Tafel XIII erhalten“.

Tafel XV und XVI, pag. 250. Berechnung der Höhenparallaxe des Mondes mit Rücksicht auf die Abplattung der Erde.

Für die Berechnung der Höhenparallaxe p des Mondes aus seiner Horizontalparallaxe π (in den Ephemeriden von 12 zu 12 Stunden gegeben) und seiner scheinbaren Höhe H kann man sich wegen der grossen Nähe dieses Himmelskörpers nicht der einfachen Formel

$$p = \pi \cos H$$

bedienen, sondern muss Rücksicht auf die Abplattung der Erde nehmen.

Ist e die Excentricität des Erdsphäroides, und wird an einem Orte, dessen Polhöhe (geographische Breite) φ ist, der Mond in einem Azimuthe A und in einer Höhe H (von Refraction befreit) beobachtet, so ist seine genaue Höhenparallaxe p für diesen Ort durch die Formel

$$p = (\pi - \frac{1}{2}\pi\, e^2 \sin^2\varphi) \cos\, (H + \frac{1}{2}\, e^2 \sin 2\varphi\, \cos A)$$

gegeben, und die Berechnung dieser Formel wird durch die Tafeln XV und XVI vereinfacht; es gibt nämlich Tafel XV mit den Argumenten A und φ, nämlich „Azimuth des Mondes“ und „Polhöhe des Beobachtungsortes“ den Werth von

$$d\,H = + \frac{1}{2}\, e^2 \sin 2\varphi\, \cos A \text{ (in Bogenminuten)}$$

und Tafel XVI mit den Argumenten π und φ, nämlich „Horizontalparallaxe des Mondes“ und „Polhöhe des Beobachtungsortes“ den Werth von

$$d\pi = -\frac{1}{2}\pi\, e^2 \sin^2\varphi \text{ (in Bogensecunden),}$$

so dass genau

$$p = (\pi + d\pi) \cos\, (H + d\,H)$$

wird. Das Azimuth des Mondes ist hier bei ***nördlicher*** Breite (φ) der Bogen zwischen dem Südpunkte und dem Verticalkreise, bei ***südlicher*** Breite der Bogen zwischen dem Nordpunkte und dem Verticalkreise des Mondes.

Tafel XVII, pag. 250, dient zur Berücksichtigung einer anderen parallaktischen Wirkung, nämlich der scheinbaren Vergrösserung des Mondhalbmessers, hervorgerufen dadurch, dass der Mond dem Beobachter, über dessen Horizonte er sich befindet, näher ist, als dem Erdmittelpunkte, für welchen letzteren die der Ephemeride entlehnten Mondhalbmesser gelten. Der numerische Betrag dr der Vergrösserung nimmt mit der Höhe H des Mondes zu und hat, in Bogensecunden ausgedrückt, den Werth

$$dr = \frac{r^2}{0{\cdot}27296} \operatorname{arc} 1'' \sin H = [5{\cdot}2495]\, r^2 \sin H$$

für einen in Bogensecunden ausgedrückten geocentrischen Halbmesser r; die Zahl 0·27296 ist dieselbe Constante, die bei den Sternbedeckungen mit k bezeichnet wurde, die eingeklammerte Zahl ist logarithmisch angesetzt.

Die Correctionswerthe dr, welche aus Tafel XVII mit den beiden Argumenten r und H, nämlich „(geocentrischer) Mondhalbmesser“ und „Höhe des Mondes“ entnommen werden, sind stets *additiv* an den geocentrischen Radius anzubringen, um den *scheinbaren* Radius zur Correction einer gemessenen Randhöhe oder Randdistanz des Mondes zu erhalten.

Tafel XVIII und XIX, pag. 251. Wenn auf die Abplattung der Erde Rücksicht genommen wird, so muss eine gemessene Monddistanz auch wegen der seitlichen Parallaxe corrigirt werden. Der Betrag dieser Correction dD ist

$$dD = \pm \frac{1}{2} e^2 \pi \sin 2\varphi \sin A \sin \omega,$$

wobei π ein constanter mittlerer Werth der Horizontalparallaxe des Mondes, A dessen Azimuth, und ω der Winkel zwischen der Distanz und dem Verticalkreise des Mondes ist.

Es gibt nun:

Tafel XVIII mit dem Doppelargumente A und φ, nämlich „Azimuth des Mondes“ und „Polhöhe des Beobachtungsortes“ als „Seitenparallaxe“ zunächst die Grösse

$$\sigma = \frac{1}{2} e^2 \pi \sin 2\varphi \sin A,$$

und dann *Tafel XIX* mit dem Doppelargumente σ und ω, nämlich „Seitenparallaxe“ und „Winkel mit dem Verticalkreise“ die Distanzcorrection

$$dD = \sigma \sin \omega.$$

Das Vorzeichen der erhaltenen Correction wird durch die Bemerkungen am Fusse der Tafel XIX entschieden.

Als Anhang zu dem Jahrbuche ist zunächst auf den beiden Seiten 252, 253 ein Verzeichniss von Sternwarten unter Beifügung der genauen geographischen Positionen derselben gegeben; die in der Columne „Länge gegen Greenw.“ beigesetzten Buchstaben *O* und *W* geben die Lage des betreffenden Ortes („Ost“ oder „West“ von Greenwich) an; von den beiden letzten Columnen ist die mit „Reduction der Ortszeit auf Greenwicher Zeit“ überschriebene durch diese Ueberschrift selbst erklärt, die letztere Columne gibt die zur „Sternzeit im mittleren Greenwicher Mittage“ eines Datums zuzufügende Correction, um Sternzeit im mittleren Mittage des betreffenden Ortes zu erhalten.

Pag. 254 gibt in Intervallen von 10 zu 10 Tagen eine Reihe von Grössen, welche speciell astronomisches Interesse haben und in Folgendem kurz definirt werden:

Die *Horizontalparallaxe der Sonne* ist der Winkel, unter welchem vom Sonnenmittelpunkte aus der Aequatorshalbmesser der Erde erscheint.

Die *Aberration der Sonne* ist die Differenz: „Wahre Länge — scheinbare Länge“ der Sonne.*)

Die „*Präcession* in Länge“ gibt den Betrag der retrograden Bewegung des Frühlingspunktes (des Anfangspunktes der Zählung der Rectascensionen und Längen) auf der Ekliptik.

---

*) Ein in der *theoretischen* Astronomie vielfach benützte System sphärischer Coordinaten ist das System der *Längen* und *Breiten*, welches die Ekliptik zur Grundebene hat. Ein grösster Kreis durch die Pole der Ekliptik und ein Gestirn ist der *Breitenkreis* desselben, und der Bogen des Breitenkreises zwischen dem Durchschnitte mit der Ekliptik und dem Gestirne ist dessen *Breite;* die *Länge* ist der Bogen der Ekliptik vom Frühlingspunkte bis zum Breitenkreise und wird in demselben Sinne wie die Rectascension von 0° bis 360° gezählt; am einfachsten ist die Relation zwischen der Rectascension α und der Länge λ eines Gestirnes, wenn sich dasselbe (wie z. B. die Sonne) in der Ekliptik befindet; die Relation ist dann:

$$\tan \alpha = \tan \lambda \cos \varepsilon,$$

wenn ε die Schiefe der Ekliptik bezeichnet.

Die *Nutation* ist der Unterschied zwischen dem *wahren* und dem *mittleren* Orte des Frühlingspunktes, und zwar im Sinne: „Wahrer Ort — mittlerer Ort“ für die *Längenzählung* in Bogenmaass, für die *Rectascensionszählung* in Zeitmaass angesetzt.

Die *scheinbare* Schiefe der Ekliptik ist für jeden Augenblick die wahre Neigung des Aequators gegen die Ekliptik. Die Differenz: „Scheinbare Schiefe — mittlere Schiefe“, ist die *Nutation in Schiefe*.

Die letzte Columne der Seite: „*Mittlere Länge des aufsteigenden Knotens der Mondbahn*“, gibt die Veränderungen in der Lage der Durchschnittslinie der Mondbahnebene mit der Ebene der Ekliptik.

Die Seiten 255 und 256 bedürfen keiner Erklärung.

NAUTISCHES JAHRBUCH

für das Jahr

1891.

Tag im Jahre	Wochentag und Datum		Mittlerer Greenwicher Mittag. Sonne. Rectascension	Stdl. Aend.	Declination — Süd	Stündl. Aenderung	Halbmesser	Zeitgleichung + Zur wahren Zeit zu addiren	Stündl. Aenderung	Declination der Sonne im wahren Greenwicher Mittage
			h m s	s	° ′ ″	″	′ ″	m s	s	° ′ ″
1	Donner.	1	18 47 8·7	11·04	—23 0 41	+12·4	16 18	+ 3 44·8	+1·18	—23 0 40
2	Freitag	2	18 51 33·5	11·03	—22 55 29	+13·6	16 18	+ 4 12·9	+1·17	—22 55 28
3	Samstag	3	18 55 57·9	11·01	—22 49 50	+14·7	16 18	+ 4 40·8	+1·15	—22 49 48
4	Sonntag	4	19 0 21·9	10·99	—22 43 43	+15·9	16 18	+ 5 8·3	+1·14	—22 43 41
5	Montag	5	19 4 45·6	10·98	—22 37 9	+17·0	16 18	+ 5 35·4	+1·12	—22 37 7
6	Dienst.	6	19 9 8·8	10·96	—22 30 8	+18·1	16 18	+ 6 2·0	+1·10	—22 30 7
7	Mittw.	7	19 13 31·6	10·94	—22 22 41	+19·2	16 18	+ 6 28·2	+1·08	—22 22 39
8	Donner.	8	19 17 53·8	10·92	—22 14 47	+20·3	16 18	+ 6 54·0	+1·06	—22 14 45
9	Freitag	9	19 22 15·6	10·90	—22 6 27	+21·4	16 18	+ 7 19·2	+1·04	—22 6 25
10	Samstag	10	19 26 36·9	10·88	—21 57 41	+22·5	16 18	+ 7 43·9	+1·02	—21 57 39
11	Sonntag	11	19 30 57·5	10·85	—21 48 30	+23·5	16 18	+ 8 8·0	+0·99	—21 48 27
12	Montag	12	19 35 17·6	10·83	—21 38 53	+24·6	16 18	+ 8 31·5	+0·96	—21 38 49
13	Dienst.	13	19 39 37·0	10·80	—21 28 50	+25·6	16 18	+ 8 54·3	+0·94	—21 28 47
14	Mittw.	14	19 43 55·8	10·77	—21 18 23	+26·7	16 18	+ 9 16·6	+0·91	—21 18 19
15	Donner.	15	19 48 13·9	10·74	—21 7 31	+27·7	16 18	+ 9 38·1	+0·88	—21 7 27
16	Freitag	16	19 52 31·3	10·71	—20 56 15	+28·7	16 18	+ 9 58·9	+0·85	—20 56 11
17	Samstag	17	19 56 48·0	10·68	—20 44 35	+29·7	16 18	+10 19·0	+0·82	—20 44 30
18	Sonntag	18	20 1 3·9	10·65	—20 32 32	+30·6	16 18	+10 38·4	+0·79	—20 32 26
19	Montag	19	20 5 19·1	10·62	—20 20 5	+31·6	16 17	+10 57·1	+0·76	—20 19 59
20	Dienst.	20	20 9 33·5	10·58	—20 7 15	+32·5	16 17	+11 15·0	+0·73	—20 7 9
21	Mittw.	21	20 13 47·2	10·55	—19 54 3	+33·5	16 17	+11 32·1	+0·70	—19 53 57
22	Donner.	22	20 18 0·1	10·52	—19 40 29	+34·4	16 17	+11 48·4	+0·67	—19 40 22
23	Freitag	23	20 22 12·2	10·49	—19 26 33	+35·3	16 17	+12 4·0	+0·63	—19 26 25
24	Samstag	24	20 26 23·6	10·46	—19 12 15	+36·2	16 17	+12 18·8	+0·60	—19 12 7
25	Sonntag	25	20 30 34·1	10·42	—18 57 36	+37·0	16 17	+12 32·7	+0·57	—18 57 28
26	Montag	26	20 34 43·8	10·39	—18 42 37	+37·9	16 17	+12 45·9	+0·53	—18 42 28
27	Dienst.	27	20 38 52·8	10·35	—18 27 17	+38·8	16 17	+12 58·3	+0·50	—18 27 8
28	Mittw.	28	20 43 0·9	10·32	—18 11 37	+39·6	16 17	+13 9·8	+0·47	—18 11 28
29	Donner.	29	20 47 8·2	10·29	—17 55 37	+40·4	16 16	+13 20·6	+0·43	—17 55 28
30	Freitag	30	20 51 14·7	10·25	—17 39 18	+41·2	16 16	+13 30·5	+0·40	—17 39 9
31	Samstag	31	20 55 20·4	10·22	—17 22 41	+42·0	16 16	+13 39·7	+0·36	—17 22 31
32	Sonntag	F. 1	20 59 25·3	10·19	—17 5 45	+42·7	16 16	+13 48·0	+0·33	—17 5 35

Wochentag und	Datum	Sternzeit im mittleren Greenwich. Mittage	Mittlere Greenwicher Zeit. Mond. Obere Culmination	Stündliche Verzögerung	Halbmesser Mittag	Halbmesser Mitternacht	Horizontal-Parallaxe Mittag	Stündl. Aenderung	Horizontal-Parallaxe Mitternacht	Stündl. Aenderung	Alter Mittag
		h m s	h m	m	′ ″	′ ″	′ ″	″	′ ″	″	d
Donner.	1	18 43 24·0	17 15·4	1·70	14 48	14 50	54 14	+0·6	54 22	+0·8	20·4
Freitag	2	18 47 20·5	17 56·2	1·73	14 53	14 57	54 33	+1·0	54 46	+1·2	21·4
Samstag	3	18 51 17·1	18 37·8	1·78	15 1	15 6	55 1	+1·4	55 20	+1·6	22·4
Sonntag	4	18 55 13·7	19 21·5	1·89	15 12	15 18	55 40	+1·8	56 3	+2·0	23·4
Montag	5	18 59 10·2	20 8·5	2·05	15 24	15 31	56 27	+2·1	56 53	+2·2	24·4
Dienst.	6	19 3 6·8	20 59·9	2·25	15 39	15 47	57 20	+2·3	57 48	+2·3	25·4
Mittw.	7	19 7 3·3	21 56·3	2·45	15 54	16 2	58 16	+2·3	58 43	+2·2	26·4
Donner.	8	19 10 59·9	22 57·3	2·60	16 9	16 16	59 10	+2·1	59 34	+1·9	27·4
Freitag	9	19 14 56·4	*		16 22	16 27	59 56	+1·7	60 15	+1·4	28·4
Samstag	10	19 18 53·0	0 1·1	2·66	16 31	16 34	60 31	+1·1	60 43	+0·8	29·4
Sonntag	11	19 22 49·6	1 4·9	2·61	16 36	16 37	60 50	+0·4	60 52	0·0	0·9
Montag	12	19 26 46·1	2 6·2	2·47	16 37	16 35	60 51	−0·3	60 45	−0·6	1·9
Dienst.	13	19 30 42·7	3 3·5	2·30	16 32	16 29	60 36	−0·9	60 23	−1·2	2·9
Mittw.	14	19 34 39·2	3 56·8	2·15	16 25	16 20	60 7	−1·4	59 49	−1·6	3·9
Donner.	15	19 38 35·8	4 47·1	2·05	16 14	16 8	59 29	−1·7	59 7	−1·8	4·9
Freitag	16	19 42 32·4	5 35·4	2·00	16 2	15 56	58 45	−1·8	58 23	−1·8	5·9
Samstag	17	19 46 28·9	6 23·0	1·99	15 50	15 44	58 1	−1·8	57 39	−1·8	6·9
Sonntag	18	19 50 25·5	7 11·0	2·02	15 38	15 33	57 18	−1·7	56 58	−1·6	7·9
Montag	19	19 54 22·0	8 0·1	2·08	15 28	15 23	56 39	−1·5	56 21	−1·5	8·9
Dienst.	20	19 58 18·6	8 50·7	2·13	15 18	15 14	56 4	−1·4	55 48	−1·3	9·9
Mittw.	21	20 2 15·1	9 42·5	2·17	15 10	15 6	55 33	−1·2	55 19	−1·1	10·9
Donner.	22	20 6 11·7	10 34·8	2·16	15 2	14 59	55 6	−1·0	54 55	−0·9	11·9
Freitag	23	20 10 8·3	11 26·4	2·11	14 56	14 54	54 44	−0·8	54 34	−0·8	12·9
Samstag	24	20 14 4·8	12 16·3	2·03	14 51	14 49	54 26	−0·7	54 18	−0·6	13·9
Sonntag	25	20 18 1·4	13 3·8	1·93	14 48	14 46	54 12	−0·5	54 7	−0·4	14·9
Montag	26	20 21 57·9	13 48·8	1·83	14 45	14 44	54 3	−0·3	54 0	−0·2	15·9
Dienst.	27	20 25 54·5	14 31·6	1·75	14 44	14 44	53 59	0·0	53 59	+0·1	16·9
Mittw.	28	20 29 51·0	15 12·8	1·70	14 45	14 46	54 1	+0·2	54 5	+0·4	17·9
Donner.	29	20 33 47·6	15 53·1	1·69	14 47	14 49	54 11	+0·6	54 18	+0·7	18·9
Freitag	30	20 37 44·1	16 33·7	1·72	14 52	14 55	54 28	+0·9	54 41	+1·1	19·9
Samstag	31	20 41 40·7	17 15·5	1·79	14 59	15 4	54 55	+1·3	55 12	+1·5	20·9
Sonntag	F. 1	20 45 37·3	17 59·7	1·92	15 9	15 15	55 31	+1·7	55 52	+1·9	21·9

*

Rectascension und Declination des Mondes.

Mittlere Green. Zeit	Rectascension	Aenderung in 10m	Declination + Nord − Süd	Aenderung in 10m	Mittlere Green. Zeit	Rectascension	Aenderung in 10m	Declination − Süd	Aenderung in 10m
	Donnerstag 1.					Samstag 3.			
h	h m s	s	° ′ ″	″	h	h m s	s	° ′ ″	″
0	11 30 17·3	18·28	+ 8 52 22	− 119·6	0	12 57 32·4	18·34	− 1 12 54	− 130·1
1	11 32 7·0	18·26	+ 8 40 23	− 120·0	1	12 59 22·5	18·36	− 1 25 55	− 130·2
2	11 33 56·5	18·25	+ 8 28 21	− 120·4	2	13 1 12·8	18·38	− 1 38 56	− 130·2
3	11 35 46·0	18·24	+ 8 16 18	− 120·7	3	13 3 3·1	18·40	− 1 51 58	− 130·3
4	11 37 35·4	18·22	+ 8 4 13	− 121·1	4	13 4 53·6	18·42	− 2 5 0	− 130·3
5	11 39 24·7	18·21	+ 7 52 5	− 121·4	5	13 6 44·2	18·45	− 2 18 2	− 130·4
6	11 41 13·9	18·20	+ 7 39 56	− 121·7	6	13 8 35·0	18·47	− 2 31 4	− 130·4
7	11 43 3·1	18·19	+ 7 27 44	− 122·1	7	13 10 25·9	18·49	− 2 44 7	− 130·4
8	11 44 52·2	18·18	+ 7 15 31	− 122·4	8	13 12 16·9	18·52	− 2 57 9	− 130·4
9	11 46 41·2	18·17	+ 7 3 15	− 122·7	9	13 14 8·1	18·54	− 3 10 12	− 130·4
10	11 48 30·2	18·16	+ 6 50 58	− 123·0	10	13 15 59·4	18·57	− 3 23 14	− 130·4
11	11 50 19·2	18·15	+ 6 38 39	− 123·3	11	13 17 50·9	18·59	− 3 36 17	− 130·4
12	11 52 8·1	18·15	+ 6 26 18	− 123·6	12	13 19 42·6	18·62	− 3 49 19	− 130·4
13	11 53 57·0	18·14	+ 6 13 56	− 123·9	13	13 21 34·4	18·65	− 4 2 22	− 130·4
14	11 55 45·8	18·13	+ 6 1 32	− 124·2	14	13 23 26·4	18·68	− 4 15 24	− 130·3
15	11 57 34·5	18·13	+ 5 49 6	− 124·5	15	13 25 18·5	18·71	− 4 28 25	− 130·3
16	11 59 23·3	18·12	+ 5 36 38	− 124·7	16	13 27 10·9	18·74	− 4 41 27	− 130·2
17	12 1 12·0	18·12	+ 5 24 9	− 125·0	17	13 29 3·4	18·77	− 4 54 28	− 130·2
18	12 3 0·7	18·12	+ 5 11 38	− 125·2	18	13 30 56·2	18·80	− 5 7 29	− 130·1
19	12 4 49·4	18·11	+ 4 59 5	− 125·5	19	13 32 49·1	18·84	− 5 20 30	− 130·0
20	12 6 38·1	18·11	+ 4 46 31	− 125·8	20	13 34 42·2	18·87	− 5 33 30	− 130·0
21	12 8 26·8	18·11	+ 4 33 56	− 126·0	21	13 36 35·5	18·90	− 5 46 29	− 129·9
22	12 10 15·4	18·11	+ 4 21 19	− 126·2	22	13 38 29·1	18·94	− 5 59 28	− 129·8
23	12 12 4·1	18·11	+ 4 8 41	− 126·5	23	13 40 22·8	18·98	− 6 12 27	− 129·7
	Freitag 2.					Sonntag 4.			
0	12 13 52·7	18·11	+ 3 56 2	− 126·7	0	13 42 16·8	19·01	− 6 25 24	− 129·6
1	12 15 41·4	18·11	+ 3 43 21	− 126·9	1	13 44 11·0	19·05	− 6 38 21	− 129·4
2	12 17 30·1	18·11	+ 3 30 39	− 127·1	2	13 46 5·4	19·09	− 6 51 18	− 129·3
3	12 19 18·8	18·12	+ 3 17 56	− 127·3	3	13 48 0·0	19·13	− 7 4 13	− 129·1
4	12 21 7·5	18·12	+ 3 5 11	− 127·5	4	13 49 54·9	19·17	− 7 17 7	− 129·0
5	12 22 56·2	18·12	+ 2 52 25	− 127·7	5	13 51 50·0	19·21	− 7 30 1	− 128·8
6	12 24 45·0	18·13	+ 2 39 39	− 127·9	6	13 53 45·4	19·25	− 7 42 54	− 128·7
7	12 26 33·8	18·14	+ 2 26 51	− 128·1	7	13 55 41·1	19·29	− 7 55 45	− 128·5
8	12 28 22·6	18·14	+ 2 14 2	− 128·2	8	13 57 37·0	19·34	− 8 8 36	− 128·3
9	12 30 11·5	18·15	+ 2 1 12	− 128·4	9	13 59 33·1	19·38	− 8 21 25	− 128·1
10	12 32 0·4	18·16	+ 1 48 21	− 128·5	10	14 1 29·5	19·43	− 8 34 13	− 127·9
11	12 33 49·4	18·16	+ 1 35 29	− 128·7	11	14 3 26·2	19·47	− 8 47 0	− 127·7
12	12 35 38·4	18·17	+ 1 22 36	− 128·9	12	14 5 23·2	19·52	− 8 59 45	− 127·5
13	12 37 27·5	18·18	+ 1 9 42	− 129·0	13	14 7 20·4	19·56	− 9 12 29	− 127·2
14	12 39 16·6	18·20	+ 0 56 48	− 129·1	14	14 9 17·9	19·61	− 9 25 12	− 127·0
15	12 41 5·8	18·21	+ 0 43 52	− 129·3	15	14 11 15·8	19·66	− 9 37 53	− 126·7
16	12 42 55·1	18·22	+ 0 30 56	− 129·4	16	14 13 13·9	19·71	− 9 50 33	− 126·5
17	12 44 44·5	18·23	+ 0 18 0	− 129·5	17	14 15 12·3	19·76	− 10 3 11	− 126·2
18	12 46 33·9	18·25	+ 0 5 2	− 129·6	18	14 17 11·0	19·81	− 10 15 47	− 125·9
19	12 48 23·4	18·26	− 0 7 56	− 129·7	19	14 19 10·0	19·86	− 10 28 21	− 125·6
20	12 50 13·0	18·28	− 0 20 55	− 129·8	20	14 21 9·4	19·92	− 10 40 54	− 125·3
21	12 52 2·7	18·29	− 0 33 54	− 129·9	21	14 23 9·0	19·97	− 10 53 25	− 125·0
22	12 53 52·5	18·31	− 0 46 53	− 130·0	22	14 25 9·0	20·02	− 11 5 54	− 124·6
23	12 55 42·4	18·33	− 0 59 54	− 130·1	23	14 27 9·3	20·08	− 11 18 21	− 124·3
24	12 57 32·4	18·34	− 1 12 54	− 130·1	24	14 29 9·9	20·13	− 11 30 46	− 124·0

Rectascension und Declination des Mondes.

Mittlere Green. Zeit	Rectascension			Aenderung in 10ᵐ	Declination — Süd			Aenderung in 10ᵐ	Mittlere Green. Zeit	Rectascension			Aenderung in 10ᵐ	Declination — Süd			Aenderung in 10ᵐ
				Montag 5.									**Mittwoch 7.**				
h	h	m	s	s	°	′	″	″	h	h	m	s	s	°	′	″	″
0	14	29	9·9	20·13	— 11	30	46	– 124·0	0	16	13	27·2	23·51	— 20	20	38	– 91·2
1	14	31	10·9	20·19	— 11	43	8	– 123·6	1	16	15	48·5	23·59	— 20	29	42	– 90·2
2	14	33	12·2	20·25	— 11	55	28	– 123·2	2	16	18	10·3	23·67	— 20	38	40	– 89·1
3	14	35	13·9	20·30	— 12	7	47	– 122·8	3	16	20	32·6	23·75	— 20	47	31	– 88·0
4	14	37	15·9	20·36	— 12	20	3	– 122·4	4	16	22	55·3	23·83	— 20	56	16	– 86·9
5	14	39	18·2	20·42	— 12	32	16	– 122·0	5	16	25	18·6	23·91	— 21	4	54	– 85·8
6	14	41	20·9	20·48	— 12	44	27	– 121·6	6	16	27	42·3	23·99	— 21	13	25	– 84·6
7	14	43	24·0	20·54	— 12	56	35	– 121·2	7	16	30	6·5	24·07	— 21	21	49	– 83·4
8	14	45	27·4	20·60	— 13	8	41	– 120·7	8	16	32	31·1	24·15	— 21	30	6	– 82·3
9	14	47	31·3	20·67	— 13	20	44	– 120·3	9	16	34	56·3	24·23	— 21	38	16	– 81·1
10	14	49	35·4	20·73	— 13	32	44	– 119·8	10	16	37	21·9	24·31	— 21	46	19	– 79·8
11	14	51	40·0	20·79	— 13	44	42	– 119·3	11	16	39	47·9	24·38	— 21	54	14	– 78·6
12	14	53	44·9	20·86	— 13	56	36	– 118·8	12	16	42	14·5	24·46	— 22	2	2	– 77·3
13	14	55	50·3	20·92	— 14	8	27	– 118·3	13	16	44	41·5	24·54	— 22	9	43	– 76·1
14	14	57	56·0	20·99	— 14	20	15	– 117·8	14	16	47	9·0	24·62	— 22	17	15	– 74·8
15	15	0	2·1	21·05	— 14	32	0	– 117·2	15	16	49	36·9	24·69	— 22	24	40	– 73·5
16	15	2	8·6	21·12	— 14	43	42	– 116·7	16	16	52	5·3	24·77	— 22	31	57	– 72·2
17	15	4	15·6	21·19	— 14	55	21	– 116·1	17	16	54	34·1	24·85	— 22	39	6	– 70·8
18	15	6	22·9	21·26	— 15	6	56	– 115·5	18	16	57	3·4	24·92	— 22	46	7	– 69·5
19	15	8	30·6	21·32	— 15	18	27	– 114·9	19	16	59	33·2	25·00	— 22	53	0	– 68·1
20	15	10	38·8	21·39	— 15	29	55	– 114·3	20	17	2	3·4	25·07	— 22	59	45	– 66·7
21	15	12	47·4	21·46	— 15	41	19	– 113·7	21	17	4	34·0	25·14	— 23	6	21	– 65·3
22	15	14	56·4	21·53	— 15	52	40	– 113·1	22	17	7	5·1	25·22	— 23	12	49	– 63·9
23	15	17	5·8	21·61	— 16	3	57	– 112·4	23	17	9	36·6	25·29	— 23	19	8	– 62·5
				Dienstag 6.									**Donnerstag 8.**				
0	15	19	15·6	21·68	— 16	15	9	– 111·8	0	17	12	8·6	25·36	— 23	25	18	– 61·0
1	15	21	25·9	21·75	— 16	26	18	– 111·1	1	17	14	41·0	25·43	— 23	31	20	– 59·6
2	15	23	36·6	21·82	— 16	37	23	– 110·4	2	17	17	13·8	25·50	— 23	37	13	– 58·1
3	15	25	47·7	21·89	— 16	48	23	– 109·7	3	17	19	47·0	25·57	— 23	42	57	– 56·6
4	15	27	59·3	21·97	— 16	59	19	– 109·0	4	17	22	20·6	25·64	— 23	48	32	– 55·1
5	15	30	11·4	22·04	— 17	10	11	– 108·2	5	17	24	54·6	25·71	— 23	53	58	– 53·5
6	15	32	23·8	22·12	— 17	20	58	– 107·5	6	17	27	29·1	25·77	— 23	59	14	– 52·0
7	15	34	36·8	22·19	— 17	31	41	– 106·7	7	17	30	3·9	25·84	— 24	4	21	– 50·4
8	15	36	50·1	22·27	— 17	42	19	– 106·0	8	17	32	39·1	25·90	— 24	9	19	– 48·8
9	15	39	4·0	22·34	— 17	52	52	– 105·2	9	17	35	14·7	25·96	— 24	14	7	– 47·2
10	15	41	18·3	22·42	— 18	3	21	– 104·3	10	17	37	50·7	26·03	— 24	18	46	– 45·6
11	15	43	33·0	22·49	— 18	13	44	– 103·5	11	17	40	27·1	26·09	— 24	23	15	– 44·0
12	15	45	48·2	22·57	— 18	24	3	– 102·7	12	17	43	3·8	26·15	— 24	27	34	– 42·4
13	15	48	3·9	22·65	— 18	34	17	– 101·8	13	17	45	40·9	26·21	— 24	31	44	– 40·7
14	15	50	20·0	22·73	— 18	44	25	– 100·9	14	17	48	18·3	26·26	— 24	35	43	– 39·1
15	15	52	36·6	22·80	— 18	54	28	– 100·0	15	17	50	56·0	26·32	— 24	39	33	– 37·4
16	15	54	53·7	22·88	— 19	4	25	– 99·1	16	17	53	34·1	26·38	— 24	43	12	– 35·7
17	15	57	11·2	22·96	— 19	14	17	– 98·2	17	17	56	12·6	26·43	— 24	46	41	– 34·0
18	15	59	29·2	23·04	— 19	24	3	– 97·2	18	17	58	51·3	26·48	— 24	50	0	– 32·3
19	16	1	47·7	23·12	— 19	33	44	– 96·3	19	18	1	30·3	26·53	— 24	53	9	– 30·6
20	16	4	6·6	23·20	— 19	43	19	– 95·3	20	18	4	9·7	26·58	— 24	56	7	– 28·8
21	16	6	26·0	23·28	— 19	52	48	– 94·3	21	18	6	49·4	26·63	— 24	58	55	– 27·1
22	16	8	45·9	23·36	— 20	2	11	– 93·3	22	18	9	29·3	26·68	— 25	1	33	– 25·3
23	16	11	6·3	23·43	— 20	11	28	– 92·3	23	18	12	9·5	26·72	— 25	4	0	– 24·6
24	16	13	27·2	23·51	— 20	20	38	– 91·2	24	18	14	49·9	26·77	— 25	6	16	– 21·8

Rectascension und Declination des Mondes.

Freitag 9.

Mittlere Green. Zeit h	Rectascension h	m	s	Aenderung in 10m s	Declination — Süd °	′	″	Aenderung in 10m ″
0	18	14	49·9	26·77	−25	6	16	−21·8
1	18	17	30·7	26·81	−25	8	21	−20·0
2	18	20	11·6	26·85	−25	10	16	−18·2
3	18	22	52·8	26·89	−25	12	0	−16·4
4	18	25	34·3	26·92	−25	13	33	−14·6
5	18	28	15·9	26·96	−25	14	55	−12·8
6	18	30	57·8	26·99	−25	16	6	−10·9
7	18	33	39·8	27·02	−25	17	7	− 9·1
8	18	36	22·1	27·05	−25	17	56	− 7·3
9	18	39	4·5	27·08	−25	18	34	− 5·4
10	18	41	47·1	27·11	−25	19	1	− 3·6
11	18	44	29·8	27·13	−25	19	17	− 1·7
12	18	47	12·7	27·16	−25	19	21	+ 0·2
13	18	49	55·7	27·18	−25	19	15	+ 2·0
14	18	52	38·8	27·20	−25	18	57	+ 3·9
15	18	55	22·1	27·22	−25	18	28	+ 5·8
16	18	58	5·4	27·23	−25	17	47	+ 7·7
17	19	0	48·9	27·25	−25	16	55	+ 9·6
18	19	3	32·4	27·26	−25	15	52	+11·4
19	19	6	16·0	27·27	−25	14	38	+13·3
20	19	8	59·6	27·28	−25	13	12	+15·2
21	19	11	43·3	27·28	−25	11	35	+17·1
22	19	14	27·0	27·29	−25	9	47	+19·0
23	19	17	10·7	27·29	−25	7	47	+20·9

Samstag 10.

Mittlere Green. Zeit h	Rectascension h	m	s	Aenderung in 10m s	Declination — Süd °	′	″	Aenderung in 10m ″
0	19	19	54·5	27·29	−25	5	36	+22·8
1	19	22	38·3	27·29	−25	3	14	+24·7
2	19	25	22·0	27·29	−25	0	40	+26·6
3	19	28	5·7	27·28	−24	57	55	+28·4
4	19	30	49·4	27·28	−24	54	59	+30·3
5	19	33	33·1	27·27	−24	51	51	+32·2
6	19	36	16·7	27·26	−24	48	32	+34·1
7	19	39	0·2	27·25	−24	45	2	+36·0
8	19	41	43·6	27·23	−24	41	20	+37·8
9	19	44	27·0	27·22	−24	37	28	+39·7
10	19	47	10·3	27·20	−24	33	24	+41·5
11	19	49	53·5	27·18	−24	29	9	+43·4
12	19	52	36·5	27·16	−24	24	44	+45·2
13	19	55	19·4	27·14	−24	20	7	+47·1
14	19	58	2·2	27·12	−24	15	19	+48·9
15	20	0	44·9	27·09	−24	10	20	+50·7
16	20	3	27·3	27·07	−24	5	10	+52·5
17	20	6	9·7	27·04	−23	59	49	+54·3
18	20	8	51·8	27·01	−23	54	18	+56·1
19	20	11	33·8	26·98	−23	48	36	+57·9
20	20	14	15·5	26·94	−23	42	43	+59·7
21	20	16	57·1	26·91	−23	36	40	+61·4
22	20	19	38·4	26·87	−23	30	26	+63·2
23	20	22	19·6	26·84	−23	24	2	+64·9
24	20	25	0·5	26·80	−23	17	27	+66·7

Sonntag 11.

Mittlere Green. Zeit h	Rectascension h	m	s	Aenderung in 10m s	Declination — Süd °	′	″	Aenderung in 10m ″
0	20	25	0·5	26·80	−23	17	27	+ 66·7
1	20	27	41·1	26·76	−23	10	41	+ 68·4
2	20	30	21·5	26·72	−23	3	46	+ 70·1
3	20	33	1·7	26·67	−22	56	40	+ 71·8
4	20	35	41·6	26·63	−22	49	25	+ 73·4
5	20	38	21·3	26·58	−22	41	59	+ 75·1
6	20	41	0·6	26·54	−22	34	23	+ 76·8
7	20	43	39·7	26·49	−22	26	38	+ 78·4
8	20	46	18·5	26·44	−22	18	42	+ 80·0
9	20	48	57·0	26·39	−22	10	37	+ 81·6
10	20	51	35·2	26·34	−22	2	23	+ 83·2
11	20	54	13·1	26·29	−21	53	58	+ 84·8
12	20	56	50·7	26·24	−21	45	25	+ 86·4
13	20	59	27·9	26·18	−21	36	42	+ 87·9
14	21	2	4·9	26·13	−21	27	50	+ 89·4
15	21	4	41·5	26·07	−21	18	49	+ 90·9
16	21	7	17·7	26·02	−21	9	39	+ 92·4
17	21	9	53·7	25·96	−21	0	19	+ 93·9
18	21	12	29·3	25·90	−20	50	51	+ 95·4
19	21	15	4·5	25·84	−20	41	15	+ 96·8
20	21	17	39·4	25·79	−20	31	30	+ 98·2
21	21	20	13·9	25·72	−20	21	36	+ 99·7
22	21	22	48·1	25·66	−20	11	34	+101·0
23	21	25	21·9	25·60	−20	1	23	+102·4

Montag 12.

Mittlere Green. Zeit h	Rectascension h	m	s	Aenderung in 10m s	Declination — Süd °	′	″	Aenderung in 10m ″
0	21	27	55·3	25·54	−19	51	5	+103·8
1	21	30	28·4	25·48	−19	40	38	+105·1
2	21	33	1·1	25·42	−19	30	3	+106·4
3	21	35	33·5	25·36	−19	19	21	+107·7
4	21	38	5·4	25·29	−19	8	31	+109·0
5	21	40	37·0	25·23	−18	57	33	+110·2
6	21	43	8·2	25·17	−18	46	28	+111·5
7	21	45	39·0	25·10	−18	35	15	+112·7
8	21	48	9·4	25·04	−18	23	55	+113·9
9	21	50	39·5	24·97	−18	12	28	+115·1
10	21	53	9·1	24·91	−18	0	54	+116·2
11	21	55	38·4	24·85	−17	49	13	+117·4
12	21	58	7·3	24·78	−17	37	26	+118·5
13	22	0	35·8	24·72	−17	25	31	+119·6
14	22	3	3·9	24·65	−17	13	30	+120·7
15	22	5	31·6	24·59	−17	1	23	+121·8
16	22	7	58·9	24·52	−16	49	9	+122·8
17	22	10	25·8	24·46	−16	36	49	+123·8
18	22	12	52·4	24·39	−16	24	23	+124·8
19	22	15	18·5	24·33	−16	11	51	+125·8
20	22	17	44·3	24·26	−15	59	13	+126·8
21	22	20	9·7	24·20	−15	46	30	+127·7
22	22	22	34·7	24·13	−15	33	41	+128·6
23	22	24	59·3	24·07	−15	20	46	+129·5
24	22	27	23·5	24·01	−15	7	46	+130·4

Rectascension und Declination des Mondes.

Mittlere Green. Zeit	Rectascension	Aenderung in 10m	Declination — Süd	Aenderung in 10m	Mittlere Green. Zeit	Rectascension	Aenderung in 10m	Declination — Süd + Nord	Aenderung in 10m
	Dienstag 13.					**Donnerstag 15.**			
h	h m s	s	° ′ ″	″	h	h m s	s	° ′ ″	″
0	22 27 23·5	24·01	— 15 7 46	+ 130·4	0	0 16 10·4	21·56	— 3 35 27	+ 151·3
1	22 29 47·4	23·94	— 14 54 41	+ 131·3	1	0 18 19·7	21·53	— 3 20 20	+ 151·3
2	22 32 10·8	23·88	— 14 41 30	+ 132·1	2	0 20 28·8	21·50	— 3 5 12	+ 151·3
3	22 34 33·9	23·82	— 14 28 15	+ 133·0	3	0 22 37·7	21·46	— 2 50 4	+ 151·3
4	22 36 56·6	23·75	— 14 14 55	+ 133·8	4	0 24 46·4	21·43	— 2 34 56	+ 151·3
5	22 39 19·0	23·69	— 14 1 30	+ 134·6	5	0 26 54·9	21·40	— 2 19 48	+ 151·3
6	22 41 40·9	23·63	— 13 48 0	+ 135·3	6	0 29 3·2	21·37	— 2 4 40	+ 151·2
7	22 44 2·5	23·57	— 13 34 26	+ 136·1	7	0 31 11·3	21·34	— 1 49 33	+ 151·2
8	22 46 23·8	23·51	— 13 20 47	+ 136·8	8	0 33 19·3	21·32	— 1 34 26	+ 151·1
9	22 48 44·6	23·45	— 13 7 4	+ 137·5	9	0 35 27·2	21·29	— 1 19 19	+ 151·0
10	22 51 5·1	23·39	— 12 53 17	+ 138·2	10	0 37 34·8	21·26	— 1 4 13	+ 150·9
11	22 53 25·3	23·33	— 12 39 25	+ 138·9	11	0 39 42·3	21·24	— 0 49 8	+ 150·8
12	22 55 45·1	23·27	— 12 25 30	+ 139·5	12	0 41 49·7	21·21	— 0 34 3	+ 150·7
13	22 58 4·5	23·21	— 12 11 31	+ 140·2	13	0 43 56·9	21·19	— 0 18 59	+ 150·6
14	23 0 23·6	23·15	— 11 57 28	+ 140·8	14	0 46 4·0	21·17	— 0 3 56	+ 150·4
15	23 2 42·3	23·09	— 11 43 22	+ 141·4	15	0 48 10·9	21·14	+ 0 11 6	+ 150·3
16	23 5 0·7	23·04	— 11 29 12	+ 141·9	16	0 50 17·7	21·12	+ 0 26 7	+ 150·1
17	23 7 18·7	22·98	— 11 14 58	+ 142·5	17	0 52 24·3	21·10	+ 0 41 7	+ 149·9
18	23 9 36·5	22·92	— 11 0 41	+ 143·0	18	0 54 30·9	21·08	+ 0 56 6	+ 149·7
19	23 11 53·8	22·87	— 10 46 22	+ 143·6	19	0 56 37·3	21·06	+ 1 11 4	+ 149·5
20	23 14 10·9	22·81	— 10 31 59	+ 144·1	20	0 58 43·6	21·04	+ 1 26 0	+ 149·3
21	23 16 27·6	22·76	— 10 17 33	+ 144·6	21	1 0 49·8	21·03	+ 1 40 55	+ 149·0
22	23 18 44·0	22·71	— 10 3 4	+ 145·0	22	1 2 55·9	21·01	+ 1 55 48	+ 148·7
23	23 21 0·1	22·65	— 9 48 32	+ 145·4	23	1 5 1·9	20·99	+ 2 10 40	+ 148·5
	Mittwoch 14.					**Freitag 16.**			
0	23 23 15·8	22·60	— 9 33 58	+ 145·9	0	1 7 7·9	20·98	+ 2 25 30	+ 148·2
1	23 25 31·3	22·55	— 9 19 21	+ 146·3	1	1 9 13·7	20·96	+ 2 40 19	+ 147·9
2	23 27 46·4	22·50	— 9 4 42	+ 146·7	2	1 11 19·4	20·95	+ 2 55 6	+ 147·6
3	23 30 1·3	22·45	— 8 50 1	+ 147·1	3	1 13 25·1	20·94	+ 3 9 51	+ 147·3
4	23 32 15·8	22·40	— 8 35 17	+ 147·5	4	1 15 30·7	20·92	+ 3 24 34	+ 147·0
5	23 34 30·0	22·35	— 8 20 31	+ 147·8	5	1 17 36·2	20·91	+ 3 39 15	+ 146·7
6	23 36 44·0	22·30	— 8 5 43	+ 148·1	6	1 19 41·6	20·90	+ 3 53 54	+ 146·3
7	23 38 57·7	22·25	— 7 50 53	+ 148·5	7	1 21 47·0	20·89	+ 4 8 31	+ 146·0
8	23 41 11·1	22·21	— 7 36 1	+ 148·7	8	1 23 52·3	20·88	+ 4 23 6	+ 145·6
9	23 43 24·2	22·16	— 7 21 8	+ 149·0	9	1 25 57·6	20·87	+ 4 37 39	+ 145·2
10	23 45 37·0	22·12	— 7 6 13	+ 149·3	10	1 28 2·8	20·87	+ 4 52 9	+ 144·8
11	23 47 49·6	22·07	— 6 51 17	+ 149·5	11	1 30 8·0	20·86	+ 5 6 37	+ 144·4
12	23 50 1·9	22·03	— 6 36 19	+ 149·8	12	1 32 13·1	20·85	+ 5 21 2	+ 144·0
13	23 52 13·9	21·98	— 6 21 19	+ 150·0	13	1 34 18·2	20·85	+ 5 35 25	+ 143·6
14	23 54 25·7	21·94	— 6 6 19	+ 150·2	14	1 36 23·3	20·84	+ 5 49 46	+ 143·2
15	23 56 37·2	21·90	— 5 51 17	+ 150·3	15	1 38 28·4	20·84	+ 6 4 3	+ 142·7
16	23 58 48·5	21·86	— 5 36 15	+ 150·5	16	1 40 33·4	20·84	+ 6 18 18	+ 142·3
17	0 0 59·5	21·82	— 5 21 11	+ 150·7	17	1 42 38·4	20·83	+ 6 32 31	+ 141·8
18	0 3 10·3	21·78	— 5 6 7	+ 150·8	18	1 44 43·4	20·83	+ 6 46 40	+ 141·3
19	0 5 20·9	21·74	— 4 51 2	+ 150·9	19	1 46 48·4	20·83	+ 7 0 47	+ 140·8
20	0 7 31·2	21·70	— 4 35 56	+ 151·0	20	1 48 53·3	20·83	+ 7 14 50	+ 140·3
21	0 9 41·4	21·67	— 4 20 49	+ 151·1	21	1 50 58·3	20·83	+ 7 28 51	+ 139·8
22	0 11 51·3	21·63	— 4 5 42	+ 151·2	22	1 53 3·3	20·83	+ 7 42 48	+ 139·3
23	0 14 1·0	21·60	— 3 50 35	+ 151·2	23	1 55 8·3	20·83	+ 7 56 43	+ 138·8
24	0 16 10·4	21·56	— 3 35 27	+ 151·3	24	1 57 13·3	20·83	+ 8 10 34	+ 138·2

Rectascension und Declination des Mondes.

Mittlere Green. Zeit	Rectascension	Aenderung in 10m	Declination + Nord	Aenderung in 10m	Mittlere Green. Zeit	Rectascension	Aenderung in 10m	Declination + Nord	Aenderung in 10m
	Samstag 17.					**Montag 19.**			
h	h m s	s	° ′ ″	″	h	h m s	s	° ′ ″	″
0	1 57 13·3	20·83	+ 8 10 34	+138·2	0	3 38 30·2	21·53	+ 17 53 55	+101·4
1	1 59 18·3	20·84	+ 8 24 22	+137·7	1	3 40 39·5	21·56	+ 18 4 1	+100·4
2	2 1 23·3	20·84	+ 8 38 6	+137·1	2	3 42 48·9	21·58	+ 18 14 0	+ 99·4
3	2 3 28·4	20·84	+ 8 51 48	+136·6	3	3 44 58·5	21·60	+ 18 23 54	+ 98·4
4	2 5 33·4	20·85	+ 9 5 25	+136·0	4	3 47 8·1	21·62	+ 18 33 41	+ 97·4
5	2 7 38·5	20·85	+ 9 18 59	+135·4	5	3 49 18·0	21·65	+ 18 43 22	+ 96·4
6	2 9 43·7	20·86	+ 9 32 30	+134·8	6	3 51 27·9	21·67	+ 18 52 58	+ 95·4
7	2 11 48·9	20·86	+ 9 45 57	+134·2	7	3 53 38·0	21·70	+ 19 2 27	+ 94·3
8	2 13 54·1	20·87	+ 9 59 20	+133·6	8	3 55 48·3	21·72	+ 19 11 50	+ 93·3
9	2 15 59·3	20·88	+ 10 12 40	+132·9	9	3 57 58·7	21·74	+ 19 21 7	+ 92·3
10	2 18 4·6	20·89	+ 10 25 56	+132·3	10	4 0 9·2	21·77	+ 19 30 17	+ 91·2
11	2 20 10·0	20·90	+ 10 39 8	+131·7	11	4 2 19·9	21·79	+ 19 39 21	+ 90·2
12	2 22 15·4	20·91	+ 10 52 16	+131·0	12	4 4 30·7	21·81	+ 19 48 19	+ 89·1
13	2 24 20·8	20·92	+ 11 5 20	+130·3	13	4 6 41·6	21·84	+ 19 57 11	+ 88·0
14	2 26 26·4	20·93	+ 11 18 20	+129·7	14	4 8 52·7	21·86	+ 20 5 56	+ 87·0
15	2 28 32·0	20·94	+ 11 31 16	+129·0	15	4 11 3·9	21·88	+ 20 14 35	+ 85·9
16	2 30 37·6	20·95	+ 11 44 8	+128·3	16	4 13 15·3	21·91	+ 20 23 7	+ 84·8
17	2 32 43·3	20·96	+ 11 56 55	+127·6	17	4 15 26·8	21·93	+ 20 31 32	+ 83·7
18	2 34 49·1	20·97	+ 12 9 39	+126·9	18	4 17 38·5	21·95	+ 20 39 51	+ 82·6
19	2 36 55·0	20·99	+ 12 22 18	+126·1	19	4 19 50·3	21·98	+ 20 48 3	+ 81·5
20	2 39 1·0	21·00	+ 12 34 53	+125·4	20	4 22 2·2	22·00	+ 20 56 9	+ 80·4
21	2 41 7·0	21·01	+ 12 47 23	+124·7	21	4 24 14·3	22·02	+ 21 4 8	+ 79·2
22	2 43 13·2	21·03	+ 12 59 49	+123·9	22	4 26 26·5	22·04	+ 21 12 0	+ 78·1
23	2 45 19·4	21·04	+ 13 12 10	+123·2	23	4 28 38·8	22·07	+ 21 19 45	+ 77·0
	Sonntag 18.					**Dienstag 20.**			
0	2 47 25·7	21·06	+ 13 24 27	+122·4	0	4 30 51·3	22·09	+ 21 27 24	+ 75·8
1	2 49 32·1	21·07	+ 13 36 39	+121·6	1	4 33 3·9	22·11	+ 21 34 55	+ 74·7
2	2 51 38·6	21·09	+ 13 48 46	+120·8	2	4 35 16·6	22·13	+ 21 42 20	+ 73·5
3	2 53 45·2	21·11	+ 14 0 48	+120·0	3	4 37 29·5	22·15	+ 21 49 38	+ 72·4
4	2 55 51·9	21·12	+ 14 12 46	+119·2	4	4 39 42·5	22·18	+ 21 56 49	+ 71·2
5	2 57 58·7	21·14	+ 14 24 39	+118·4	5	4 41 55·6	22.20	+ 22 3 53	+ 70·0
6	3 0 5·6	21·16	+ 14 36 27	+117·6	6	4 44 8·9	22·22	+ 22 10 49	+ 68·9
7	3 2 12·6	21·18	+ 14 48 10	+116·8	7	4 46 22·3	22·24	+ 22 17 39	+ 67·7
8	3 4 19·7	21·20	+ 14 59 48	+115·9	8	4 48 35·8	22·26	+ 22 24 22	+ 66·5
9	3 6 26·9	21·21	+ 15 11 21	+115·1	9	4 50 49·4	22·28	+ 22 30 57	+ 65·3
10	3 8 34·3	21·23	+ 15 22 49	+114·2	10	4 53 3·1	22·30	+ 22 37 25	+ 64·1
11	3 10 41·8	21·25	+ 15 34 12	+113·4	11	4 55 17·0	22·32	+ 22 43 46	+ 62·9
12	3 12 49·4	21·27	+ 15 45 30	+112·5	12	4 57 30·9	22·34	+ 22 50 0	+ 61·7
13	3 14 57·1	21·29	+ 15 56 42	+111·6	13	4 59 45·0	22·36	+ 22 56 6	+ 60·5
14	3 17 4·9	21·31	+ 16 7 49	+110·7	14	5 1 59·2	22·37	+ 23 2 6	+ 59·3
15	3 19 12·8	21·33	+ 16 18 51	+109·8	15	5 4 13·5	22·39	+ 23 7 58	+ 58·0
16	3 21 20·9	21·36	+ 16 29 47	+108·9	16	5 6 27·9	22·41	+ 23 13 42	+ 56·8
17	3 23 29·1	21·38	+ 16 40 38	+108·0	17	5 8 42·4	22·43	+ 23 19 19	+ 55·6
18	3 25 37·4	21·40	+ 16 51 23	+107·1	18	5 10 57·0	22·44	+ 23 24 49	+ 54·3
19	3 27 45·9	21·42	+ 17 2 2	+106·1	19	5 13 11·7	22·46	+ 23 30 11	+ 53·1
20	3 29 54·5	21·44	+ 17 12 36	+105·2	20	5 15 26·5	22·47	+ 23 35 26	+ 51·8
21	3 32 3·2	21·47	+ 17 23 5	+104·3	21	5 17 41·4	22·49	+ 23 40 33	+ 50·6
22	3 34 12·1	21·49	+ 17 33 27	+103·3	22	5 19 56·3	22·50	+ 23 45 33	+ 49·3
23	3 36 21·1	21·51	+ 17 43 44	+102·3	23	5 22 11·4	22·51	+ 23 50 25	+ 48·1
24	3 38 30·2	21·53	+ 17 53 55	+101·4	24	5 24 26·5	22·53	+ 23 55 10	+ 46·8

Rectascension und Declination des Mondes.

Mittwoch 21.

Mittlere Green. Zeit h	Rectascension h	m	s	Aenderung in 10m s	Declination + Nord °	′	″	Aenderung in 10m ″
0	5	24	26·5	22·53	+23	55	10	+46·8
1	5	26	41·7	22·54	+23	59	47	+45·5
2	5	28	57.0	22·55	+24	4	16	+44·3
3	5	31	12·4	22·57	+24	8	38	+43·0
4	5	33	27·8	22·58	+24	12	53	+41·7
5	5	35	43·3	22·59	+24	16	59	+40·5
6	5	37	58·9	22·60	+24	20	58	+39·2
7	5	40	14·5	22·61	+24	24	49	+37·9
8	5	42	30·2	22·62	+24	28	33	+36·6
9	5	44	45·9	22·62	+24	32	9	+35·3
10	5	47	1·7	22·63	+24	35	37	+34·0
11	5	49	17·5	22·64	+24	38	57	+32·7
12	5	51	33·3	22·64	+24	42	9	+31·4
13	5	53	49·2	22·65	+24	45	14	+30·1
14	5	56	5·1	22·65	+24	48	11	+28·8
15	5	58	21·1	22·66	+24	51	0	+27·5
16	6	0	37·0	22·66	+24	53	42	+26·2
17	6	2	53·0	22·67	+24	56	15	+24·9
18	6	5	9·0	22·67	+24	58	41	+23·6
19	6	7	25·0	22·67	+25	0	59	+22·3
20	6	9	41·0	22·67	+25	3	9	+21·0
21	6	11	57·1	22·67	+25	5	11	+19·7
22	6	14	13·1	22·67	+25	7	6	+18·4
23	6	16	29·1	22·67	+25	8	52	+17·1

Donnerstag 22.

Mittlere Green. Zeit h	Rectascension h	m	s	Aenderung in 10m s	Declination + Nord °	′	″	Aenderung in 10m ″
0	6	18	45·1	22·67	+25	10	31	+15·8
1	6	21	1·1	22·66	+25	12	2	+14·5
2	6	23	17·1	22·66	+25	13	25	+13·2
3	6	25	33·0	22·66	+25	14	40	+11·9
4	6	27	48·9	22·65	+25	15	48	+10·6
5	6	30	4·8	22·65	+25	16	47	+ 9·3
6	6	32	20·7	22·64	+25	17	39	+ 8·0
7	6	34	36·5	22·63	+25	18	23	+ 6·7
8	6	36	52·3	22·62	+25	18	59	+ 5·4
9	6	39	8·0	22·61	+25	19	28	+ 4·1
10	6	41	23·6	22·61	+25	19	48	+ 2·8
11	6	43	39·2	22.59	+25	20	1	+ 1·5
12	6	45	54·8	22·58	+25	20	6	+ 0·2
13	6	48	10·2	22·57	+25	20	3	− 1·1
14	6	50	25·6	22·56	+25	19	52	− 2·4
15	6	52	41·0	22·55	+25	19	34	− 3·7
16	6	54	56·2	22·53	+25	19	8	− 5·0
17	6	57	11·4	22·52	+25	18	34	− 6·3
18	6	59	26·4	22·50	+25	17	53	− 7·5
19	7	1	41·4	22·49	+25	17	4	− 8·8
20	7	3	56·3	22·47	+25	16	7	−10·1
21	7	6	11·1	22·45	+25	15	2	−11·4
22	7	8	25·8	22·44	+25	13	50	−12·6
23	7	10	40·3	22·42	+25	12	31	−13·9
24	7	12	54·8	22·40	+25	11	4	−15·2

Freitag 23.

Mittlere Green. Zeit h	Rectascension h	m	s	Aenderung in 10m s	Declination + Nord °	′	″	Aenderung in 10m ″
0	7	12	54·8	22·40	+25	11	4	−15·2
1	7	15	9·1	22·38	+25	9	29	−16·4
2	7	17	23·3	22·36	+25	7	46	−17·7
3	7	19	37·4	22·34	+25	5	56	−18·9
4	7	21	51·3	22·31	+25	3	59	−20·2
5	7	24	5·2	22·29	+25	1	54	−21·4
6	7	26	18·8	22·27	+24	59	42	−22·7
7	7	28	32·4	22·24	+24	57	22	−23·9
8	7	30	45·8	22·22	+24	54	55	−25·1
9	7	32	59·0	22·19	+24	52	21	−26·4
10	7	35	12·1	22·17	+24	49	39	−27·6
11	7	37	25·0	22·14	+24	46	50	−28·8
12	7	39	37·8	22·11	+24	43	53	−30·0
13	7	41	50·4	22·09	+24	40	50	−31·2
14	7	44	2·8	22·06	+24	37	39	−32·4
15	7	46	15·1	22·03	+24	34	21	−33·6
16	7	48	27·2	22·00	+24	30	55	−34·8
17	7	50	39·1	21·97	+24	27	23	−36·0
18	7	52	50·9	21·94	+24	23	44	−37·1
19	7	55	2·4	21·91	+24	19	57	−38·3
20	7	57	13·8	21·88	+24	16	4	−39·5
21	7	59	25·0	21·85	+24	12	4	−40·6
22	8	1	35·9	21·81	+24	7	56	−41·8
23	8	3	46·7	21·78	+24	3	42	−42·9

Samstag 24.

Mittlere Green. Zeit h	Rectascension h	m	s	Aenderung in 10m s	Declination + Nord °	′	″	Aenderung in 10m ″
0	8	5	57·3	21·75	+23	59	21	−44·1
1	8	8	7·7	21·71	+23	54	53	−45·2
2	8	10	17·9	21·68	+23	50	19	−46·3
3	8	12	27·9	21·65	+23	45	37	−47·5
4	8	14	37·7	21·61	+23	40	49	−48·6
5	8	16	47·2	21·58	+23	35	54	−49·7
6	8	18	56·6	21·54	+23	30	53	−50·8
7	8	21	5·7	21·50	+23	25	45	−51·9
8	8	23	14·6	21·47	+23	20	31	−52·9
9	8	25	23·3	21·43	+23	15	10	−54·0
10	8	27	31·8	21·39	+23	9	42	−55·1
11	8	29	40·1	21·36	+23	4	8	−56·2
12	8	31	48·1	21·32	+22	58	28	−57·2
13	8	33	55·9	21·28	+22	52	42	−58·3
14	8	36	3·5	21·24	+22	46	49	−59·3
15	8	38	10·8	21·20	+22	40	50	−60·3
16	8	40	17·9	21·17	+22	34	45	−61·4
17	8	42	24·8	21·13	+22	28	34	−62·4
18	8	44	31·4	21·09	+22	22	16	−63·4
19	8	46	37·9	21·05	+22	15	53	−64·4
20	8	48	44·0	21·01	+22	9	24	−65·4
21	8	50	50·0	20·97	+22	2	48	−66·4
22	8	52	55·7	20·93	+21	56	7	−67·4
23	8	55	1·1	20·89	+21	49	20	−68·3
24	8	57	6·3	20·85	+21	42	27	−69·3

Rectascension und Declination des Mondes.

Sonntag 25.

Mittlere Green. Zeit h	Rectascension h m s	Aenderung in 10m s	Declination + Nord ° ′ ″	Aenderung in 10m ″
0	8 57 6·3	20·85	+ 21 42 27	− 69·3
1	8 59 11·3	20·81	+ 21 35 28	− 70·2
2	9 1 16·1	20·77	+ 21 28 24	− 71·2
3	9 3 20·6	20·73	+ 21 21 14	− 72·1
4	9 5 24·8	20·69	+ 21 13 58	− 73·1
5	9 7 28·8	20·65	+ 21 6 37	− 74·0
6	9 9 32·6	20·61	+ 20 59 10	− 74·9
7	9 11 36·1	20·57	+ 20 51 38	− 75·8
8	9 13 39·4	20·52	+ 20 44 1	− 76·7
9	9 15 42·4	20·48	+ 20 36 18	− 77·6
10	9 17 45·2	20·44	+ 20 28 29	− 78·4
11	9 19 47·7	20·40	+ 20 20 36	− 79·4
12	9 21 50·0	20·36	+ 20 12 37	− 80·2
13	9 23 52·1	20·32	+ 20 4 33	− 81·1
14	9 25 53·9	20·28	+ 19 56 24	− 81·9
15	9 27 55·5	20·24	+ 19 48 10	− 82·8
16	9 29 56·8	20·20	+ 19 39 51	− 83·6
17	9 31 57·9	20·16	+ 19 31 27	− 84·4
18	9 33 58·7	20·12	+ 19 22 58	− 85·2
19	9 35 59·3	20·08	+ 19 14 24	− 86·1
20	9 37 59·7	20·04	+ 19 5 45	− 86·9
21	9 39 59·8	20·00	+ 18 57 1	− 87·6
22	9 41 59·7	19·96	+ 18 48 13	− 88·4
23	9 43 59·3	19·92	+ 18 39 20	− 89·2

Montag 26.

Mittlere Green. Zeit h	Rectascension h m s	Aenderung in 10m s	Declination + Nord ° ′ ″	Aenderung in 10m ″
0	9 45 58·7	19·88	+ 18 30 23	− 90·0
1	9 47 57·9	19·84	+ 18 21 21	− 90·7
2	9 49 56·8	19·80	+ 18 12 14	− 91·5
3	9 51 55·5	19·76	+ 18 3 3	− 92·2
4	9 53 54·0	19·73	+ 17 53 48	− 92·9
5	9 55 52·2	19·69	+ 17 44 28	− 93·7
6	9 57 50·2	19·65	+ 17 35 4	− 94·4
7	9 59 48·0	19·61	+ 17 25 35	− 95·1
8	10 1 45·5	19·57	+ 17 16 2	− 95·8
9	10 3 42·9	19·53	+ 17 6 25	− 96·5
10	10 5 40·0	19·50	+ 16 56 44	− 97·2
11	10 7 36·9	19·46	+ 16 46 59	− 97·9
12	10 9 33·5	19·42	+ 16 37 10	− 98·5
13	10 11 29·9	19·39	+ 16 27 17	− 99·2
14	10 13 26·2	19·35	+ 16 17 20	− 99·8
15	10 15 22·2	19·31	+ 16 7 19	− 100·5
16	10 17 17·9	19·28	+ 15 57 14	− 101·1
17	10 19 13·5	19·25	+ 15 47 6	− 101·7
18	10 21 8·9	19·21	+ 15 36 54	− 102·4
19	10 23 4·1	19·18	+ 15 26 38	− 103·0
20	10 24 59·0	19·14	+ 15 16 18	− 103·6
21	10 26 53·8	19·11	+ 15 5 55	− 104·2
22	10 28 48·3	19·07	+ 14 55 28	− 104·8
23	10 30 42·7	19·04	+ 14 44 58	− 105·3
24	10 32 36·8	19·01	+ 14 34 24	− 105·9

Dienstag 27.

Mittlere Green. Zeit h	Rectascension h m s	Aenderung in 10m s	Declination + Nord ° ′ ″	Aenderung in 10m ″
0	10 32 36·8	19·01	+ 14 34 24	− 105·9
1	10 34 30·8	18·98	+ 14 23 47	− 106·5
2	10 36 24·5	18·94	+ 14 13 6	− 107·0
3	10 38 18·1	18·91	+ 14 2 22	− 107·6
4	10 40 11·5	18·88	+ 13 51 35	− 108·1
5	10 42 4·7	18·85	+ 13 40 45	− 108·7
6	10 43 57·7	18·82	+ 13 29 51	− 109·2
7	10 45 50·6	18·79	+ 13 18 54	− 109·7
8	10 47 43·2	18·76	+ 13 7 55	− 110·2
9	10 49 35·7	18·73	+ 12 56 52	− 110·7
10	10 51 28·0	18·70	+ 12 45 46	− 111·2
11	10 53 20·2	18·68	+ 12 34 37	− 111·7
12	10 55 12·2	18·65	+ 12 23 26	− 112·2
13	10 57 4·0	18·62	+ 12 12 11	− 112·6
14	10 58 55·6	18·60	+ 12 0 54	− 113·1
15	11 0 47·1	18·57	+ 11 49 34	− 113·6
16	11 2 38·5	18·54	+ 11 38 11	− 114·0
17	11 4 29·7	18·52	+ 11 26 45	− 114·5
18	11 6 20·7	18·49	+ 11 15 17	− 114·9
19	11 8 11·6	18·47	+ 11 3 46	− 115·3
20	11 10 2·4	18·45	+ 10 52 13	− 115·8
21	11 11 53·0	18·42	+ 10 40 37	− 116·2
22	11 13 43·5	18·40	+ 10 28 59	− 116·6
23	11 15 33·8	18·38	+ 10 17 18	− 117·0

Mittwoch 28.

Mittlere Green. Zeit h	Rectascension h m s	Aenderung in 10m s	Declination + Nord ° ′ ″	Aenderung in 10m ″
0	11 17 24·0	18·36	+ 10 5 35	− 117·0
1	11 19 14·1	18·34	+ 9 53 50	− 117·8
2	11 21 4·0	18·32	+ 9 42 2	− 118·1
3	11 22 53·9	18·30	+ 9 30 12	− 118·5
4	11 24 43·6	18·28	+ 9 18 19	− 118·9
5	11 26 33·2	18·26	+ 9 6 25	− 119·2
6	11 28 22·7	18·24	+ 8 54 28	− 119·6
7	11 30 12·0	18·22	+ 8 42 30	− 119·9
8	11 32 1·3	18·20	+ 8 30 29	− 120·3
9	11 33 50·5	18·19	+ 8 18 26	− 120·6
10	11 35 39·6	18·17	+ 8 6 22	− 120·9
11	11 37 28·5	18·16	+ 7 54 15	− 121·3
12	11 39 17·4	18·14	+ 7 42 6	− 121·6
13	11 41 6·2	18·13	+ 7 29 56	− 121·9
14	11 42 55·0	18·11	+ 7 17 44	− 122·2
15	11 44 43·6	18·10	+ 7 5 30	− 122·5
16	11 46 32·1	18·09	+ 6 53 14	− 122·7
17	11 48 20·6	18·07	+ 6 40 57	− 123·0
18	11 50 9·0	18·06	+ 6 28 38	− 123·3
19	11 51 57·4	18·05	+ 6 16 18	− 123·6
20	11 53 45·7	18·04	+ 6 3 56	− 123·8
21	11 55 33·9	18·03	+ 5 51 32	− 124·1
22	11 57 22·1	18·02	+ 5 39 7	− 124·3
23	11 59 10·2	18·02	+ 5 26 40	− 124·5
24	12 0 58·3	18·01	+ 5 14 12	− 124·8

Rectascension und Declination des Mondes.

Donnerstag 29.

Mittlere Green. Zeit	Rectascension	Aenderung in 10m	Declination + Nord − Süd	Aenderung in 10m
h	h m s	s	° ′ ″	″
0	12 0 58·3	18·01	+5 14 12	−124·8
1	12 2 46·3	18·00	+5 1 43	−125·0
2	12 4 34·3	17·99	+4 49 12	−125·2
3	12 6 22·2	17·99	+4 36 40	−125·4
4	12 8 10·1	17·98	+4 24 7	−125·6
5	12 9 58·0	17·98	+4 11 33	−125·8
6	12 11 45·9	17·97	+3 58 57	−126·0
7	12 13 33·7	17·97	+3 46 21	−126·2
8	12 15 21·5	17·97	+3 33 43	−126·4
9	12 17 9·3	17·97	+3 21 4	−126·6
10	12 18 57·1	17·96	+3 8 24	−126·7
11	12 20 44·9	17·96	+2 55 43	−126·9
12	12 22 32·7	17·96	+2 43 2	−127·0
13	12 24 20·5	17·96	+2 30 19	−127·2
14	12 26 8·3	17·97	+2 17 36	−127·3
15	12 27 56·1	17·97	+2 4 51	−127·4
16	12 29 43·9	17·97	+1 52 6	−127·6
17	12 31 31·7	17·97	+1 39 20	−127·7
18	12 33 19·6	17·98	+1 26 34	−127·8
19	12 35 7·4	17·98	+1 13 47	−127·9
20	12 36 55·3	17·99	+1 0 59	−128·0
21	12 38 43·3	17·99	+0 48 11	−128·1
22	12 40 31·3	18·00	+0 35 22	−128·2
23	12 42 19·3	18·01	+0 22 32	−128·3

Freitag 30.

Mittlere Green. Zeit	Rectascension	Aenderung in 10m	Declination + Nord − Süd	Aenderung in 10m
0	12 44 7·4	18·02	+0 9 42	−128·3
1	12 45 55·5	18·02	−0 3 8	−128·4
2	12 47 43·6	18·03	−0 15 59	−128.5
3	12 49 31·9	18·04	−0 28 50	−128·5
4	12 51 20·2	18·05	−0 41 41	−128·6
5	12 53 8·5	18·06	−0 54 33	−128·6
6	12 54 56·9	18·08	−1 7 24	−128·6
7	12 56 45·4	18·09	−1 20 16	−128·7
8	12 58 34·0	18·10	−1 33 8	−128·7
9	13 0 22·7	18·12	−1 46 1	−128·7
10	13 2 11·4	18·13	−1 58 53	−128·7
11	13 4 0·3	18·15	−2 11 45	−128·7
12	13 5 49·2	18·16	−2 24 37	−128·7
13	13 7 38·3	18·18	−2 37 30	−128·7
14	13 9 27·4	18·20	−2 50 22	−128·7
15	13 11 16·7	18·22	−3 3 14	−128·6
16	13 13 6·0	18·24	−3 16 6	−128·6
17	13 14 55·5	18·26	−3 28 57	−128·6
18	13 16 45·1	18·28	−3 41 48	−128·5
19	13 18 34·9	18·30	−3 54 39	−128·5
20	13 20 24·7	18·32	−4 7 30	−128·4
21	13 22 14·7	18·34	−4 20 20	−128·3
22	13 24 4·9	18·37	−4 33 10	−128·2
23	13 25 55·2	18·39	−4 45 59	−128·2
24	13 27 45·6	18·42	−4 58 48	−128·1

Samstag 31.

Mittlere Green. Zeit	Rectascension	Aenderung in 10m	Declination − Süd	Aenderung in 10m
h	h m s	s	° ′ ″	″
0	13 27 45·6	18·42	− 4 58 48	−128·1
1	13 29 36·2	18·44	− 5 11 36	−128·0
2	13 31 26·9	18·47	− 5 24 23	−127·9
3	13 33 17·8	18·50	− 5 37 10	−127·7
4	13 35 8·9	18·53	− 5 49 56	−127·6
5	13 37 0·1	18·56	− 6 2 42	−127·5
6	13 38 51·6	18·59	− 6 15 26	−127·4
7	13 40 43·2	18·62	− 6 28 10	−127·2
8	13 42 34·9	18·65	− 6 40 53	−127·1
9	13 44 26·9	18·68	− 6 53 35	−126·9
10	13 46 19·1	18·71	− 7 6 16	−126·7
11	13 48 11·4	18·74	− 7 18 56	−126·5
12	13 50 4·0	18·78	− 7 31 34	−126·4
13	13 51 56·8	18·81	− 7 44 12	−126·2
14	13 53 49·8	18·85	− 7 56 49	−126·0
15	13 55 43·0	18·88	− 8 9 24	−125·8
16	13 57 36·4	18·92	− 8 21 58	−125·5
17	13 59 30·0	18·96	− 8 34 30	−125·3
18	14 1 23·9	19·00	− 8 47 1	−125·1
19	14 3 18·0	19·04	− 8 59 31	−124·8
20	14 5 12·3	19·08	− 9 11 59	−124·6
21	14 7 6·9	19·12	− 9 24 26	−124·3
22	14 9 1·8	19·16	− 9 36 51	−124·0
23	14 10 56·9	19·20	− 9 49 15	−123·8

Sonntag, Februar 1.

Mittlere Green. Zeit	Rectascension	Aenderung in 10m	Declination − Süd	Aenderung in 10m
0	14 12 52·2	19·24	− 10 1 37	−123·5

PHASEN DES MONDES.

Mittlere Greenwicher Zeit.

		h m		
Januar	2.	22 11·9	☾	Letztes Viertel.
	10.	3 24·5	●	Neumond.
	16.	18 17·5	☽	Erstes Viertel.
	24.	12 25·3	○	Vollmond.
		h		
Januar	11.	14	☾	Perigaeum.
	27.	4	☾	Apogaeum.

Venus.						Mars.					
Mittlerer Greenwicher Mittag.					Im Meridian. Mittlere Gr. Zeit	Mittlerer Greenwicher Mittag.					Im Meridian. Mittlere Gr. Zeit
Datum	Rectascension	Stdl. Aend.	Declination — Süd	Stdl. Aend.		Datum	Rectascension	Stdl. Aend.	Declination — Süd	Stdl. Aend.	
	h m s	s	° ′ ″	s	h m		h m s	″	° ′ ″	″	h m
1	16 18 0·2	+3·16	—16 49 20	+ 2·1	21 32·3	1	22 53 14·3	+6·91	—7 58 52	+45·2	4 9·6
2	16 19 19·9	+3·48	—16 48 52	+ 0·3	21 29·8	2	22 56 0·0	+6·90	—7 40 45	+45·4	4 8·4
3	16 20 47·4	+3·80	—16 49 5	— 1·4	21 27·4	3	22 58 45·5	+6·89	—7 22 35	+45·5	4 7·3
4	16 22 22·5	+4·12	—16 49 58	— 3·0	21 25·2	4	23 1 30·7	+6·88	—7 4 21	+45·6	4 6·1
5	16 24 4·9	+4·41	—16 51 28	— 4·5	21 23·0	5	23 4 15·7	+6·87	—6 46 5	+45·7	4 4·9
6	16 25 54·3	+4·70	—16 53 32	— 5·9	21 21·0	6	23 7 0·5	+6·86	—6 27 47	+45·8	4 3·7
7	16 27 50·6	+4·98	—16 56 9	— 7·2	21 19·1	7	23 9 45·0	+6·85	—6 9 26	+45·9	4 2·5
8	16 29 53·5	+5·25	—16 59 15	— 8·3	21 17·3	8	23 12 29·3	+6·84	—5 51 3	+46·0	4 1·3
9	16 32 2·7	+5·51	—17 2 49	— 9·4	21 15·6	9	23 15 13·5	+6·83	—5 32 37	+46·1	4 0·1
10	16 34 18·0	+5·76	—17 6 47	—10·4	21 14·0	10	23 17 57·4	+6·83	—5 14 10	+46·2	3 58·9
11	16 36 39·3	+6·01	—17 11 9	—11·3	21 12·5	11	23 20 41·2	+6·82	—4 55 41	+46·3	3 57·7
12	16 39 6·3	+6·24	—17 15 51	—12·1	21 11·1	12	23 23 24·7	+6·81	—4 37 10	+46·3	3 56·4
13	16 41 38·8	+6·46	—17 20 51	—12·9	21 9·8	13	23 26 8·1	+6·80	—4 18 38	+46·3	3 55·2
14	16 44 16·6	+6·68	—17 26 8	—13·5	21 8·5	14	23 28 51·3	+6·80	—4 0 6	+46·4	3 54·0
15	16 46 59·5	+6·89	—17 31 39	—14·0	21 7·4	15	23 31 34·3	+6·79	—3 41 32	+46·5	3 52·8
16	16 49 47·5	+7·10	—17 37 22	—14·5	21 6·3	16	23 34 17·1	+6·78	—3 22 57	+46·5	3 51·5
17	16 52 40·2	+7·30	—17 43 16	—14·9	21 5·3	17	23 36 59·8	+6·78	—3 4 21	+46·5	3 50·3
18	16 55 37·7	+7·49	—17 49 19	—15·3	21 4·4	18	23 39 42·3	+6·77	—2 45 45	+46·5	3 49·1
19	16 58 39·7	+7·68	—17 55 28	—15·5	21 3·6	19	23 42 24·7	+6·76	—2 27 9	+46·5	3 47·8
20	17 1 46·1	+7·85	—18 1 42	—15·7	21 2·8	20	23 45 6·9	+6·75	—2 8 33	+46·5	3 46·6
21	17 4 56·7	+8·03	—18 7 59	—15·8	21 2·1	21	23 47 48·9	+6·75	—1 49 57	+46·5	3 45·4
22	17 8 11·4	+8·20	—18 14 18	—15·8	21 1·4	22	23 50 30·8	+6·74	—1 31 21	+46·5	3 44·2
23	17 11 30·2	+8·37	—18 20 37	—15·8	21 0·8	23	23 53 12·6	+6·74	—1 12 45	+46·5	3 42·9
24	17 14 52·8	+8·52	—18 26 55	—15·7	21 0·3	24	23 55 54·3	+6·73	—0 54 10	+46·4	3 41·6
25	17 18 19·1	+8·67	—18 33 9	—15·5	20 59·9	25	23 58 35·8	+6·73	—0 35 36	+46·4	3 40·4
26	17 21 49·1	+8·82	—18 39 18	—15·3	20 59·5	26	0 1 17·3	+6·73	—0 17 2	+46·4	3 39·2
27	17 25 22·5	+8·97	—18 45 21	—15·0	20 59·2	27	0 3 58·6	+6·72	+0 1 30	+46·3	3 37·9
28	17 28 59·4	+9·10	—18 51 16	—14·6	20 58·9	28	0 6 39·9	+6·72	+0 20 1	+46·3	3 36·6
29	17 32 39·5	+9·24	—18 57 3	—14·2	20 58·7	29	0 9 21·1	+6·71	+0 38 31	+46·2	3 35·4
30	17 36 22·8	+9·37	—19 2 39	—13·8	20 58·5	30	0 12 2·2	+6·71	+0 56 59	+46·1	3 34·1
31	17 40 9·1	+9·49	—19 8 3	—13·3	20 58·4	31	0 14 43·2	+6·71	+1 15 25	+46·1	3 32·9
F.1	17 43 58·4	+9·61	—19 13 15	—12·7	20 58·3	F.1	0 17 24·2	+6·71	+1 33 50	+46·0	3 31·6

Datum	Halbmesser	Horizontal-Parallaxe	Datum	Halbmesser	Horizontal-Parallaxe
	″	″		″	″
1	23·5	24·3	1	3·1	5·5
11	19·9	20·6	11	3·0	5·3
21	17·1	17·7	21	2·9	5·1
31	14·8	15·4	31	2·8	4·9

Datum	Jupiter. Mittlerer Greenwicher Mittag. Rect-ascension	Stdl. Aend.	Declination − Süd	Stdl. Aend.	Im Meridian. Mittlere Gr. Zeit	Datum	Saturn. Mittlerer Greenwicher Mittag. Rect-ascension	Stdl. Aend.	Declination + Nord	Stdl. Aend.	Im Meridian. Mittlere Gr. Zeit
	h m s	s	° ′ ″	″	h m		h m s	s	° ′ ″	″	h m
1	21 9 10·9	+2·19	−17 10 54	+ 9·6	2 25·5	1	11 15 52·5	−0·07	+6 53 9	+1·1	16 29·7
2	21 10 3·6	+2·20	−17 7 3	+ 9·7	2 22·4	2	11 15 50·7	−0·08	+6 53 38	+1·3	16 25·8
3	21 10 56·5	+2·21	−17 3 11	+ 9·8	2 19·4	3	11 15 48·5	−0·09	+6 54 9	+1·3	16 21·8
4	21 11 49·5	+2·22	−16 59 16	+ 9·8	2 16·3	4	11 15 45·9	−0·11	+6 54 42	+1·4	16 17·8
5	21 12 42·8	+2·23	−16 55 20	+ 9·9	2 13·3	5	11 15 43·0	−0·13	+6 55 18	+1·5	16 13·9
6	21 13 36·3	+2·23	−16 51 22	+10·0	2 10·2	6	11 15 39·6	−0·15	+6 55 57	+1·7	16 9·9
7	21 14 29·9	+2·24	−16 47 23	+10·0	2 7·2	7	11 15 35·8	−0·17	+6 56 38	+1·8	16 5·9
8	21 15 23·7	+2·25	−16 43 22	+10·1	2 4·1	8	11 15 31·6	−0·18	+6 57 22	+1·9	16 1·9
9	21 16 17·7	+2·25	−16 39 19	+10·2	2 1·1	9	11 15 27·0	−0·20	+6 58 8	+2·0	15 57·8
10	21 17 11·9	+2·26	−16 35 14	+10·3	1 58·1	10	11 15 22·0	−0·22	+6 58 56	+2·1	15 53·8
11	21 18 6·2	+2·27	−16 31 8	+10·3	1 55·0	11	11 15 16·6	−0·23	+6 59 47	+2·2	15 49·8
12	21 19 0·6	+2·27	−16 27 0	+10·4	1 52·0	12	11 15 10·8	−0·25	+7 0 40	+2·3	15 45·8
13	21 19 55·2	+2·28	−16 22 51	+10·4	1 49·0	13	11 15 4·7	−0·27	+7 1 36	+2·4	15 41·7
14	21 20 49·9	+2·28	−16 18 40	+10·5	1 46·0	14	11 14 58·1	−0·28	+7 2 34	+2·5	15 37·7
15	21 21 44·8	+2·29	−16 14 27	+10·6	1 42·9	15	11 14 51·2	−0·30	+7 3 34	+2·5	15 33·6
16	21 22 39·8	+2·30	−16 10 13	+10·6	1 39·9	16	11 14 43·9	−0·31	+7 4 36	+2·6	15 29·6
17	21 23 34·9	+2·30	−16 5 58	+10·7	1 36·9	17	11 14 36·2	−0·33	+7 5 41	+2·8	15 25·5
18	21 24 30·1	+2·30	−16 1 41	+10·8	1 33·9	18	11 14 28·1	−0·35	+7 6 48	+2·8	15 21·4
19	21 25 25·3	+2·30	−15 57 23	+10·8	1 30·9	19	11 14 19·7	−0·36	+7 7 56	+2·9	15 17·4
20	21 26 20·7	+2·31	−15 53 3	+10·9	1 27·9	20	11 14 10·9	−0·37	+7 9 7	+3·0	15 13·3
21	21 27 16·2	+2·31	−15 48 42	+10·9	1 24·8	21	11 14 1·8	−0·39	+7 10 20	+3·1	15 9·2
22	21 28 11·8	+2·32	−15 44 20	+11·0	1 21·8	22	11 13 52·3	−0·40	+7 11 36	+3·2	15 5·1
23	21 29 7·4	+2·32	−15 39 56	+11·0	1 18·8	23	11 13 42·5	−0·42	+7 12 53	+3·3	15 1·0
24	21 30 3·1	+2·33	−15 35 31	+11·1	1 15·8	24	11 13 32·3	−0·43	+7 14 12	+3·3	14 56·9
25	21 30 58·9	+2·33	−15 31 5	+11·1	1 12·8	25	11 13 21·8	−0·45	+7 15 33	+3·4	14 52·8
26	21 31 54·8	+2·33	−15 26 38	+11·2	1 9·8	26	11 13 11·0	−0·46	+7 16 56	+3·5	14 48·7
27	21 32 50·7	+2·33	−15 22 9	+11·3	1 6·8	27	11 12 59·8	−0·47	+7 18 21	+3·6	14 44·6
28	21 33 46·7	+2·33	−15 17 39	+11·3	1 3·8	28	11 12 48·3	−0·49	+7 19 48	+3·7	14 40·4
29	21 34 42·7	+2·33	−15 13 8	+11·3	1 0·8	29	11 12 36·5	−0·50	+7 21 16	+3·7	14 36·3
30	21 35 38·7	+2·34	−15 8 36	+11·4	0 57·8	30	11 12 24·4	−0·51	+7 22 46	+3·8	14 32·2
31	21 36 34·8	+2·34	−15 4 2	+11·4	0 54·8	31	11 12 12·0	−0·52	+7 24 18	+3·9	14 28·0
F.1	21 37 31·0	+2·34	−14 59 28	+11·5	0 51·8	F.1	11 11 59·3	−0·54	+7 25 51	+3·9	14 23·9

Datum	Jupiter Halbmesser	Horizontal-Parallaxe	Datum	Saturn Halbmesser	Horizontal-Parallaxe
	″	″		″	″
1	16·2	1·5	1	8·8	1·0
11	16·0	1·5	11	8·9	1·0
21	15·8	1·5	21	9·1	1·0
31	15·7	1·5	31	9·2	1·0

MOND-DISTANZEN.

Mittlere Greenwicher Zeit.

Datum	Namen u. Lage der Sterne		Mittag	Lg. pr.	III^h	Lg. pr.	VI^h	Lg. pr.	IX^h	Lg. pr.
			° ′ ″		° ′ ″		° ′ ″		° ′ ″	
1	Pollux	W.	57 38 7	3076	59 6 46	3072	60 35 30	3066	62 4 21	3061
	Regulus	W.	21 50 43	3159	23 17 41	3145	24 44 56	3132	26 12 27	3119
	Venus	O.	75 35 49	3183	74 9 20	3180	72 42 47	3178	71 16 11	3175
	Antares	O.	79 3 55	3082	77 35 24	3078	76 6 48	3074	74 38 7	3069
	Sonne	O.	111 4 28	3458	109 43 17	3454	108 22 1	3448	107 0 39	3443
2	Pollux	W.	69 30 24	3028	71 0 2	3020	72 29 50	3011	73 59 49	3002
	Regulus	W.	33 33 40	3062	35 2 36	3051	36 31 46	3040	38 1 9	3029
	Venus	O.	64 2 2	3151	62 34 54	3145	61 7 39	3138	59 40 16	3131
	Antares	O.	67 13 3	3039	65 43 39	3031	64 14 5	3024	62 44 22	3016
	Sonne	O.	100 12 5	3407	98 49 57	3399	97 27 39	3390	96 5 11	3380
3	Pollux	W.	81 32 43	2950	83 3 58	2939	84 35 27	2927	86 7 12	2915
	Regulus	W.	45 31 39	2969	47 2 30	2956	48 33 38	2942	50 5 3	2930
	Saturn	W.	26 38 46	2971	28 9 35	2956	29 40 43	2942	31 12 9	2927
	Venus	O.	52 21 1	3089	50 52 38	3080	49 24 4	3070	47 55 18	3060
	Antares	O.	55 13 3	2968	53 42 10	2958	52 11 5	2947	50 39 46	2935
	Sonne	O.	89 9 56	3325	87 46 14	3313	86 22 17	3300	84 58 5	3286
4	Pollux	W.	93 50 3	2846	95 23 31	2831	96 57 18	2816	98 31 25	2801
	Regulus	W.	57 46 30	2857	59 19 44	2841	60 53 18	2826	62 27 12	2810
	Saturn	W.	38 54 6	2850	40 27 29	2834	42 1 12	2818	43 35 17	2801
	Venus	O.	40 28 7	3003	38 57 58	2992	37 27 35	2979	35 56 56	2967
	Antares	O.	42 59 30	2876	41 26 41	2864	39 53 36	2852	38 20 15	2838
	Sonne	O.	77 52 57	3212	76 27 2	3196	75 0 48	3180	73 34 15	3163
5	Regulus	W.	70 22 6	2725	71 58 12	2708	73 34 41	2690	75 11 34	2672
	Saturn	W.	51 31 9	2716	53 7 28	2698	54 44 11	2680	56 21 18	2662
	Antares	O.	30 29 32	2781	28 54 39	2772	27 19 34	2763	25 44 17	2756
	Sonne	O.	66 16 17	3074	64 47 36	3056	63 18 33	3037	61 49 6	3018
6	Regulus	W.	83 22 7	2580	85 1 29	2562	86 41 16	2543	88 21 29	2525
	Saturn	W.	64 33 5	2569	66 12 42	2550	67 52 46	2531	69 33 16	2513
	Sonne	O.	54 15 53	2921	52 44 1	2901	51 11 44	2882	49 39 2	2862
7	Regulus	W.	96 49 3	2433	98 31 51	2414	100 15 6	2396	101 58 46	2379
	Saturn	W.	78 2 17	2419	79 45 25	2401	81 28 58	2383	83 12 57	2364
	Sonne	O.	41 49 15	2766	40 14 3	2747	38 38 26	2729	37 2 25	2711
8	Saturn	W.	91 59 17	2279	93 45 48	2263	95 32 42	2247	97 20 0	2232
	Sonne	O.	28 56 31	2629	27 18 15	2615	25 39 40	2602	24 0 48	2590
12	Sonne	W.	26 21 24	2378	28 5 31	2378	29 49 37	2380	31 33 40	2383
	α Arietis	O.	79 9 1	2163	77 19 37	2168	75 30 21	2174	73 41 14	2181
	Aldebaran	O.	109 36 26	2058	107 44 22	2062	105 52 25	2067	104 0 35	2072
13	Sonne	W.	40 12 23	2412	41 55 41	2420	43 38 47	2429	45 21 41	2438
	α Arietis	O.	64 38 52	2232	62 51 12	2245	61 3 52	2259	59 16 52	2274
	Aldebaran	O.	94 43 36	2105	92 52 44	2113	91 2 5	2121	89 11 38	2131
14	Sonne	W.	53 52 40	2492	55 34 4	2504	57 15 12	2517	58 56 2	2529
	α Arietis	O.	50 28 3	2368	48 43 43	2391	46 59 56	2417	45 16 45	2444
	Aldebaran	O.	80 3 13	2184	78 14 21	2196	76 25 47	2208	74 37 31	2220

MOND-DISTANZEN.

Mittlere Greenwicher Zeit.

Datum	Namen u. Lage der Sterne		Mitter-nacht	Lg. pr.	XV^h	Lg. pr.	XVIII^h	Lg. pr.	XXI^h	Lg. pr.
			° ′ ″		° ′ ″		° ′ ″		° ′ ″	
1	Pollux	W.	63 33 18	3056	65 2 22	3049	66 31 34	3042	68 0 55	3035
	Regulus	W.	27 40 13	3107	29 8 14	3096	30 36 29	3084	32 4 58	3073
	Venus	O.	69 49 32	3171	68 22 48	3166	66 55 58	3162	65 29 3	3157
	Antares	O.	73 9 20	3064	71 40 27	3059	70 11 27	3052	68 42 19	3046
	Sonne	O.	105 39 11	3437	104 17 36	3430	102 55 53	3423	101 34 3	3416
2	Pollux	W.	75 29 59	2993	77 0 21	2983	78 30 55	2973	80 1 42	2961
	Regulus	W.	39 30 46	3018	41 0 37	3006	42 30 42	2993	44 1 3	2981
	Venus	O.	58 12 44	3123	56 45 3	3115	55 17 12	3108	53 49 12	3099
	Antares	O.	61 14 29	3007	59 44 25	2997	58 14 9	2989	56 43 42	2979
	Sonne	O.	94 42 32	3371	93 19 42	3360	91 56 40	3349	90 33 25	3337
3	Pollux	W.	87 39 12	2902	89 11 28	2888	90 44 2	2874	92 16 54	2861
	Regulus	W.	51 36 44	2916	53 8 43	2901	54 41 0	2887	56 13 36	2873
	Saturn	W.	32 43 54	2912	34 15 58	2897	35 48 21	2882	37 21 3	2866
	Venus	O.	46 26 19	3049	44 57 7	3038	43 27 41	3026	41 58 1	3015
	Antares	O.	49 8 12	2924	47 36 24	2913	46 4 22	2901	44 32 4	2888
	Sonne	O.	83 33 37	3272	82 8 53	3258	80 43 52	3243	79 18 34	3227
4	Pollux	W.	100 5 52	2785	101 40 39	2769	103 15 48	2753	104 51 18	2736
	Regulus	W.	64 1 27	2793	65 36 4	2777	67 11 2	2760	68 46 23	2743
	Saturn	W.	45 9 43	2785	46 44 31	2768	48 19 41	2751	49 55 13	2733
	Venus	O.	34 26 2	2955	32 54 53	2942	31 23 28	2931	29 51 48	2920
	Antares	O.	36 46 37	2827	35 12 44	2815	33 38 36	2802	32 4 11	2792
	Sonne	O.	72 7 22	3145	70 40 7	3128	69 12 32	3111	67 44 36	3092
5	Regulus	W.	76 48 51	2654	78 26 33	2636	80 4 39	2618	81 43 10	2599
	Saturn	W.	57 58 49	2643	59 36 45	2625	61 15 6	2606	62 53 53	2588
	Antares	O.	24 8 52	2751	22 33 20	2750	20 57 47	2753	19 22 17	2760
	Sonne	O.	60 19 16	2999	58 49 2	2979	57 18 23	2960	55 47 20	2941
6	Regulus	W.	90 2 8	2506	91 43 13	2488	93 24 43	2469	95 6 40	2450
	Saturn	W.	71 14 11	2494	72 55 33	2474	74 37 22	2457	76 19 36	2438
	Sonne	O.	48 5 55	2843	46 32 23	2824	44 58 26	2804	43 24 3	2785
7	Regulus	W.	103 42 51	2362	105 27 21	2344	107 12 16	2327	108 57 36	2311
	Saturn	W.	84 57 23	2347	86 42 14	2330	88 27 30	2313	90 13 11	2296
	Sonne	O.	35 26 0	2693	33 49 11	2676	32 11 59	2660	30 34 26	2644
8	Saturn	W.	99 7 40	2216	100 55 43	2202	102 44 7	2188	104 32 52	2174
	Sonne	W.	22 21 40	2580	20 42 18	2572	19 2 45	2567	17 23 5	2566
12	Sonne	W.	33 17 39	2387	35 1 32	2392	36 45 18	2398	38 28 55	2405
	α Arietis	O.	71 52 18	2190	70 3 35	2198	68 15 5	2208	66 26 50	2220
	Aldebaran	O.	102 8 53	2078	100 17 20	2083	98 25 55	2090	96 34 40	2097
13	Sonne	W.	47 4 22	2448	48 46 49	2457	50 29 2	2469	52 10 59	2480
	α Arietis	O.	57 30 14	2291	55 44 1	2308	53 58 14	2327	52 12 54	2347
	Aldebaran	O.	87 21 26	2141	85 31 29	2151	83 41 47	2162	81 52 22	2172
14	Sonne	W.	60 36 35	2543	62 16 49	2556	63 56 44	2570	65 36 20	2584
	α Arietis	O.	43 34 12	2472	41 52 20	2504	40 11 12	2538	38 30 52	2575
	Aldebaran	O.	72 49 34	2233	71 1 56	2247	69 14 38	2260	67 27 39	2274

MOND-DISTANZEN.

Mittlere Greenwicher Zeit.

Datum	Namen u. Lage der Sterne		Mittag	Lg. pr.	III^h	Lg. pr.	VI^h	Lg. pr.	IX^h	Lg. pr.
			° ′ ″		° ′ ″		° ′ ″		° ′ ″	
15	Sonne	W.	67 15 37	2598	68 54 35	2612	70 33 13	2627	72 11 31	2642
	α Arietis	O.	36 51 23	2617	35 12 51	2662	33 35 20	2713	31 58 57	2770
	Aldebaran	O.	65 41 1	2287	63 54 43	2301	62 8 45	2316	60 23 9	2330
	Pollux	O.	109 49 38	2276	108 3 4	2290	106 16 50	2303	104 30 55	2317
16	Sonne	W.	80 18 1	2716	81 54 19	2731	83 30 17	2747	85 5 54	2762
	α Pegasi	W.	33 48 22	4065	34 58 58	3936	36 11 41	3826	37 26 16	3730
	Mars	W.	23 54 59	2697	25 31 43	2704	27 8 18	2710	28 44 44	2719
	Aldebaran	O.	51 40 26	2405	49 56 58	2421	48 13 53	2436	46 31 9	2452
	Pollux	O.	95 46 21	2386	94 2 26	2400	92 18 52	2414	90 35 37	2428
17	Sonne	W.	92 59 6	2837	94 32 46	2851	96 6 8	2866	97 39 10	2880
	α Pegasi	W.	44 0 19	3419	45 22 14	3379	46 44 54	3345	48 8 13	3316
	Mars	W.	36 43 42	2772	38 18 46	2784	39 53 35	2796	41 28 8	2808
	Aldebaran	O.	38 3 10	2533	36 22 43	2551	34 42 40	2569	33 3 2	2586
	Pollux	O.	82 4 19	2497	80 23 1	2511	78 42 3	2524	77 1 23	2537
18	Sonne	W.	105 19 48	2950	106 51 3	2964	108 22 1	2977	109 52 42	2991
	α Pegasi	W.	55 11 56	3221	56 37 40	3209	58 3 38	3200	59 29 47	3193
	Mars	W.	49 16 59	2869	50 49 58	2880	52 22 42	2892	53 55 11	2905
	Pollux	O.	68 42 37	2602	67 3 45	2615	65 25 10	2627	63 46 52	2639
	Regulus	O.	104 48 43	2607	103 9 58	2620	101 31 30	2631	99 53 17	2643
19	Sonne	W.	117 22 2	3054	118 51 8	3067	120 19 58	3079	121 48 33	3091
	α Pegasi	W.	66 42 9	3176	68 8 47	3176	69 35 25	3177	71 2 2	3178
	Mars	W.	61 33 50	2961	63 4 51	2973	64 35 38	2984	66 6 11	2994
	α Arietis	W.	23 21 38	3490	24 42 13	3409	26 4 19	3343	27 27 42	3287
	Pollux	O.	55 39 25	2698	54 2 43	2710	52 26 16	2721	50 50 4	2732
	Regulus	O.	91 46 9	2699	90 9 28	2710	88 33 2	2722	86 56 51	2732
	Saturn	O.	110 11 47	2680	108 34 40	2690	106 57 47	2701	105 21 8	2711
20	α Pegasi	W.	78 14 25	3195	79 40 40	3200	81 6 49	3205	82 32 52	3212
	Mars	W.	73 35 41	3046	75 4 57	3055	76 34 2	3064	78 2 55	3074
	α Arietis	W.	34 37 20	3129	36 4 54	3112	37 32 49	3097	39 1 2	3086
	Pollux	O.	42 52 41	2786	41 17 55	2796	39 43 22	2807	38 9 3	2818
	Regulus	O.	78 59 17	2782	77 24 25	2792	75 49 46	2801	74 15 19	2810
	Saturn	O.	97 21 14	2760	95 45 54	2769	94 10 45	2778	92 35 49	2787
21	α Pegasi	W.	89 41 9	3247	91 6 22	3256	92 31 25	3265	93 56 17	3274
	Mars	W.	85 24 30	3119	86 52 17	3127	88 19 54	3136	89 47 20	3143
	α Arietis	W.	46 24 47	3056	47 53 51	3053	49 22 58	3051	50 52 8	3051
	Pollux	O.	30 20 55	2872	28 48 0	2883	27 15 20	2895	25 42 55	2908
	Regulus	O.	66 26 0	2854	64 52 42	2862	63 19 35	2871	61 46 39	2879
	Saturn	O.	84 43 56	2829	83 10 6	2837	81 36 26	2845	80 2 56	2852
22	Mars	W.	97 2 8	3183	98 28 38	3190	99 54 59	3197	101 21 12	3204
	α Arietis	W.	58 17 55	3055	59 47 0	3056	61 16 3	3059	62 45 3	3062
	Aldebaran	W.	26 56 43	2974	28 27 28	2974	29 58 13	2975	31 28 57	2976
	Regulus	O.	54 4 32	2919	52 32 37	2927	51 0 52	2934	49 29 17	2942
	Saturn	O.	72 17 52	2889	70 45 19	2896	69 12 55	2903	67 40 40	2909
	Spica	O.	108 7 13	2924	106 35 25	2931	105 3 46	2938	103 32 15	2944

MOND-DISTANZEN.

Mittlere Greenwicher Zeit.

Datum	Namen u. Lage der Sterne		Mitter-nacht	Lg. pr.	XV^h	Lg. pr.	XVIII^h	Lg. pr.	XXI^h	Lg. pr.
			° ′ ″		° ′ ″		° ′ ″		° ′ ″	
15	Sonne	W.	73 49 29	2656	75 27 8	2672	77 4 26	2686	78 41 24	2702
	α Arietis	O.	30 23 50	2834	28 50 7	2909	27 18 0	2996	25 47 42	3097
	Aldebaran	O.	58 37 53	2345	56 52 59	2359	55 8 26	2375	53 24 15	2390
	Pollux	O.	102 45 21	2331	101 0 6	2344	99 15 11	2358	97 30 36	2372
16	Sonne	W.	86 41 12	2777	88 16 10	2792	89 50 48	2807	91 25 7	2822
	α Pegasi	W.	38 42 31	3649	40 0 13	3579	41 19 10	3517	42 39 15	3464
	Mars	W.	30 20 58	2728	31 57 0	2739	33 32 48	2749	35 8 23	2761
	Aldebaran	O.	44 48 48	2468	43 6 50	2484	41 25 14	2499	39 44 0	2517
	Pollux	O.	88 52 42	2442	87 10 7	2456	85 27 52	2470	83 45 56	2484
17	Sonne	W.	99 11 54	2894	100 44 20	2909	102 16 27	2923	103 48 16	2937
	α Pegasi	W.	49 32 6	3290	50 56 29	3269	52 21 17	3250	53 46 27	3234
	Mars	W.	43 2 26	2820	44 36 28	2832	46 10 14	2845	47 43 44	2856
	Aldebaran	O.	31 23 48	2605	29 45 0	2625	28 6 39	2646	26 28 47	2668
	Pollux	O.	75 21 1	2551	73 40 58	2564	72 1 13	2577	70 21 46	2590
18	Sonne	W.	111 23 6	3004	112 53 14	3017	114 23 6	3030	115 52 42	3043
	α Pegasi	W.	60 56 5	3188	62 22 29	3183	63 48 59	3179	65 15 33	3178
	Mars	W.	55 27 24	2916	56 59 22	2927	58 31 6	2939	60 2 35	2950
	Pollux	O.	62 8 50	2652	60 31 5	2663	58 53 36	2675	57 16 23	2686
	Regulus	O.	98 15 20	2654	96 37 39	2666	95 0 14	2678	93 23 4	2689
19	Sonne	W.	123 16 54	3102	124 45 1	3114	126 12 54	3125	127 40 33	3137
	α Pegasi	W.	72 28 37	3180	73 55 10	3183	75 21 39	3186	76 48 5	3191
	Mars	W.	67 36 31	3005	69 6 37	3015	70 36 31	3026	72 6 12	3035
	α Arietis	W.	28 52 9	3242	30 17 28	3205	31 43 31	3175	33 10 10	3149
	Pollux	O.	49 14 7	2743	47 38 24	2753	46 2 55	2765	44 27 41	2775
	Regulus	O.	85 20 53	2742	83 45 9	2753	82 9 39	2762	80 34 21	2772
	Saturn	O.	103 44 43	2721	102 8 31	2731	100 32 33	2741	98 56 47	2750
20	α Pegasi	W.	83 58 47	3218	85 24 35	3225	86 50 15	3232	88 15 46	3239
	Mars	W.	79 31 36	3083	81 0 6	3092	82 28 25	3101	83 56 33	3110
	α Arietis	W.	40 29 28	3077	41 58 6	3069	43 26 53	3064	44 55 47	3059
	Pollux	O.	36 34 58	2828	35 1 7	2838	33 27 29	2849	31 54 5	2860
	Regulus	O.	72 41 4	2819	71 7 1	2828	69 33 9	2837	67 59 29	2845
	Saturn	O.	91 1 4	2795	89 26 30	2804	87 52 8	2812	86 17 56	2821
21	α Pegasi	W.	95 20 59	3283	96 45 30	3294	98 9 48	3304	99 33 55	3315
	Mars	W.	91 14 37	3152	92 41 44	3160	94 8 41	3168	95 35 29	3175
	α Arietis	W.	52 21 18	3050	53 50 29	3051	55 19 39	3052	56 48 48	3053
	Pollux	O.	24 10 46	2921	22 38 54	2936	21 7 21	2953	19 36 9	2971
	Regulus	O.	60 13 53	2887	58 41 18	2894	57 8 52	2903	55 36 37	2911
	Saturn	O.	78 29 36	2860	76 56 26	2868	75 23 26	2874	73 50 34	2882
22	Mars	W.	102 47 16	3212	104 13 11	3219	105 38 58	3225	107 4 37	3232
	α Arietis	W.	64 13 59	3064	65 42 52	3067	67 11 42	3071	68 40 27	3074
	Aldebaran	W.	32 59 40	2978	34 30 20	2981	36 0 57	2983	37 31 31	2986
	Regulus	O.	47 57 51	2950	46 26 35	2958	44 55 29	2965	43 24 32	2973
	Saturn	O.	66 8 33	2916	64 36 35	2923	63 4 45	2928	61 33 2	2935
	Spica	O.	102 0 52	2950	100 29 37	2957	98 58 30	2962	97 27 30	2968

MOND-DISTANZEN.

Mittlere Greenwicher Zeit.

Datum	Namen u. Lage der Sterne		Mittag	Lg. pr.	III^h	Lg. pr.	VI^h	Lg. pr.	IX^h	Lg. pr.
			° ′ ″		° ′ ″		° ′ ″		° ′ ″	
23	α Arietis	W.	70 9 8	3078	71 37 45	3081	73 6 18	3086	74 34 45	3089
	Aldebaran	W.	39 2 1	2990	40 32 26	2993	42 2 47	2997	43 33 3	3001
	Regulus	O.	41 53 45	2981	40 23 8	2989	38 52 41	2996	37 22 23	3005
	Saturn	O.	60 1 28	2942	58 30 2	2947	56 58 43	2954	55 27 32	2960
	Spica	O.	95 56 37	2974	94 25 52	2980	92 55 14	2986	91 24 44	2991
24	α Arietis	W.	81 55 51	3109	83 23 49	3114	84 51 42	3118	86 19 30	3123
	Aldebaran	W.	51 3 13	3021	52 33 0	3025	54 2 42	3029	55 32 19	3033
	Regulus	O.	29 53 36	3050	28 24 25	3061	26 55 28	3073	25 26 45	3085
	Saturn	O.	47 53 27	2989	46 23 0	2993	44 52 39	2999	43 22 25	3004
	Spica	O.	83 53 55	3019	82 24 6	3023	80 54 22	3029	79 24 45	3034
25	α Arietis	W.	93 37 7	3145	95 4 22	3149	96 31 32	3153	97 58 37	3158
	Aldebaran	W.	62 59 13	3052	64 28 22	3056	65 57 26	3058	67 26 27	3062
	Pollux	W.	18 55 29	3104	20 23 34	3100	21 51 44	3095	23 20 0	3092
	Saturn	O.	35 52 54	3031	34 23 20	3037	32 53 53	3042	31 24 32	3047
	Spica	O.	71 58 12	3057	70 29 10	3062	69 0 14	3067	67 31 24	3071
26	Aldebaran	W.	74 50 31	3077	76 19 9	3079	77 47 44	3082	79 16 16	3083
	Pollux	W.	30 41 49	3089	32 10 12	3089	33 38 35	3090	35 6 57	3091
	Spica	O.	60 8 29	3091	58 40 9	3095	57 11 53	3098	55 43 41	3102
	Antares	O.	106 0 42	3076	104 32 3	3079	103 3 28	3082	101 34 56	3083
27	Aldebaran	W.	86 38 21	3091	88 6 41	3093	89 34 59	3094	91 3 16	3095
	Pollux	W.	42 28 37	3092	43 56 56	3092	45 25 15	3093	46 53 33	3092
	Spica	O.	48 23 47	3119	46 56 1	3122	45 28 18	3125	44 0 39	3128
	Antares	O.	94 12 50	3091	92 44 30	3093	91 16 12	3093	89 47 54	3094
	Venus	O.	106 51 34	3422	105 29 42	3423	104 7 52	3425	102 46 4	3426
28	Pollux	W.	54 15 14	3089	55 43 37	3087	57 12 2	3085	58 40 30	3083
	Regulus	W.	18 29 46	3201	19 55 54	3183	21 22 23	3169	22 49 9	3156
	Spica	O.	36 43 23	3146	35 16 9	3150	33 49 0	3154	32 21 56	3159
	Antares	O.	82 26 31	3094	80 58 14	3092	79 29 55	3091	78 1 34	3090
	Venus	O.	95 57 15	3427	94 35 29	3427	93 13 43	3426	91 51 56	3424
29	Pollux	W.	66 3 31	3069	67 32 19	3064	69 1 12	3060	70 30 10	3056
	Regulus	W.	30 6 18	3109	31 34 16	3102	33 2 23	3094	34 30 40	3087
	Antares	O.	70 39 18	3077	69 10 41	3074	67 42 0	3070	66 13 14	3067
	Venus	O.	85 2 33	3414	83 40 32	3410	82 18 27	3407	80 56 19	3403
	Sonne	O.	131 1 40	3468	129 40 40	3463	128 19 34	3458	126 58 23	3452
30	Pollux	W.	77 56 32	3027	79 26 11	3021	80 55 58	3013	82 25 54	3006
	Regulus	W.	41 54 20	3047	43 23 34	3040	44 52 57	3031	46 22 31	3022
	Saturn	W.	23 58 31	3033	25 28 3	3023	26 57 47	3012	28 27 45	3002
	Antares	O.	58 48 5	3042	57 18 44	3036	55 49 16	3030	54 19 40	3022
	Venus	O.	74 4 19	3377	72 41 36	3371	71 18 46	3365	69 55 49	3357
	Sonne	O.	120 10 47	3421	118 48 54	3412	117 26 51	3404	116 4 39	3396
31	Pollux	W.	89 58 6	2962	91 29 6	2952	93 0 19	2942	94 31 45	2931
	Regulus	W.	53 53 11	2974	55 23 56	2963	56 54 55	2952	58 26 8	2941
	Saturn	W.	36 0 44	2950	37 31 59	2939	39 3 29	2927	40 35 13	2916
	Antares	O.	46 49 28	2985	45 18 57	2977	43 48 15	2968	42 17 22	2960
	Venus	O.	62 58 47	3315	61 34 53	3305	60 10 47	3295	58 46 30	3285
	Sonne	O.	109 11 5	3347	107 47 48	3336	106 24 18	3324	105 0 34	3313

MOND-DISTANZEN.

Mittlere Greenwicher Zeit.

Datum	Namen u. Lage der Sterne		Mitternacht	Lg. pr.	XV^h	Lg. pr.	XVIII^h	Lg. pr.	XXI^h	Lg. pr.
			° ′ ″		° ′ ″		° ′ ″		° ′ ″	
23	α Arietis	W.	76 3 8	3092	77 31 27	3097	78 59 40	3101	80 27 48	3105
	Aldebaran	W.	45 3 15	3005	46 33 22	3009	48 3 24	3013	49 33 21	3017
	Regulus	O.	35 52 16	3013	34 22 20	3022	32 52 34	3030	31 22 59	3040
	Saturn	O.	53 56 29	2965	52 25 33	2971	50 54 44	2977	49 24 2	2982
	Spica	O.	89 54 20	2997	88 24 4	3002	86 53 54	3008	85 23 51	3013
24	α Arietis	W.	87 47 12	3127	89 14 49	3132	90 42 20	3136	92 9 46	3140
	Aldebaran	W.	57 1 51	3037	58 31 18	3040	60 0 41	3044	61 29 59	3047
	Regulus	O.	23 58 17	3100	22 30 7	3116	21 2 17	3134	19 34 49	3156
	Saturn	O.	41 52 17	3010	40 22 17	3015	38 52 23	3020	37 22 35	3026
	Spica	O.	77 55 15	3038	76 25 50	3043	74 56 31	3049	73 27 19	3053
25	α Arietis	W.	99 25 36	3163	100 52 29	3168	102 19 17	3172	103 46 0	3177
	Aldebaran	W.	68 55 23	3065	70 24 15	3068	71 53 4	3071	73 21 49	3073
	Pollux	W.	24 48 19	3091	26 16 40	3089	27 45 3	3089	29 13 26	3089
	Saturn	O.	29 55 17	3053	28 26 10	3059	26 57 10	3065	25 28 18	3071
	Spica	O.	66 2 39	3075	64 33 59	3079	63 5 24	3083	61 36 54	3087
26	Aldebaran	W.	80 44 46	3086	82 13 13	3087	83 41 38	3090	85 10 0	3091
	Pollux	W.	36 35 18	3091	38 3 39	3091	39 31 59	3091	41 0 18	3092
	Spica	O.	54 15 34	3105	52 47 31	3109	51 19 32	3113	49 51 38	3115
	Antares	O.	100 6 26	3086	98 37 59	3087	97 9 34	3089	95 41 11	3091
27	Aldebaran	W.	92 31 32	3095	93 59 48	3095	95 28 4	3095	96 56 20	3095
	Pollux	W.	48 21 52	3092	49 50 11	3091	51 18 31	3091	52 46 52	3090
	Spica	O.	42 33 3	3132	41 5 32	3135	39 38 5	3138	38 10 42	3142
	Antares	O.	88 19 37	3095	86 51 21	3095	85 23 5	3094	83 54 48	3094
	Venus	O.	101 24 17	3427	100 2 31	3427	98 40 45	3428	97 19 0	3428
28	Pollux	W.	60 9 0	3082	61 37 32	3078	63 6 8	3075	64 34 48	3073
	Regulus	W.	24 16 11	3145	25 43 26	3136	27 10 52	3126	28 38 30	3118
	Spica	O.	30 54 58	3165	29 28 7	3173	28 1 25	3180	26 34 52	3190
	Antares	O.	76 33 12	3088	75 4 48	3086	73 36 21	3083	72 7 51	3081
	Venus	O.	90 30 7	3423	89 8 17	3422	87 46 25	3420	86 24 31	3416
29	Pollux	W.	71 59 13	3051	73 28 23	3046	74 57 39	3040	76 27 2	3034
	Regulus	W.	35 59 5	3079	37 27 40	3072	38 56 24	3064	40 25 17	3056
	Antares	O.	64 44 24	3062	63 15 28	3058	61 46 27	3052	60 17 19	3047
	Venus	O.	79 34 6	3399	78 11 48	3393	76 49 24	3389	75 26 55	3383
	Sonne	O.	125 37 5	3447	124 15 42	3440	122 54 11	3434	121 32 33	3427
30	Pollux	W.	83 55 59	2997	85 26 15	2989	86 56 41	2981	88 27 18	2972
	Regulus	W.	47 52 16	3013	49 22 12	3005	50 52 19	2994	52 22 39	2985
	Saturn	W.	29 57 55	2992	31 28 18	2981	32 58 54	2972	34 29 42	2961
	Antares	O.	52 49 55	3016	51 20 2	3009	49 50 0	3001	48 19 49	2994
	Venus	O.	68 32 43	3349	67 9 28	3341	65 46 4	3333	64 22 31	3324
	Sonne	O.	114 42 18	3386	113 19 46	3378	111 57 4	3367	110 34 10	3358
31	Pollux	W.	96 3 25	2920	97 35 19	2908	99 7 28	2896	100 39 52	2883
	Regulus	W.	59 57 35	2929	61 29 17	2916	63 1 15	2904	64 33 29	2891
	Saturn	W.	42 7 12	2903	43 39 27	2891	45 11 57	2879	46 44 43	2866
	Antares	O.	40 46 19	2950	39 15 4	2942	37 43 38	2932	36 12 0	2923
	Venus	O.	57 22 1	3274	55 57 19	3263	54 32 24	3251	53 7 15	3240
	Sonne	O.	103 36 37	3300	102 12 25	3287	100 47 59	3274	99 23 17	3260

Tag im Jahre	Wochentag und Datum		Mittlerer Greenwicher Mittag. Sonne. Rect-ascension	Stdl. Aend.	Declination — Süd	Stündl. Aenderung	Halbmesser	Zeitgleichung + Zur wahren Zeit zu addiren	Stündl. Aenderung	Declination der Sonne im wahren Greenwicher Mittage
			h m s	s	° ′ ″	″	′ ″	m s	s	° ′ ″
32	Sonntag	1	20 59 25·3	10·19	—17 5 45	+42·7	16 16	+13 48·0	+0·33	—17 5 35
33	Montag	2	21 3 29·4	10·16	—16 48 31	+43·5	16 16	+13 55·6	+0·30	—16 48 20
34	Dienst.	3	21 7 32·7	10·12	—16 30 59	+44·2	16 16	+14 2·3	+0·26	—16 30 48
35	Mittw.	4	21 11 35·2	10·09	—16 13 9	+44·9	16 15	+14 8·3	+0·23	—16 12 59
36	Donner.	5	21 15 36·9	10·06	—15 55 3	+45·6	16 15	+14 13·4	+0·20	—15 54 53
37	Freitag	6	21 19 37·8	10·02	—15 36 41	+46·3	16 15	+14 17·8	+0·16	—15 36 30
38	Samstag	7	21 23 38·0	9·99	—15 18 2	+46·9	16 15	+14 21·4	+0·13	—15 17 51
39	Sonntag	8	21 27 37·3	9·96	—14 59 8	+47·6	16 15	+14 24·1	+0·10	—14 58 57
40	Montag	9	21 31 35·8	9·92	—14 39 59	+48·2	16 15	+14 26·1	+0·07	—14 39 47
41	Dienst.	10	21 35 33·6	9·89	—14 20 35	+48·8	16 14	+14 27·3	+0·03	—14 20 23
42	Mittw.	11	21 39 30·5	9·86	—14 0 57	+49·4	16 14	+14 27·7	0·00	—14 0 45
43	Donner.	12	21 43 26·7	9·82	—13 41 4	+49·9	16 14	+14 27·3	—0·03	—13 40 52
44	Freitag	13	21 47 22·1	9·79	—13 20 59	+50·5	16 14	+14 26·1	—0·07	—13 20 47
45	Samstag	14	21 51 16·7	9·76	—13 0 40	+51·0	16 14	+14 24·2	—0·10	—13 0 28
46	Sonntag	15	21 55 10·6	9·73	—12 40 9	+51·5	16 13	+14 21·5	—0·13	—12 39 57
47	Montag	16	21 59 3·7	9·70	—12 19 26	+52·0	16 13	+14 18·1	—0·16	—12 19 13
48	Dienst.	17	22 2 56·1	9·67	—11 58 31	+52·5	16 13	+14 13·9	—0·19	—11 58 18
49	Mittw.	18	22 6 47·7	9·64	—11 37 24	+53·0	16 13	+14 9·0	—0·22	—11 37 12
50	Donner.	19	22 10 38·7	9·61	—11 16 7	+53·4	16 13	+14 3·4	—0·25	—11 15 55
51	Freitag	20	22 14 29·0	9·58	—10 54 40	+53·9	16 12	+13 57·2	—0·28	—10 54 27
52	Samstag	21	22 18 18·6	9·55	—10 33 2	+54·3	16 12	+13 50·2	—0·30	—10 32 49
53	Sonntag	22	22 22 7·6	9·53	—10 11 15	+54·7	16 12	+13 42·6	—0·33	—10 11 2
54	Montag	23	22 25 55·9	9·50	— 9 49 18	+55·0	16 12	+13 34·4	—0·36	— 9 49 6
55	Dienst.	24	22 29 43·6	9·48	— 9 27 13	+55·4	16 12	+13 25·6	—0·38	— 9 27 0
56	Mittw.	25	22 33 30·7	9·45	— 9 4 59	+55·8	16 11	+13 16·1	—0·41	— 9 4 46
57	Donner.	26	22 37 17·3	9·43	— 8 42 37	+56·1	16 11	+13 6·1	—0·43	— 8 42 24
58	Freitag	27	22 41 3·3	9·41	— 8 20 7	+56·4	16 11	+12 55·6	—0·45	— 8 19 55
59	Samstag	28	22 44 48·7	9·38	— 7 57 30	+56·7	16 11	+12 44·5	—0·47	— 7 57 18
60	Sonntag	M. 1	22 48 33·7	9·36	— 7 34 45	+57·0	16 10	+12 32·9	—0·49	— 7 34 34

Wochentag und Datum		Sternzeit im mittleren Greenwich. Mittage	Mittlere Greenwicher Zeit. Mond. Obere Culmination	Stündliche Verzögerung	Halbmesser Mittag	Halbmesser Mitternacht	Horizontal-Parallaxe Mittag	Stündl. Aenderung	Horizontal-Parallaxe Mitternacht	Stündl. Aenderung	Alter Mittag
		h m s	h m	m	′ ″	′ ″	′ ″	″	′ ″	″	d
Sonntag	1	20 45 37·3	17 59·7	1·92	15 9	15 15	55 31	+1·7	55 52	+1·9	21·9
Montag	2	20 49 33·8	18 47·5	2·09	15 21	15 28	56 16	+2·0	56 41	+2·2	22·9
Dienst.	3	20 53 30·4	19 39·8	2·28	15 36	15 43	57 8	+2·3	57 36	+2·4	23·9
Mittw.	4	20 57 26·9	20 37·0	2·47	15 51	15 59	58 6	+2·4	58 35	+2·4	24·9
Donner.	5	21 1 23·5	21 38·4	2·60	16 7	16 15	59 4	+2·4	59 32	+2·3	25·9
Freitag	6	21 5 20·0	22 42·0	2·64	16 22	16 29	59 59	+2·1	60 23	+1·9	26·9
Samstag	7	21 9 16·6	23 45·3	2·57	16 35	16 39	60 44	+1·6	61 1	+1·2	27·9
Sonntag	8	21 13 13·1	*		16 43	16 45	61 14	+0·9	61 22	+0·4	28·9
Montag	9	21 17 9·7	0 45·9	2·45	16 46	16 45	61 25	0·0	61 22	−0·4	0·4
Dienst.	10	21 21 6·3	1 42·8	2·31	16 43	16 40	61 15	−0·8	61 3	−1·2	1·4
Mittw.	11	21 25 2·8	2 36·4	2·18	16 35	16 30	60 47	−1·5	60 27	−1·8	2·4
Donner.	12	21 28 59·4	3 27·5	2·10	16 24	16 17	60 4	−2·0	59 39	−2·2	3·4
Freitag	13	21 32 55·9	4 17·1	2·06	16 10	16 2	59 12	−2·3	58 45	−2·3	4·4
Samstag	14	21 36 52·5	5 6·5	2·07	15 55	15 47	58 17	−2·3	57 50	−2·3	5·4
Sonntag	15	21 40 49·0	5 56·4	2·09	15 40	15 33	57 23	−2·2	56 58	−2·1	6·4
Montag	16	21 44 45·6	6 47·2	2·14	15 26	15 20	56 34	−1·9	56 11	−1·8	7·4
Dienst.	17	21 48 42·2	7 39·0	2·16	15 15	15 9	55 51	−1·7	55 32	−1·5	8·4
Mittw.	18	21 52 38·7	8 31·1	2·16	15 5	15 1	55 15	−1·4	54 59	−1·2	9·4
Donner.	19	21 56 35·3	9 22·8	2·12	14 57	14 54	54 46	−1·0	54 34	−0·9	10·4
Freitag	20	22 0 31·8	10 12·9	2·05	14 51	14 49	54 24	−0·8	54 16	−0·6	11·4
Samstag	21	22 4 28·4	11 1·0	1·95	14 47	14 45	54 9	−0·5	54 4	−0·4	12·4
Sonntag	22	22 8 24·9	11 46·6	1·85	14 44	14 44	54 0	−0·3	53 57	−0·2	13·4
Montag	23	22 12 21·5	12 30·0	1·77	14 43	14 43	53 56	0·0	53 56	0·0	14·4
Dienst.	24	22 16 18·0	13 11·6	1·71	14 44	14 44	53 57	+0·2	54 0	+0·3	15·4
Mittw.	25	22 20 14·6	13 52·1	1·68	14 45	14 47	54 4	+0·4	54 9	+0·5	16·4
Donner.	26	22 24 11·1	14 32·5	1·69	14 49	14 51	54 16	+0·6	54 24	+0·8	17·4
Freitag	27	22 28 7·7	15 13·5	1·74	14 54	14 57	54 34	+0·9	54 46	+1·0	18·4
Samstag	28	22 32 4·2	15 56·3	1·84	15 1	15 5	54 59	+1·2	55 14	+1·3	19·4
Sonntag	M. 1	22 36 0·8	16 41·9	1·97	15 9	15 14	55 31	+1·5	55 50	+1·6	20·4

Rectascension und Declination des Mondes.

Sonntag 1.

Mittlere Green. Zeit h	Rectascension h	m	s	Aenderung in 10m s	Declination — Süd °	′	″	Aenderung in 10m ″
0	14	12	52·2	19·24	— 10	1	37	— 123·5
1	14	14	47·8	19·29	— 10	13	57	— 123·2
2	14	16	43·7	19·33	— 10	26	15	— 122·9
3	14	18	39·8	19·38	— 10	38	31	— 122·6
4	14	20	36·2	19·42	— 10	50	46	— 122·2
5	14	22	32·9	19·47	— 11	2	58	— 121·9
6	14	24	29·9	19·52	— 11	15	8	— 121·6
7	14	26	27·1	19·57	— 11	27	17	— 121·2
8	14	28	24·7	19·62	— 11	39	23	— 120·8
9	14	30	22·5	19·67	— 11	51	27	— 120·5
10	14	32	20·7	19·72	— 12	3	28	— 120·1
11	14	34	19·1	19·77	— 12	15	28	— 119·7
12	14	36	17·9	19·82	— 12	27	25	— 119·3
13	14	38	17·0	19·87	— 12	39	19	— 118·9
14	14	40	16·4	19·93	— 12	51	11	— 118·4
15	14	42	16·1	19·98	— 13	3	0	— 118·0
16	14	44	16·1	20·04	— 13	14	47	— 117·6
17	14	46	16·5	20·09	— 13	26	31	— 117·1
18	14	48	17·2	20·15	— 13	38	12	— 116·6
19	14	50	18·3	20·20	— 13	49	51	— 116·2
20	14	52	19·7	20·26	— 14	1	26	— 115·7
21	14	54	21·4	20·32	— 14	12	59	— 115·2
22	14	56	23·5	20·38	— 14	24	28	— 114·7
23	14	58	26·0	20·44	— 14	35	55	— 114·1

Montag 2.

Mittlere Green. Zeit h	Rectascension h	m	s	Aenderung in 10m s	Declination — Süd °	′	″	Aenderung in 10m ″
0	15	0	28·8	20·50	— 14	47	18	— 113·6
1	15	2	32·0	20·56	— 14	58	38	— 113·0
2	15	4	35·5	20·62	— 15	9	55	— 112·5
3	15	6	39·4	20·68	— 15	21	8	— 111·9
4	15	8	43·7	20·75	— 15	32	18	— 111·3
5	15	10	48·4	20·81	— 15	43	24	— 110·7
6	15	12	53·5	20·88	— 15	54	27	— 110·1
7	15	14	58·9	20·94	— 16	5	26	— 109·5
8	15	17	4·8	21·01	— 16	16	21	— 108·9
9	15	19	11·0	21·07	— 16	27	12	— 108·2
10	15	21	17·6	21·14	— 16	38	0	— 107·6
11	15	23	24·7	21·21	— 16	48	44	— 106·9
12	15	25	32·1	21·27	— 16	59	23	— 106·2
13	15	27	40·0	21·34	— 17	9	58	— 105·5
14	15	29	48·2	22·41	— 17	20	30	— 104·8
15	15	31	56·9	21·48	— 17	30	56	— 104·1
16	15	34	6·0	21·55	— 17	41	19	— 103·4
17	15	36	15·5	21·62	— 17	51	37	— 102·6
18	15	38	25·4	21·69	— 18	1	50	— 101·9
19	15	40	35·8	21·76	— 18	11	59	— 101·1
20	15	42	46·6	21·84	— 18	22	4	— 100·3
21	15	44	57·8	21·91	— 18	32	3	— 99·5
22	15	47	9·5	21·98	— 18	41	57	— 98·7
23	15	49	21·6	22·05	— 18	51	47	— 97·8
24	15	51	34·1	22·13	— 19	1	32	— 97·0

Dienstag 3.

Mittlere Green. Zeit h	Rectascension h	m	s	Aenderung in 10m s	Declination — Süd °	′	″	Aenderung in 10m ″
0	15	51	34·1	22·13	— 19	1	32	— 97·0
1	15	53	47·1	22·20	— 19	11	11	— 96·1
2	15	56	0·6	22·28	— 19	20	45	— 95·3
3	15	58	14·5	22·35	— 19	30	14	— 94·4
4	16	0	28·8	22·43	— 19	39	38	— 93·5
5	16	2	43·6	22·50	— 19	48	56	— 92·5
6	16	4	58·8	22·58	— 19	58	8	— 91·6
7	16	7	14·5	22·65	— 20	7	15	— 90·7
8	16	9	30·6	22·73	— 20	16	16	— 89·7
9	16	11	47·2	22·80	— 20	25	11	— 88·7
10	16	14	4·3	22·88	— 20	34	1	— 87·7
11	16	16	21·8	22·96	— 20	42	44	— 86·7
12	16	18	39·8	23·03	— 20	51	21	— 85·7
13	16	20	58·2	23·11	— 20	59	52	— 84·7
14	16	23	17·1	23·19	— 21	8	17	— 83·6
15	16	25	36·5	23·27	— 21	16	35	— 82·5
16	16	27	56·4	23·34	— 21	24	47	— 81·4
17	16	30	16·7	23·42	— 21	32	53	— 80·3
18	16	32	37·4	23·50	— 21	40	51	— 79·2
19	16	34	58·6	23·58	— 21	48	43	— 78·1
20	16	37	20·3	23·65	— 21	56	28	— 76·9
21	16	39	42·5	23·73	— 22	4	6	— 75·8
22	16	42	5·1	23·81	— 22	11	37	— 74·6
23	16	44	28·2	23·88	— 22	19	1	— 73·4

Mittwoch 4.

Mittlere Green. Zeit h	Rectascension h	m	s	Aenderung in 10m s	Declination — Süd °	′	″	Aenderung in 10m ″
0	16	46	51·7	23·96	— 22	26	18	— 72·2
1	16	49	15·7	24·04	— 22	33	27	— 70·9
2	16	51	40·2	24·12	— 22	40	29	— 69·7
3	16	54	5·1	24·19	— 22	47	23	— 68·4
4	16	56	30·5	24·27	— 22	54	10	— 67·1
5	16	58	56·3	24·34	— 23	0	49	— 65·8
6	17	1	22·6	24·42	— 23	7	20	— 64·5
7	17	3	49·4	24·49	— 23	13	43	— 63·2
8	17	6	16·6	24·57	— 23	19	59	— 61·9
9	17	8	44·2	24·64	— 23	26	6	— 60·5
10	17	11	12·3	24·72	— 23	32	5	— 59·2
11	17	13	40·8	24·79	— 23	37	56	— 57·8
12	17	16	9·7	24·86	— 23	43	38	— 56·4
13	17	18	39·1	24·93	— 23	49	12	— 54·9
14	17	21	9·0	25·01	— 23	54	38	— 53·5
15	17	23	39·2	25·08	— 23	59	55	— 52·1
16	17	26	9·9	25·15	— 24	5	3	— 50·6
17	17	28	41·0	25·22	— 24	10	2	— 49·1
18	17	31	12·5	25·29	— 24	14	52	— 47·6
19	17	33	44·4	25·35	— 24	19	33	— 46·1
20	17	36	16·7	25·42	— 24	24	6	— 44·6
21	17	38	49·4	25·49	— 24	28	29	— 43·1
22	17	41	22·6	25·55	— 24	32	42	— 41·5
23	17	43	56·1	25·62	— 24	36	47	— 39·9
24	17	46	30·0	25·68	— 24	40	42	— 38·4

Rectascension und Declination des Mondes.

Donnerstag 5.

Mittlere Green. Zeit	Rectascension	Aenderung in 10m	Declination — Süd	Aenderung in 10m
h	h m s	s	° ′ ″	″
0	17 46 30·0	25·68	— 24 40 42	— 38·4
1	17 49 4·2	25·74	— 24 44 27	— 36·8
2	17 51 38·9	25·80	— 24 48 3	— 35·2
3	17 54 13·9	25·86	— 24 51 29	— 33·6
4	17 56 49·3	25·92	— 24 54 46	— 31·9
5	17 59 25·0	25·98	— 24 57 52	— 30·3
6	18 2 1·1	26·04	— 25 0 49	— 28·6
7	18 4 37·5	26·10	— 25 3 36	— 27·0
8	18 7 14·2	26·15	— 25 6 13	— 25·3
9	18 9 51·3	26·21	— 25 8 39	— 23·6
10	18 12 28·7	26·26	— 25 10 56	— 21·9
11	18 15 6·4	26·31	— 25 13 2	— 20·2
12	18 17 44·4	26·36	— 25 14 58	— 18·4
13	18 20 22·7	26·41	— 25 16 43	— 16·7
14	18 23 1·3	26·45	— 25 18 18	— 14·9
15	18 25 40·1	26·50	— 25 19 42	— 13·2
16	18 28 19·3	26·54	— 25 20 56	— 11·4
17	18 30 58·7	26·59	— 25 21 59	— 9·6
18	18 33 38·3	26·63	— 25 22 52	— 7·8
19	18 36 18·2	26·67	— 25 23 34	— 6·1
20	18 38 58·3	26·71	— 25 24 5	— 4·3
21	18 41 38·7	26·74	— 25 24 25	— 2·4
22	18 44 19·3	26·78	— 25 24 34	— 0·6
23	18 47 0·0	26·81	— 25 24 32	+ 1·2

Freitag 6.

Mittlere Green. Zeit	Rectascension	Aenderung in 10m	Declination — Süd	Aenderung in 10m
h	h m s	s	° ′ ″	″
0	18 49 41·0	26·84	— 25 24 20	+ 3·0
1	18 52 22·2	26·87	— 25 23 56	+ 4·9
2	18 55 3·5	26·90	— 25 23 21	+ 6·7
3	18 57 45·0	26·93	— 25 22 35	+ 8·6
4	19 0 26·7	26·96	— 25 21 38	+ 10·4
5	19 3 8·5	26·98	— 25 20 30	+ 12·3
6	19 5 50·5	27·00	— 25 19 11	+ 14·1
7	19 8 32·5	27·02	— 25 17 41	+ 16·0
8	19 11 14·7	27·04	— 25 15 59	+ 17·9
9	19 13 57·1	27·06	— 25 14 6	+ 19·7
10	19 16 39·5	27·07	— 25 12 2	+ 21·6
11	19 19 21·9	27·09	— 25 9 47	+ 23·5
12	19 22 4·5	27·10	— 25 7 20	+ 25·4
13	19 24 47·2	27·11	— 25 4 42	+ 27·3
14	19 27 29·9	27·12	— 25 1 53	+ 29·1
15	19 30 12·6	27·13	— 24 58 52	+ 31·0
16	19 32 55·4	27·13	— 24 55 41	+ 32·9
17	19 35 38·2	27·13	— 24 52 18	+ 34·8
18	19 38 21·0	27·14	— 24 48 43	+ 36·7
19	19 41 3·8	27·14	— 24 44 58	+ 38·5
20	19 43 46·7	27·14	— 24 41 1	+ 40·4
21	19 46 29·5	27·13	— 24 36 53	+ 42·3
22	19 49 12·2	27·13	— 24 32 34	+ 44·1
23	19 51 55·0	27·12	— 24 28 3	+ 46·0
24	19 54 37·7	27·11	— 24 23 22	+ 47·9

Samstag 7.

Mittlere Green. Zeit	Rectascension	Aenderung in 10m	Declination — Süd	Aenderung in 10m
h	h m s	s	° ′ ″	″
0	19 54 37·7	27·11	— 24 23 22	+ 47·9
1	19 57 20·3	27·10	— 24 18 29	+ 49·7
2	20 0 2·9	27·09	— 24 13 25	+ 51·6
3	20 2 45·4	27·08	— 24 8 10	+ 53·4
4	20 5 27·8	27·06	— 24 2 44	+ 55·3
5	20 8 10·2	27·05	— 23 57 7	+ 57·1
6	20 10 52·4	27·03	— 23 51 19	+ 58·9
7	20 13 34·5	27·01	— 23 45 20	+ 60·7
8	20 16 16·5	26·99	— 23 39 10	+ 62·5
9	20 18 58·4	26·96	— 23 32 49	+ 64·3
10	20 21 40·1	26·94	— 23 26 18	+ 66·1
11	20 24 21·7	26·92	— 23 19 36	+ 67·9
12	20 27 3·1	26·89	— 23 12 43	+ 69·7
13	20 29 44·3	26·86	— 23 5 39	+ 71·5
14	20 32 25·4	26·83	— 22 58 25	+ 73·2
15	20 35 6·3	26·80	— 22 51 1	+ 74·9
16	20 37 47·0	26·77	— 22 43 26	+ 76·7
17	20 40 27·5	26·73	— 22 35 41	+ 78·4
18	20 43 7·8	26·70	— 22 27 45	+ 80·1
19	20 45 47·9	26·66	— 22 19 39	+ 81·8
20	20 48 27·8	26·63	— 22 11 23	+ 83·5
21	20 51 7·5	26·59	— 22 2 57	+ 85·2
22	20 53 46·9	26·55	— 21 54 22	+ 86·8
23	20 56 26·1	26·51	— 21 45 36	+ 88·4

Sonntag 8.

Mittlere Green. Zeit	Rectascension	Aenderung in 10m	Declination — Süd	Aenderung in 10m
h	h m s	s	° ′ ″	″
0	20 59 5·0	26·47	— 21 36 40	+ 90·1
1	21 1 43·7	26·42	— 21 27 35	+ 91·7
2	21 4 22·1	26·38	— 21 18 20	+ 93·3
3	21 7 0·3	26·34	— 21 8 56	+ 94·8
4	21 9 38·2	26·29	— 20 59 22	+ 96·4
5	21 12 15·8	26·25	— 20 49 39	+ 98·0
6	21 14 53·1	26·20	— 20 39 46	+ 99·5
7	21 17 30·2	26·15	— 20 29 45	+ 101·0
8	21 20 6·9	26·10	— 20 19 34	+ 102·5
9	21 22 43·4	26·05	— 20 9 14	+ 104·0
10	21 25 19·6	26·00	— 19 58 46	+ 105·5
11	21 27 55·4	25·95	— 19 48 9	+ 106·9
12	21 30 31·0	25·90	— 19 37 23	+ 108·3
13	21 33 6·2	25·85	— 19 26 29	+ 109·7
14	21 35 41·1	25·79	— 19 15 26	+ 111·1
15	21 38 15·7	25·74	— 19 4 15	+ 112·5
16	21 40 50·0	25·69	— 18 52 56	+ 113·9
17	21 43 24·0	25·63	— 18 41 29	+ 115·2
18	21 45 57·6	25·58	— 18 29 54	+ 116·5
19	21 48 30·9	25·52	— 18 18 11	+ 117·8
20	21 51 3·9	25·47	— 18 6 20	+ 119·1
21	21 53 36·5	25·41	— 17 54 21	+ 120·4
22	21 56 8·8	25·35	— 17 42 15	+ 121·6
23	21 58 40·8	25·30	— 17 30 2	+ 122·8
24	22 1 12·4	25·24	— 17 17 42	+ 124·0

Rectascension und Declination des Mondes.

Mittlere Green. Zeit	Rectascension	Aenderung in 10m	Declination — Süd	Aenderung in 10m	Mittlere Green. Zeit	Rectascension	Aenderung in 10m	Declination — Süd + Nord	Aenderung in 10m
			Montag 9.					Mittwoch 11.	
h	h m s	s	° ′ ″	″	h	h m s	s	° ′ ″	″
0	22 1 12·4	25·24	— 17 17 42	+ 124·0	0	23 55 58·5	22·71	— 5 44 17	+ 156·9
1	22 3 43·7	25·18	— 17 5 14	+ 125·2	1	23 58 14·7	22·67	— 5 28 35	+ 157·1
2	22 6 14·6	25·13	— 16 52 39	+ 126·3	2	0 0 30·6	22·63	— 5 12 52	+ 157·3
3	22 8 45·2	25·07	— 16 39 58	+ 127·5	3	0 2 46·2	22·59	— 4 57 8	+ 157·4
4	22 11 15·4	25·01	— 16 27 10	+ 128·6	4	0 5 1·7	22·55	— 4 41 23	+ 157·6
5	22 13 45·3	24·95	— 16 14 15	+ 129·7	5	0 7 16·9	22·51	— 4 25 37	+ 157·7
6	22 16 14·9	24·90	— 16 1 14	+ 130·8	6	0 9 31·8	22·48	— 4 9 51	+ 157·8
7	22 18 44·1	24·84	— 15 48 6	+ 131·8	7	0 11 46·6	22·44	— 3 54 4	+ 157·8
8	22 21 13·0	24·78	— 15 34 52	+ 132·8	8	0 14 1·1	22·40	— 3 38 17	+ 157·9
9	22 23 41·5	24·72	— 15 21 32	+ 133·9	9	0 16 15·4	22·37	— 3 22 29	+ 157·9
10	22 26 9·7	24·67	— 15 8 6	+ 134·8	10	0 18 29·5	22·33	— 3 6 41	+ 158·0
11	22 28 37·5	24·61	— 14 54 34	+ 135·8	11	0 20 43·4	22·30	— 2 50 53	+ 158·0
12	22 31 5·0	24·55	— 14 40 56	+ 136·8	12	0 22 57·1	22·26	— 2 35 5	+ 158·0
13	22 33 32·1	24·49	— 14 27 12	+ 137·7	13	0 25 10·6	22·23	— 2 19 18	+ 157·9
14	22 35 58·9	24·44	— 14 13 23	+ 138·6	14	0 27 23·9	22·20	— 2 3 30	+ 157·9
15	22 38 25·3	24·38	— 13 59 29	+ 139·5	15	0 29 37·0	22·17	— 1 47 43	+ 157·8
16	22 40 51·4	24·32	— 13 45 30	+ 140·3	16	0 31 49·9	22·14	— 1 31 56	+ 157·8
17	22 43 17·2	24·26	— 13 31 25	+ 141·2	17	0 34 2·6	22·11	— 1 16 10	+ 157·7
18	22 45 42·6	24·21	— 13 17 16	+ 142·0	18	0 36 15·2	22·08	— 1 0 24	+ 157·6
19	22 48 7·7	24·15	— 13 3 1	+ 142·8	19	0 38 27·6	22·05	— 0 44 39	+ 157·4
20	22 50 32·4	24·10	— 12 48 42	+ 143·6	20	0 40 39·9	22·03	— 0 28 55	+ 157·3
21	22 52 56·8	24·04	— 12 34 18	+ 144·3	21	0 42 51·9	22·00	— 0 13 11	+ 157·1
22	22 55 20·9	23·99	— 12 19 50	+ 145·1	22	0 45 3·8	21·97	+ 0 2 31	+ 157·0
23	22 57 44·7	23·93	— 12 5 18	+ 145·8	23	0 47 15·6	21·95	+ 0 18 12	+ 156·8
			Dienstag 10.					Donnerstag 12.	
0	23 0 8·1	23·88	— 11 50 41	+ 146·5	0	0 49 27·2	21·92	+ 0 33 52	+ 156·6
1	23 2 31·2	23·82	— 11 36 0	+ 147·1	1	0 51 38·7	21·90	+ 0 49 31	+ 156·3
2	23 4 53·9	23·77	— 11 21 15	+ 147·8	2	0 53 50·0	21·88	+ 1 5 8	+ 156·1
3	23 7 16·4	23·71	— 11 6 27	+ 148·4	3	0 56 1·2	21·85	+ 1 20 44	+ 155·8
4	23 9 38·5	23·66	— 10 51 34	+ 149·0	4	0 58 12·3	21·83	+ 1 36 19	+ 155·6
5	23 12 0·3	23·61	— 10 36 38	+ 149·6	5	1 0 23·2	21·81	+ 1 51 51	+ 155·3
6	23 14 21·8	23·56	— 10 21 39	+ 150·2	6	1 2 34·0	21·79	+ 2 7 22	+ 155·0
7	23 16 43·0	23·50	— 10 6 36	+ 150·7	7	1 4 44·7	21·77	+ 2 22 51	+ 154·7
8	23 19 3·9	23·45	— 9 51 30	+ 151·2	8	1 6 55·2	21·75	+ 2 38 19	+ 154·4
9	23 21 24·4	23·40	— 9 36 21	+ 151·8	9	1 9 5·7	21·73	+ 2 53 44	+ 154·0
10	23 23 44·7	23·35	— 9 21 9	+ 152·2	10	1 11 16·1	21·72	+ 3 9 7	+ 153·7
11	23 26 4·7	23·30	— 9 5 54	+ 152·7	11	1 13 26·3	21·70	+ 3 24 28	+ 153·3
12	23 28 24·3	23·25	— 8 50 37	+ 153·1	12	1 15 36·5	21·69	+ 3 39 47	+ 152·9
13	23 30 43·7	23·20	— 8 35 17	+ 153·6	13	1 17 46·6	21·67	+ 3 55 3	+ 152·5
14	23 33 2·8	23·16	— 8 19 54	+ 154·0	14	1 19 56·5	21·66	+ 4 10 17	+ 152·1
15	23 35 21·6	23·11	— 8 4 29	+ 154·4	15	1 22 6·4	21·64	+ 4 25 28	+ 151·7
16	23 37 40·1	23·06	— 7 49 2	+ 154·7	16	1 24 16·2	21·63	+ 4 40 37	+ 151·3
17	23 39 58·3	23·02	— 7 33 32	+ 155·1	17	1 26 26·0	21·62	+ 4 55 43	+ 150·8
18	23 42 16·3	22·97	— 7 18 1	+ 155·4	18	1 28 35·7	21·61	+ 5 10 47	+ 150·3
19	23 44 34·0	22·93	— 7 2 28	+ 155·7	19	1 30 45·3	21·59	+ 5 25 48	+ 149·9
20	23 46 51·4	22·88	— 6 46 53	+ 156·0	20	1 32 54·8	21·58	+ 5 40 45	+ 149·4
21	23 49 8·6	22·84	— 6 31 16	+ 156·2	21	1 35 4·3	21·58	+ 5 55 40	+ 148·9
22	23 51 25·5	22·80	— 6 15 38	+ 156·5	22	1 37 13·7	21·57	+ 6 10 32	+ 148·4
23	23 53 42·1	22·75	— 5 59 58	+ 156·7	23	1 39 23·1	21·56	+ 6 25 21	+ 147·8
24	23 55 58·5	22·71	— 5 44 17	+ 156·9	24	1 41 32·4	21·55	+ 6 40 6	+ 147·3

Rectascension und Declination des Mondes.

Mittlere Green. Zeit	Rectascension	Aenderung in 10m	Declination + Nord	Aenderung in 10m	Mittlere Green. Zeit	Rectascension	Aenderung in 10m	Declination + Nord	Aenderung in 10m
	Freitag 13.					Sonntag 15.			
h	h m s	s	° ′ ″	″	h	h m s	s	° ′ ″	″
0	1 41 32·4	21·55	+ 6 40 6	+147·3	0	3 25 11·6	21·82	+17 4 14	+109·0
1	1 43 41·7	21·54	+ 6 54 48	+146·7	1	3 27 22·6	21·83	+17 15 5	+108·0
2	1 45 50·9	21·54	+ 7 9 27	+146·2	2	3 29 33·6	21·85	+17 25 50	+107·0
3	1 48 0·1	21·53	+ 7 24 2	+145·6	3	3 31 44·7	21·86	+17 36 28	+105·9
4	1 50 9·3	21·53	+ 7 38 34	+145·0	4	3 33 55·9	21·88	+17 47 1	+104·9
5	1 52 18·4	21·52	+ 7 53 3	+144·4	5	3 36 7·2	21·89	+17 57 28	+103·9
6	1 54 27·6	21·52	+ 8 7 27	+143·8	6	3 38 18·6	21·91	+18 7 48	+102·8
7	1 56 36·7	21·51	+ 8 21 48	+143·2	7	3 40 30·1	21·92	+18 18 1	+101·7
8	1 58 45·7	21·51	+ 8 36 6	+142·6	8	3 42 41·7	21·94	+18 28 9	+100·7
9	2 0 54·8	21·51	+ 8 50 19	+141·9	9	3 44 53·4	21·96	+18 38 10	+ 99·6
10	2 3 3·9	21·51	+ 9 4 29	+141·3	10	3 47 5·2	21·97	+18 48 4	+ 98·5
11	2 5 12·9	21·51	+ 9 18 34	+140·6	11	3 49 17·1	21·99	+18 57 52	+ 97·4
12	2 7 22·0	21·51	+ 9 32 36	+139·9	12	3 51 29·1	22·00	+19 7 33	+ 96·3
13	2 9 31·0	21·51	+ 9 46 33	+139·2	13	3 53 41·2	22·02	+19 17 8	+ 95·2
14	2 11 40·1	21·51	+10 0 26	+138·5	14	3 55 53·3	22·04	+19 26 36	+ 94·1
15	2 13 49·2	21·51	+10 14 15	+137·8	15	3 58 5·6	22·05	+19 35 58	+ 93·0
16	2 15 58·2	21·51	+10 28 0	+137·1	16	4 0 18·0	22·07	+19 45 13	+ 91·9
17	2 18 7·3	21·52	+10 41 40	+136·4	17	4 2 30·5	22·09	+19 54 21	+ 90·8
18	2 20 16·4	21·52	+10 55 16	+135·6	18	4 4 43·0	22·10	+20 3 22	+ 89·7
19	2 22 25·6	21·52	+11 8 48	+134·9	19	4 6 55·7	22·12	+20 12 17	+ 88·5
20	2 24 34·7	21·53	+11 22 15	+134·1	20	4 9 8·5	22·14	+20 21 4	+ 87·4
21	2 26 43·9	21·53	+11 35 37	+133·3	21	4 11 21·4	22·15	+20 29 45	+ 86·2
22	2 28 53·1	21·54	+11 48 55	+132·5	22	4 13 34·3	22·17	+20 38 19	+ 85·1
23	2 31 2·4	21·54	+12 2 8	+131·7	23	4 15 47·4	22·18	+20 46 46	+ 83·9
	Samstag 14.					Montag 16.			
0	2 33 11·6	21·55	+12 15 16	+130·9	0	4 18 0·5	22·20	+20 55 6	+ 82·7
1	2 35 21·0	21·56	+12 28 19	+130·1	1	4 20 13·8	22·22	+21 3 19	+ 81·6
2	2 37 30·3	21·56	+12 41 17	+129·3	2	4 22 27·1	22·23	+21 11 25	+ 80·4
3	2 39 39·7	21·57	+12 54 11	+128·5	3	4 24 40·6	22·25	+21 19 24	+ 79·2
4	2 41 49·2	21·58	+13 6 59	+127·6	4	4 26 54·1	22·26	+21 27 16	+ 78·0
5	2 43 58·7	21·59	+13 19 43	+126·8	5	4 29 7·8	22·28	+21 35 0	+ 76·8
6	2 46 8·2	21·60	+13 32 21	+125·9	6	4 31 21·5	22·29	+21 42 38	+ 75·6
7	2 48 17·8	21·61	+13 44 54	+125·1	7	4 33 35·3	22·31	+21 50 8	+ 74·4
8	2 50 27·5	21·62	+13 57 22	+124·2	8	4 35 49·2	22·32	+21 57 31	+ 73·2
9	2 52 37·2	21·63	+14 9 45	+123·3	9	4 38 3·2	22·34	+22 4 47	+ 72·0
10	2 54 47·0	21·64	+14 22 2	+122·4	10	4 40 17·3	22·35	+22 11 55	+ 70·8
11	2 56 56·9	21·65	+14 34 14	+121·5	11	4 42 31·4	22·37	+22 18 56	+ 69·6
12	2 59 6·8	21·66	+14 46 20	+120·6	12	4 44 45·7	22·38	+22 25 50	+ 68·3
13	3 1 16·7	21·67	+14 58 21	+119·7	13	4 47 0·0	22·40	+22 32 36	+ 67·1
14	3 3 26·8	21·68	+15 10 16	+118·8	14	4 49 14·4	22·41	+22 39 15	+ 65·9
15	3 5 36·9	21·69	+15 22 6	+117·8	15	4 51 28·9	22·42	+22 45 47	+ 64·6
16	3 7 47·1	21·71	+15 33 50	+116·9	16	4 53 43·5	22·43	+22 52 11	+ 63·4
17	3 9 57·4	21·72	+15 45 28	+115·9	17	4 55 58·1	22·45	+22 58 28	+ 62·1
18	3 12 7·7	21·73	+15 57 1	+115·0	18	4 58 12·9	22·46	+23 4 37	+ 60·9
19	3 14 18·2	21·75	+16 8 28	+114·0	19	5 0 27·7	22·47	+23 10 39	+ 59·7
20	3 16 28·7	21·76	+16 19 49	+113·0	20	5 2 42·5	22·48	+23 16 33	+ 58·4
21	3 18 39·3	21·77	+16 31 4	+112·0	21	5 4 57·4	22·49	+23 22 19	+ 57·1
22	3 20 50·0	21·79	+16 42 13	+111·0	22	5 7 12·4	22·50	+23 27 58	+ 55·9
23	3 23 0·7	21·80	+16 53 16	+110·0	23	5 9 27·5	22·51	+23 33 30	+ 54·6
24	3 25 11·6	21·82	+17 4 14	+109·0	24	5 11 42·6	22·52	+23 38 54	+ 53·3

Rectascension und Declination des Mondes.

Mittlere Green. Zeit	Rectascension	Aenderung in 10ᵐ	Declination + Nord	Aenderung in 10ᵐ	Mittlere Green. Zeit	Rectascension	Aenderung in 10ᵐ	Declination + Nord	Aenderung in 10ᵐ
	Dienstag 17.					Donnerstag 19.			
h	h m s	s	° ′ ″	″	h	h m s	s	° ′ ″	″
0	5 11 42·6	22·52	+ 23 38 54	+53·3	0	6 59 59·6	22·37	+ 25 25 44	− 8·8
1	5 13 57·8	22·53	+ 23 44 10	+52·1	1	7 2 13·8	22·35	+ 25 24 47	−10·1
2	5 16 13·0	22·54	+ 23 49 18	+50·8	2	7 4 27·8	22·33	+ 25 23 43	−11·3
3	5 18 28·3	22·55	+ 23 54 19	+49·5	3	7 6 41·8	22·31	+ 25 22 31	−12·6
4	5 20 43·6	22·56	+ 23 59 13	+48·2	4	7 8 55·6	22·29	+ 25 21 12	−13·8
5	5 22 59·0	22·57	+ 24 3 58	+46·9	5	7 11 9·3	22·27	+ 25 19 45	−15·1
6	5 25 14·4	22·57	+ 24 8 36	+45·7	6	7 13 22·9	22·25	+ 25 18 11	−16·4
7	5 27 29·9	22·58	+ 24 13 6	+44·4	7	7 15 36·4	22·23	+ 25 16 29	−17·6
8	5 29 45·4	22·59	+ 24 17 28	+43·1	8	7 17 49·7	22·21	+ 25 14 40	−18·8
9	5 32 0·9	22·59	+ 24 21 43	+41·8	9	7 20 2·9	22·19	+ 25 12 43	−20·1
10	5 34 16·5	22·60	+ 24 25 50	+40·5	10	7 22 15·9	22·16	+ 25 10 39	−21·3
11	5 36 32·1	22·60	+ 24 29 49	+39·2	11	7 24 28·8	22·14	+ 25 8 27	−22·5
12	5 38 47·8	22·61	+ 24 33 40	+37·9	12	7 26 41·6	22·12	+ 25 6 8	−23·8
13	5 41 3·4	22·61	+ 24 37 24	+36·6	13	7 28 54·2	22·09	+ 25 3 42	−25·0
14	5 43 19·1	22·61	+ 24 41 0	+35·3	14	7 31 6·7	22·07	+ 25 1 8	−26·2
15	5 45 34·8	22·62	+ 24 44 28	+34·0	15	7 33 19·0	22·04	+ 24 58 28	−27·4
16	5 47 50·5	22·62	+ 24 47 48	+32·7	16	7 35 31·2	22·01	+ 24 55 40	−28·6
17	5 50 6·2	22·62	+ 24 51 0	+31·4	17	7 37 43·2	21·99	+ 24 52 44	−29·8
18	5 52 21·9	22·62	+ 24 54 4	+30·1	18	7 39 55·0	21·96	+ 24 49 42	−31·0
19	5 54 37·7	22·62	+ 24 57 1	+28·8	19	7 42 6·7	21·93	+ 24 46 32	−32·2
20	5 56 53·4	22·62	+ 24 59 50	+27·5	20	7 44 18·2	21·90	+ 24 43 15	−33·4
21	5 59 9·1	22·62	+ 25 2 31	+26·2	21	7 46 29·6	21·88	+ 24 39 51	−34·6
22	6 1 24·9	22·62	+ 25 5 4	+24·9	22	7 48 40·7	21·85	+ 24 36 20	−35·7
23	6 3 40·6	22·62	+ 25 7 29	+23·6	23	7 50 51·7	21·82	+ 24 32 42	−36·9
	Mittwoch 18.					Freitag 20.			
0	6 5 56·3	22·61	+ 25 9 47	+22·2	0	7 53 2·5	21·79	+ 24 28 57	−38·1
1	6 8 12·0	22·61	+ 25 11 56	+20·9	1	7 55 13·2	21·76	+ 24 25 5	−39·2
2	6 10 27·6	22·61	+ 25 13 58	+19·6	2	7 57 23·6	21·72	+ 24 21 6	−40·4
3	6 12 43·3	22·60	+ 25 15 52	+18·3	3	7 59 33·9	21·69	+ 24 17 1	−41·5
4	6 14 58·9	22·60	+ 25 17 38	+17·0	4	8 1 43·9	21·66	+ 24 12 48	−42·7
5	6 17 14·5	22·59	+ 25 19 16	+15·7	5	8 3 53·8	21·63	+ 24 8 28	−43·8
6	6 19 30·0	22·59	+ 25 20 47	+14·4	6	8 6 3·5	21·60	+ 24 4 2	−44·9
7	6 21 45·5	22·58	+ 25 22 9	+13·1	7	8 8 13·0	21·56	+ 23 59 29	−46·1
8	6 24 1·0	22·57	+ 25 23 24	+11·8	8	8 10 22·3	21·53	+ 23 54 49	−47·2
9	6 26 16·4	22·57	+ 25 24 31	+10·5	9	8 12 31·3	21·50	+ 23 50 3	−48·3
10	6 28 31·8	22·56	+ 25 25 30	+ 9·2	10	8 14 40·2	21·46	+ 23 45 10	−49·4
11	6 30 47·1	22·55	+ 25 26 21	+ 7·9	11	8 16 48·9	21·43	+ 23 40 10	−50·5
12	6 33 2·4	22·54	+ 25 27 5	+ 6·6	12	8 18 57·4	21·40	+ 23 35 4	−51·6
13	6 35 17·6	22·53	+ 25 27 41	+ 5·3	13	8 21 5·7	21·36	+ 23 29 51	−52·7
14	6 37 32·7	22·52	+ 25 28 9	+ 4·0	14	8 23 13·7	21·32	+ 23 24 32	−53·7
15	6 39 47·7	22·50	+ 25 28 29	+ 2·7	15	8 25 21·6	21·29	+ 23 19 7	−54·8
16	6 42 2·7	22·49	+ 25 28 41	+ 1·4	16	8 27 29·2	21·25	+ 23 13 35	−55·9
17	6 44 17·6	22·48	+ 25 28 46	+ 0·1	17	8 29 36·6	21·22	+ 23 7 56	−56·9
18	6 46 32·5	22·47	+ 25 28 43	− 1·1	18	8 31 43·8	21·18	+ 23 2 11	−58·0
19	6 48 47·2	22·45	+ 25 28 32	− 2·4	19	8 33 50·8	21·15	+ 22 56 20	−59·0
20	6 51 1·9	22·44	+ 25 28 14	− 3·7	20	8 35 57·6	21·11	+ 22 50 23	−60·0
21	6 53 16·5	22·42	+ 25 27 48	− 5·0	21	8 38 4·1	21·07	+ 22 44 20	−61·1
22	6 55 30·9	22·40	+ 25 27 14	− 6·2	22	8 40 10·4	21·03	+ 22 38 10	−62·1
23	6 57 45·3	22·39	+ 25 26 33	− 7·5	23	8 42 16·5	21·00	+ 22 31 55	−63·1
24	6 59 59·6	22·37	+ 25 25 44	− 8·8	24	8 44 22·4	20·96	+ 22 25 33	−64·1

Rectascension und Declination des Mondes.

Mittlere Green. Zeit	Rectascension	Aenderung in 10m	Declination + Nord	Aenderung in 10m	Mittlere Green. Zeit	Rectascension	Aenderung in 10m	Declination + Nord	Aenderung in 10m
	Samstag 21.					**Montag 23.**			
h	h m s	s	° ′ ″	″	h	h m s	s	° ′ ″	″
0	8 44 22.4	20.96	+ 22 25 33	− 64.1	0	10 20 38.2	19.19	+ 15 36 23	− 103.3
1	8 46 28.1	20.92	+ 22 19 5	− 65.1	1	10 22 33.2	19.15	+ 15 26 2	− 103.9
2	8 48 33.5	20.89	+ 22 12 32	− 66.1	2	10 24 28.0	19.12	+ 15 15 36	− 104.6
3	8 50 38.7	20.85	+ 22 5 52	− 67.1	3	10 26 22.6	19.09	+ 15 5 7	− 105.2
4	8 52 43.7	20.81	+ 21 59 6	− 68.1	4	10 28 17.1	19.06	+ 14 54 34	− 105.8
5	8 54 48.4	20.77	+ 21 52 15	− 69.0	5	10 30 11.3	19.03	+ 14 43 58	− 106.4
6	8 56 52.9	20.73	+ 21 45 18	− 70.0	6	10 32 5.4	19.00	+ 14 33 18	− 106.9
7	8 58 57.2	20.70	+ 21 38 15	− 71.0	7	10 33 59.3	18.96	+ 14 22 34	− 107.5
8	9 1 1.3	20.66	+ 21 31 6	− 71.9	8	10 35 53.0	18.94	+ 14 11 47	− 108.1
9	9 3 5.1	20.62	+ 21 23 52	− 72.8	9	10 37 46.5	18.91	+ 14 0 57	− 108.6
10	9 5 8.7	20.58	+ 21 16 32	− 73.8	10	10 39 39.9	18.88	+ 13 50 4	− 109.2
11	9 7 12.1	20.54	+ 21 9 7	− 74.7	11	10 41 33.0	18.85	+ 13 39 7	− 109.7
12	9 9 15.3	20.50	+ 21 1 36	− 75.6	12	10 43 26.0	18.82	+ 13 28 7	− 110.3
13	9 11 18.2	20.47	+ 20 53 59	− 76.5	13	10 45 18.8	18.79	+ 13 17 3	− 110.8
14	9 13 20.8	20.43	+ 20 46 17	− 77.4	14	10 47 11.5	18.76	+ 13 5 57	− 111.3
15	9 15 23.3	20.39	+ 20 38 30	− 78.3	15	10 49 4.0	18.73	+ 12 54 47	− 111.8
16	9 17 25.5	20.35	+ 20 30 38	− 79.2	16	10 50 56.3	18.71	+ 12 43 35	− 112.3
17	9 19 27.5	20.31	+ 20 22 40	− 80.1	17	10 52 48.5	18.68	+ 12 32 19	− 112.8
18	9 21 29.3	20.27	+ 20 14 37	− 80.9	18	10 54 40.5	18.65	+ 12 21 1	− 113.3
19	9 23 30.8	20.23	+ 20 6 28	− 81.8	19	10 56 32.3	18.63	+ 12 9 39	− 113.8
20	9 25 32.1	20.20	+ 19 58 15	− 82.7	20	10 58 24.0	18.60	+ 11 58 15	− 114.3
21	9 27 33.2	20.16	+ 19 49 56	− 83.5	21	11 0 15.6	18.58	+ 11 46 48	− 114.7
22	9 29 34.0	20.12	+ 19 41 33	− 84.3	22	11 2 7.0	18.55	+ 11 35 18	− 115.2
23	9 31 34.6	20.08	+ 19 33 4	− 85.2	23	11 3 58.2	18.53	+ 11 23 45	− 115.6
	Sonntag 22.					**Dienstag 24.**			
0	9 33 35.0	20.04	+ 19 24 31	− 86.0	0	11 5 49.3	18.51	+ 11 12 10	− 116.1
1	9 35 35.1	20.01	+ 19 15 52	− 86.8	1	11 7 40.3	18.48	+ 11 0 32	− 116.5
2	9 37 35.1	19.97	+ 19 7 9	− 87.6	2	11 9 31.1	18.46	+ 10 48 51	− 117.0
3	9 39 34.8	19.93	+ 18 58 21	− 88.4	3	11 11 21.8	18.44	+ 10 37 8	− 117.4
4	9 41 34.2	19.89	+ 18 49 28	− 89.2	4	11 13 12.4	18.42	+ 10 25 22	− 117.8
5	9 43 33.5	19.86	+ 18 40 30	− 90.0	5	11 15 2.8	18.39	+ 10 13 34	− 118.2
6	9 45 32.5	19.82	+ 18 31 28	− 90.7	6	11 16 53.1	18.37	+ 10 1 43	− 118.6
7	9 47 31.3	19.78	+ 18 22 21	− 91.5	7	11 18 43.3	18.35	+ 9 49 50	− 119.0
8	9 49 29.9	19.75	+ 18 13 10	− 92.3	8	11 20 33.3	18.33	+ 9 37 55	− 119.4
9	9 51 28.3	19.71	+ 18 3 54	− 93.0	9	11 22 23.3	18.31	+ 9 25 58	− 119.8
10	9 53 26.4	19.67	+ 17 54 33	− 93.8	10	11 24 13.1	18.29	+ 9 13 58	− 120.1
11	9 55 24.4	19.64	+ 17 45 8	− 94.5	11	11 26 2.8	18.28	+ 9 1 56	− 120.5
12	9 57 22.1	19.60	+ 17 35 39	− 95.2	12	11 27 52.4	18.26	+ 8 49 52	− 120.9
13	9 59 19.5	19.56	+ 17 26 6	− 96.0	13	11 29 41.9	18.24	+ 8 37 46	− 121.2
14	10 1 16.8	19.53	+ 17 16 28	− 96.7	14	11 31 31.3	18.22	+ 8 25 37	− 121.5
15	10 3 13.9	19.49	+ 17 6 45	− 97.4	15	11 33 20.6	18.21	+ 8 13 27	− 121.9
16	10 5 10.8	19.46	+ 16 56 59	− 98.1	16	11 35 9.8	18.19	+ 8 1 15	− 122.2
17	10 7 7.4	19.42	+ 16 47 9	− 98.7	17	11 36 58.9	18.18	+ 7 49 1	− 122.5
18	10 9 3.8	19.39	+ 16 37 14	− 99.4	18	11 38 47.9	18.16	+ 7 36 45	− 122.8
19	10 11 0.1	19.35	+ 16 27 15	− 100.1	19	11 40 36.8	18.15	+ 7 24 27	− 123.1
20	10 12 56.1	19.32	+ 16 17 13	− 100.8	20	11 42 25.7	18.13	+ 7 12 7	− 123.4
21	10 14 51.9	19.29	+ 16 7 6	− 101.4	21	11 44 14.4	18.12	+ 6 59 45	− 123.7
22	10 16 47.5	19.25	+ 15 56 56	− 102.1	22	11 46 3.1	18.11	+ 6 47 22	− 124.0
23	10 18 42.9	19.22	+ 15 46 41	− 102.7	23	11 47 51.7	18.09	+ 6 34 57	− 124.3
24	10 20 38.2	19.19	+ 15 36 23	− 103.3	24	11 49 40.2	18.08	+ 6 22 31	− 124.5

Rectascension und Declination des Mondes.

Mittlere Green. Zeit	Rectascension	Aenderung in 10m	Declination + Nord − Süd	Aenderung in 10m	Mittlere Green. Zeit	Rectascension	Aenderung in 10m	Declination − Süd	Aenderung in 10m
	Mittwoch 25.					**Freitag 27.**			
h	h m s	s	° ′ ″	″	h	h m s	s	° ′ ″	″
0	11 49 40·2	18·08	+ 6 22 31	− 124·5	0	13 16 12·5	18·21	− 3 52 22	− 128·9
1	11 51 28·7	18·07	+ 6 10 3	− 124·8	1	13 18 1·8	18·22	− 4 5 15	− 128·8
2	11 53 17·1	18·06	+ 5 57 33	− 125·0	2	13 19 51·2	18·24	− 4 18 8	− 128·7
3	11 55 5·4	18·05	+ 5 45 2	− 125·3	3	13 21 40·7	18·26	− 4 31 0	− 128·6
4	11 56 53·7	18·04	+ 5 32 30	− 125·5	4	13 23 30·3	18·28	− 4 43 51	− 128·5
5	11 58 41·9	18·03	+ 5 19 56	− 125·8	5	13 25 20·1	18·30	− 4 56 41	− 128·4
6	12 0 30·1	18·02	+ 5 7 21	− 126·0	6	13 27 9·9	18·32	− 5 9 31	− 128·2
7	12 2 18·2	18·02	+ 4 54 44	− 126·2	7	13 28 59·9	18·34	− 5 22 20	− 128·1
8	12 4 6·3	18·01	+ 4 42 6	− 126·4	8	13 30 50·1	18·37	− 5 35 9	− 128·0
9	12 5 54·3	18·00	+ 4 29 27	− 126·6	9	13 32 40·3	18·39	− 5 47 56	− 127·8
10	12 7 42·3	18·00	+ 4 16 47	− 126·8	10	13 34 30·7	18·41	− 6 0 43	− 127·7
11	12 9 30·3	17·99	+ 4 4 5	− 127·0	11	13 36 21·3	18·44	− 6 13 28	− 127·5
12	12 11 18·2	17·99	+ 3 51 23	− 127·2	12	13 38 12·0	18·46	− 6 26 13	− 127·3
13	12 13 6·1	17·98	+ 3 38 39	− 127·3	13	13 40 2·8	18·49	− 6 38 56	− 127·1
14	12 14 53·9	17·98	+ 3 25 54	− 127·5	14	13 41 53·8	18·51	− 6 51 38	− 127·0
15	12 16 41·8	17·97	+ 3 13 9	− 127·7	15	13 43 45·0	18·54	− 7 4 19	− 126·8
16	12 18 29·6	17·97	+ 3 0 22	− 127·8	16	13 45 36·3	18·57	− 7 16 59	− 126·6
17	12 20 17·5	17·97	+ 2 47 35	− 128·0	17	13 47 27·8	18·60	− 7 29 38	− 126·3
18	12 22 5·3	17·97	+ 2 34 47	− 128·1	18	13 49 19·5	18·63	− 7 42 16	− 126·1
19	12 23 53·1	17·97	+ 2 21 58	− 128·2	19	13 51 11·4	18·66	− 7 54 52	− 125·9
20	12 25 40·9	17·97	+ 2 9 8	− 128·4	20	13 53 3·4	18·69	− 8 7 26	− 125·7
21	12 27 28·7	17·97	+ 1 56 17	− 128·5	21	13 54 55·6	18·72	− 8 20 0	− 125·4
22	12 29 16·5	17·97	+ 1 43 26	− 128·6	22	13 56 48·0	18·75	− 8 32 31	− 125·2
23	12 31 4·3	17·97	+ 1 30 34	− 128·7	23	13 58 40·6	18·78	− 8 45 1	− 124·9
	Donnerstag 26.					**Samstag 28.**			
0	12 32 52·1	17·97	+ 1 17 41	− 128·8	0	14 0 33·4	18·81	− 8 57 30	− 124·6
1	12 34 39·9	17·97	+ 1 4 48	− 128·9	1	14 2 26·3	18·85	− 9 9 57	− 124·3
2	12 36 27·8	17·98	+ 0 51 55	− 129·0	2	14 4 19·5	18·88	− 9 22 22	− 124·1
3	12 38 15·6	17·98	+ 0 39 1	− 129·0	3	14 6 12·9	18·92	− 9 34 46	− 123·8
4	12 40 3·5	17·98	+ 0 26 7	− 129·1	4	14 8 6·5	18·95	− 9 47 7	− 123·4
5	12 41 51·5	17·99	+ 0 13 12	− 129·1	5	14 10 0·3	18·99	− 9 59 27	− 123·1
6	12 43 39·4	18·00	+ 0 0 17	− 129·2	6	14 11 54·4	19·03	− 10 11 45	− 122·8
7	12 45 27·4	18·00	− 0 12 39	− 129·2	7	14 13 48·7	19·06	− 10 24 1	− 122·5
8	12 47 15·4	18·01	− 0 25 34	− 129·3	8	14 15 43·2	19·10	− 10 36 15	− 122·1
9	12 49 3·5	18·02	− 0 38 30	− 129·3	9	14 17 37·9	19·14	− 10 48 26	− 121·8
10	12 50 51·6	18·02	− 0 51 26	− 129·3	10	14 19 32·8	19·18	− 11 0 36	− 121·4
11	12 52 39·8	18·03	− 1 4 22	− 129·4	11	14 21 28·0	19·22	− 11 12 44	− 121·1
12	12 54 28·0	18·04	− 1 17 18	− 129·4	12	14 23 23·5	19·26	− 11 24 49	− 120·7
13	12 56 16·3	18·05	− 1 30 15	− 129·4	13	14 25 19·2	19·30	− 11 36 52	− 120·3
14	12 58 4·7	18·06	− 1 43 11	− 129·4	14	14 27 15·1	19·34	− 11 48 53	− 119·9
15	12 59 53·1	18·08	− 1 56 7	− 129·3	15	14 29 11·3	19·39	− 12 0 51	− 119·5
16	13 1 41·6	18·09	− 2 9 3	− 129·3	16	14 31 7·7	19·43	− 12 12 47	− 119·1
17	13 3 30·2	18·10	− 2 21 59	− 129·3	17	14 33 4·4	19·47	− 12 24 40	− 118·7
18	13 5 18·8	18·11	− 2 34 55	− 129·3	18	14 35 1·4	19·52	− 12 36 31	− 118·2
19	13 7 7·5	18·13	− 2 47 50	− 129·2	19	14 36 58·7	19·56	− 12 48 19	− 117·8
20	13 8 56·3	18·14	− 3 0 45	− 129·2	20	14 38 56·2	19·61	− 13 0 4	− 117·3
21	13 10 45·2	18·16	− 3 13 40	− 129·1	21	14 40 54·0	19·66	− 13 11 47	− 116·9
22	13 12 34·2	18·17	− 3 26 34	− 129·0	22	14 42 52·1	19·70	− 13 23 27	− 116·4
23	13 14 23·3	18·19	− 3 39 28	− 129·0	23	14 44 50·4	19·75	− 13 35 4	− 115·9
24	13 16 12·5	18·21	− 3 52 22	− 128·9	24	14 46 49·1	19·80	− 13 46 38	− 115·4

Mittlere Greenwicher Zeit.

PHASEN DES MONDES.

	h m		
Februar 1.	16 42·2	☾	Letzes Viertel.
8.	14 12·2	●	Neumond.
15.	6 29·5	☽	Erstes Viertel.
23.	7 18·4	○	Vollmond.
	h		
Februar 9.	1	☾	Perigaeum.
23.	6	☾	Apogaeum.

Venus.

Datum	Rectascension (Mittlerer Greenwicher Mittag)	Stdl. Aend.	Declination — Süd	Stdl. Aend.	Im Meridian. Mittlere Gr. Zeit
	h m s	s	° ′ ″	″	h m
1	17 43 58·4	+ 9·61	−19 13 15	−12·7	20 58·3
2	17 47 50·5	+ 9·73	−19 18 13	−12·1	20 58·3
3	17 51 45·4	+ 9·84	−19 22 55	−11·4	20 58·3
4	17 55 42·9	+ 9·95	−19 27 21	−10·7	20 58·3
5	17 59 43·0	+10·05	−19 31 30	−10·0	20 58·4
6	18 3 45·5	+10·15	−19 35 20	− 9·2	20 58·5
7	18 7 50·3	+10·25	−19 38 51	− 8·4	20 58·7
8	18 11 57·3	+10·34	−19 42 1	− 7·5	20 58·9
9	18 16 6·5	+10·42	−19 44 51	− 6·6	20 59·1
10	18 20 17·7	+10·51	−19 47 18	− 5·7	20 59·4
11	18 24 30·8	+10·59	−19 49 23	− 4·7	20 59·7
12	18 28 45·7	+10·66	−19 51 4	− 3·7	21 0·1
13	18 33 2·5	+10·73	−19 52 21	− 2·7	21 0·4
14	18 37 20·9	+10·80	−19 53 13	− 1·6	21 0·8
15	18 41 41·0	+10·87	−19 53 40	− 0·6	21 1·2
16	18 46 2·6	+10·93	−19 53 41	+ 0·5	21 1·7
17	18 50 25·7	+10·99	−19 53 15	+ 1·7	21 2·1
18	18 54 50·1	+11·05	−19 52 22	+ 2·8	21 2·6
19	18 59 15·9	+11·10	−19 51 1	+ 4·0	21 3·1
20	19 3 42·9	+11·15	−19 49 12	+ 5·1	21 3·6
21	19 8 11·1	+11·20	−19 46 55	+ 6·3	21 4·2
22	19 12 40·4	+11·24	−19 44 9	+ 7·5	21 4·7
23	19 17 10·7	+11·28	−19 40 53	+ 8·8	21 5·3
24	19 21 42·0	+11·32	−19 37 8	+10·0	21 5·9
25	19 26 14·2	+11·36	−19 32 54	+11·2	21 6·5
26	19 30 47·3	+11·39	−19 28 9	+12·5	21 7·2
27	19 35 21·1	+11·42	−19 22 54	+13·8	21 7·8
28	19 39 55·5	+11·45	−19 17 8	+15·0	21 8·4
III. 1	19 44 30·7	+11·48	−19 10 52	+16·3	21 9·1

Mars.

Datum	Rectascension (Mittlerer Greenwicher Mittag)	Stdl. Aend.	Declination + Nord	Stdl. Aend.	Im Meridian. Mittlere Gr. Zeit
	h m s	s	° ′ ″	″	h m
1	0 17 24·2	+6·71	+1 33 50	+46·0	3 31·6
2	0 20 5·2	+6·71	+1 52 13	+45·9	3 30·4
3	0 22 46·1	+6·71	+2 10 34	+45·8	3 29·1
4	0 25 27·0	+6·70	+2 28 53	+45·7	3 27·8
5	0 28 7·9	+6·70	+2 47 9	+45·6	3 26·6
6	0 30 48·7	+6·70	+3 5 23	+45·5	3 25·3
7	0 33 29·6	+6·70	+3 23 34	+45·4	3 24·0
8	0 36 10·5	+6·70	+3 41 43	+45·3	3 22·8
9	0 38 51·3	+6·70	+3 59 48	+45·2	3 21·5
10	0 41 32·2	+6·70	+4 17 50	+45·0	3 20·3
11	0 44 13·1	+6·71	+4 35 49	+44·9	3 19·0
12	0 46 54·0	+6·71	+4 53 45	+44·8	3 17·8
13	0 49 34·9	+6·71	+5 11 38	+44·6	3 16·5
14	0 52 15·9	+6·71	+5 29 26	+44·4	3 15·2
15	0 54 56·9	+6·71	+5 47 11	+44·3	3 14·0
16	0 57 38·0	+6·71	+6 4 51	+44·1	3 12·7
17	1 0 19·1	+6·71	+6 22 27	+43·9	3 11·5
18	1 3 0·2	+6·72	+6 39 59	+43·7	3 10·2
19	1 5 41·4	+6·72	+6 57 26	+43·5	3 8·9
20	1 8 22·7	+6·72	+7 14 49	+43·4	3 7·7
21	1 11 4·0	+6·72	+7 32 7	+43·2	3 6·4
22	1 13 45·4	+6·73	+7 49 20	+42·9	3 5·2
23	1 16 26·9	+6·73	+8 6 28	+42·7	3 3·9
24	1 19 8·5	+6·73	+8 23 31	+42·5	3 2·7
25	1 21 50·1	+6·74	+8 40 28	+42·3	3 1·4
26	1 24 31·9	+6·74	+8 57 20	+42·1	3 0·2
27	1 27 13·8	+6·75	+9 14 7	+41·8	2 59·0
28	1 29 55·8	+6·75	+9 30 48	+41·6	2 57·7
III. 1	1 32 37·9	+6·76	+9 47 23	+41·3	2 56·5

Datum	Venus Halbmesser	Venus Horizontal-Parallaxe	Datum	Mars Halbmesser	Mars Horizontal-Parallaxe
	″	″		″	″
1	14·6	15·2	1	2·8	4·8
11	12·9	13·4	11	2·7	4·7
21	11·6	12·0	21	2·6	4·5
31	10·5	10·9	31	2·5	4·4

Jupiter.						Saturn.					
Mittlerer Greenwicher Mittag.					Im Meridian. Mittlere Gr. Zeit	Mittlerer Greenwicher Mittag.					Im Meridian. Mittlere Gr. Zeit
Datum	Rectascension	Stdl. Aend.	Declination — Süd	Stdl. Aend.		Datum	Rectascension	Stdl. Aend.	Declination + Nord	Stdl. Aend.	
	h m s	s	° ′ ″	″	h m		h m s	s	° ′ ″	″	h m
1	21 37 31·0	+2·34	—14 59 28	+11·5	0 51·8	1	11 11 59·3	—0·54	+7 25 51	+3·9	14 23·9
2	21 38 27·1	+2·34	—14 54 52	+11·5	0 48·8	2	11 11 46·3	—0·55	+7 27 26	+4·0	14 19·7
3	21 39 23·3	+2·34	—14 50 16	+11·6	0 45·8	3	11 11 33·0	—0·56	+7 29 2	+4·0	14 15·6
4	21 40 19·6	+2·34	—14 45 38	+11·6	0 42·8	4	11 11 19·4	—0·57	+7 30 40	+4·1	14 11·4
5	21 41 15·8	+2·34	—14 41 0	+11·6	0 39·8	5	11 11 5·6	—0·58	+7 32 20	+4·2	14 7·3
6	21 42 12·0	+2·34	—14 36 20	+11·7	0 36·8	6	11 10 51·5	—0·59	+7 34 0	+4·2	14 3·1
7	21 43 8·3	+2·34	—14 31 40	+11·7	0 33·8	7	11 10 37·2	—0·60	+7 35 42	+4·3	13 58·9
8	21 44 4·5	+2·34	—14 26 59	+11·7	0 30·8	8	11 10 22.6	—0·61	+7 37 26	+4·3	13 54·7
9	21 45 0·8	+2·34	—14 22 17	+11·8	0 27·8	9	11 10 7·8	—0·62	+7 39 10	+4·4	13 50·6
10	21 45 57·0	+2·34	—14 17 34	+11·8	0 24·8	10	11 9 52·7	—0·63	+7 40 56	+4·4	13 46·4
11	21 46 53·2	+2·34	—14 12 50	+11·8	0 21·8	11	11 9 37·4	—0·64	+7 42 43	+4·5	13 42·2
12	21 47 49·4	+2·34	—14 8 6	+11·9	0 18·8	12	11 9 21·9	—0·65	+7 44 31	+4·5	13 38·0
13	21 48 45·5	+2·34	—14 3 20	+11·9	0 15·8	13	11 9 6·2	—0·66	+7 46 19	+4·6	13 33·8
14	21 49 41·6	+2·34	—13 58 35	+11·9	0 12·8	14	11 8 50·4	—0·67	+7 48 9	+4·6	13 29·6
15	21 50 37·7	+2·34	—13 53 48	+12·0	0 9·8	15	11 8 34·3	—0·67	+7 49 59	+4·6	13 25·4
16	21 51 33·7	+2·33	—13 49 1	+12·0	0 6·8	16	11 8 18·0	—0·68	+7 51 51	+4·7	13 21·2
17	21 52 29·7	+2·33	—13 44 13	+12·0	0 3·8	17	11 8 1·6	—0·69	+7 53 43	+4·7	13 17·0
18	21 53 25·6	+2·33	—13 39 25	+12·0	{ 0 0·8 / 23 57·8 }	18	11 7 45·1	—0·69	+7 55 35	+4·7	13 12·8
19	21 54 21·5	+2·32	—13 34 36	+12·0	23 54·8	19	11 7 28·4	—0·70	+7 57 28	+4·7	13 8·6
20	21 55 17·3	+2·32	—13 29 47	+12·1	23 51·8	20	11 7 11·5	—0·71	+7 59 22	+4·7	13 4·4
21	21 56 13·0	+2·32	—13 24 57	+12·1	23 48·7	21	11 6 54·5	—0·71	+8 1 16	+4·8	13 0·2
22	21 57 8·6	+2·32	—13 20 7	+12·1	23 45·7	22	11 6 37·4	—0·72	+8 3 10	+4·8	12 55·9
23	21 58 4·2	+2·31	—13 15 17	+12·1	23 42·7	23	11 6 20·2	—0·72	+8 5 5	+4·8	12 51·7
24	21 58 59·7	+2·31	—13 10 26	+12·1	23 39·7	24	11 6 2·9	—0·72	+8 7 0	+4·8	12 47·5
25	21 59 55·1	+2·31	—13 5 35	+12·1	23 36·7	25	11 5 45·5	—0·73	+8 8 55	+4·8	12 43·3
26	22 0 50·4	+2·30	—13 0 44	+12.2	23 33·7	26	11 5 28·0	—0·73	+8 10 51	+4·8	12 39·1
27	22 1 45·6	+2·30	—12 55 52	+12·2	23 30·7	27	11 5 10·5	—0·73	+8 12 47	+4·8	12 34·8
28	22 2 40·7	+2·29	—12 51 0	+12·2	23 27·6	28	11 4 52·9	—0·74	+8 14 42	+4·8	12 30·6
III.1	22 3 35·7	+2·29	—12 46 8	+12·2	23 24·6	III.1	11 4 35·2	—0·74	+8 16 38	+4·8	12 26·4

Datum	Halbmesser	Horizontal-Parallaxe	Datum	Halbmesser	Horizontal-Parallaxe
	″	″		″	″
1	15·7	1·5	1	9·2	1·0
11	15·7	1·5	11	9·3	1·0
21	15·7	1·5	21	9·3	1·1
31	15·7	1·5	31	9·3	1·1

MOND-DISTANZEN.

Mittlere Greenwicher Zeit.

Datum	Namen u. Lage der Sterne		Mittag	Lg. pr.	III^h	Lg. pr.	VI^h	Lg. pr.	IX^h	Lg. pr.
			° ′ ″		° ′ ″		° ′ ″		° ′ ″	
1	Regulus	W.	66 5 59	2879	67 38 46	2865	69 11 50	2850	70 45 13	2836
	Saturn	W.	48 17 46	2852	49 51 6	2838	51 24 44	2824	52 58 41	2810
	Antares	O.	34 40 11	2915	33 8 11	2905	31 35 59	2897	30 3 36	2890
	Venus	O.	51 41 53	3227	50 16 16	3215	48 50 25	3203	47 24 19	3189
	Sonne	O.	97 58 19	3246	96 33 4	3231	95 7 32	3217	93 41 43	3202
2	Regulus	W.	78 36 53	2760	80 12 14	2743	81 47 57	2726	83 24 2	2709
	Saturn	W.	60 53 14	2732	62 29 11	2716	64 5 29	2699	65 42 10	2683
	Spica	W.	24 58 49	2873	26 31 42	2844	28 5 13	2815	29 39 21	2789
	Venus	O.	40 9 49	3121	38 42 5	3108	37 14 5	3095	35 45 49	3081
	Sonne	O.	86 27 55	3119	85 0 9	3102	83 32 2	3084	82 3 33	3066
3	Regulus	W.	91 30 12	2621	93 8 38	2603	94 47 29	2584	96 26 46	2566
	Saturn	W.	73 51 22	2594	75 30 25	2575	77 9 54	2557	78 49 48	2538
	Spica	W.	37 38 16	2669	39 15 37	2646	40 53 29	2625	42 31 50	2603
	Venus	O.	28 20 28	3021	26 50 41	3013	25 20 44	3005	23 50 37	3000
	Sonne	O.	74 35 27	2972	73 4 39	2952	71 33 26	2932	70 1 48	2912
4	Regulus	W.	104 49 35	2472	106 31 28	2452	108 13 48	2434	109 56 34	2415
	Saturn	W.	87 15 52	2443	88 58 25	2424	90 41 25	2405	92 24 53	2386
	Spica	W.	50 51 3	2496	52 32 22	2474	54 14 11	2454	55 56 29	2433
	Sonne	O.	62 17 17	2812	60 43 5	2792	59 8 27	2772	57 33 22	2752
5	Saturn	W.	101 9 2	2291	102 55 14	2273	104 41 53	2255	106 28 58	2237
	Spica	W.	64 35 13	2334	66 20 23	2314	68 6 2	2296	69 52 8	2276
	Antares	W.	18 57 31	2448	20 39 57	2410	22 23 18	2374	24 7 30	2341
	Sonne	O.	49 31 27	2654	47 53 46	2637	46 15 41	2618	44 37 11	2601
6	Saturn	W.	115 30 55	2153	117 20 33	2137	119 10 35	2122	121 1 0	2108
	Spica	W.	78 49 21	2190	80 38 4	2174	82 27 11	2157	84 16 43	2143
	Antares	W.	32 58 52	2217	34 46 54	2197	36 35 26	2178	38 24 27	2159
	Sonne	O.	36 18 55	2522	34 38 12	2509	32 57 11	2497	31 15 54	2487
10	Sonne	W.	20 44 14	2398	22 27 52	2391	24 11 40	2387	25 55 34	2387
	α Arietis	O.	56 18 4	2154	54 28 27	2169	52 39 12	2186	50 50 23	2204
	Aldebaran	O.	86 9 37	2006	84 16 12	2013	82 22 58	2021	80 29 56	2030
11	Sonne	W.	34 34 10	2414	36 17 25	2424	38 0 26	2434	39 43 12	2446
	α Arietis	O.	41 54 13	2330	40 8 57	2364	38 24 30	2400	36 40 56	2443
	Aldebaran	O.	71 8 36	2084	69 17 13	2097	67 26 9	2110	65 35 25	2124
	Pollux	O.	115 16 22	2073	113 24 42	2086	111 33 21	2098	109 42 19	2111
12	Sonne	W.	48 12 30	2516	49 53 21	2532	51 33 50	2548	53 13 57	2564
	α Pegasi	W.	30 37 58	4366	31 43 50	4161	32 52 53	3988	34 4 44	3843
	Aldebaran	O.	56 27 22	2202	54 38 57	2219	52 50 58	2236	51 3 24	2254
	Pollux	O.	100 32 24	2184	98 43 32	2200	96 55 4	2216	95 7 0	2232
13	Sonne	W.	61 28 38	2653	63 6 21	2671	64 43 40	2689	66 20 34	2708
	α Pegasi	W.	40 34 57	3388	41 57 27	3333	43 21 0	3287	44 45 26	3248
	Aldebaran	O.	42 12 25	2350	40 27 39	2371	38 43 22	2392	36 59 36	2413
	Pollux	O.	86 12 49	2317	84 27 15	2335	82 42 6	2353	80 57 23	2370
	Regulus	O.	122 19 15	2328	120 33 56	2344	118 49 1	2362	117 4 31	2378
14	Sonne	W.	74 18 50	2802	75 53 15	2821	77 27 15	2839	79 0 52	2859
	α Pegasi	W.	51 56 54	3132	53 24 25	3120	54 52 10	3111	56 20 6	3104

MOND-DISTANZEN.

Mittlere Greenwicher Zeit.

Datum	Namen u. Lage der Sterne		Mitternacht	Lg. pr.	XV^h	Lg. pr.	XVIII^h	Lg. pr.	XXI^h	Lg. pr.
			° ′ ″		° ′ ″		° ′ ″		° ′ ″	
1	Regulus	W.	72 18 54	2821	73 52 54	2807	75 27 13	2791	77 1 53	2775
	Saturn	W.	54 32 56	2795	56 7 30	2779	57 42 25	2765	59 17 39	2749
	Antares	O.	28 31 4	2882	26 58 22	2876	25 25 32	2871	23 52 36	2868
	Venus	O.	45 57 57	3176	44 31 19	3163	43 4 25	3149	41 37 15	3136
	Sonne	O.	92 15 36	3186	90 49 10	3170	89 22 25	3153	87 55 20	3137
2	Regulus	W.	85 0 30	2692	86 37 20	2675	88 14 33	2657	89 52 11	2640
	Saturn	W.	67 19 13	2666	68 56 39	2648	70 34 29	2630	72 12 43	2612
	Spica	W.	31 14 3	2763	32 49 19	2740	34 25 6	2715	36 1 26	2692
	Venus	O.	34 17 16	3068	32 48 27	3055	31 19 22	3043	29 50 2	3031
	Sonne	O.	80 34 42	3047	79 5 28	3029	77 35 31	3010	76 5 51	2991
3	Regulus	W.	98 6 28	2548	99 46 35	2528	101 27 9	2510	103 8 9	2491
	Saturn	W.	80 30 8	2520	82 10 54	2500	83 52 7	2482	85 33 46	2462
	Spica	W.	44 10 41	2581	45 50 2	2559	47 29 53	2538	49 10 14	2517
	Venus	O.	22 20 24	2999	20 50 10	3002	19 20 0	3011	17 50 1	3028
	Sonne	O.	68 29 45	2893	66 57 17	2873	65 24 23	2852	63 51 3	2832
4	Regulus	W.	111 39 47	2396	113 23 27	2378	115 7 34	2359	116 52 8	2341
	Saturn	W.	94 8 48	2367	95 53 10	2348	97 38 0	2328	99 23 18	2311
	Spica	W.	57 39 16	2413	59 22 32	2393	61 6 17	2373	62 50 31	2353
	Sonne	O.	55 57 51	2732	54 21 54	2713	52 45 31	2693	51 8 42	2674
5	Saturn	W.	108 16 30	2220	110 4 28	2202	111 52 52	2186	113 41 41	2169
	Spica	W.	71 38 42	2259	73 25 42	2241	75 13 9	2223	77 1 2	2206
	Antares	W.	25 52 29	2313	27 38 9	2287	29 24 28	2262	31 11 23	2239
	Sonne	O.	42 58 17	2583	41 18 59	2567	39 39 19	2552	37 59 18	2536
6	Saturn	W.	122 51 47	2094	124 42 56	2080	126 34 26	2068	128 26 15	2055
	Spica	W.	86 6 37	2128	87 56 53	2114	89 47 30	2101	91 38 28	2088
	Antares	W.	40 13 56	2142	42 3 51	2126	43 54 11	2110	45 44 55	2096
	Sonne	O.	29 34 22	2477	27 52 36	2470	26 10 41	2465	24 28 38	2463
10	Sonne	W.	27 39 28	2389	29 23 19	2392	31 7 5	2398	32 50 43	2405
	α Arietis	O.	49 2 2	2225	47 14 11	2247	45 26 54	2272	43 40 13	2300
	Aldebaran	O.	78 37 9	2039	76 44 36	2050	74 52 19	2060	73 0 18	2072
11	Sonne	W.	41 25 41	2459	43 7 52	2472	44 49 45	2486	46 31 18	2501
	α Arietis	O.	34 58 22	2489	33 16 53	2541	31 36 37	2601	29 57 44	2669
	Aldebaran	O.	63 45 3	2139	61 55 3	2153	60 5 25	2169	58 16 11	2186
	Pollux	O.	107 51 37	2125	106 1 16	2139	104 11 16	2154	102 21 39	2169
12	Sonne	W.	54 53 41	2582	56 33 1	2599	58 11 57	2616	59 50 30	2634
	α Pegasi	W.	35 19 2	3720	36 35 28	3616	37 53 45	3527	39 13 39	3452
	Aldebaran	O.	49 16 17	2272	47 29 37	2291	45 43 25	2311	43 57 41	2330
	Pollux	O.	93 19 20	2249	91 32 5	2265	89 45 14	2283	87 58 49	2300
13	Sonne	W.	67 57 3	2727	69 33 7	2746	71 8 46	2765	72 44 0	2783
	α Pegasi	W.	46 10 38	3216	47 36 28	3188	49 2 51	3166	50 29 41	3147
	Aldebaran	O.	35 16 20	2436	33 33 36	2459	31 51 25	2483	30 9 48	2508
	Pollux	O.	79 13 5	2388	77 29 13	2405	75 45 46	2424	74 2 45	2442
	Regulus	O.	115 20 25	2396	113 36 44	2413	111 53 28	2431	110 10 37	2448
14	Sonne	W.	80 34 4	2877	82 6 52	2895	83 39 17	2913	85 11 19	2931
	α Pegasi	W.	57 48 11	3100	59 16 21	3097	60 44 34	3096	62 12 49	3096

MOND-DISTANZEN.

Mittlere Greenwicher Zeit.

Datum	Namen u. Lage der Sterne		Mittag	Lg. pr.	III^h	Lg. pr.	VI^h	Lg. pr.	IX^h	Lg. pr.
			° ′ ″		° ′ ″		° ′ ″		° ′ ″	
14	Mars	W.	25 48 42	2748	27 24 18	2761	28 59 37	2775	30 34 38	2788
	Aldebaran	O.	28 28 46	2534	26 48 20	2562	25 8 33	2593	23 29 28	2625
	Pollux	O.	72 20 10	2459	70 37 59	2477	68 56 14	2494	67 14 53	2512
	Regulus	O.	108 28 11	2465	106 46 9	2482	105 4 31	2499	103 23 17	2517
	Saturn	O.	125 24 7	2436	123 41 23	2452	121 59 3	2470	120 17 8	2487
15	Sonne	W.	86 42 58	2950	88 14 14	2967	89 45 8	2985	91 15 40	3002
	α Pegasi	W.	63 41 3	3097	65 9 16	3101	66 37 25	3105	68 5 28	3109
	Mars	W.	38 25 0	2864	39 58 5	2879	41 30 51	2895	43 3 16	2910
	α Arietis	W.	20 36 23	3616	21 54 40	3494	23 15 11	3398	24 37 30	3322
	Pollux	O.	58 54 13	2599	57 15 16	2615	55 36 41	2632	53 58 29	2648
	Regulus	O.	95 3 3	2601	93 24 9	2618	91 45 38	2633	90 7 28	2649
	Saturn	O.	111 53 25	2570	110 13 49	2586	108 34 35	2601	106 55 42	2618
16	Sonne	W.	98 43 4	3085	100 11 32	3101	101 39 41	3115	103 7 32	3130
	α Pegasi	W.	75 24 1	3144	76 51 17	3153	78 18 22	3163	79 45 16	3172
	Mars	W.	50 40 36	2985	52 11 8	2999	53 41 22	3013	55 11 18	3026
	α Arietis	W.	31 45 57	3120	33 13 42	3101	34 41 50	3086	36 10 16	3074
	Pollux	O.	45 52 55	2727	44 16 51	2743	42 41 8	2757	41 5 44	2772
	Regulus	O.	82 1 55	2725	80 25 49	2740	78 50 2	2753	77 14 33	2768
	Saturn	O.	98 46 34	2692	97 9 44	2706	95 33 12	2720	93 56 59	2734
17	Sonne	W.	110 22 20	3201	111 48 28	3214	113 14 20	3228	114 39 56	3240
	Mars	W.	62 36 52	3092	64 5 11	3104	65 33 16	3116	67 1 6	3128
	α Arietis	W.	43 35 3	3049	45 4 15	3049	46 33 27	3050	48 2 38	3051
	Pollux	O.	33 13 31	2845	31 40 1	2859	30 6 49	2873	28 33 56	2887
	Regulus	O.	69 21 35	2833	67 47 50	2845	66 14 20	2856	64 41 5	2869
	Saturn	O.	86 0 16	2798	84 25 45	2809	82 51 29	2820	81 17 27	2831
	Spica	O.	123 22 8	2850	121 48 45	2860	120 15 35	2871	118 42 39	2881
18	Sonne	W.	121 44 23	3298	123 8 37	3310	124 32 37	3320	125 56 25	3330
	Mars	W.	74 16 57	3180	75 43 30	3190	77 9 51	3199	78 36 1	3208
	α Arietis	W.	55 28 1	3064	56 56 54	3068	58 25 43	3072	59 54 27	3075
	Aldebaran	W.	24 8 53	3005	25 39 0	3004	27 9 8	3003	28 39 17	3004
	Regulus	O.	56 58 28	2922	55 26 37	2932	53 54 59	2941	52 23 32	2951
	Saturn	O.	73 30 47	2882	71 58 5	2892	70 25 36	2900	68 53 17	2909
	Spica	O.	111 1 8	2929	109 29 26	2938	107 57 55	2946	106 26 34	2954
19	Sonne	W.	132 52 36	3378	134 15 18	3386	135 37 50	3396	137 0 11	3404
	Mars	W.	85 44 22	3248	87 9 34	3255	88 34 38	3263	89 59 33	3269
	α Arietis	W.	67 16 54	3096	68 45 8	3101	70 13 16	3105	71 41 20	3109
	Aldebaran	W.	36 9 26	3018	37 39 17	3022	39 9 3	3025	40 38 45	3029
	Regulus	O.	44 49 14	2995	43 18 55	3003	41 48 46	3012	40 18 48	3020
	Saturn	O.	61 14 23	2948	59 43 5	2955	58 11 56	2961	56 40 55	2969
	Spica	O.	98 52 19	2991	97 21 55	2997	95 51 39	3005	94 21 32	3010
20	Mars	W.	97 2 23	3298	98 26 37	3303	99 50 45	3307	101 14 48	3312
	α Arietis	W.	79 0 26	3128	80 28 1	3132	81 55 32	3135	83 22 59	3139
	Aldebaran	W.	48 6 6	3047	49 35 21	3050	51 4 32	3053	52 33 39	3056
	Regulus	O.	32 51 29	3061	31 22 32	3069	29 53 45	3079	28 25 10	3089
	Saturn	O.	49 7 47	2997	47 37 30	3002	46 7 20	3007	44 37 16	3012
	Spica	O.	86 52 43	3037	85 23 16	3043	83 53 56	3047	82 24 42	3051

MOND-DISTANZEN.

Mittlere Greenwicher Zeit.

Datum	Namen u. Lage der Sterne	Mitternacht ° ′ ″	Lg. pr.	XVh ° ′ ″	Lg. pr.	XVIIIh ° ′ ″	Lg. pr.	XXIh ° ′ ″	Lg. pr.
14	Mars W.	32 9 21	2803	33 43 45	2818	35 17 50	2833	36 51 35	2848
	Aldebaran O.	21 51 7	2662	20 13 36	2703	18 37 0	2752	17 1 29	2810
	Pollux O.	65 33 57	2530	63 53 25	2547	62 13 17	2564	60 33 33	2582
	Regulus O.	101 42 27	2534	100 2 1	2551	98 21 59	2568	96 42 20	2584
	Saturn O.	118 35 37	2504	116 54 29	2521	115 13 45	2537	113 33 23	2554
15	Sonne W.	92 45 50	3019	94 15 39	3036	95 45 7	3052	97 14 16	3069
	α Pegasi W.	69 33 26	3115	71 1 17	3121	72 29 1	3128	73 56 36	3137
	Mars W.	44 35 22	2925	46 7 9	2940	47 38 37	2955	49 9 46	2970
	α Arietis W.	26 1 16	3263	27 26 11	3214	28 52 4	3176	30 18 42	3145
	Pollux O.	52 20 39	2664	50 43 11	2681	49 6 5	2696	47 29 20	2711
	Regulus O.	88 29 40	2665	86 52 13	2681	85 15 7	2695	83 38 21	2710
	Saturn O.	105 17 11	2633	103 39 1	2649	102 1 12	2663	100 23 43	2678
16	Sonne W.	104 35 5	3146	106 2 19	3160	107 29 16	3173	108 55 57	3188
	α Pegasi W.	81 11 59	3181	82 38 31	3192	84 4 50	3202	85 30 57	3212
	Mars W.	56 40 58	3040	58 10 21	3054	59 39 27	3067	61 8 17	3079
	α Arietis W.	37 38 57	3065	39 7 49	3059	40 36 49	3055	42 5 54	3052
	Pollux O.	39 30 39	2787	37 55 54	2801	36 21 28	2815	34 47 20	2830
	Regulus O.	75 39 23	2781	74 4 30	2795	72 29 55	2808	70 55 37	2820
	Saturn O.	92 21 4	2747	90 45 27	2760	89 10 7	2772	87 35 3	2785
17	Sonne W.	116 5 18	3253	117 30 25	3264	118 55 18	3276	120 19 57	3287
	Mars W.	68 28 42	3138	69 56 5	3149	71 23 15	3160	72 50 12	3170
	α Arietis W.	49 31 48	3052	51 0 56	3055	52 30 1	3057	53 59 3	3060
	Pollux O.	27 1 21	2902	25 29 5	2917	23 57 8	2934	22 25 32	2950
	Regulus O.	63 8 6	2880	61 35 21	2890	60 2 50	2901	58 30 32	2912
	Saturn O.	79 43 40	2842	78 10 7	2852	76 36 47	2863	75 3 41	2873
	Spica O.	117 9 56	2891	115 37 26	2901	114 5 8	2910	112 33 2	2920
18	Sonne W.	127 20 2	3340	128 43 27	3350	130 6 41	3359	131 29 44	3369
	Mars W.	80 2 1	3216	81 27 51	3225	82 53 30	3232	84 19 1	3241
	α Arietis W.	61 23 7	3080	62 51 41	3084	64 20 10	3087	65 48 35	3092
	Aldebaran W.	30 9 25	3006	31 39 30	3009	33 9 32	3011	34 39 31	3014
	Regulus O.	50 52 18	2960	49 21 15	2969	47 50 24	2977	46 19 43	2987
	Saturn O.	67 21 10	2917	65 49 13	2926	64 17 27	2933	62 45 50	2941
	Spica O.	104 55 24	2961	103 24 23	2969	101 53 32	2977	100 22 51	2985
19	Sonne W.	138 22 23	3413	139 44 25	3423	141 6 17	3430	142 28 0	3438
	Mars W.	91 24 21	3275	92 49 2	3282	94 13 35	3287	95 38 2	3292
	α Arietis W.	73 9 19	3113	74 37 13	3117	76 5 2	3120	77 32 47	3125
	Aldebaran W.	42 8 22	3032	43 37 55	3036	45 7 23	3039	46 36 47	3043
	Regulus O.	38 49 0	3028	37 19 22	3036	35 49 54	3044	34 20 36	3053
	Saturn O.	55 10 3	2974	53 39 18	2981	52 8 41	2986	50 38 11	2991
	Spica O.	92 51 32	3016	91 21 39	3022	89 51 54	3027	88 22 15	3033
20	Mars W.	102 38 46	3316	104 2 39	3320	105 26 27	3325	106 50 10	3328
	α Arietis W.	84 50 21	3143	86 17 39	3146	87 44 53	3149	89 12 3	3153
	Aldebaran W.	54 2 42	3059	55 31 42	3062	57 0 38	3065	58 29 30	3067
	Regulus O.	26 56 47	3100	25 28 37	3111	24 0 41	3124	22 33 1	3138
	Saturn O.	43 7 18	3017	41 37 26	3021	40 7 39	3025	38 37 57	3029
	Spica O.	80 55 32	3056	79 26 28	3060	77 57 29	3064	76 28 35	3067

MOND-DISTANZEN.

Mittlere Greenwicher Zeit.

Datum	Namen u. Lage der Sterne		Mittag	Lg. pr.	IIIh	Lg. pr.	VIh	Lg. pr.	IXh	Lg. pr.
			° ′ ″		° ′ ″		° ′ ″		° ′ ″	
21	Mars	W.	108 13 49	3331	109 37 25	3334	111 0 57	3338	112 24 25	3341
	α Arietis	W.	90 39 9	3156	92 6 11	3159	93 33 9	3162	95 0 4	3164
	Aldebaran	W.	59 58 20	3070	61 27 6	3072	62 55 50	3074	64 24 31	3077
	Saturn	O.	37 8 20	3034	35 38 49	3038	34 9 23	3041	32 40 1	3045
	Spica	O.	74 59 45	3070	73 30 59	3074	72 2 18	3077	70 33 40	3079
	Antares	O.	120 53 40	3066	119 24 49	3069	117 56 2	3071	116 27 17	3073
22	α Arietis	W.	102 13 46	3179	103 40 20	3183	105 6 50	3185	106 33 17	3188
	Aldebaran	W.	71 47 22	3084	73 15 51	3086	74 44 18	3086	76 12 44	3087
	Pollux	W.	27 39 19	3098	29 7 31	3097	30 35 44	3096	32 3 59	3095
	Spica	O.	63 11 21	3093	61 43 3	3095	60 14 47	3096	58 46 34	3099
	Antares	O.	109 4 7	3081	107 35 34	3081	106 7 3	3083	104 38 33	3084
23	Aldebaran	W.	83 34 43	3090	85 3 5	3090	86 31 27	3090	87 59 49	3090
	Pollux	W.	39 25 33	3090	40 53 55	3088	42 22 19	3087	43 50 44	3086
	Spica	O.	51 26 3	3108	49 58 3	3110	48 30 6	3111	47 2 10	3114
	Antares	O.	97 16 16	3086	95 47 50	3086	94 19 24	3086	92 50 58	3086
24	Aldebaran	W.	95 21 48	3086	96 50 14	3087	98 18 41	3084	99 47 10	3082
	Pollux	W.	51 13 9	3080	52 41 43	3078	54 10 19	3076	55 38 58	3075
	Spica	O.	39 43 7	3123	38 15 26	3126	36 47 48	3129	35 20 14	3133
	Antares	O.	85 28 38	3082	84 0 7	3082	82 31 35	3081	81 3 2	3079
25	Aldebaran	W.	107 10 3	3074	108 38 44	3072	110 7 28	3069	111 36 15	3067
	Pollux	W.	63 2 48	3063	64 31 43	3060	66 0 41	3057	67 29 43	3054
	Regulus	W.	27 5 28	3114	28 33 21	3106	30 1 23	3098	31 29 35	3091
	Antares	O.	73 39 44	3070	72 10 58	3067	70 42 8	3065	69 13 16	3062
	Venus	O.	114 50 48	3492	113 30 15	3489	112 9 39	3485	110 48 58	3482
	α Aquilæ	O.	117 19 22	4069	116 8 50	4040	114 57 50	4014	113 46 24	3989
26	Pollux	W.	74 55 58	3035	76 25 27	3031	77 55 1	3026	79 24 41	3022
	Regulus	W.	38 52 36	3060	40 21 35	3053	41 50 42	3047	43 19 56	3041
	Saturn	W.	22 49 29	3032	24 19 2	3024	25 48 45	3017	27 18 37	3009
	Antares	O.	61 48 0	3047	60 18 45	3043	58 49 25	3038	57 20 0	3035
	Venus	O.	104 4 35	3462	102 43 28	3457	101 22 16	3453	100 0 59	3447
	α Aquilæ	O.	107 43 33	3885	106 29 58	3868	105 16 6	3852	104 1 57	3836
27	Pollux	W.	86 54 37	2994	88 24 57	2986	89 55 25	2981	91 26 1	2974
	Regulus	W.	50 48 6	3008	52 18 9	3001	53 48 20	2994	55 18 40	2986
	Saturn	W.	34 50 11	2974	36 20 56	2966	37 51 51	2960	39 22 54	2952
	Antares	O.	49 51 38	3013	48 21 41	3007	46 51 37	3002	45 21 27	2997
	Venus	O.	93 12 59	3418	91 51 3	3411	90 28 59	3404	89 6 47	3397
	α Aquilæ	O.	97 47 30	3771	96 31 58	3760	95 16 14	3750	94 0 20	3741
28	Pollux	W.	99 1 15	2937	100 32 47	2928	102 4 30	2920	103 36 24	2910
	Regulus	W.	62 52 48	2946	64 24 9	2937	65 55 41	2927	67 27 25	2918
	Saturn	W.	47 0 41	2911	48 32 46	2902	50 5 2	2893	51 37 30	2883
	Antares	O.	37 48 55	2969	36 18 4	2963	34 47 5	2958	33 16 0	2954
	Venus	O.	82 13 38	3357	80 50 32	3347	79 27 15	3338	78 3 48	3329
	α Aquilæ	O.	87 38 31	3702	86 21 46	3696	85 4 55	3691	83 47 59	3687
	Sonne	O.	128 23 42	3330	127 0 5	3319	125 36 16	3308	124 12 14	3298

MOND-DISTANZEN.

Mittlere Greenwicher Zeit.

Datum	Namen u. Lage der Sterne		Mitternacht	Lg. pr.	XV[h]	Lg. pr.	XVIII[h]	Lg. pr.	XXI[h]	Lg. pr.
			° ′ ″		° ′ ″		° ′ ″		° ′ ″	
21	Mars	W.	113 47 49	3343	115 11 11	3345	116 34 30	3348	117 57 46	3350
	α Arietis	W.	96 26 56	3168	97 53 43	3170	99 20 28	3174	100 47 8	3176
	Aldebaran	W.	65 53 9	3078	67 21 45	3079	68 50 20	3082	70 18 52	3083
	Saturn	O.	31 10 44	3049	29 41 32	3054	28 12 26	3058	26 43 25	3062
	Spica	O.	69 5 5	3082	67 36 34	3086	66 8 7	3088	64 39 43	3090
	Antares	O.	114 58 35	3075	113 29 55	3077	112 1 17	3078	110 32 41	3080
22	α Arietis	W.	107 59 41	3191	109 26 1	3193	110 52 18	3197	112 18 31	3200
	Aldebaran	W.	77 41 9	3088	79 9 33	3088	80 37 57	3089	82 6 20	3089
	Pollux	W.	33 32 15	3093	35 0 33	3092	36 28 52	3091	37 57 12	3091
	Spica	O.	57 18 23	3101	55 50 15	3103	54 22 9	3105	52 54 5	3106
	Antares	O.	103 10 4	3085	101 41 36	3086	100 13 9	3086	98 44 42	3086
23	Aldebaran	W.	89 28 11	3089	90 56 34	3088	92 24 58	3088	93 53 22	3086
	Pollux	W.	45 19 10	3086	46 47 37	3084	48 16 6	3083	49 44 36	3081
	Spica	O.	45 34 17	3115	44 6 26	3117	42 38 37	3119	41 10 51	3121
	Antares	O.	91 22 31	3086	89 54 4	3085	88 25 36	3085	86 57 8	3083
24	Aldebaran	W.	101 15 41	3081	102 44 14	3080	104 12 48	3078	105 41 25	3077
	Pollux	W.	57 7 38	3073	58 36 21	3070	60 5 7	3068	61 33 56	3065
	Spica	O.	33 52 44	3136	32 25 18	3140	30 57 57	3146	29 30 43	3152
	Antares	O.	79 34 27	3077	78 5 49	3076	76 37 10	3073	75 8 28	3072
25	Aldebaran	W.	113 5 5	3064	114 33 58	3061	116 2 55	3058	117 31 56	3056
	Pollux	W.	68 58 49	3050	70 28 0	3047	71 57 14	3043	73 26 34	3039
	Regulus	W.	32 57 55	3084	34 26 24	3078	35 55 0	3072	37 23 44	3065
	Antares	O.	67 44 20	3060	66 15 21	3056	64 46 18	3053	63 17 11	3050
	Venus	O.	109 28 14	3479	108 7 26	3475	106 46 34	3471	105 25 37	3466
	α Aquilæ	O.	112 34 34	3966	111 22 21	3943	110 9 45	3923	108 56 49	3904
26	Pollux	W.	80 54 27	3016	82 24 20	3011	83 54 19	3006	85 24 24	3000
	Regulus	W.	44 49 18	3034	46 18 48	3028	47 48 26	3022	49 18 12	3015
	Saturn	W.	28 48 38	3002	30 18 48	2995	31 49 7	2988	33 19 35	2981
	Antares	O.	55 50 31	3030	54 20 56	3026	52 51 16	3022	51 21 30	3017
	Venus	O.	98 39 36	3441	97 18 6	3436	95 56 30	3431	94 34 48	3424
	α Aquilæ	O.	102 47 32	3821	101 32 52	3808	100 17 58	3794	99 2 50	3783
27	Pollux	W.	92 56 46	2968	94 27 39	2961	95 58 41	2953	97 29 53	2945
	Regulus	W.	56 49 10	2978	58 19 50	2971	59 50 39	2963	61 21 38	2954
	Saturn	W.	40 54 7	2944	42 25 30	2936	43 57 3	2927	45 28 47	2920
	Antares	O.	43 51 10	2992	42 20 47	2985	40 50 16	2981	39 19 39	2975
	Venus	O.	87 44 27	3390	86 21 59	3381	84 59 21	3373	83 36 34	3365
	α Aquilæ	O.	92 44 16	3731	91 28 2	3724	90 11 40	3715	88 55 9	3708
28	Pollux	W.	105 8 30	2901	106 40 47	2892	108 13 16	2882	109 45 58	2871
	Regulus	W.	68 59 21	2908	70 31 29	2899	72 3 49	2888	73 36 23	2877
	Saturn	W.	53 10 10	2873	54 43 3	2864	56 16 8	2853	57 49 27	2841
	Antares	O.	31 44 49	2949	30 13 32	2944	28 42 9	2940	27 10 41	2937
	Venus	O.	76 40 10	3318	75 16 20	3308	73 52 18	3298	72 28 4	3287
	α Aquilæ	O.	82 30 58	3683	81 13 53	3680	79 56 45	3677	78 39 34	3676
	Sonne	O.	122 48 0	3287	121 23 33	3276	119 58 53	3264	118 34 0	3252

Tag im Jahre	Wochentag und Datum		Mittlerer Greenwicher Mittag. Sonne. Rectascension	Stdl. Aend.	Declination — Süd + Nord	Stündl. Aenderung	Halbmesser	Zeitgleichung + Zur wahren Zeit zu addiren	Stündl. Aenderung	Declination der Sonne im wahren Greenwicher Mittage
			h m s	s	° ′ ″	″	′ ″	m s	s	° ′ ″
60	Sonntag	1	22 48 33·7	9·36	—7 34 45	+57·0	16 10	+12 32·9	—0·49	—7 34 34
61	Montag	2	22 52 18·1	9·34	—7 11 55	+57·3	16 10	+12 20·8	—0·51	—7 11 43
62	Dienst.	3	22 56 2·1	9·32	—6 48 58	+57·5	16 10	+12 8·2	—0·53	—6 48 46
63	Mittw.	4	22 59 45·6	9·31	—6 25 55	+57·7	16 10	+11 55·2	—0·55	—6 25 43
64	Donner.	5	23 3 28·7	9·29	—6 2 47	+57·9	16 9	+11 41·7	—0·57	—6 2 35
65	Freitag	6	23 7 11·4	9·27	—5 39 33	+58·1	16 9	+11 27·8	—0·59	—5 39 22
66	Samstag	7	23 10 53·7	9·25	—5 16 15	+58·3	16 9	+11 13·6	—0·60	—5 16 4
67	Sonntag	8	23 14 35·6	9·24	—4 52 53	+58·5	16 9	+10 58·9	—0·62	—4 52 42
68	Montag	9	23 18 17·1	9·23	—4 29 27	+58·7	16 8	+10 43·9	—0·63	—4 29 16
69	Dienst.	10	23 21 58·3	9·21	—4 5 57	+58·8	16 8	+10 28·5	—0·65	—4 5 47
70	Mittw.	11	23 25 39·1	9·20	—3 42 24	+58·9	16 8	+10 12·8	—0·66	—3 42 14
71	Donner.	12	23 29 19·6	9·18	—3 18 49	+59·0	16 8	+ 9 56·8	—0·67	—3 18 39
72	Freitag	13	23 32 59·8	9·17	—2 55 11	+59·1	16 7	+ 9 40·4	—0·69	—2 55 1
73	Samstag	14	23 36 39·7	9·16	—2 31 31	+59·2	16 7	+ 9 23·8	—0·70	—2 31 22
74	Sonntag	15	23 40 19·4	9·15	—2 7 50	+59·2	16 7	+ 9 6·9	—0·71	—2 7 41
75	Montag	16	23 43 58·8	9·14	—1 44 9	+59·3	16 6	+ 8 49·7	—0·72	—1 44 0
76	Dienst.	17	23 47 38·0	9·13	—1 20 26	+59·3	16 6	+ 8 32·3	—0·73	—1 20 17
77	Mittw.	18	23 51 16·9	9·12	—0 56 43	+59·3	16 6	+ 8 14·7	—0·74	—0 56 35
78	Donner.	19	23 54 55·7	9·11	—0 33 0	+59·3	16 6	+ 7 56·9	—0·75	—0 32 52
79	Freitag	20	23 58 34·3	9·11	—0 9 17	+59·3	16 5	+ 7 39·0	—0·75	—0 9 10
80	Samstag	21	0 2 12·8	9·10	+0 14 25	+59·2	16 5	+ 7 20·9	—0·76	+0 14 32
81	Sonntag	22	0 5 51·1	9·10	+0 38 5	+59·2	16 5	+ 7 2·7	—0·76	+0 38 12
82	Montag	23	0 9 29·3	9·09	+1 1 44	+59·1	16 5	+ 6 44·3	—0·77	+1 1 51
83	Dienst.	24	0 13 7·5	9·09	+1 25 22	+59·0	16 4	+ 6 25·9	—0·77	+1 25 28
84	Mittw.	25	0 16 45·6	9·09	+1 48 57	+58·9	16 4	+ 6 7·5	—0·77	+1 49 3
85	Donner.	26	0 20 23·6	9·09	+2 12 29	+58·8	16 4	+ 5 49·0	—0·77	+2 12 35
86	Freitag	27	0 24 1·7	9·09	+2 35 59	+58·7	16 3	+ 5 30·5	—0·77	+2 36 5
87	Samstag	28	0 27 39·8	9·09	+2 59 26	+58·5	16 3	+ 5 12·0	—0·77	+2 59 31
88	Sonntag	29	0 31 17·9	9·09	+3 22 49	+58·4	16 3	+ 4 53·6	—0·77	+3 22 54
89	Montag	30	0 34 56·0	9·09	+3 46 9	+58·2	16 3	+ 4 35·2	—0·76	+3 46 13
90	Dienst.	31	0 38 34·3	9·10	+4 9 24	+58·1	16 2	+ 4 16·9	—0·76	+4 9 28
91	Mittw.	A. 1	0 42 12·7	9·10	+4 32 35	+57·9	16 2	+ 3 58·7	—0·76	+4 32 39

Wochentag und Datum		Sternzeit im mittleren Greenwich. Mittage	Mittlere Greenwicher Zeit. Mond. Obere Culmination	Stündliche Verzögerung	Halbmesser Mittag	Halbmesser Mitternacht	Horizontal-Parallaxe Mittag	Stündl. Aenderung	Horizontal-Parallaxe Mitternacht	Stündl. Aenderung	Alter Mittag
		h m s	h m	m	′ ″	′ ″	′ ″	″	′ ″	″	d
Sonntag	1	22 36 0·8	16 41·9	1·97	15 9	15 14	55 31	+1·5	55 50	+1·6	20·4
Montag	2	22 39 57·3	17 31·1	2·14	15 20	15 26	56 10	+1·8	56 32	+1·9	21·4
Dienst.	3	22 43 53·9	18 24·5	2·31	15 32	15 39	56 56	+2·0	57 21	+2·1	22·4
Mittw.	4	22 47 50·5	19 22·1	2·46	15 46	15 54	57 48	+2·2	58 15	+2·3	23·4
Donner.	5	22 51 47·0	20 22·8	2·55	16 1	16 9	58 42	+2·3	59 9	+2·2	24·4
Freitag	6	22 55 43·6	21 24·6	2·55	16 16	16 23	59 36	+2·1	60 1	+2·0	25·4
Samstag	7	22 59 40·1	22 25·4	2·48	16 29	16 34	60 24	+1·8	60 44	+1·5	26·4
Sonntag	8	23 3 36·7	23 23·7	2·37	16 39	16 42	61 0	+1·2	61 13	+0·8	27·4
Montag	9	23 7 33·2	*		16 45	16 45	61 20	+0·4	61 23	0 0	28·4
Dienst.	10	23 11 29·8	0 19·3	2·27	16 45	16 43	61 21	−0·4	61 14	−0·8	0·0
Mittw.	11	23 15 26·3	1 12·5	2·19	16 39	16 35	61 2	−1·2	60 45	−1·5	1·0
Donner.	12	23 19 22·9	2 4·3	2·15	16 29	16 23	60 25	−1·8	60 1	−2·1	2·0
Freitag	13	23 23 19·4	2 55·5	2·14	16 16	16 8	59 35	−2·2	59 7	−2·4	3·0
Samstag	14	23 27 16·0	3 47·1	2·16	16 0	15 52	58 38	−2·4	58 9	−2·4	4·0
Sonntag	15	23 31 12·5	4 39·4	2·20	15 44	15 37	57 40	−2·4	57 11	−2·3	5·0
Montag	16	23 35 9·1	5 32·5	2·22	15 29	15 22	56 44	−2·2	56 19	−2·1	6·0
Dienst.	17	23 39 5·7	6 25·8	2·21	15 16	15 10	55 55	−1·9	55 33	−1·7	7·0
Mittw.	18	23 43 2·2	7 18·4	2·16	15 5	15 0	55 14	−1·5	54 57	−1·3	8·0
Donner.	19	23 46 58·8	8 9·4	2·08	14 56	14 52	54 42	−1·1	54 30	−1·0	9·0
Freitag	20	23 50 55·3	8 58·2	1·98	14 50	14 47	54 19	−0·8	54 11	−0·6	10·0
Samstag	21	23 54 51·9	9 44·5	1·88	14 46	14 45	54 5	−0·4	54 1	−0·3	11·0
Sonntag	22	23 58 48·4	10 28·4	1·79	14 44	14 44	53 59	−0·1	53 58	0·0	12·0
Montag	23	0 2 45·0	11 10·5	1·73	14 44	14 45	53 59	+0·2	54 2	+0·3	13·0
Dienst.	24	0 6 41·5	11 51·4	1·69	14 46	14 47	54 6	+0·4	54 11	+0·5	14·0
Mittw.	25	0 10 38·1	12 31·8	1·70	14 49	14 51	54 18	+0·6	54 26	+0·7	15·0
Donner.	26	0 14 34·6	13 12·8	1·73	14 54	14 56	54 34	+0·8	54 44	+0·9	16·0
Freitag	27	0 18 31·2	13 55·1	1·81	14 59	15 3	54 55	+1·0	55 7	+1·0	17·0
Samstag	28	0 22 27·7	14 39·8	1·93	15 6	15 10	55 20	+1·1	55 34	+1·2	18·0
Sonntag	29	0 26 24·3	15 27·6	2·07	15 14	15 18	55 49	+1·3	56 5	+1·4	19·0
Montag	30	0 30 20·8	16 19·2	2·22	15 23	15 28	56 22	+1·5	56 41	+1·6	20·0
Dienst.	31	0 34 17·4	17 14·4	2·36	15 33	15 39	57 0	+1·7	57 20	+1·7	21·0
Mittw.	A. 1	0 38 13·9	18 12·4	2·45	15 45	15 51	57 41	+1·8	58 3	+1 8	22·0

Rectascension und Declination des Mondes.

Mittlere Green. Zeit	Rectascension	Aenderung in 10ᵐ	Declination — Süd	Aenderung in 10ᵐ
	Sonntag 1.			
h	h m s	s	° ′ ″	″
0	14 46 49·1	19·80	- 13 46 38	- 115·4
1	14 48 48·0	19·85	- 13 58 9	- 114·9
2	14 50 47·3	19·90	- 14 9 37	- 114·4
3	14 52 46·8	19·95	- 14 21 2	- 113·9
4	14 54 46·7	20·00	- 14 32 24	- 113·4
5	14 56 46·8	20·05	- 14 43 42	- 112·8
6	14 58 47·3	20·10	- 14 54 58	- 112·3
7	15 0 48·1	20·16	- 15 6 10	- 111·7
8	15 2 49·2	20·21	- 15 17 18	- 111·1
9	15 4 50·6	20·26	- 15 28 23	- 110·5
10	15 6 52·3	20·32	- 15 39 25	- 109 9
11	15 8 54·4	20·37	- 15 50 23	- 109·3
12	15 10 56·8	20·43	- 16 1 17	- 108·7
13	15 12 59·6	20·48	- 16 12 7	- 108·1
14	15 15 2·6	20·54	- 16 22 54	- 107·4
15	15 17 6·1	20·60	- 16 33 37	- 106·8
16	15 19 9·8	20·66	- 16 44 15	- 106·1
17	15 21 13·9	20·71	- 16 54 50	- 105·5
18	15 23 18·4	20·77	- 17 5 21	- 104·8
19	15 25 23·2	20·83	- 17 15 48	- 104·1
20	15 27 28·4	20·89	- 17 26 10	- 103·4
21	15 29 33·9	20·95	- 17 36 28	- 102·7
22	15 31 39·8	21·01	- 17 46 42	- 101·9
23	15 33 46·1	21·07	- 17 56 51	- 101·2
	Montag 2.			
0	15 35 52·7	21·13	- 18 6 56	- 100·4
1	15 37 59·7	21·20	- 18 16 56	- 99·7
2	15 40 7·1	21·26	- 18 26 52	- 98·9
3	15 42 14·8	21·32	- 18 36 43	- 98·1
4	15 44 22·9	21·39	- 18 46 29	- 97·3
5	15 46 31·4	21·45	- 18 56 10	- 96·5
6	15 48 40·3	21·51	- 19 5 47	- 95·6
7	15 50 49·6	21·58	- 19 15 18	- 94·8
8	15 52 59·2	21·64	- 19 24 44	- 93·9
9	15 55 9·3	21·71	- 19 34 5	- 93·1
10	15 57 19·7	21·77	- 19 43 21	- 92·2
11	15 59 30·6	21·84	- 19 52 32	- 91·3
12	16 1 41·8	21·90	- 20 1 37	- 90·4
13	16 3 53·4	21·97	- 20 10 37	- 89·5
14	16 6 5·4	22·04	- 20 19 31	- 88·6
15	16 8 17·9	22·10	- 20 28 20	- 87·6
16	16 10 30·7	22·17	- 20 37 3	- 86·7
17	16 12 43·9	22·24	- 20 45 40	- 85·7
18	16 14 57·5	22·31	- 20 54 11	- 84·7
19	16 17 11·6	22·37	- 21 2 36	- 83·7
20	16 19 26·0	22·44	- 21 10 56	- 82·7
21	16 21 40·9	22·51	- 21 19 9	- 81·7
22	16 23 56·1	22·58	- 21 27 16	- 80·7
23	16 26 11·8	22·64	- 21 35 17	- 79·6
24	16 28 27·9	22·71	- 21 43 12	- 78·5

Mittlere Green. Zeit	Rectascension	Aenderung in 10ᵐ	Declination — Süd	Aenderung in 10ᵐ
	Dienstag 3.			
h	h m s	s	° ′ ″	″
0	16 28 27·9	22·71	- 21 43 12	- 78·5
1	16 30 44·4	22·78	- 21 51 0	- 77·5
2	16 33 1·3	22·85	- 21 58 41	- 76·4
3	16 35 18·6	22·92	- 22 6 16	- 75·3
4	16 37 36·3	22·99	- 22 13 45	- 74·2
5	16 39 54·4	23·05	- 22 21 7	- 73·0
6	16 42 12·9	23·12	- 22 28 22	- 71·9
7	16 44 31·9	23·19	- 22 35 30	- 70·8
8	16 46 51·2	23·26	- 22 42 31	- 69·6
9	16 49 11·0	23·33	- 22 49 25	- 68·4
10	16 51 31·2	23·40	- 22 56 11	- 67·2
11	16 53 51·7	23·46	- 23 2 51	- 66·0
12	16 56 12·7	23·53	- 23 9 23	- 64·8
13	16 58 34·1	23·60	- 23 15 48	- 63·5
14	17 0 55·9	23·67	- 23 22 6	- 62·3
15	17 3 18·1	23·73	- 23 28 16	- 61·0
16	17 5 40·7	23·80	- 23 34 18	- 59·7
17	17 8 3·7	23·86	- 23 40 13	- 58·5
18	17 10 27·1	23·93	- 23 46 0	- 57·2
19	17 12 50·9	24·00	- 23 51 39	- 55·8
20	17 15 15·1	24·06	- 23 57 10	- 54·5
21	17 17 39·6	24·13	- 24 2 33	- 53·2
22	17 20 4·6	24·19	- 24 7 48	- 51·8
23	17 22 29·9	24·25	- 24 12 55	- 50·4
	Mittwoch 4.			
0	17 24 55·6	24·32	- 24 17 53	- 49·1
1	17 27 21·7	24·38	- 24 22 44	- 47·7
2	17 29 48·2	24·44	- 24 27 25	- 46·3
3	17 32 15·1	24·51	- 24 31 59	- 44·8
4	17 34 42·3	24·57	- 24 36 24	- 43·4
5	17 37 9·9	24·63	- 24 40 40	- 42·0
6	17 39 37·8	24·69	- 24 44 47	- 40·5
7	17 42 6·1	24·75	- 24 48 46	- 39·0
8	17 44 34·8	24·81	- 24 52 35	- 37·6
9	17 47 3·8	24·86	- 24 56 16	- 36·1
10	17 49 33·1	24·92	- 24 59 48	- 34·5
11	17 52 2·8	24·98	- 25 3 11	- 33·0
12	17 54 32·8	25·03	- 25 6 25	- 31·5
13	17 57 3·2	25·09	- 25 9 29	- 30·0
14	17 59 33·9	25·14	- 25 12 24	- 28·4
15	18 2 4·9	25·19	- 25 15 10	- 26·9
16	18 4 36·2	25·24	- 25 17 46	- 25·3
17	18 7 7·8	25·30	- 25 20 13	- 23·7
18	18 9 39·7	25·35	- 25 22 31	- 22·1
19	18 12 12·0	25·39	- 25 24 39	- 20·5
20	18 14 44·5	25·44	- 25 26 37	- 18·9
21	18 17 17·3	25·49	- 25 28 25	- 17·3
22	18 19 50·4	25·54	- 25 30 4	- 15·6
23	18 22 23·7	25·58	- 25 31 33	- 14·0
24	18 24 57·3	25·62	- 25 32 52	- 12·3

Rectascension und Declination des Mondes.

Mittlere Green. Zeit	Rectascension	Aenderung in 10m	Declination — Süd	Aenderung in 10m	Mittlere Green. Zeit	Rectascension	Aenderung in 10m	Declination — Süd	Aenderung in 10m
	Donnerstag 5.					**Samstag 7.**			
h	h m s	s	° ′ ″	″	h	h m s	s	° ′ ″	″
0	18 24 57·3	25·62	— 25 32 52	— 12·3	0	20 30 36·0	26·21	— 23 11 24	+ 71·7
1	18 27 31·2	25·67	— 25 34 1	— 10·7	1	20 33 13·2	26·19	— 23 4 9	+ 73·4
2	18 30 5·3	25·71	— 25 35 0	— 9·0	2	20 35 50·3	26·17	— 22 56 43	+ 75·1
3	18 32 39·7	25·75	— 25 35 49	— 7·3	3	20 38 27·3	26·15	— 22 49 7	+ 76·8
4	18 35 14·3	25·79	— 25 36 28	— 5·6	4	20 41 4·1	26·13	— 22 41 21	+ 78·5
5	18 37 49·2	25·83	— 25 36 56	— 3·9	5	20 43 40·8	26·10	— 22 33 25	+ 80·1
6	18 40 24·3	25·86	— 25 37 15	— 2·2	6	20 46 17·4	26·08	— 22 25 20	+ 81·8
7	18 42 59·6	25·90	— 25 37 23	— 0·5	7	20 48 53·8	26·05	— 22 17 4	+ 83·5
8	18 45 35·1	25·93	— 25 37 21	+ 1·2	8	20 51 30·0	26·03	— 22 8 38	+ 85·1
9	18 48 10·8	25·97	— 25 37 9	+ 2·9	9	20 54 6·1	26·00	— 22 0 3	+ 86·7
10	18 50 46·7	26·00	— 25 36 46	+ 4·6	10	20 56 42·0	25·97	— 21 51 17	+ 88·3
11	18 53 22·8	26·03	— 25 36 13	+ 6·4	11	20 59 17·8	25·94	— 21 42 23	+ 89·9
12	18 55 59·1	26·06	— 25 35 30	+ 8·1	12	21 1 53·3	25·91	— 21 33 18	+ 91·5
13	18 58 35·5	26·09	— 25 34 36	+ 9·9	13	21 4 28·7	25·88	— 21 24 4	+ 93·1
14	19 1 12·1	26·11	— 25 33 31	+ 11·6	14	21 7 3·9	25·85	— 21 14 41	+ 94·7
15	19 3 48·9	26·14	— 25 32 16	+ 13·4	15	21 9 38·9	25·81	— 21 5 8	+ 96·2
16	19 6 25·8	26·16	— 25 30 51	+ 15·1	16	21 12 13·6	25·78	— 20 55 26	+ 97·8
17	19 9 2·8	26·19	— 25 29 15	+ 16·9	17	21 14 48·2	25·74	— 20 45 34	+ 99·3
18	19 11 40·0	26·21	— 25 27 28	+ 18·7	18	21 17 22·6	25·71	— 20 35 34	+ 100·8
19	19 14 17·3	26·23	— 25 25 30	+ 20·4	19	21 19 56·7	25·67	— 20 25 24	+ 102·3
20	19 16 54·7	26·25	— 25 23 22	+ 22·2	20	21 22 30·7	25·64	— 20 15 6	+ 103·8
21	19 19 32·3	26·26	— 25 21 4	+ 24·0	21	21 25 4·4	25·60	— 20 4 38	+ 105·3
22	19 22 9·9	26·28	— 25 18 34	+ 25·8	22	21 27 37·9	25·56	— 19 54 2	+ 106·8
23	19 24 47·6	26·29	— 25 15 54	+ 27·6	23	21 30 11·1	25·52	— 19 43 17	+ 108·2
	Freitag 6.					**Sonntag 8.**			
0	19 27 25·4	26·31	— 25 13 3	+ 29·4	0	21 32 44·1	25·48	— 19 32 23	+ 109·6
1	19 30 3·3	26·32	— 25 10 2	+ 31·1	1	21 35 16·9	25·44	— 19 21 21	+ 111·1
2	19 32 41·2	26·33	— 25 6 50	+ 32·9	2	21 37 49·5	25·40	— 19 10 11	+ 112·5
3	19 35 19·2	26·34	— 25 3 27	+ 34·7	3	21 40 21·8	25·36	— 18 58 52	+ 113·8
4	19 37 57·3	26·34	— 24 59 53	+ 36·5	4	21 42 53·8	25·32	— 18 47 24	+ 115·2
5	19 40 35·4	26·35	— 24 56 9	+ 38·3	5	21 45 25·6	25·28	— 18 35 49	+ 116·6
6	19 43 13·5	26·35	— 24 52 14	+ 40·1	6	21 47 57·2	25·24	— 18 24 6	+ 117·9
7	19 45 51·6	26·36	— 24 48 8	+ 41·9	7	21 50 28·5	25·20	— 18 12 14	+ 119·2
8	19 48 29·8	26·36	— 24 43 51	+ 43·7	8	21 52 59·6	25·15	— 18 0 15	+ 120·5
9	19 51 7·9	26·36	— 24 39 24	+ 45·4	9	21 55 30·4	25·11	— 17 48 8	+ 121·8
10	19 53 46·1	26·36	— 24 34 46	+ 47·2	10	21 58 0·9	25·07	— 17 35 53	+ 123·1
11	19 56 24·3	26·36	— 24 29 57	+ 49·0	11	22 0 31·2	25·03	— 17 23 31	+ 124·3
12	19 59 2·4	26·35	— 24 24 58	+ 50·8	12	22 3 1·2	24·98	— 17 11 2	+ 125·5
13	20 1 40·5	26·35	— 24 19 48	+ 52·5	13	22 5 31·0	24·94	— 16 58 25	+ 126·7
14	20 4 18·6	26·34	— 24 14 28	+ 54·3	14	22 8 0·5	24·89	— 16 45 41	+ 127·9
15	20 6 56·6	26·34	— 24 8 57	+ 56·1	15	22 10 29·7	24·85	— 16 32 50	+ 129·1
16	20 9 34·6	26·33	— 24 3 15	+ 57·8	16	22 12 58·7	24·80	— 16 19 51	+ 130·3
17	20 12 12·6	26·32	— 23 57 23	+ 59·6	17	22 15 27·4	24·76	— 16 6 46	+ 131·4
18	20 14 50·5	26·31	— 23 51 20	+ 61·3	18	22 17 55·8	24·72	— 15 53 34	+ 132·5
19	20 17 28·3	26·29	— 23 45 6	+ 63·1	19	22 20 23·9	24·67	— 15 40 16	+ 133·6
20	20 20 6·0	26·28	— 23 38 43	+ 64·8	20	22 22 51·8	24·63	— 15 26 51	+ 134·7
21	20 22 43·6	26·27	— 23 32 9	+ 66·6	21	22 25 19·5	24·58	— 15 13 19	+ 135·8
22	20 25 21·2	26·25	— 23 25 24	+ 68·3	22	22 27 46·8	24·54	— 14 59 41	+ 136·8
23	20 27 58·6	26·23	— 23 18 29	+ 70·0	23	22 30 13·9	24·49	— 14 45 57	+ 137·8
24	20 30 36·0	26·21	— 23 11 24	+ 71·7	24	22 32 40·7	24·45	— 14 32 7	+ 138·8

Rectascension und Declination des Mondes.

Mittlere Green. Zeit	Rectascension	Aenderung in 10m	Declination − Süd	Aenderung in 10m	Mittlere Green. Zeit	Rectascension	Aenderung in 10m	Declination − Süd + Nord	Aenderung in 10m
	Montag 9.					**Mittwoch 11.**			
h	h m s	s	° ′ ″	″	h	h m s	s	° ′ ″	″
0	22 32 40·7	24·45	− 14 32 7	+ 138·8	0	0 25 25·5	22·70	− 2 8 52	+ 163·0
1	22 35 7·3	24·40	− 14 18 11	+ 139·8	1	0 27 41·6	22·68	− 1 52 34	+ 163·0
2	22 37 33·6	24·36	− 14 4 9	+ 140·8	2	0 29 57·6	22·65	− 1 36 16	+ 163·0
3	22 39 59·6	24·31	− 13 50 2	+ 141·7	3	0 32 13·5	22·63	− 1 19 59	+ 162·9
4	22 42 25·3	24·27	− 13 35 49	+ 142·7	4	0 34 29·2	22·61	− 1 3 41	+ 162·9
5	22 44 50·8	24·23	− 13 21 30	+ 143·6	5	0 36 44·8	22·59	− 0 47 24	+ 162·8
6	22 47 16·1	24·18	− 13 7 6	+ 144·4	6	0 39 0·3	22·57	− 0 31 7	+ 162·7
7	22 49 41·0	24·14	− 12 52 37	+ 145·3	7	0 41 15·6	22·55	− 0 14 51	+ 162·6
8	22 52 5·7	24·10	− 12 38 2	+ 146·1	8	0 43 30·9	22·53	+ 0 1 24	+ 162·5
9	22 54 30·2	24·05	− 12 23 23	+ 147·0	9	0 45 46·0	22·51	+ 0 17 39	+ 162·4
10	22 56 54·4	24·01	− 12 8 39	+ 147·8	10	0 48 1·0	22·49	+ 0 33 53	+ 162·2
11	22 59 18·3	23·97	− 11 53 50	+ 148·6	11	0 50 15·9	22·48	+ 0 50 6	+ 162·0
12	23 1 42·0	23·92	− 11 38 56	+ 149·3	12	0 52 30·7	22·46	+ 1 6 17	+ 161·8
13	23 4 5·4	23·88	− 11 23 58	+ 150·0	13	0 54 45·5	22·44	+ 1 22 28	+ 161·6
14	23 6 28·6	23·84	− 11 8 55	+ 150·8	14	0 57 0·1	22·43	+ 1 38 37	+ 161·3
15	23 8 51·5	23·80	− 10 53 49	+ 151·5	15	0 59 14·6	22·41	+ 1 54 45	+ 161·1
16	23 11 14·2	23·76	− 10 38 38	+ 152·1	16	1 1 29·1	22·40	+ 2 10 51	+ 160·9
17	23 13 36·6	23·72	− 10 23 23	+ 152·8	17	1 3 43·4	22·39	+ 2 26 55	+ 160·6
18	23 15 58·8	23·68	− 10 8 4	+ 153·4	18	1 5 57·7	22·37	+ 2 42 58	+ 160·3
19	23 18 20·7	23·64	− 9 52 42	+ 154·0	19	1 8 11·9	22·36	+ 2 58 58	+ 160·0
20	23 20 42·4	23·60	− 9 37 16	+ 154·6	20	1 10 26·1	22·35	+ 3 14 57	+ 159·6
21	23 23 3·9	23·56	− 9 21 46	+ 155·2	21	1 12 40·2	22·34	+ 3 30 54	+ 159·3
22	23 25 25·1	23·52	− 9 6 13	+ 155·8	22	1 14 54·2	22·33	+ 3 46 49	+ 158·9
23	23 27 46·1	23·48	− 8 50 37	+ 156·3	23	1 17 8·1	22·32	+ 4 2 41	+ 158·5
	Dienstag 10.					**Donnerstag 12.**			
0	23 30 6·9	23·44	− 8 34 57	+ 156·8	0	1 19 22·0	22·31	+ 4 18 31	+ 158·1
1	23 32 27·5	23·41	− 8 19 15	+ 157·3	1	1 21 35·9	22·30	+ 4 34 18	+ 157·7
2	23 34 47·8	23·37	− 8 3 30	+ 157·8	2	1 23 49·7	22·29	+ 4 50 3	+ 157·3
3	23 37 7·9	23·33	− 7 47 42	+ 158·2	3	1 26 3·4	22·29	+ 5 5 46	+ 156·8
4	23 39 27·8	23·30	− 7 31 51	+ 158·7	4	1 28 17·1	22·28	+ 5 21 25	+ 156·4
5	23 41 47·5	23·26	− 7 15 58	+ 159·1	5	1 30 30·8	22·28	+ 5 37 2	+ 155·9
6	23 44 7·0	23·23	− 7 0 2	+ 159·4	6	1 32 44·4	22·27	+ 5 52 36	+ 155·4
7	23 46 26·3	23·19	− 6 44 4	+ 159·8	7	1 34 58·0	22·26	+ 6 8 6	+ 154·9
8	23 48 45·3	23·16	− 6 28 4	+ 160·2	8	1 37 11·6	22·26	+ 6 23 34	+ 154·3
9	23 51 4·2	23·13	− 6 12 2	+ 160·5	9	1 39 25·2	22·26	+ 6 38 58	+ 153·8
10	23 53 22·9	23·09	− 5 55 58	+ 160·8	10	1 41 38·7	22·25	+ 6 54 19	+ 153·2
11	23 55 41·3	23·06	− 5 39 53	+ 161·1	11	1 43 52·2	22·25	+ 7 9 37	+ 152·6
12	23 57 59·6	23·03	− 5 23 45	+ 161·4	12	1 46 5·7	22·25	+ 7 24 51	+ 152·0
13	0 0 17·7	23·00	− 5 7 36	+ 161·6	13	1 48 19·2	22·25	+ 7 40 2	+ 151·4
14	0 2 35·6	22·97	− 4 51 26	+ 161·8	14	1 50 32·7	22·25	+ 7 55 9	+ 150·8
15	0 4 53·4	22·94	− 4 35 14	+ 162·0	15	1 52 46·2	22·25	+ 8 10 12	+ 150·2
16	0 7 10·9	22·91	− 4 19 2	+ 162·2	16	1 54 59·6	22·25	+ 8 25 11	+ 149·5
17	0 9 28·3	22·88	− 4 2 48	+ 162·4	17	1 57 13·1	22·25	+ 8 40 6	+ 148·9
18	0 11 45·5	22·86	− 3 46 33	+ 162·5	18	1 59 26·6	22·25	+ 8 54 57	+ 148·2
19	0 14 2·6	22·83	− 3 30 18	+ 162·6	19	2 1 40.1	22·25	+ 9 9 44	+ 147·5
20	0 16 19·5	22·80	− 3 14 2	+ 162·7	20	2 3 53·6	22·25	+ 9 24 27	+ 146·8
21	0 18 36·2	22·78	− 2 57 45	+ 162·8	21	2 6 7·1	22·25	+ 9 39 6	+ 146·1
22	0 20 52·8	22·75	− 2 41 28	+ 162·9	22	2 8 20·7	22·26	+ 9 53 41	+ 145·4
23	0 23 9·2	22·72	− 2 25 10	+ 162·9	23	2 10 34·2	22·26	+ 10 8 11	+ 144·6
24	0 25 25·5	22·70	− 2 8 52	+ 163·0	24	2 12 47·8	22·26	+ 10 22 36	+ 143·9

Rectascension und Declination des Mondes.

Mittlere Green. Zeit	Rectascension	Aenderung in 10m	Declination + Nord	Aenderung in 10m	Mittlere Green. Zeit	Rectascension	Aenderung in 10m	Declination + Nord	Aenderung in 10m
	Freitag 13.					**Sonntag 15.**			
h	h m s	s	° ′ ″	″	h	h m s	s	° ′ ″	″
0	2 12 47·8	22·26	+ 10 22 36	+143·9	0	4 0 45·3	22·79	+ 20 4 7	+94·7
1	2 15 1·4	22·27	+ 10 36 57	+143·1	1	4 3 2·1	22·80	+ 20 13 31	+93·5
2	2 17 15·0	22·27	+ 10 51 13	+142·3	2	4 5 19·0	22·81	+ 20 22 48	+92·2
3	2 19 28·7	22·28	+ 11 5 25	+141·5	3	4 7 35·9	22·83	+ 20 31 58	+91·0
4	2 21 42·4	22·29	+ 11 19 31	+140·7	4	4 9 52·9	22·84	+ 20 41 0	+89·7
5	2 23 56·1	22·29	+ 11 33 33	+139·9	5	4 12 10·0	22·85	+ 20 49 55	+88·5
6	2 26 9·9	22·30	+ 11 47 30	+139·0	6	4 14 27·1	22·86	+ 20 58 42	+87·2
7	2 28 23·7	22·31	+ 12 1 22	+138·2	7	4 16 44·3	22·88	+ 21 7 21	+85·9
8	2 30 37·6	22·31	+ 12 15 8	+137·3	8	4 19 1·6	22·89	+ 21 15 53	+84·7
9	2 32 51·5	22·32	+ 12 28 50	+136·5	9	4 21 19·0	22·90	+ 21 24 17	+83·4
10	2 35 5·4	22·33	+ 12 42 26	+135·6	10	4 23 36·4	22·91	+ 21 32 34	+82·1
11	2 37 19·4	22·34	+ 12 55 57	+134·7	11	4 25 53·9	22·92	+ 21 40 43	+80·8
12	2 39 33·4	22·34	+ 13 9 22	+133·8	12	4 28 11·5	22·93	+ 21 48 44	+79·5
13	2 41 47·5	22·35	+ 13 22 42	+132·9	13	4 30 29·1	22·94	+ 21 56 37	+78·2
14	2 44 1·7	22·36	+ 13 35 57	+131·9	14	4 32 46·8	22·95	+ 22 4 22	+76·9
15	2 46 15·9	22·37	+ 13 49 6	+131·0	15	4 35 4·5	22·96	+ 22 12 0	+75·6
16	2 48 30·2	22·38	+ 14 2 9	+130·0	16	4 37 22·3	22·97	+ 22 19 29	+74·3
17	2 50 44·5	22·39	+ 14 15 6	+129·1	17	4 39 40·2	22·98	+ 22 26 51	+73·0
18	2 52 58·9	22·40	+ 14 27 58	+128·1	18	4 41 58·1	22·99	+ 22 34 5	+71·7
19	2 55 13·4	22·42	+ 14 40 44	+127·1	19	4 44 16·1	23·00	+ 22 41 11	+70·3
20	2 57 27·9	22·43	+ 14 53 24	+126·1	20	4 46 34·1	23·01	+ 22 48 9	+69·0
21	2 59 42·5	22·44	+ 15 5 57	+125·1	21	4 48 52·2	23·01	+ 22 54 59	+67·7
22	3 1 57·2	22·45	+ 15 18 25	+124·1	22	4 51 10·3	23·02	+ 23 1 41	+66·3
23	3 4 11·9	22·46	+ 15 30 47	+123·1	23	4 53 28·4	23·03	+ 23 8 15	+65·0
	Samstag 14.					**Montag 16.**			
0	3 6 26·7	22·47	+ 15 43 3	+122·1	0	4 55 46·6	23·03	+ 23 14 41	+63·7
1	3 8 41·6	22·49	+ 15 55 12	+121·0	1	4 58 4·8	23·04	+ 23 20 59	+62·3
2	3 10 56·5	22·50	+ 16 7 15	+120·0	2	5 0 23·1	23·05	+ 23 27 9	+61·0
3	3 13 11·5	22·51	+ 16 19 12	+118·9	3	5 2 41·4	23·05	+ 23 33 11	+59·6
4	3 15 26·6	22·52	+ 16 31 2	+117·8	4	5 4 59·7	23·06	+ 23 39 5	+58·3
5	3 17 41·8	22·54	+ 16 42 46	+116·8	5	5 7 18·0	23·06	+ 23 44 50	+56·9
6	3 19 57·1	22·55	+ 16 54 23	+115·7	6	5 9 36·4	23·06	+ 23 50 28	+55·6
7	3 22 12·4	22·56	+ 17 5 54	+114·6	7	5 11 54·8	23·07	+ 23 55 57	+54·2
8	3 24 27·8	22·57	+ 17 17 18	+113·5	8	5 14 13·2	23·07	+ 24 1 18	+52·8
9	3 26 43·3	22·59	+ 17 28 36	+112·4	9	5 16 31·6	23·07	+ 24 6 31	+51·5
10	3 28 58·9	22·60	+ 17 39 47	+111·2	10	5 18 50·1	23·07	+ 24 11 36	+50·1
11	3 31 14·5	22·61	+ 17 50 51	+110·1	11	5 21 8·5	23·07	+ 24 16 33	+48·7
12	3 33 30·3	22·63	+ 18 1 48	+109·0	12	5 23 27·0	23·08	+ 24 21 21	+47·4
13	3 35 46·1	22·64	+ 18 12 39	+107·8	13	5 25 45·4	23·08	+ 24 26 1	+46·0
14	3 38 2·0	22·66	+ 18 23 22	+106·7	14	5 28 3·9	23·07	+ 24 30 33	+44·6
15	3 40 17·9	22·67	+ 18 33 58	+105·5	15	5 30 22·3	23·07	+ 24 34 57	+43·3
16	3 42 34·0	22·68	+ 18 44 28	+104·3	16	5 32 40·8	23·07	+ 24 39 12	+41·9
17	3 44 50·1	22·70	+ 18 54 50	+103·1	17	5 34 59·2	23·07	+ 24 43 20	+40·5
18	3 47 6·3	22·71	+ 19 5 6	+102·0	18	5 37 17·6	23·07	+ 24 47 19	+39·2
19	3 49 22·6	22·72	+ 19 15 14	+100·8	19	5 39 36·0	23·07	+ 24 51 9	+37·8
20	3 51 39·0	22·74	+ 19 25 15	+ 99·6	20	5 41 54·4	23·06	+ 24 54 52	+36·4
21	3 53 55·5	22·75	+ 19 35 9	+ 98·4	21	5 44 12·8	23·06	+ 24 58 27	+35·0
22	3 56 12·0	22·76	+ 19 44 55	+ 97·2	22	5 46 31·1	23·05	+ 25 1 53	+33·7
23	3 58 28·6	22·78	+ 19 54 35	+ 95·9	23	5 48 49·4	23·05	+ 25 5 11	+32·3
24	4 0 45·3	22·79	+ 20 4 7	+ 94·7	24	5 51 7·7	23·04	+ 25 8 20	+30·9

Rectascension und Declination des Mondes.

Mittlere Green. Zeit	Rectascension	Aenderung in 10ᵐ	Declination + Nord	Aenderung in 10ᵐ	Mittlere Green. Zeit	Rectascension	Aenderung in 10ᵐ	Declination + Nord	Aenderung in 10ᵐ
	Dienstag 17.					**Donnerstag 19.**			
h	h m s	s	° ′ ″	″	h	h m s	s	° ′ ″	″
0	5 51 7·7	23·04	+ 25 8 20	+ 30·9	0	7 39 52·8	22·05	+ 25 2 46	− 31·9
1	5 53 25·9	23·03	+ 25 11 22	+ 29·6	1	7 42 5·0	22·02	+ 24 59 31	− 33·1
2	5 55 44·1	23·03	+ 25 14 15	+ 28·2	2	7 44 17·1	21·99	+ 24 56 9	− 34·3
3	5 58 2·2	23·02	+ 25 17 0	+ 26·8	3	7 46 28·9	21·95	+ 24 52 40	− 35·5
4	6 0 20·3	23·01	+ 25 19 37	+ 25·5	4	7 48 40·5	21·92	+ 24 49 3	− 36·6
5	6 2 38·4	23·00	+ 25 22 6	+ 24·1	5	7 50 51·9	21·88	+ 24 45 20	− 37·8
6	6 4 56·3	22·99	+ 25 24 26	+ 22·7	6	7 53 3·1	21·85	+ 24 41 30	− 39·0
7	6 7 14·3	22·98	+ 25 26 38	+ 21·4	7	7 55 14·1	21·81	+ 24 37 32	− 40·2
8	6 9 32·1	22·97	+ 25 28 42	+ 20·0	8	7 57 24·9	21·78	+ 24 33 28	− 41·3
9	6 11 49·9	22·96	+ 25 30 38	+ 18·6	9	7 59 35·5	21·74	+ 24 29 16	− 42·5
10	6 14 7·6	22·95	+ 25 32 26	+ 17·2	10	8 1 45·8	21·71	+ 24 24 58	− 43·6
11	6 16 25·3	22·93	+ 25 34 6	+ 15·9	11	8 3 55·9	21·67	+ 24 20 33	− 44·7
12	6 18 42·8	22·92	+ 25 35 37	+ 14·6	12	8 6 5·8	21·63	+ 24 16 1	− 45·9
13	6 21 0·3	22·91	+ 25 37 0	+ 13·2	13	8 8 15·5	21·60	+ 24 11 23	− 47·0
14	6 23 17·7	22·89	+ 25 38 15	+ 11·9	14	8 10 25·0	21·56	+ 24 6 37	− 48·1
15	6 25 35·0	22·88	+ 25 39 22	+ 10·5	15	8 12 34·2	21·52	+ 24 1 45	− 49·2
16	6 27 52·2	22·86	+ 25 40 21	+ 9·1	16	8 14 43·3	21·48	+ 23 56 47	− 50·3
17	6 30 9·3	22·84	+ 25 41 12	+ 7·8	17	8 16 52·0	21·44	+ 23 51 42	− 51·4
18	6 32 26·4	22·83	+ 25 41 55	+ 6·5	18	8 19 0·6	21·41	+ 23 46 30	− 52·5
19	6 34 43·3	22·81	+ 25 42 30	+ 5·1	19	8 21 8·9	21·37	+ 23 41 11	− 53·6
20	6 37 0·1	22·79	+ 25 42 57	+ 3·8	20	8 23 17·0	21·33	+ 23 35 47	− 54·7
21	6 39 16·8	22·77	+ 25 43 16	+ 2·5	21	8 25 24·9	21·29	+ 23 30 15	− 55·7
22	6 41 33·3	22·75	+ 25 43 27	+ 1·1	22	8 27 32·5	21·25	+ 23 24 38	− 56·8
23	6 43 49·8	22·73	+ 25 43 29	− 0·2	23	8 29 39·9	21·21	+ 23 18 54	− 57·8
	Mittwoch 18.					**Freitag 20.**			
0	6 46 6·1	22·71	+ 25 43 24	− 1·5	0	8 31 47·1	21·17	+ 23 13 4	− 58·9
1	6 48 22·3	22·69	+ 25 43 11	− 2·8	1	8 33 54·0	21·13	+ 23 7 7	− 59·9
2	6 50 38·4	22·67	+ 25 42 50	− 4·1	2	8 36 0·7	21·09	+ 23 1 4	− 61·0
3	6 52 54·4	22·65	+ 25 42 22	− 5·4	3	8 38 7·1	21·05	+ 22 54 55	− 62·0
4	6 55 10·2	22·62	+ 25 41 45	− 6·8	4	8 40 13·3	21·01	+ 22 48 40	− 63·0
5	6 57 25·9	22·60	+ 25 41 1	− 8·1	5	8 42 19·3	20·98	+ 22 42 19	− 64·0
6	6 59 41·4	22·58	+ 25 40 8	− 9·3	6	8 44 25·0	20·94	+ 22 35 52	− 65·0
7	7 1 56·8	22·55	+ 25 39 8	− 10·6	7	8 46 30·5	20·89	+ 22 29 19	− 66·0
8	7 4 12·0	22·53	+ 25 38 1	− 11·9	8	8 48 35·8	20·85	+ 22 22 40	− 67·0
9	7 6 27·1	22·50	+ 25 36 45	− 13·2	9	8 50 40·8	20·82	+ 22 15 55	− 68·0
10	7 8 42·0	22·47	+ 25 35 22	− 14·5	10	8 52 45·6	20·78	+ 22 9 4	− 69·0
11	7 10 56·8	22·45	+ 25 33 51	− 15·8	11	8 54 50·1	20·73	+ 22 2 8	− 69·9
12	7 13 11·4	22·42	+ 25 32 13	− 17·0	12	8 56 54·4	20·69	+ 21 55 5	− 70·9
13	7 15 25·8	22·39	+ 25 30 27	− 18·3	13	8 58 58·4	20·65	+ 21 47 57	− 71·8
14	7 17 40·1	22·36	+ 25 28 33	− 19·6	14	9 1 2·2	20·62	+ 21 40 43	− 72·8
15	7 19 54·2	22·33	+ 25 26 32	− 20·8	15	9 3 5·8	20·58	+ 21 33 24	− 73·7
16	7 22 8·1	22·30	+ 25 24 23	− 22·1	16	9 5 9·1	20·53	+ 21 25 59	− 74·6
17	7 24 21·8	22·27	+ 25 22 7	− 23·3	17	9 7 12·2	20·50	+ 21 18 28	− 75·6
18	7 26 35·4	22·24	+ 25 19 43	− 24·6	18	9 9 15·1	20·46	+ 21 10 52	− 76·5
19	7 28 48·8	22·21	+ 25 17 12	− 25·8	19	9 11 17·7	20·42	+ 21 3 11	− 77·4
20	7 31 2·0	22·18	+ 25 14 33	− 27·0	20	9 13 20·1	20·38	+ 20 55 24	− 78·3
21	7 33 15·0	22·15	+ 25 11 47	− 28·2	21	9 15 22·2	20·34	+ 20 47 32	− 79·2
22	7 35 27·8	22·12	+ 25 8 54	− 29·5	22	9 17 24·1	20·30	+ 20 39 34	− 80·0
23	7 37 40·4	22·09	+ 25 5 54	− 30·7	23	9 19 25·8	20·26	+ 20 31 31	− 80·9
24	7 39 52·8	22·05	+ 25 2 46	− 31·9	24	9 21 27·2	20·22	+ 20 23 23	− 81·8

Rectascension und Declination des Mondes.

Mittlere Green. Zeit	Rectascension	Aenderung in 10m	Declination + Nord	Aenderung in 10m	Mittlere Green. Zeit	Rectascension	Aenderung in 10m	Declination + Nord	Aenderung in 10m
	Samstag 21.					**Montag 23.**			
h	h m s	s	° ′ ″	″	h	h m s	s	° ′ ″	″
0	9 21 27·2	20·22	+ 20 23 23	− 81·8	0	10 54 23·9	18·63	+ 12 25 31	− 114·4
1	9 23 28·4	20·18	+ 20 15 10	− 82·6	1	10 56 15·6	18·60	+ 12 14 3	− 114·9
2	9 25 29·4	20·14	+ 20 6 51	− 83·5	2	10 58 7·1	18·58	+ 12 2 32	− 115·4
3	9 27 30·1	20·10	+ 19 58 28	− 84·3	3	10 59 58·5	18·56	+ 11 50 58	− 115·9
4	9 29 30·6	20·06	+ 19 49 59	− 85·2	4	11 1 49·8	18·53	+ 11 39 21	− 116·3
5	9 31 30·8	20·02	+ 19 41 26	− 86·0	5	11 3 41·0	18·51	+ 11 27 42	− 116·8
6	9 33 30·8	19·98	+ 19 32 47	− 86·8	6	11 5 32·0	18·49	+ 11 16 0	− 117·3
7	9 35 30·6	19·95	+ 19 24 4	− 87·6	7	11 7 22·8	18·47	+ 11 4 15	− 117·7
8	9 37 30·2	19·91	+ 19 15 16	− 88·4	8	11 9 13·6	18·45	+ 10 52 27	− 118·2
9	9 39 29·6	19·87	+ 19 6 23	− 89·2	9	11 11 4·2	18·43	+ 10 40 36	− 118·6
10	9 41 28·7	19·83	+ 18 57 25	− 90·0	10	11 12 54·7	18·41	+ 10 28 43	− 119·0
11	9 43 27·5	19·80	+ 18 48 22	− 90·8	11	11 14 45·1	18·39	+ 10 16 48	− 119·5
12	9 45 26·2	19·76	+ 18 39 15	− 91·6	12	11 16 35·4	18·37	+ 10 4 50	− 119·9
13	9 47 24·7	19·72	+ 18 30 3	− 92·3	13	11 18 25·5	18·35	+ 9 52 50	− 120·3
14	9 49 22·9	19·69	+ 18 20 47	− 93·1	14	11 20 15·6	18·33	+ 9 40 47	− 120·7
15	9 51 20·9	19·65	+ 18 11 26	− 93·9	15	11 22 5·5	18·31	+ 9 28 41	− 121·1
16	9 53 18·7	19·61	+ 18 2 1	− 94·6	16	11 23 55·4	18·30	+ 9 16 34	− 121·5
17	9 55 16·2	19·58	+ 17 52 31	− 95·3	17	11 25 45·1	18·28	+ 9 4 24	− 121·8
18	9 57 13·6	19·54	+ 17 42 57	− 96·1	18	11 27 34·7	18·26	+ 8 52 12	− 122·2
19	9 59 10·7	19·51	+ 17 33 18	− 96·8	19	11 29 24·3	18·25	+ 8 39 57	− 122·6
20	10 1 7·7	19·47	+ 17 23 35	− 97·5	20	11 31 13·7	18·23	+ 8 27 41	− 122·9
21	10 3 4·4	19·44	+ 17 13 48	− 98·2	21	11 33 3·1	18·22	+ 8 15 22	− 123·3
22	10 5 0·9	19·40	+ 17 3 57	− 98·9	22	11 34 52·4	18·21	+ 8 3 1	− 123·6
23	10 6 57·2	19·37	+ 16 54 1	− 99·6	23	11 36 41·6	18·19	+ 7 50 39	− 123·9
	Sonntag 22.					**Dienstag 24.**			
0	10 8 53·3	19·33	+ 16 44 1	− 100·3	0	11 38 30·7	18·18	+ 7 38 14	− 124·3
1	10 10 49·2	19·30	+ 16 33 58	− 101·0	1	11 40 19·7	18·17	+ 7 25 47	− 124·6
2	10 12 44·9	19·27	+ 16 23 50	− 101·6	2	11 42 8·7	18·15	+ 7 13 19	− 124·9
3	10 14 40·4	19·23	+ 16 13 38	− 102·3	3	11 43 57·6	18·14	+ 7 0 49	− 125·2
4	10 16 35·7	19·20	+ 16 3 22	− 102·9	4	11 45 46·4	18·13	+ 6 48 16	− 125·5
5	10 18 30·8	19·17	+ 15 53 3	− 103·6	5	11 47 35·2	18·12	+ 6 35 42	− 125·8
6	10 20 25·7	19·14	+ 15 42 39	− 104·2	6	11 49 23·9	18·11	+ 6 23 7	− 126·1
7	10 22 20·4	19·11	+ 15 32 12	− 104·8	7	11 51 12·5	18·10	+ 6 10 29	− 126·4
8	10 24 15·0	19·07	+ 15 21 41	− 105·5	8	11 53 1·1	18·09	+ 5 57 50	− 126·6
9	10 26 9·3	19·04	+ 15 11 6	− 106·1	9	11 54 49·6	18·09	+ 5 45 10	− 126·9
10	10 28 3·5	19·01	+ 15 0 28	− 106·7	10	11 56 38·1	18·08	+ 5 32 28	− 127·1
11	10 29 57·5	18·98	+ 14 49 46	− 107·3	11	11 58 26·6	18·07	+ 5 19 44	− 127·4
12	10 31 51·3	18·95	+ 14 39 0	− 107·9	12	12 0 15·0	18·06	+ 5 6 59	− 127·6
13	10 33 44·9	18·92	+ 14 28 11	− 108·5	13	12 2 3·3	18·06	+ 4 54 13	− 127·8
14	10 35 38·4	18·89	+ 14 17 19	− 109·0	14	12 3 51·7	18·05	+ 4 41 25	− 128·1
15	10 37 31·7	18·87	+ 14 6 23	− 109·6	15	12 5 40·0	18·05	+ 4 28 36	− 128·3
16	10 39 24·8	18·84	+ 13 55 23	− 110·2	16	12 7 28·2	18·04	+ 4 15 46	− 128·5
17	10 41 17·7	18·81	+ 13 44 20	− 110·7	17	12 9 16·5	18·04	+ 4 2 54	− 128·7
18	10 43 10·5	18·78	+ 13 33 14	− 111·3	18	12 11 4·7	18·04	+ 3 50 1	− 128·9
19	10 45 3·1	18·76	+ 13 22 5	− 111·8	19	12 12 52·9	18·03	+ 3 37 7	− 129·1
20	10 46 55·6	18·73	+ 13 10 52	− 112·4	20	12 14 41·1	18·03	+ 3 24 12	− 129·3
21	10 48 47·9	18·70	+ 12 59 37	− 112·9	21	12 16 29·3	18·03	+ 3 11 16	− 129·4
22	10 50 40·0	18·68	+ 12 48 18	− 113·4	22	12 18 17·5	18·03	+ 2 58 19	− 129·6
23	10 52 32·0	18·65	+ 12 36 56	− 113·9	23	12 20 5·7	18·03	+ 2 45 21	− 129·7
24	10 54 23·9	18·63	+ 12 25 31	− 114·4	24	12 21 53·8	18·03	+ 2 32 22	− 129·9

Rectascension und Declination des Mondes.

Mittlere Green. Zeit	Rectascension	Aenderung in 10^m	Declination + Nord − Süd	Aenderung in 10^m	Mittlere Green. Zeit	Rectascension	Aenderung in 10^m	Declination − Süd	Aenderung in 10^m
	Mittwoch 25.					**Freitag 27.**			
h	h m s	s	° ′ ″	″	h	h m s	s	° ′ ″	″
0	12 21 53·8	18·03	+ 2 32 22	− 129·9	0	13 49 33·7	18·73	− 7 53 38	− 127·8
1	12 23 42·0	18·03	+ 2 19 22	− 130·0	1	13 51 26·2	18·76	− 8 6 24	− 127·6
2	12 25 30·2	18·03	+ 2 6 21	− 130·2	2	13 53 18·8	18·79	− 8 19 9	− 127·3
3	12 27 18·4	18·03	+ 1 53 20	− 130·3	3	13 55 11·6	18·82	− 8 31 52	− 127·1
4	12 29 6·6	18·03	+ 1 40 18	− 130·4	4	13 57 4·6	18·85	− 8 44 34	− 126·8
5	12 30 54·8	18·04	+ 1 27 15	− 130·5	5	13 58 57·8	18·88	− 8 57 14	− 126·5
6	12 32 43·1	18·04	+ 1 14 11	− 130·6	6	14 0 51·1	18·91	− 9 9 52	− 126·2
7	12 34 31·3	18·05	+ 1 1 7	− 130·7	7	14 2 44·7	18·94	− 9 22 28	− 125·9
8	12 36 19·6	18·05	+ 0 48 3	− 130·8	8	14 4 38·5	18·98	− 9 35 3	− 125·6
9	12 38 7·9	18·06	+ 0 34 57	− 130·9	9	14 6 32·4	19·01	− 9 47 35	− 125·3
10	12 39 56·3	18·06	+ 0 21 52	− 131·0	10	14 8 26·6	19·04	− 10 0 6	− 124·9
11	12 41 44·7	18·07	+ 0 8 46	− 131·0	11	14 10 21·0	19·08	− 10 12 35	− 124·6
12	12 43 33·1	18·08	− 0 4 21	− 131·1	12	14 12 15·6	19·11	− 10 25 1	− 124·3
13	12 45 21·6	18·08	− 0 17 28	− 131·1	13	14 14 10·4	19·15	− 10 37 26	− 123·9
14	12 47 10·1	18·09	− 0 30 35	− 131·2	14	14 16 5·4	19·19	− 10 49 48	− 123·5
15	12 48 58·7	18·10	− 0 43 42	− 131·2	15	14 18 0·6	19·23	− 11 2 8	− 123·2
16	12 50 47·3	18·11	− 0 56 49	− 131·3	16	14 19 56·1	19·26	− 11 14 26	− 122·8
17	12 52 36·0	18·12	− 1 9 57	− 131·3	17	14 21 51·8	19·30	− 11 26 41	− 122·4
18	12 54 24·7	18·13	− 1 23 5	− 131·3	18	14 23 47·7	19·34	− 11 38 54	− 122·0
19	12 56 13·5	18·14	− 1 36 12	− 131·3	19	14 25 43·9	19·38	− 11 51 5	− 121·6
20	12 58 2·4	18·15	− 1 49 20	− 131·3	20	14 27 40·3	19·42	− 12 3 13	− 121·1
21	12 59 51·4	18·17	− 2 2 28	− 131·3	21	14 29 36·9	19·46	− 12 15 19	− 120·7
22	13 1 40·4	18·18	− 2 15 36	− 131·2	22	14 31 33·8	19·50	− 12 27 22	− 120·2
23	13 3 29·5	18·19	− 2 28 43	− 131·2	23	14 33 31·0	19·55	− 12 39 22	− 119·8
	Donnerstag 26.					**Samstag 28.**			
0	13 5 18·7	18·21	− 2 41 50	− 131·2	0	14 35 28·4	19·59	− 12 51 19	− 119·3
1	13 7 8·0	18·22	− 2 54 57	− 131·1	1	14 37 26·0	19·63	− 13 3 14	− 118·9
2	13 8 57·4	18·24	− 3 8 4	− 131·1	2	14 39 23·9	19·67	− 13 15 5	− 118·4
3	13 10 46·8	18·25	− 3 21 10	− 131·0	3	14 41 22·1	19·72	− 13 26 54	− 117·9
4	13 12 36·4	18·27	− 3 34 16	− 131·0	4	14 43 20·6	19·76	− 13 38 40	− 117·4
5	13 14 26·1	18·29	− 3 47 22	− 130·9	5	14 45 19·3	19·81	− 13 50 23	− 116·8
6	13 16 15·8	18·30	− 4 0 27	− 130·8	6	14 47 18·3	19·85	− 14 2 2	− 116·3
7	13 18 5·7	18·32	− 4 13 31	− 130·7	7	14 49 17·5	19·90	− 14 13 38	− 115·8
8	13 19 55·7	18·34	− 4 26 35	− 130·6	8	14 51 17·0	19·95	− 14 25 12	− 115·2
9	13 21 45·8	18·36	− 4 39 38	− 130·5	9	14 53 16·9	19·99	− 14 36 41	− 114·7
10	13 23 36·0	18·38	− 4 52 41	− 130·4	10	14 55 17·0	20·04	− 14 48 8	− 114·1
11	13 25 26·4	18·40	− 5 5 43	− 130·2	11	14 57 17·3	20·09	− 14 59 31	− 113·5
12	13 27 16·9	18·42	− 5 18 44	− 130·1	12	14 59 18·0	20·14	− 15 10 50	− 112·9
13	13 29 7·5	18·44	− 5 31 44	− 130·0	13	15 1 19·0	20·19	− 15 22 6	− 112·3
14	13 30 58·2	18·47	− 5 44 44	− 129·8	14	15 3 20·3	20·24	− 15 33 19	− 111·7
15	13 32 49·1	18·49	− 5 57 42	− 129·7	15	15 5 21·8	20·29	− 15 44 27	− 111·1
16	13 34 40·1	18·51	− 6 10 40	− 129·5	16	15 7 23·7	20·34	− 15 55 32	− 110·5
17	13 36 31·3	18·54	− 6 23 36	− 129·3	17	15 9 25·9	20·39	− 16 6 33	− 109·8
18	13 38 22·6	18·56	− 6 36 31	− 129·1	18	15 11 28·3	20·44	− 16 17 30	− 109·2
19	13 40 14·0	18·59	− 6 49 26	− 128·9	19	15 13 31·1	20·49	− 16 28 23	− 108·5
20	13 42 5·7	18·62	− 7 2 19	− 128·7	20	15 15 34·2	20·54	− 16 39 12	− 107·8
21	13 43 57·4	18·64	− 7 15 10	− 128·5	21	15 17 37·6	20·59	− 16 49 57	− 107·2
22	13 45 49·4	18·67	− 7 28 1	− 128·3	22	15 19 41·4	20·65	− 17 0 38	− 106·5
23	13 47 41·5	18·70	− 7 40 50	− 128·1	23	15 21 45·4	20·70	− 17 11 15	− 105·7
24	13 49 33·7	18·73	− 7 53 38	− 127·8	24	15 23 49·8	20·75	− 17 21 47	− 105·0

Rectascension und Declination des Mondes.

Mittlere Green. Zeit	Rectascension	Aenderung in 10m	Declination — Süd	Aenderung in 10m
		Sonntag 29.		
h	h m s	s	° ′ ″	″
0	15 23 49·8	20·75	— 17 21 47	— 105·0
1	15 25 54·5	20·81	— 17 32 15	— 104·3
2	15 27 59·5	20·86	— 17 42 38	— 103·5
3	15 30 4·8	20·92	— 17 52 57	— 102·8
4	15 32 10·5	20·97	— 18 3 12	— 102·0
5	15 34 16·5	21·03	— 18 13 22	— 101·2
6	15 36 22·9	21·09	— 18 23 27	— 100·4
7	15 38 29·6	21·14	— 18 33 27	— 99·6
8	15 40 36·6	21·20	— 18 43 23	— 98·8
9	15 42 43·9	21·25	— 18 53 13	— 98·0
10	15 44 51·6	21·31	— 19 2 59	— 97·2
11	15 46 59·7	21·37	— 19 12 39	— 96·3
12	15 49 8·1	21·43	— 19 22 15	— 95·5
13	15 51 16·8	21·48	— 19 31 45	— 94·6
14	15 53 25·9	21·54	— 19 41 10	— 93·7
15	15 55 35·3	21·60	— 19 50 29	— 92·8
16	15 57 45·1	21·66	— 19 59 43	— 91·9
17	15 59 55·2	21·72	— 20 8 52	— 91·0
18	16 2 5·7	21·78	— 20 17 55	— 90·0
19	16 4 16·6	21·84	— 20 26 53	— 89·1
20	16 6 27·8	21·90	— 20 35 44	— 88·1
21	16 8 39·3	21·95	— 20 44 30	— 87·2
22	16 10 51·2	22·01	— 20 53 10	— 86·2
23	16 13 3·5	22·07	— 21 1 45	— 85·2
		Montag 30.		
0	16 15 16·1	22·13	— 21 10 13	— 84·2
1	16 17 29·1	22·19	— 21 18 35	— 83·2
2	16 19 42·5	22·25	— 21 26 51	— 82·2
3	16 21 56·2	22·31	— 21 35 1	— 81·1
4	16 24 10·2	22·37	— 21 43 5	— 80·1
5	16 26 24·6	22·43	— 21 51 2	— 79·0
6	16 28 39·4	22·49	— 21 58 53	— 77·9
7	16 30 54·5	22·55	— 22 6 37	— 76·8
8	16 33 10·0	22·61	— 22 14 15	— 75·7
9	16 35 25·9	22·67	— 22 21 46	— 74·6
10	16 37 42·1	22·73	— 22 29 10	— 73·5
11	16 39 58·7	22·79	— 22 36 28	— 72·4
12	16 42 15·6	22·85	— 22 43 39	— 71·2
13	16 44 32·9	22·91	— 22 50 42	— 70·0
14	16 46 50·5	22·97	— 22 57 39	— 68·9
15	16 49 8·5	23·03	— 23 4 29	— 67·7
16	16 51 26·8	23·08	— 23 11 12	— 66·5
17	16 53 45·5	23·14	— 23 17 47	— 65·3
18	16 56 4·5	23·20	— 23 24 15	— 64·1
19	16 58 23·9	23·26	— 23 30 36	— 62·8
20	17 0 43·6	23·32	— 23 36 49	— 61·6
21	17 3 3·7	23·37	— 23 42 55	— 60·3
22	17 5 24·1	23·43	— 23 48 53	— 59·1
23	17 7 44·9	23·49	— 23 54 44	— 57·8
24	17 10 5·9	23·54	— 24 0 27	— 56·5

Mittlere Green. Zeit	Rectascension	Aenderung in 10m	Declination — Süd	Aenderung in 10m
		Dienstag 31.		
h	h m s	s	° ′ ″	″
0	17 10 5·9	23·54	— 24 0 27	— 56·5
1	17 12 27·4	23·60	— 24 6 2	— 55·2
2	17 14 49·1	23·65	— 24 11 29	— 53·9
3	17 17 11·2	23·71	— 24 16 48	— 52·6
4	17 19 33·6	23·76	— 24 22 0	— 51·2
5	17 21 56·4	23·82	— 24 27 3	— 49·9
6	17 24 19·4	23·87	— 24 31 58	— 48·5
7	17 26 42·8	23·92	— 24 36 45	— 47·2
8	17 29 6·5	23·97	— 24 41 24	— 45·8
9	17 31 30·5	24·03	— 24 45 55	— 44·4
10	17 33 54·8	24·08	— 24 50 17	— 43·0
11	17 36 19·4	24·13	— 24 54 31	— 41·6
12	17 38 44·4	24·18	— 24 58 36	— 40·2
13	17 41 9·6	24·23	— 25 2 33	— 38·7
14	17 43 35·1	24·28	— 25 6 21	— 37·3
15	17 46 0·9	24·32	— 25 10 0	— 35·8
16	17 48 27·0	24·37	— 25 13 31	— 34·4
17	17 50 53·4	24·42	— 25 16 53	— 32·9
18	17 53 20·0	24·46	— 25 20 6	— 31·4
19	17 55 46·9	24·51	— 25 23 10	— 29·9
20	17 58 14·1	24·55	— 25 26 5	— 28·4
21	18 0 41·5	24·59	— 25 28 52	— 26·9
22	18 3 9·2	24·64	— 25 31 29	— 25·4
23	18 5 37·2	24·68	— 25 33 57	— 23·9
		Mittwoch, April 1.		
0	18 8 5·4	24·72	— 25 36 16	— 22·4

PHASEN DES MONDES.

Mittlere Greenwicher Zeit.

		h m	
März	3.	7.37·4	☾ Letztes Viertel.
	9.	23 50·7	● Neumond.
	16.	21 10·6	☽ Erstes Viertel.
	25.	1 11·9	○ Vollmond.

		h	
März	9.	13	☾ Perigaeum.
	22.	10	☾ Apogaeum.

Venus.

Datum	Mittlerer Greenwicher Mittag. Rectascension	Stdl. Aend.	Declination — Süd	Stdl. Aend.	Im Meridian. Mittlere Gr. Zeit
	h m s	s	° ′ ″	s	h m
1	19 44 30·7	+11·48	—19 10 52	+16·3	21 9·1
2	19 49 6·3	+11·50	—19 4 5	+17·6	21 9·7
3	19 53 42·5	+11·52	—18 56 47	+18·9	21 10·4
4	19 58 19·2	+11·54	—18 48 59	+20·2	21 11·1
5	20 2 56·2	+11·55	—18 40 40	+21·5	21 11·7
6	20 7 33·5	+11·56	—18 31 50	+22·7	21 12·4
7	20 12 11·1	+11·57	—18 22 29	+24·0	21 13·1
8	20 16 48·8	+11·58	—18 12 38	+25·3	21 13·8
9	20 21 26·7	+11·58	—18 2 16	+26·5	21 14·5
10	20 26 4·7	+11·58	—17 51 24	+27·8	21 15·2
11	20 30 42·7	+11·58	—17 40 1	+29·1	21 15·9
12	20 35 20·7	+11·58	—17 28 9	+30·3	21 16·6
13	20 39 58 6	+11·58	—17 15 47	+31·5	21 17·2
14	20 44 36·4	+11·57	—17 2 56	+32·7	21 17·9
15	20 49 14·1	+11·57	—16 49 36	+34·0	21 18·6
16	20 53 51·6	+11·56	—16 35 47	+35·1	21 19·3
17	20 58 28·9	+11·55	—16 21 29	+36·3	21 20·0
18	21 3 6·0	+11·54	—16 6 43	+37·5	21 20·6
19	21 7 42·8	+11·53	—15 51 29	+38·6	21 21·3
20	21 12 19·3	+11·52	—15 35 48	+39·8	21 22·0
21	21 16 55·5	+11·50	—15 19 40	+40·9	21 22·6
22	21 21 31·4	+11·49	—15 3 5	+42·0	21 23·3
23	21 26 6·9	+11·47	—14 46 4	+43·1	21 23·9
24	21 30 42·1	+11·46	—14 28 37	+44·2	21 24·6
25	21 35 16·8	+11·44	—14 10 44	+45·2	21 25·2
26	21 39 51·2	+11·42	—13 52 27	+46·2	21 25·8
27	21 44 25·2	+11·41	—13 33 45	+47·2	21 26·4
28	21 48 58·8	+11·39	—13 14 39	+48·2	21 27·1
29	21 53 31·9	+11·37	—12 55 9	+49·2	21 27·7
30	21 58 4·6	+11·35	—12 35 17	+50·2	21 28·3
31	22 2 36·9	+11·34	—12 15 2	+51·1	21 28·8
A.1	22 7 8·7	+11·32	—11 54 25	+52·0	21 29·4

Datum	Halbmesser	Horizontal-Parallaxe
	″	″
1	10·7	11·1
11	9·8	10·1
21	9·0	9·3
31	8·4	8·6

Mars.

Datum	Mittlerer Greenwicher Mittag. Rectascension	Stdl. Aend.	Declination + Nord	Stdl. Aend.	Im Meridian. Mittlere Gr. Zeit
	h m s	″	° ′ ″	″	h m
1	1 32 37·9	+6·76	+ 9 47 23	+41·3	2 56·5
2	1 35 20·2	+6·76	+10 3 52	+41·1	2 55·2
3	1 38 2·6	+6·77	+10 20 15	+40·8	2 54·0
4	1 40 45·1	+6·78	+10 36 32	+40·6	2 52·8
5	1 43 27·8	+6·78	+10 52 43	+40·3	2 51·5
6	1 46 10·7	+6·79	+11 8 47	+40·1	2 50·3
7	1 48 53·7	+6·80	+11 24 45	+39·8	2 49·1
8	1 51 36·9	+6·80	+11 40 36	+39·5	2 47·9
9	1 54 20·2	+6·81	+11 56 20	+39·2	2 46·6
10	1 57 3·7	+6·82	+12 11 57	+38·9	2 45·4
11	1 59 47·4	+6·82	+12 27 28	+38·6	2 44·2
12	2 2 31·3	+6·83	+12 42 51	+38·3	2 43·0
13	2 5 15·4	+6·84	+12 58 7	+38·0	2 41·8
14	2 7 59·6	+6·85	+13 13 15	+37·7	2 40·6
15	2 10 44·0	+6·85	+13 28 16	+37·4	2 39·4
16	2 13 28·6	+6·86	+13 43 9	+37·1	2 38·2
17	2 16 13·4	+6·87	+13 57 55	+36·7	2 37·0
18	2 18 58·4	+6·88	+14 12 32	+36·4	2 35·8
19	2 21 43·6	+6·89	+14 27 2	+36·1	2 34·6
20	2 24 28·9	+6·89	+14 41 23	+35·7	2 33·4
21	2 27 14·5	+6·90	+14 55 36	+35·4	2 32·3
22	2 30 0·2	+6·91	+15 9 40	+35·0	2 31·1
23	2 32 46·2	+6·92	+15 23 36	+34·7	2 29·9
24	2 35 32·3	+6·93	+15 37 23	+34·3	2 28·7
25	2 38 18·6	+6·94	+15 51 2	+33·9	2 27·6
26	2 41 5·2	+6·94	+16 4 31	+33·6	2 26·4
27	2 43 52·0	+6·95	+16 17 52	+33·2	2 25·2
28	2 46 38·9	+6·96	+16 31 4	+32·8	2 24·1
29	2 49 26·1	+6·97	+16 44 6	+32·4	2 22·9
30	2 52 13·6	+6·98	+16 56 59	+32·0	2 21·8
31	2 55 1·2	+6·99	+17 9 43	+31·6	2 20·6
A.1	2 57 49·0	+7·00	+17 22 18	+31·2	2 19·5

Datum	Halbmesser	Horizontal-Parallaxe
	″	″
1	2·5	4·4
11	2·4	4·2
21	2·3	4·1
31	2·3	4·0

Jupiter.						Saturn.					
	Mittlerer Greenwicher Mittag.				Im Meridian. Mittlere Gr. Zeit		Mittlerer Greenwicher Mittag.				Im Meridian. Mittlere Gr. Zeit
Datum	Rectascension	Stdl. Aend.	Declination − Süd	Stdl. Aend.		Datum	Rectascension	Stdl. Aend.	Declination + Nord	Stdl. Aend.	
	h m s	s	° ′ ″	″	h m		h m s	s	° ′ ″	″	h m
1	22 3 35·7	+2·29	−12 46 8	+12·2	23 24·6	1	11 4 35·2	−0·74	+8 16 38	+4·8	12 26·4
2	22 4 30·7	+2·29	−12 41 16	+12·2	23 21·6	2	11 4 17·5	−0·74	+8 18 33	+4·8	12 22·1
3	22 5 25·5	+2·28	−12 36 23	+12·2	23 18·6	3	11 3 59·8	−0·74	+8 20 29	+4·8	12 17·9
4	22 6 20·2	+2·28	−12 31 31	+12·2	23 15·5	4	11 3 42·0	−0·74	+8 22 24	+4·8	12 13·7
5	22 7 14·7	+2·27	−12 26 38	+12·2	23 12·5	5	11 3 24·2	−0·74	+8 24 19	+4·8	12 9·5
6	22 8 9·2	+2·27	−12 21 45	+12·2	23 9·5	6	11 3 6·4	−0·74	+8 26 13	+4·8	12 5·2
7	22 9 3·5	+2·26	−12 16 53	+12·2	23 6·5	7	11 2 48·6	−0·74	+8 28 7	+4·7	12 1·0
8	22 9 57·6	+2·26	−12 12 0	+12·2	23 3·4	8	11 2 30·8	−0·74	+8 30 1	+4·7	11 56·8
9	22 10 51·7	+2·25	−12 7 8	+12·2	23 0·4	9	11 2 13·1	−0·74	+8 31 54	+4·7	11 52·6
10	22 11 45·6	+2·24	−12 2 15	+12·2	22 57·3	10	11 1 55·4	−0·74	+8 33 46	+4·7	11 48·4
11	22 12 39·3	+2·24	−11 57 23	+12·2	22 54·3	11	11 1 37·7	−0·74	+8 35 38	+4·6	11 44·1
12	22 13 32·9	+2·23	−11 52 31	+12·2	22 51·3	12	11 1 20·1	−0·73	+8 37 29	+4·6	11 39·9
13	22 14 26·3	+2·22	−11 47 40	+12·2	22 48·2	13	11 1 2·6	−0·73	+8 39 19	+4·6	11 35·7
14	22 15 19·6	+2·21	−11 42 48	+12·1	22 45·2	14	11 0 45·2	−0·73	+8 41 8	+4·5	11 31·5
15	22 16 12·7	+2·21	−11 37 57	+12·1	22 42·1	15	11 0 27·8	−0·72	+8 42 57	+4·5	11 27·2
16	22 17 5·6	+2·20	−11 33 6	+12·1	22 39·0	16	11 0 10·5	−0·72	+8 44 45	+4·5	11 23·0
17	22 17 58·3	+2·19	−11 28 16	+12·1	22 36·0	17	10 59 53·4	−0·71	+8 46 31	+4·4	11 18·8
18	22 18 50·8	+2·18	−11 23 26	+12·1	22 32·9	18	10 59 36·4	−0·71	+8 48 16	+4·4	11 14·6
19	22 19 43·2	+2·18	−11 18 37	+12·1	22 29·9	19	10 59 19·5	−0·70	+8 50 0	+4·3	11 10·4
20	22 20 35·3	+2·17	−11 13 48	+12·0	22 26·8	20	10 59 2·7	−0·70	+8 51 43	+4·3	11 6·2
21	22 21 27·3	+2·16	−11 9 0	+12·0	22 23·7	21	10 58 46·1	−0·69	+8 53 25	+4·2	11 2·0
22	22 22 19·0	+2·15	−11 4 12	+12·0	22 20·6	22	10 58 29·6	−0·68	+8 55 6	+4·2	10 57·8
23	22 23 10·6	+2·14	−10 59 25	+12·0	22 17·5	23	10 58 13·3	−0·68	+8 56 45	+4·1	10 53·6
24	22 24 1·9	+2·14	−10 54 39	+11·9	22 14·5	24	10 57 57·1	−0·67	+8 58 23	+4·0	10 49·4
25	22 24 53·1	+2·13	−10 49 54	+11·9	22 11·4	25	10 57 41·2	−0·66	+8 59 59	+4·0	10 45·2
26	22 25 44·0	+2·12	−10 45 9	+11·9	22 8·3	26	10 57 25·4	−0·65	+9 1 34	+3·9	10 41·0
27	22 26 34·7	+2·11	−10 40 25	+11·8	22 5·2	27	10 57 9·8	−0·65	+9 3 7	+3·9	10 36·8
28	22 27 25·1	+2·10	−10 35 41	+11·8	22 2·1	28	10 56 54·4	−0·64	+9 4 39	+3·8	10 32·6
29	22 28 15·4	+2·09	−10 30 59	+11·8	21 59·0	29	10 56 39·3	−0·63	+9 6 9	+3·7	10 28·4
30	22 29 5·4	+2·08	−10 26 17	+11·7	21 55·9	30	10 56 24·3	−0·62	+9 7 38	+3·6	10 24·2
31	22 29 55·1	+2·07	−10 21 36	+11·7	21 52·8	31	10 56 9·6	−0·61	+9 9 5	+3·6	10 20·1
A.1	22 30 44·7	+2·06	−10 16 57	+11·6	21 49·7	A.1	10 55 55·1	−0·60	+9 10 30	+3·5	10 15·9

Datum	Halbmesser	Horizontal-Parallaxe	Datum	Halbmesser	Horizontal-Parallaxe
	″	″		″	″
1	15·7	1·5	1	9·3	1·1
11	15·8	1·5	11	9·3	1·1
21	16·0	1·5	21	9·3	1·1
31	16·2	1·5	31	9·2	1·0

MOND-DISTANZEN.

Mittlere Greenwicher Zeit.

Datum	Namen u. Lage der Sterne		Mittag	Lg. pr.	III^h	Lg. pr.	VI^h	Lg. pr.	IX^h	Lg. pr.
			° ′ ″		° ′ ″		° ′ ″		° ′ ″	
1	Regulus	W.	75 9 11	2866	76 42 13	2856	78 15 28	2844	79 48 59	2832
	Saturn	W.	59 22 59	2832	60 56 45	2821	62 30 46	2810	64 5 1	2798
	Spica	W.	21 34 31	3009	23 4 33	2979	24 35 12	2952	26 6 25	2927
	Venus	O.	71 3 38	3276	69 38 58	3264	68 14 5	3253	66 48 58	3241
	α Aquilæ	O.	77 22 21	3676	76 5 8	3677	74 47 56	3677	73 30 45	3679
	Sonne	O.	117 8 52	3240	115 43 30	3228	114 17 54	3214	112 52 2	3202
2	Regulus	W.	87 40 28	2769	89 15 36	2756	90 51 2	2741	92 26 47	2728
	Saturn	W.	72 0 17	2735	73 36 11	2721	75 12 23	2707	76 48 53	2693
	Spica	W.	33 49 39	2824	35 23 35	2805	36 57 56	2788	38 32 40	2769
	Venus	O.	59 39 44	3176	58 13 6	3163	56 46 12	3148	55 19 1	3134
	α Aquilæ	O.	67 5 51	3710	65 49 15	3722	64 32 51	3734	63 16 40	3748
	Sonne	O.	105 38 42	3132	104 11 11	3117	102 43 22	3101	101 15 14	3086
3	Saturn	W.	84 56 14	2619	86 34 43	2603	88 13 34	2588	89 52 46	2572
	Spica	W.	46 32 16	2681	48 9 22	2663	49 46 52	2646	51 24 45	2627
	Venus	O.	47 58 43	3061	46 29 46	3045	45 0 29	3030	43 30 54	3016
	α Aquilæ	O.	57 0 32	3864	55 46 36	3898	54 33 14	3936	53 20 31	3979
	Sonne	O.	93 49 45	3005	92 19 38	2987	90 49 9	2970	89 18 19	2953
4	Saturn	W.	98 14 24	2489	99 55 53	2471	101 37 47	2455	103 20 4	2437
	Spica	W.	59 40 19	2538	61 20 40	2520	63 1 26	2501	64 42 38	2483
	Venus	O.	35 58 19	2942	34 26 54	2929	32 55 12	2916	31 23 13	2904
	α Aquilæ	O.	47 29 28	4292	46 22 28	4381	45 16 50	4482	44 12 42	4596
	Sonne	O.	81 38 33	2862	80 5 26	2845	78 31 56	2826	76 58 2	2807
5	Spica	W.	73 14 58	2393	74 58 43	2375	76 42 53	2357	78 27 30	2339
	Antares	W.	27 26 28	2434	29 9 14	2410	30 52 35	2387	32 36 29	2364
	Sonne	O.	69 2 24	2714	67 26 3	2696	65 49 18	2677	64 12 7	2659
6	Spica	W.	87 16 53	2253	89 4 1	2237	90 51 33	2222	92 39 28	2206
	Antares	W.	41 23 40	2264	43 10 33	2246	44 57 52	2227	46 45 39	2210
	Sonne	O.	56 0 11	2572	54 20 37	2555	52 40 40	2539	51 0 21	2523
7	Antares	W.	55 50 48	2131	57 41 0	2117	59 31 33	2103	61 22 28	2090
	Sonne	O.	42 33 30	2453	40 51 11	2441	39 8 35	2431	37 25 44	2420
8	Antares	W.	70 41 43	2034	72 34 24	2025	74 27 19	2017	76 20 27	2009
	Sonne	O.	28 48 33	2391	27 4 46	2392	25 21 0	2395	23 37 18	2402
12	Sonne	W.	28 31 32	2487	30 13 3	2497	31 54 21	2507	33 35 24	2520
	Aldebaran	O.	48 10 38	2151	46 20 57	2168	44 31 41	2186	42 42 52	2204
	Pollux	O.	92 11 20	2122	90 20 54	2136	88 30 50	2151	86 41 9	2167
13	Sonne	W.	41 56 3	2593	43 35 7	2610	45 13 48	2628	46 52 5	2646
	Aldebaran	O.	33 46 8	2311	32 0 24	2336	30 15 17	2362	28 30 48	2390
	Pollux	O.	77 38 49	2251	75 51 37	2269	74 4 52	2287	72 18 34	2305
14	Sonne	W.	54 57 19	2741	56 33 5	2760	58 8 25	2780	59 43 19	2800
	Pollux	O.	63 33 48	2400	61 50 14	2419	60 7 7	2438	58 24 27	2458
	Regulus	O.	99 44 43	2405	98 1 16	2424	96 18 16	2443	94 35 43	2462
15	Sonne	W.	67 31 21	2899	69 3 41	2920	70 35 35	2939	72 7 5	2958
	α Arietis	W.	27 57 16	3048	29 26 29	3018	30 56 20	2994	32 26 40	2976
	Mars	W.	27 6 38	2811	28 40 52	2828	30 14 44	2845	31 48 14	2862

MOND-DISTANZEN.

Mittlere Greenwicher Zeit.

Datum	Namen u. Lage der Sterne		Mitter-nacht	Lg. pr.	XV^h	Lg. pr.	XVIII^h	Lg. pr.	XXI^h	Lg. pr.
			° ′ ″		° ′ ″		° ′ ″		° ′ ″	
1	Regulus	W.	81 22 45	2821	82 56 46	2808	84 31 3	2795	86 5 37	2782
	Saturn	W.	65 39 32	2785	67 14 19	2773	68 49 22	2761	70 24 41	2748
	Spica	W.	27 38 9	2905	29 10 22	2883	30 43 2	2863	32 16 8	2844
	Venus	O.	65 23 37	3229	63 58 2	3215	62 32 11	3203	61 6 5	3190
	α Aquilæ	O.	72 13 36	3683	70 56 31	3688	69 39 31	3693	68 22 37	3701
	Sonne	O.	111 25 55	3188	109 59 32	3174	108 32 52	3161	107 5 56	3146
2	Regulus	W.	94 2 50	2713	95 39 12	2699	97 15 53	2684	98 52 54	2669
	Saturn	W.	78 25 42	2679	80 2 50	2664	81 40 18	2649	83 18 6	2634
	Spica	W.	40 7 48	2751	41 43 20	2734	43 19 15	2716	44 55 34	2698
	Venus	O.	53 51 33	3119	52 23 47	3105	50 55 44	3091	49 27 23	3075
	α Aquilæ	O.	62 0 44	3767	60 45 7	3787	59 29 51	3809	58 14 58	3835
	Sonne	O.	99 46 48	3070	98 18 2	3054	96 48 56	3038	95 19 31	3022
3	Saturn	W.	91 32 20	2556	93 12 16	2538	94 52 36	2522	96 33 18	2505
	Spica	W.	53 3 3	2610	54 41 45	2591	56 20 52	2574	58 0 23	2556
	Venus	O.	42 1 1	3000	40 30 48	2985	39 0 17	2970	37 29 27	2956
	α Aquilæ	O.	52 8 31	4028	50 57 19	4082	49 47 0	4144	48 37 41	4214
	Sonne	O.	87 47 7	2935	86 15 33	2917	84 43 36	2899	83 11 16	2881
4	Saturn	W.	105 2 46	2420	106 45 52	2403	108 29 23	2385	110 13 19	2368
	Spica	W.	66 24 15	2465	68 6 17	2447	69 48 45	2429	71 31 38	2410
	Venus	O.	29 50 59	2892	28 18 30	2883	26 45 50	2876	25 13 0	2869
	α Aquilæ	O.	43 10 14	4725	42 9 36	4872	41 10 59	5038	40 14 34	5230
	Sonne	O.	75 23 43	2788	73 49 0	2770	72 13 53	2751	70 38 21	2732
5	Spica	W.	80 12 32	2322	81 57 59	2304	83 43 52	2287	85 30 10	2270
	Antares	W.	34 20 55	2343	36 5 52	2322	37 51 19	2302	39 37 15	2283
	Sonne	O.	62 34 32	2641	60 56 33	2623	59 18 10	2605	57 39 22	2588
6	Spica	W.	94 27 47	2190	96 16 29	2175	98 5 34	2161	99 55 1	2147
	Antares	W.	48 33 52	2194	50 22 29	2177	52 11 31	2161	54 0 58	2145
	Sonne	O.	49 19 40	2507	47 38 37	2493	45 57 14	2480	44 15 32	2465
7	Antares	W.	63 13 43	2077	65 5 17	2066	66 57 9	2055	68 49 18	2044
	Sonne	O.	35 42 38	2412	33 59 20	2405	32 15 52	2399	30 32 16	2394
8	Antares	W.	78 13 47	2002	80 7 18	1996	82 0 58	1991	83 54 46	1986
	Sonne	O.	21 53 46	2412	20 10 29	2430	18 27 37	2456	16 45 22	2492
12	Sonne	W.	35 16 10	2532	36 56 39	2546	38 36 48	2561	40 16 36	2577
	Aldebaran	O.	40 54 31	2224	39 6 39	2244	37 19 17	2265	35 32 26	2287
	Pollux	O.	84 51 52	2183	83 2 59	2200	81 14 31	2216	79 26 27	2233
13	Sonne	W.	48 29 58	2664	50 7 26	2683	51 44 29	2701	53 21 7	2721
	Aldebaran	O.	26 46 59	2421	25 3 54	2454	23 21 36	2492	21 40 10	2533
	Pollux	O.	70 32 42	2324	68 47 17	2343	67 2 20	2362	65 17 50	2381
14	Sonne	W.	61 17 47	2820	62 51 49	2840	64 25 25	2859	65 58 36	2880
	Pollux	O.	56 42 15	2478	55 0 31	2497	53 19 14	2517	51 38 24	2536
	Regulus	O.	92 53 37	2481	91 11 57	2500	89 30 44	2520	87 49 58	2538
15	Sonne	W.	73 38 10	2977	75 8 52	2997	76 39 9	3016	78 9 2	3034
	α Arietis	W.	33 57 23	2963	35 28 22	2955	36 59 31	2949	38 30 48	2946
	Mars	W.	33 21 22	2880	34 54 7	2896	36 26 31	2914	37 58 32	2931

MOND-DISTANZEN.

Mittlere Greenwicher Zeit.

Datum	Namen u. Lage der Sterne		Mittag	Lg. pr.	III^h	Lg. pr.	VI^h	Lg. pr.	IX^h	Lg. pr.
			° ′ ″		° ′ ″		° ′ ″		° ′ ″	
15	Pollux	O.	49 58 1	2555	48 18 4	2574	46 38 34	2594	44 59 31	2613
	Regulus	O.	86 9 38	2557	84 29 44	2576	82 50 16	2594	81 11 13	2613
	Saturn	O.	100 47 13	2524	99 6 33	2543	97 26 19	2561	95 46 30	2580
16	Sonne	W.	79 38 33	3052	81 7 41	3071	82 36 26	3088	84 4 50	3106
	α Arietis	W.	40 2 8	2946	41 33 29	2946	43 4 49	2949	44 36 6	2953
	Mars	W.	39 30 11	2948	41 1 29	2965	42 32 25	2981	44 3 1	2998
	Pollux	O.	36 50 41	2707	35 14 10	2725	33 38 4	2744	32 2 23	2762
	Regulus	O.	73 2 11	2702	71 25 34	2719	69 49 20	2737	68 13 29	2753
	Saturn	O.	87 33 35	2667	85 56 11	2684	84 19 10	2701	82 42 31	2716
17	Sonne	W.	91 21 37	3188	92 48 0	3204	94 14 4	3219	95 39 51	3234
	α Arietis	W.	52 10 57	2984	53 41 30	2990	55 11 55	2999	56 42 9	3007
	Mars	W.	51 30 58	3077	52 59 36	3091	54 27 56	3105	55 55 59	3119
	Aldebaran	W.	20 58 16	2962	22 29 17	2958	24 0 23	2956	25 31 31	2958
	Regulus	O.	60 19 33	2832	58 45 47	2847	57 12 20	2861	55 39 11	2876
	Saturn	O.	74 44 30	2794	73 9 54	2808	71 35 36	2821	70 1 36	2835
18	Sonne	W.	102 44 34	3300	104 8 45	3313	105 32 41	3325	106 56 24	3336
	α Arietis	W.	64 10 51	3047	65 40 5	3056	67 9 9	3063	68 38 4	3071
	Mars	W.	63 12 11	3183	64 38 41	3195	66 4 56	3205	67 30 59	3216
	Aldebaran	W.	33 6 12	2981	34 36 49	2987	36 7 18	2993	37 37 39	3000
	Regulus	O.	47 57 55	2942	46 26 29	2954	44 55 19	2966	43 24 24	2979
	Saturn	O.	62 15 50	2897	60 43 27	2908	59 11 19	2920	57 39 25	2930
	Spica	O.	102 1 9	2940	100 29 41	2950	98 58 25	2960	97 27 22	2971
19	Sonne	W.	113 51 52	3386	115 14 24	3395	116 36 46	3404	117 58 58	3411
	α Arietis	W.	76 0 21	3106	77 28 23	3113	78 56 17	3119	80 24 4	3125
	Mars	W.	74 38 11	3263	76 3 6	3271	77 27 51	3279	78 52 27	3287
	Aldebaran	W.	45 7 20	3032	46 36 53	3038	48 6 18	3044	49 35 36	3050
	Regulus	O.	35 53 29	3034	34 23 59	3046	32 54 43	3057	31 25 41	3069
	Saturn	O.	50 3 2	2977	48 32 20	2985	47 1 49	2993	45 31 27	3000
	Spica	O.	89 55 12	3015	88 25 18	3023	86 55 34	3030	85 25 59	3038
20	α Arietis	W.	87 41 13	3152	89 8 20	3156	90 35 22	3161	92 2 18	3164
	Mars	W.	85 53 28	3317	87 17 20	3321	88 41 7	3326	90 4 48	3330
	Aldebaran	W.	57 0 33	3073	58 29 16	3077	59 57 54	3081	61 26 27	3083
	Saturn	O.	38 1 48	3033	36 32 16	3038	35 2 51	3044	33 33 33	3050
	Spica	O.	78 0 7	3068	76 31 18	3073	75 2 35	3078	73 33 58	3082
21	Mars	W.	97 2 13	3345	98 25 32	3347	99 48 49	3349	101 12 4	3350
	Aldebaran	W.	68 48 24	3095	70 16 40	3097	71 44 53	3098	73 13 5	3098
	Pollux	W.	24 39 10	3109	26 7 8	3108	27 35 8	3106	29 3 10	3105
	Spica	O.	66 12 1	3098	64 43 49	3101	63 15 40	3103	61 47 34	3105
22	Mars	W.	108 8 4	3351	109 31 16	3351	110 54 28	3351	112 17 41	3351
	Aldebaran	W.	80 33 56	3100	82 2 6	3099	83 30 17	3098	84 58 29	3097
	Pollux	W.	36 23 46	3097	37 51 59	3096	39 20 13	3094	40 48 30	3092
	Spica	O.	54 27 35	3112	52 59 40	3113	51 31 46	3113	50 3 52	3114
	Antares	O.	100 18 28	3093	98 50 10	3092	97 21 51	3091	95 53 31	3091

MOND-DISTANZEN.

Mittlere Greenwicher Zeit.

Datum	Namen u. Lage der Sterne	Mitternacht	Lg. pr.	XV^h	Lg. pr.	XVIII^h	Lg. pr.	XXI^h	Lg. pr.
		° ′ ″		° ′ ″		° ′ ″		° ′ ″	
15	Pollux O.	43 20 54	2632	41 42 42	2651	40 4 56	2670	38 27 36	2689
	Regulus O.	79 32 36	2631	77 54 23	2649	76 16 35	2667	74 39 11	2685
	Saturn O.	94 7 7	2597	92 28 8	2615	90 49 33	2632	89 11 22	2650
16	Sonne W.	85 32 52	3123	87 0 33	3140	88 27 54	3157	89 54 55	3173
	α Arietis W.	46 7 18	2958	47 38 24	2963	49 9 23	2969	50 40 14	2976
	Mars W.	45 33 16	3015	47 3 10	3030	48 32 45	3046	50 2 1	3061
	Pollux O.	30 27 6	2781	28 52 13	2800	27 17 45	2818	25 43 41	2837
	Regulus O.	66 38 0	2769	65 2 52	2785	63 28 5	2801	61 53 39	2817
	Saturn O.	81 6 13	2733	79 30 17	2749	77 54 42	2763	76 19 26	2778
17	Sonne W.	97 5 20	3247	98 30 33	3262	99 55 29	3276	101 20 9	3288
	α Arietis W.	58 12 13	3014	59 42 8	3023	61 11 52	3031	62 41 26	3038
	Mars W.	57 23 45	3133	58 51 15	3146	60 18 29	3159	61 45 27	3171
	Aldebaran W.	27 2 37	2960	28 33 40	2965	30 4 37	2969	31 35 28	2975
	Regulus O.	54 6 21	2890	52 33 49	2903	51 1 34	2916	49 29 36	2930
	Saturn O.	68 27 54	2848	66 54 29	2861	65 21 20	2873	63 48 27	2886
18	Sonne W.	108 19 54	3347	109 43 11	3358	111 6 16	3368	112 29 9	3377
	α Arietis W.	70 6 49	3078	71 35 26	3086	73 3 53	3093	74 32 11	3100
	Mars W.	68 56 49	3227	70 22 26	3236	71 47 52	3246	73 13 7	3255
	Aldebaran W.	39 7 52	3007	40 37 56	3013	42 7 52	3020	43 37 40	3026
	Regulus O.	41 53 45	2990	40 23 20	3001	38 53 9	3013	37 23 12	3024
	Saturn O.	56 7 44	2940	54 36 16	2950	53 5 0	2958	51 33 55	2968
	Spica O.	95 56 33	2981	94 25 56	2989	92 55 30	2999	91 25 16	3007
19	Sonne W.	119 21 2	3419	120 42 57	3427	122 4 43	3433	123 26 22	3439
	α Arietis W.	81 51 43	3131	83 19 15	3137	84 46 40	3141	86 14 0	3147
	Mars W.	80 16 54	3294	81 41 13	3300	83 5 25	3306	84 29 30	3312
	Aldebaran W.	51 4 47	3055	52 33 52	3059	54 2 52	3064	55 31 45	3069
	Regulus O.	29 56 53	3080	28 28 19	3092	27 0 0	3105	25 31 56	3117
	Saturn O.	44 1 14	3007	42 31 10	3014	41 1 15	3021	39 31 28	3026
	Spica O.	83 56 33	3045	82 27 16	3051	80 58 6	3056	79 29 3	3062
20	α Arietis W.	93 29 10	3168	94 55 57	3172	96 22 40	3175	97 49 19	3179
	Mars W.	91 28 25	3334	92 51 57	3337	94 15 26	3340	95 38 51	3343
	Aldebaran W.	62 54 57	3086	64 23 23	3089	65 51 46	3091	67 20 6	3093
	Saturn O.	32 4 22	3055	30 35 17	3060	29 6 18	3064	27 37 25	3070
	Spica O.	72 5 26	3085	70 36 58	3089	69 8 35	3092	67 40 16	3096
21	Mars W.	102 35 18	3351	103 58 30	3351	105 21 42	3352	106 44 53	3352
	Aldebaran W.	74 41 17	3100	76 9 27	3100	77 37 37	3101	79 5 46	3100
	Pollux W.	30 31 14	3103	31 59 20	3102	33 27 27	3101	34 55 36	3100
	Spica O.	60 19 31	3106	58 51 29	3109	57 23 30	3109	55 55 32	3110
22	Mars W.	113 40 55	3349	115 4 10	3347	116 27 27	3345	117 50 46	3343
	Aldebaran W.	86 26 42	3096	87 54 56	3094	89 23 13	3093	90 51 31	3091
	Pollux W.	42 16 49	3091	43 45 10	3088	45 13 34	3086	46 42 1	3083
	Spica O.	48 35 59	3114	47 8 7	3114	45 40 15	3115	44 12 24	3115
	Antares O.	94 25 10	3090	92 56 48	3088	91 28 24	3086	89 59 57	3085

MOND-DISTANZEN.

Mittlere Greenwicher Zeit.

Datum	Namen u. Lage der Sterne		Mittag	Lg. pr.	III^h	Lg. pr.	VI^h	Lg. pr.	IX^h	Lg. pr.
			° ′ ″		° ′ ″		° ′ ″		° ′ ″	
23	Aldebaran	W.	92 19 52	3089	93 48 15	3087	95 16 40	3084	96 45 9	3082
	Pollux	W.	48 10 31	3081	49 39 4	3078	51 7 41	3074	52 36 22	3072
	Spica	O.	42 44 33	3116	41 16 43	3117	39 48 54	3117	38 21 5	3119
	Antares	O.	88 31 29	3082	87 2 58	3080	85 34 24	3078	84 5 47	3075
24	Pollux	W.	60 0 45	3054	61 29 51	3050	62 59 2	3046	64 28 18	3042
	Regulus	W.	24 5 46	3123	25 33 28	3111	27 1 24	3101	28 29 32	3091
	Spica	O.	31 2 25	3128	29 34 50	3133	28 7 20	3138	26 39 57	3145
	Antares	O.	76 41 49	3060	75 12 50	3056	73 43 46	3052	72 14 38	3048
25	Pollux	W.	71 56 0	3018	73 25 50	3013	74 55 47	3009	76 25 49	3003
	Regulus	W.	35 53 3	3049	37 22 15	3043	38 51 35	3034	40 21 5	3027
	Antares	O.	64 47 43	3027	63 18 4	3023	61 48 20	3018	60 18 30	3014
26	Pollux	W.	83 57 44	2975	85 28 28	2969	86 59 19	2963	88 30 18	2957
	Regulus	W.	47 50 45	2993	49 21 7	2986	50 51 37	2979	52 22 16	2971
	Saturn	W.	33 57 13	2960	35 28 16	2954	36 59 27	2946	38 30 47	2939
	Antares	O.	52 47 53	2989	51 17 27	2985	49 46 55	2980	48 16 17	2974
27	Pollux	W.	96 7 12	2924	97 39 0	2918	99 10 56	2911	100 43 1	2904
	Regulus	W.	59 57 46	2936	61 29 19	2929	63 1 1	2921	64 32 53	2914
	Saturn	W.	46 9 40	2904	47 41 54	2897	49 14 17	2890	50 46 49	2882
	Antares	O.	40 41 31	2950	39 10 15	2945	37 38 53	2941	36 7 26	2936
	α Aquilæ	O.	90 10 3	3697	88 53 13	3692	87 36 18	3687	86 19 17	3682
28	Regulus	W.	72 14 38	2874	73 47 30	2866	75 20 32	2859	76 53 44	2850
	Saturn	W.	58 31 56	2844	60 5 27	2835	61 39 9	2827	63 13 2	2818
	Spica	W.	18 44 15	3055	20 13 20	3020	21 43 8	2990	23 13 33	2965
	α Aquilæ	O.	79 53 21	3674	78 36 6	3676	77 18 53	3677	76 1 42	3681
	Venus	O.	104 22 18	3302	102 58 9	3293	101 33 49	3284	100 9 19	3275
29	Regulus	W.	84 42 33	2806	86 16 53	2796	87 51 26	2787	89 26 11	2778
	Saturn	W.	71 5 12	2775	72 40 13	2766	74 15 25	2756	75 50 50	2747
	Spica	W.	30 52 41	2868	32 25 41	2853	33 59 0	2838	35 32 39	2824
	α Aquilæ	O.	69 37 6	3716	68 20 36	3728	67 4 19	3741	65 48 15	3756
	Venus	O.	93 4 2	3225	91 38 23	3216	90 12 33	3206	88 46 31	3195
	Fomalhaut	O.	99 5 54	2969	97 35 2	2958	96 3 56	2947	94 32 37	2937
	Jupiter	O.	101 52 50	2880	100 20 6	2871	98 47 10	2861	97 14 1	2852
30	Regulus	W.	97 23 8	2728	98 59 11	2717	100 35 28	2706	102 12 0	2695
	Saturn	W.	83 51 10	2697	85 27 54	2686	87 4 52	2675	88 42 5	2664
	Spica	W.	43 25 22	2756	45 0 47	2743	46 36 30	2731	48 12 29	2718
	α Aquilæ	O.	59 32 38	3867	58 18 45	3897	57 5 22	3931	55 52 34	3969
	Venus	O.	81 33 7	3140	80 5 46	3128	78 38 11	3117	77 10 22	3105
	Fomalhaut	O.	86 52 47	2887	85 20 11	2876	83 47 22	2867	82 14 21	2857
	Jupiter	O.	89 25 5	2800	87 50 37	2789	86 15 55	2778	84 40 58	2767
	Sonne	O.	123 48 10	3079	122 19 35	3067	120 50 45	3055	119 21 40	3042
31	Saturn	W.	96 51 53	2607	98 30 38	2596	100 9 38	2584	101 48 55	2572
	Spica	W.	56 16 42	2653	57 54 25	2640	59 32 26	2627	61 10 44	2614
	Venus	O.	69 47 36	3043	68 18 17	3030	66 48 42	3018	65 18 51	3004
	Fomalhaut	O.	74 26 11	2811	72 51 58	2802	71 17 33	2794	69 42 57	2785
	Jupiter	O.	76 42 31	2709	75 6 3	2697	73 29 19	2685	71 52 19	2672
	Sonne	O.	111 52 19	2977	110 21 38	2965	108 50 41	2950	107 19 26	2937

MOND-DISTANZEN.

Mittlere Greenwicher Zeit.

Datum	Namen u. Lage der Sterne	Mitter-nacht	Lg. pr.	XV^h	Lg. pr.	XVIII^h	Lg. pr.	XXI^h	Lg. pr.
		° ′ ″		° ′ ″		° ′ ″		° ′ ″	
23	Aldebaran W.	98 13 41	3079	99 42 16	3076	101 10 55	3073	102 39 37	3070
	Pollux W.	54 5 6	3069	55 33 54	3065	57 2 46	3061	58 31 43	3057
	Spica O.	36 53 18	3119	35 25 31	3121	33 57 47	3122	32 30 4	3125
	Antares O.	82 37 7	3072	81 8 23	3069	79 39 35	3066	78 10 44	3063
24	Pollux W.	65 57 39	3037	67 27 6	3033	68 56 38	3028	70 26 16	3023
	Regulus W.	29 57 53	3082	31 26 25	3073	32 55 8	3064	34 24 1	3057
	Spica O.	25 12 42	3153	23 45 37	3165	22 18 46	3179	20 52 12	3198
	Antares O.	70 45 25	3044	69 16 7	3041	67 46 45	3036	66 17 17	3031
25	Pollux W.	77 55 58	2997	79 26 14	2992	80 56 37	2986	82 27 7	2981
	Regulus W.	41 50 44	3021	43 20 31	3013	44 50 27	3006	46 20 32	3000
	Antares O.	58 48 35	3009	57 18 33	3005	55 48 26	2999	54 18 12	2995
26	Pollux W.	90 1 25	2950	91 32 40	2945	93 4 2	2938	94 35 33	2931
	Regulus W.	53 53 5	2965	55 24 2	2958	56 55 7	2950	58 26 22	2943
	Saturn W.	40 2 16	2932	41 33 54	2926	43 5 40	2918	44 37 36	2912
	Antares O.	46 45 32	2969	45 14 41	2965	43 43 44	2959	42 12 40	2955
27	Pollux W.	102 15 15	2896	103 47 39	2890	105 20 11	2882	106 52 53	2874
	Regulus W.	66 4 54	2906	67 37 5	2898	69 9 26	2890	70 41 57	2883
	Saturn W.	52 19 31	2875	53 52 22	2866	55 25 24	2859	56 58 35	2852
	Antares O.	34 35 53	2932	33 4 15	2928	31 32 32	2925	30 0 45	2922
	α Aquilæ O.	85 2 11	3679	83 45 2	3677	82 27 50	3675	81 10 36	3674
28	Regulus W.	78 27 7	2841	80 0 41	2832	81 34 27	2824	83 8 24	2815
	Saturn W.	64 47 6	2811	66 21 20	2801	67 55 46	2793	69 30 23	2784
	Spica W.	24 44 30	2942	26 15 56	2921	27 47 48	2903	29 20 3	2885
	α Aquilæ O.	74 44 35	3686	73 27 33	3691	72 10 36	3698	70 53 47	3706
	Venus O.	98 44 38	3265	97 19 46	3255	95 54 42	3247	94 29 28	3236
29	Regulus W.	91 1 8	2768	92 36 18	2758	94 11 41	2747	95 47 18	2737
	Saturn W.	77 26 28	2737	79 2 19	2728	80 38 22	2717	82 14 39	2707
	Spica W.	37 6 36	2810	38 40 51	2796	40 15 24	2783	41 50 14	2769
	α Aquilæ O.	64 32 27	3773	63 16 57	3792	62 1 47	3815	60 47 0	3839
	Venus O.	87 20 16	3184	85 53 48	3174	84 27 8	3163	83 0 14	3152
	Fomalhaut O.	93 1 5	2927	91 29 20	2916	89 57 22	2906	88 25 11	2896
	Jupiter O.	95 40 40	2841	94 7 6	2831	92 33 19	2821	90 59 19	2811
30	Regulus W.	103 48 46	2685	105 25 46	2674	107 3 1	2662	108 40 32	2651
	Saturn W.	90 19 33	2654	91 57 15	2643	93 35 12	2631	95 13 25	2620
	Spica W.	49 48 45	2705	51 25 18	2692	53 2 9	2679	54 39 17	2666
	α Aquilæ O.	54 40 24	4012	53 28 56	4060	52 18 15	4112	51 8 25	4171
	Venus O.	75 42 19	3093	74 14 1	3081	72 45 28	3068	71 16 39	3056
	Fomalhaut O.	80 41 7	2848	79 7 41	2838	77 34 3	2829	76 0 13	2820
	Jupiter O.	83 5 47	2756	81 30 21	2744	79 54 40	2732	78 18 43	2721
	Sonne O.	117 52 19	3030	116 22 43	3017	114 52 51	3004	113 22 43	2991
31	Saturn W.	103 28 29	2559	105 8 20	2546	106 48 29	2535	108 28 54	2522
	Spica W.	62 49 20	2600	64 28 15	2588	66 7 27	2574	67 46 58	2560
	Venus O.	63 48 43	2991	62 18 19	2977	60 47 38	2965	59 16 41	2950
	Fomalhaut O.	68 8 10	2778	66 33 13	2771	64 58 7	2763	63 22 51	2756
	Jupiter O.	70 15 2	2660	68 37 28	2647	66 59 37	2634	65 21 29	2622
	Sonne O.	105 47 54	2923	104 16 5	2909	102 43 58	2895	101 11 33	2881

Tag im Jahre	Wochentag und Datum		Mittlérer Greenwicher Mittag. Sonne. Rect-ascension	Stdl. Aend.	Declination + Nord	Stündl. Aenderung	Halbmesser	Zeitgleichung + Zur wahren Zeit zu addiren — Von der wahren Zeit zu subtrah.	Stündl. Aenderung	Declination der Sonne im wahren Greenwicher Mittage
			h m s	s	° ′ ″	″	′ ″	m s	s	° ′ ″
91	Mittw.	1	0 42 12·7	9·10	+ 4 32 35	+57·9	16 2	+3 58·7	−0·76	+ 4 32 39
92	Donner.	2	0 45 51·2	9·11	+ 4 55 41	+57·7	16 2	+3 40·7	−0·75	+ 4 55 45
93	Freitag	3	0 49 29·8	9·11	+ 5 18 42	+57·4	16 1	+3 22·8	−0·74	+ 5 18 46
94	Samstag	4	0 53 8·6	9·12	+ 5 41 38	+57·2	16 1	+3 5·0	−0·74	+ 5 41 41
95	Sonntag	5	0 56 47·6	9·13	+ 6 4 28	+56·9	16 1	+2 47·5	−0·73	+ 6 4 30
96	Montag	6	1 0 26·8	9·14	+ 6 27 11	+56·7	16 1	+2 30·1	−0·72	+ 6 27 14
97	Dienst.	7	1 4 6·2	9·14	+ 6 49 48	+56·4	16 0	+2 12·9	−0·71	+ 6 49 50
98	Mittw.	8	1 7 45·8	9·15	+ 7 12 18	+56·1	16 0	+1 56·0	−0·70	+ 7 12 20
99	Donner.	9	1 11 25·6	9·16	+ 7 34 41	+55·8	16 0	+1 39·3	−0·69	+ 7 34 43
100	Freitag	10	1 15 5·7	9·18	+ 7 56 56	+55·5	16 0	+1 22·8	−0·68	+ 7 56 58
101	Samstag	11	1 18 46·1	9·19	+ 8 19 3	+55·1	15 59	+1 6·6	−0·67	+ 8 19 4
102	Sonntag	12	1 22 26·8	9·20	+ 8 41 2	+54·8	15 59	+0 50·7	−0·66	+ 8 41 3
103	Montag	13	1 26 7·7	9·21	+ 9 2 52	+54·4	15 59	+0 35·1	−0·65	+ 9 2 53
104	Dienst.	14	1 29 49·0	9·22	+ 9 24 33	+54·0	15 58	+0 19·8	−0·63	+ 9 24 33
105	Mittw.	15	1 33 30·5	9·24	+ 9 46 4	+53·6	15 58	+0 4·8	−0·62	+ 9 46 5
106	Donner.	16	1 37 12·4	9·25	+10 7 26	+53·2	15 58	—0 9·8	−0·60	+10 7 26
107	Freitag	17	1 40 54·7	9·27	+10 28 38	+52·8	15 58	—0 24·1	−0·59	+10 28 37
108	Samstag	18	1 44 37·3	9·28	+10 49 39	+52·3	15 57	—0 38·1	−0·57	+10 49 38
109	Sonntag	19	1 48 20·3	9·30	+11 10 29	+51·9	15 57	—0 51·6	−0·56	+11 10 28
110	Montag	20	1 52 3·7	9·32	+11 31 8	+51·4	15 57	—1 4·8	−0·54	+11 31 7
111	Dienst.	21	1 55 47·5	9·33	+11 51 35	+50·9	15 57	—1 17·5	−0·52	+11 51 34
112	Mittw.	22	1 59 31·7	9·35	+12 11 51	+50·4	15 56	—1 29·9	−0·51	+12 11 50
113	Donner.	23	2 3 16·4	9·37	+12 31 55	+49·9	15 56	—1 41·7	−0·49	+12 31 54
114	Freitag	24	2 7 1·5	9·39	+12 51 47	+49·4	15 56	—1 53·2	−0·47	+12 ·51 45
115	Samstag	25	2 10 47·1	9·41	+13 11 25	+48·9	15 56	—2 4·1	−0·45	+13 11 24
116	Sonntag	26	2 14 33·2	9·43	+13 30 51	+48·3	15 55	—2 14·6	−0·43	+13 30 50
117	Montag	27	2 18 19·9	9·45	+13 50 4	+47·7	15 55	—2 24·5	−0·41	+13 50 2
118	Dienst.	28	2 22 7·0	9·47	+14 9 3	+47·2	15 55	—2 33·9	−0·38	+14 9 1
119	Mittw.	29	2 25 54·6	9·50	+14 27 48	+46·6	15 55	—2 42·8	−0·36	+14 27 46
120	Donner.	30	2 29 42·8	9·52	+14 46 19	+46·0	15 54	—2 51·2	−0·34	+14 46 17
121	Freitag	M. 1	2 33 31·5	9·54	+15 4 36	+45·4	15 54	—2 59·0	−0·32	+15 4 34

Wochentag und Datum		Sternzeit im mittleren Greenwich. Mittage	Mittlere Greenwicher Zeit. Mond. Obere Culmination	Stündliche Verzögerung	Halbmesser Mittag	Halbmesser Mitternacht	Horizontal-Parallaxe Mittag	Stündl. Aenderung	Horizontal-Parallaxe Mitternacht	Stündl. Aenderung	Alter Mittag
		h m s	h m	m	′ ″	′ ″	′ ″	″	′ ″	″	d
Mittw.	1	0 38 13·9	18 12·4	2·45	15 45	15 51	57 41	+1·8	58 3	+1·8	22·0
Donner.	2	0 42 10·5	19 11·9	2·47	15 57	16 3	58 25	+1·8	58 47	+1·8	23·0
Freitag	3	0 46 7·0	20 11·0	2·43	16 9	16 14	59 8	+1·8	59 29	+1·7	24·0
Samstag	4	0 50 3·6	21 8·4	2·35	16 20	16 25	59 49	+1·6	60 7	+1·4	25·0
Sonntag	5	0 54 0·2	22 3·6	2·26	16 29	16 32	60 22	+1·2	60 35	+0·9	26·0
Montag	6	0 57 56·7	22 56·7	2·19	16 35	16 36	60 44	+0·6	60 50	+0·3	27·0
Dienst.	7	1 1 53·3	23 48·6	2·16	16 36	16 36	60 51	−0·1	60 48	−0·4	28·0
Mittw.	8	1 5 49·8	*		16 34	16 31	60 41	−0·8	60 29	−1·1	29·0
Donner.	9	1 9 46·4	0 40·3	2·16	16 26	16 21	60 14	−1·4	59 55	−1·7	0·6
Freitag	10	1 13 42·9	1 32·5	2·20	16 15	16 9	59 33	−1·9	59 9	−2·1	1·6
Samstag	11	1 17 39·5	2 25·8	2·25	16 2	15 54	58 43	−2·2	58 16	−2·3	2·6
Sonntag	12	1 21 36·0	3 20·3	2·28	15 47	15 39	57 48	−2·3	57 20	−2·3	3·6
Montag	13	1 25 32·6	4 15·4	2·28	15 32	15 25	56 54	−2·2	56 28	−2·1	4·6
Dienst.	14	1 29 29·1	5 9·9	2·24	15 18	15 12	56 4	−1·9	55 41	−1·8	5·6
Mittw.	15	1 33 25·7	6 2·9	2·15	15 6	15 1	55 21	−1·6	55 3	−1·4	6·6
Donner.	16	1 37 22·2	6 53·3	2·04	14 57	14 54	54 47	−1·2	54 34	−1·0	7·6
Freitag	17	1 41 18·8	7 40·9	1·92	14 51	14 49	54 23	−0·8	54 15	−0·6	8·6
Samstag	18	1 45 15·4	8 25·7	1·82	14 47	14 46	54 9	−0·4	54 6	−0·2	9·6
Sonntag	19	1 49 11·9	9 8·3	1·74	14 46	14 46	54 5	0·0	54 6	+0·2	10·6
Montag	20	1 53 8·5	9 49·4	1·70	14 47	14 48	54 10	+0·3	54 15	+0·5	11·6
Dienst.	21	1 57 5·0	10 29·9	1·69	14 50	14 52	54 21	+0·6	54 30	+0·7	12·6
Mittw.	22	2 1 1·6	11 10·8	1·73	14 55	14 58	54 39	+0·8	54 50	+0·9	13·6
Donner.	23	2 4 58·1	11 52·8	1·80	15 1	15 5	55 2	+1·0	55 14	+1·1	14·6
Freitag	24	2 8 54·7	12 37·2	1·91	15 8	15 12	55 27	+1·1	55 41	+1·2	15·6
Samstag	25	2 12 21·2	13 24·5	2·05	15 16	15 20	55 55	+1·2	56 10	+1·2	16·6
Sonntag	26	2 16 47·8	14 15·4	2·20	15 24	15 28	56 25	+1·2	56 40	+1·3	17·6
Montag	27	2 20 44·3	15 10·0	2·33	15 32	15 36	56 55	+1·3	57 10	+1·3	18·6
Dienst.	28	2 24 40·9	16 7·3	2·42	15 40	15 45	57 26	+1·3	57 41	+1·3	19·6
Mittw.	29	2 28 37·5	17 6·0	2·44	15 49	15 53	57 57	+1·3	58 12	+1·3	20·6
Donner.	30	2 32 34·0	18 4·3	2·39	15 57	16 1	58 27	+1·2	58 42	+1·2	21·6
Freitag	M. 1	2 36 30·6	19 0·8	2·30	16 5	16 9	58 56	+1·2	59 10	+1·1	22·6

Rectascension und Declination des Mondes.

Mittwoch 1.

Mittlere Green. Zeit (h)	Rectascension (h m s)	Aenderung in 10m (s)	Declination — Süd (° ' ")	Aenderung in 10m (")
0	18 8 5·4	24·72	— 25 36 16	— 22·4
1	18 10 33·8	24·76	— 25 38 26	— 20·8
2	18 13 2·5	24·80	— 25 40 26	— 19·3
3	18 15 31·4	24·84	— 25 42 17	— 17·7
4	18 18 0·5	24·87	— 25 43 59	— 16·2
5	18 20 29·8	24·91	— 25 45 31	— 14·6
6	18 22 59·4	24·94	— 25 46 54	— 13·0
7	18 25 29·2	24·98	— 25 48 7	— 11·4
8	18 27 59·1	25·01	— 25 49 11	— 9·9
9	18 30 29·3	25·04	— 25 50 6	— 8·3
10	18 32 59·7	25·07	— 25 50 51	— 6·6
11	18 35 30·2	25·10	— 25 51 26	— 5·0
12	18 38 0·9	25·13	— 25 51 51	— 3·4
13	18 40 31·8	25·16	— 25 52 7	— 1·8
14	18 43 2·8	25·19	— 25 52 13	— 0·2
15	18 45 34·1	25·21	— 25 52 9	+ 1·5
16	18 48 5·4	25·24	— 25 51 55	+ 3·1
17	18 50 36·9	25·26	— 25 51 32	+ 4·7
18	18 53 8·6	25·28	— 25 50 58	+ 6·4
19	18 55 40·3	25·31	— 25 50 15	+ 8·0
20	18 58 12·2	25·33	— 25 49 22	+ 9·7
21	19 0 44·3	25·35	— 25 48 19	+ 11·3
22	19 3 16·4	25·36	— 25 47 6	+ 13·0
23	19 5 48·6	25·38	— 25 45 43	+ 14·7

Donnerstag 2.

Mittlere Green. Zeit (h)	Rectascension (h m s)	Aenderung in 10m (s)	Declination — Süd (° ' ")	Aenderung in 10m (")
0	19 8 21·0	25·40	— 25 44 10	+ 16·3
1	19 10 53·4	25·41	— 25 42 27	+ 18·0
2	19 13 25·9	25·42	— 25 40 33	+ 19·7
3	19 15 58·5	25·44	— 25 38 30	+ 21·4
4	19 18 31·2	25·45	— 25 36 17	+ 23·0
5	19 21 3·9	25·46	— 25 33 54	+ 24·7
6	19 23 36·7	25·47	— 25 31 21	+ 26·4
7	19 26 9·5	25·47	— 25 28 37	+ 28·1
8	19 28 42·3	25·48	— 25 25 44	+ 29·7
9	19 31 15·2	25·49	— 25 22 40	+ 31·4
10	19 33 48·2	25·49	— 25 19 27	+ 33·1
11	19 36 21·1	25·49	— 25 16 3	+ 34·8
12	19 38 54·1	25·50	— 25 12 29	+ 36·5
13	19 41 27·1	25·50	— 25 8 45	+ 38·1
14	19 44 0·1	25·50	— 25 4 52	+ 39·8
15	19 46 33·1	25·50	— 25 0 48	+ 41·5
16	19 49 6·1	25·49	— 24 56 34	+ 43·2
17	19 51 39·0	25·49	— 24 52 9	+ 44·8
18	19 54 11·9	25·49	— 24 47 35	+ 46·5
19	19 56 44·8	25·48	— 24 42 51	+ 48·2
20	19 59 17·7	25·47	— 24 37 57	+ 49·8
21	20 1 50·5	25·47	— 24 32 53	+ 51·5
22	20 4 23·3	25·46	— 24 27 39	+ 53·2
23	20 6 56·0	25·45	— 24 22 15	+ 54·8
24	20 9 28·7	25·44	— 24 16 41	+ 56·5

Freitag 3.

Mittlere Green. Zeit (h)	Rectascension (h m s)	Aenderung in 10m (s)	Declination — Süd (° ' ")	Aenderung in 10m (")
0	20 9 28·7	25·44	— 24 16 41	+ 56·5
1	20 12 1·3	25·43	— 24 10 58	+ 58·1
2	20 14 33·8	25·41	— 24 5 4	+ 59·7
3	20 17 6·3	25·40	— 23 59 1	+ 61·4
4	20 19 38·6	25·39	— 23 52 48	+ 63·0
5	20 22 10·9	25·37	— 23 46 25	+ 64·6
6	20 24 43·1	25·35	— 23 39 52	+ 66·3
7	20 27 15·1	25·34	— 23 33 9	+ 67·9
8	20 29 47·1	25·32	— 23 26 17	+ 69·5
9	20 32 19·0	25·30	— 23 19 16	+ 71·1
10	20 34 50·7	25·28	— 23 12 4	+ 72·7
11	20 37 22·3	25·26	— 23 4 44	+ 74·3
12	20 39 53·8	25·24	— 22 57 13	+ 75·8
13	20 42 25·1	25·21	— 22 49 34	+ 77·4
14	20 44 56·3	25·19	— 22 41 44	+ 79·0
15	20 47 27·4	25·17	— 22 33 46	+ 80·5
16	20 49 58·4	25·14	— 22 25 38	+ 82·1
17	20 52 29·2	25·12	— 22 17 21	+ 83·6
18	20 54 59·8	25·09	— 22 8 55	+ 85·1
19	20 57 30·3	25·06	— 22 0 19	+ 86·6
20	21 0 0·6	25·04	— 21 51 35	+ 88·2
21	21 2 30·7	25·01	— 21 42 42	+ 89·7
22	21 5 0·7	24·98	— 21 33 39	+ 91·1
23	21 7 30·5	24·95	— 21 24 28	+ 92·6

Samstag 4.

Mittlere Green. Zeit (h)	Rectascension (h m s)	Aenderung in 10m (s)	Declination — Süd (° ' ")	Aenderung in 10m (")
0	21 10 0·1	24·92	— 21 15 8	+ 94·1
1	21 12 29·6	24·89	— 21 5 39	+ 95·6
2	21 14 58·8	24·86	— 20 56 1	+ 97·0
3	21 17 27·9	24·83	— 20 46 15	+ 98·4
4	21 19 56·8	24·80	— 20 36 20	+ 99·9
5	21 22 25·5	24·77	— 20 26 16	+ 101·3
6	21 24 54·1	24·74	— 20 16 5	+ 102·7
7	21 27 22·4	24·70	— 20 5 44	+ 104·1
8	21 29 50·5	24·67	— 19 55 16	+ 105·4
9	21 32 18·4	24·64	— 19 44 39	+ 106·8
10	21 34 46·2	24·60	— 19 33 54	+ 108·2
11	21 37 13·7	24·57	— 19 23 1	+ 109·5
12	21 39 41·0	24·54	— 19 12 0	+ 110·8
13	21 42 8·1	24·50	— 19 0 51	+ 112·1
14	21 44 35·0	24·47	— 18 49 35	+ 113·4
15	21 47 1·7	24·43	— 18 38 10	+ 114·7
16	21 49 28·2	24·40	— 18 26 38	+ 116·0
17	21 51 54·5	24·36	— 18 14 58	+ 117·2
18	21 54 20·5	24·32	— 18 3 11	+ 118·5
19	21 56 46·4	24·29	— 17 51 16	+ 119·7
20	21 59 12·0	24·25	— 17 39 14	+ 120·9
21	22 1 37·4	24·22	— 17 27 5	+ 122·1
22	22 4 2·6	24·18	— 17 14 49	+ 123·3
23	22 6 27·6	24·15	— 17 2 25	+ 124·5
24	22 8 52·3	24·11	— 16 49 55	+ 125·6

Rectascension und Declination des Mondes.

Mittlere Green. Zeit	Rect-ascension	Aenderung in 10m	Declination — Süd	Aenderung in 10m	Mittlere Green. Zeit	Rect-ascension	Aenderung in 10m	Declination — Süd + Nord	Aenderung in 10m
	Sonntag 5.					**Dienstag 7.**			
h	h m s	s	° ′ ″	″	h	h m s	s	° ′ ″	″
0	22 8 52·3	24·11	— 16 49 55	+ 125·6	0	0 0 49·5	22·68	— 5 5 25	+ 161·1
1	22 11 16·9	24·07	— 16 37 18	+ 126·8	1	0 3 5·6	22·66	— 4 49 17	+ 161·4
2	22 13 41·2	24·04	— 16 24 34	+ 127·9	2	0 5 21·5	22·64	— 4 33 8	+ 161·7
3	22 16 5·3	24·00	— 16 11 43	+ 129·0	3	0 7 37·3	22·62	— 4 16 57	+ 161·9
4	22 18 29·2	23·96	— 15 58 46	+ 130·1	4	0 9 53·0	22·61	— 4 0 45	+ 162·1
5	22 20 52·9	23·93	— 15 45 42	+ 131·2	5	0 12 8·6	22·59	— 3 44 32	+ 162·4
6	22 23 16·4	23·89	— 15 32 31	+ 132·2	6	0 14 24·1	22·58	— 3 28 17	+ 162·6
7	22 25 39·7	23·86	— 15 19 15	+ 133·3	7	0 16 39·5	22·56	— 3 12 1	+ 162·7
8	22 28 2·7	23·82	— 15 5 52	+ 134·3	8	0 18 54·8	22·55	— 2 55 44	+ 162·9
9	22 30 25·5	23·79	— 14 52 23	+ 135·3	9	0 21 10·1	22·53	— 2 39 26	+ 163·0
10	22 32 48·2	23·75	— 14 38 48	+ 136·3	10	0 23 25·2	22·52	— 2 23 8	+ 163·2
11	22 35 10·6	23·72	— 14 25 7	+ 137·3	11	0 25 40·3	22·51	— 2 6 48	+ 163·3
12	22 37 32·8	23·68	— 14 11 20	+ 138·3	12	0 27 55·3	22·50	— 1 50 29	+ 163·3
13	22 39 54·8	23·65	— 13 57 28	+ 139·2	13	0 30 10·2	22·48	— 1 34 8	+ 163·4
14	22 42 16·6	23·61	— 13 43 30	+ 140·1	14	0 32 25·1	22·47	— 1 17 48	+ 163·5
15	22 44 38·1	23·58	— 13 29 26	+ 141·1	15	0 34 39·9	22·46	— 1 1 27	+ 163·5
16	22 46 59·5	23·55	— 13 15 17	+ 141·9	16	0 36 54·7	22·45	— 0 45 6	+ 163·5
17	22 49 20·7	23·51	— 13 1 3	+ 142·8	17	0 39 9·4	22·45	— 0 28 45	+ 163·5
18	22 51 41·7	23·48	— 12 46 43	+ 143·6	18	0 41 24·0	22·44	— 0 12 24	+ 163·5
19	22 54 2·5	23·45	— 12 32 18	+ 144·5	19	0 43 38·6	22·43	+ 0 3 57	+ 163·4
20	22 56 23·0	23·41	— 12 17 49	+ 145·4	20	0 45 53·2	22·42	+ 0 20 17	+ 163·3
21	22 58 43·4	23·38	— 12 3 14	+ 146·2	21	0 48 7·7	22·42	+ 0 36 37	+ 163·3
22	23 1 3·6	23·35	— 11 48 35	+ 146·9	22	0 50 22·2	22·41	+ 0 52 56	+ 163·2
23	23 3 23·6	23·32	— 11 33 51	+ 147·7	23	0 52 36·6	22·41	+ 1 9 15	+ 163·1
	Montag 6.					**Mittwoch 8.**			
0	23 5 43·5	23·29	— 11 19 2	+ 148·5	0	0 54 51·1	22·40	+ 1 25 33	+ 162·9
1	23 8 3·1	23·26	— 11 4 9	+ 149·2	1	0 57 5·5	22·40	+ 1 41 50	+ 162·8
2	23 10 22·5	23·23	— 10 49 11	+ 149·9	2	0 59 19·8	22·39	+ 1 58 6	+ 162·6
3	23 12 41·8	23·20	— 10 34 10	+ 150·6	3	1 1 34·2	22·39	+ 2 14 21	+ 162·4
4	23 15 0·9	23·17	— 10 19 4	+ 151·3	4	1 3 48·5	22·39	+ 2 30 35	+ 162·2
5	23 17 19·8	23·14	— 10 3 54	+ 152·0	5	1 6 2·9	22·39	+ 2 46 47	+ 162·0
6	23 19 38·5	23·11	— 9 48 40	+ 152·6	6	1 8 17·2	22·39	+ 3 2 58	+ 161·7
7	23 21 57·1	23·08	— 9 33 22	+ 153·2	7	1 10 31·5	22·39	+ 3 19 8	+ 161·4
8	23 24 15·5	23·05	— 9 18 1	+ 153·9	8	1 12 45·8	22·39	+ 3 35 16	+ 161·2
9	23 26 33·7	23·02	— 9 2 36	+ 154·5	9	1 15 0·2	22·39	+ 3 51 22	+ 160·9
10	23 28 51·8	23·00	— 8 47 7	+ 155·0	10	1 17 14·5	22·39	+ 4 7 26	+ 160·5
11	23 31 9·7	22·97	— 8 31 36	+ 155·6	11	1 19 28·8	22·39	+ 4 23 28	+ 160·2
12	23 33 27·5	22·95	— 8 16 0	+ 156·1	12	1 21 43·2	22·39	+ 4 39 29	+ 159·8
13	23 35 45·1	22·92	— 8 0 22	+ 156·6	13	1 23 57·6	22·40	+ 4 55 27	+ 159·5
14	23 38 2·5	22·90	— 7 44 41	+ 157·1	14	1 26 12·0	22·40	+ 5 11 22	+ 159·1
15	23 40 19·8	22·87	— 7 28 57	+ 157·6	15	1 28 26·4	22·41	+ 5 27 16	+ 158·7
16	23 42 37·0	22·85	— 7 13 10	+ 158·1	16	1 30 40·8	22·41	+ 5 43 7	+ 158·3
17	23 44 54·0	22·83	— 6 57 20	+ 158·5	17	1 32 55·3	22·41	+ 5 58 55	+ 157·8
18	23 47 10·9	22·80	— 6 41 27	+ 158·9	18	1 35 9·8	22·42	+ 6 14 40	+ 157·4
19	23 49 27·7	22·78	— 6 25 32	+ 159·3	19	1 37 24·3	22·43	+ 6 30 23	+ 156·9
20	23 51 44·3	22·76	— 6 9 35	+ 159·7	20	1 39 38·9	22·43	+ 6 46 3	+ 156·4
21	23 54 0·8	22·74	— 5 53 36	+ 160·1	21	1 41 53·6	22·44	+ 7 1 40	+ 155·9
22	23 56 17·2	22·72	— 5 37 34	+ 160·4	22	1 44 8·2	22·45	+ 7 17 14	+ 155·4
23	23 58 33·4	22·70	— 5 21 30	+ 160·8	23	1 46 23·0	22 46	+ 7 32 44	+ 154·8
24	0 0 49·5	22·68	— 5 5 25	+ 161·1	24	1 48 37·7	22·47	+ 7 48 12	+ 154·3

Rectascension und Declination des Mondes.

Mittlere Green. Zeit	Rectascension	Aenderung in 10m	Declination + Nord	Aenderung in 10m	Mittlere Green. Zeit	Rectascension	Aenderung in 10m	Declination + Nord	Aenderung in 10m
	Donnerstag 9.					Samstag 11.			
h	h m s	s	° ′ ″	″	h	h m s	s	° ′ ″	″
0	1 48 37·7	22·47	+ 7 48 12	+154·3	0	3 38 11·9	23·27	+ 18 35 26	+110·2
1	1 50 52·6	22·48	+ 8 3 36	+153·7	1	3 40 31·5	23·29	+ 18 46 23	+109·0
2	1 53 7·5	22·49	+ 8 18 56	+153·1	2	3 42 51·3	23·31	+ 18 57 13	+107·7
3	1 55 22·4	22·50	+ 8 34 13	+152·5	3	3 45 11·2	23·32	+ 19 7 56	+106·5
4	1 57 37·4	22·51	+ 8 49 26	+151·9	4	3 47 31·2	23·34	+ 19 18 32	+105·3
5	1 59 52·5	22·52	+ 9 4 35	+151·2	5	3 49 51·3	23·36	+ 19 29 0	+104·0
6	2 2 7·7	22·53	+ 9 19 41	+150·6	6	3 52 11·6	23·38	+ 19 39 20	+102·7
7	2 4 22·9	22·54	+ 9 34 42	+149·9	7	3 54 31·9	23·40	+ 19 49 32	+101·5
8	2 6 38·2	22·56	+ 9 49 39	+149·2	8	3 56 52·3	23·41	+ 19 59 37	+100·2
9	2 8 53·6	22·57	+ 10 4 32	+148·5	9	3 59 12·9	23·43	+ 20 9 35	+ 98·9
10	2 11 9·0	22·58	+ 10 19 21	+147·8	10	4 1 33·5	23·45	+ 20 19 24	+ 97·6
11	2 13 24·5	22·60	+ 10 34 6	+147·0	11	4 3 54·2	23·46	+ 20 29 6	+ 96·3
12	2 15 40·2	22·61	+ 10 48 46	+146·3	12	4 6 15·1	23·48	+ 20 38 39	+ 95·0
13	2 17 55·9	22·62	+ 11 3 21	+145·5	13	4 8 36·0	23·50	+ 20 48 5	+ 93·6
14	2 20 11·7	22·64	+ 11 17 52	+144·8	14	4 10 57·1	23·51	+ 20 57 23	+ 92·3
15	2 22 27·6	22·66	+ 11 32 18	+144·0	15	4 13 18·2	23·53	+ 21 6 33	+ 91·0
16	2 24 43·5	22·67	+ 11 46 40	+143·1	16	4 15 39·4	23·54	+ 21 15 35	+ 89·6
17	2 26 59·6	22·69	+ 12 0 56	+142·3	17	4 18 0·7	23·56	+ 21 24 29	+ 88·3
18	2 29 15·8	22·70	+ 12 15 8	+141·5	18	4 20 22·1	23·57	+ 21 33 14	+ 86·9
19	2 31 32·0	22·72	+ 12 29 14	+140·6	19	4 22 43·6	23·59	+ 21 41 52	+ 85·5
20	2 33 48·4	22·74	+ 12 43 15	+139·8	20	4 25 5·2	23·60	+ 21 50 21	+ 84·2
21	2 36 4·9	22·75	+ 12 57 11	+138·9	21	4 27 26·8	23·61	+ 21 58 42	+ 82·8
22	2 38 21·5	22·77	+ 13 11 2	+138·0	22	4 29 48·6	23·63	+ 22 6 55	+ 81·4
23	2 40 38·1	22·79	+ 13 24 47	+137·1	23	4 32 10·4	23·64	+ 22 14 59	+ 80·0
	Freitag 10.					Sonntag 12.			
0	2 42 54·9	22·81	+ 13 38 27	+136·1	0	4 34 32·2	23·65	+ 22 22 55	+ 78·6
1	2 45 11·8	22·82	+ 13 52 1	+135·2	1	4 36 54·2	23·66	+ 22 30 42	+ 77·2
2	2 47 28·8	22·84	+ 14 5 29	+134·2	2	4 39 16·2	23·67	+ 22 38 22	+ 75·8
3	2 49 45·9	22·86	+ 14 18 52	+133·3	3	4 41 38·2	23·68	+ 22 45 52	+ 74·4
4	2 52 3·1	22·88	+ 14 32 8	+132·3	4	4 44 0·3	23·69	+ 22 53 15	+ 73·0
5	2 54 20·5	22·90	+ 14 45 19	+131·3	5	4 46 22·5	23·70	+ 23 0 29	+ 71·6
6	2 56 37·9	22·92	+ 14 58 24	+130·3	6	4 48 44·7	23·71	+ 23 7 34	+ 70·2
7	2 58 55·5	22·94	+ 15 11 23	+129·3	7	4 51 7·0	23·71	+ 23 14 31	+ 68·7
8	3 1 13·1	22·95	+ 15 24 16	+128·3	8	4 53 29·3	23·72	+ 23 21 19	+ 67·3
9	3 3 30·9	22·97	+ 15 37 2	+127·2	9	4 55 51·7	23·73	+ 23 27 58	+ 65·9
10	3 5 48·8	22·99	+ 15 49 42	+126·2	10	4 58 14·1	23·73	+ 23 34 29	+ 64·4
11	3 8 6·8	23·01	+ 16 2 16	+125·1	11	5 0 36·5	23·74	+ 23 40 51	+ 63·0
12	3 10 25·0	23·03	+ 16 14 44	+124·0	12	5 2 58·9	23·74	+ 23 47 5	+ 61·5
13	3 12 43·3	23·05	+ 16 27 5	+122·9	13	5 5 21·4	23·75	+ 23 53 10	+ 60·1
14	3 15 1·6	23·07	+ 16 39 19	+121·8	14	5 7 43·9	23·75	+ 23 59 6	+ 58·6
15	3 17 20·1	23·09	+ 16 51 27	+120·7	15	5 10 6·4	23·75	+ 24 4 54	+ 57·2
16	3 19 38·7	23·11	+ 17 3 28	+119·6	16	5 12 29·0	23·76	+ 24 10 33	+ 55·7
17	3 21 57·5	23·13	+ 17 15 22	+118·5	17	5 14 51·5	23·76	+ 24 16 3	+ 54·3
18	3 24 16·3	23·15	+ 17 27 9	+117·3	18	5 17 14·1	23·76	+ 24 21 24	+ 52·8
19	3 26 35·3	23·17	+ 17 38 50	+116·1	19	5 19 36·6	23·76	+ 24 26 37	+ 51·4
20	3 28 54·4	23·19	+ 17 50 23	+115·0	20	5 21 59·2	23·76	+ 24 31 41	+ 49·9
21	3 31 13·6	23·21	+ 18 1 49	+113·8	21	5 24 21·7	23·76	+ 24 36 36	+ 48·4
22	3 33 32·9	23·23	+ 18 13 9	+112·6	22	5 26 44·3	23·75	+ 24 41 22	+ 47·0
23	3 35 52·3	23·25	+ 18 24 21	+111·4	23	5 29 6·8	23·75	+ 24 45 59	+ 45·5
24	3 38 11·9	23·27	+ 18 35 26	+110·2	24	5 31 29·3	23·75	+ 24 50 28	+ 44·0

Rectascension und Declination des Mondes.

Mittlere Green. Zeit	Rectascension	Aenderung in 10m	Declination + Nord	Aenderung in 10m	Mittlere Green. Zeit	Rectascension	Aenderung in 10m	Declination + Nord	Aenderung in 10m
		Montag 13.					Mittwoch 15.		
h	h m s	s	° ′ ″	″	h	h m s	s	° ′ ″	″
0	5 31 29·3	23·75	+ 24 50 28	+ 44·0	0	7 23 38·0	22·71	+ 25 36 20	− 23·5
1	5 33 51·7	23·74	+ 24 54 48	+ 42·6	1	7 25 54·1	22·67	+ 25 33 55	− 24·8
2	5 36 14·2	23·74	+ 24 58 59	+ 41·1	2	7 28 10·0	22·63	+ 25 31 22	− 26·1
3	5 38 36·6	23·73	+ 25 3 1	+ 39·7	3	7 30 25·7	22·59	+ 25 28 42	− 27·4
4	5 40 59·0	23·72	+ 25 6 55	+ 38·2	4	7 32 41·2	22·56	+ 25 25 54	− 28·6
5	5 43 21·3	23·72	+ 25 10 40	+ 36·7	5	7 34 56·4	22·52	+ 25 22 59	− 29·9
6	5 45 43·6	23·71	+ 25 14 16	+ 35·3	6	7 37 11·4	22·48	+ 25 19 56	− 31·1
7	5 48 5·8	23·70	+ 25 17 43	+ 33·8	7	7 39 26·1	22·44	+ 25 16 45	− 32·4
8	5 50 28·0	23·69	+ 25 21 1	+ 32·3	8	7 41 40·6	22·40	+ 25 13 27	− 33·6
9	5 52 50·1	23·68	+ 25 24 11	+ 30·9	9	7 43 54·8	22·35	+ 25 10 1	− 34·9
10	5 55 12·2	23·67	+ 25 27 11	+ 29·4	10	7 46 8·8	22·31	+ 25 6 29	− 36·1
11	5 57 34·2	23·66	+ 25 30 3	+ 27·9	11	7 48 22·6	22·27	+ 25 2 49	− 37·3
12	5 59 56·1	23·64	+ 25 32 47	+ 26·5	12	7 50 36·1	22·23	+ 24 59 1	− 38·5
13	6 2 17·9	23·63	+ 25 35 21	+ 25·0	13	7 52 49·4	22·19	+ 24 55 6	− 39·7
14	6 4 39·6	23·62	+ 25 37 47	+ 23·6	14	7 55 2·4	22·14	+ 24 51 5	− 40·9
15	6 7 1·3	23·60	+ 25 40 4	+ 22·1	15	7 57 15·1	22·10	+ 24 46 56	− 42·1
16	6 9 22·8	23·59	+ 25 42 13	+ 20·7	16	7 59 27·6	22·06	+ 24 42 39	− 43·3
17	6 11 44·3	23·57	+ 25 44 13	+ 19·2	17	8 1 39·8	22·01	+ 24 38 16	− 44·4
18	6 14 5·7	23·55	+ 25 46 4	+ 17·8	18	8 3 51·8	21·97	+ 24 33 46	− 45·6
19	6 16 26·9	23·53	+ 25 47 46	+ 16·3	19	8 6 3·5	21·93	+ 24 29 9	− 46·8
20	6 18 48·1	23·51	+ 25 49 20	+ 14·9	20	8 8 14·9	21·88	+ 24 24 25	− 47·9
21	6 21 9·1	23·50	+ 25 50 45	+ 13·5	21	8 10 26·1	21·84	+ 24 19 34	− 49·0
22	6 23 30·0	23·48	+ 25 52 2	+ 12·0	22	8 12 37·0	21·79	+ 24 14 36	− 50·2
23	6 25 50·8	23·45	+ 25 53 10	+ 10·6	23	8 14 47·6	21·75	+ 24 9 32	− 51·3
		Dienstag 14.					Donnerstag 16.		
0	6 28 11·5	23·43	+ 25 54 9	+ 9·2	0	8 16 58·0	21·70	+ 24 4 21	− 52·4
1	6 30 32·0	23·41	+ 25 55 0	+ 7·8	1	8 19 8·1	21·66	+ 23 59 3	− 53·5
2	6 32 52·4	23·39	+ 25 55 42	+ 6·4	2	8 21 17·9	21·61	+ 23 53 39	− 54·6
3	6 35 12·6	23·36	+ 25 56 16	+ 4·9	3	8 23 27·4	21·57	+ 23 48 8	− 55·7
4	6 37 32·7	23·34	+ 23 56 42	+ 3·5	4	8 25 36·7	21·52	+ 23 42 30	− 56·8
5	6 39 52·7	23·31	+ 25 56 59	+ 2·1	5	8 27 45·7	21·48	+ 23 36 46	− 57·9
6	6 42 12·5	23·29	+ 25 57 7	+ 0·7	6	8 29 54·4	21·43	+ 23 30 56	− 58·9
7	6 44 32·1	23·26	+ 25 57 7	− 0·7	7	8 32 2·9	21·39	+ 23 24 59	− 60·0
8	6 46 51·6	23·23	+ 25 56 59	− 2·0	8	8 34 11·1	21·34	+ 23 18 56	− 61·0
9	6 49 10·9	23·20	+ 25 56 43	− 3·4	9	8 36 19·0	21·29	+ 23 12 46	− 62·1
10	6 51 30·0	23·17	+ 25 56 18	− 4·8	10	8 38 26·6	21·25	+ 23 6 31	− 63·1
11	6 53 49·0	23·15	+ 25 55 45	− 6·2	11	8 40 33·9	21·20	+ 23 0 9	− 64·1
12	6 56 7·8	23·12	+ 25 55 4	− 7·5	12	8 42 41·0	21·16	+ 22 53 41	− 65·2
13	6 58 26·4	23·08	+ 25 54 15	− 8·9	13	8 44 47·8	21·11	+ 22 47 7	− 66·2
14	7 0 44·8	23·05	+ 25 53 17	− 10·3	14	8 46 54·3	21·06	+ 22 40 27	− 67·2
15	7 3 3·0	23·02	+ 25 52 11	− 11·6	15	8 49 0·6	21·02	+ 22 33 41	− 68·2
16	7 5 21·1	22·99	+ 25 50 57	− 13·0	16	8 51 6·5	20·97	+ 22 26 49	− 69·1
17	7 7 38·9	22·96	+ 25 49 35	− 14·3	17	8 53 12·2	20·93	+ 22 19 51	− 70·1
18	7 9 56·6	22·92	+ 25 48 6	− 15·6	18	8 55 17·7	20·88	+ 22 12 48	− 71·1
19	7 12 14·0	22·89	+ 25 46 28	− 17·0	19	8 57 22·8	20·83	+ 22 5 38	− 72·0
20	7 14 31·2	22·85	+ 25 44 42	− 18·3	20	8 59 27·7	20·79	+ 21 58 23	− 73·0
21	7 16 48·2	22·82	+ 25 42 48	− 19·6	21	9 1 32·3	20·74	+ 21 51 2	− 73·9
22	7 19 5·0	22·78	+ 25 40 47	− 20·9	22	9 3 36·6	20·70	+ 21 43 36	− 74·9
23	7 21 21·6	22·75	+ 25 38 37	− 22·2	23	9 5 40·6	20·65	+ 21 36 4	− 75·8
24	7 23 38·0	22·71	+ 25 36 20	− 23·5	24	9 7 44·4	20·61	+ 21 28 26	− 76·7

Rectascension und Declination des Mondes.

Mittlere Green. Zeit	Rectascension	Aenderung in 10m	Declination + Nord	Aenderung in 10m	Mittlere Green. Zeit	Rectascension	Aenderung in 10m	Declination + Nord	Aenderung in 10m
	Freitag 17.					Sonntag 19.			
h	h m s	s	° ′ ″	″	h	h m s	s	° ′ ″	″
0	9 7 44·4	20·61	+ 21 28 26	− 76·7	0	10 41 56·2	18·78	+ 13 49 26	− 111·6
1	9 9 47·9	20·56	+ 21 20 43	− 77·6	1	10 43 48·8	18·75	+ 13 38 15	− 112·1
2	9 11 51·1	20·52	+ 21 12 55	− 78·5	2	10 45 41·2	18·72	+ 13 27 1	− 112·7
3	9 13 54·1	20·47	+ 21 5 1	− 79·4	3	10 47 33·4	18·69	+ 13 15 43	− 113·2
4	9 15 56·8	20·43	+ 20 57 1	− 80·3	4	10 49 25·5	18·67	+ 13 4 22	− 113·7
5	9 17 59·2	20·38	+ 20 48 57	− 81·2	5	10 51 17·4	18·64	+ 12 52 58	− 114·2
6	9 20 1·4	20·34	+ 20 40 47	− 82·1	6	10 53 9·2	18·62	+ 12 41 31	− 114·7
7	9 22 3·3	20·30	+ 20 32 32	− 82·9	7	10 55 0·8	18·59	+ 12 30 1	− 115·2
8	9 24 5·0	20·25	+ 20 24 12	− 83·8	8	10 56 52·3	18·57	+ 12 18 28	− 115·7
9	9 26 6·4	20·21	+ 20 15 47	− 84·6	9	10 58 43·6	18·54	+ 12 6 52	− 116·2
10	9 28 7·5	20·16	+ 20 7 16	− 85·5	10	11 0 34·8	18·52	+ 11 55 14	− 116·7
11	9 30 8·3	20·12	+ 19 58 41	− 86·3	11	11 2 25·9	18·50	+ 11 43 32	− 117·2
12	9 32 8·9	20·08	+ 19 50 1	− 87·1	12	11 4 16·8	18·47	+ 11 31 47	− 117·6
13	9 34 9·3	20·04	+ 19 41 16	− 87·9	13	11 6 7·6	18·45	+ 11 20 0	− 118·1
14	9 36 9·4	19·99	+ 19 32 26	− 88·7	14	11 7 58·2	18·43	+ 11 8 10	− 118·6
15	9 38 9·2	19·95	+ 19 23 31	− 89·5	15	11 9 48·7	18·41	+ 10 56 17	− 119·0
16	9 40 8·8	19·91	+ 19 14 31	− 90·3	16	11 11 39·1	18·39	+ 10 44 22	− 119·4
17	9 42 8·1	19·87	+ 19 5 27	− 91·1	17	11 13 29·4	18·37	+ 10 32 24	− 119·9
18	9 44 7·2	19·83	+ 18 56 18	− 91·9	18	11 15 19·6	18·35	+ 10 20 24	− 120·3
19	9 46 6·1	19·79	+ 18 47 5	− 92·6	19	11 17 9·6	18·33	+ 10 8 20	− 120·7
20	9 48 4·7	19·75	+ 18 37 47	− 93·4	20	11 18 59·6	18·31	+ 9 56 15	− 121·1
21	9 50 3·1	19·71	+ 18 28 24	− 94·1	21	11 20 49·4	18·30	+ 9 44 7	− 121·5
22	9 52 1·2	19·67	+ 18 18 57	− 94·9	22	11 22 39·1	18·28	+ 9 31 57	− 121·9
23	9 53 59·1	19·63	+ 18 9 25	− 95·6	23	11 24 28·8	18·26	+ 9 19 44	− 122·3
	Samstag 18.					Montag 20.			
0	9 55 56·7	19·59	+ 17 59 49	− 96·4	0	11 26 18·3	18·25	+ 9 7 29	− 122·7
1	9 57 54·2	19·55	+ 17 50 9	− 97·1	1	11 28 7·7	18·23	+ 8 55 12	− 123·1
2	9 59 51·3	19·51	+ 17 40 24	− 97·8	2	11 29 57·1	18·22	+ 8 42 52	− 123·4
3	10 1 48·3	19·47	+ 17 30 35	− 98·5	3	11 31 46·4	18·20	+ 8 30 30	− 123·8
4	10 3 45·0	19·44	+ 17 20 42	− 99·2	4	11 33 35·6	18·19	+ 8 18 6	− 124·2
5	10 5 41·6	19·40	+ 17 10 45	− 99·9	5	11 35 24·7	18·18	+ 8 5 40	− 124·5
6	10 7 37·9	19·36	+ 17 0 44	− 100·6	6	11 37 13·7	18·16	+ 7 53 12	− 124·8
7	10 9 33·9	19·33	+ 16 50 38	− 101·2	7	11 39 2·6	18·15	+ 7 40 42	− 125·2
8	10 11 29·8	19·29	+ 16 40 29	− 101·9	8	11 40 51·5	18·14	+ 7 28 10	− 125·5
9	10 13 25·4	19·26	+ 16 30 15	− 102·6	9	11 42 40·3	18·13	+ 7 15 36	− 125·8
10	10 15 20·8	19·22	+ 16 19 58	− 103·2	10	11 44 29·1	18·12	+ 7 3 0	− 126·1
11	10 17 16·1	19·19	+ 16 9 37	− 103·9	11	11 46 17·8	18·11	+ 6 50 22	− 126·5
12	10 19 11·1	19·15	+ 15 59 12	− 104·5	12	11 48 6·4	18·10	+ 6 37 42	− 126·8
13	10 21 5·9	19·12	+ 15 48 43	− 105·1	13	11 49 55·0	18·09	+ 6 25 1	− 127·1
14	10 23 0·5	19·08	+ 15 38 10	− 105·8	14	11 51 43·6	18·09	+ 6 12 18	− 127·3
15	10 24 54·9	19·05	+ 15 27 34	− 106·4	15	11 53 32·1	18·08	+ 5 59 33	− 127·6
16	10 26 49·1	19·02	+ 15 16 54	− 107·0	16	11 55 20·5	18·07	+ 5 46 46	− 127·9
17	10 28 43·2	18·99	+ 15 6 10	− 107·6	17	11 57 8·9	18·07	+ 5 33 58	− 128·2
18	10 30 37·0	18·96	+ 14 55 23	− 108·2	18	11 58 57·3	18·06	+ 5 21 8	− 128·4
19	10 32 30·6	18·93	+ 14 44 32	− 108·8	19	12 0 45·7	18·06	+ 5 8 17	− 128·7
20	10 34 24·1	18·89	+ 14 33 38	− 109·3	20	12 2 34·0	18·05	+ 4 55 24	− 128·9
21	10 36 17·4	18·86	+ 14 22 40	− 109·9	21	12 4 22·3	18·05	+ 4 42 30	− 129·1
22	10 38 10·5	18·84	+ 14 11 39	− 110·5	22	12 6 10·6	18·05	+ 4 29 34	− 129·4
23	10 40 3·4	18·81	+ 14 0 34	− 111·0	23	12 7 58·9	18·04	+ 4 16 37	− 129·6
24	10 41 56·2	18·78	+ 13 49 26	− 111·6	24	12 9 47·1	18·04	+ 4 3 39	− 129·8

Rectascension und Declination des Mondes.

Mittlere Green. Zeit	Rectascension	Aenderung in 10ᵐ	Declination + Nord − Süd	Aenderung in 10ᵐ	Mittlere Green. Zeit	Rectascension	Aenderung in 10ᵐ	Declination − Süd	Aenderung in 10ᵐ
	Dienstag 21.					Donnerstag 23.			
h	h m s	s	° ′ ″	″	h	h m s	s	° ′ ″	″
0	12 9 47·1	18·04	+4 3 39	−129·8	0	13 37 21·1	18·68	−6 30 6	−131·2
1	12 11 35·4	18·04	+3 50 40	−130·0	1	13 39 13·2	18·71	−6 43 12	−131·0
2	12 13 23·6	18·04	+3 37 39	−130·2	2	13 41 5·6	18·74	−6 56 18	−130·8
3	12 15 11·9	18·04	+3 24 37	−130·4	3	13 42 58·1	18·77	−7 9 22	−130·6
4	12 17 0·1	18·04	+3 11 34	−130·6	4	13 44 50·8	18·80	−7 22 25	−130·4
5	12 18 48·4	18·04	+2 58 29	−130·8	5	13 46 43·7	18·83	−7 35 27	−130·2
6	12 20 36·6	18·04	+2 45 24	−131·0	6	13 48 36·7	18·86	−7 48 28	−130·0
7	12 22 24·9	18·05	+2 32 18	−131·1	7	13 50 30·0	18·89	−8 1 27	−129·8
8	12 24 13·2	18·05	+2 19 11	−131·3	8	13 52 23·4	18·92	−8 14 25	−129·5
9	12 26 1·5	18·05	+2 6 3	−131·4	9	13 54 17·1	18·96	−8 27 22	−129·3
10	12 27 49·9	18·06	+1 52 54	−131·6	10	13 56 10·9	18·99	−8 40 17	−129·0
11	12 29 38·2	18·06	+1 39 44	−131·7	11	13 58 5·0	19·03	−8 53 10	−128·7
12	12 31 26·6	18·07	+1 26 33	−131·8	12	13 59 59·2	19·06	−9 6 1	−128·5
13	12 33 15·1	18·07	+1 13 22	−132·0	13	14 1 53·7	19·10	−9 18 51	−128·2
14	12 35 3·5	18·08	+1 0 10	−132·1	14	14 3 48·4	19·13	−9 31 39	−127·9
15	12 36 52·0	18·09	+0 46 57	−132·2	15	14 5 43·3	19·17	−9 44 26	−127·6
16	12 38 40·6	18·10	+0 33 43	−132·3	16	14 7 38·4	19·21	−9 57 10	−127·2
17	12 40 29·2	18·11	+0 20 29	−132·4	17	14 9 33·8	19·24	−10 9 53	−126·9
18	12 42 17·9	18·11	+0 7 15	−132·5	18	14 11 29·4	19·28	−10 22 33	−126·6
19	12 44 6·6	18·12	−0 6 0	−132·5	19	14 13 25·2	19·32	−10 35 12	−126·2
20	12 45 55·4	18·14	−0 19 16	−132·6	20	14 15 21·2	19·36	−10 47 48	−125·9
21	12 47 44·2	18·15	−0 32 31	−132·7	21	14 17 17·5	19·40	−11 0 22	−125·5
22	12 49 33·1	18·16	−0 45 47	−132·7	22	14 19 14·0	19·44	−11 12 54	−125·1
23	12 51 22·1	18·17	−0 59 4	−132·7	23	14 21 10·8	19·48	−11 25 23	−124·7
	Mittwoch 22.					Freitag 24.			
0	12 53 11·2	18·18	−1 12 20	−132·8	0	14 23 7·8	19·52	−11 37 50	−124·3
1	12 55 0·3	18·20	−1 25 37	−132·8	1	14 25 5·1	19·57	−11 50 15	−123·9
2	12 56 49·5	18·21	−1 38 54	−132·8	2	14 27 2·7	19·61	−12 2 37	−123·5
3	12 58 38·8	18·23	−1 52 11	−132·9	3	14 29 0·5	19·65	−12 14 57	−123·0
4	13 0 28·2	18·24	−2 5 29	−132·9	4	14 30 58·5	19·70	−12 27 14	−122·6
5	13 2 17·7	18·26	−2 18 46	−132·8	5	14 32 56·8	19·74	−12 39 28	−122·1
6	13 4 7·3	18·27	−2 32 3	−132·8	6	14 34 55·4	19·79	−12 51 40	−121·7
7	13 5 57·0	18·29	−2 45 20	−132·8	7	14 36 54·3	19·83	−13 3 48	−121·2
8	13 7 46·8	18·31	−2 58 37	−132·8	8	14 38 53·4	19·88	−13 15 54	−120·7
9	13 9 36·7	18·33	−3 11 53	−132·8	9	14 40 52·8	19·92	−13 27 57	−120·2
10	13 11 26·8	18·35	−3 25 10	−132·7	10	14 42 52·5	19·97	−13 39 57	−119·7
11	13 13 16·9	18·37	−3 38 26	−132·7	11	14 44 52·5	20·02	−13 51 53	−119·2
12	13 15 7·2	18·39	−3 51 42	−132·6	12	14 46 52·8	20·07	−14 3 47	−118·6
13	13 16 57·6	18·41	−4 4 57	−132·5	13	14 48 53·3	20·12	−14 15 37	−118·1
14	13 18 48·1	18·43	−4 18 12	−132·4	14	14 50 54·1	20·16	−14 27 24	−117·5
15	13 20 38·7	18·45	−4 31 26	−132·4	15	14 52 55·3	20·21	−14 39 8	−117·0
16	13 22 29·5	18·47	−4 44 40	−132·3	16	14 54 56·7	20·26	−14 50 48	−116·4
17	13 24 20·4	18·50	−4 57 54	−132·2	17	14 56 58·5	20·31	−15 2 25	−115·8
18	13 26 11·5	18·52	−5 11 6	−132·0	18	14 59 0·5	20·36	−15 13 58	−115·2
19	13 28 2·7	18·55	−5 24 18	−131·9	19	15 1 2·8	20·42	−15 25 27	−114·6
20	13 29 54·1	18·57	−5 37 29	−131·8	20	15 3 5·5	20·47	−15 36 53	−114·0
21	13 31 45·6	18·60	−5 50 40	−131·7	21	15 5 8·4	20·52	−15 48 15	−113·3
22	13 33 37·2	18·63	−6 3 49	−131·5	22	15 7 11·7	20·57	−15 59 33	−112·7
23	13 35 29·1	18·65	−6 16 58	−131·3	23	15 9 15·3	20·62	−16 10 47	−112·0
24	13 37 21·1	18·68	−6 30 6	−131·2	24	15 11 19·2	20·68	−16 21 57	−111·3

Rectascension und Declination des Mondes.

Mittlere Green. Zeit	Rectascension	Aenderung in 10m	Declination — Süd	Aenderung in 10m
	Samstag 25.			
h	h m s	s	° ′ ″	″
0	15 11 19·2	20·68	— 16 21 57	— 111·3
1	15 13 23·4	20·73	— 16 33 3	— 110·7
2	15 15 28·0	20·78	— 16 44 5	— 110·0
3	15 17 32·9	20·84	— 16 55 3	— 109·3
4	15 19 38·1	20·89	— 17 5 56	— 108·5
5	15 21 43·6	20·95	— 17 16 45	— 107·8
6	15 23 49·4	21·00	— 17 27 30	— 107·1
7	15 25 55·6	21·06	— 17 38 10	— 106·3
8	15 28 2·1	21·11	— 17 48 45	— 105·5
9	15 30 9·0	21·17	— 17 59 16	— 104·7
10	15 32 16·2	21·23	— 18 9 42	— 104·0
11	15 34 23·7	21·28	— 18 20 4	— 103·1
12	15 36 31·6	21·34	— 18 30 20	— 102·3
13	15 38 39·8	21·40	— 18 40 31	— 101·5
14	15 40 48·4	21·45	— 18 50 38	— 100·6
15	15 42 57·3	21·51	— 19 0 39	— 99·8
16	15 45 6·5	21·57	— 19 10 35	— 98·9
17	15 47 16·1	21·63	— 19 20 26	— 98·0
18	15 49 26·0	21·68	— 19 30 12	— 97·1
19	15 51 36·3	21·74	— 19 39 52	— 96·2
20	15 53 46·9	21·80	— 19 49 27	— 95·3
21	15 55 57·9	21·86	— 19 58 56	— 94·4
22	15 58 9·2	21·92	— 20 8 19	— 93·4
23	16 0 20·9	21·97	— 20 17 37	— 92·5
	Sonntag 26.			
0	16 2 32·9	22·03	— 20 26 49	— 91·5
1	16 4 45·3	22·09	— 20 35 55	— 90·5
2	16 6 58·1	22·15	— 20 44 55	— 89·5
3	16 9 11·2	22·21	— 20 53 50	— 88·5
4	16 11 24·6	22·27	— 21 2 38	— 87·5
5	16 13 38·4	22·33	— 21 11 20	— 86·5
6	16 15 52·5	22·39	— 21 19 55	— 85·4
7	16 18 7·0	22·44	— 21 28 25	— 84·4
8	16 20 21·8	22·50	— 21 36 48	— 83·3
9	16 22 37·0	22·56	— 21 45 4	— 82·2
10	16 24 52·6	22·62	— 21 53 14	— 81·1
11	16 27 8·4	22·68	— 22 1 18	— 80·0
12	16 29 24·7	22·73	— 22 9 14	— 78·9
13	16 31 41·3	22·79	— 22 17 4	— 77·8
14	16 33 58·2	22·85	— 22 24 47	— 76·6
15	16 36 15·4	22·91	— 22 32 24	— 75·4
16	16 38 33·0	22·96	— 22 39 53	— 74·3
17	16 40 51·0	23·02	— 22 47 15	— 73·1
18	16 43 9·3	23·07	— 22 54 30	— 71·9
19	16 45 27·9	23·13	— 23 1 38	— 70·7
20	16 47 46·9	23·19	— 23 8 38	— 69·5
21	16 50 6·2	23·24	— 23 15 32	— 68·2
22	16 52 25·8	23·30	— 23 22 17	— 67·0
23	16 54 45·7	23·35	— 23 28 56	— 65·8
24	16 57 6·0	23·41	— 23 35 27	— 64·5

Mittlere Green. Zeit	Rectascension	Aenderung in 10m	Declination — Süd	Aenderung in 10m
	Montag 27.			
h	h m s	s	° ′ ″	″
0	16 57 6·0	23·41	— 23 35 27	— 64·5
1	16 59 26·6	23·46	— 23 41 50	— 63·2
2	17 1 47·5	23·51	— 23 48 5	— 61·9
3	17 4 8·8	23·57	— 23 54 13	— 60·6
4	17 6 30·3	23·62	— 24 0 13	— 59·3
5	17 8 52·2	23·67	— 24 6 5	— 58·0
6	17 11 14·4	23·72	— 24 11 49	— 56·7
7	17 13 36·8	23·77	— 24 17 25	— 55·3
8	17 15 59·6	23·82	— 24 22 53	— 54·0
9	17 18 22·7	23·87	— 24 28 12	— 52·6
10	17 20 46·1	23·92	— 24 33 24	— 51·2
11	17 23 9·8	23·97	— 24 38 27	— 49·8
12	17 25 33·7	24·02	— 24 43 22	— 48·4
13	17 27 58·0	24·06	— 24 48 9	— 47·0
14	17 30 22·5	24·11	— 24 52 47	— 45·6
15	17 32 47·3	24·15	— 24 57 16	— 44·2
16	17 35 12·3	24·20	— 25 1 37	— 42·8
17	17 37 37·7	24·24	— 25 5 49	— 41·3
18	17 40 3·2	24·29	— 25 9 53	— 39·9
19	17 42 29·1	24·33	— 25 13 48	— 38·4
20	17 44 55·2	24·37	— 25 17 34	— 36·9
21	17 47 21·5	24·41	— 25 21 11	— 35·5
22	17 49 48·1	24·45	— 25 24 40	— 34·0
23	17 52 14·9	24·49	— 25 27 59	— 32·5
	Dienstag 28.			
0	17 54 42·0	24·53	— 25 31 9	— 31·0
1	17 57 9·3	24·56	— 25 34 11	— 29·5
2	17 59 36·8	24·60	— 25 37 3	— 27·9
3	18 2 4·5	24·64	— 25 39 46	— 26·4
4	18 4 32·4	24·67	— 25 42 20	— 24·9
5	18 7 0·5	24·70	— 25 44 45	— 23·3
6	18 9 28·8	24·74	— 25 47 0	— 21·8
7	18 11 57·3	24·77	— 25 49 6	— 20·2
8	18 14 26·0	24·80	— 25 51 3	— 18·7
9	18 16 54·9	24·83	— 25 52 50	— 17·1
10	18 19 23·9	24·85	— 25 54 28	— 15·5
11	18 21 53·1	24·88	— 25 55 56	— 13·9
12	18 24 22·5	24·91	— 25 57 15	— 12·4
13	18 26 52·0	24·93	— 25 58 25	— 10·8
14	18 29 21·7	24·96	— 25 59 25	— 9·2
15	18 31 51·5	24·98	— 26 0 15	— 7·6
16	18 34 21·4	25·00	— 26 0 56	— 6·0
17	18 36 51·5	25·02	— 26 1 27	— 4·4
18	18 39 21·7	25·04	— 26 1 48	— 2·7
19	18 41 52·0	25·06	— 26 1 59	— 1·1
20	18 44 22·4	25·07	— 26 2 1	+ 0·5
21	18 46 52·9	25·09	— 26 1 53	+ 2·1
22	18 49 23·5	25·11	— 26 1 36	+ 3·7
23	18 51 54·2	25·12	— 26 1 9	+ 5·4
24	18 54 24·9	25·13	— 26 0 32	+ 7·0

Rectascension und Declination des Mondes.

Mittlere Green. Zeit	Rectascension	Aenderung in 10m	Declination — Süd	Aenderung in 10m	Mittlere Green. Zeit	Rectascension	Aenderung in 10m	Declination — Süd	Aenderung in 10m
	Mittwoch 29.					Donnerstag 30.			
h	h m s	s	° ′ ″	″	h	h m s	s	° ′ ″	″
0	18 54 24·9	25·13	— 26 0 32	+ 7·0	0	19 54 49·0	25·09	— 24 56 34	+46·2
1	18 56 55·7	25·14	— 25 59 45	+ 8·6	1	19 57 19·5	25·08	— 24 51 52	+47·8
2	18 59 26·6	25·15	— 25 58 48	+10·3	2	19 59 49·9	25·06	— 24 47 0	+49·4
3	19 1 57·6	25·16	— 25 57 41	+11·9	3	20 2 20·3	25·05	— 24 41 59	+51·0
4	19 4 28·6	25·17	— 25 56 25	+13·6	4	20 4 50·5	25·03	— 24 36 49	+52·6
5	19 6 59·7	25·18	— 25 54 59	+15·2	5	20 7 20·6	25·01	— 24 31 28	+54·2
6	19 9 30·7	25·18	— 25 53 23	+16·8	6	20 9 50·6	24·99	— 24 25 58	+55·7
7	19 12 1·9	25·19	— 25 51 37	+18·5	7	20 12 20·5	24·97	— 24 20 19	+57·3
8	19 14 33·0	25·19	— 25 49 41	+20·1	8	20 14 50·3	24·95	— 24 14 31	+58·9
9	19 17 4·2	25·19	— 25 47 35	+21·8	9	20 17 19·9	24·93	— 24 8 33	+60·4
10	19 19 35·3	25·19	— 25 45 20	+23·4	10	20 19 49·4	24·90	— 24 2 25	+62·0
11	19 22 6·5	25·19	— 25 42 54	+25·0	11	20 22 18·8	24·88	— 23 56 9	+63·5
12	19 24 37·7	25·19	— 25 40 19	+26·7	12	20 24 48·0	24·86	— 23 49 43	+65·1
13	19 27 8·8	25·19	— 25 37 34	+28·3	13	20 27 17·1	24·83	— 23 43 7	+66·6
14	19 29 39·9	25·19	— 25 34 40	+29·9	14	20 29 46·0	24·80	— 23 36 23	+68·1
15	19 32 11·1	25·18	— 25 31 35	+31·6	15	20 32 14·7	24·78	— 23 29 30	+69·7
16	19 34 42·1	25·18	— 25 28 21	+33·2	16	20 34 43·3	24·75	— 23 22 27	+71·2
17	19 37 13·2	25·17	— 25 24 56	+34·8	17	20 37 11·8	24·72	— 23 15 16	+72·7
18	19 39 44·2	25·16	— 25 21 22	+36·5	18	20 39 40·0	24·69	— 23 7 55	+74·2
19	19 42 15·2	25·15	— 25 17 39	+38·1	19	20 42 8·1	24·66	— 23 0 25	+75·7
20	19 44 46·1	25·14	— 25 13 45	+39·7	20	20 44 36·0	24·63	— 22 52 47	+77·1
21	19 47 16·9	25·13	— 25 9 42	+41·4	21	20 47 3·7	24·60	— 22 45 0	+78·6
22	19 49 47·7	25·12	— 25 5 29	+43·0	22	20 49 31·2	24·57	— 22 37 4	+80·1
23	19 52 18·4	25·11	— 25 1 6	+44·6	23	20 51 58·6	24·54	— 22 28 59	+81·5
24	19 54 49·0	25·09	— 24 56 34	+46·2	24	20 54 25·7	24·51	— 22 20 45	+83·0

PHASEN DES MONDES.

Mittlere Greenwicher Zeit.

	h m	
April 1.	18 30·3	☾ Letztes Viertel.
8.	8 57·0	● Neumond.
15.	13 40·4	☽ Erstes Viertel.
23.	17 5·3	○ Vollmond.
	h	
April 6.	22	☾ Perigaeum.
19.	0	☾ Apogaeum.

Venus.

Datum	Rectascension (Mittlerer Greenwicher Mittag)	Stdl. Aend.	Declination — Süd + Nord	Stdl. Aend.	Im Meridian. Mittlere Gr. Zeit
	h m s	s	° ′ ″	″	h m
1	22 7 8.7	+11.32	—11 54 25	+52.0	21 29.4
2	22 11 40.0	+11.30	—11 33 26	+52.9	21 30.0
3	22 16 10.9	+11.28	—11 12 7	+53.7	21 30.6
4	22 20 41.4	+11.26	—10 50 27	+54.6	21 31.1
5	22 25 11.4	+11.24	—10 28 28	+55.4	21 31.7
6	22 29 41.0	+11.22	—10 6 9	+56.2	21 32.2
7	22 34 10.1	+11.20	— 9 43 32	+56.9	21 32.8
8	22 38 38.7	+11.18	— 9 20 38	+57.6	21 33.3
9	22 43 6.9	+11.17	— 8 57 26	+58.3	21 33.8
10	22 47 34.7	+11.15	— 8 33 57	+59.0	21 34.3
11	22 52 2.0	+11.13	— 8 10 12	+59.7	21 34.8
12	22 56 28.9	+11.11	— 7 46 12	+60.3	21 35.3
13	23 0 55.5	+11.10	— 7 21 57	+60.9	21 35.8
14	23 5 21.6	+11.08	— 6 57 28	+61.5	21 36.3
15	23 9 47.4	+11.07	— 6 32 46	+62.0	21 36.8
16	23 14 12.9	+11.05	— 6 7 51	+62.6	21 37.3
17	23 18 38.0	+11.04	— 5 42 43	+63.1	21 37.7
18	23 23 2.9	+11.03	— 5 17 24	+63.5	21 38.2
19	23 27 27.5	+11.02	— 4 51 53	+64.0	21 38.7
20	23 31 51.8	+11.01	— 4 26 12	+64.4	21 39.1
21	23 36 15.9	+11.00	— 4 0 21	+64.8	21 39.6
22	23 40 39.8	+10.99	— 3 34 21	+65.2	21 40.0
23	23 45 3.6	+10.99	— 3 8 13	+65.5	21 40.5
24	23 49 27.2	+10.98	— 2 41 56	+65.8	21 41.0
25	23 53 50.8	+10.98	— 2 15 32	+66.1	21 41.4
26	23 58 14.2	+10.98	— 1 49 2	+66.4	21 41.8
27	0 2 37.6	+10.97	— 1 22 25	+66.7	21 42.3
28	0 7 1.0	+10.97	— 0 55 42	+66.9	21 42.7
29	0 11 24.3	+10.98	— 0 28 55	+67.1	21 43.2
30	0 15 47.8	+10.98	— 0 2 4	+67.2	21 43.6
M. 1	0 20 11.3	+10.98	+ 0 24 51	+67.4	21 44.1

Mars.

Datum	Rectascension (Mittlerer Greenwicher Mittag)	Stdl. Aend.	Declination + Nord	Stdl. Aend.	Im Meridian. Mittlere Gr. Zeit
	h m s	s	° ′ ″	″	h m
1	2 57 49.0	+7.00	+17 22 18	+31.2	2 19.5
2	3 0 37.1	+7.01	+17 34 43	+30.8	2 18.3
3	3 3 25.4	+7.02	+17 46 58	+30.4	2 17.2
4	3 6 14.0	+7.03	+17 59 4	+30.0	2 16.1
5	3 9 2.7	+7.04	+18 11 0	+29.6	2 14.9
6	3 11 51.7	+7.05	+18 22 46	+29.2	2 13.8
7	3 14 40.9	+7.05	+18 34 22	+28.8	2 12.7
8	3 17 30.4	+7.06	+18 45 48	+28.4	2 11.6
9	3 20 20.0	+7.07	+18 57 4	+27.9	2 10.5
10	3 23 9.9	+7.08	+19 8 10	+27.5	2 9.3
11	3 26 0.0	+7.09	+19 19 5	+27.1	2 8.2
12	3 28 50.3	+7.10	+19 29 50	+26.6	2 7.1
13	3 31 40.8	+7.11	+19 40 24	+26.2	2 6.0
14	3 34 31.5	+7.12	+19 50 47	+25.8	2 4.9
15	3 37 22.4	+7.12	+20 1 0	+25.3	2 3.9
16	3 40 13.5	+7.13	+20 11 2	+24.9	2 2.8
17	3 43 4.8	+7.14	+20 20 53	+24.4	2 1.7
18	3 45 56.3	+7.15	+20 30 33	+23.9	2 0.6
19	3 48 47.9	+7.16	+20 40 2	+23.5	1 59.5
20	3 51 39.8	+7.16	+20 49 19	+23.0	1 58.4
21	3 54 31.8	+7.17	+20 58 26	+22.5	1 57.3
22	3 57 24.0	+7.18	+21 7 21	+22.1	1 56.3
23	4 0 16.3	+7.18	+21 16 5	+21.6	1 55.2
24	4 3 8.9	+7.19	+21 24 37	+21.1	1 54.1
25	4 6 1.6	+7.20	+21 32 58	+20.6	1 53.1
26	4 8 54.4	+7.21	+21 41 8	+20.1	1 52.0
27	4 11 47.4	+7.21	+21 49 6	+19.7	1 50.9
28	4 14 40.6	+7.22	+21 56 52	+19.2	1 49.9
29	4 17 34.0	+7.23	+22 4 27	+18.7	1 48.8
30	4 20 27.4	+7.23	+22 11 50	+18.2	1 47.8
M. 1	4 23 21.1	+7.24	+22 19 1	+17.7	1 46.8

Datum (Venus)	Halbmesser	Horizontal-Parallaxe	Datum (Mars)	Halbmesser	Horizontal-Parallaxe
	″	″		″	″
1	8.3	8.6	1	2.3	4.0
11	7.8	8.0	11	2.2	3.9
21	7.3	7.6	21	2.2	3.8
31	6.9	7.1	31	2.1	3.7

Jupiter.

Datum	Mittlerer Greenwicher Mittag. Rectascension	Stdl. Aend.	Declination − Süd	Stdl. Aend.	Im Meridian. Mittlere Gr. Zeit
	h m s	s	° ′ ″	″	h m
1	22 30 44·7	+2·06	−10 16 57	+11·6	21 49·7
2	22 31 33·9	+2·05	−10 12 18	+11·6	21 46·5
3	22 32 23·0	+2·04	−10 7 40	+11·5	21 43·4
4	22 33 11·7	+2·03	−10 3 4	+11·5	21 40·3
5	22 34 0·2	+2·02	− 9 58 28	+11·4	21 37·2
6	22 34 48·5	+2·00	− 9 53 54	+11·4	21 34·0
7	22 35 36·4	+1·99	− 9 49 21	+11·3	21 30·9
8	22 36 24·1	+1·98	− 9 44 49	+11·3	21 27·7
9	22 37 11·5	+1·97	− 9 40 19	+11·2	21 24·6
10	22 37 58·6	+1·96	− 9 35 50	+11·2	21 21·4
11	22 38 45·4	+1·94	− 9 31 22	+11·1	21 18·3
12	22 39 31·9	+1·93	− 9 26 56	+11·1	21 15·1
13	22 40 18·1	+1·92	− 9 22 31	+11·0	21 12·0
14	22 41 4·0	+1·91	− 9 18 8	+10·9	21 8·8
15	22 41 49·6	+1·89	− 9 13 47	+10·9	21 5·6
16	22 42 34·8	+1·88	− 9 9 27	+10·8	21 2·4
17	22 43 19·7	+1·87	− 9 5 9	+10·7	20 59·2
18	22 44 4·3	+1·85	− 9 0 52	+10·7	20 56·0
19	22 44 48·6	+1·84	− 8 56 37	+10·6	20 52·8
20	22 45 32·5	+1·82	− 8 52 24	+10·5	20 49·6
21	22 46 16·1	+1·81	− 8 48 13	+10·4	20 46·4
22	22 46 59·3	+1·79	− 8 44 4	+10·3	20 43·2
23	22 47 42·2	+1·78	− 8 39 56	+10·3	20 39·9
24	22 48 24·7	+1·76	− 8 35 51	+10·2	20 36·7
25	22 49 6·9	+1·75	− 8 31 47	+10·1	20 33·5
26	22 49 48·7	+1·73	− 8 27 46	+10·0	20 30·2
27	22 50 30·1	+1·72	− 8 23 46	+ 9·9	20 27·0
28	22 51 11·2	+1·70	− 8 19 49	+ 9·8	20 23·7
29	22 51 51·9	+1·69	− 8 15 53	+ 9·8	20 20·5
30	22 52 32·2	+1·67	− 8 12 0	+ 9·7	20 17·2
V.1	22 53 12·0	+1·65	− 8 8 9	+ 9·6	20 13·9

Datum	Halbmesser	Horizontal-Parallaxe
	″	″
1	16·3	1·5
11	16·6	1·6
21	16·9	1·6
31	17·3	1·6

Saturn.

Datum	Mittlerer Greenwicher Mittag. Rectascension	Stdl. Aend.	Declination + Nord	Stdl. Aend.	Im Meridian. Mittlere Gr. Zeit
	h m s	s	° ′ ″	″	h m
1	10 55 55·1	−0·60	+9 10 30	+3·5	10 15·9
2	10 55 40·8	−0·59	+9 11 53	+3·4	10 11·7
3	10 55 26·8	−0·58	+9 13 15	+3·4	10 7·6
4	10 55 13·1	−0·57	+9 14 35	+3·3	10 3·4
5	10 54 59·6	−0·56	+9 15 52	+3·2	9 59·3
6	10 54 46·4	−0·54	+9 17 8	+3·1	9 55·1
7	10 54 33·4	−0·53	+9 18 22	+3·0	9 51·0
8	10 54 20·8	−0·52	+9 19 34	+3·0	9 46·8
9	10 54 8·4	−0·51	+9 20 44	+2·9	9 42·7
10	10 53 56·3	−0·50	+9 21 52	+2·8	9 38·6
11	10 53 44·5	−0·48	+9 22 58	+2·7	9 34·4
12	10 53 33·1	−0·47	+9 24 1	+2·6	9 30·3
13	10 53 21·9	−0·46	+9 25 3	+2·5	9 26·2
14	10 53 11·1	−0·44	+9 26 2	+2·4	9 22·1
15	10 53 0·6	−0·43	+9 26 59	+2·3	9 18·0
16	10 52 50·4	−0·42	+9 27 54	+2·2	9 13·9
17	10 52 40·6	−0·40	+9 28 46	+2·1	9 9·8
18	10 52 31·1	−0·39	+9 29 37	+2·0	9 5·7
19	10 52 21·9	−0·38	+9 30 25	+2·0	9 1·6
20	10 52 13·1	−0·36	+9 31 11	+1·9	8 57·6
21	10 52 4·7	−0·35	+9 31 54	+1·8	8 53·5
22	10 51 56·6	−0·33	+9 32 35	+1·7	8 49·4
23	10 51 48·8	−0·32	+9 33 14	+1·6	8 45·4
24	10 51 41·4	−0·30	+9 33 51	+1·5	8 41·3
25	10 51 34·4	−0·28	+9 34 25	+1·4	8 37·3
26	10 51 27·7	−0·27	+9 34 57	+1·3	8 33·2
27	10 51 21·4	−0·25	+9 35 26	+1·2	8 29·2
28	10 51 15·5	−0·24	+9 35 53	+1·1	8 25·2
29	10 51 9·9	−0·23	+9 36 18	+1·0	8 21·2
30	10 51 4·7	−0·21	+9 36 40	+0·9	8 17·1
V.1	10 50 59·9	−0·19	+9 37 0	+0·8	8 13·1

Datum	Halbmesser	Horizontal-Parallaxe
	″	″
1	9·2	1·0
11	9·1	1·0
21	9·0	1·0
31	8·8	1·0

MOND-DISTANZEN.

Mittlere Greenwicher Zeit.

Datum	Namen u. Lage der Sterne		Mittag ° ′ ″	Lg. pr.	III^h ° ′ ″	Lg. pr.	VI^h ° ′ ″	Lg. pr.	IX^h ° ′ ″	Lg. pr.
1	Spica	W.	69 26 48	2547	71 6 56	2532	72 47 24	2519	74 28 11	2506
	Antares	W.	23 39 39	2599	25 18 36	2577	26 58 2	2557	28 37 56	2537
	Venus	O.	57 45 26	2937	56 13 54	2923	54 42 5	2909	53 9 58	2896
	Fomalhaut	O.	61 47 26	2750	60 11 53	2746	58 36 14	2741	57 0 28	2737
	Jupiter	O.	63 43 4	2609	62 4 21	2596	60 25 20	2582	58 46 1	2570
	Sonne	O.	99 38 50	2866	98 5 48	2852	96 32 28	2838	94 58 50	2823
2	Spica	W.	82 56 54	2436	84 39 37	2421	86 22 41	2408	88 6 4	2394
	Antares	W.	37 3 59	2449	38 46 24	2433	40 29 12	2417	42 12 22	2401
	Venus	O.	45 25 0	2827	43 51 7	2814	42 16 57	2801	40 42 30	2788
	Fomalhaut	O.	49 0 50	2735	47 24 56	2739	45 49 8	2746	44 13 29	2755
	Jupiter	O.	50 24 57	2504	48 43 49	2491	47 2 23	2479	45 20 40	2465
	Sonne	O.	87 5 48	2749	85 30 13	2735	83 54 19	2719	82 18 5	2704
3	Spica	W.	96 47 57	2326	98 33 18	2313	100 18 59	2300	102 4 59	2287
	Antares	W.	50 53 49	2326	52 39 11	2311	54 24 54	2297	56 10 58	2283
	Venus	O.	32 46 7	2728	31 10 5	2719	29 33 50	2710	27 57 24	2702
	Fomalhaut	O.	36 19 47	2859	34 46 36	2898	33 14 14	2945	31 42 52	3003
	Jupiter	O.	36 47 39	2406	35 4 13	2396	33 20 32	2386	31 36 37	2376
	Sonne	O.	74 11 56	2631	72 33 43	2616	70 55 10	2602	69 16 18	2588
4	Antares	W.	65 6 20	2217	66 54 22	2204	68 42 43	2192	70 31 22	2181
	Sonne	O.	60 57 16	2522	59 16 33	2509	57 35 32	2497	55 54 15	2485
5	Antares	W.	79 38 48	2128	81 29 4	2120	83 19 33	2111	85 10 15	2103
	Sonne	O.	47 23 56	2434	45 41 10	2426	43 58 12	2418	42 15 3	2411
6	Antares	W.	94 26 35	2071	96 18 19	2066	98 10 10	2063	100 2 6	2059
	Sonne	O.	33 37 6	2387	31 53 13	2385	30 9 17	2385	28 25 21	2387
10	Sonne	W.	22 17 26	2604	23 56 15	2613	25 34 52	2623	27 13 15	2636
	Pollux	O.	69 35 50	2242	67 48 25	2257	66 1 23	2273	64 14 44	2289
	Regulus	O.	105 47 30	2250	104 0 17	2266	102 13 27	2281	100 26 59	2296
11	Sonne	W.	35 20 37	2710	36 57 4	2727	38 33 8	2744	40 8 49	2762
	Pollux	O.	55 27 33	2375	53 43 22	2393	51 59 37	2411	50 16 18	2430
	Regulus	O.	91 40 34	2380	89 56 31	2398	88 12 53	2416	86 29 41	2433
	Saturn	O.	104 31 12	2357	102 46 35	2373	101 2 22	2391	99 18 35	2410
12	Sonne	W.	48 1 18	2855	49 34 35	2873	51 7 28	2892	52 39 57	2912
	Pollux	O.	41 46 19	2524	40 5 39	2543	38 25 26	2563	36 45 40	2582
	Regulus	O.	78 0 4	2525	76 19 26	2544	74 39 14	2562	72 59 27	2581
	Saturn	O.	90 46 5	2500	89 4 52	2519	87 24 5	2537	85 43 43	2555
13	Sonne	W.	60 16 19	3006	61 46 24	3024	63 16 7	3043	64 45 27	3060
	Mars	W.	28 8 19	2899	29 40 39	2916	31 12 37	2934	32 44 13	2952
	Regulus	O.	64 46 53	2672	63 9 36	2691	61 32 44	2708	59 56 15	2726
	Saturn	O.	77 28 8	2645	75 50 14	2663	74 12 44	2681	72 35 38	2697
14	Sonne	W.	72 6 40	3148	73 33 52	3163	75 0 45	3180	76 27 18	3196
	Mars	W.	40 16 46	3036	41 46 14	3052	43 15 22	3067	44 44 12	3083
	Aldebaran	W.	29 11 25	2874	30 44 17	2881	32 17 0	2890	33 49 31	2900
	Regulus	O.	51 59 39	2812	50 25 27	2828	48 51 36	2845	47 18 6	2861
	Saturn	O.	64 35 43	2779	63 0 48	2795	61 26 14	2811	59 52 0	2825
	Spica	O.	106 3 5	2811	104 28 51	2825	102 54 56	2841	101 21 21	2855

MOND-DISTANZEN.

Mittlere Greenwicher Zeit.

Datum	Namen u. Lage der Sterne	Mitternacht	Lg. pr.	XV^h	Lg. pr.	XVIII^h	Lg. pr.	XXI^h	Lg. pr.
		° ′ ″		° ′ ″		° ′ ″		° ′ ″	
1	Spica W.	76 9 16	2492	77 50 41	2477	79 32 26	2464	81 14 30	2450
	Antares W.	30 18 18	2518	31 59 6	2500	33 40 19	2482	35 21 57	2465
	Venus O.	51 37 34	2882	50 4 52	2868	48 31 52	2855	46 58 35	2841
	Fomalhaut O.	55 24 37	2734	53 48 42	2732	52 12 45	2731	50 36 47	2731
	Jupiter O.	57 6 25	2556	55 26 30	2543	53 46 17	2530	52 5 46	2517
	Sonne O.	93 24 52	2808	91 50 35	2794	90 15 59	2778	88 41 3	2764
2	Spica W.	89 49 47	2380	91 33 50	2367	93 18 12	2353	95 2 55	2339
	Antares W.	43 55 55	2385	45 39 51	2370	47 24 9	2355	49 8 48	2340
	Venus O.	39 7 46	2775	37 32 45	2762	35 57 28	2750	34 21 55	2739
	Fomalhaut O.	42 38 2	2768	41 2 52	2783	39 28 2	2803	37 53 38	2828
	Jupiter O.	43 38 38	2453	41 56 19	2441	40 13 43	2429	38 30 49	2417
	Sonne O.	80 41 31	2689	79 4 37	2675	77 27 23	2660	75 49 49	2646
3	Spica W.	103 51 18	2274	105 37 56	2262	107 24 52	2249	109 12 6	2237
	Antares W.	57 57 22	2269	59 44 7	2255	61 31 12	2243	63 18 36	2229
	Venus O.	26 20 47	2696	24 44 2	2692	23 7 11	2692	21 30 20	2694
	Fomalhaut O.	30 12 43	3073	28 44 1	3160	27 17 4	3268	25 52 15	3401
	Jupiter O.	29 52 28	2368	28 8 8	2362	26 23 38	2356	24 39 0	2353
	Sonne O.	67 37 7	2574	65 57 37	2561	64 17 48	2548	62 37 41	2535
4	Antares W.	72 20 18	2169	74 9 32	2159	75 59 2	2149	77 48 47	2138
	Sonne O.	54 12 41	2474	52 30 52	2464	50 48 48	2453	49 6 29	2443
5	Antares W.	87 1 10	2096	88 52 16	2088	90 43 33	2082	92 35 0	2077
	Sonne O.	40 31 44	2405	38 48 16	2398	37 4 39	2394	35 20 55	2390
6	Antares W.	101 54 8	2057	103 46 14	2055	105 38 22	2054	107 30 32	2053
	Sonne O.	26 41 27	2389	24 57 36	2394	23 13 52	2401	21 30 19	2411
10	Sonne W.	28 51 21	2649	30 29 9	2663	32 6 39	2678	33 43 49	2694
	Pollux O.	62 28 29	2306	60 42 38	2322	58 57 11	2339	57 12 9	2357
	Regulus O.	98 40 54	2313	96 55 13	2328	95 9 55	2346	93 25 2	2363
11	Sonne W.	41 44 6	2780	43 19 0	2798	44 53 30	2817	46 27 36	2835
	Pollux O.	48 33 26	2448	46 50 59	2467	45 8 59	2486	43 27 26	2504
	Regulus O.	84 46 54	2451	83 4 32	2470	81 22 37	2488	79 41 7	2507
	Saturn O.	97 35 14	2427	95 52 18	2445	94 9 48	2464	92 27 44	2482
12	Sonne W.	54 12 1	2931	55 43 41	2950	57 14 57	2968	58 45 50	2987
	Pollux O.	35 6 21	2601	33 27 28	2622	31 49 3	2642	30 11 5	2660
	Regulus O.	71 20 6	2599	69 41 10	2618	68 2 39	2637	66 24 34	2654
	Saturn O.	84 3 46	2573	82 24 14	2592	80 45 8	2610	79 6 26	2627
13	Sonne W.	66 14 25	3079	67 43 0	3096	69 11 15	3114	70 39 8	3132
	Mars W.	34 15 26	2969	35 46 18	2986	37 16 48	3003	38 46 57	3019
	Regulus O.	58 20 10	2744	56 44 28	2761	55 9 9	2778	53 34 13	2795
	Saturn O.	70 58 54	2715	69 22 34	2731	67 46 35	2747	66 10 58	2764
14	Sonne W.	77 53 32	3211	79 19 28	3226	80 45 6	3241	82 10 27	3254
	Mars W.	46 12 42	3098	47 40 54	3112	49 8 49	3127	50 36 26	3140
	Aldebaran W.	35 21 50	2909	36 53 58	2919	38 25 53	2928	39 57 36	2939
	Regulus O.	45 44 57	2876	44 12 8	2892	42 39 39	2908	41 7 30	2923
	Saturn O.	58 18 5	2840	56 44 29	2855	55 11 12	2869	53 38 13	2882
	Spica O.	99 48 4	2869	98 15 6	2883	96 42 25	2897	95 10 2	2909

MOND-DISTANZEN.

Mittlere Greenwicher Zeit.

Datum	Namen u. Lage der Sterne		Mittag	Lg. pr.	III^h	Lg. pr.	VI^h	Lg. pr.	IX^h	Lg. pr.
			° ′ ″		° ′ ″		° ′ ″		° ′ ″	
15	Sonne	W.	83 35 32	3269	85 0 20	3282	86 24 53	3295	87 49 10	3307
	Mars	W.	52 3 47	3154	53 30 51	3167	54 57 40	3179	56 24 14	3192
	Aldebaran	W.	41 29 6	2948	43 0 24	2958	44 31 29	2967	46 2 23	2977
	Regulus	O.	39 35 40	2939	38 4 10	2953	36 32 58	2968	35 2 5	2983
	Saturn	O.	52 5 31	2895	50 33 6	2908	49 0 57	2920	47 29 4	2933
	Spica	O.	93 37 55	2923	92 6 5	2934	90 34 30	2946	89 3 10	2958
16	Sonne	W.	94 47 13	3363	96 10 12	3371	97 33 1	3381	98 55 39	3389
	Mars	W.	63 33 37	3245	64 58 53	3254	66 23 58	3263	67 48 53	3272
	Aldebaran	W.	53 33 58	3021	55 3 45	3027	56 33 24	3035	58 2 53	3043
	Saturn	O.	39 53 22	2988	38 22 54	2997	36 52 38	3007	35 22 34	3017
	Spica	O.	81 29 59	3010	79 59 59	3018	78 30 9	3027	77 0 30	3036
17	Sonne	W.	105 46 35	3425	107 8 23	3431	108 30 5	3436	109 51 41	3441
	Mars	W.	74 51 10	3306	76 15 15	3312	77 39 13	3317	79 3 5	3320
	Aldebaran	W.	65 28 17	3072	66 57 1	3076	68 25 40	3081	69 54 13	3084
	Pollux	W.	21 17 8	3088	22 45 32	3089	24 13 55	3089	25 42 18	3091
	Saturn	O.	27 55 3	3060	26 26 4	3069	24 57 16	3078	23 28 39	3086
	Spica	O.	69 34 40	3070	68 5 54	3076	66 37 15	3082	65 8 43	3086
18	Sonne	W.	116 38 32	3457	117 59 44	3458	119 20 55	3460	120 42 4	3462
	Mars	W.	86 1 21	3336	87 24 51	3338	88 48 19	3338	90 11 46	3340
	Aldebaran	W.	77 16 1	3097	78 44 14	3099	80 12 25	3100	81 40 35	3101
	Pollux	W.	33 3 54	3094	34 32 11	3095	36 0 27	3095	37 28 43	3094
	Spica	O.	57 47 22	3105	56 19 18	3107	54 51 17	3110	53 23 20	3113
	Antares	O.	103 38 44	3088	102 10 20	3090	100 41 58	3091	99 13 38	3091
19	Mars	W.	97 8 54	3338	98 32 22	3336	99 55 52	3333	101 19 25	3331
	Aldebaran	W.	89 1 22	3098	90 29 34	3096	91 57 48	3095	93 26 4	3092
	Pollux	W.	44 50 18	3088	46 18 42	3086	47 47 8	3083	49 15 38	3081
	Spica	O.	46 4 3	3119	44 36 16	3119	43 8 29	3119	41 40 43	3120
	Antares	O.	91 51 57	3090	90 23 35	3087	88 55 10	3086	87 26 44	3083
20	Pollux	W.	56 39 2	3063	58 7 57	3058	59 36 58	3054	61 6 4	3049
	Regulus	W.	20 49 43	3164	22 16 35	3147	23 43 48	3132	25 11 19	3118
	Spica	O.	34 22 3	3123	32 54 22	3125	31 26 43	3127	29 59 6	3130
	Antares	O.	80 3 40	3068	78 34 51	3064	77 5 57	3059	75 36 57	3055
21	Pollux	W.	68 33 13	3020	70 3 1	3015	71 32 56	3008	73 2 59	3001
	Regulus	W.	32 32 42	3062	34 1 38	3052	35 30 46	3043	37 0 6	3033
	Antares	O.	68 10 30	3028	66 40 52	3022	65 11 7	3017	63 41 15	3010
22	Pollux	W.	80 35 26	2965	82 6 23	2957	83 37 30	2950	85 8 46	2942
	Regulus	W.	44 29 37	2988	46 0 5	2979	47 30 44	2969	49 1 35	2961
	Saturn	W.	32 2 25	2968	33 33 18	2958	35 4 23	2949	36 35 40	2940
	Antares	O.	56 9 53	2977	54 39 12	2970	53 8 22	2963	51 37 23	2957
	α Aquilæ	O.	103 6 11	3793	101 51 2	3777	100 35 36	3761	99 19 53	3745
23	Pollux	W.	92 47 38	2901	94 19 56	2892	95 52 25	2884	97 25 4	2876
	Regulus	W.	56 38 39	2916	58 10 38	2907	59 42 48	2898	61 15 10	2888
	Saturn	W.	44 14 51	2896	45 47 15	2887	47 19 51	2878	48 52 38	2869
	Antares	O.	44 0 17	2921	42 28 25	2915	40 56 25	2908	39 24 16	2901
	α Aquilæ	O.	92 57 42	3685	91 40 39	3676	90 23 26	3667	89 6 4	3659

MOND-DISTANZEN.

Mittlere Greenwicher Zeit.

Datum	Namen u. Lage der Sterne		Mitternacht	Lg. pr.	XV[h]	Lg. pr.	XVIII[h]	Lg. pr.	XXI[h]	Lg. pr.
			° ′ ″		° ′ ″		° ′ ″		° ′ ″	
15	Sonne	W.	89 13 13	3319	90 37 2	3331	92 0 38	3341	93 24 2	3352
	Mars	W.	57 50 33	3203	59 16 39	3214	60 42 31	3225	62 8 10	3236
	Aldebaran	W.	47 33 4	2987	49 3 34	2995	50 33 53	3004	52 4 1	3013
	Regulus	O.	33 31 31	2998	32 1 16	3013	30 31 19	3029	29 1 42	3043
	Saturn	O.	45 57 27	2945	44 26 5	2956	42 54 57	2967	41 24 3	2977
	Spica	O.	87 32 5	2969	86 1 14	2980	84 30 36	2990	83 0 11	3001
16	Sonne	W.	100 18 8	3398	101 40 27	3406	103 2 37	3412	104 24 40	3419
	Mars	W.	69 13 37	3279	70 38 13	3287	72 2 40	3294	73 26 59	3300
	Aldebaran	W.	59 32 13	3049	61 1 25	3056	62 30 29	3061	63 59 26	3066
	Saturn	O.	33 52 42	3026	32 23 1	3034	30 53 31	3043	29 24 12	3052
	Spica	O.	75 31 2	3044	74 1 44	3051	72 32 34	3058	71 3 33	3064
17	Sonne	W.	111 13 11	3445	112 34 37	3448	113 55 59	3452	115 17 17	3454
	Mars	W.	80 26 53	3325	81 50 36	3329	83 14 14	3331	84 37 49	3334
	Aldebaran	W.	71 22 42	3087	72 51 7	3091	74 19 28	3093	75 47 46	3096
	Pollux	W.	27 10 39	3091	28 39 0	3092	30 7 19	3093	31 35 37	3094
	Saturn	O.	22 0 12	3096	20 31 57	3105	19 3 54	3118	17 36 6	3130
	Spica	O.	63 40 17	3091	62 11 56	3095	60 43 40	3099	59 15 29	3102
18	Sonne	W.	122 3 11	3462	123 24 18	3462	124 45 25	3462	126 6 32	3461
	Mars	W.	91 35 11	3340	92 58 36	3340	94 22 1	3339	95 45 27	3338
	Aldebaran	W.	83 8 44	3101	84 36 53	3101	86 5 2	3101	87 33 11	3099
	Pollux	W.	38 57 0	3093	40 25 18	3093	41 53 36	3091	43 21 56	3090
	Spica	O.	51 55 26	3114	50 27 33	3114	48 59 41	3116	47 31 51	3118
	Antares	O.	97 45 18	3091	96 16 58	3092	94 48 39	3091	93 20 19	3090
19	Mars	W.	102 43 1	3328	104 6 40	3325	105 30 22	3321	106 54 9	3318
	Aldebaran	W.	94 54 23	3090	96 22 45	3087	97 51 10	3084	99 19 39	3081
	Pollux	W.	50 44 11	3078	52 12 47	3074	53 41 28	3071	55 10 13	3068
	Spica	O.	40 12 58	3120	38 45 13	3121	37 17 29	3122	35 49 45	3123
	Antares	O.	85 58 14	3081	84 29 41	3078	83 1 5	3075	81 32 25	3071
20	Pollux	W.	62 35 16	3043	64 4 35	3038	65 34 1	3033	67 3 33	3026
	Regulus	W.	26 39 7	3105	28 7 10	3094	29 35 27	3082	31 3 58	3072
	Spica	O.	28 31 33	3133	27 4 4	3138	25 36 41	3146	24 9 27	3156
	Antares	O.	74 7 52	3050	72 38 41	3045	71 9 24	3039	69 40 0	3034
21	Pollux	W.	74 33 11	2994	76 3 31	2986	77 34 1	2980	79 4 39	2973
	Regulus	W.	38 29 38	3024	39 59 21	3015	41 29 15	3006	42 59 20	2997
	Antares	O.	62 11 15	3003	60 41 6	2997	59 10 50	2991	57 40 26	2984
22	Pollux	W.	86 40 12	2934	88 11 48	2925	89 43 35	2918	91 15 31	2909
	Regulus	W.	50 32 37	2951	52 3 51	2943	53 35 15	2934	55 6 51	2924
	Saturn	W.	38 7 8	2931	39 38 47	2923	41 10 37	2914	42 42 38	2905
	Antares	O.	50 6 16	2949	48 34 59	2942	47 3 34	2935	45 32 0	2928
	α Aquilæ	O.	98 3 54	3732	96 47 41	3719	95 31 14	3707	94 14 34	3695
23	Pollux	W.	98 57 54	2867	100 30 55	2859	102 4 7	2850	103 37 30	2841
	Regulus	W.	62 47 44	2880	64 20 29	2870	65 53 26	2861	67 26 35	2852
	Saturn	W.	50 25 37	2860	51 58 47	2852	53 32 8	2842	55 5 41	2834
	Antares	O.	37 51 59	2895	36 19 34	2889	34 47 1	2883	33 14 21	2878
	α Aquilæ	O.	87 48 33	3652	86 30 55	3646	85 13 10	3641	83 55 20	3637

MOND-DISTANZEN.

Mittlere Greenwicher Zeit.

Datum	Namen u. Lage der Sterne		Mittag	Lg. pr.	III^h	Lg. pr.	VI^h	Lg. pr.	IX^h	Lg. pr.
			° ′ ″		° ′ ″		° ′ ″		° ′ ″	
24	Regulus	W.	68 59 55	2843	70 33 27	2834	72 7 10	2825	73 41 5	2816
	Saturn	W.	56 39 25	2824	58 13 21	2815	59 47 29	2807	61 21 48	2798
	Antares	O.	31 41 34	2873	30 8 41	2869	28 35 42	2866	27 2 39	2864
	α Aquilæ	O.	82 37 26	3635	81 19 29	3633	80 1 30	3632	78 43 30	3632
25	Regulus	W.	81 33 37	2771	83 8 43	2762	84 44 0	2753	86 19 29	2744
	Saturn	W.	69 16 20	2753	70 51 49	2744	72 27 30	2736	74 3 22	2727
	Spica	W.	27 46 13	2848	29 19 38	2831	30 53 25	2815	32 27 33	2800
	α Aquilæ	O.	72 14 3	3654	70 56 27	3663	69 39 0	3673	68 21 44	3686
	Fomalhaut	O.	102 6 15	2933	100 34 38	2923	99 2 48	2912	97 30 45	2902
26	Regulus	W.	94 19 49	2701	95 56 28	2692	97 33 19	2683	99 10 21	2675
	Saturn	W.	82 5 40	2683	83 42 43	2675	85 19 57	2666	86 57 23	2657
	Spica	W.	40 22 52	2735	41 58 46	2722	43 34 56	2712	45 11 21	2701
	α Aquilæ	O.	61 59 26	3780	60 44 3	3807	59 29 8	3837	58 14 44	3871
	Fomalhaut	O.	89 47 23	2855	88 14 7	2848	86 40 41	2839	85 7 4	2831
	Jupiter	O.	97 57 11	2761	96 21 52	2751	94 46 20	2743	93 10 37	2734
	α Pegasi	O.	108 5 8	3137	106 37 43	3120	105 9 58	3105	103 41 54	3091
27	Saturn	W.	95 7 28	2614	96 46 4	2606	98 24 51	2597	100 3 50	2588
	Spica	W.	53 17 0	2649	54 54 49	2638	56 32 52	2628	58 11 9	2619
	α Aquilæ	O.	52 12 39	4105	51 2 42	4168	49 53 46	4239	48 45 57	4318
	Fomalhaut	O.	77 16 32	2796	75 41 59	2790	74 7 18	2785	72 32 30	2779
	Jupiter	O.	85 9 3	2689	83 32 9	2681	81 55 3	2672	80 17 45	2663
	α Pegasi	O.	96 17 24	3027	94 47 45	3017	93 17 53	3006	91 47 48	2997
	Venus	O.	104 24 23	3034	102 54 52	3024	101 25 9	3014	99 55 14	3005
28	Spica	W.	66 25 47	2572	68 5 21	2562	69 45 8	2553	71 25 8	2544
	Antares	W.	20 40 19	2639	22 18 21	2618	23 56 51	2600	25 35 46	2583
	Fomalhaut	O.	64 36 55	2759	63 1 33	2757	61 26 9	2755	59 50 42	2754
	Jupiter	O.	72 8 19	2620	70 29 51	2610	68 51 10	2602	67 12 18	2593
	α Pegasi	O.	84 14 44	2960	82 43 41	2954	81 12 30	2949	79 41 13	2945
	Venus	O.	92 22 40	2956	90 51 32	2947	89 20 13	2938	87 48 42	2927
	Sonne	O.	129 3 44	2881	127 31 1	2871	125 58 5	2862	124 24 57	2852
29	Spica	W.	79 48 17	2498	81 29 33	2489	83 11 2	2480	84 52 43	2471
	Antares	W.	33 55 38	2514	35 36 31	2502	37 17 41	2491	38 59 7	2480
	Fomalhaut	O.	51 53 33	2764	50 18 18	2769	48 43 10	2776	47 8 11	2786
	Jupiter	O.	58 55 2	2551	57 15 0	2543	55 34 46	2534	53 54 20	2527
	α Pegasi	O.	72 3 48	2935	70 32 14	2937	69 0 42	2939	67 29 12	2942
	Venus	O.	80 8 0	2880	78 35 15	2870	77 2 18	2860	75 29 8	2851
	Sonne	O.	116 36 7	2803	115 1 43	2793	113 27 6	2784	111 52 17	2774
30	Spica	W.	93 24 16	2427	95 7 12	2419	96 50 20	2410	98 33 41	2401
	Antares	W.	47 30 2	2428	49 12 57	2418	50 56 6	2408	52 39 29	2398
	Fomalhaut	O.	39 17 25	2873	37 44 31	2902	36 12 15	2937	34 40 43	2978
	Jupiter	O.	45 29 25	2487	43 47 53	2480	42 6 11	2472	40 24 18	2465
	α Pegasi	O.	59 53 17	2980	58 22 39	2992	56 52 16	3008	55 22 13	3026
	Venus	O.	67 40 13	2803	66 5 49	2793	64 31 12	2784	62 56 23	2774
	Sonne	O.	103 55 0	2726	102 18 55	2716	100 42 37	2707	99 6 6	2697

MOND-DISTANZEN.

Mittlere Greenwicher Zeit.

Datum	Namen u. Lage der Sterne	Mitter- nacht	Lg. pr.	XVʰ	Lg. pr.	XVIIIʰ	Lg. pr.	XXIʰ	Lg. pr.
		° ′ ″		° ′ ″		° ′ ″		° ′ ″	
24	Regulus W.	75 15 12	2807	76 49 31	2798	78 24 2	2789	79 58 44	2781
	Saturn W.	62 56 19	2788	64 31 2	2780	66 5 56	2771	67 41 2	2762
	Antares O.	25 29 34	2862	23 56 27	2862	22 23 20	2866	20 50 17	2871
	α Aquilæ O.	77 25 30	3634	76 7 32	3636	74 49 37	3641	73 31 47	3647
25	Regulus W.	87 55 10	2735	89 31 3	2727	91 7 7	2719	92 43 22	2710
	Saturn W.	75 39 26	2718	77 15 42	2709	78 52 10	2701	80 28 49	2692
	Spica W.	34 2 1	2785	35 36 48	2772	37 11 52	2759	38 47 14	2747
	α Aquilæ O.	67 4 42	3699	65 47 54	3716	64 31 24	3735	63 15 14	3756
	Fomalhaut O.	95 58 29	2892	94 26 0	2883	92 53 20	2873	91 20 27	2865
26	Regulus W.	100 47 34	2666	102 24 59	2658	104 2 35	2649	105 40 23	2641
	Saturn W.	88 35 1	2649	90 12 50	2640	91 50 51	2632	93 29 3	2622
	Spica W.	46 48 0	2689	48 24 54	2679	50 2 2	2669	51 39 24	2658
	α Aquilæ O.	57 0 55	3909	55 47 44	3950	54 35 15	3997	53 23 32	4047
	Fomalhaut O.	83 33 17	2824	81 59 20	2816	80 25 13	2809	78 50 57	2802
	Jupiter O.	91 34 42	2725	89 58 35	2716	88 22 17	2707	86 45 46	2698
	α Pegasi O.	102 13 33	3076	100 44 54	3063	99 15 59	3051	97 46 49	3038
27	Saturn W.	101 43 1	2580	103 22 24	2572	105 1 58	2563	106 41 44	2554
	Spica W.	59 49 38	2609	61 28 21	2600	63 7 16	2590	64 46 25	2580
	α Aquilæ O.	47 39 21	4406	46 34 5	4503	45 30 16	4611	44 28 1	4733
	Fomalhaut O.	70 57 35	2774	69 22 33	2769	67 47 25	2766	66 12 12	2762
	Jupiter O.	78 40 16	2654	77 2 34	2646	75 24 41	2637	73 46 36	2628
	α Pegasi O.	90 17 31	2989	88 47 4	2981	87 16 27	2973	85 45 40	2965
	Venus O.	98 25 7	2995	96 54 48	2986	95 24 18	2976	93 53 35	2966
28	Spica W.	73 5 20	2534	74 45 46	2525	76 26 24	2517	78 7 14	2507
	Antares W.	27 15 4	2567	28 54 44	2553	30 34 44	2540	32 15 2	2527
	Fomalhaut O.	58 15 14	2754	56 39 46	2755	55 4 19	2756	53 28 54	2760
	Jupiter O.	65 33 14	2585	63 53 59	2576	62 14 31	2568	60 34 52	2560
	α Pegasi O.	78 9 51	2941	76 38 24	2939	75 6 54	2937	73 35 22	2935
	Venus O.	86 16 58	2918	84 45 2	2908	83 12 54	2898	81 40 33	2889
	Sonne O.	122 51 36	2842	121 18 3	2832	119 44 17	2822	118 10 18	2813
29	Spica W.	86 34 37	2462	88 16 43	2454	89 59 1	2445	91 41 32	2437
	Antares W.	40 40 48	2469	42 22 45	2459	44 4 56	2448	45 47 22	2438
	Fomalhaut O.	45 33 25	2798	43 58 54	2811	42 24 41	2828	40 50 50	2848
	Jupiter O.	52 13 44	2518	50 32 56	2510	48 51 56	2502	47 10 46	2494
	α Pegasi O.	65 57 46	2946	64 26 26	2952	62 55 13	2959	61 24 9	2969
	Venus O.	73 55 46	2841	72 22 11	2831	70 48 24	2822	69 14 25	2812
	Sonne O.	110 17 15	2765	108 42 1	2754	107 6 33	2745	105 30 53	2735
30	Spica W.	100 17 14	2393	102 0 59	2384	103 44 56	2376	105 29 5	2368
	Antares W.	54 23 6	2389	56 6 56	2380	57 51 0	2371	59 35 17	2362
	Fomalhaut O.	33 10 3	3028	31 40 25	3087	30 12 0	3159	28 45 2	3247
	Jupiter O.	38 42 16	2458	37 0 4	2452	35 17 44	2447	33 35 16	2441
	α Pegasi O.	53 52 32	3046	52 23 16	3070	50 54 30	3097	49 26 17	3128
	Venus O.	61 21 21	2765	59 46 7	2756	58 10 41	2747	56 35 3	2737
	Sonne O.	97 29 22	2687	95 52 25	2678	94 15 16	2669	92 37 55	2660

Tag im Jahre	Wochentag und Datum		Mittlerer Greenwicher Mittag. Sonne. Rectascension	Stdl. Aend.	Declination + Nord	Stündl. Aenderung	Halbmesser	Zeitgleichung — Von der wahren Zeit zu subtrah.	Stündl. Aenderung	Declination der Sonne im wahren Greenwicher Mittage
			h m s	s	° ′ ″	″	″ ′	m s	s	° ′ ″
121	Freitag	1	2 33 31·5	9·54	+15 4 36	+45·4	15 54	—2 59·0	—0·32	+15 4 34
122	Samstag	2	2 37 20·8	9·57	+15 22 38	+44·8	15 54	—3 6·3	—0·29	+15 22 35
123	Sonntag	3	2 41 10·7	9·59	+15 40 24	+44·1	15 54	—3 13·0	—0·27	+15 40 22
124	Montag	4	2 45 1·1	9·61	+15 57 56	+43·5	15 53	—3 19·1	—0·24	+15 57 53
125	Dienst.	5	2 48 52·1	9·64	+16 15 11	+42·8	15 53	—3 24·7	—0·22	+16 15 9
126	Mittw.	6	2 52 43·7	9·66	+16 32 10	+42·1	15 53	—3 29·7	—0·20	+16 32 8
127	Donner.	7	2 56 35·8	9·68	+16 48 53	+41·4	15 53	—3 34·1	—0·17	+16 48 51
128	Freitag	8	3 0 28·5	9·71	+17 5 20	+40·7	15 53	—3 37·9	—0·15	+17 5 17
129	Samstag	9	3 4 21·8	9·73	+17 21 29	+40·0	15 52	—3 41·2	—0·13	+17 21 26
130	Sonntag	10	3 8 15·7	9·76	+17 37 20	+39·3	15 52	—3 43·9	—0·10	+17 37 18
131	Montag	11	3 12 10·1	9·78	+17 52 54	+38·6	15 52	—3 46·0	—0·08	+17 52 52
132	Dienst.	12	3 16 5·1	9·80	+18 8 10	+37·8	15 52	—3 47·6	—0·05	+18 8 8
133	Mittw.	13	3 20 0·6	9·83	+18 23 8	+37·0	15 51	—3 48·6	—0·03	+18 23 6
134	Donner.	14	3 23 56·7	9·85	+18 37 47	+36·2	15 51	—3 49·1	—0·01	+18 37 45
135	Freitag	15	3 27 53·4	9·87	+18 52 7	+35·4	15 51	—3 49·0	+0·02	+18 52 5
136	Samstag	16	3 31 50·6	9·89	+19 6 8	+34·6	15 51	—3 48·3	+0·04	+19 6 6
137	Sonntag	17	3 35 48·3	9·92	+19 19 50	+33·8	15 51	—3 47·1	+0·06	+19 19 48
138	Montag	18	3 39 46·6	9·94	+19 33 12	+33·0	15 51	—3 45·4	+0·08	+19 33 9
139	Dienst.	19	3 43 45·5	9·96	+19 46 13	+32·2	15 50	—3 43·1	+0·11	+19 46 11
140	Mittw.	20	3 47 44·8	9·99	+19 58 55	+31·3	15 50	—3 40·3	+0·13	+19 58 53
141	Donner.	21	3 51 44·7	10·01	+20 11 16	+30·5	15 50	—3 37·0	+0·15	+20 11 14
142	Freitag	22	3 55 45·2	10·03	+20 23 16	+29·6	15 50	—3 33·1	+0·17	+20 23 15
143	Samstag	23	3 59 46·1	10·05	+20 34 56	+28·7	15 50	—3 28·7	+0·19	+20 34 54
144	Sonntag	24	4 3 47·6	10·07	+20 46 14	+27·8	15 49	—3 23·8	+0·22	+20 46 13
145	Montag	25	4 7 49·6	10·09	+20 57 11	+26·9	15 49	—3 18·3	+0·24	+20 57 10
146	Dienst.	26	4 11 52·1	10·12	+21 7 47	+26·0	15 49	—3 12·4	+0·26	+21 7 45
147	Mittw.	27	4 15 55·1	10·14	+21 18 0	+25·1	15 49	—3 5·9	+0·28	+21 17 59
148	Donner.	28	4 19 58·6	10·16	+21 27 52	+24·2	15 49	—2 59·0	+0·30	+21 27 51
149	Freitag	29	4 24 2·5	10·17	+21 37 22	+23·3	15 49	—2 51·6	+0·32	+21 37 21
150	Samstag	30	4 28 7·0	10·19	+21 46 29	+22·3	15 49	—2 43·7	+0·34	+21 46 28
151	Sonntag	31	4 32 11·8	10·21	+21 55 13	+21·4	15 48	—2 35·4	+0·36	+21 55 12
152	Montag	J. 1	4 36 17·1	10·23	+22 3 35	+20·4	15 48	—2 26·7	+0·37	+22 3 34

Wochentag und Datum		Sternzeit im mittleren Greenwich. Mittage	Mittlere Greenwicher Zeit. Mond. Obere Culmination	Stündliche Verzögerung	Halbmesser Mittag	Halbmesser Mitternacht	Horizontal-Parallaxe Mittag	Stündl. Aenderung	Horizontal-Parallaxe Mitternacht	Stündl. Aenderung	Alter Mittag
		h m s	h m	m	′ ″	′ ″	′ ″	″	′ ″	″	d
Freitag	1	2 36 30·6	19 0·8	2·30	16 5	16 9	58 56	+1·2	59 10	+1·1	22·6
Samstag	2	2 40 27·1	19 54·8	2·21	16 12	16 15	59 22	+1·0	59 34	+0·9	23·6
Sonntag	3	2 44 23·7	20 46·7	2·14	16 18	16 20	59 44	+0·7	59 51	+0·6	24·6
Montag	4	2 48 20·2	21 37·3	2·10	16 22	16 23	59 57	+0·4	60 0	+0·2	25·6
Dienst.	5	2 52 16·8	22 27·5	2·11	16 23	16 22	60 1	−0·1	59 59	−0·3	26·6
Mittw.	6	2 56 13·3	23 18·5	2·15	16 21	16 18	59 53	−0·6	59 45	−0·8	27·6
Donner.	7	3 0 9·9	*		16 15	16 11	59 33	−1·1	59 18	−1·3	28·6
Freitag	8	3 4 6·5	0 10·9	2·22	16 7	16 1	59 1	−1·5	58 42	−1·7	0·2
Samstag	9	3 8 3·0	1 5·2	2·29	15 56	15 50	58 21	−1·8	57 59	−1·9	1·2
Sonntag	10	3 11 59·6	2 1·0	2·33	15 43	15 37	57 35	−2·0	57 11	−2·0	2·2
Montag	11	3 15 56·1	2 57·1	2·32	15 30	15 24	56 48	−1·9	56 25	−1·9	3·2
Dienst.	12	3 19 52·7	3 52·2	2·24	15 18	15 12	56 3	−1·8	55 42	−1·7	4·2
Mittw.	13	3 23 49·2	4 44·9	2·13	15 7	15 2	55 23	−1·5	55 6	−1·3	5·2
Donner.	14	3 27 45·8	5 34·4	2·00	14 58	14 55	54 51	−1·2	54 38	−1·0	6·2
Freitag	15	3 31 42·4	6 20·8	1·87	14 52	14 50	54 28	−0·8	54 20	−0·5	7·2
Sonntag	16	3 35 38·9	7 4·4	1·77	14 49	14 48	54 15	−0·3	54 13	−0·1	8·2
Sonntag	17	3 39 35·5	7 45·9	1·71	14 48	14 49	54 13	+0·1	54 15	+0·3	9·2
Montag	18	3 43 32·0	8 26·5	1·69	14 50	14 52	54 20	+0·5	54 27	+0·7	10·2
Dienst.	19	3 47 28·6	9 6·9	1·71	14 54	14 57	54 37	+0·9	54 48	+1·0	11·2
Mittw.	20	3 51 25·1	9 48·4	1·77	15 1	15 5	55 1	+1·1	55 15	+1·2	12·2
Donner.	21	3 55 21·7	10 31·9	1·87	15 9	15 13	55 30	+1·3	55 47	+1·4	13·2
Freitag	22	3 59 18·2	11 18·4	2·02	15 18	15 23	56 4	+1·4	56 21	+1·5	14·2
Samstag	23	4 3 14·8	12 8·7	2·18	15 28	15 32	56 38	+1·5	56 55	+1·4	15·2
Sonntag	24	4 7 11·4	13 3·0	2·33	15 37	15 41	57 12	+1·4	57 28	+1·3	16·2
Montag	25	4 11 7·9	14 0·8	2·44	15 45	15 49	57 43	+1·2	57 58	+1·2	17·2
Dienst.	26	4 15 4·5	15 0·3	2·48	15 53	15 56	58 11	+1·1	58 23	+1·0	18·2
Mittw.	27	4 19 1·0	15 59·6	2·43	15 59	16 2	58 34	+0·9	58 44	+0·8	19·2
Donner.	28	4 22 57·6	16 56·8	2·32	16 4	16 6	58 53	+0·7	59 0	+0·6	20·2
Freitag	29	4 26 54·1	17 51·2	2·21	16 8	16 9	59 7	+0·5	59 12	+0·4	21·2
Samstag	30	4 30 50·7	18 42·9	2·11	16 10	16 11	59 16	+0·3	59 19	+0·2	22·2
Sonntag	31	4 34 47·3	19 32·5	2·05	16 12	16 12	59 20	+0·1	59 21	0·0	23·2
Montag	J. 1	4 38 43·8	20 21·2	2·04	16 12	16 11	59 20	−0·2	59 17	−0·3	24·2

Rectascension und Declination des Mondes.

Freitag 1.

Mittlere Green. Zeit h	Rectascension h m s	Aenderung in 10m s	Declination — Süd ° ′ ″	Aenderung in 10m ″
0	20 54 25·7	24·51	— 22 20 45	+ 83·0
1	20 56 52·7	24·48	— 22 12 23	+ 84·4
2	20 59 19·4	24·44	— 22 3 52	+ 85·8
3	21 1 46·0	24·41	— 21 55 13	+ 87·2
4	21 4 12·3	24·37	— 21 46 26	+ 88·6
5	21 6 38·5	24·34	— 21 37 30	+ 90·0
6	21 9 4·4	24·30	— 21 28 25	+ 91·4
7	21 11 30·1	24·27	— 21 19 13	+ 92·8
8	21 13 55·6	24·23	— 21 9 52	+ 94·1
9	21 16 20·9	24·20	— 21 0 23	+ 95·5
10	21 18 46·0	24·16	— 20 50 46	+ 96·8
11	21 21 10·9	24·12	— 20 41 1	+ 98·2
12	21 23 35·5	24·09	— 20 31 8	+ 99·5
13	21 25 59·9	24·05	— 20 21 7	+100·8
14	21 28 24·1	24·01	— 20 10 59	+102·1
15	21 30 48·1	23·98	— 20 0 43	+103·3
16	21 33 11·9	23·94	— 19 50 19	+104·6
17	21 35 35·4	23·90	— 19 39 47	+105·9
18	21 37 58·7	23·86	— 19 29 8	+107·1
19	21 40 21·8	23·82	— 19 18 22	+108·3
20	21 42 44·6	23·79	— 19 7 28	+109·6
21	21 45 7·2	23·75	— 18 56 27	+110·8
22	21 47 29·6	23·71	— 18 45 19	+112·0
23	21 49 51·7	23·67	— 18 34 3	+113·1

Samstag 2.

Mittlere Green. Zeit h	Rectascension h m s	Aenderung in 10m s	Declination — Süd ° ′ ″	Aenderung in 10m ″
0	21 52 13·6	23·63	— 18 22 41	+114·3
1	21 54 35·3	23·60	— 18 11 11	+115·5
2	21 56 56·8	23·56	— 17 59 35	+116·6
3	21 59 18·0	23·52	— 17 47 52	+117·7
4	22 1 39·0	23·48	— 17 36 2	+118·9
5	22 3 59·8	23·44	— 17 24 6	+120·0
6	22 6 20·4	23·41	— 17 12 3	+121·0
7	22 8 40·7	23·37	— 16 59 53	+122·1
8	22 11 0·8	23·33	— 16 47 37	+123·2
9	22 13 20·7	23·29	— 16 35 15	+124·2
10	22 15 40·3	23·26	— 16 22 46	+125·3
11	22 17 59·7	23·22	— 16 10 12	+126·3
12	22 20 18·9	23·18	— 15 57 31	+127·3
13	22 22 37·9	23·15	— 15 44 44	+128·3
14	22 24 56·7	23·11	— 15 31 51	+129·3
15	22 27 15·2	23·07	— 15 18 53	+130·2
16	22 29 33·6	23·04	— 15 5 49	+131·2
17	22 31 51·7	23·00	— 14 52 39	+132·1
18	22 34 9·6	22·97	— 14 39 23	+133·0
19	22 36 27·3	22·93	— 14 26 2	+133·9
20	22 38 44·8	22·90	— 14 12 36	+134·8
21	22 41 2·1	22·87	— 13 59 4	+135·7
22	22 43 19·2	22·83	— 13 45 27	+136·6
23	22 45 36·1	22·80	— 13 31 45	+137·4
24	22 47 52·8	22·77	— 13 17 58	+138·3

Sonntag 3.

Mittlere Green. Zeit h	Rectascension h m s	Aenderung in 10m s	Declination — Süd ° ′ ″	Aenderung in 10m ″
0	22 47 52·8	22·77	— 13 17 58	+138·3
1	22 50 9·3	22·73	— 13 4 6	+139·1
2	22 52 25·6	22·70	— 12 50 9	+139·9
3	22 54 41·7	22·67	— 12 36 7	+140·7
4	22 56 57·7	22·64	— 12 22 1	+141·4
5	22 59 13·4	22·61	— 12 7 50	+142·2
6	23 1 29·0	22·58	— 11 53 35	+142·9
7	23 3 44·4	22·55	— 11 39 15	+143·7
8	23 5 59·6	22·52	— 11 24 51	+144·4
9	23 8 14·6	22·49	— 11 10 22	+145·1
10	23 10 29·5	22·46	— 10 55 50	+145·8
11	23 12 44·2	22·44	— 10 41 13	+146·4
12	23 14 58·7	22·41	— 10 26 33	+147·1
13	23 17 13·1	22·38	— 10 11 48	+147·7
14	23 19 27·3	22·36	— 9 57 0	+148·3
15	23 21 41·4	22·33	— 9 42 8	+148·9
16	23 23 55·3	22·31	— 9 27 13	+149·5
17	23 26 9·1	22·28	— 9 12 14	+150·1
18	23 28 22·7	22·26	— 8 57 12	+150·7
19	23 30 36·2	22·24	— 8 42 6	+151·2
20	23 32 49·5	22·21	— 8 26 57	+151·7
21	23 35 2·7	22·19	— 8 11 45	+152·2
22	23 37 15·8	22·17	— 7 56 30	+152·7
23	23 39 28·8	22·15	— 7 41 12	+153·2

Montag 4.

Mittlere Green. Zeit h	Rectascension h m s	Aenderung in 10m s	Declination — Süd ° ′ ″	Aenderung in 10m ″
0	23 41 41·6	22·13	— 7 25 52	+153·7
1	23 43 54·3	22·11	— 7 10 28	+154·1
2	23 46 7·0	22·09	— 6 55 2	+154·6
3	23 48 19·5	22·07	— 6 39 34	+155·0
4	23 50 31·9	22·06	— 6 24 3	+155·4
5	23 52 44·2	22·04	— 6 8 29	+155·8
6	23 54 56·4	22·02	— 5 52 53	+156·1
7	23 57 8·5	22·01	— 5 37 16	+156·5
8	23 59 20·5	21·99	— 5 21 36	+156·8
9	0 1 32·4	21·98	— 5 5 54	+157·1
10	0 3 44·2	21·97	— 4 50 10	+157·4
11	0 5 56·0	21·95	— 4 34 25	+157·7
12	0 8 7·7	21·94	— 4 18 38	+158·0
13	0 10 19·3	21·93	— 4 2 49	+158·2
14	0 12 30·8	21·92	— 3 46 59	+158·5
15	0 14 42·3	21·91	— 3 31 7	+158·7
16	0 16 53·8	21·90	— 3 15 14	+158·9
17	0 19 5·1	21·89	— 2 59 20	+159·1
18	0 21 16·5	21·88	— 2 43 25	+159·3
19	0 23 27·8	21·88	— 2 27 29	+159·4
20	0 25 39·0	21·87	— 2 11 32	+159·6
21	0 27 50·2	21·86	— 1 55 34	+159·7
22	0 30 1·4	21·86	— 1 39 35	+159·8
23	0 32 12·5	21·85	— 1 23 36	+159·9
24	0 34 23·6	21·85	— 1 7 37	+160·0

Rectascension und Declination des Mondes.

Mittlere Green. Zeit	Rectascension			Aenderung in 10m	Declination − Süd + Nord				Aenderung in 10m
	Dienstag 5.								
h	h	m	s	s		°	′	″	″
0	0	34	23.6	21.85	−	1	7	37	+160.0
1	0	36	34.7	21.85	−	0	51	37	+160.0
2	0	38	45.8	21.85	−	0	35	36	+160.1
3	0	40	56.9	21.84	−	0	19	36	+160.1
4	0	43	7.9	21.84	−	0	3	35	+160.1
5	0	45	19.0	21.84	+	0	12	25	+160.1
6	0	47	30.1	21.84	+	0	28	26	+160.1
7	0	49	41.1	21.84	+	0	44	26	+160.0
8	0	51	52.2	21.85	+	1	0	26	+160.0
9	0	54	3.3	21.85	+	1	16	26	+159.9
10	0	56	14.4	21.85	+	1	32	25	+159.8
11	0	58	25.5	21.85	+	1	48	24	+159.7
12	1	0	36.6	21.86	+	2	4	22	+159.6
13	1	2	47.8	21.86	+	2	20	19	+159.4
14	1	4	59.0	21.87	+	2	36	15	+159.3
15	1	7	10.2	21.87	+	2	52	11	+159.1
16	1	9	21.5	21.88	+	3	8	5	+158.9
17	1	11	32.8	21.89	+	3	23	58	+158.7
18	1	13	44.2	21.90	+	3	39	50	+158.5
19	1	15	55.6	21.91	+	3	55	40	+158.3
20	1	18	7.1	21.92	+	4	11	29	+158.0
21	1	20	18.6	21.93	+	4	27	16	+157.7
22	1	22	30.2	21.94	+	4	43	2	+157.4
23	1	24	41.9	21.95	+	4	58	45	+157.1
	Mittwoch 6.								
0	1	26	53.6	21.96	+	5	14	27	+156.8
1	1	29	5.4	21.97	+	5	30	7	+156.5
2	1	31	17.3	21.99	+	5	45	45	+156.1
3	1	33	29.3	22.00	+	6	1	21	+155.8
4	1	35	41.4	22.02	+	6	16	55	+155.4
5	1	37	53.5	22.03	+	6	32	26	+155.0
6	1	40	5.7	22.05	+	6	47	55	+154.6
7	1	42	18.0	22.06	+	7	3	21	+154.1
8	1	44	30.5	22.08	+	7	18	44	+153.7
9	1	46	43.0	22.10	+	7	34	5	+153.2
10	1	48	55.6	22.11	+	7	49	22	+152.7
11	1	51	8.4	22.13	+	8	4	37	+152.2
12	1	53	21.2	22.15	+	8	19	49	+151.7
13	1	55	34.2	22.17	+	8	34	58	+151.2
14	1	57	47.3	22.19	+	8	50	3	+150.6
15	2	0	0.5	22.21	+	9	5	5	+150.0
16	2	2	13.8	22.23	+	9	20	4	+149.5
17	2	4	27.3	22.25	+	9	34	59	+148.9
18	2	6	40.8	22.27	+	9	49	51	+148.3
19	2	8	54.5	22.30	+	10	4	38	+147.6
20	2	11	8.4	22.32	+	10	19	22	+147.0
21	2	13	22.4	22.34	+	10	34	2	+146.3
22	2	15	36.5	22.37	+	10	48	38	+145.7
23	2	17	50.8	22.39	+	11	3	10	+145.0
24	2	20	5.2	22.41	+	11	17	38	+144.3

Mittlere Green. Zeit	Rectascension			Aenderung in 10m	Declination + Nord				Aenderung in 10m
	Donnerstag 7.								
h	h	m	s	s		°	′	″	″
0	2	20	5.2	22.41	+	11	17	38	+144.3
1	2	22	19.7	22.44	+	11	32	2	+143.5
2	2	24	34.4	22.46	+	11	46	21	+142.8
3	2	26	49.3	22.49	+	12	0	35	+142.0
4	2	29	4.3	22.51	+	12	14	45	+141.3
5	2	31	19.5	22.54	+	12	28	51	+140.5
6	2	33	34.8	22.57	+	12	42	51	+139.7
7	2	35	50.3	22.59	+	12	56	47	+138.9
8	2	38	5.9	22.62	+	13	10	38	+138.1
9	2	40	21.7	22.65	+	13	24	24	+137.2
10	2	42	37.7	22.67	+	13	38	5	+136.4
11	2	44	53.8	22.70	+	13	51	40	+135.5
12	2	47	10.1	22.73	+	14	5	11	+134.6
13	2	49	26.6	22.76	+	14	18	36	+133.7
14	2	51	43.2	22.79	+	14	31	55	+132.8
15	2	54	0.0	22.81	+	14	45	9	+131.8
16	2	56	17.0	22.84	+	14	58	17	+130.9
17	2	58	34.2	22.87	+	15	11	20	+129.9
18	3	0	51.5	22.90	+	15	24	16	+129.0
19	3	3	9.0	22.93	+	15	37	7	+128.0
20	3	5	26.7	22.96	+	15	49	52	+127.0
21	3	7	44.5	22.99	+	16	2	31	+126.0
22	3	10	2.5	23.02	+	16	15	4	+124.9
23	3	12	20.7	23.05	+	16	27	30	+123.9
	Freitag 8.								
0	3	14	39.1	23.08	+	16	39	50	+122.8
1	3	16	57.6	23.11	+	16	52	4	+121.8
2	3	19	16.4	23.14	+	17	4	12	+120.7
3	3	21	35.3	23.16	+	17	16	13	+119.6
4	3	23	54.4	23.19	+	17	28	7	+118.5
5	3	26	13.6	23.22	+	17	39	54	+117.4
6	3	28	33.0	23.25	+	17	51	35	+116.2
7	3	30	52.6	23.28	+	18	3	9	+115.1
8	3	33	12.4	23.31	+	18	14	36	+113.9
9	3	35	32.4	23.34	+	18	25	56	+112.8
10	3	37	52.5	23.37	+	18	37	9	+111.6
11	3	40	12.8	23.40	+	18	48	15	+110.4
12	3	42	33.3	23.42	+	18	59	14	+109.2
13	3	44	53.9	23.45	+	19	10	5	+108.0
14	3	47	14.7	23.48	+	19	20	49	+106.7
15	3	49	35.7	23.51	+	19	31	26	+105.5
16	3	51	56.8	23.53	+	19	41	55	+104.2
17	3	54	18.1	23.56	+	19	52	17	+103.0
18	3	56	39.5	23.59	+	20	2	31	+101.7
19	3	59	1.1	23.61	+	20	12	37	+100.4
20	4	1	22.9	23.64	+	20	22	36	+ 99.1
21	4	3	44.8	23.67	+	20	32	27	+ 97.8
22	4	6	6.9	23.69	+	20	42	10	+ 96.5
23	4	8	29.1	23.71	+	20	51	45	+ 95.2
24	4	10	51.5	23.74	+	21	1	12	+ 93.9

Rectascension und Declination des Mondes.

Samstag 9.

Mittlere Green. Zeit	Rectascension			Aenderung in 10m	Declination + Nord			Aenderung in 10m
h	h	m	s	s	°	′	″	″
0	4	10	51·5	23·74	+21	1	12	+93·9
1	4	13	14·0	23·76	+21	10	31	+92·5
2	4	15	36·6	23·79	+21	19	42	+91·2
3	4	17	59·4	23·81	+21	28	45	+89·8
4	4	20	22·4	23·83	+21	37	40	+88·5
5	4	22	45·4	23·85	+21	46	27	+87·1
6	4	25	8·6	23·88	+21	55	5	+85·7
7	4	27	31·9	23·90	+22	3	35	+84·3
8	4	29	55·4	23·92	+22	11	57	+82·9
9	4	32	18·9	23·94	+22	20	10	+81·5
10	4	34	42·6	23·96	+22	28	15	+80·1
11	4	37	6·4	23·97	+22	36	11	+78·7
12	4	39	30·3	23·99	+22	43	59	+77·2
13	4	41	54·3	24·01	+22	51	38	+75·8
14	4	44	18·4	24·02	+22	59	8	+74·4
15	4	46	42·6	24·04	+23	6	30	+72·9
16	4	49	6·9	24·06	+23	13	43	+71·5
17	4	51	31·3	24·07	+23	20	48	+70·0
18	4	53	55·8	24·08	+23	27	43	+68·5
19	4	56	20·3	24·10	+23	34	30	+67·1
20	4	58	44·9	24·11	+23	41	8	+65·6
21	5	1	9·6	24·12	+23	47	38	+64·1
22	5	3	34·4	24·13	+23	53	58	+62·6
23	5	5	59·2	24·14	+24	0	9	+61·1

Sonntag 10.

Mittlere Green. Zeit	Rectascension			Aenderung in 10m	Declination + Nord			Aenderung in 10m
h	h	m	s	s	°	′	″	″
0	5	8	24·0	24·15	+24	6	12	+59·7
1	5	10	49·0	24·16	+24	12	5	+58·2
2	5	13	13·9	24·16	+24	17	50	+56·7
3	5	15	38·9	24·17	+24	23	25	+55·2
4	5	18	4·0	24·18	+24	28	52	+53·7
5	5	20	29·0	24·18	+24	34	9	+52·1
6	5	22	54·1	24·18	+24	39	17	+50·6
7	5	25	19·2	24·19	+24	44	17	+49·1
8	5	27	44·3	24·19	+24	49	7	+47·6
9	5	30	9·5	24·19	+24	53	48	+46·1
10	5	32	34·6	24·19	+24	58	20	+44·6
11	5	34	59·7	24·19	+25	2	43	+43·0
12	5	37	24·9	24·19	+25	6	56	+41·5
13	5	39	50·0	24·18	+25	11	1	+40·0
14	5	42	15·1	24·18	+25	14	57	+38·5
15	5	44	40·1	24·17	+25	18	43	+37·0
16	5	47	5·1	24·17	+25	22	20	+35·4
17	5	49	30·1	24·16	+25	25	48	+33·9
18	5	51	55·1	24·15	+25	29	7	+32·4
19	5	54	20·0	24·15	+25	32	17	+30·9
20	5	56	44·9	24·14	+25	35	18	+29·4
21	5	59	9·7	24·13	+25	38	9	+27·8
22	6	1	34·4	24·12	+25	40	52	+26·3
23	6	3	59·0	24·10	+25	43	25	+24·8
24	6	6	23·6	24·09	+25	45	49	+23·3

Montag 11.

Mittlere Green. Zeit	Rectascension			Aenderung in 10m	Declination + Nord			Aenderung in 10m
h	h	m	s	s	°	′	″	″
0	6	6	23·6	24·09	+25	45	49	+23·3
1	6	8	48·1	24·08	+25	48	4	+21·8
2	6	11	12·5	24·06	+25	50	10	+20·3
3	6	13	36·8	24·04	+25	52	7	+18·7
4	6	16	1·1	24·03	+25	53	55	+17·2
5	6	18	25·2	24·01	+25	55	34	+15·7
6	6	20	49·2	23·99	+25	57	4	+14·2
7	6	23	13·0	23·97	+25	58	25	+12·7
8	6	25	36·8	23·95	+25	59	37	+11·2
9	6	28	0·4	23·93	+26	0	40	+ 9·8
10	6	30	23·9	23·90	+26	1	34	+ 8·3
11	6	32	47·3	23·88	+26	2	19	+ 6·8
12	6	35	10·5	23·86	+26	2	56	+ 5·3
13	6	37	33·6	23·83	+26	3	23	+ 3·8
14	6	39	56·5	23·80	+26	3	42	+ 2·4
15	6	42	19·2	23·78	+26	3	52	+ 0·9
16	6	44	41·8	23·75	+26	3	53	− 0·5
17	6	47	4·2	23·72	+26	3	45	− 2·0
18	6	49	26·4	23·69	+26	3	29	− 3·4
19	6	51	48·5	23·66	+26	3	4	− 4·9
20	6	54	10·4	23·63	+26	2	30	− 6·3
21	6	56	32·1	23·60	+26	1	48	− 7·7
22	6	58	53·5	23·56	+26	0	57	− 9·2
23	7	1	14·8	23·53	+25	59	58	−10·6

Dienstag 12.

Mittlere Green. Zeit	Rectascension			Aenderung in 10m	Declination + Nord			Aenderung in 10m
h	h	m	s	s	°	′	″	″
0	7	3	35·9	23·50	+25	58	50	−12·0
1	7	5	56·8	23·46	+25	57	34	−13·4
2	7	8	17·4	23·42	+25	56	9	−14·8
3	7	10	37·9	23·39	+25	54	36	−16·2
4	7	12	58·1	23·35	+25	52	55	−17·6
5	7	15	18·1	23·31	+25	51	5	−19·0
6	7	17	37·8	23·27	+25	49	7	−20·3
7	7	19	57·3	23·23	+25	47	1	−21·7
8	7	22	16·6	23·19	+25	44	47	−23·1
9	7	24	35·7	23·15	+25	42	24	−24·4
10	7	26	54·5	23·11	+25	39	54	−25·7
11	7	29	13·0	23·07	+25	37	15	−27·1
12	7	31	31·3	23·03	+25	34	29	−28·4
13	7	33	49·3	22·98	+25	31	34	−29·7
14	7	36	7·1	22·94	+25	28	32	−31·0
15	7	38	24·6	22·90	+25	25	22	−32·3
16	7	40	41·9	22·85	+25	22	4	−33·6
17	7	42	58·9	22·81	+25	18	39	−34·9
18	7	45	15·6	22·76	+25	15	6	−36·2
19	7	47	32·0	22·71	+25	11	25	−37·4
20	7	49	48·1	22·67	+25	7	36	−38·7
21	7	52	4·0	22·62	+25	3	40	−39·9
22	7	54	19·6	22·57	+24	59	37	−41·2
23	7	56	34·9	22·52	+24	55	26	−42·4
24	7	58	49·9	22·48	+24	51	8	−43·6

Rectascension und Declination des Mondes.

Mittwoch 13.

Mittlere Green. Zeit h	Rectascension h	m	s	Aenderung in 10m s	Declination + Nord °	′	″	Aenderung in 10m ″
0	7	58	49·9	22·48	+ 24	51	8	−43·6
1	8	1	4·6	22·43	+ 24	46	42	−44·9
2	8	3	19·0	22·38	+ 24	42	9	−46·1
3	8	5	33·1	22·33	+ 24	37	29	−47·3
4	8	7	47·0	22·28	+ 24	32	42	−48·4
5	8	10	0·5	22·23	+ 24	27	48	−49·6
6	8	12	13·8	22·18	+ 24	22	47	−50·8
7	8	14	26·7	22·13	+ 24	17	39	−51·9
8	8	16	39·3	22·08	+ 24	12	24	−53·1
9	8	18	51·7	22·03	+ 24	7	2	−54·2
10	8	21	3·7	21·98	+ 24	1	33	−55·4
11	8	23	15·4	21·93	+ 23	55	57	−56·5
12	8	25	26·8	21·88	+ 23	50	15	−57·6
13	8	27	37·9	21·82	+ 23	44	26	−58·7
14	8	29	48·7	21·77	+ 23	38	30	−59·8
15	8	31	59·2	21·72	+ 23	32	28	−60·9
16	8	34	9·4	21·67	+ 23	26	20	−61·9
17	8	36	19·3	21·62	+ 23	20	5	−63·0
18	8	38	28·8	21·57	+ 23	13	44	−64·1
19	8	40	38·1	21·51	+ 23	7	16	−65·1
20	8	42	47·0	21·46	+ 23	0	42	−66·2
21	8	44	55·6	21·41	+ 22	54	2	−67·2
22	8	47	3·9	21·36	+ 22	47	16	−68·2
23	8	49	11·9	21·31	+ 22	40	23	−69·2

Donnerstag 14.

Mittlere Green. Zeit h	Rectascension h	m	s	Aenderung in 10m s	Declination + Nord °	′	″	Aenderung in 10m ″
0	8	51	19·6	21·26	+ 22	33	25	−70·2
1	8	53	27·0	21·20	+ 22	26	21	−71·2
2	8	55	34·1	21·15	+ 22	19	11	−72·2
3	8	57	40·8	21·10	+ 22	11	55	−73·2
4	8	59	47·3	21·05	+ 22	4	33	−74·1
5	9	1	53·4	21·00	+ 21	57	5	−75·1
6	9	3	59·3	20·95	+ 21	49	32	−76·0
7	9	6	4·8	20·89	+ 21	41	53	−77·0
8	9	8	10·0	20·84	+ 21	34	8	−77·9
9	9	10	14·9	20·79	+ 21	26	18	−78·8
10	9	12	19·5	20·74	+ 21	18	22	−79·7
11	9	14	23·8	20·69	+ 21	10	21	−80·6
12	9	16	27·8	20·64	+ 21	2	15	−81·5
13	9	18	31·5	20·59	+ 20	54	3	−82·4
14	9	20	34·9	20·54	+ 20	45	47	−83·2
15	9	22	38·0	20·49	+ 20	37	24	−84·1
16	9	24	40·8	20·44	+ 20	28	57	−85·0
17	9	26	43·3	20·39	+ 20	20	25	−85·8
18	9	28	45·6	20·35	+ 20	11	47	−86·6
19	9	30	47·5	20·30	+ 20	3	5	−87·5
20	9	32	49·1	20·25	+ 19	54	18	−88·3
21	9	34	50·5	20·20	+ 19	45	26	−89·1
22	9	36	51·5	20·15	+ 19	36	29	−89·9
23	9	38	52·3	20·11	+ 19	27	27	−90·7
24	9	40	52·8	20·06	+ 19	18	20	−91·5

Freitag 15.

Mittlere Green. Zeit h	Rectascension h	m	s	Aenderung in 10m s	Declination + Nord °	′	″	Aenderung in 10m ″
0	9	40	52·8	20·06	+ 19	18	20	− 91·5
1	9	42	53·0	20·01	+ 19	9	9	− 92·2
2	9	44	53·0	19·97	+ 18	59	53	− 93·0
3	9	46	52·6	19·92	+ 18	50	33	− 93·8
4	9	48	52·0	19·88	+ 18	41	8	− 94·5
5	9	50	51·1	19·83	+ 18	31	39	− 95·3
6	9	52	50·0	19·79	+ 18	22	5	− 96·0
7	9	54	48·6	19·74	+ 18	12	27	− 96·7
8	9	56	46·9	19·70	+ 18	2	44	− 97·4
9	9	58	44·9	19·65	+ 17	52	57	− 98·1
10	10	0	42·7	19·61	+ 17	43	6	− 98·8
11	10	2	40·3	19·57	+ 17	33	11	− 99·5
12	10	4	37·6	19·53	+ 17	23	12	−100·2
13	10	6	34·6	19·49	+ 17	13	8	−100·9
14	10	8	31·4	19·44	+ 17	3	1	−101·6
15	10	10	27·9	19·40	+ 16	52	49	−102·2
16	10	12	24·2	19·36	+ 16	42	34	−102·9
17	10	14	20·3	19·32	+ 16	32	15	−103·5
18	10	16	16·1	19·28	+ 16	21	52	−104·2
19	10	18	11·7	19·25	+ 16	11	25	−104·8
20	10	20	7·1	19·21	+ 16	0	54	−105·4
21	10	22	2·2	19·17	+ 15	50	20	−106·0
22	10	23	57·1	19·13	+ 15	39	42	−106·6
23	10	25	51·8	19·10	+ 15	29	0	−107·2

Samstag 16.

Mittlere Green. Zeit h	Rectascension h	m	s	Aenderung in 10m s	Declination + Nord °	′	″	Aenderung in 10m ″
0	10	27	46·3	19·06	+ 15	18	15	−107·8
1	10	29	40·5	19·02	+ 15	7	26	−108·4
2	10	31	34·6	18·99	+ 14	56	34	−109·0
3	10	33	28·4	18·95	+ 14	45	38	−109·6
4	10	35	22·0	18·92	+ 14	34	39	−110·1
5	10	37	15·4	18·89	+ 14	23	37	−110·7
6	10	39	8·7	18·85	+ 14	12	31	−111·2
7	10	41	1·7	18·82	+ 14	1	22	−111·7
8	10	42	54·5	18·79	+ 13	50	10	−112·3
9	10	44	47·2	18·76	+ 13	38	55	−112·8
10	10	46	39·6	18·73	+ 13	27	36	−113·3
11	10	48	31·9	18·70	+ 13	16	15	−113·8
12	10	50	24·0	18·67	+ 13	4	50	−114·3
13	10	52	15·9	18·64	+ 12	53	23	−114·8
14	10	54	7·7	18·61	+ 12	41	52	−115·3
15	10	55	59·3	18·58	+ 12	30	19	−115·8
16	10	57	50·7	18·56	+ 12	18	42	−116·3
17	10	59	41·9	18·53	+ 12	7	3	−116·8
18	11	1	33·0	18·50	+ 11	55	21	−117·2
19	11	3	24·0	18·48	+ 11	43	36	−117·7
20	11	5	14·8	18·45	+ 11	31	49	−118·1
21	11	7	5·4	18·43	+ 11	19	59	−118·6
22	11	8	55·9	18·40	+ 11	8	6	−119·0
23	11	10	46·3	18·38	+ 10	56	11	−119·4
24	11	12	36·5	18·36	+ 10	44	13	−119·9

Rectascension und Declination des Mondes.

Sonntag 17.

Mittlere Green. Zeit h	Rectascension h m s	Aenderung in 10m s	Declination + Nord ° ′ ″	Aenderung in 10m ″
0	11 12 36·5	18·36	+ 10 44 13	− 119·9
1	11 14 26·6	18·34	+ 10 32 12	− 120·3
2	11 16 16·6	18·32	+ 10 20 9	− 120·7
3	11 18 6·4	18·30	+ 10 8 4	− 121·1
4	11 19 56·1	18·28	+ 9 55 56	− 121·5
5	11 21 45·7	18·26	+ 9 43 46	− 121·9
6	11 23 35·2	18·24	+ 9 31 34	− 122·2
7	11 25 24·6	18·22	+ 9 19 19	− 122·6
8	11 27 13·9	18·20	+ 9 7 2	− 123·0
9	11 29 3·0	18·19	+ 8 54 43	− 123·4
10	11 30 52·1	18·17	+ 8 42 22	− 123·7
11	11 32 41·1	18·15	+ 8 29 59	− 124·1
12	11 34 30·0	18·14	+ 8 17 33	− 124·4
13	11 36 18·8	18·13	+ 8 5 6	− 124·7
14	11 38 7·5	18·11	+ 7 52 36	− 125·1
15	11 39 56·1	18·10	+ 7 40 5	− 125·4
16	11 41 44·7	18·09	+ 7 27 31	− 125·7
17	11 43 33·2	18·08	+ 7 14 56	− 126·0
18	11 45 21·6	18·07	+ 7 2 19	− 126·3
19	11 47 10·0	18·06	+ 6 49 40	− 126·6
20	11 48 58·3	18·05	+ 6 36 59	− 126·9
21	11 50 46·6	18·04	+ 6 24 17	− 127·2
22	11 52 34·8	18·03	+ 6 11 33	− 127·5
23	11 54 22·9	18·02	+ 5 58 47	− 127·8

Montag 18.

Mittlere Green. Zeit h	Rectascension h m s	Aenderung in 10m s	Declination + Nord ° ′ ″	Aenderung in 10m ″
0	11 56 11·0	18·01	+ 5 46 0	− 128·0
1	11 57 59·1	18·01	+ 5 33 11	− 128·3
2	11 59 47·1	18·00	+ 5 20 20	− 128·5
3	12 1 35·1	18·00	+ 5 7 29	− 128·8
4	12 3 23·1	17·99	+ 4 54 35	− 129·0
5	12 5 11·0	17·99	+ 4 41 40	− 129·2
6	12 6 59·0	17·99	+ 4 28 44	− 129·5
7	12 8 46·9	17·98	+ 4 15 47	− 129·7
8	12 10 34·8	17·98	+ 4 2 48	− 129·9
9	12 12 22·7	17·98	+ 3 49 48	− 130·1
10	12 14 10·6	17·98	+ 3 36 46	− 130·3
11	12 15 58·5	17·98	+ 3 23 44	− 130·5
12	12 17 46·4	17·98	+ 3 10 40	− 130·7
13	12 19 34·3	17·98	+ 2 57 36	− 130·9
14	12 21 22·2	17·99	+ 2 44 30	− 131·1
15	12 23 10·1	17·99	+ 2 31 23	− 131·2
16	12 24 58·1	17·99	+ 2 18 15	− 131·4
17	12 26 46·0	18·00	+ 2 5 6	− 131·5
18	12 28 34·0	18·00	+ 1 51 57	− 131·7
19	12 30 22·1	18·01	+ 1 38 46	− 131·8
20	12 32 10·2	18·02	+ 1 25 35	− 131·9
21	12 33 58·3	18·02	+ 1 12 23	− 132·1
22	12 35 46·4	18·03	+ 0 59 10	− 132·2
23	12 37 34·6	18·04	+ 0 45 57	− 132·3
24	12 39 22·9	18·05	+ 0 32 42	− 132·4

Dienstag 19.

Mittlere Green. Zeit h	Rectascension h m s	Aenderung in 10m s	Declination + Nord − Süd ° ′ ″	Aenderung in 10m ″
0	12 39 22·9	18·05	+ 0 32 42	− 132·4
1	12 41 11·2	18·06	+ 0 19 28	− 132·5
2	12 42 59·6	18·07	+ 0 6 12	− 132·6
3	12 44 48·1	18·08	− 0 7 3	− 132·7
4	12 46 36·6	18·09	− 0 20 20	− 132·7
5	12 48 25·2	18·11	− 0 33 36	− 132·8
6	12 50 13·9	18·12	− 0 46 53	− 132·9
7	12 52 2·6	18·13	− 1 0 11	− 132·9
8	12 53 51·5	18·15	− 1 13 29	− 133·0
9	12 55 40·4	18·16	− 1 26 47	− 133·0
10	12 57 29·4	18·18	− 1 40 5	− 133·0
11	12 59 18·5	18·20	− 1 53 23	− 133·1
12	13 1 7·8	18·21	− 2 6 42	− 133·1
13	13 2 57·1	18·23	− 2 20 0	− 133·1
14	13 4 46·5	18·25	− 2 33 19	− 133·1
15	13 6 36·1	18·27	− 2 46 37	− 133·1
16	13 8 25·8	18·29	− 2 59 56	− 133·1
17	13 10 15·6	18·31	− 3 13 14	− 133·1
18	13 12 5·5	18·33	− 3 26 33	− 133·0
19	13 13 55·6	18·35	− 3 39 51	− 133·0
20	13 15 45·8	18·38	− 3 53 9	− 132·9
21	13 17 36·1	18·40	− 4 6 26	− 132·9
22	13 19 26·6	18·43	− 4 19 43	− 132·8
23	13 21 17·2	18·45	− 4 33 0	− 132·7

Mittwoch 20.

Mittlere Green. Zeit h	Rectascension h m s	Aenderung in 10m s	Declination + Nord − Süd ° ′ ″	Aenderung in 10m ″
0	13 23 8·0	18·48	− 4 46 16	− 132·7
1	13 24 58·9	18·50	− 4 59 32	− 132·6
2	13 26 50·0	18·53	− 5 12 47	− 132·5
3	13 28 41·3	18·56	− 5 26 2	− 132·4
4	13 30 32·7	18·59	− 5 39 16	− 132·3
5	13 32 24·3	18·62	− 5 52 29	− 132·1
6	13 34 16·1	18·64	− 6 5 42	− 132·0
7	13 36 8·1	18·67	− 6 18 53	− 131·9
8	13 38 0·2	18·71	− 6 32 4	− 131·7
9	13 39 52·5	18·74	− 6 45 14	− 131·6
10	13 41 45·1	18·77	− 6 58 23	− 131·4
11	13 43 37·8	18·80	− 7 11 31	− 131·2
12	13 45 30·7	18·84	− 7 24 38	− 131·0
13	13 47 23·8	18·87	− 7 37 44	− 130·9
14	13 49 17·2	18·91	− 7 50 49	− 130·7
15	13 51 10·7	18·94	− 8 3 52	− 130·4
16	13 53 4·5	18·98	− 8 16 54	− 130·2
17	13 54 58·5	19·02	− 8 29 54	− 130·0
18	13 56 52·7	19·05	− 8 42 54	− 129·7
19	13 58 47·1	19·09	− 8 55 51	− 129·5
20	14 0 41·8	19·13	− 9 8 48	− 129·2
21	14 2 36·7	19·17	− 9 21 42	− 129·0
22	14 4 31·9	19·21	− 9 34 35	− 128·7
23	14 6 27·3	19·25	− 9 47 26	− 128·4
24	14 8 22·9	19·29	− 10 0 16	− 128·1

Rectascension und Declination des Mondes.

Mittlere Green. Zeit	Rectascension	Aenderung in 10m	Declination — Süd	Aenderung in 10m	Mittlere Green. Zeit	Rectascension	Aenderung in 10m	Declination — Süd	Aenderung in 10m
	Donnerstag 21.					Samstag 23.			
h	h m s	s	° ′ ″	″	h	h m s	s	° ′ ″	″
0	14 8 22·9	19·29	— 10 0 16	— 128·1	0	15 46 51·6	21·91	— 19 18 56	— 100·0
1	14 10 18·8	19·34	— 10 13 3	— 127·8	1	15 49 3·3	21·98	— 19 28 53	— 99·1
2	14 12 14·9	19·38	— 10 25 49	— 127·5	2	15 51 15·3	22·04	— 19 38 45	— 98·1
3	14 14 11·3	19·42	— 10 38 33	— 127·1	3	15 53 27·8	22·10	— 19 48 31	— 97·2
4	14 16 8·0	19·47	— 10 51 15	— 126·8	4	15 55 40·6	22·17	— 19 58 11	— 96·3
5	14 18 4·9	19·51	— 11 3 54	— 126·4	5	15 57 53·8	22·23	— 20 7 46	— 95·3
6	14 20 2·1	19·56	— 11 16 32	— 126·1	6	16 0 7·4	22·30	— 20 17 15	— 94·3
7	14 21 59·6	19·60	— 11 29 7	— 125·7	7	16 2 21·4	22·36	— 20 26 38	— 93·3
8	14 23 57·4	19·65	— 11 41 40	— 125·3	8	16 4 35·7	22·42	— 20 35 55	— 92·3
9	14 25 55·4	19·70	— 11 54 11	— 124·9	9	16 6 50·5	22·49	— 20 45 6	— 91·3
10	14 27 53·7	19·74	— 12 6 39	— 124·5	10	16 9 5·6	22·55	— 20 54 11	— 90·3
11	14 29 52·4	19·79	— 12 19 5	— 124·1	11	16 11 21·1	22·62	— 21 3 10	— 89·3
12	14 31 51·3	19·84	— 12 31 28	— 123·6	12	16 13 37·0	22·68	— 21 12 2	— 88·2
13	14 33 50·5	19·89	— 12 43 48	— 123·2	13	16 15 53·3	22·74	— 21 20 48	— 87·1
14	14 35 50·0	19·94	— 12 56 6	— 122·7	14	16 18 9·9	22·81	— 21 29 28	— 86·0
15	14 37 49·8	19·99	— 13 8 21	— 122·3	15	16 20 26·9	22·87	— 21 38 1	— 84·9
16	14 39 49·9	20·04	— 13 20 34	— 121·8	16	16 22 44·4	22·93	— 21 46 27	— 83·8
17	14 41 50·3	20·09	— 13 32 43	— 121·3	17	16 25 2·2	23·00	— 21 54 47	— 82·7
18	14 43 51·0	20·15	— 13 44 50	— 120·8	18	16 27 20·3	23·06	— 22 3 0	— 81·6
19	14 45 52·1	20·20	— 13 56 53	— 120·3	19	16 29 38·9	23·12	— 22 11 6	— 80·4
20	14 47 53·4	20·25	— 14 8 53	— 119·8	20	16 31 57·8	23·18	— 22 19 5	— 79·3
21	14 49 55·1	20·31	— 14 20 51	— 119·3	21	16 34 17·1	23·25	— 22 26 57	— 78·1
22	14 51 57·1	20·36	— 14 32 44	— 118·7	22	16 36 36·8	23·31	— 22 34 42	— 76·9
23	14 53 59·4	20·42	— 14 44 35	— 118·1	23	16 38 56·8	23·37	— 22 42 20	— 75·7
	Freitag 22.					Sonntag 24.			
0	14 56 2·1	20·47	— 14 56 22	— 117·6	0	16 41 17·2	23·43	— 22 49 50	— 74·5
1	14 58 5·1	20·53	— 15 8 6	— 117·0	1	16 43 38·0	23·49	— 22 57 13	— 73·2
2	15 0 8·4	20·58	— 15 19 46	— 116·4	2	16 45 59·1	23·55	— 23 4 29	— 72·0
3	15 2 12·1	20·64	— 15 31 23	— 115·8	3	16 48 20·6	23·61	— 23 11 37	— 70·7
4	15 4 16·1	20·70	— 15 42 55	— 115·2	4	16 50 42·5	23·67	— 23 18 38	— 69·4
5	15 6 20·5	20·75	— 15 54 24	— 114·5	5	16 53 4·7	23·73	— 23 25 31	— 68·2
6	15 8 25·2	20·81	— 16 5 50	— 113·9	6	16 55 27·2	23·79	— 23 32 16	— 66·9
7	15 10 30·2	20·87	— 16 17 11	— 113·2	7	16 57 50·1	23·85	— 23 38 53	— 65·6
8	15 12 35·6	20·93	— 16 28 28	— 112·5	8	17 0 13·4	23·90	— 23 45 22	— 64·2
9	15 14 41·4	20·99	— 16 39 41	— 111·8	9	17 2 37·0	23·96	— 23 51 44	— 62·9
10	15 16 47·5	21·05	— 16 50 50	— 111·1	10	17 5 0·9	24·02	— 23 57 57	— 61·5
11	15 18 54·0	21·11	— 17 1 55	— 110·4	11	17 7 25·2	24·07	— 24 4 2	— 60·2
12	15 21 0·8	21·17	— 17 12 56	— 109·7	12	17 9 49·8	24·13	— 24 9 59	— 58·8
13	15 23 8·0	21·23	— 17 23 52	— 109·0	13	17 12 14·7	24·18	— 24 15 48	— 57·4
14	15 25 15·6	21·29	— 17 34 44	— 108·2	14	17 14 39·9	24·23	— 24 21 28	— 56·0
15	15 27 23·5	21·35	— 17 45 31	— 107·4	15	17 17 5·5	24·29	— 24 27 0	— 54·6
16	15 29 31·8	21·41	— 17 56 13	— 106·7	16	17 19 31·4	24·34	— 24 32 24	— 53·2
17	15 31 40·5	21·48	— 18 6 51	— 105·9	17	17 21 57·6	24·39	— 24 37 38	— 51·7
18	15 33 49·5	21·54	— 18 17 24	— 105·1	18	17 24 24·0	24·44	— 24 42 45	— 50·3
19	15 35 58·9	21·60	— 18 27 52	— 104·3	19	17 26 50·8	24·49	— 24 47 42	— 48·9
20	15 38 8·7	21·66	— 18 38 15	— 103·4	20	17 29 17·9	24·54	— 24 52 31	— 47·4
21	15 40 18·9	21·72	— 18 48 33	— 102·6	21	17 31 45·3	24·59	— 24 57 11	— 45·9
22	15 42 29·4	21·79	— 18 58 46	— 101·7	22	17 34 13·0	24·63	— 25 1 42	— 44·4
23	15 44 40·3	21·85	— 19 8 54	— 100·8	23	17 36 40·9	24·68	— 25 6 4	— 42·9
24	15 46 51·6	21·91	— 19 18 56	— 100·0	24	17 39 9·1	24·72	— 25 10 17	— 41·4

Rectascension und Declination des Mondes.

Mittlere Green. Zeit	Rectascension			Aenderung in 10m	Declination — Süd			Aenderung in 10m
				Montag 25.				
h	h	m	s	s	°	′	″	″
0	17	39	9·1	24·72	— 25	10	17	— 41·4
1	17	41	37·6	24·77	— 25	14	21	— 39·9
2	17	44	6·3	24·81	— 25	18	16	— 38·4
3	17	46	35·3	24·85	— 25	22	2	— 36·8
4	17	49	4·5	24·89	— 25	25	38	— 35·3
5	17	51	34·0	24·93	— 25	29	5	— 33·7
6	17	54	3·7	24·97	— 25	32	23	— 32·2
7	17	56	33·6	25·01	— 25	35	31	— 30·6
8	17	59	3·8	25·04	— 25	38	30	— 29·0
9	18	1	34·2	25·08	— 25	41	19	— 27·4
10	18	4	4·8	25·11	— 25	43	59	— 25·8
11	18	6	35·6	25·15	— 25	46	30	— 24·2
12	18	9	6·5	25·18	— 25	48	50	— 22·6
13	18	11	37·7	25·21	— 25	51	1	— 21·0
14	18	14	9·1	25·24	— 25	53	2	— 19·4
15	18	16	40·6	25·27	— 25	54	54	— 17·8
16	18	19	12·3	25·29	— 25	56	36	— 16·1
17	18	21	44·1	25·32	— 25	58	7	— 14·5
18	18	24	16·1	25·34	— 25	59	29	— 12·8
19	18	26	48·2	25·37	— 26	0	41	— 11·2
20	18	29	20·5	25·39	— 26	1	44	— 9·5
21	18	31	52·9	25·41	— 26	2	36	— 7·9
22	18	34	25·4	25·43	— 26	3	18	— 6·2
23	18	36	58·1	25·45	— 26	3	50	— 4·5
				Dienstag 26.				
0	18	39	30·8	25·46	— 26	4	13	— 2·9
1	18	42	3·6	25·48	— 26	4	25	— 1·2
2	18	44	36·5	25·49	— 26	4	27	+ 0·5
3	18	47	9·5	25·50	— 26	4	19	+ 2·2
4	18	49	42·6	25·52	— 26	4	1	+ 3·8
5	18	52	15·7	25·53	— 26	3	33	+ 5·5
6	18	54	48·9	25·53	— 26	2	55	+ 7·2
7	18	57	22·1	25·54	— 26	2	6	+ 8·9
8	18	59	55·4	25·55	— 26	1	8	+ 10·6
9	19	2	28·7	25·55	— 25	59	59	+ 12·3
10	19	5	2·0	25·55	— 25	58	41	+ 14·0
11	19	7	35·3	25·56	— 25	57	12	+ 15·7
12	19	10	8·7	25·56	— 25	55	33	+ 17·4
13	19	12	42·0	25·56	— 25	53	43	+ 19·0
14	19	15	15·3	25·55	— 25	51	44	+ 20·7
15	19	17	48·6	25·55	— 25	49	35	+ 22·4
16	19	20	21·9	25·54	— 25	47	15	+ 24·1
17	19	22	55·2	25·54	— 25	44	45	+ 25·8
18	19	25	28·4	25·53	— 25	42	6	+ 27·5
19	19	28	1·6	25·52	— 25	39	16	+ 29·1
20	19	30	34·7	25·51	— 25	36	16	+ 30·8
21	19	33	7·7	25·50	— 25	33	6	+ 32·5
22	19	35	40·7	25·49	— 25	29	46	+ 34·1
23	19	38	13·6	25·48	— 25	26	16	+ 35·8
24	19	40	46·4	25·46	— 25	22	36	+ 37·5

Mittlere Green. Zeit	Rectascension			Aenderung in 10m	Declination — Süd			Aenderung in 10m
				Mittwoch 27.				
h	h	m	s	s	°	′	″	″
0	19	40	46·4	25·46	— 25	22	36	+ 37·5
1	19	43	19·1	25·44	— 25	18	46	+ 39·1
2	19	45	51·7	25·43	— 25	14	47	+ 40·8
3	19	48	24·2	25·41	— 25	10	37	+ 42·4
4	19	50	56·6	25·39	— 25	6	17	+ 44·1
5	19	53	28·9	25·37	— 25	1	48	+ 45·7
6	19	56	1·0	25·34	— 24	57	9	+ 47·3
7	19	58	33·0	25·32	— 24	52	20	+ 49·0
8	20	1	4·9	25·30	— 24	47	21	+ 50·6
9	20	3	36·6	25·27	— 24	42	13	+ 52·2
10	20	6	8·1	25·25	— 24	36	55	+ 53·8
11	20	8	39·5	25·22	— 24	31	27	+ 55·4
12	20	11	10·8	25·19	— 24	25	50	+ 57·0
13	20	13	41·8	25·16	— 24	20	3	+ 58·6
14	20	16	12·7	25·13	— 24	14	7	+ 60·1
15	20	18	43·4	25·10	— 24	8	2	+ 61·7
16	20	21	13·9	25·07	— 24	1	47	+ 63·3
17	20	23	44·3	25·04	— 23	55	23	+ 64·8
18	20	26	14·4	25·00	— 23	48	49	+ 66·3
19	20	28	44·3	24·97	— 23	42	6	+ 67·9
20	20	31	14·0	24·93	— 23	35	15	+ 69·4
21	20	33	43·5	24·90	— 23	28	14	+ 70·9
22	20	36	12·8	24·86	— 23	21	4	+ 72·4
23	20	38	41·8	24·82	— 23	13	45	+ 73·9
				Donnerstag 28.				
0	20	41	10·7	24·79	— 23	6	17	+ 75·4
1	20	43	39·3	24·75	— 22	58	40	+ 76·8
2	20	46	7·6	24·71	— 22	50	55	+ 78·3
3	20	48	35·7	24·67	— 22	43	1	+ 79·7
4	20	51	3·6	24·63	— 22	34	58	+ 81·2
5	20	53	31·3	24·59	— 22	26	46	+ 82·6
6	20	55	58·7	24·54	— 22	18	26	+ 84·0
7	20	58	25·8	24·50	— 22	9	58	+ 85·4
8	21	0	52·7	24·46	— 22	1	21	+ 86·8
9	21	3	19·3	24·42	— 21	52	36	+ 88·2
10	21	5	45·7	24·37	— 21	43	43	+ 89·6
11	21	8	11·8	24·33	— 21	34	41	+ 90·9
12	21	10	37·6	24·28	— 21	25	31	+ 92·3
13	21	13	3·2	24·24	— 21	16	14	+ 93·6
14	21	15	28·5	24·19	— 21	6	48	+ 94·9
15	21	17	53·5	24·15	— 20	57	14	+ 96·2
16	21	20	18·2	24·10	— 20	47	33	+ 97·5
17	21	22	42·7	24·06	— 20	37	44	+ 98·8
18	21	25	6·9	24·01	— 20	27	47	+ 100·1
19	21	27	30·9	23·96	— 20	17	43	+ 101·3
20	21	29	54·5	23·92	— 20	7	31	+ 102·6
21	21	32	17·9	23·87	— 19	57	12	+ 103·8
22	21	34	41·0	23·83	— 19	46	46	+ 105·0
23	21	37	3·8	23·78	— 19	36	12	+ 106·2
24	21	39	26·3	23·73	— 19	25	31	+ 107·4

Rectascension und Declination des Mondes.

Mittlere Green. Zeit	Rectascension	Aenderung in 10m	Declination − Süd	Aenderung in 10m
Freitag 29.				
h	h m s	s	° ′ ″	″
0	21 39 26·3	23·73	− 19 25 31	+ 107·4
1	21 41 48·6	23·69	− 19 14 43	+ 108·6
2	21 44 10·6	23·64	− 19 3 48	+ 109·7
3	21 46 32·3	23·59	− 18 52 46	+ 110·9
4	21 48 53·7	23·54	− 18 41 37	+ 112·0
5	21 51 14·8	23·50	− 18 30 22	+ 113·1
6	21 53 35·6	23·45	− 18 19 0	+ 114·2
7	21 55 56·2	23·40	− 18 7 31	+ 115·3
8	21 58 16·5	23·36	− 17 55 56	+ 116·4
9	22 0 36·5	23·31	− 17 44 14	+ 117·5
10	22 2 56·2	23·27	− 17 32 26	+ 118·5
11	22 5 15·7	23·22	− 17 20 31	+ 119·6
12	22 7 34·9	23·17	− 17 8 31	+ 120·6
13	22 9 53·8	23·13	− 16 56 24	+ 121·6
14	22 12 12·4	23·08	− 16 44 12	+ 122·6
15	22 14 30·8	23·04	− 16 31 54	+ 123·5
16	22 16 48·9	22·99	− 16 19 29	+ 124·5
17	22 19 6·7	22·95	− 16 6 59	+ 125·5
18	22 21 24·3	22·90	− 15 54 24	+ 126·4
19	22 23 41·6	22·86	− 15 41 43	+ 127·3
20	22 25 58·6	22·82	− 15 28 56	+ 128·2
21	22 28 15·4	22·77	− 15 16 4	+ 129·1
22	22 30 31·9	22·73	− 15 3 7	+ 130·0
23	22 32 48·1	22·69	− 14 50 4	+ 130·9
Samstag 30.				
0	22 35 4·1	22·65	− 14 36 56	+ 131·7
1	22 37 19·9	22·60	− 14 23 44	+ 132·5
2	22 39 35·4	22·56	− 14 10 26	+ 133·3
3	22 41 50·7	22·52	− 13 57 3	+ 134·1
4	22 44 5·7	22·48	− 13 43 36	+ 134·9
5	22 46 20·5	22·44	− 13 30 4	+ 135·7
6	22 48 35·0	22·40	− 13 16 27	+ 136·5
7	22 50 49·3	22·36	− 13 2 46	+ 137·2
8	22 53 3·4	22·33	− 12 49 1	+ 138·0
9	22 55 17·2	22·29	− 12 35 11	+ 138·7
10	22 57 30·8	22·25	− 12 21 17	+ 139·4
11	22 59 44·2	22·21	− 12 7 18	+ 140·1
12	23 1 57·4	22·18	− 11 53 16	+ 140·7
13	23 4 10·4	22·14	− 11 39 10	+ 141·4
14	23 6 23·2	22·11	− 11 24 59	+ 142·0
15	23 8 35·7	22·07	− 11 10 45	+ 142·7
16	23 10 48·1	22·04	− 10 56 28	+ 143·3
17	23 13 0·2	22·01	− 10 42 6	+ 143·9
18	23 15 12·2	21·98	− 10 27 41	+ 144·4
19	23 17 23·9	21·94	− 10 13 13	+ 145·0
20	23 19 35·5	21·91	− 9 58 41	+ 145·6
21	23 21 46·9	21·88	− 9 44 6	+ 146·1
22	23 23 58·1	21·85	− 9 29 28	+ 146·6
23	23 26 9·1	21·82	− 9 14 46	+ 147·2
24	23 28 19·9	21·79	− 9 0 2	+ 147·6

Mittlere Green. Zeit	Rectascension	Aenderung in 10m	Declination − Süd	Aenderung in 10m
Sonntag 31.				
h	h m s	s	° ′ ″	″
0	23 28 19·9	21·79	− 9 0 2	+ 147·6
1	23 30 30·6	21·77	− 8 45 14	+ 148·1
2	23 32 41·1	21·74	− 8 30 24	+ 148·6
3	23 34 51·5	21·71	− 8 15 31	+ 149·1
4	23 37 1·7	21·69	− 8 0 35	+ 149·5
5	23 39 11·8	21·66	− 7 45 37	+ 149·9
6	23 41 21·7	21·64	− 7 30 36	+ 150·3
7	23 43 31·4	21·61	− 7 15 33	+ 150·7
8	23 45 41·0	21·59	− 7 0 27	+ 151·1
9	23 47 50·5	21·57	− 6 45 20	+ 151·5
10	23 49 59·9	21·55	− 6 30 10	+ 151·8
11	23 52 9·1	21·53	− 6 14 58	+ 152·2
12	23 54 18·2	21·51	− 5 59 44	+ 152·5
13	23 56 27·2	21·49	− 5 44 28	+ 152·8
14	23 58 36·0	21·47	− 5 29 10	+ 153·1
15	0 0 44·8	21·45	− 5 13 50	+ 153·4
16	0 2 53·5	21·43	− 4 58 29	+ 153·7
17	0 5 2·0	21·42	− 4 43 6	+ 153·9
18	0 7 10·5	21·40	− 4 27 42	+ 154·1
19	0 9 18·9	21·39	− 4 12 17	+ 154·4
20	0 11 27·2	21·37	− 3 56 50	+ 154·6
21	0 13 35·4	21·36	− 3 41 22	+ 154·8
22	0 15 43·5	21·35	− 3 25 53	+ 155·0
23	0 17 51·5	21·34	− 3 10 22	+ 155·1
Montag, Juni 1.				
0	0 19 59·5	21·33	− 2 54 51	+ 155·3

PHASEN DES MONDES.

Mittlere Greenwicher Zeit.

		h m		
Mai	1.	1 51·1	☾	Letztes Viertel.
	7.	18 15·6	●	Neumond.
	15.	7 4·4	☽	Erstes Viertel.
	23.	6 25·9	○	Vollmond.
	30.	6 54·6	☾	Letztes Viertel.

		h		
Mai	4.	21	☾	Perigaeum.
	16.	18	☾	Apogaeum.
	31.	9	☾	Perigaeum.

Venus.

Datum	Mittlerer Greenwicher Mittag. Rect-ascension	Stdl. Aend.	Declination + Nord	Stdl. Aend.	Im Meridian. Mittlere Gr. Zeit
	h m s	s	° ′ ″	s	h m
1	0 20 11·3	+10·98	+ 0 24 51	+67·4	21 44·1
2	0 24 34·9	+10·98	+ 0 51 49	+67·5	21 44·5
3	0 28 58·6	+10·99	+ 1 18 49	+67·5	21 45·0
4	0 33 22·5	+11·00	+ 1 45 50	+67·6	21 45·5
5	0 37 46·5	+11·01	+ 2 12 53	+67·6	21 45·9
6	0 42 10·8	+11·02	+ 2 39 55	+67·6	21 46·4
7	0 46 35·3	+11·03	+ 3 6 58	+67·6	21 46·8
8	0 51 0·1	+11·04	+ 3 33 58	+67·5	21 47·3
9	0 55 25·2	+11·05	+ 4 0 57	+67·4	21 47·8
10	0 59 50·6	+11·07	+ 4 27 54	+67·3	21 48·3
11	1 4 16·4	+11·08	+ 4 54 47	+67·2	21 48·8
12	1 8 42·5	+11·10	+ 5 21 37	+67·0	21 49·3
13	1 13 9·1	+11·12	+ 5 48 22	+66·8	21 49·8
14	1 17 36·2	+11·14	+ 6 15 1	+66·5	21 50·3
15	1 22 3·7	+11·16	+ 6 41 35	+66·3	21 50·8
16	1 26 31·8	+11·18	+ 7 8 2	+66·0	21 51·4
17	1 31 0·4	+11·20	+ 7 34 23	+65·7	21 51·9
18	1 35 29·6	+11·23	+ 8 0 35	+65·3	21 52·5
19	1 39 59·5	+11·26	+ 8 26 38	+65·0	21 53·0
20	1 44 30·0	+11·29	+ 8 52 32	+64·6	21 53·6
21	1 49 1·2	+11·31	+ 9 18 17	+64·1	21 54·2
22	1 53 33·1	+11·35	+ 9 43 51	+63·7	21 54·8
23	1 58 5·7	+11·38	+10 9 14	+63·2	21 55·4
24	2 2 39·2	+11·41	+10 34 25	+62·7	21 56·0
25	2 7 13·4	+11·45	+10 59 23	+62·2	21 56·7
26	2 11 48·5	+11·48	+11 24 8	+61·6	21 57·4
27	2 16 24·5	+11·52	+11 48 39	+61·0	21 58·0
28	2 21 1·3	+11·55	+12 12 56	+60·4	21 58·7
29	2 25 39·1	+11·59	+12 36 57	+59·7	21 59·4
30	2 30 17·8	+11·63	+13 0 42	+59·0	22 0·1
31	2 34 57·5	+11·67	+13 24 10	+58·3	22 0·8
J. 1	2 39 38·1	+11·72	+13 47 21	+57·6	22 1·6

Mars.

Datum	Mittlerer Greenwicher Mittag. Rect-ascension	Stdl. Aend.	Declination + Nord	Stdl. Aend.	Im Meridian. Mittlere Gr. Zeit
	h m s	″	° ′ ″	″	h m
1	4 23 21·1	+7·24	+22 19 1	+17·7	1 46·8
2	4 26 14·8	+7·24	+22 26 1	+17·2	1 45·7
3	4 29 8·7	+7·25	+22 32 48	+16·7	1 44·7
4	4 32 2·8	+7·25	+22 39 24	+16·2	1 43·6
5	4 34 56·9	+7·26	+22 45 48	+15·8	1 42·6
6	4 37 51·2	+7·26	+22 51 59	+15·3	1 41·6
7	4 40 45·6	+7·27	+22 57 59	+14·8	1 40·5
8	4 43 40·1	+7·27	+23 3 46	+14·3	1 39·5
9	4 46 34·7	+7·28	+23 9 22	+13·8	1 38·5
10	4 49 29·4	+7·28	+23 14 45	+13·2	1 37·4
11	4 52 24·1	+7·28	+23 19 56	+12·7	1 36·4
12	4 55 18·9	+7·29	+23 24 55	+12·2	1 35·4
13	4 58 13·8	+7·29	+23 29 41	+11·7	1 34·3
14	5 1 8·7	+7·29	+23 34 15	+11·2	1 33·3
15	5 4 3·7	+7·29	+23 38 37	+10·7	1 32·3
16	5 6 58·7	+7·29	+23 42 47	+10·1	1 31·3
17	5 9 53·7	+7·29	+23 46 44	+ 9·6	1 30·2
18	5 12 48·7	+7·29	+23 50 29	+ 9·1	1 29·2
19	5 15 43·8	+7·29	+23 54 2	+ 8·6	1 28·2
20	5 18 38·8	+7·29	+23 57 22	+ 8·1	1 27·2
21	5 21 33·9	+7·29	+24 0 29	+ 7·6	1 26·1
22	5 24 28·9	+7·29	+24 3 24	+ 7·0	1 25·1
23	5 27 23·9	+7·29	+24 6 7	+ 6·5	1 24·1
24	5 30 18·9	+7·29	+24 8 38	+ 6·0	1 23·1
25	5 33 13·8	+7·29	+24 10 56	+ 5·5	1 22·0
26	5 36 8·7	+7·29	+24 13 2	+ 5·0	1 21·0
27	5 39 3·6	+7·28	+24 14 55	+ 4·5	1 20·0
28	5 41 58·4	+7·28	+24 16 36	+ 4·0	1 19·0
29	5 44 53·1	+7·28	+24 18 5	+ 3·4	1 17·9
30	5 47 47·8	+7·28	+24 19 21	+ 2·9	1 16·9
31	5 50 42·4	+7·27	+24 20 25	+ 2·4	1 15·9
J. 1	5 53 36·9	+7·27	+24 21 17	+ 1·9	1 14·8

Datum	Halbmesser	Horizontal-Parallaxe	Datum	Halbmesser	Horizontal-Parallaxe
	″	″		″	″
1	6·9	7·1	1	2·1	3·7
11	6·6	6·8	11	2·1	3·6
21	6·3	6·5	21	2·0	3·6
31	6·0	6·2	31	2·0	3·5

Jupiter.						Saturn.					
Mittlerer Greenwicher Mittag.					Im Meridian. Mittlere Gr. Zeit	Mittlerer Greenwicher Mittag.					Im Meridian. Mittlere Gr. Zeit
Datum	Rectascension	Stdl. Aend.	Declination − Süd	Stdl. Aend.		Datum	Rectascension	Stdl. Aend.	Declination + Nord	Stdl. Aend.	
	h m s	s	° ′ ″	″	h m		h m s	s	° ′ ″	″	h m
1	22 53 12·0	+1·65	−8 8 9	+9·6	20 13·9	1	10 50 59·9	−0·19	+9 37 0	+0·8	8 13·1
2	22 53 51·5	+1·64	−8 4 21	+9·5	20 10·6	2	10 50 55·5	−0·18	+9 37 17	+0·7	8 9·1
3	22 54 30·6	+1·62	−8 0 35	+9·4	20 7·3	3	10 50 51·4	−0·16	+9 37 32	+0·6	8 5·1
4	22 55 9·3	+1·60	−7 56 51	+9·3	20 4·0	4	10 50 47·8	−0·15	+9 37 44	+0·5	8 1·1
5	22 55 47·6	+1·59	−7 53 10	+9·2	20 0·7	5	10 50 44·5	−0·13	+9 37 54	+0·4	7 57·1
6	22 56 25·4	+1·57	−7 49 31	+9·1	19 57·4	6	10 50 41·6	−0·11	+9 38 2	+0·3	7 53·2
7	22 57 2·8	+1·55	−7 45 55	+9·0	19 54·1	7	10 50 39·1	−0·10	+9 38 7	+0·2	7 49·2
8	22 57 39·8	+1·53	−7 42 21	+8·9	19 50·8	8	10 50 37·0	−0·08	+9 38 10	+0·1	7 45·2
9	22 58 16·4	+1·51	−7 38 50	+8·7	19 47·5	9	10 50 35·3	−0·06	+9 38 10	0·0	7 41·3
10	22 58 52·5	+1·49	−7 35 21	+8·6	19 44·1	10	10 50 34·0	−0·05	+9 38 8	−0·1	7 37·3
11	22 59 28·1	+1·48	−7 31 55	+8·5	19 40·8	11	10 50 33·1	−0·03	+9 38 4	−0·2	7 33·4
12	23 0 3·3	+1·46	−7 28 32	+8·4	19 37·4	12	10 50 32·5	−0·01	+9 37 57	−0·4	7 29·4
13	23 0 38·0	+1·44	−7 25 12	+8·3	19 34·1	13	10 50 32·4	0·00	+9 37 47	−0·5	7 25·5
14	23 1 12·2	+1·42	−7 21 55	+8·2	19 30·7	14	10 50 32·6	+0·02	+9 37 35	−0·5	7 21·6
15	23 1 46·0	+1·40	−7 18 40	+8·0	19 27·3	15	10 50 33·3	+0·04	+9 37 21	−0·6	7 17·7
16	23 2 19·3	+1·38	−7 15 29	+7·9	19 23·9	16	10 50 34·3	+0·05	+9 37 4	−0·7	7 13·7
17	23 2 52·1	+1·36	−7 12 20	+7·8	19 20·5	17	10 50 35·7	+0·07	+9 36 45	−0·8	7 9·8
18	23 3 24·4	+1·34	−7 9 15	+7·7	19 17·1	18	10 50 37·5	+0·08	+9 36 24	−0·9	7 5·9
19	23 3 56·2	+1·32	−7 6 13	+7·5	19 13·7	19	10 50 39·7	+0·10	+9 36 0	−1·1	7 2·1
20	23 4 27·5	+1·30	−7 3 13	+7·4	19 10·3	20	10 50 42·3	+0·12	+9 35 33	−1·1	6 58·2
21	23 4 58·3	+1·27	−7 0 17	+7·3	19 6·9	21	10 50 45·3	+0·13	+9 35 5	−1·2	6 54·3
22	23 5 28·6	+1·25	−6 57 24	+7·2	19 3·4	22	10 50 48·7	+0·15	+9 34 34	−1·3	6 50·4
23	23 5 58·4	+1·23	−6 54 34	+7·0	19 0·0	23	10 50 52·5	+0·16	+9 34 0	−1·4	6 46·5
24	23 6 27·7	+1·21	−6 51 47	+6·9	18 56·5	24	10 50 56·6	+0·18	+9 33 24	−1·5	6 42·7
25	23 6 56·4	+1·19	−6 49 4	+6·7	18 53·1	25	10 51 1·1	+0·20	+9 32 46	−1·6	6 38·8
26	23 7 24·6	+1·16	−6 46 24	+6·6	18 49·6	26	10 51 6·0	+0·21	+9 32 6	−1·7	6 35·0
27	23 7 52·3	+1·14	−6 43 47	+6·5	18 46·1	27	10 51 11·3	+0·23	+9 31 23	−1·8	6 31·1
28	23 8 19·4	+1·12	−6 41 14	+6·3	18 42·6	28	10 51 16·9	+0·24	+9 30 38	−1·9	6 27·3
29	23 8 46·0	+1·10	−6 38 45	+6·2	18 39·1	29	10 51 23·0	+0·26	+9 29 51	−2·0	6 23·5
30	23 9 12·0	+1·07	−6 36 19	+6·0	18 35·6	30	10 51 29·4	+0·28	+9 29 2	−2·1	6 19·6
31	23 9 37·5	+1·05	−6 33 56	+5·9	18 32·1	31	10 51 36·2	+0·29	+9 28 10	−2·2	6 15·8
J. 1	23 10 2·4	+1·03	−6 31 37	+5·7	18 28·6	J. 1	10 51 43·3	+0·31	+9 27 16	−2·3	6 12·0

Datum	Halbmesser	Horizontal-Parallaxe	Datum	Halbmesser	Horizontal-Parallaxe
	″	″		″	″
1	17·3	1·6	1	8·9	1·0
11	17·7	1·7	11	8·7	1·0
21	18·2	1·7	21	8·5	1·0
31	18·8	1·8	31	8·4	1·0

MOND-DISTANZEN.

Mittlere Greenwicher Zeit.

Datum	Namen u. Lage der Sterne		Mittag	Lg. pr.	III^h	Lg. pr.	VI^h	Lg. pr.	IX^h	Lg. pr.
			° ′ ″		° ′ ″		° ′ ″		° ′ ″	
1	Antares	W.	61 19 47	2352	63 4 31	2344	64 49 27	2335	66 34 36	2326
	Jupiter	O.	31 52 40	2436	30 9 57	2433	28 27 10	2431	26 44 19	2429
	α Pegasi	O.	47 58 42	3164	46 31 50	3206	45 5 48	3253	43 40 42	3308
	Venus	O.	54 59 13	2728	53 23 10	2719	51 46 56	2710	50 10 30	2701
	Sonne	O.	91 0 21	2650	89 22 34	2641	87 44 35	2632	86 6 23	2623
2	Antares	W.	75 23 29	2284	77 9 52	2276	78 56 26	2269	80 43 11	2262
	α Aquilæ	W.	41 17 0	4797	42 16 39	4613	43 18 52	4449	44 23 29	4302
	Venus	O.	42 5 28	2660	40 27 55	2653	38 50 12	2646	37 12 19	2639
	Sonne	O.	77 52 26	2580	76 13 3	2572	74 33 29	2564	72 53 44	2556
3	Antares	W.	89 39 33	2229	91 27 18	2223	93 15 12	2217	95 3 14	2211
	α Aquilæ	W.	50 17 12	3749	51 33 7	3667	52 50 29	3592	54 9 12	3524
	Venus	O.	29 0 43	2610	27 22 1	2606	25 43 14	2603	24 4 23	2601
	Sonne	O.	64 32 25	2520	62 51 40	2514	61 10 46	2508	59 29 44	2502
4	Antares	W.	104 5 15	2190	105 53 57	2187	107 42 44	2185	109 31 34	2182
	α Aquilæ	W.	60 59 39	3264	62 24 33	3225	63 50 13	3189	65 16 35	3157
	Sonne	O.	51 2 45	2480	49 21 3	2476	47 39 16	2472	45 57 24	2470
5	α Aquilæ	W.	72 36 55	3040	74 6 18	3024	75 36 1	3011	77 6 0	3000
	Sonne	O.	37 27 28	2465	35 45 25	2465	34 3 23	2467	32 21 23	2469
9	Sonne	W.	16 6 43	2741	17 42 29	2752	19 18 0	2765	20 53 14	2779
	Regulus	O.	83 39 5	2421	81 56 0	2435	80 13 15	2450	78 30 51	2465
	Saturn	O.	95 39 51	2410	93 56 31	2424	92 13 31	2439	90 30 52	2454
10	Sonne	W.	28 44 33	2856	30 17 48	2873	31 50 42	2890	33 23 14	2906
	Regulus	O.	70 4 15	2543	68 24 2	2559	66 44 11	2576	65 4 43	2593
	Saturn	O.	82 2 59	2531	80 22 29	2548	78 42 22	2564	77 2 37	2580
11	Sonne	W.	41 0 37	2991	42 31 1	3007	44 1 5	3025	45 30 47	3041
	Regulus	O.	56 53 2	2675	55 15 49	2692	53 38 59	2710	52 2 32	2726
	Saturn	O.	68 49 25	2661	67 11 53	2677	65 34 42	2693	63 57 53	2709
	Spica	O.	110 56 30	2678	109 19 20	2693	107 42 31	2708	106 6 2	2724
12	Sonne	W.	52 54 14	3123	54 21 56	3138	55 49 19	3154	57 16 23	3170
	Mars	W.	29 10 40	3014	30 40 35	3030	32 10 11	3045	33 39 28	3060
	Regulus	O.	44 5 47	2810	42 31 32	2826	40 57 38	2843	39 24 6	2860
	Saturn	O.	55 59 4	2788	54 24 20	2802	52 49 55	2818	51 15 50	2832
	Spica	O.	98 8 42	2799	96 34 13	2814	95 0 3	2828	93 26 12	2842
13	Sonne	W.	64 27 17	3241	65 52 37	3254	67 17 42	3268	68 42 31	3280
	Mars	W.	41 1 25	3130	42 28 58	3143	43 56 15	3156	45 23 17	3168
	Regulus	O.	31 41 51	2945	30 10 29	2963	28 39 30	2981	27 8 54	3001
	Saturn	O.	43 30 5	2903	41 57 50	2916	40 25 51	2929	38 54 9	2942
	Spica	O.	85 41 21	2909	84 9 14	2921	82 37 22	2934	81 5 46	2946
14	Sonne	W.	75 43 10	3337	77 6 39	3346	78 29 57	3356	79 53 4	3365
	Mars	W.	52 34 55	3224	54 0 36	3233	55 26 6	3242	56 51 25	3252
	Pollux	W.	17 21 46	3032	18 51 19	3034	20 20 49	3036	21 50 17	3039
	Saturn	O.	31 19 38	3003	29 49 29	3015	28 19 35	3027	26 49 56	3038
	Spica	O.	73 31 20	2999	72 1 6	3009	70 31 4	3018	69 1 14	3027

MOND-DISTANZEN.

Mittlere Greenwicher Zeit.

Datum	Namen u. Lage der Sterne		Mitternacht	Lg. pr.	XV^h	Lg. pr.	XVIII^h	Lg. pr.	XXI^h	Lg. pr.
			° ′ ″		° ′ ″		° ′ ″		° ′ ″	
1	Antares	W.	68 19 58	2317	70 5 33	2308	71 51 20	2300	73 37 19	2293
	Jupiter	O.	25 1 26	2429	23 18 33	2432	21 35 44	2438	19 53 4	2448
	α Pegasi	O.	42 16 40	3370	40 53 49	3441	39 32 19	3524	38 12 21	3619
	Venus	O.	48 33 52	2693	46 57 3	2684	45 20 2	2676	43 42 50	2669
	Sonne	O.	84 28 0	2614	82 49 24	2605	81 10 36	2597	79 31 37	2588
2	Antares	W.	82 30 7	2255	84 17 13	2247	86 4 30	2241	87 51 57	2235
	α Aquilæ	W.	45 30 20	4168	46 39 16	4047	47 50 9	3938	49 2 50	3839
	Venus	O.	35 34 17	2632	33 56 5	2626	32 17 45	2621	30 39 18	2615
	Sonne	O.	71 13 49	2548	69 33 43	2540	67 53 26	2534	66 13 0	2527
3	Antares	W.	96 51 25	2206	98 39 43	2202	100 28 7	2198	102 16 38	2194
	α Aquilæ	W.	55 29 9	3462	56 50 16	3406	58 12 26	3354	59 35 35	3306
	Venus	O.	22 25 29	2599	20 46 33	2600	19 7 38	2602	17 28 46	2607
	Sonne	O.	57 48 34	2497	56 7 17	2492	54 25 53	2487	52 44 22	2483
4	Antares	W.	111 20 28	2181	113 9 24	2179	114 58 23	2178	116 47 23	2178
	α Aquilæ	W.	66 43 36	3128	68 11 12	3102	69 39 19	3079	71 7 54	3058
	Sonne	O.	44 15 29	2469	42 33 32	2467	40 51 32	2465	39 9 30	2465
5	α Aquilæ	W.	78 36 13	2990	80 6 38	2984	81 37 11	2978	83 7 51	2976
	Sonne	O.	30 39 26	2470	28 57 31	2473	27 15 40	2477	25 33 55	2482
9	Sonne	W.	22 28 9	2794	24 2 45	2809	25 37 1	2824	27 10 57	2840
	Regulus	O.	76 48 48	2480	75 7 7	2496	73 25 48	2511	71 44 50	2527
	Saturn	O.	88 48 34	2470	87 6 38	2484	85 25 3	2500	83 43 50	2516
10	Sonne	W.	34 55 25	2923	36 27 15	2939	37 58 44	2957	39 29 51	2973
	Regulus	O.	63 25 38	2609	61 46 55	2626	60 8 35	2642	58 30 37	2659
	Saturn	O.	75 23 15	2596	73 44 15	2612	72 5 36	2629	70 27 20	2644
11	Sonne	W.	47 0 9	3057	48 29 11	3074	49 57 52	3091	51 26 13	3107
	Regulus	O.	50 26 27	2743	48 50 44	2760	47 15 23	2776	45 40 24	2793
	Saturn	O.	62 21 25	2725	60 45 19	2741	59 9 33	2756	57 34 8	2772
	Spica	O.	104 29 54	2740	102 54 7	2754	101 18 39	2769	99 43 31	2784
12	Sonne	W.	58 43 8	3184	60 9 36	3198	61 35 47	3214	63 1 40	3227
	Mars	W.	35 8 27	3074	36 37 8	3089	38 5 31	3104	39 33 36	3117
	Regulus	O.	37 50 56	2876	36 18 7	2894	34 45 40	2910	33 13 34	2928
	Saturn	O.	49 42 4	2847	48 8 37	2862	46 35 29	2875	45 2 38	2889
	Spica	O.	91 52 39	2855	90 19 23	2869	88 46 25	2883	87 13 45	2896
13	Sonne	W.	70 7 6	3292	71 31 27	3303	72 55 35	3315	74 19 29	3326
	Mars	W.	46 50 4	3180	48 16 37	3192	49 42 56	3203	51 9 2	3214
	Regulus	O.	25 38 43	3022	24 8 57	3043	22 39 38	3067	21 10 48	3093
	Saturn	O.	37 22 44	2955	35 51 35	2967	34 20 41	2979	32 50 2	2991
	Spica	O.	79 34 25	2957	78 3 18	2968	76 32 25	2979	75 1 46	2989
14	Sonne	W.	81 16 1	3373	82 38 48	3381	84 1 26	3389	85 23 55	3396
	Mars	W.	58 16 33	3260	59 41 31	3268	61 6 20	3275	62 31 1	3282
	Pollux	W.	23 19 41	3043	24 49 0	3047	26 18 15	3051	27 47 24	3055
	Saturn	O.	25 20 31	3051	23 51 21	3064	22 22 27	3076	20 53 48	3090
	Spica	O.	67 31 35	3035	66 2 6	3043	64 32 47	3051	63 3 37	3058

MOND-DISTANZEN.

Mittlere Greenwicher Zeit.

Datum	Namen u. Lage der Sterne		Mittag	Lg. pr.	III^h	Lg. pr.	VI^h	Lg. pr.	IX^h	Lg. pr.
			° ′ ″		° ′ ″		° ′ ″		° ′ ″	
15	Sonne	W.	86 46 16	3402	88 8 30	3408	89 30 37	3414	90 52 38	3419
	Mars	W.	63 55 34	3288	65 19 59	3294	66 44 18	3300	68 8 30	3304
	Pollux	W.	29 16 29	3059	30 45 29	3063	32 14 24	3066	33 43 15	3069
	Spica	O.	61 34 36	3065	60 5 44	3071	58 36 59	3078	57 8 22	3083
	Antares	O.	107 26 38	3051	105 57 28	3056	104 28 24	3061	102 59 27	3065
16	Sonne	W.	97 41 30	3436	99 3 6	3438	100 24 40	3438	101 46 13	3439
	Mars	W.	75 8 18	3320	76 32 6	3323	77 55 51	3324	79 19 35	3325
	Pollux	W.	41 6 38	3081	42 35 11	3081	44 3 44	3082	45 32 15	3082
	Spica	O.	49 46 49	3105	48 18 46	3109	46 50 47	3112	45 22 52	3115
	Antares	O.	95 35 50	3080	94 7 16	3082	92 38 45	3083	91 10 15	3084
17	Sonne	W.	108 33 55	3436	109 55 31	3433	111 17 10	3431	112 38 52	3428
	Mars	W.	86 18 12	3321	87 41 59	3318	89 5 49	3316	90 29 42	3313
	Pollux	W.	52 54 59	3077	54 23 37	3074	55 52 18	3072	57 21 2	3069
	Spica	O.	38 4 4	3127	36 36 27	3128	35 8 52	3131	33 41 20	3133
	Antares	O.	83 47 48	3081	82 19 15	3078	80 50 39	3077	79 22 1	3074
18	Sonne	W.	119 28 26	3404	120 50 38	3399	122 12 56	3392	123 35 22	3386
	Mars	W.	97 30 11	3290	98 54 34	3285	100 19 3	3279	101 43 39	3272
	Pollux	W.	64 45 51	3047	66 15 6	3041	67 44 28	3035	69 13 57	3029
	Regulus	W.	28 48 58	3102	30 17 5	3092	31 45 24	3082	33 13 56	3071
	Antares	O.	71 57 48	3054	70 28 42	3048	68 59 29	3043	67 30 9	3037
19	Pollux	W.	76 43 29	2992	78 13 52	2984	79 44 25	2976	81 15 8	2966
	Regulus	W.	40 39 43	3021	42 9 30	3011	43 39 29	3001	45 9 41	2991
	Saturn	W.	28 31 5	3019	30 0 54	3009	31 30 56	2997	33 1 12	2987
	Antares	O.	60 1 34	3001	58 31 25	2995	57 1 6	2988	55 30 38	2979
	α Aquilæ	O.	106 14 56	3855	105 0 50	3835	103 46 24	3815	102 31 37	3796
20	Pollux	W.	88 51 38	2919	90 23 33	2908	91 55 41	2898	93 28 2	2888
	Regulus	W.	52 43 57	2937	54 15 29	2926	55 47 15	2915	57 19 15	2904
	Saturn	W.	40 35 48	2934	42 7 24	2923	43 39 14	2912	45 11 18	2901
	Antares	O.	47 55 38	2936	46 24 5	2927	44 52 21	2918	43 20 25	2909
	α Aquilæ	O.	96 13 10	3715	94 56 39	3701	93 39 53	3688	92 22 53	3677
21	Regulus	W.	65 2 53	2845	66 36 22	2834	68 10 5	2822	69 44 4	2811
	Saturn	W.	52 55 14	2844	54 28 45	2831	56 2 32	2820	57 36 34	2809
	Antares	O.	35 37 54	2865	34 4 50	2857	32 31 36	2849	30 58 12	2841
	α Aquilæ	O.	85 54 55	3627	84 36 50	3620	83 18 37	3613	82 0 17	3609
22	Regulus	W.	77 37 49	2752	79 13 20	2740	80 49 7	2728	82 25 9	2716
	Saturn	W.	65 30 31	2750	67 6 5	2737	68 41 55	2727	70 17 59	2715
	Spica	W.	23 55 39	2860	25 28 49	2834	27 2 32	2811	28 36 46	2790
	α Aquilæ	O.	75 27 39	3600	74 9 5	3603	72 50 34	3606	71 32 6	3612
	Fomalhaut	O.	105 53 44	2917	104 21 47	2903	102 49 32	2890	101 17 0	2876
23	Regulus	W.	90 29 11	2660	92 6 45	2649	93 44 34	2638	95 22 37	2627
	Saturn	W.	78 22 13	2658	79 59 49	2647	81 37 40	2636	83 15 46	2626
	Spica	W.	36 34 13	2703	38 10 49	2687	39 47 46	2673	41 25 2	2659
	α Aquilæ	O.	65 2 0	3669	63 44 40	3688	62 27 40	3709	61 11 3	3733
	Fomalhaut	O.	93 30 6	2814	91 55 56	2802	90 21 31	2791	88 46 51	2781
	Jupiter	O.	106 5 41	2701	104 29 2	2689	102 52 8	2678	101 14 59	2667

MOND-DISTANZEN.

Mittlere Greenwicher Zeit.

Datum	Namen u. Lage der Sterne		Mitternacht	Lg. pr.	XV^h	Lg. pr.	XVIII^h	Lg. pr.	XXI^h	Lg. pr.
			° ′ ″		° ′ ″		° ′ ″		° ″	
15	Sonne	W.	92 14 33	3423	93 36 23	3427	94 58 9	3431	96 19 51	3433
	Mars	W.	69 32 37	3309	70 56 38	3313	72 20 35	3316	73 44 28	3318
	Pollux	W.	35 12 2	3073	36 40 45	3075	38 9 25	3077	39 38 3	3079
	Spica	O.	55 39 52	3088	54 11 28	3093	52 43 10	3097	51 14 57	3101
	Antares	O.	101 30 35	3069	100 1 48	3073	98 33 5	3076	97 4 26	3078
16	Sonne	W.	103 7 45	3440	104 29 16	3439	105 50 48	3438	107 12 21	3438
	Mars	W.	80 43 18	3325	82 7 0	3325	83 30 43	3324	84 54 27	3323
	Pollux	W.	47 0 46	3082	48 29 18	3082	49 57 50	3080	51 26 24	3079
	Spica	O.	43 55 1	3118	42 27 13	3119	40 59 27	3122	39 31 44	3124
	Antares	O.	89 41 46	3084	88 13 17	3084	86 44 48	3084	85 16 19	3082
17	Sonne	W.	114 0 37	3423	115 22 27	3420	116 44 21	3415	118 6 21	3410
	Mars	W.	91 53 38	3309	93 17 39	3306	94 41 44	3300	96 5 55	3296
	Pollux	W.	58 49 50	3065	60 18 42	3061	61 47 39	3056	63 16 42	3052
	Spica	O.	32 13 51	3136	30 46 25	3139	29 19 3	3143	27 51 46	3148
	Antares	O.	77 53 20	3070	76 24 34	3066	74 55 43	3063	73 26 48	3059
18	Sonne	W.	124 57 55	3378	126 20 37	3371	127 43 27	3363	129 6 26	3354
	Mars	W.	103 8 23	3265	104 33 15	3258	105 58 16	3250	107 23 26	3242
	Pollux	W.	70 43 34	3022	72 13 20	3015	73 43 14	3008	75 13 17	3001
	Regulus	W.	34 42 41	3061	36 11 38	3052	37 40 47	3041	39 10 9	3031
	Antares	O.	66 0 42	3031	64 31 8	3024	63 1 25	3018	61 31 34	3010
19	Pollux	W.	82 46 3	2958	84 17 9	2948	85 48 27	2939	87 19 56	2929
	Regulus	W.	46 40 5	2980	48 10 43	2969	49 41 34	2958	51 12 39	2948
	Saturn	W.	34 31 41	2977	36 2 22	2966	37 33 17	2955	39 4 26	2945
	Antares	O.	53 59 59	2971	52 29 10	2963	50 58 11	2954	49 27 0	2945
	α Aquilæ	O.	101 16 31	3779	100 1 7	3762	98 45 25	3745	97 29 25	3730
20	Pollux	W.	95 0 36	2877	96 33 24	2866	98 6 26	2855	99 39 42	2845
	Regulus	W.	58 51 29	2892	60 23 58	2880	61 56 42	2869	63 29 40	2858
	Saturn	W.	46 43 36	2890	48 16 8	2878	49 48 55	2866	51 21 57	2855
	Antares	O.	41 48 18	2900	40 15 59	2891	38 43 29	2882	37 10 47	2873
	α Aquilæ	O.	91 5 41	3664	89 48 16	3653	88 30 39	3644	87 12 52	3635
21	Regulus	W.	71 18 18	2798	72 52 48	2787	74 27 33	2775	76 2 33	2763
	Saturn	W.	59 10 50	2797	60 45 22	2785	62 20 10	2773	63 55 13	2762
	Antares	O.	29 24 38	2835	27 50 56	2830	26 17 7	2825	24 43 12	2822
	α Aquilæ	O.	80 41 52	3604	79 23 22	3601	78 4 49	3599	76 46 14	3599
22	Regulus	W.	84 1 27	2705	85 38 0	2693	87 14 49	2683	88 51 52	2671
	Saturn	W.	71 54 19	2703	73 30 55	2692	75 7 46	2681	76 44 52	2669
	Spica	W.	30 11 27	2771	31 46 33	2753	33 22 3	2735	34 57 57	2718
	α Aquilæ	O.	70 13 45	3620	68 55 32	3628	67 37 28	3640	66 19 37	3653
	Fomalhaut	O.	99 44 10	2862	98 11 3	2850	96 37 40	2838	95 4 1	2825
23	Regulus	W.	97 0 55	2617	98 39 27	2607	100 18 13	2596	101 57 13	2586
	Saturn	W.	84 54 6	2615	86 32 41	2604	88 11 31	2594	89 50 34	2583
	Spica	W.	43 2 37	2646	44 40 30	2632	46 18 41	2620	47 57 9	2607
	α Aquilæ	O.	59 54 51	3761	58 39 8	3792	57 23 58	3828	56 9 25	3868
	Fomalhaut	O.	87 11 58	2770	85 36 51	2761	84 1 32	2751	82 26 0	2743
	Jupiter	O.	99 37 35	2656	97 59 56	2646	96 22 3	2634	94 43 55	2623

MOND-DISTANZEN.

Mittlere Greenwicher Zeit.

Datum	Namen u. Lage der Sterne		Mittag	Lg. pr.	III^h	Lg. pr.	VI^h	Lg. pr.	IX^h	Lg. pr.
			° ′ ″		° ′ ″		° ′ ″		° ′ ″	
24	Saturn	W.	91 29 52	2574	93 9 23	2564	94 49 8	2554	96 29 6	2545
	Spica	W.	49 35 54	2596	51 14 55	2584	52 54 12	2573	54 33 44	2562
	α Aquilæ	O.	54 55 33	3913	53 42 26	3962	52 30 9	4019	51 18 48	4081
	Fomalhaut	O.	80 50 17	2734	79 14 22	2725	77 38 16	2719	76 2 1	2711
	Jupiter	O.	93 5 32	2614	91 26 56	2604	89 48 6	2593	88 9 2	2584
	α Pegasi	O.	99 40 28	2980	98 9 50	2966	96 38 55	2954	95 7 44	2942
25	Spica	W.	62 55 2	2512	64 35 58	2503	66 17 7	2494	67 58 29	2485
	Antares	W.	17 13 40	2615	18 52 15	2586	20 31 29	2562	22 11 16	2541
	Fomalhaut	O.	67 58 39	2686	66 21 40	2682	64 44 36	2680	63 7 29	2678
	Jupiter	O.	79 50 28	2538	78 10 8	2530	76 29 36	2522	74 48 53	2514
	α Pegasi	O.	87 28 27	2896	85 56 3	2889	84 23 30	2883	82 50 49	2878
26	Spica	W.	76 28 13	2446	78 10 42	2438	79 53 22	2432	81 36 11	2426
	Antares	W.	30 36 18	2468	32 18 16	2457	34 0 29	2448	35 42 56	2438
	Fomalhaut	O.	55 1 46	2685	53 24 46	2690	51 47 53	2697	50 11 9	2705
	Jupiter	O.	66 22 35	2477	64 40 50	2470	62 58 55	2464	61 16 51	2457
	α Pegasi	O.	75 6 16	2868	73 33 16	2869	72 0 17	2871	70 27 21	2875
27	Spica	W.	90 12 32	2396	91 56 13	2391	93 40 1	2385	95 23 57	2380
	Antares	W.	44 18 17	2398	46 1 54	2392	47 45 40	2385	49 29 36	2380
	Fomalhaut	O.	42 11 9	2781	40 36 16	2805	39 1 55	2834	37 28 11	2868
	Jupiter	O.	52 44 27	2431	51 1 36	2426	49 18 39	2422	47 35 36	2418
	α Pegasi	O.	62 44 26	2914	61 12 25	2927	59 40 40	2942	58 9 15	2960
	Venus	O.	102 59 2	2766	101 23 49	2760	99 48 29	2755	98 13 2	2749
	α Arietis	O.	103 54 49	2485	102 13 14	2477	100 31 29	2472	98 49 36	2465
	Sonne	O.	133 4 40	2684	131 27 39	2678	129 50 30	2672	128 13 13	2667
28	Antares	W.	58 11 16	2353	59 55 58	2348	61 40 47	2344	63 25 42	2340
	Jupiter	O.	38 59 4	2403	37 15 34	2401	35 32 1	2400	33 48 27	2400
	α Pegasi	O.	50 38 42	3089	49 10 19	3127	47 42 42	3168	46 15 55	3216
	Venus	O.	90 14 0	2724	88 37 52	2720	87 1 39	2716	85 25 21	2712
	α Arietis	O.	90 18 13	2441	88 35 37	2437	86 52 55	2433	85 10 8	2430
	Sonne	O.	120 5 5	2643	118 27 9	2638	116 49 6	2635	115 10 58	2631
29	Antares	W.	72 11 43	2322	73 57 11	2319	75 42 43	2315	77 28 20	2313
	α Pegasi	O.	39 18 33	3566	37 59 22	3668	36 42 1	3786	35 26 44	3919
	α Arietis	O.	76 35 16	2420	74 52 10	2419	73 9 2	2418	71 25 53	2418
	Venus	O.	77 22 30	2694	75 45 42	2690	74 8 49	2688	72 31 53	2685
	Sonne	O.	106 59 2	2613	105 20 25	2610	103 41 43	2607	102 2 57	2604
30	Antares	W.	86 17 18	2301	88 3 16	2300	89 49 16	2298	91 35 19	2296
	α Aquilæ	W.	48 0 45	3991	49 12 33	3900	50 25 53	3816	51 40 39	3739
	α Arietis	O.	62 50 17	2424	61 7 17	2426	59 24 20	2431	57 41 29	2434
	Venus	O.	64 26 18	2672	62 49 1	2671	61 11 42	2669	59 34 20	2667
	Sonne	O.	93 48 15	2592	92 9 9	2591	90 30 1	2588	88 50 50	2586
31	Antares	W.	100 26 3	2291	102 12 16	2290	103 58 30	2289	105 44 45	2289
	α Aquilæ	W.	58 12 24	3451	59 33 43	3407	60 55 51	3368	62 18 44	3333
	α Arietis	O.	49 9 3	2469	47 27 6	2480	45 45 24	2492	44 3 59	2505
	Venus	O.	51 27 1	2660	49 49 28	2660	48 11 54	2660	46 34 20	2659
	Sonne	O.	80 34 23	2580	78 55 1	2580	77 15 38	2579	75 36 14	2578

MOND-DISTANZEN.

Mittlere Greenwicher Zeit.

Datum	Namen u. Lage der Sterne		Mitter-nacht	Lg. pr.	XV^h	Lg. pr.	XVIII^h	Lg. pr.	XXI^h	Lg. pr.
			° ′ ″		° ′ ″		° ′ ″		° ′ ″	
24	Saturn	W.	98 9 17	2535	99 49 41	2526	101 30 18	2517	103 11 7	2509
	Spica	W.	56 13 31	2552	57 53 32	2541	59 33 48	2531	61 14 18	2521
	α Aquilæ	O.	50 8 28	4152	48 59 16	4230	47 51 18	4318	46 44 42	4417
	Fomalhaut	O.	74 25 36	2705	72 49 3	2699	71 12 22	2694	69 35 34	2689
	Jupiter	O.	86 29 45	2574	84 50 15	2565	83 10 32	2556	81 30 36	2547
	α Pegasi	O.	93 36 18	2931	92 4 38	2921	90 32 46	2912	89 0 42	2903
25	Spica	W.	69 40 3	2477	71 21 49	2469	73 3 46	2461	74 45 54	2453
	Antares	W.	23 51 32	2524	25 32 12	2507	27 13 15	2493	28 54 38	2481
	Fomalhaut	O.	61 30 19	2678	59 53 9	2678	58 15 59	2679	56 38 51	2681
	Jupiter	O.	73 7 59	2505	71 26 53	2498	69 45 37	2491	68 4 11	2484
	α Pegasi	O.	81 18 2	2874	79 45 10	2871	78 12 14	2869	76 39 16	2868
26	Spica	W.	83 19 9	2419	85 2 17	2412	86 45 34	2407	88 28 59	2401
	Antares	W.	37 25 36	2429	39 8 29	2421	40 51 34	2413	42 34 50	2405
	Fomalhaut	O.	48 34 36	2715	46 58 16	2728	45 22 13	2742	43 46 29	2760
	Jupiter	O.	59 34 38	2452	57 52 17	2446	56 9 48	2440	54 27 11	2436
	α Pegasi	O.	68 54 30	2880	67 21 45	2886	65 49 8	2894	64 16 41	2903
27	Spica	W.	97 8 0	2375	98 52 10	2371	100 36 26	2367	102 20 48	2363
	Antares	W.	51 13 40	2374	52 57 52	2368	54 42 12	2363	56 26 40	2357
	Fomalhaut	O.	35 55 11	2908	34 23 3	2955	32 51 54	3010	31 21 54	3078
	Jupiter	O.	45 52 27	2414	44 9 13	2411	42 25 54	2408	40 42 31	2405
	α Pegasi	O.	56 38 12	2979	55 7 33	3002	53 37 23	3028	52 7 45	3056
	Venus	O.	96 37 27	2744	95 1 45	2738	93 25 56	2734	91 50 1	2729
	α Arietis	O.	97 7 34	2460	95 25 24	2455	93 43 7	2450	92 0 43	2445
	Sonne	O.	126 35 49	2662	124 58 18	2657	123 20 40	2652	121 42 56	2647
28	Antares	W.	65 10 43	2336	66 55 50	2333	68 41 2	2328	70 26 20	2325
	Jupiter	O.	32 4 53	2400	30 21 18	2401	28 37 45	2403	26 54 15	2407
	α Pegasi	O.	44 50 5	3270	43 25 18	3330	42 1 41	3399	40 39 23	3477
	Venus	O.	83 48 57	2707	82 12 27	2704	80 35 53	2701	78 59 14	2697
	α Arietis	O.	83 27 16	2428	81 44 21	2425	80 1 22	2423	78 18 20	2422
	Sonne	O.	113 32 45	2627	111 54 27	2623	110 16 3	2620	108 37 35	2616
29	Antares	W.	79 14 0	2311	80 59 44	2308	82 45 32	2305	84 31 24	2301
	α Pegasi	O.	34 13 44	4075	33 3 18	4255	31 55 44	4465	30 51 21	4711
	α Arietis	O.	69 42 44	2418	67 59 35	2419	66 16 27	2420	64 33 21	2422
	Venus	O.	70 54 53	2682	69 17 49	2680	67 40 42	2677	66 3 31	2675
	Sonne	O.	100 24 8	2601	98 45 15	2599	97 6 18	2596	95 27 18	2594
30	Antares	W.	93 21 24	2294	95 7 32	2294	96 53 41	2293	98 39 51	2291
	α Aquilæ	W.	52 56 45	3670	54 14 4	3608	55 32 30	3551	56 51 58	3498
	α Arietis	O.	55 58 43	2439	54 16 4	2445	52 33 34	2452	50 51 13	2460
	Venus	O.	57 56 56	2666	56 19 30	2664	54 42 2	2663	53 4 32	2662
	Sonne	O.	87 11 36	2585	85 32 20	2584	83 53 3	2583	82 13 44	2581
31	Antares	W.	107 31 0	2290	109 17 14	2290	111 3 28	2290	112 49 42	2291
	α Aquilæ	W.	63 42 17	3300	65 6 28	3270	66 31 14	3244	67 56 31	3220
	α Arietis	O.	42 22 53	2521	40 42 9	2539	39 1 50	2561	37 22 1	2585
	Venus	O.	44 56 45	2658	43 19 9	2659	41 41 34	2658	40 3 58	2659
	Sonne	O.	73 56 49	2578	72 17 24	2578	70 37 59	2578	68 58 34	2579

Tag im Jahre	Wochentag und Datum		Mittlerer Greenwicher Mittag. Sonne. Rectascension	Stdl. Aend.	Declination + Nord	Stündl. Aenderung	Halbmesser	Zeitgleichung − Von der wahren Zeit zu subtrah. + Zur wahren Zeit zu addiren	Stündl. Aenderung	Declination der Sonne im wahren Greenwicher Mittage
			h m s	s	° ′ ″	″	′ ″	m s	s	° ′ ″
152	Montag	1	4 36 17·1	10·23	+22 3 35	+20·4	15 48	−2 26·7	+0·37	+22 3 34
153	Dienst.	2	4 40 22·9	10·25	+22 11 34	+19·5	15 48	−2 17·5	+0·39	+22 11 33
154	Mittw.	3	4 44 29·0	10·26	+22 19 10	+18·5	15 48	−2 7·9	+0·41	+22 19 9
155	Donner.	4	4 48 35·6	10·28	+22 26 22	+17·5	15 48	−1 57·9	+0·42	+22 26 21
156	Freitag	5	4 52 42·5	10·29	+22 33 11	+16·5	15 48	−1 47·6	+0·44	+22 33 10
157	Samstag	6	4 56 49·7	10·31	+22 39 36	+15·5	15 48	−1 36·9	+0·45	+22 39 35
158	Sonntag	7	5 0 57·2	10·32	+22 45 37	+14·6	15 47	−1 25·9	+0·46	+22 45 37
159	Montag	8	5 5 5·1	10·33	+22 51 15	+13·6	15 47	−1 14·6	+0·47	+22 51 14
160	Dienst.	9	5 9 13·2	10·34	+22 56 28	+12·6	15 47	−1 3·1	+0·48	+22 56 28
161	Mittw.	10	5 13 21·5	10·35	+23 1 17	+11·5	15 47	−0 51·3	+0·49	+23 1 17
162	Donner.	11	5 17 30·1	10·36	+23 5 42	+10·5	15 47	−0 39·3	+0·50	+23 5 42
163	Freitag	12	5 21 38·8	10·37	+23 9 42	+ 9·5	15 47	−0 27·1	+0·51	+23 9 42
164	Samstag	13	5 25 47·7	10·38	+23 13 18	+ 8·5	15 47	−0 14·8	+0·52	+23 13 18
165	Sonntag	14	5 29 56·8	10·38	+23 16 29	+ 7·5	15 47	−0 2·3	+0·52	+23 16 29
166	Montag	15	5 34 6·0	10·39	+23 19 15	+ 6·4	15 47	+0 10·4	+0·53	+23 19 16
167	Dienst.	16	5 38 15·3	10·39	+23 21 37	+ 5·4	15 47	+0 23·1	+0·53	+23 21 37
168	Mittw.	17	5 42 24·6	10·39	+23 23 34	+ 4·4	15 47	+0 35·9	+0·53	+23 23 34
169	Donner.	18	5 46 34·0	10·39	+23 25 7	+ 3·3	15 46	+0 48·7	+0·54	+23 25 7
170	Freitag	19	5 50 43·5	10·39	+23 26 14	+ 2·3	15 46	+1 1·6	+0·54	+23 26 14
171	Samstag	20	5 54 53·0	10·39	+23 26 57	+ 1·3	15 46	+1 14·6	+0·54	+23 26 57
172	Sonntag	21	5 59 2·5	10·39	+23 27 15	+ 0·2	15 46	+1 27·5	+0·54	+23 27 15
173	Montag	22	6 3 11·9	10·39	+23 27 8	− 0·8	15 46	+1 40·3	+0·54	+23 27 8
174	Dienst.	23	6 7 21·3	10·39	+23 26 37	− 1·8	15 46	+1 53·2	+0·53	+23 26 37
175	Mittw.	24	6 11 30·6	10·39	+23 25 40	− 2·9	15 46	+2 6·0	+0·53	+23 25 40
176	Donner.	25	6 15 39·9	10·38	+23 24 19	− 3·9	15 46	+2 18·6	+0·53	+23 24 19
177	Freitag	26	6 19 49·0	10·38	+23 22 34	− 4·9	15 46	+2 31·2	+0·52	+23 22 34
178	Samstag	27	6 23 58·0	10·37	+23 20 24	− 5·9	15 46	+2 43·7	+0·52	+23 20 23
179	Sonntag	28	6 28 6·9	10·37	+23 17 49	− 7·0	15 46	+2 56·0	+0·51	+23 17 48
180	Montag	29	6 32 15·6	10·36	+23 14 49	− 8·0	15 46	+3 8·2	+0·50	+23 14 49
181	Dienst.	30	6 36 24·2	10·35	+23 11 26	− 9·0	15 46	+3 20·2	+0·49	+23 11 25
182	Mittw.	J. 1	6 40 32·5	10·34	+23 7 37	−10·0	15 46	+3 31·9	+0·48	+23 7 37

Wochentag und Datum		Sternzeit im mittleren Greenwich. Mittage	Mittlere Greenwicher Zeit. Mond. Obere Culmination	Stündliche Verzögerung	Halbmesser Mittag	Halbmesser Mitternacht	Horizontal-Parallaxe Mittag	Stündl. Aenderung	Mitternacht	Stündl. Aenderung	Alter Mittag
		h m s	h m	m	′ ″	′ ″	′ ″	″	′ ″	″	d
Montag	1	4 38 43·8	20 21·2	2·04	16 12	16 11	59 20	−0·2	59 17	−0·3	24·2
Dienst.	2	4 42 40·4	21 10·3	2·07	16 10	16 8	59 13	−0·4	59 7	−0·6	25·2
Mittw.	3	4 46 36·9	22 0·6	2·14	16 6	16 3	58 59	−0·7	58 50	−0·9	26·2
Donner.	4	4 50 33·5	22 53·1	2·23	16 0	15 57	58 39	−1·0	58 26	−1·1	27·2
Freitag	5	4 54 30·1	23 47·6	2·30	15 53	15 49	58 12	−1·3	57 56	−1·4	28·2
Samstag	6	4 58 26·6	*		15 44	15 39	57 39	−1·5	57 21	−1·5	29·2
Sonntag	7	5 2 23·2	0 43·6	2·34	15 34	15 29	57 2	−1·6	56 43	−1·6	0·8
Montag	8	5 6 19·7	1 39·6	2·30	15 24	15 18	56 24	−1·6	56 5	−1·6	1·8
Dienst.	9	5 10 16·3	2 34·1	2·21	15 13	15 9	55 46	−1·5	55 29	−1·4	2·8
Mittw.	10	5 14 12·8	3 25·7	2·08	15 4	15 0	55 13	−1·3	54 58	−1·2	3·8
Donner.	11	5 18 9·4	4 13·9	1·94	14 57	14 54	54 45	−1·0	54 34	−0·8	4·8
Freitag	12	5 22 6·0	4 58·9	1·82	14 51	14 50	54 26	−0·6	54 19	−0·4	5·8
Samstag	13	5 26 2·5	5 41·4	1·73	14 49	14 48	54 15	−0·2	54 14	0·0	6·8
Sonntag	14	5 29 59·1	6 22·1	1·68	14 49	14 50	54 15	+0·2	54 19	+0·4	7·8
Montag	15	5 33 55·6	7 2·2	1·68	14 51	14 54	54 26	+0·6	54 35	+0·8	8·8
Dienst.	16	5 37 52·2	7 42·8	1·72	14 57	15 1	54 46	+1·0	54 59	+1·2	9·8
Mittw.	17	5 41 48·8	8 24·9	1·81	15 5	15 10	55 15	+1·4	55 32	+1·5	10·8
Donner.	18	5 45 45·3	9 9·8	1·95	15 15	15 20	55 51	+1·6	56 12	+1·7	11·8
Freitag	19	5 49 41·9	9 58·5	2·12	15 26	15 32	56 33	+1·8	56 54	+1·8	12·8
Samstag	20	5 53 38·4	10 51·5	2·30	15 38	15 44	57 16	+1·8	57 37	+1·7	13·8
Sonntag	21	5 57 35·0	11 48·8	2·45	15 49	15 54	57 58	+1·7	58 17	+1·6	14·8
Montag	22	6 1 31·6	12 49·2	2·53	15 59	16 4	58 35	+1·4	58 51	+1·3	15·8
Dienst.	23	6 5 28·1	13 50·4	2·52	16 8	16 11	59 5	+1·1	59 17	+0·9	16·8
Mittw.	24	6 9 24·7	14 50·0	2·42	16 13	16 15	59 26	+0·7	59 33	+0·5	17·8
Donner.	25	6 13 21·2	15 46·7	2·29	16 16	16 17	59 37	+0·3	59 39	+0·1	18·8
Freitag	26	6 17 17·8	16 39·9	2·16	16 17	16 16	59 39	−0·1	59 36	−0·3	19·8
Samstag	27	6 21 14·3	17 30·4	2·06	16 15	16 13	59 32	−0·4	59 27	−0·5	20·8
Sonntag	28	6 25 10·9	18 19·0	2·02	16 11	16 9	59 20	−0·6	59 11	−0·7	21·8
Montag	29	6 29 7·5	19 7·3	2·02	16 7	16 4	59 2	−0·8	58 51	−0·9	22·8
Dienst.	30	6 33 4·0	19 56·2	2·07	16 1	15 58	58 40	−1·0	58 28	−1·0	23·8
Mittw.	J. 1	6 37 0·6	20 46·7	2·15	15 54	15 51	58 16	−1·1	58 3	−1·1	24·8

Rectascension und Declination des Mondes.

Mittlere Green. Zeit	Rectascension	Aenderung in 10m	Declination − Süd + Nord	Aenderung in 10m	Mittlere Green. Zeit	Rectascension	Aenderung in 10m	Declination + Nord	Aenderung in 10m
		Montag 1.					Mittwoch 3.		
h	h m s	s	° ′ ″	″	h	h m s	s	° ′ ″	″
0	0 19 59·5	21·33	−2 54 51	+155·3	0	2 2 31·6	21·67	+9 20 57	+145·8
1	0 22 7·5	21·32	−2 39 19	+155·4	1	2 4 41·7	21·69	+9 35 30	+145·3
2	0 24 15·3	21·31	−2 23 46	+155·5	2	2 6 51·9	21·72	+9 50 0	+144·7
3	0 26 23·1	21·30	−2 8 12	+155·6	3	2 9 2·3	21·74	+10 4 26	+144·1
4	0 28 30·9	21·29	−1 52 38	+155·7	4	2 11 12·8	21·77	+10 18 49	+143·5
5	0 30 38·6	21·28	−1 37 4	+155·8	5	2 13 23·5	21·79	+10 33 9	+142·9
6	0 32 46·3	21·28	−1 21 28	+155·9	6	2 15 34·3	21·82	+10 47 24	+142·3
7	0 34 53·9	21·27	−1 5 53	+155·9	7	2 17 45·3	21·85	+11 1 36	+141·7
8	0 37 1·5	21·27	−0 50 17	+156·0	8	2 19 56·5	21·87	+11 15 44	+141·0
9	0 39 9·1	21·26	−0 34 41	+156·0	9	2 22 7·8	21·90	+11 29 49	+140·4
10	0 41 16·7	21·26	−0 19 5	+156·0	10	2 24 19·3	21·93	+11 43 49	+139·7
11	0 43 24·2	21·26	−0 3 29	+156·0	11	2 26 30·9	21·96	+11 57 45	+139·0
12	0 45 31·8	21·25	+0 12 7	+156·0	12	2 28 42·8	21·99	+12 11 37	+138·3
13	0 47 39·3	21·25	+0 27 43	+156·0	13	2 30 54·8	22·02	+12 25 25	+137·6
14	0 49 46·8	21·25	+0 43 19	+155·9	14	2 33 6·9	22·05	+12 39 8	+136·8
15	0 51 54·3	21·25	+0 58 54	+155·8	15	2 35 19·3	22·08	+12 52 47	+136·1
16	0 54 1·9	21·26	+1 14 29	+155 8	16	2 37 31·8	22·11	+13 6 21	+135·3
17	0 56 9·4	21·26	+1 30 3	+155·7	17	2 39 44·6	22·14	+13 19 51	+134·6
18	0 58 16·9	21·26	+1 45 37	+155·6	18	2 41 57·5	22·17	+13 33 16	+133·8
19	1 0 24·5	21·26	+2 1 11	+155·5	19	2 44 10·6	22·20	+13 46 36	+133·0
20	1 2 32·1	21·27	+2 16 43	+155·3	20	2 46 23·9	22·23	+13 59 52	+132·2
21	1 4 39·7	21·27	+2 32 15	+155·2	21	2 48 37·4	22·26	+14 13 2	+131·3
22	1 6 47·4	21·28	+2 47 45	+155·0	22	2 50 51·0	22·30	+14 26 8	+130·5
23	1 8 55·1	21·28	+3 3 15	+154·8	23	2 53 4·9	22·33	+14 39 8	+129·6
		Dienstag 2.					Donnerstag 4.		
0	1 11 2·8	21·29	+3 18 43	+154·7	0	2 55 19·0	22·36	+14 52 3	+128·8
1	1 13 10·6	21·30	+3 34 11	+154·5	1	2 57 33·3	22·39	+15 4 53	+127·9
2	1 15 18·4	21·31	+3 49 37	+154·2	2	2 59 47·7	22·43	+15 17 38	+127·0
3	1 17 26·3	21·32	+4 5 2	+154·0	3	3 2 2·4	22·46	+15 30 17	+126·1
4	1 19 34·2	21·33	+4 20 25	+153·8	4	3 4 17·3	22·50	+15 42 51	+125·1
5	1 21 42·2	21·34	+4 35 47	+153·5	5	3 6 32·4	22·53	+15 55 19	+124·2
6	1 23 50·3	21·35	+4 51 7	+153·2	6	3 8 47·7	22·57	+16 7 41	+123·3
7	1 25 58·5	21·36	+5 6 25	+152·9	7	3 11 3·2	22·60	+16 19 58	+122·3
8	1 28 6·7	21·38	+5 21 42	+152·6	8	3 13 18·9	22·63	+16 32 9	+121·3
9	1 30 15·0	21·39	+5 36 57	+152·3	9	3 15 34·8	22·67	+16 44 14	+120·3
10	1 32 23·3	21·40	+5 52 10	+152·0	10	3 17 50·9	22·70	+16 56 13	+119·3
11	1 34 31·8	21·42	+6 7 20	+151·6	11	3 20 7·2	22·74	+17 8 6	+118·3
12	1 36 40·4	21·43	+6 22 29	+151·3	12	3 22 23·7	22·77	+17 19 53	+117·3
13	1 38 49·0	21·45	+6 37 36	+150·9	13	3 24 40·5	22·81	+17 31 33	+116·2
14	1 40 57·8	21·47	+6 52 40	+150·5	14	3 26 57·4	22·84	+17 43 7	+115·2
15	1 43 6·6	21·48	+7 7 42	+150·1	15	3 29 14·6	22·88	+17 54 35	+114·1
16	1 45 15·6	21·50	+7 22 41	+149·7	16	3 31 32·0	22·91	+18 5 57	+113·0
17	1 47 24·7	21·52	+7 37 38	+149·2	17	3 33 49·6	22·95	+18 17 12	+111·9
18	1 49 33·8	21·54	+7 52 32	+148·8	18	3 36 7·4	22·98	+18 28 20	+110·8
19	1 51 43·1	21·56	+8 7 23	+148·3	19	3 38 25·4	23·02	+18 39 22	+109·7
20	1 53 52·6	21·58	+8 22 12	+147·9	20	3 40 43·6	23·05	+18 50 17	+108·6
21	1 56 2·1	21·60	+8 36 58	+147·4	21	3 43 2·0	23·09	+19 1 5	+107·4
22	1 58 11·8	21·62	+8 51 40	+146·9	22	3 45 20·6	23·12	+19 11 46	+106·3
23	2 0 21·6	21·65	+9 6 20	+146·3	23	3 47 39·4	23·15	+19 22 20	+105·1
24	2 2 31·6	21·67	+9 20 57	+145·8	24	3 49 58·5	23·19	+19 32 48	+104·0

Rectascension und Declination des Mondes.

Mittlere Green. Zeit	Rect-ascension	Aenderung in 10m	Declination + Nord	Aenderung in 10m	Mittlere Green. Zeit	Rect-ascension	Aenderung in 10m	Declination + Nord	Aenderung in 10m
	Freitag 5.					**Sonntag 7.**			
h	h m s	s	° ′ ″	″	h	h m s	s	° ′ ″	″
0	3 49 58·5	23·19	+ 19 32 48	+104·0	0	5 44 21·3	24·21	+ 25 18 12	+37·2
1	3 52 17·7	23·22	+ 19 43 8	+102·8	1	5 46 46·5	24·21	+ 25 21 51	+35·7
2	3 54 37·1	23·26	+ 19 53 21	+101·6	2	5 49 11·8	24·21	+ 25 25 21	+34·2
3	3 56 56·8	23·29	+ 20 3 27	+100·4	3	5 51 37·0	24·21	+ 25 28 41	+32·7
4	3 59 16·6	23·32	+ 20 13 25	+ 99·1	4	5 54 2·3	24·21	+ 25 31 53	+31·1
5	4 1 36·7	23·36	+ 20 23 16	+ 97·9	5	5 56 27·5	24·20	+ 25 34 55	+29·6
6	4 3 56·9	23·39	+ 20 33 0	+ 96·7	6	5 58 52·7	24·20	+ 25 37 48	+28·1
7	4 6 17·3	23·42	+ 20 42 36	+ 95·4	7	6 1 17·9	24·19	+ 25 40 32	+26·6
8	4 8 37·9	23·45	+ 20 52 5	+ 94·1	8	6 3 43·0	24·19	+ 25 43 7	+25·0
9	4 10 58·7	23·48	+ 21 1 26	+ 92·9	9	6 6 8·1	24·18	+ 25 45 33	+23·5
10	4 13 19·7	23·51	+ 21 10 40	+ 91·6	10	6 8 33·2	24·17	+ 25 47 49	+22·0
11	4 15 40·9	23·54	+ 21 19 45	+ 90·3	11	6 10 58·2	24·16	+ 25 49 57	+20·5
12	4 18 2·3	23·57	+ 21 28 43	+ 89·0	12	6 13 23·2	24·15	+ 25 51 55	+19·0
13	4 20 23·8	23·60	+ 21 37 33	+ 87·7	13	6 15 48·0	24·14	+ 25 53 45	+17·4
14	4 22 45·5	23·63	+ 21 46 15	+ 86·4	14	6 18 12·8	24·13	+ 25 55 25	+15·9
15	4 25 7·4	23·66	+ 21 54 50	+ 85·0	15	6 20 37·6	24·12	+ 25 56 56	+14·4
16	4 27 29·5	23·69	+ 22 3 16	+ 83·7	16	6 23 2·2	24·10	+ 25 58 18	+12·9
17	4 29 51·7	23·72	+ 22 11 34	+ 82·3	17	6 25 26·8	24·08	+ 25 59 31	+11·4
18	4 32 14·1	23·75	+ 22 19 44	+ 81·0	18	6 27 51·2	24·07	+ 26 0 35	+ 9·9
19	4 34 36·7	23·77	+ 22 27 45	+ 79·6	19	6 30 15·6	24·05	+ 26 1 29	+ 8·4
20	4 36 59·4	23·80	+ 22 35 39	+ 78·2	20	6 32 39·9	24·03	+ 26 2 15	+ 6·9
21	4 39 22·3	23·82	+ 22 43 24	+ 76·8	21	6 35 4·0	24·01	+ 26 2 52	+ 5·4
22	4 41 45·3	23·85	+ 22 51 1	+ 75·5	22	6 37 28·0	23·99	+ 26 3 20	+ 3·9
23	4 44 8·4	23·87	+ 22 58 30	+ 74·1	23	6 39 51·9	23·97	+ 26 3 39	+ 2·4
	Samstag 6.					**Montag 8.**			
0	4 46 31·7	23·90	+ 23 5 50	+ 72·6	0	6 42 15·6	23·95	+ 26 3 49	+ 0·9
1	4 48 55·2	23·92	+ 23 13 2	+ 71·2	1	6 44 39·2	23·92	+ 26 3 50	− 0·5
2	4 51 18·8	23·94	+ 23 20 5	+ 69·8	2	6 47 2·7	23·90	+ 26 3 43	− 2·0
3	4 53 42·5	23·96	+ 23 26 59	+ 68·4	3	6 49 26·0	23·87	+ 26 3 26	− 3·5
4	4 56 6·3	23·98	+ 23 33 45	+ 67·0	4	6 51 49·2	23·85	+ 26 3 0	− 5·0
5	4 58 30·2	24·00	+ 23 40 23	+ 65·5	5	6 54 12·2	23·82	+ 26 2 26	− 6·4
6	5 0 54·3	24·02	+ 23 46 51	+ 64·1	6	6 56 35·0	23·79	+ 26 1 43	− 7·9
7	5 3 18·5	24·04	+ 23 53 11	+ 62·6	7	6 58 57·6	23·76	+ 26 0 52	− 9·3
8	5 5 42·8	24·05	+ 23 59 23	+ 61·1	8	7 1 20·1	23·73	+ 25 59 51	−10·8
9	5 8 7·1	24·07	+ 24 5 25	+ 59·7	9	7 3 42·4	23·70	+ 25 58 42	−12·2
10	5 10 31·6	24·09	+ 24 11 19	+ 58·2	10	7 6 4·5	23·67	+ 25 57 25	−13·7
11	5 12 56·2	24·10	+ 24 17 4	+ 56·7	11	7 8 26·4	23·63	+ 25 55 59	−15·1
12	5 15 20·8	24·11	+ 24 22 40	+ 55·3	12	7 10 48·1	23·60	+ 25 54 24	−16·5
13	5 17 45·6	24·13	+ 24 28 7	+ 53·8	13	7 13 9·6	23·56	+ 25 52 41	−17·9
14	5 20 10·4	24·14	+ 24 33 25	+ 52·3	14	7 15 30·9	23·53	+ 25 50 49	−19·3
15	5 22 35·2	24·15	+ 24 38 35	+ 50·8	15	7 17 51·9	23·49	+ 25 48 49	−20·7
16	5 25 0·2	24·16	+ 24 43 35	+ 49·3	16	7 20 12·8	23·45	+ 25 46 40	−22·1
17	5 27 25·2	24·17	+ 24 48 26	+ 47·8	17	7 22 33·4	23·42	+ 25 44 23	−23·5
18	5 29 50·2	24·18	+ 24 53 9	+ 46·3	18	7 24 53·7	23·38	+ 25 41 58	−24·9
19	5 32 15·3	24·19	+ 24 57 42	+ 44·8	19	7 27 13·9	23·34	+ 25 39 25	−26·2
20	5 34 40·5	24·19	+ 25 2 6	+ 43·3	20	7 29 33·8	23·30	+ 25 36 43	−27·6
21	5 37 5·6	24·20	+ 25 6 21	+ 41·8	21	7 31 53·5	23·26	+ 25 33 53	−29·0
22	5 39 30·8	24·20	+ 25 10 27	+ 40·3	22	7 34 12·9	23·21	+ 25 30 56	−30·3
23	5 41 56·1	24·20	+ 25 14 24	+ 38·7	23	7 36 32·0	23·17	+ 25 27 50	−31·6
24	5 44 21·3	24·21	+ 25 18 12	+ 37·2	24	7 38 50·9	23·13	+ 25 24 36	−33·0

Rectascension und Declination des Mondes.

Mittlere Green. Zeit	Rectascension	Aenderung in 10m	Declination + Nord	Aenderung in 10m	Mittlere Green. Zeit	Rectascension	Aenderung in 10m	Declination + Nord	Aenderung in 10m
			Dienstag 9.					Donnerstag 11.	
h	h m s	s	° ′ ″	″	h	h m s	s	° ′ ″	″
0	7 38 50·9	23·13	+ 25 24 36	− 33·0	0	9 24 5·7	20·65	+ 20 30 49	− 85·6
1	7 41 9·6	23·08	+ 25 21 14	− 34·3	1	9 26 9·5	20·60	+ 20 22 12	− 86·5
2	7 43 28·0	23·04	+ 25 17 44	− 35·6	2	9 28 12·9	20·55	+ 20 13 31	− 87·3
3	7 45 46·1	22·99	+ 25 14 7	− 36·9	3	9 30 16·0	20·50	+ 20 4 44	− 88·2
4	7 48 3·9	22·95	+ 25 10 21	− 38·2	4	9 32 18·9	20·44	+ 19 55 53	− 89·0
5	7 50 21·4	22·90	+ 25 6 28	− 39·5	5	9 34 21·4	20·39	+ 19 46 56	− 89·8
6	7 52 38·7	22·86	+ 25 2 27	− 40·8	6	9 36 23·6	20·34	+ 19 37 55	− 90·6
7	7 54 55·7	22·81	+ 24 58 19	− 42·0	7	9 38 25·5	20·29	+ 19 28 49	− 91·4
8	7 57 12·4	22·76	+ 24 54 3	− 43·3	8	9 40 27·1	20·24	+ 19 19 38	− 92·2
9	7 59 28·9	22·71	+ 24 49 39	− 44·6	9	9 42 28·4	20·19	+ 19 10 22	− 93·0
10	8 1 45·0	22·66	+ 24 45 8	− 45·8	10	9 44 29·4	20·14	+ 19 1 2	− 93·7
11	8 4 0·8	22·62	+ 24 40 29	− 47·0	11	9 46 30·1	20·09	+ 18 51 37	− 94·5
12	8 6 16·4	22·57	+ 24 35 44	− 48·3	12	9 48 30·5	20·04	+ 18 42 8	− 95·2
13	8 8 31·6	22·52	+ 24 30 50	− 49·5	13	9 50 30·6	19·99	+ 18 32 34	− 96·0
14	8 10 46·6	22·46	+ 24 25 50	− 50·7	14	9 52 30·4	19·94	+ 18 22 56	− 96·7
15	8 13 1·2	22·41	+ 24 20 42	− 51·9	15	9 54 29·9	19·90	+ 18 13 14	− 97·4
16	8 15 15·6	22·36	+ 24 15 28	− 53·0	16	9 56 29·1	19·85	+ 18 3 27	− 98·2
17	8 17 29·6	22·31	+ 24 10 6	− 54·2	17	9 58 28·1	19·80	+ 17 53 36	− 98·9
18	8 19 43·3	22·26	+ 24 4 37	− 55·4	18	10 0 26·8	19·75	+ 17 43 41	− 99·6
19	8 21 56·7	22·21	+ 23 59 1	− 56·5	19	10 2 25·2	19·71	+ 17 33 41	− 100·2
20	8 24 9·8	22·16	+ 23 53 19	− 57·7	20	10 4 23·3	19·66	+ 17 23 38	− 100·9
21	8 26 22·6	22·10	+ 23 47 29	− 58·8	21	10 6 21·1	19·62	+ 17 13 30	− 101·6
22	8 28 35·0	22·05	+ 23 41 33	− 59·9	22	10 8 18·7	19·57	+ 17 3 18	− 102·3
23	8 30 47·2	22·00	+ 23 35 30	− 61·1	23	10 10 16·0	19·53	+ 16 53 3	− 102·9
			Mittwoch 10.					Freitag 12.	
0	8 32 59·0	21·94	+ 23 29 20	− 62·2	0	10 12 13·0	19·48	+ 16 42 44	− 103·5
1	8 35 10·5	21·89	+ 23 23 4	− 63·2	1	10 14 9·8	19·44	+ 16 32 20	− 104·2
2	8 37 21·7	21·84	+ 23 16 41	− 64·3	2	10 16 6·3	19·40	+ 16 21 53	− 104·8
3	8 39 32·5	21·78	+ 23 10 12	− 65·4	3	10 18 2·5	19·35	+ 16 11 23	− 105·4
4	8 41 43·1	21·73	+ 23 3 36	− 66·5	4	10 19 58·5	19·31	+ 16 0 48	− 106·0
5	8 43 53·3	21·67	+ 22 56 54	− 67·5	5	10 21 54·3	19·27	+ 15 50 10	− 106·6
6	8 46 3·2	21·62	+ 22 50 6	− 68·6	6	10 23 49·8	19·23	+ 15 39 29	− 107·2
7	8 48 12·7	21·57	+ 22 43 11	− 69·6	7	10 25 45·0	19·19	+ 15 28 43	− 107·8
8	8 50 22·0	21·51	+ 22 36 11	− 70·6	8	10 27 40·0	19·15	+ 15 17 55	− 108·4
9	8 52 30·9	21·46	+ 22 29 4	− 71·6	9	10 29 34·8	19·11	+ 15 7 3	− 109·0
10	8 54 39·5	21·40	+ 22 21 51	− 72·6	10	10 31 29·4	19·07	+ 14 56 7	− 109·5
11	8 56 47·7	21·35	+ 22 14 32	− 73·6	11	10 33 23·7	19·03	+ 14 45 8	− 110·1
12	8 58 55·7	21·30	+ 22 7 7	− 74·6	12	10 35 17·7	18·99	+ 14 34 6	− 110·6
13	9 1 3·3	21·24	+ 21 59 36	− 75·6	13	10 37 11·6	18·96	+ 14 23 1	− 111·2
14	9 3 10·6	21·19	+ 21 52 0	− 76·6	14	10 39 5·2	18·92	+ 14 11 52	− 111·7
15	9 5 17·5	21·13	+ 21 44 18	− 77·5	15	10 40 58·6	18·88	+ 14 0 41	− 112·2
16	9 7 24·2	21·08	+ 21 36 30	− 78·5	16	10 42 51·8	18·85	+ 13 49 26	− 112·7
17	9 9 30·5	21·03	+ 21 28 36	− 79·4	17	10 44 44·8	18·81	+ 13 38 8	− 113·2
18	9 11 36·5	20·97	+ 21 20 37	− 80·3	18	10 46 37·5	18·78	+ 13 26 47	− 113·7
19	9 13 42·1	20·92	+ 21 12 32	− 81·2	19	10 48 30·1	18·74	+ 13 15 23	− 114·2
20	9 15 47·5	20·87	+ 21 4 22	− 82·1	20	10 50 22·5	18·71	+ 13 3 56	− 114·7
21	9 17 52·5	20·81	+ 20 56 7	− 83·0	21	10 52 14·6	18·68	+ 12 52 27	− 115·2
22	9 19 57·2	20·76	+ 20 47 46	− 83·9	22	10 54 6·6	18·65	+ 12 40 54	− 115·7
23	9 22 1·6	20·70	+ 20 39 20	− 84·8	23	10 55 58·4	18·61	+ 12 29 19	− 116·1
24	9 24 5·7	20·65	+ 20 30 49	− 85·6	24	10 57 50·0	18·58	+ 12 17 41	− 116·6

Rectascension und Declination des Mondes.

Mittlere Green. Zeit	Rectascension	Aenderung in 10ᵐ	Declination + Nord	Aenderung in 10ᵐ	Mittlere Green. Zeit	Rectascension	Aenderung in 10ᵐ	Declination + Nord − Süd	Aenderung in 10ᵐ
	Samstag 13.					Montag 15.			
h	h m s	s	° ′ ″	″	h	h m s	s	° ′ ″	″
0	10 57 50·0	18·58	+ 12 17 41	− 116·6	0	12 24 43·1	17·88	+ 2 18 37	− 130·6
1	10 59 41·4	18·55	+ 12 6 0	− 117·0	1	12 26 30·4	17·88	+ 2 5 33	− 130·7
2	11 1 32·6	18·52	+ 11 54 17	− 117·4	2	12 28 17·7	17·89	+ 1 52 28	− 130·8
3	11 3 23·7	18·49	+ 11 42 31	− 117·9	3	12 30 5·0	17·89	+ 1 39 23	− 131·0
4	11 5 14·6	18·47	+ 11 30 42	− 118·3	4	12 31 52·4	17·89	+ 1 26 17	− 131·1
5	11 7 5·3	18·44	+ 11 18 51	− 118·7	5	12 33 39·8	17·90	+ 1 13 10	− 131·2
6	11 8 55·8	18·41	+ 11 6 57	− 119·1	6	12 35 27·2	17·91	+ 1 0 3	− 131·3
7	11 10 46·2	18·38	+ 10 55 1	− 119·5	7	12 37 14·7	17·91	+ 0 46 55	− 131·4
8	11 12 36·4	18·36	+ 10 43 3	− 119·9	8	12 39 2·2	17·92	+ 0 33 46	− 131·5
9	11 14 26·5	18·33	+ 10 31 2	− 120·3	9	12 40 49·7	17·93	+ 0 20 37	− 131·6
10	11 16 16·4	18·31	+ 10 18 58	− 120·7	10	12 42 37·3	17·94	+ 0 7 27	− 131·6
11	11 18 6·2	18·28	+ 10 6 53	− 121·1	11	12 44 25·0	17·95	− 0 5 43	− 131·7
12	11 19 55·9	18·26	+ 9 54 45	− 121·5	12	12 46 12·7	17·96	− 0 18 53	− 131·8
13	11 21 45·4	18·24	+ 9 42 35	− 121·8	13	12 48 0·5	17·97	− 0 32 4	− 131·8
14	11 23 34·7	18·22	+ 9 30 23	− 122·2	14	12 49 48·3	17·98	− 0 45 15	− 131·9
15	11 25 24·0	18·20	+ 9 18 9	− 122·5	15	12 51 36·2	17·99	− 0 58 27	− 131·9
16	11 27 13·1	18·18	+ 9 5 53	− 122·9	16	12 53 24·2	18·01	− 1 11 39	− 132·0
17	11 29 2·1	18·16	+ 8 53 34	− 123·2	17	12 55 12·3	18·02	− 1 24 51	− 132·0
18	11 30 51·0	18·14	+ 8 41 14	− 123·6	18	12 57 0·5	18·04	− 1 38 3	− 132·0
19	11 32 39·7	18·12	+ 8 28 51	− 123·9	19	12 58 48·8	18·05	− 1 51 15	− 132·0
20	11 34 28·4	18·10	+ 8 16 27	− 124·2	20	13 0 37·1	18·07	− 2 4 27	− 132·1
21	11 36 16·9	18·08	+ 8 4 1	− 124·5	21	13 2 25·6	18·09	− 2 17 40	− 132·1
22	11 38 5·4	18·07	+ 7 51 33	− 124·8	22	13 4 14·2	18·10	− 2 30 52	− 132·1
23	11 39 53·7	18·05	+ 7 39 3	− 125·1	23	13 6 2·9	18·12	− 2 44 4	− 132·0
	Sonntag 14.					Dienstag 16.			
0	11 41 42·0	18·04	+ 7 26 31	− 125·4	0	13 7 51·7	18·14	− 2 57 17	− 132·0
1	11 43 30·2	18·02	+ 7 13 58	− 125·7	1	13 9 40·6	18·16	− 3 10 29	− 132·0
2	11 45 18·3	18·01	+ 7 1 23	− 126·0	2	13 11 29·6	18·18	− 3 23 41	− 132·0
3	11 47 6·3	17·99	+ 6 48 46	− 126·3	3	13 13 18·8	18·20	− 3 36 52	− 131·9
4	11 48 54·2	17·98	+ 6 36 8	− 126·5	4	13 15 8·1	18·23	− 3 50 4	− 131·9
5	11 50 42·0	17·97	+ 6 23 28	− 126·8	5	13 16 57·5	18·25	− 4 3 15	− 131·8
6	11 52 29·8	17·96	+ 6 10 46	− 127·0	6	13 18 47·1	18·27	− 4 16 26	− 131·8
7	11 54 17·6	17·95	+ 5 58 3	− 127·3	7	13 20 36·8	18·30	− 4 29 37	− 131·7
8	11 56 5·2	17·94	+ 5 45 19	− 127·5	8	13 22 26·6	18·32	− 4 42 47	− 131·6
9	11 57 52·8	17·93	+ 5 32 33	− 127·8	9	13 24 16·6	18·35	− 4 55 56	− 131·6
10	11 59 40·4	17·92	+ 5 19 45	− 128·0	10	13 26 6·8	18·38	− 5 9 5	− 131·5
11	12 1 27·9	17·91	+ 5 6 57	− 128·2	11	13 27 57·2	18·40	− 5 22 14	− 131·4
12	12 3 15·4	17·91	+ 4 54 7	− 128·4	12	13 29 47·7	18·43	− 5 35 22	− 131·3
13	12 5 2·8	17·90	+ 4 41 15	− 128·6	13	13 31 38·3	18·46	− 5 48 29	− 131·1
14	12 6 50·2	17·90	+ 4 28 23	− 128·9	14	13 33 29·2	18·49	− 6 1 36	− 131·0
15	12 8 37·5	17·89	+ 4 15 29	− 129·1	15	13 35 20·2	18·52	− 6 14 41	− 130·9
16	12 10 24·9	17·89	+ 4 2 34	− 129·2	16	13 37 11·5	18·55	− 6 27 46	− 130·7
17	12 12 12·2	17·88	+ 3 49 38	− 129·4	17	13 39 2·9	18·58	− 6 40 50	− 130·6
18	12 13 59·5	17·88	+ 3 36 41	− 129·6	18	13 40 54·5	18·62	− 6 53 54	− 130·5
19	12 15 46·7	17·88	+ 3 23 43	− 129·8	19	13 42 46·3	18·65	− 7 6 56	− 130·3
20	12 17 34·0	17·88	+ 3 10 43	− 130·0	20	13 44 38·3	18·68	− 7 19 57	− 130·1
21	12 19 21·3	17·88	+ 2 57 43	− 130·1	21	13 46 30·5	18·72	− 7 32 57	− 129·9
22	12 21 8·6	17·88	+ 2 44 42	− 130·3	22	13 48 22·9	18·75	− 7 45 56	− 129·7
23	12 22 55·8	17·88	+ 2 31 40	− 130·4	23	13 50 15·5	18·79	− 7 58 54	− 129·5
24	12 24 43·1	17·88	+ 2 18 37	− 130·6	24	13 52 8·4	18·83	− 8 11 51	− 129·3

Rectascension und Declination des Mondes.

Mittlere Green. Zeit	Rectascension	Aenderung in 10m	Declination — Süd	Aenderung in 10m	Mittlere Green. Zeit	Rectascension	Aenderung in 10m	Declination — Süd	Aenderung in 10m
	Mittwoch 17.					**Freitag 19.**			
h	h m s	s	° ′ ″	″	h	h m s	s	° ′ ″	″
0	13 52 8.4	18.83	— 8 11 51	−129.3	0	15 28 6.9	21.40	— 17 49 50	−107.1
1	13 54 1.5	18.87	— 8 24 46	−129.1	1	15 30 15.5	21.47	— 18 0 30	−106.4
2	13 55 54.8	18.90	— 8 37 40	−128.9	2	15 32 24.5	21.53	— 18 11 6	−105.6
3	13 57 48.4	18.94	— 8 50 33	−128.7	3	15 34 33.9	21.60	— 18 21 37	−104.8
4	13 59 42.2	18.98	— 9 3 24	−128.4	4	15 36 43.7	21.67	— 18 32 4	−104.0
5	14 1 36.2	19.03	— 9 16 14	−128.2	5	15 38 53.9	21.74	— 18 42 25	−103.2
6	14 3 30.5	19.07	— 9 29 3	−127.9	6	15 41 4.6	21.81	— 18 52 42	−102.3
7	14 5 25.0	19.11	— 9 41 49	−127.6	7	15 43 15.6	21.88	— 19 2 54	−101.5
8	14 7 19.8	19.15	— 9 54 34	−127.4	8	15 45 27.1	21.95	— 19 13 0	−100.6
9	14 9 14.8	19.20	— 10 7 18	−127.1	9	15 47 39.0	22.02	— 19 23 1	— 99.8
10	14 11 10.1	19.24	— 10 19 59	−126.8	10	15 49 51.3	22.08	— 19 32 57	— 98.9
11	14 13 5.7	19.29	— 10 32 39	−126.5	11	15 52 4.0	22.15	— 19 42 48	— 98.0
12	14 15 1.6	19.33	— 10 45 17	−126.1	12	15 54 17.1	22.23	— 19 52 33	— 97.0
13	14 16 57.7	19.38	— 10 57 53	−125.8	13	15 56 30.7	22.30	— 20 2 12	— 96.1
14	14 18 54.1	19.42	— 11 10 26	−125.5	14	15 58 44.7	22.37	— 20 11 46	— 95.2
15	14 20 50.8	19.47	— 11 22 58	−125.1	15	16 0 59.1	22.44	— 20 21 15	— 94.2
16	14 22 47.8	19.52	— 11 35 28	−124.8	16	16 3 13.9	22.51	— 20 30 37	— 93.2
17	14 24 45.0	19.57	— 11 47 55	−124.4	17	16 5 29.2	22.58	— 20 39 53	— 92.2
18	14 26 42.6	19.62	— 12 0 21	−124.0	18	16 7 44.9	22.65	— 20 49 4	— 91.2
19	14 28 40.5	19.67	— 12 12 43	−123.6	19	16 10 1.0	22.72	— 20 58 8	— 90.2
20	14 30 38.7	19.72	— 12 25 4	−123.2	20	16 12 17.5	22.79	— 21 7 6	— 89.2
21	14 32 37.2	19.77	— 12 37 22	−122.8	21	16 14 34.5	22.86	— 21 15 58	— 88.1
22	14 34 36.0	19.83	— 12 49 38	−122.4	22	16 16 51.9	22.93	— 21 24 44	— 87.0
23	14 36 35.1	19.88	— 13 1 51	−121.9	23	16 19 9.7	23.00	— 21 33 23	— 86.0
	Donnerstag 18.					**Samstag 20.**			
0	14 38 34.5	19.93	— 13 14 1	−121.5	0	16 21 27.9	23.07	— 21 41 55	— 84.9
1	14 40 34.3	19.99	— 13 26 9	−121.0	1	16 23 46.6	23.14	— 21 50 21	— 83.7
2	14 42 34.4	20.04	— 13 38 14	−120.6	2	16 26 5.7	23.21	— 21 58 40	— 82.6
3	14 44 34.8	20.10	— 13 50 16	−120.1	3	16 28 25.2	23.28	— 22 6 52	— 81.5
4	14 46 35.6	20.16	— 14 2 15	−119.6	4	16 30 45.1	23.36	— 22 14 58	— 80.3
5	14 48 36.7	20.21	— 14 14 11	−119.1	5	16 33 5.4	23.43	— 22 22 56	— 79.1
6	14 50 38.1	20.27	— 14 26 4	−118.6	6	16 35 26.2	23.49	— 22 30 48	— 78.0
7	14 52 39.9	20.33	— 14 37 54	−118.0	7	16 37 47.4	23.56	— 22 38 32	— 76.7
8	14 54 42.1	20.39	— 14 49 40	−117.5	8	16 40 9.0	23.63	— 22 46 9	— 75.5
9	14 56 44.6	20.45	— 15 1 24	−117.0	9	16 42 31.0	23.70	— 22 53 38	— 74.3
10	14 58 47.5	20.51	— 15 13 4	−116.4	10	16 44 53.4	23.77	— 23 1 0	— 73.0
11	15 0 50.7	20.57	— 15 24 41	−115.8	11	16 47 16.2	23.84	— 23 8 15	— 71.8
12	15 2 54.3	20.63	— 15 36 14	−115.2	12	16 49 39.4	23.91	— 23 15 22	— 70.5
13	15 4 58.2	20.69	— 15 47 43	−114.6	13	16 52 3.1	23.97	— 23 22 21	— 69.2
14	15 7 2.5	20.75	— 15 59 9	−114.0	14	16 54 27.1	24.04	— 23 29 12	— 67.9
15	15 9 7.2	20.81	— 16 10 31	−113.4	15	16 56 51.5	24.10	— 23 35 56	— 66.6
16	15 11 12.3	20.88	— 16 21 50	−112.7	16	16 59 16.4	24.17	— 23 42 31	— 65.3
17	15 13 17.8	20.94	— 16 33 4	−112.1	17	17 1 41.6	24.24	— 23 48 59	— 63.9
18	15 15 23.6	21.01	— 16 44 15	−111.4	18	17 4 7.2	24.30	— 23 55 18	— 62.5
19	15 17 29.8	21.07	— 16 55 21	−110.7	19	17 6 33.2	24.36	— 24 1 30	— 61.2
20	15 19 36.4	21.13	— 17 6 23	−110.0	20	17 8 59.6	24.43	— 24 7 32	— 59.8
21	15 21 43.5	21.20	— 17 17 21	−109.3	21	17 11 26.3	24.49	— 24 13 27	— 58.4
22	15 23 50.9	21.27	— 17 28 15	−108.6	22	17 13 53.4	24.55	— 24 19 13	— 56.9
23	15 25 58.7	21.33	— 17 39 5	−107.9	23	17 16 20.9	24.61	— 24 24 50	— 55.5
24	15 28 6.9	21.40	— 17 49 50	−107.1	24	17 18 48.8	24.67	— 24 30 19	— 54.1

Rectascension und Declination des Mondes.

Sonntag 21.

Mittlere Green. Zeit h	Rectascension h	m	s	Aenderung in 10m s	Declination — Süd °	′	″	Aenderung in 10m ″
0	17	18	48·8	24·67	— 24	30	19	— 54·1
1	17	21	17·0	24·73	— 24	35	39	— 52·6
2	17	23	45·6	24·79	— 24	40	51	— 51·1
3	17	26	14·5	24·85	— 24	45	53	— 49·7
4	17	28	43·7	24·90	— 24	50	46	— 48·2
5	17	31	13·3	24·96	— 24	55	31	— 46·6
6	17	33	43·2	25·01	— 25	0	6	— 45·1
7	17	36	13·5	25·07	— 25	4	32	— 43·6
8	17	38	44·0	25·12	— 25	8	49	— 42·1
9	17	41	14·9	25·17	— 25	12	57	— 40·5
10	17	43	46·1	25·22	— 25	16	55	— 38·9
11	17	46	17·6	25·27	— 25	20	44	— 37·3
12	17	48	49·4	25·32	— 25	24	24	— 35·8
13	17	51	21·4	25·37	— 25	27	54	— 34·2
14	17	53	53·8	25·41	— 25	31	14	— 32·5
15	17	56	26·4	25·46	— 25	34	24	— 30·9
16	17	58	59·3	25·50	— 25	37	25	— 29·3
17	18	1	32·4	25·54	— 25	40	15	— 27·6
18	18	4	5·8	25·58	— 25	42	56	— 26·0
19	18	6	39·4	25·62	— 25	45	27	— 24·3
20	18	9	13·3	25·66	— 25	47	48	— 22·7
21	18	11	47·4	25·70	— 25	49	59	— 21·0
22	18	14	21·7	25·74	— 25	52	0	— 19·3
23	18	16	56·2	25·77	— 25	53	51	— 17·6

Montag 22.

Mittlere Green. Zeit h	Rectascension h	m	s	Aenderung in 10m s	Declination — Süd °	′	″	Aenderung in 10m ″
0	18	19	31·0	25·80	— 25	55	32	— 15·9
1	18	22	5·9	25·83	— 25	57	2	— 14·2
2	18	24	41·0	25·86	— 25	58	22	— 12·5
3	18	27	16·3	25·89	— 25	59	32	— 10·8
4	18	29	51·7	25·92	— 26	0	32	— 9·1
5	18	32	27·3	25·95	— 26	1	21	— 7·3
6	18	35	3·0	25·97	— 26	2	0	— 5·6
7	18	37	38·9	25·99	— 26	2	28	— 3·8
8	18	40	15·0	26·01	— 26	2	46	— 2·1
9	18	42	51·1	26·03	— 26	2	53	— 0·4
10	18	45	27·4	26·05	— 26	2	50	+ 1·4
11	18	48	3·7	26·07	— 26	2	37	+ 3·1
12	18	50	40·2	26·08	— 26	2	13	+ 4·9
13	18	53	16·7	26·10	— 26	1	38	+ 6·7
14	18	55	53·3	26·11	— 26	0	52	+ 8·4
15	18	58	30·0	26·12	— 25	59	56	+ 10·2
16	19	1	6·8	26·13	— 25	58	50	+ 12·0
17	19	3	43·6	26·13	— 25	57	32	+ 13·7
18	19	6	20·4	26·14	— 25	56	5	+ 15·5
19	19	8	57·3	26·14	— 25	54	26	+ 17·3
20	19	11	34·1	26·15	— 25	52	37	+ 19·1
21	19	14	11·0	26·15	— 25	50	37	+ 20·8
22	19	16	47·9	26·15	— 25	48	27	+ 22·6
23	19	19	24·8	26·15	— 25	46	6	+ 24·4
24	19	22	1·7	26·14	— 25	43	35	+ 26·1

Dienstag 23.

Mittlere Green. Zeit h	Rectascension h	m	s	Aenderung in 10m s	Declination — Süd °	′	″	Aenderung in 10m ″
0	19	22	1·7	26·14	— 25	43	35	+ 26·1
1	19	24	38·5	26·14	— 25	40	53	+ 27·9
2	19	27	15·3	26·13	— 25	38	0	+ 29·7
3	19	29	52·1	26·12	— 25	34	57	+ 31·4
4	19	32	28·8	26·11	— 25	31	43	+ 33·2
5	19	35	5·4	26·10	— 25	28	19	+ 34·9
6	19	37	42·0	26·09	— 25	24	44	+ 36·7
7	19	40	18·5	26·07	— 25	20	59	+ 38·4
8	19	42	54·9	26·06	— 25	17	3	+ 40·2
9	19	45	31·2	26·04	— 25	12	57	+ 41·9
10	19	48	7·4	26·02	— 25	8	40	+ 43·6
11	19	50	43·5	26·00	— 25	4	13	+ 45·3
12	19	53	19·4	25·98	— 24	59	36	+ 47·1
13	19	55	55·3	25·96	— 24	54	48	+ 48·8
14	19	58	30·9	25·94	— 24	49	50	+ 50·5
15	20	1	6·5	25·91	— 24	44	42	+ 52·2
16	20	3	41·9	25·88	— 24	39	24	+ 53·9
17	20	6	17·1	25·86	— 24	33	56	+ 55·6
18	20	8	52·2	25·83	— 24	28	17	+ 57·2
19	20	11	27·1	25·80	— 24	22	29	+ 58·9
20	20	14	1·8	25·77	— 24	16	31	+ 60·6
21	20	16	36·3	25·73	— 24	10	22	+ 62·2
22	20	19	10·6	25·70	— 24	4	4	+ 63·8
23	20	21	44·7	25·67	— 23	57	36	+ 65·5

Mittwoch 24.

Mittlere Green. Zeit h	Rectascension h	m	s	Aenderung in 10m s	Declination — Süd °	′	″	Aenderung in 10m ″
0	20	24	18·6	25·63	— 23	50	59	+ 67·1
1	20	26	52·3	25·59	— 23	44	11	+ 68·7
2	20	29	25·7	25·56	— 23	37	14	+ 70·3
3	20	31	58·9	25·52	— 23	30	8	+ 71·9
4	20	34	31·9	25·48	— 23	22	52	+ 73·4
5	20	37	4·7	25·44	— 23	15	27	+ 75·0
6	20	39	37·2	25·40	— 23	7	52	+ 76·6
7	20	42	9·4	25·35	— 23	0	8	+ 78·1
8	20	44	41·4	25·31	— 22	52	15	+ 79·6
9	20	47	13·2	25·27	— 22	44	12	+ 81·1
10	20	49	44·6	25·22	— 22	36	1	+ 82·6
11	20	52	15·8	25·18	— 22	27	40	+ 84·1
12	20	54	46·7	25·13	— 22	19	11	+ 85·6
13	20	57	17·4	25·08	— 22	10	33	+ 87·1
14	20	59	47·7	25·04	— 22	1	46	+ 88·5
15	21	2	17·8	24·99	— 21	52	51	+ 90·0
16	21	4	47·6	24·94	— 21	43	47	+ 91·4
17	21	7	17·1	24·89	— 21	34	34	+ 92·8
18	21	9	46·3	24·84	— 21	25	13	+ 94·2
19	21	12	15·1	24·79	— 21	15	44	+ 95·6
20	21	14	43·7	24·74	— 21	6	6	+ 96·9
21	21	17	12·0	24·69	— 20	56	21	+ 98·3
22	21	19	40·0	24·64	— 20	46	27	+ 99·6
23	21	22	7·6	24·58	— 20	36	25	+ 100·9
24	21	24	35·0	24·53	— 20	26	16	+ 102·2

*

Rectascension und Declination des Mondes.

Mittlere Green. Zeit	Rectascension	Aenderung in 10m	Declination — Süd	Aenderung in 10m	Mittlere Green. Zeit	Rectascension	Aenderung in 10m	Declination — Süd + Nord	Aenderung in 10m
	Donnerstag 25.					**Samstag 27.**			
h	h m s	s	° ′ ″	″	h	h m s	s	° ′ ″	″
0	21 24 35·0	24·53	— 20 26 16	+102·2	0	23 16 17·6	22·12	— 10 15 30	+146·0
1	21 27 2·0	24·48	— 20 15 58	+103·5	1	23 18 30·2	22·08	— 10 0 52	+146·5
2	21 29 28·7	24·42	— 20 5 33	+104·8	2	23 20 42·6	22·04	— 9 46 12	+147·0
3	21 31 55·1	24·37	— 19 55 0	+106·1	3	23 22 54·7	22·00	— 9 31 28	+147·5
4	21 34 21·2	24·32	— 19 44 20	+107·3	4	23 25 6·6	21·97	— 9 16 42	+147·9
5	21 36 46·9	24·26	— 19 33 33	+108·5	5	23 27 18·3	21·93	— 9 1 53	+148·4
6	21 39 12·3	24·21	— 19 22 38	+109·8	6	23 29 29·8	21·89	— 8 47 2	+148·8
7	21 41 37·5	24·16	— 19 11 36	+111·0	7	23 31 41·0	21·86	— 8 32 8	+149·2
8	21 44 2·2	24·10	— 19 0 26	+112·1	8	23 33 52·1	21·82	— 8 17 11	+149·6
9	21 46 26·7	24·05	— 18 49 10	+113·3	9	23 36 2·9	21·79	— 8 2 12	+150·0
10	21 48 50·8	23·99	— 18 37 47	+114·4	10	23 38 13·5	21·75	— 7 47 10	+150·4
11	21 51 14·6	23·94	— 18 26 17	+115·6	11	23 40 23·9	21·72	— 7 32 7	+150·8
12	21 53 38·1	23·89	— 18 14 40	+116·7	12	23 42 34·2	21·69	— 7 17 1	+151·1
13	21 56 1·3	23·83	— 18 2 56	+117·8	13	23 44 44·2	21·66	— 7 1 53	+151·4
14	21 58 24·1	23·78	— 17 51 6	+118·9	14	23 46 54·1	21·63	— 6 46 44	+151·8
15	22 0 46·6	23·72	— 17 39 10	+119·9	15	23 49 3·8	21·60	— 6 31 32	+152·1
16	22 3 8·8	23·67	— 17 27 7	+121·0	16	23 51 13·3	21·57	— 6 16 19	+152·3
17	22 5 30·7	23·62	— 17 14 58	+122·0	17	23 53 22·6	21·54	— 6 1 4	+152·6
18	22 7 52·2	23·56	— 17 2 42	+123·1	18	23 55 31·8	21·51	— 5 45 48	+152·9
19	22 10 13·4	23·51	— 16 50 21	+124·1	19	23 57 40·8	21·49	— 5 30 30	+153·1
20	22 12 34·3	23·46	— 16 37 54	+125·0	20	23 59 49·6	21·46	— 5 15 10	+153·3
21	22 14 54·9	23·40	— 16 25 21	+126·0	21	0 1 58·3	21·44	— 4 59 50	+153·5
22	22 17 15·2	23·35	— 16 12 42	+127·0	22	0 4 6·8	21·41	— 4 44 28	+153·7
23	22 19 35·1	23·30	— 15 59 57	+127·9	23	0 6 15·2	21·39	— 4 29 5	+153·9
	Freitag 26.					**Sonntag 28.**			
0	22 21 54·7	23·24	— 15 47 7	+128·8	0	0 8 23·5	21·37	— 4 13 41	+154·1
1	22 24 14·0	23·19	— 15 34 11	+129·7	1	0 10 31·6	21·34	— 3 58 16	+154·2
2	22 26 33·0	23·14	— 15 21 10	+130·6	2	0 12 39·6	21·32	— 3 42 50	+154·4
3	22 28 51·7	23·09	— 15 8 4	+131·5	3	0 14 47·5	21·30	— 3 27 23	+154·5
4	22 31 10·1	23·04	— 14 54 52	+132·3	4	0 16 55·3	21·28	— 3 11 56	+154·6
5	22 33 28·2	22·99	— 14 41 36	+133·2	5	0 19 2·9	21·26	— 2 56 28	+154·7
6	22 35 46·0	22·94	— 14 28 15	+134·0	6	0 21 10·4	21·25	— 2 40 59	+154·8
7	22 38 3·5	22·89	— 14 14 48	+134·8	7	0 23 17·8	21·23	— 2 25 30	+154·9
8	22 40 20·6	22·84	— 14 1 17	+135·6	8	0 25 25·2	21·21	— 2 10 0	+154·9
9	22 42 37·5	22·79	— 13 47 41	+136·3	9	0 27 32·4	21·20	— 1 54 31	+155·0
10	22 44 54·1	22·74	— 13 34 1	+137·1	10	0 29 39·5	21·18	— 1 39 1	+155·0
11	22 47 10·4	22·69	— 13 20 16	+137·8	11	0 31 46·6	21·17	— 1 23 30	+155·0
12	22 49 26·5	22·65	— 13 6 27	+138·6	12	0 33 53·6	21·16	— 1 8 0	+155·0
13	22 51 42·2	22·60	— 12 52 33	+139·3	13	0 36 0·5	21·14	— 0 52 30	+155·0
14	22 53 57·7	22·55	— 12 38 36	+139·9	14	0 38 7·3	21·13	— 0 37 0	+155·0
15	22 56 12·9	22·51	— 12 24 34	+140·6	15	0 40 14·1	21·12	— 0 21 31	+154·9
16	22 58 27·8	22·46	— 12 10 28	+141·3	16	0 42 20·8	21·11	— 0 6 1	+154·9
17	23 0 42·4	22·42	— 11 56 18	+141·9	17	0 44 27·4	21·10	+ 0 9 28	+154·8
18	23 2 56·8	22·37	— 11 42 5	+142·5	18	0 46 34·0	21·09	+ 0 24 57	+154·7
19	23 5 10·9	22·33	— 11 27 48	+143·2	19	0 48 40·5	21·09	+ 0 40 25	+154·6
20	23 7 24·7	22·29	— 11 13 27	+143·7	20	0 50 47·1	21·08	+ 0 55 52	+154·5
21	23 9 38·3	22·24	— 10 59 3	+144·3	21	0 52 53·5	21·07	+ 1 11 19	+154·4
22	23 11 51·7	22·20	— 10 44 35	+144·9	22	0 55 0·0	21·07	+ 1 26 45	+154·3
23	23 14 4·8	22·16	— 10 30 4	+145·4	23	0 57 6·4	21·07	+ 1 42 10	+154·1
24	23 16 17·6	22·12	— 10 15 30	+146·0	24	0 59 12·7	21·06	+ 1 57 34	+153·9

Rectascension und Declination des Mondes.

Mittlere Green. Zeit	Rectascension	Aenderung in 10ᵐ	Declination + Nord	Aenderung in 10ᵐ	Mittlere Green. Zeit	Rectascension	Aenderung in 10ᵐ	Declination + Nord	Aenderung in 10ᵐ
Montag 29.					Dienstag 30.				
h	h m s	s	° ′ ″	″	h	h m s	s	° ′ ″	″
0	0 59 12·7	21·06	+ 1 57 34	+153·9	0	1 49 51·1	21·21	+ 7 59 12	+146·2
1	1 1 19·1	21·06	+ 2 12 58	+153·8	1	1 51 58·4	21·22	+ 8 13 47	+145·7
2	1 3 25·5	21·06	+ 2 28 20	+153·6	2	1 54 5·8	21·24	+ 8 28 20	+145·2
3	1 5 31·8	21·06	+ 2 43 41	+153·4	3	1 56 13·3	21·26	+ 8 42 50	+144·7
4	1 7 38·1	21·06	+ 2 59 1	+153·2	4	1 58 20·9	21·27	+ 8 57 16	+144·1
5	1 9 44·5	21·06	+ 3 14 19	+152·9	5	2 0 28·6	21·29	+ 9 11 39	+143·6
6	1 11 50·8	21·06	+ 3 29 36	+152·7	6	2 2 36·4	21·31	+ 9 25 59	+143·1
7	1 13 57·2	21·06	+ 3 44 51	+152·5	7	2 4 44·3	21·33	+ 9 40 16	+142·5
8	1 16 3·6	21·06	+ 4 0 5	+152·2	8	2 6 52·3	21·35	+ 9 54 29	+141·9
9	1 18 10·0	21·07	+ 4 15 18	+151·9	9	2 9 0·5	21·37	+ 10 8 39	+141·3
10	1 20 16·4	21·07	+ 4 30 28	+151·6	10	2 11 8·7	21·39	+ 10 22 45	+140·7
11	1 22 22·8	21·08	+ 4 45 37	+151·3	11	2 13 17·1	21·41	+ 10 36 48	+140·1
12	1 24 29·3	21·08	+ 5 0 44	+151·0	12	2 15 25·6	21·43	+ 10 50 47	+139·5
13	1 26 35·8	21·09	+ 5 15 49	+150·6	13	2 17 34·3	21·45	+ 11 4 42	+138·9
14	1 28 42·3	21·10	+ 5 30 52	+150·3	14	2 19 43·1	21·48	+ 11 18 33	+138·2
15	1 30 48·9	21·10	+ 5 45 52	+149·9	15	2 21 52·0	21·50	+ 11 32 20	+137·6
16	1 32 55·6	21·11	+ 6 0 51	+149·6	16	2 24 1·1	21·52	+ 11 46 4	+136·9
17	1 35 2·3	21·12	+ 6 15 47	+149·2	17	2 26 10·3	21·55	+ 11 59 43	+136·2
18	1 37 9·1	21·13	+ 6 30 41	+148·8	18	2 28 19·7	21·57	+ 12 13 18	+135·5
19	1 39 15·9	21·14	+ 6 45 33	+148·4	19	2 30 29·2	21·60	+ 12 26 49	+134·8
20	1 41 22·8	21·16	+ 7 0 22	+148·0	20	2 32 38·9	21·63	+ 12 40 16	+134·1
21	1 43 29·8	21·17	+ 7 15 8	+147·5	21	2 34 48·7	21·65	+ 12 53 38	+133·3
22	1 45 36·8	21·18	+ 7 29 52	+147·1	22	2 36 58·7	21·68	+ 13 6 56	+132·6
23	1 47 43·9	21·19	+ 7 44 33	+146·6	23	2 39 8·9	21·71	+ 13 20 9	+131·8
24	1 49 51·1	21·21	+ 7 59 12	+146·2	24	2 41 19·2	21·74	+ 13 33 18	+131·1

PHASEN DES MONDES.

Mittlere Greenwicher Zeit.

	h m	
Juni 6.	4 25·8	● Neumond.
14.	0 34·0	☽ Erstes Viertel.
21.	17 12·2	○ Vollmond.
28.	11 16·1	☾ Letztes Viertel.
	h	
Juni 13.	13	☾ Apogaeum.
25.	17	☾ Perigaeum.

Venus						Mars					
Mittlerer Greenwicher Mittag.					Im Meridian. Mittlere Gr. Zeit	Mittlerer Greenwicher Mittag.					Im Meridian. Mittlere Gr. Zeit
Datum	Rectascension	Stdl. Aend.	Declination + Nord	Stdl. Aend.		Datum	Rectascension	Stdl. Aend.	Declination + Nord	Stdl. Aend.	
	h m s	s	° ′ ″	″	h m		h m s	s	° ′ ″	″	h m
1	2 39 38·1	+11·72	+13 47 21	+57·6	22 1·6	1	5 53 36·9	+7·27	+24 21 17	+ 1·9	1 14·8
2	2 44 19·8	+11·76	+14 10 14	+56·8	22 2·4	2	5 56 31·3	+7·27	+24 21 56	+ 1·4	1 13·8
3	2 49 2·5	+11·80	+14 32 47	+56·0	22 3·2	3	5 59 25·7	+7·26	+24 22 23	+ 0·9	1 12·8
4	2 53 46·2	+11·84	+14 55 2	+55·2	22 4·0	4	6 2 19·9	+7·26	+24 22 38	+ 0·4	1 11·7
5	2 58 30·9	+11·89	+15 16 56	+54·3	22 4·8	5	6 5 14·0	+7·25	+24 22 41	− 0·1	1 10·7
6	3 3 16·7	+11·93	+15 38 28	+53·4	22 5·6	6	6 8 8·0	+7·25	+24 22 31	− 0·7	1 9·6
7	3 8 3·6	+11·98	+15 59 39	+52·5	22 6·4	7	6 11 1·9	+7·24	+24 22 10	− 1·2	1 8·6
8	3 12 51·6	+12·02	+16 20 28	+51·5	22 7·3	8	6 13 55·6	+7·23	+24 21 36	− 1·7	1 7·5
9	3 17 40·6	+12·07	+16 40 53	+50·6	22 8·2	9	6 16 49·2	+7·23	+24 20 50	− 2·2	1 6·5
10	3 22 30·7	+12·11	+17 0 55	+49·6	22 9·1	10	6 19 42·6	+7·22	+24 19 52	− 2·7	1 5·4
11	3 27 22·0	+12·16	+17 20 32	+48·5	22 10·0	11	6 22 35·8	+7·21	+24 18 42	− 3·2	1 4·4
12	3 32 14·3	+12·20	+17 39 44	+47·5	22 11·0	12	6 25 28·9	+7·21	+24 17 21	− 3·7	1 3·3
13	3 37 7·7	+12·25	+17 58 29	+46·4	22 12·0	13	6 28 21·7	+7·20	+24 15 47	− 4·2	1 2·3
14	3 42 2·3	+12·30	+18 16 48	+45·2	22 13·0	14	6 31 14·4	+7·19	+24 14 1	− 4·7	1 1·2
15	3 46 57·9	+12·34	+18 34 40	+44·1	22 14·0	15	6 34 6·8	+7·18	+24 12 3	− 5·1	1 0·1
16	3 51 54·7	+12·39	+18 52 4	+42·9	22 15·0	16	6 36 59·0	+7·17	+24 9 54	− 5·6	0 59·1
17	3 56 52·5	+12·43	+19 9 0	+41·7	22 16·0	17	6 39 51·1	+7·16	+24 7 33	− 6·1	0 58·0
18	4 1 51·5	+12·48	+19 25 26	+40·5	22 17·1	18	6 42 42·9	+7·15	+24 5 0	− 6·6	0 56·9
19	4 6 51·6	+12·52	+19 41 23	+39·2	22 18·2	19	6 45 34·4	+7·14	+24 2 16	− 7·1	0 55·8
20	4 11 52·7	+12·57	+19 56 49	+37·9	22 19·3	20	6 48 25·7	+7·13	+23 59 20	− 7·6	0 54·8
21	4 16 54·9	+12·61	+20 11 44	+36·6	22 20·4	21	6 51 16·8	+7·12	+23 56 13	− 8·1	0 53·7
22	4 21 58·1	+12·66	+20 26 7	+35·3	22 21·5	22	6 54 7·6	+7·11	+23 52 54	− 8·5	0 52·6
23	4 27 2·4	+12·70	+20 39 58	+33·9	22 22·6	23	6 56 58·1	+7·10	+23 49 24	− 9·0	0 51·5
24	4 32 7·7	+12·74	+20 53 16	+32·6	22 23·8	24	6 59 48·4	+7·09	+23 45 43	− 9·5	0 50·4
25	4 37 14·0	+12·78	+21 6 1	+31·2	22 25·0	25	7 2 38·5	+7·08	+23 41 50	− 9·9	0 49·2
26	4 42 21·3	+12·82	+21 18 12	+29·8	22 26·2	26	7 5 28·2	+7·07	+23 37 46	−10·4	0 48·1
27	4 47 29·6	+12·86	+21 29 49	+28·3	22 27·4	27	7 8 17·7	+7·06	+23 33 31	−10·9	0 47·0
28	4 52 38·7	+12·90	+21 40 50	+26·8	22 28·6	28	7 11 7·0	+7·05	+23 29 5	−11·3	0 45·9
29	4 57 48·8	+12·94	+21 51 16	+25·3	22 29·8	29	7 13 55·9	+7·03	+23 24 28	−11·8	0 44·8
30	5 2 59·7	+12·97	+22 1 6	+23·8	22 31·1	30	7 16 44·6	+7·02	+23 19 41	−12·2	0 43·6
J.1	5 8 11·5	+13·01	+22 10 20	+22·3	22 32·4	J.1	7 19 33·0	+7·01	+23 14 42	−12·7	0 42·5

Venus: Datum	Halbmesser	Horizontal-Parallaxe	Mars: Datum	Halbmesser	Horizontal-Parallaxe
	″	″		″	″
1	6·0	6·2	1	2·0	3·5
11	5·8	6·0	11	2·0	3·4
21	5·6	5·8	21	1·9	3·4
31	5·4	5·6	31	1·9	3·4

Jupiter.						Saturn.					
Mittlerer Greenwicher Mittag.					Im Meridian. Mittlere Gr. Zeit	Mittlerer Greenwicher Mittag.					Im Meridian. Mittlere Gr. Zeit
Datum	Rectascension	Stdl. Aend.	Declination − Süd	Stdl. Aend.		Datum	Rectascension	Stdl. Aend.	Declination + Nord	Stdl. Aend.	
	h m s	s	° ′ ″	″	h m		h m s	s	° ′ ″	″	h m
1	23 10 2·4	+1·02	−6 31 37	+5·7	18 28·6	1	10 51 43·3	+0·31	+9 27 16	−2·3	6 12·0
2	23 10 26·7	+1·00	−6 29 22	+5·6	18 25·1	2	10 51 50·8	+0·32	+9 26 20	−2·4	6 8·2
3	23 10 50·4	+0·98	−6 27 10	+5·4	18 21·5	3	10 51 58·7	+0·34	+9 25 21	−2·5	6 4·4
4	23 11 13·5	+0·95	−6 25 2	+5·3	18 18·0	4	10 52 7·0	+0·35	+9 24 21	−2·6	6 0·6
5	23 11 36·1	+0·93	−6 22 58	+5·1	18 14·4	5	10 52 15·6	+0·37	+9 23 18	−2·7	5 56·8
6	23 11 58·0	+0·90	−6 20 58	+4·9	18 10·8	6	10 52 24·6	+0·38	+9 22 13	−2·8	5 53·1
7	23 12 19·3	+0·88	−6 19 2	+4·8	18 7·2	7	10 52 33·9	+0·40	+9 21 6	−2·8	5 49·3
8	23 12 40·0	+0·85	−6 17 9	+4·6	18 3·6	8	10 52 43·6	+0·41	+9 19 56	−2·9	5 45·5
9	23 13 0·1	+0·82	−6 15 21	+4·4	18 0·0	9	10 52 53·7	+0·43	+9 18 45	−3·0	5 41·7
10	23 13 19·6	+0·80	−6 13 36	+4·3	17 56·4	10	10 53 4·1	+0·44	+9 17 31	−3·1	5 38·0
11	23 13 38·4	+0·77	−6 11 56	+4·1	17 52·8	11	10 53 14·9	+0·46	+9 16 15	−3·2	5 34·2
12	23 13 56·6	+0·75	−6 10 20	+3·9	17 49·2	12	10 53 26·0	+0·47	+9 14 57	−3·3	5 30·5
13	23 14 14·2	+0·72	−6 8 47	+3·8	17 45·5	13	10 53 37·5	+0·48	+9 13 38	−3·4	5 26·7
14	23 14 31·1	+0·69	−6 7 19	+3·6	17 41·8	14	10 53 49·3	+0·50	+9 12 16	−3·5	5 23·0
15	23 14 47·4	+0·67	−6 5 55	+3·4	17 38·2	15	10 54 1·4	+0·51	+9 10 52	−3·5	5 19·3
16	23 15 3·0	+0·64	−6 4 35	+3·2	17 34·5	16	10 54 13·8	+0·53	+9 9 26	−3·6	5 15·5
17	23 15 18·0	+0·61	−6 3 19	+3·1	17 30·8	17	10 54 26·6	+0·54	+9 7 58	−3·7	5 11·8
18	23 15 32·3	+0·58	−6 2 8	+2·9	17 27·1	18	10 54 39·8	+0·55	+9 6 28	−3·8	5 8·1
19	23 15 46·0	+0·56	−6 1 1	+2·7	17 23·4	19	10 54 53·2	+0·57	+9 4 57	−3·9	5 4·4
20	23 15 59·0	+0·53	−5 59 58	+2·5	17 19·6	20	10 55 7·0	+0·58	+9 3 23	−3·9	5 0·7
21	23 16 11·3	+0·50	−5 58 59	+2·4	17 15·9	21	10 55 21·1	+0·59	+9 1 48	−4·0	4 57·0
22	23 16 22·9	+0·47	−5 58 5	+2·2	17 12·2	22	10 55 35·5	+0·61	+9 0 10	−4·1	4 53·3
23	23 16 33·9	+0·44	−5 57 15	+2·0	17 8·4	23	10 55 50·2	+0·62	+8 58 31	−4·2	4 49·6
24	23 16 44·1	+0·41	−5 56 29	+1·8	17 4·6	24	10 56 5·2	+0·63	+8 56 50	−4·3	4 45·9
25	23 16 53·7	+0·39	−5 55 48	+1·6	17 0·9	25	10 56 20·5	+0·65	+8 55 7	−4·3	4 42·3
26	23 17 2·6	+0·36	−5 55 11	+1·4	16 57·1	26	10 56 36·1	+0·66	+8 53 22	−4·4	4 38·6
27	23 17 10·8	+0·33	−5 54 39	+1·3	16 53·3	27	10 56 52·0	+0·67	+8 51 36	−4·5	4 34·9
28	23 17 18·3	+0·30	−5 54 11	+1·1	16 49·4	28	10 57 8·2	+0·68	+8 49 48	−4·6	4 31·3
29	23 17 25·1	+0·27	−5 53 48	+0·9	16 45·6	29	10 57 24·7	+0·69	+8 47 58	−4·6	4 27·6
30	23 17 31·2	+0·24	−5 53 29	+0·7	16 41·8	30	10 57 41·5	+0·71	+8 46 6	−4·7	4 24·0
J. 1	23 17 36·6	+0·21	−5 53 15	+0·5	16 37·9	J. 1	10 57 58·6	+0·72	+8 44 13	−4·8	4 20·3

Datum	Halbmesser	Horizontal-Parallaxe	Datum	Halbmesser	Horizontal-Parallaxe
	″	″		″	″
1	18·9	1·8	1	8·4	0·9
11	19·5	1·8	11	8·2	0·9
21	20·1	1·9	21	8·1	0·9
31	20·9	2·0	31	8·0	0·9

MOND-DISTANZEN.

Mittlere Greenwicher Zeit.

Datum	Namen u. Lage der Sterne		Mittag	Lg. pr.	III^h	Lg. pr.	VI^h	Lg. pr.	IX^h	Lg. pr.
			° ′ ″		° ′ ″		° ′ ″		° ′ ″	
1	α Aquilæ	W.	69 22 16	3199	70 48 26	3179	72 15 0	3163	73 41 54	3148
	Fomalhaut	W.	34 22 18	2830	35 56 7	2786	37 30 53	2747	39 6 30	2713
	Jupiter	W.	17 47 46	2423	19 30 48	2405	21 14 15	2392	22 58 1	2382
	α Arietis	O.	35 42 45	2612	34 4 7	2646	32 26 15	2684	30 49 14	2730
	Venus	O.	38 26 23	2660	36 48 49	2660	35 11 15	2661	33 33 43	2663
	Sonne	O.	67 19 10	2579	65 39 46	2580	64 0 23	2581	62 21 2	2582
2	α Aquilæ	W.	81 0 7	3101	82 28 16	3096	83 56 30	3094	85 24 47	3093
	Fomalhaut	W.	47 13 59	2602	48 52 51	2588	50 32 2	2576	52 11 30	2566
	α Pegasi	W.	34 22 12	3890	35 35 42	3757	36 51 29	3641	38 9 19	3541
	Jupiter	W.	31 39 26	2359	33 23 59	2359	35 8 33	2358	36 53 8	2358
	Sonne	O.	54 4 44	2591	52 25 37	2593	50 46 33	2596	49 7 33	2600
3	α Aquilæ	W.	92 45 55	3110	94 13 52	3119	95 41 39	3128	97 9 14	3140
	Fomalhaut	W.	60 31 41	2535	62 12 5	2533	63 52 32	2532	65 33 1	2531
	Jupiter	W.	45 35 42	2368	47 20 3	2371	49 4 20	2375	50 48 31	2379
	α Pegasi	W.	45 2 10	3197	46 28 23	3152	47 55 30	3111	49 23 26	3075
	Sonne	O.	40 53 47	2620	39 15 19	2624	37 36 57	2630	35 58 43	2636
4	α Aquilæ	W.	104 23 5	3221	105 48 49	3244	107 14 6	3268	108 38 55	3294
	Fomalhaut	W.	73 55 18	2540	75 35 35	2544	77 15 47	2549	78 55 52	2554
	Jupiter	W.	59 27 48	2405	61 11 15	2411	62 54 34	2418	64 37 43	2424
	α Pegasi	W.	56 52 22	2955	58 23 31	2941	59 54 58	2927	61 26 42	2916
	Sonne	O.	27 49 35	2669	26 12 14	2676	24 35 2	2685	22 58 2	2693
9	Sonne	W.	34 6 23	3147	35 33 36	3160	37 0 33	3174	38 27 13	3187
	Saturn	O.	48 42 20	2831	47 8 33	2845	45 35 4	2859	44 1 52	2872
	Spica	O.	90 13 23	2825	88 39 27	2837	87 5 47	2849	85 32 23	2862
10	Sonne	W.	45 36 46	3249	47 1 57	3262	48 26 53	3273	49 51 36	3284
	Saturn	O.	36 20 2	2936	34 48 29	2949	33 17 12	2962	31 46 11	2974
	Spica	O.	77 49 16	2920	76 17 23	2932	74 45 45	2942	73 14 20	2954
	Antares	O.	123 43 27	2916	122 11 28	2927	120 39 43	2936	119 8 10	2946
11	Sonne	W.	56 52 2	3336	58 15 32	3345	59 38 52	3354	61 2 1	3362
	Spica	O.	65 40 35	3004	64 10 27	3013	62 40 30	3022	61 10 44	3030
	Antares	O.	111 33 28	2992	110 3 5	3002	108 32 52	3009	107 2 50	3016
12	Sonne	W.	67 55 33	3398	69 17 52	3404	70 40 4	3409	72 2 10	3415
	Spica	O.	53 44 27	3069	52 15 39	3075	50 46 59	3082	49 18 27	3087
	Antares	O.	99 34 48	3048	98 5 35	3053	96 36 28	3058	95 7 27	3063
13	Sonne	W.	78 51 28	3431	80 13 10	3433	81 34 49	3434	82 56 27	3435
	Spica	O.	41 57 32	3114	40 29 40	3119	39 1 53	3124	37 34 12	3129
	Antares	O.	87 43 33	3078	86 14 56	3080	84 46 22	3081	83 17 49	3082
14	Sonne	W.	89 44 34	3431	91 6 16	3429	92 28 0	3426	93 49 47	3423
	Regulus	W.	24 54 49	3147	26 22 2	3137	27 49 27	3128	29 17 3	3118
	Spica	O.	30 17 12	3153	28 50 6	3160	27 23 9	3167	25 56 20	3176
	Antares	O.	75 55 8	3078	74 26 32	3077	72 57 54	3074	71 29 13	3071
15	Sonne	W.	100 39 52	3398	102 2 11	3392	103 24 37	3385	104 47 11	3378
	Regulus	W.	36 37 44	3076	38 6 23	3067	39 35 13	3059	41 4 13	3049
	Saturn	W.	23 34 6	3096	25 2 20	3087	26 30 46	3076	27 59 25	3066

MOND-DISTANZEN.

Mittlere Greenwicher Zeit.

Datum	Namen u. Lage der Sterne		Mitter-nacht	Lg. pr.	XV^h	Lg. pr.	XVIII^h	Lg. pr.	XXI^h	Lg. pr.
			° ′ ″		° ′ ″		° ′ ″		° ′ ″	
1	α Aquilæ	W.	75 9 5	3134	76 36 33	3123	78 4 14	3114	79 32 6	3107
	Fomalhaut	W.	40 42 52	2684	42 19 53	2660	43 57 27	2638	45 35 30	2619
	Jupiter	W.	24 42 1	2375	26 26 12	2369	28 10 31	2365	29 54 56	2362
	α Arietis	O.	29 13 14	2785	27 38 26	2849	26 5 2	2927	24 33 18	3024
	Venus	O.	31 56 13	2663	30 18 44	2666	28 41 18	2667	27 3 54	2669
	Sonne	O.	60 41 42	2583	59 2 24	2585	57 23 8	2586	55 43 54	2589
2	α Aquilæ	W.	86 53 5	3093	88 21 23	3095	89 49 39	3099	91 17 50	3104
	Fomalhaut	W.	53 51 12	2557	55 31 6	2550	57 11 10	2544	58 51 22	2539
	α Pegasi	W.	39 28 58	3454	40 50 14	3376	42 12 58	3309	43 36 59	3249
	Jupiter	W.	38 37 43	2359	40 22 17	2361	42 6 48	2362	43 51 17	2365
	Sonne	O.	47 28 38	2603	45 49 47	2607	44 11 1	2611	42 32 21	2615
3	α Aquilæ	W.	98 36 35	3153	100 3 41	3167	101 30 30	3184	102 56 58	3202
	Fomalhaut	W.	67 13 31	2531	68 54 1	2532	70 34 30	2534	72 14 56	2537
	Jupiter	W.	52 32 36	2383	54 16 35	2388	56 0 27	2393	57 44 12	2399
	α Pegasi	W.	50 52 6	3045	52 21 23	3018	53 51 14	2993	55 21 35	2973
	Sonne	O.	34 20 37	2641	32 42 38	2648	31 4 48	2655	29 27 7	2661
4	α Aquilæ	W.	110 3 14	3322	111 27 0	3353	112 50 10	3386	114 12 43	3422
	Fomalhaut	W.	80 35 50	2560	82 15 40	2567	83 55 20	2574	85 34 50	2582
	Jupiter	W.	66 20 43	2432	68 3 32	2440	69 46 10	2448	71 28 36	2457
	α Pegasi	W.	62 58 40	2908	64 30 48	2901	66 3 5	2897	67 35 28	2893
	Sonne	O.	21 21 13	2702	19 44 36	2711	18 8 11	2722	16 32 0	2732
9	Sonne	W.	39 53 38	3200	41 19 47	3212	42 45 42	3225	44 11 21	3237
	Saturn	O.	42 28 57	2885	40 56 19	2898	39 23 57	2910	37 51 51	2924
	Spica	O.	83 59 15	2873	82 26 22	2886	80 53 45	2898	79 21 23	2909
10	Sonne	W.	51 16 6	3295	52 40 23	3306	54 4 28	3316	55 28 21	3326
	Saturn	O.	30 15 26	2987	28 44 57	3000	27 14 44	3013	25 44 47	3026
	Spica	O.	71 43 9	2965	70 12 12	2975	68 41 28	2984	67 10 55	2994
	Antares	O.	117 36 50	2956	116 5 42	2965	114 34 45	2975	113 4 1	2984
11	Sonne	W.	62 25 1	3371	63 47 51	3379	65 10 33	3385	66 33 7	3392
	Spica	O.	59 41 9	3039	58 11 44	3047	56 42 29	3055	55 13 24	3061
	Antares	O.	105 32 57	3022	104 3 12	3030	102 33 36	3036	101 4 8	3043
12	Sonne	W.	73 24 10	3418	74 46 6	3423	76 7 57	3426	77 29 44	3429
	Spica	O.	47 50 2	3094	46 21 45	3099	44 53 34	3105	43 25 30	3110
	Antares	O.	93 38 32	3066	92 9 41	3070	90 40 55	3073	89 12 12	3075
13	Sonne	W.	84 18 4	3435	85 39 41	3435	87 1 18	3435	88 22 55	3433
	Spica	O.	36 6 37	3133	34 39 7	3138	33 11 43	3142	31 44 24	3148
	Antares	O.	81 49 17	3082	80 20 46	3082	78 52 14	3081	77 23 41	3081
14	Sonne	W.	95 11 38	3419	96 33 33	3414	97 55 34	3409	99 17 40	3404
	Regulus	W.	30 44 51	3110	32 12 49	3101	33 40 57	3093	35 9 15	3084
	Spica	O.	24 29 42	3186	23 3 16	3199	21 37 6	3216	20 11 16	3236
	Antares	O.	70 0 28	3068	68 31 39	3065	67 2 46	3060	65 33 47	3056
15	Sonne	W.	106 9 53	3369	107 32 45	3361	108 55 46	3352	110 18 57	3343
	Regulus	W.	42 33 25	3040	44 2 48	3031	45 32 22	3021	47 2 9	3011
	Saturn	W.	29 28 16	3056	30 57 19	3047	32 26 34	3036	33 56 2	3026

MOND-DISTANZEN.

Mittlere Greenwicher Zeit.

Datum	Namen u. Lage der Sterne		Mittag	Lg. pr.	III^h	Lg. pr.	VI^h	Lg. pr.	IX^h	Lg. pr.
			° ′ ″		° ′ ″		° ′ ″		° ′ ″	
15	Antares	O.	64 4 43	3050	62 35 32	3044	61 6 14	3039	59 36 49	3032
	α Aquilæ	O.	109 34 28	3943	108 21 52	3921	107 8 54	3901	105 55 35	3880
16	Sonne	W.	111 42 19	3333	113 5 52	3324	114 29 36	3313	115 53 33	3302
	Regulus	W.	48 32 8	3001	50 2 19	2990	51 32 44	2980	53 3 22	2969
	Saturn	W.	35 25 43	3015	36 55 37	3005	38 25 44	2994	39 56 4	2982
	Antares	O.	52 7 36	2994	50 37 16	2986	49 6 46	2977	47 36 5	2968
	α Aquilæ	O.	99 44 8	3792	98 28 57	3776	97 13 30	3761	95 57 47	3746
17	Sonne	W.	122 56 35	3242	124 21 54	3229	125 47 29	3216	127 13 19	3203
	Regulus	W.	60 40 10	2909	62 12 17	2897	63 44 40	2883	65 17 20	2870
	Saturn	W.	47 31 24	2923	49 3 14	2910	50 35 20	2898	52 7 42	2884
	Antares	O.	39 59 42	2920	38 27 49	2910	36 55 43	2900	35 23 24	2890
	α Aquilæ	O.	89 35 32	3682	88 18 26	3671	87 1 8	3661	85 43 39	3651
	Fomalhaut	O.	122 7 58	3125	120 40 19	3105	119 12 16	3087	117 43 50	3068
18	Regulus	W.	73 4 58	2802	74 39 23	2788	76 14 7	2773	77 49 10	2760
	Saturn	W.	59 53 51	2815	61 27 59	2801	63 2 25	2787	64 37 10	2773
	Spica	W.	19 31 28	2966	21 2 23	2928	22 34 6	2894	24 6 32	2865
	α Aquilæ	O.	79 14 1	3617	77 55 45	3612	76 37 24	3610	75 19 1	3608
	Fomalhaut	O.	110 15 57	2977	108 45 16	2959	107 14 12	2942	105 42 47	2925
19	Regulus	W.	85 49 9	2686	87 26 8	2672	89 3 26	2657	90 41 4	2643
	Saturn	W.	72 35 40	2699	74 12 21	2685	75 49 21	2670	77 26 41	2655
	Spica	W.	31 57 27	2744	33 33 9	2722	35 9 19	2703	36 45 55	2684
	α Aquilæ	O.	68 47 6	3623	67 28 56	3630	66 10 54	3641	64 53 4	3653
	Fomalhaut	O.	98 0 22	2843	96 26 50	2828	94 52 58	2812	93 18 46	2797
	Jupiter	O.	113 21 17	2703	111 44 41	2688	110 7 45	2673	108 30 29	2657
	α Pegasi	O.	115 44 37	3178	114 18 2	3151	112 50 54	3124	111 23 14	3099
20	Regulus	W.	98 54 8	2570	100 33 44	2556	102 13 39	2543	103 53 53	2530
	Saturn	W.	85 38 20	2583	87 17 38	2569	88 57 16	2554	90 37 14	2540
	Spica	W.	44 55 5	2596	46 34 5	2580	48 13 28	2564	49 53 13	2548
	α Aquilæ	O.	58 28 14	3761	57 12 31	3793	55 57 22	3830	54 42 51	3873
	Fomalhaut	O.	85 22 55	2726	83 46 50	2713	82 10 27	2701	80 33 48	2688
	Jupiter	O.	100 19 3	2583	98 39 45	2569	97 0 8	2555	95 20 11	2541
	α Pegasi	O.	103 57 33	2987	102 27 4	2967	100 56 10	2948	99 24 52	2931
21	Saturn	W.	99 1 45	2475	100 43 34	2462	102 25 40	2450	104 8 4	2438
	Spica	W.	58 17 13	2475	59 59 1	2462	61 41 8	2448	63 23 34	2436
	α Aquilæ	O.	48 42 58	4182	47 34 15	4270	46 26 55	4368	45 21 5	4481
	Fomalhaut	O.	72 26 41	2636	70 48 35	2627	69 10 17	2619	67 31 48	2612
	Jupiter	O.	86 55 39	2474	85 13 49	2461	83 31 41	2448	81 49 15	2436
	α Pegasi	O.	91 43 4	2853	90 9 45	2842	88 36 11	2829	87 2 21	2818
22	Spica	W.	72 0 5	2378	73 44 12	2367	75 28 34	2357	77 13 10	2348
	Antares	W.	26 10 6	2414	27 53 21	2398	29 36 59	2382	31 20 59	2368
	Fomalhaut	O.	59 17 28	2591	57 38 21	2591	55 59 14	2592	54 20 8	2594
	Jupiter	O.	73 12 58	2382	71 28 57	2371	69 44 41	2362	68 0 11	2352
	α Pegasi	O.	79 10 8	2780	77 35 14	2776	76 0 15	2772	74 25 11	2771
	α Arietis	O.	121 41 41	2497	120 0 23	2482	118 18 44	2467	116 36 45	2455

MOND-DISTANZEN.

Mittlere Greenwicher Zeit.

Datum	Namen u. Lage der Sterne		Mitternacht	Lg. pr.	XV^h	Lg. pr.	XVIII^h	Lg. pr.	XXI^h	Lg. pr.
			° ′ ″		° ′ ″		° ′ ″		° ′ ″	
15	Antares	O.	58 7 16	3026	56 37 35	3018	55 7 45	3010	53 37 45	3003
	α Aquilæ	O.	104 41 55	3861	103 27 56	3843	102 13 38	3825	100 59 2	3808
16	Sonne	W.	117 17 42	3291	118 42 4	3279	120 6 40	3267	121 31 30	3254
	Regulus	W.	54 34 14	2957	56 5 21	2946	57 36 42	2934	59 8 18	2921
	Saturn	W.	41 26 39	2971	42 57 28	2959	44 28 32	2948	45 59 50	2935
	Antares	O.	46 5 12	2958	44 34 7	2950	43 2 51	2940	41 31 23	2930
	α Aquilæ	O.	94 41 48	3732	93 25 35	3718	92 9 7	3706	90 52 26	3693
17	Sonne	W.	128 39 25	3188	130 5 48	3175	131 32 27	3160	132 59 24	3147
	Regulus	W.	66 50 17	2857	68 23 31	2844	69 57 2	2830	71 30 51	2816
	Saturn	W.	53 40 21	2870	55 13 18	2858	56 46 31	2844	58 20 2	2830
	Antares	O.	33 50 52	2880	32 18 8	2871	30 45 12	2862	29 12 5	2853
	α Aquilæ	O.	84 26 0	3643	83 8 12	3635	81 50 16	3628	80 32 12	3622
	Fomalhaut	O.	116 15 1	3049	114 45 49	3030	113 16 14	3013	111 46 17	2994
18	Regulus	W.	79 24 31	2745	81 0 11	2730	82 36 11	2716	84 12 30	2701
	Saturn	W.	66 12 13	2758	67 47 36	2744	69 23 18	2729	70 59 19	2714
	Spica	W.	25 39 36	2837	27 13 16	2811	28 47 29	2788	30 22 13	2765
	α Aquilæ	O.	74 0 35	3609	72 42 10	3609	71 23 45	3611	70 5 23	3616
	Fomalhaut	O.	104 11 0	2909	102 38 52	2892	101 6 23	2876	99 33 33	2859
19	Regulus	W.	92 19 1	2627	93 57 19	2613	95 35 56	2599	97 14 52	2585
	Saturn	W.	79 4 21	2640	80 42 21	2626	82 20 41	2611	83 59 21	2597
	Spica	W.	38 22 56	2666	40 0 22	2647	41 38 13	2630	43 16 27	2612
	α Aquilæ	O.	63 35 27	3668	62 18 6	3687	61 1 5	3708	59 44 26	3733
	Fomalhaut	O.	91 44 14	2782	90 9 22	2768	88 34 12	2753	86 58 43	2739
	Jupiter	O.	106 52 52	2643	105 14 55	2628	103 36 38	2612	101 58 0	2599
	α Pegasi	O.	109 55 3	3074	108 26 22	3052	106 57 13	3029	105 27 36	3008
20	Regulus	W.	105 34 25	2515	107 15 17	2502	108 56 27	2489	110 37 55	2477
	Saturn	W.	92 17 31	2527	93 58 6	2513	95 39 1	2500	97 20 14	2487
	Spica	W.	51 33 19	2533	53 13 47	2518	54 54 35	2503	56 35 44	2489
	α Aquilæ	O.	53 29 4	3920	52 16 5	3974	51 4 0	4035	49 52 55	4105
	Fomalhaut	O.	78 56 52	2677	77 19 41	2666	75 42 15	2655	74 4 35	2645
	Jupiter	O.	93 39 55	2527	91 59 19	2514	90 18 25	2499	88 37 11	2487
	α Pegasi	O.	97 53 12	2913	96 21 10	2897	94 48 47	2882	93 16 5	2867
21	Saturn	W.	105 50 45	2426	107 33 42	2415	109 16 55	2404	111 0 24	2394
	Spica	W.	65 6 18	2424	66 49 19	2411	68 32 38	2400	70 16 13	2388
	α Aquilæ	O.	44 16 56	4606	43 14 36	4747	42 14 16	4907	41 16 7	5090
	Fomalhaut	O.	65 53 10	2607	64 14 24	2601	62 35 30	2597	60 56 31	2594
	Jupiter	O.	80 6 32	2425	78 23 33	2413	76 40 17	2402	74 56 45	2391
	α Pegasi	O.	85 28 17	2809	83 54 1	2800	82 19 33	2792	80 44 55	2785
22	Spica	W.	78 58 0	2338	80 43 4	2329	82 28 21	2321	84 13 50	2313
	Antares	W.	33 5 19	2355	34 49 58	2344	36 34 53	2333	38 20 5	2323
	Fomalhaut	O.	52 41 5	2599	51 2 8	2604	49 23 18	2612	47 44 39	2622
	Jupiter	O.	66 15 27	2344	64 30 31	2335	62 45 23	2328	61 0 4	2320
	α Pegasi	O.	72 50 5	2771	71 14 59	2772	69 39 54	2774	68 4 52	2779
	α Arietis	O.	114 54 28	2442	113 11 53	2430	111 29 1	2419	109 45 53	2408

MOND-DISTANZEN.

Mittlere Greenwicher Zeit.

Datum	Namen u. Lage der Sterne	Mittag	Lg. pr.	III^h	Lg. pr.	VI^h	Lg. pr.	IX^h	Lg. pr.
		° ′ ″		° ′ ″		° ′ ″		° ′ ″	
23	Spica W.	85 59 30	2306	87 45 21	2299	89 31 22	2292	91 17 33	2286
	Antares W.	40 5 31	2313	41 51 11	2304	43 37 5	2296	45 23 10	2289
	Fomalhaut O.	46 6 14	2635	44 28 7	2651	42 50 21	2670	41 13 1	2694
	Jupiter O.	59 14 33	2313	57 28 53	2307	55 43 3	2300	53 57 3	2295
	α Pegasi O.	66 29 56	2784	64 55 7	2792	63 20 29	2801	61 46 3	2813
	α Arietis O.	108 2 30	2399	106 18 54	2390	104 35 5	2381	102 51 3	2374
24	Spica W.	100 10 29	2262	101 57 24	2260	103 44 23	2256	105 31 28	2253
	Antares W.	54 16 7	2259	56 3 7	2254	57 50 14	2251	59 37 26	2247
	Jupiter O.	45 5 20	2274	43 18 43	2272	41 32 2	2270	39 45 19	2269
	α Pegasi O.	53 58 48	2912	52 26 45	2942	50 55 19	2975	49 24 35	3014
	α Arietis O.	94 8 28	2345	92 23 34	2341	90 38 34	2337	88 53 29	2335
25	Antares W.	68 34 33	2236	70 22 7	2235	72 9 43	2235	73 57 19	2235
	Jupiter O.	30 51 38	2274	29 5 1	2279	27 18 30	2284	25 32 7	2291
	α Pegasi O.	42 4 58	3296	40 40 42	3378	39 18 0	3471	37 57 4	3577
	α Arietis O.	80 7 21	2329	78 22 4	2331	76 36 49	2332	74 51 36	2333
	Venus O.	113 28 1	2605	111 49 13	2604	110 10 24	2604	108 31 34	2604
	Sonne O.	136 16 31	2527	134 35 55	2525	132 55 17	2525	131 14 39	2525
26	Antares W.	82 55 14	2239	84 42 44	2241	86 30 11	2243	88 17 35	2245
	α Aquilæ W.	45 45 0	4128	46 54 35	4019	48 5 56	3920	49 18 55	3832
	α Arietis O.	66 6 28	2353	64 21 45	2358	62 37 10	2365	60 52 45	2371
	Venus O.	100 17 38	2610	98 38 56	2612	97 0 18	2614	95 21 42	2617
	Sonne O.	122 51 32	2530	121 11 0	2531	119 30 30	2533	117 50 3	2536
27	Antares W.	97 13 35	2260	99 0 33	2265	100 47 24	2269	102 34 9	2273
	α Aquilæ W.	55 43 55	3507	57 4 11	3461	58 25 19	3419	59 47 14	3382
	α Arietis O.	52 13 34	2421	50 30 29	2433	48 47 42	2448	47 5 15	2463
	Venus O.	87 9 47	2635	85 31 39	2639	83 53 37	2643	82 15 40	2648
	Sonne O.	109 28 49	2552	107 48 48	2557	106 8 54	2561	104 29 5	2565
28	α Aquilæ W.	66 46 12	3245	68 11 28	3227	69 37 5	3211	71 3 1	3196
	Fomalhaut W.	31 39 41	2942	33 11 6	2889	34 43 39	2842	36 17 12	2803
	α Arietis O.	38 39 17	2570	36 59 41	2599	35 20 45	2633	33 42 35	2672
	Venus O.	74 7 38	2673	72 30 22	2680	70 53 15	2685	69 16 15	2691
	Sonne O.	96 11 37	2591	94 32 29	2596	92 53 28	2601	91 14 35	2607
29	α Aquilæ W.	78 16 8	3155	79 43 11	3152	81 10 18	3151	82 37 26	3150
	Fomalhaut W.	44 15 24	2681	45 52 29	2667	47 29 53	2655	49 7 34	2644
	α Pegasi W.	32 10 34	4227	33 18 35	4059	34 29 17	3914	35 42 23	3790
	Jupiter W.	26 35 59	2383	28 19 58	2384	30 3 56	2386	31 47 51	2388
	Venus O.	61 13 19	2722	59 37 9	2730	58 1 9	2736	56 25 17	2744
	Sonne O.	83 2 12	2638	81 24 9	2644	79 46 14	2652	78 8 29	2657
30	α Aquilæ W.	89 52 43	3168	91 19 30	3177	92 46 7	3185	94 12 34	3195
	Fomalhaut W.	57 18 39	2617	58 57 11	2615	60 35 46	2614	62 14 22	2614
	α Pegasi W.	42 15 26	3371	43 38 16	3317	45 2 8	3268	46 26 57	3225
	Jupiter W.	40 26 18	2408	42 9 42	2413	43 52 58	2418	45 36 7	2424
	Venus O.	48 28 19	2779	46 53 24	2787	45 18 39	2795	43 44 4	2802
	Sonne O.	70 1 59	2693	68 25 10	2700	66 48 30	2708	65 12 1	2715

MOND-DISTANZEN.

Mittlere Greenwicher Zeit.

Datum	Namen u. Lage der Sterne		Mitter-nacht	Lg. pr.	XV^h	Lg. pr.	XVIII^h	Lg. pr.	XXI^h	Lg. pr.
			° ′ ″		° ′ ″		° ′ ″		° ″	
23	Spica	W.	93 3 53	2281	94 50 21	2275	96 36 57	2270	98 23 40	2266
	Antares	W.	47 9 26	2281	48 55 53	2275	50 42 29	2269	52 29 14	2264
	Fomalhaut	O.	39 36 13	2722	38 0 2	2755	36 24 35	2794	34 49 59	2841
	Jupiter	O.	52 10 56	2289	50 24 41	2285	48 38 20	2281	46 51 52	2278
	α Pegasi	O.	60 11 52	2828	58 38 0	2845	57 4 30	2864	55 31 25	2886
	α Arietis	O.	101 6 51	2366	99 22 28	2360	97 37 56	2355	95 53 16	2349
24	Spica	W.	107 18 36	2251	109 5 47	2250	110 53 0	2249	112 40 15	2247
	Antares	W.	61 24 44	2244	63 12 6	2241	64 59 32	2239	66 47 1	2237
	Jupiter	O.	37 58 34	2268	36 11 48	2269	34 25 3	2270	32 38 19	2272
	α Pegasi	O.	47 54 39	3056	46 25 36	3105	44 57 33	3162	43 30 38	3225
	α Arietis	O.	87 8 20	2333	85 23 8	2331	83 37 53	2330	81 52 37	2330
25	Antares	W.	75 44 55	2235	77 32 31	2235	79 20 7	2236	81 7 41	2237
	Jupiter	O.	23 45 54	2300	21 59 54	2312	20 14 12	2327	18 28 52	2348
	α Pegasi	O.	36 38 5	3700	35 21 18	3840	34 6 57	4002	32 55 19	4191
	α Arietis	O.	73 6 25	2336	71 21 18	2339	69 36 16	2343	67 51 19	2347
	Venus	O.	106 52 45	2604	105 13 56	2605	103 35 8	2607	101 56 22	2608
	Sonne	O.	129 34 0	2525	127 53 22	2525	126 12 44	2526	124 32 7	2527
26	Antares	W.	90 4 56	2247	91 52 13	2251	93 39 25	2254	95 26 32	2257
	α Aquilæ	W.	50 33 24	3753	51 49 15	3681	53 6 22	3618	54 24 37	3560
	α Arietis	O.	59 8 29	2380	57 24 25	2389	55 40 34	2398	53 56 57	2408
	Venus	O.	93 43 10	2620	92 4 42	2624	90 26 19	2627	88 48 1	2630
	Sonne	O.	116 9 40	2538	114 29 20	2542	112 49 5	2545	111 8 54	2549
27	Antares	W.	104 20 48	2278	106 7 20	2283	107 53 45	2287	109 40 3	2292
	α Aquilæ	W.	61 9 51	3347	62 33 8	3318	63 56 59	3291	65 21 21	3266
	α Arietis	O.	45 23 10	2480	43 41 29	2499	42 0 14	2520	40 19 29	2544
	Venus	O.	80 37 50	2653	79 0 7	2657	77 22 30	2663	75 45 0	2669
	Sonne	O.	102 49 22	2570	101 9 46	2574	99 30 16	2580	97 50 53	2585
28	α Aquilæ	W.	72 29 15	3185	73 55 42	3174	75 22 22	3167	76 49 11	3160
	Fomalhaut	W.	37 51 36	2770	39 26 43	2743	41 2 26	2718	42 38 42	2698
	α Arietis	O.	32 5 17	2716	30 28 58	2766	28 53 45	2825	27 19 50	2897
	Venus	O.	67 39 23	2698	66 2 40	2703	64 26 4	2710	62 49 37	2716
	Sonne	O.	89 35 50	2613	87 57 13	2619	86 18 44	2626	84 40 24	2632
29	α Aquilæ	W.	84 4 35	3151	85 31 43	3153	86 58 48	3157	88 25 49	3163
	Fomalhaut	W.	50 45 29	2636	52 23 35	2629	54 1 50	2624	55 40 12	2621
	α Pegasi	W.	36 57 36	3682	38 14 42	3587	39 33 30	3506	40 53 48	3434
	Jupiter	W.	33 31 43	2391	35 15 30	2395	36 59 12	2399	38 42 48	2403
	Venus	O.	54 49 35	2750	53 14 2	2757	51 38 38	2764	50 3 23	2772
	Sonne	O.	76 30 52	2665	74 53 25	2672	73 16 7	2678	71 38 58	2686
30	α Aquilæ	W.	95 38 49	3208	97 4 49	3220	98 30 35	3235	99 56 3	3249
	Fomalhaut	W.	63 52 58	2615	65 31 33	2615	67 10 7	2617	68 48 39	2620
	α Pegasi	W.	47 52 36	3188	49 19 0	3155	50 46 3	3126	52 13 41	3101
	Jupiter	W.	47 19 8	2429	49 2 1	2435	50 44 46	2441	52 27 22	2447
	Venus	O.	42 9 39	2810	40 35 24	2818	39 1 19	2827	37 27 26	2835
	Sonne	O.	63 35 41	2722	61 59 31	2730	60 23 31	2738	58 47 42	2746

Tag im Jahre	Wochentag und Datum		Mittlerer Greenwicher Mittag. Sonne. Rectascension	Stdl. Aend.	Declination + Nord	Stündl. Aenderung	Halbmesser	Zeitgleichung + Zur wahren Zeit zu addiren	Stündl. Aenderung	Declination der Sonne im wahren Greenwicher Mittage
			h m s	s	° ′ ″	″	″ ′	m s	s	° ′ ″
182	Mittw.	1	6 40 32.5	10.34	+23 7 37	−10.0	15 46	+3 31.9	+0.48	+23 7 37
183	Donner.	2	6 44 40.6	10.33	+23 3 25	−11.0	15 46	+3 43.5	+0.47	+23 3 24
184	Freitag	3	6 48 48.5	10.32	+22 58 48	−12.0	15 46	+3 54.8	+0.46	+22 58 48
185	Samstag	4	6 52 56.0	10.31	+22 53 48	−13.0	15 46	+4 5.8	+0.45	+22 53 47
186	Sonntag	5	6 57 3.3	10.30	+22 48 23	−14.0	15 46	+4 16.5	+0.44	+22 48 22
187	Montag	6	7 1 10.2	10.28	+22 42 35	−15.0	15 46	+4 26.9	+0.42	+22 42 33
188	Dienst.	7	7 5 16.8	10.27	+22 36 23	−16.0	15 46	+4 36.9	+0.41	+22 36 21
189	Mittw.	8	7 9 23.0	10.25	+22 29 47	−17.0	15 46	+4 46.5	+0.39	+22 29 46
190	Donner.	9	7 13 28.8	10.23	+22 22 48	−17.9	15 46	+4 55.7	+0.38	+22 22 46
191	Freitag	10	7 17 34.1	10.22	+22 15 26	−18.9	15 46	+5 4.5	+0.36	+22 15 24
192	Samstag	11	7 21 39.1	10.20	+22 7 41	−19.9	15 46	+5 12.9	+0.34	+22 7 39
193	Sonntag	12	7 25 43.5	10.18	+21 59 33	−20.8	15 46	+5 20.8	+0.32	+21 59 31
194	Montag	13	7 29 47.5	10.16	+21 51 2	−21.7	15 46	+5 28.2	+0.30	+21 51 0
195	Dienst.	14	7 33 51.0	10.14	+21 42 9	−22.7	15 46	+5 35.2	+0.28	+21 42 7
196	Mittw.	15	7 37 54.0	10.11	+21 32 54	−23.6	15 46	+5 41.6	+0.26	+21 32 51
197	Donner.	16	7 41 56.5	10.09	+21 23 16	−24.5	15 46	+5 47.5	+0.24	+21 23 14
198	Freitag	17	7 45 58.5	10.07	+21 13 17	−25.4	15 46	+5 52.9	+0.21	+21 13 15
199	Samstag	18	7 49 59.9	10.05	+21 2 57	−26.3	15 47	+5 57.8	+0.19	+21 2 54
200	Sonntag	19	7 54 0.8	10.03	+20 52 15	−27.2	15 47	+6 2.1	+0.17	+20 52 12
201	Montag	20	7 58 1.1	10.00	+20 41 12	−28.1	15 47	+6 5.9	+0.15	+20 41 9
202	Dienst.	21	8 2 0.8	9.98	+20 29 48	−28.9	15 47	+6 9.1	+0.12	+20 29 45
203	Mittw.	22	8 6 0.0	9.96	+20 18 4	−29.8	15 47	+6 11.7	+0.10	+20 18 0
204	Donner.	23	8 9 58.7	9.93	+20 5 59	−30.6	15 47	+6 13.8	+0.07	+20 5 56
205	Freitag	24	8 13 56.7	9.91	+19 53 34	−31.5	15 47	+6 15.3	+0.05	+19 53 31
206	Samstag	25	8 17 54.2	9.88	+19 40 49	−32.3	15 47	+6 16.2	+0.03	+19 40 46
207	Sonntag	26	8 21 51.1	9.86	+19 27 45	−33.1	15 47	+6 16.6	0.00	+19 27 41
208	Montag	27	8 25 47.5	9.84	+19 14 21	−33.9	15 47	+6 16.4	−0.02	+19 14 17
209	Dienst.	28	8 29 43.3	9.81	+19 0 38	−34.7	15 47	+6 15.6	−0.04	+19 0 34
210	Mittw.	29	8 33 38.5	9.80	+18 46 36	−35.5	15 47	+6 14.3	−0.07	+18 46 32
211	Donner.	30	8 37 33.1	9.76	+18 32 15	−36.2	15 48	+6 12.3	−0.09	+18 32 11
212	Freitag	31	8 41 27.1	9.74	+18 17 36	−37.0	15 48	+6 9.8	−0.12	+18 17 33
213	Samstag	A. 1	8 45 20.5	9.71	+18 2 39	−37.7	15 48	+6 6.7	−0.14	+18 2 36

Wochentag und Datum		Sternzeit im mittleren Greenwich. Mittage	Mittlere Greenwicher Zeit. Mond. Obere Culmination	Stündliche Verzögerung	Halbmesser Mittag	Halbmesser Mitternacht	Horizontal-Parallaxe Mittag	Stündl. Aenderung	Horizontal-Parallaxe Mitternacht	Stündl. Aenderung	Alter Mittag
		h m s	h m	m	′ ″	′ ″	′ ″	″	′ ″	″	d
Mittw.	1	6 37 0·6	20 46·7	2·15	15 54	15 51	58 16	−1·1	58 3	−1·1	24·8
Donner.	2	6 40 57·1	21 39·4	2·23	15 47	15 43	57 49	−1·2	57 35	−1·2	25·8
Freitag	3	6 44 53·7	22 34·0	2·29	15 39	15 35	57 20	−1·2	57 5	−1·3	26·8
Samstag	4	6 48 50·2	23 29·4	2·30	15 31	15 26	56 50	−1·3	56 35	−1·3	27·8
Sonntag	5	6 52 46·8	*		15 22	15 18	56 19	−1·3	56 3	−1·3	28·8
Montag	6	6 56 43·4	0 24·3	2·24	15 14	15 10	55 48	−1·3	55 33	−1·2	0·3
Dienst.	7	7 0 39·9	1 17·1	2·13	15 6	15 2	55 19	−1·2	55 5	−1·1	1·3
Mittw.	8	7 4 36·5	2 6·8	2·00	14 59	14 56	54 52	−1·0	54 41	−0·9	2·3
Donner.	9	7 8 33·0	2 53·2	1·87	14 53	14 51	54 31	−0·8	54 23	−0·6	3·3
Freitag	10	7 12 29·6	3 36·8	1·77	14 49	14 48	54 16	−0·5	54 12	−0·3	4·3
Samstag	11	7 16 26·2	4 18·1	1·69	14 47	14 47	54 10	−0·1	54 9	+0·1	5·3
Sonntag	12	7 20 22·7	4 58·1	1·66	14 48	14 49	54 12	+0·3	54 17	+0·5	6·3
Montag	13	7 24 19·3	5 38·0	1·68	14 51	14 54	54 24	+0·7	54 34	+0·9	7·3
Dienst.	14	7 28 15·8	6 18·7	1·74	14 57	15 1	54 46	+1·2	55 1	+1·4	8·3
Mittw.	15	7 32 12·4	7 1·6	1·86	15 6	15 11	55 19	+1·5	55 38	+1·7	9·3
Donner.	16	7 36 8·9	7 47·7	2·01	15 17	15 23	56 0	+1·9	56 23	+2·0	10·3
Freitag	17	7 40 5·5	8 38·1	2·20	15 30	15 37	56 47	+2·1	57 12	+2·1	11·3
Samstag	18	7 44 2·1	9 33·2	2·38	15 44	15 51	57 38	+2·2	58 4	+2·1	12·3
Sonntag	19	7 47 58·6	10 32·5	2·52	15 58	16 4	58 29	+2·1	58 53	+1·9	13·3
Montag	20	7 51 55·2	11 34·3	2·58	16 10	16 16	59 15	+1·8	59 35	+1·6	14·3
Dienst.	21	7 55 51·7	12 36·1	2·53	16 21	16 25	59 53	+1·3	60 7	+1·0	15·3
Mittw.	22	7 59 48·3	13 35·8	2·41	16 27	16 29	60 18	+0·8	60 25	+0·4	16·3
Donner.	23	8 3 44·9	14 32·1	2·28	16 30	16 30	60 28	+0·1	60 27	−0·2	17·3
Freitag	24	8 7 41·4	15 25·1	2·16	16 29	16 27	60 24	−0·5	60 17	−0·7	18·3
Samstag	25	8 11 38·0	16 15·6	2·07	16 24	16 21	60 7	−0·9	59 54	−1·1	19·3
Sonntag	26	8 15 34·5	17 4·7	2·04	16 17	16 13	59 39	−1·3	59 23	−1·4	20·3
Montag	27	8 19 31·1	17 53·8	2·06	16 8	16 3	59 6	−1·5	58 48	−1·5	21·3
Dienst.	28	8 23 27·6	18 43·8	2·12	15 58	15 53	58 29	−1·6	58 10	−1·6	22·3
Mittw.	29	8 27 24·2	19 35·5	2·19	15 48	15 43	57 52	−1·6	57 33	−1·5	23·3
Donner.	30	8 31 20·7	20 28·9	2·25	15 38	15 33	57 15	−1·5	56 57	−1·4	24·3
Freitag	31	8 35 17·3	21 23·4	2·27	15 28	15 24	56 40	−1·4	56 24	−1·3	25·3
Samstag	A. 1	8 39 13·9	22 17·8	2·24	15 19	15 15	56 8	−1·3	55 53	−1·2	26·3

Rectascension und Declination des Mondes.

Mittlere Green. Zeit	Rectascension			Aenderung in 10m	Declination + Nord			Aenderung in 10m
	Mittwoch 1.							
h	h	m	s	s	°	′	″	″
0	2	41	19·2	21·74	+ 13	33	18	+ 131·1
1	2	43	29·7	21·76	+ 13	46	22	+ 130·3
2	2	45	40·4	21·79	+ 13	59	21	+ 129·5
3	2	47	51·2	21·82	+ 14	12	16	+ 128·7
4	2	50	2·3	21·85	+ 14	25	5	+ 127·9
5	2	52	13·5	21·88	+ 14	37	50	+ 127·0
6	2	54	24·8	21·91	+ 14	50	30	+ 126·2
7	2	56	36·4	21·94	+ 15	3	4	+ 125·3
8	2	58	48·1	21·97	+ 15	15	33	+ 124·5
9	3	1	0·1	22·00	+ 15	27	58	+ 123·6
10	3	3	12·2	22·04	+ 15	40	17	+ 122·7
11	3	5	24·5	22·07	+ 15	52	30	+ 121·8
12	3	7	37·0	22·10	+ 16	4	38	+ 120·9
13	3	9	49·7	22·13	+ 16	16	40	+ 119·9
14	3	12	2·6	22·16	+ 16	28	37	+ 119·0
15	3	14	15·7	22·20	+ 16	40	28	+ 118·0
16	3	16	29·0	22·23	+ 16	52	14	+ 117·1
17	3	18	42·5	22·26	+ 17	3	54	+ 116·1
18	3	20	56·2	22·30	+ 17	15	27	+ 115·1
19	3	23	10·1	22·33	+ 17	26	55	+ 114·1
20	3	25	24·1	22·36	+ 17	38	17	+ 113·1
21	3	27	38·4	22·40	+ 17	49	33	+ 112·1
22	3	29	52·9	22·43	+ 18	0	43	+ 111·1
23	3	32	7·6	22·47	+ 18	11	46	+ 110·0
	Donnerstag 2.							
0	3	34	22·5	22·50	+ 18	22	43	+ 109·0
1	3	36	37·7	22·54	+ 18	33	34	+ 107·9
2	3	38	53·0	22·57	+ 18	44	18	+ 106·8
3	3	41	8·5	22·60	+ 18	54	56	+ 105·8
4	3	43	24·2	22·64	+ 19	5	27	+ 104·7
5	3	45	40·1	22·67	+ 19	15	52	+ 103·6
6	3	47	56·3	22·71	+ 19	26	10	+ 102·4
7	3	50	12·6	22·74	+ 19	36	21	+ 101·3
8	3	52	29·2	22·77	+ 19	46	26	+ 100·2
9	3	54	45·9	22·81	+ 19	56	23	+ 99·0
10	3	57	2·9	22·84	+ 20	6	14	+ 97·9
11	3	59	20·0	22·87	+ 20	15	58	+ 96·7
12	4	1	37·4	22·91	+ 20	25	35	+ 95·5
13	4	3	54·9	22·94	+ 20	35	4	+ 94·3
14	4	6	12·7	22·97	+ 20	44	27	+ 93·1
15	4	8	30·6	23·01	+ 20	53	42	+ 91·9
16	4	10	48·7	23·04	+ 21	2	50	+ 90·7
17	4	13	7·1	23·07	+ 21	11	50	+ 89·5
18	4	15	25·6	23·10	+ 21	20	44	+ 88·2
19	4	17	44·3	23·13	+ 21	29	29	+ 87·0
20	4	20	3·2	23·17	+ 21	38	7	+ 85·7
21	4	22	22·3	23·20	+ 21	46	38	+ 84·5
22	4	24	41·6	23·23	+ 21	55	1	+ 83·2
23	4	27	1·1	23·26	+ 22	3	16	+ 81·9
24	4	29	20·7	23·29	+ 22	11	24	+ 80·6

Mittlere Green. Zeit	Rectascension			Aenderung in 10m	Declination + Nord			Aenderung in 10m
	Freitag 3.							
h	h	m	s	s	°	′	″	″
0	4	29	20·7	23·29	+ 22	11	24	+ 80·6
1	4	31	40·5	23·32	+ 22	19	24	+ 79·3
2	4	34	0·5	23·35	+ 22	27	16	+ 78·0
3	4	36	20·7	23·37	+ 22	35	0	+ 76·7
4	4	38	41·0	23·40	+ 22	42	36	+ 75·4
5	4	41	1·5	23·43	+ 22	50	5	+ 74·0
6	4	43	22·2	23·46	+ 22	57	25	+ 72·7
7	4	45	43·0	23·48	+ 23	4	37	+ 71·3
8	4	48	3·9	23·51	+ 23	11	41	+ 70·0
9	4	50	25·1	23·53	+ 23	18	37	+ 68·6
10	4	52	46·3	23·56	+ 23	25	25	+ 67·3
11	4	55	7·8	23·58	+ 23	32	4	+ 65·9
12	4	57	29·3	23·60	+ 23	38	35	+ 64·5
13	4	59	51·0	23·63	+ 23	44	58	+ 63·1
14	5	2	12·8	23·65	+ 23	51	13	+ 61·7
15	5	4	34·8	23·67	+ 23	57	19	+ 60·3
16	5	6	56·9	23·69	+ 24	3	17	+ 58·9
17	5	9	19·1	23·71	+ 24	9	6	+ 57·5
18	5	11	41·4	23·73	+ 24	14	47	+ 56·1
19	5	14	3·8	23·75	+ 24	20	19	+ 54·7
20	5	16	26·4	23·76	+ 24	25	43	+ 53·2
21	5	18	49·0	23·78	+ 24	30	58	+ 51·8
22	5	21	11·7	23·80	+ 24	36	4	+ 50·4
23	5	23	34·5	23·81	+ 24	41	2	+ 48·9
	Samstag 4.							
0	5	25	57·5	23·83	+ 24	45	51	+ 47·5
1	5	28	20·5	23·84	+ 24	50	32	+ 46·0
2	5	30	43·5	23·85	+ 24	55	3	+ 44·6
3	5	33	6·7	23·86	+ 24	59	26	+ 43·1
4	5	35	29·9	23·87	+ 25	3	41	+ 41·6
5	5	37	53·2	23·88	+ 25	7	46	+ 40·2
6	5	40	16·5	23·89	+ 25	11	43	+ 38·7
7	5	42	39·9	23·90	+ 25	15	31	+ 37·2
8	5	45	3·3	23·91	+ 25	19	10	+ 35·8
9	5	47	26·7	23·91	+ 25	22	40	+ 34·3
10	5	49	50·2	23·92	+ 25	26	1	+ 32·8
11	5	52	13·7	23·92	+ 25	29	14	+ 31·3
12	5	54	37·2	23·92	+ 25	32	17	+ 29·8
13	5	57	0·8	23·92	+ 25	35	12	+ 28·4
14	5	59	24·3	23·93	+ 25	37	58	+ 26·9
15	6	1	47·9	23·93	+ 25	40	35	+ 25·4
16	6	4	11·5	23·92	+ 25	43	3	+ 23·9
17	6	6	35·0	23·92	+ 25	45	22	+ 22·4
18	6	8	58·5	23·92	+ 25	47	32	+ 20·9
19	6	11	22·0	23·92	+ 25	49	33	+ 19·5
20	6	13	45·5	23·91	+ 25	51	25	+ 18·0
21	6	16	9·0	23·90	+ 25	53	9	+ 16·5
22	6	18	32·4	23·90	+ 25	54	43	+ 15·0
23	6	20	55·8	23·89	+ 25	56	9	+ 13·5
24	6	23	19·1	23·88	+ 25	57	26	+ 12·0

Rectascension und Declination des Mondes.

Mittlere Green. Zeit	Rectascension	Aenderung in 10m	Declination + Nord	Aenderung in 10m	Mittlere Green. Zeit	Rectascension	Aenderung in 10m	Declination + Nord	Aenderung in 10m
	Sonntag 5.					**Dienstag 7.**			
h	h m s	s	° ′ ″	″	h	h m s	s	° ′ ″	″
0	6 23 19·1	23·88	+25 57 26	+12·0	0	8 15 4·3	22·37	+24 12 5	−53·5
1	6 25 42·3	23·87	+25 58 33	+10·6	1	8 17 18·4	22·32	+24 6 40	−54·7
2	6 28 5·5	23·86	+25 59 32	+9·1	2	8 19 32·2	22·27	+24 1 8	−55·9
3	6 30 28·6	23·85	+26 0 22	+7·6	3	8 21 45·7	22·22	+23 55 29	−57·1
4	6 32 51·6	23·83	+26 1 4	+6·1	4	8 23 58·9	22·17	+23 49 44	−58·2
5	6 35 14·6	23·82	+26 1 36	+4·7	5	8 26 11·8	22·13	+23 43 51	−59·4
6	6 37 37·5	23·80	+26 2 0	+3·2	6	8 28 24·4	22·08	+23 37 51	−60·5
7	6 40 0·2	23·79	+26 2 15	+1·7	7	8 30 36·7	22·02	+23 31 45	−61·6
8	6 42 22·9	23·77	+26 2 21	+0·3	8	8 32 48·7	21·97	+23 25 32	−62·7
9	6 44 45·5	23·75	+26 2 18	−1·2	9	8 35 0·4	21·92	+23 19 12	−63·8
10	6 47 7·9	23·73	+26 2 6	−2·6	10	8 37 11·8	21·87	+23 12 46	−64·9
11	6 49 30·2	23·71	+26 1 46	−4·1	11	8 39 22·8	21·82	+23 6 13	−66·0
12	6 51 52·5	23·69	+26 1 17	−5·5	12	8 41 33·6	21·77	+22 59 33	−67·1
13	6 54 14·5	23·67	+26 0 39	−7·0	13	8 43 44·1	21·72	+22 52 48	−68·2
14	6 56 36·5	23·64	+25 59 53	−8·4	14	8 45 54·2	21·67	+22 45 55	−69·2
15	6 58 58·3	23·62	+25 58 58	−9·9	15	8 48 4·1	21·61	+22 38 57	−70·2
16	7 1 19·9	23·59	+25 57 55	−11·3	16	8 50 13·6	21·56	+22 31 52	−71·3
17	7 3 41·4	23·57	+25 56 43	−12·7	17	8 52 22·8	21·51	+22 24 42	−72·3
18	7 6 2·7	23·54	+25 55 22	−14·1	18	8 54 31·7	21·46	+22 17 25	−73·3
19	7 8 23·9	23·51	+25 53 53	−15·6	19	8 56 40·3	21·40	+22 10 2	−74·3
20	7 10 44·9	23·48	+25 52 15	−17·0	20	8 58 48·5	21·35	+22 2 33	−75·3
21	7 13 5·7	23·45	+25 50 29	−18·4	21	9 0 56·5	21·30	+21 54 58	−76·3
22	7 15 26·4	23·42	+25 48 35	−19·8	22	9 3 4·1	21·25	+21 47 17	−77·3
23	7 17 46·8	23·39	+25 46 32	−21·2	23	9 5 11·4	21·19	+21 39 30	−78·2
	Montag 6.					**Mittwoch 8.**			
0	7 20 7·1	23·36	+25 44 21	−22·5	0	9 7 18·4	21·14	+21 31 38	−79·2
1	7 22 27·2	23·33	+25 42 1	−23·9	1	9 9 25·1	21·09	+21 23 40	−80·1
2	7 24 47·0	23·29	+25 39 33	−25·3	2	9 11 31·5	21·03	+21 15 36	−81·1
3	7 27 6·7	23·26	+25 36 57	−26·7	3	9 13 37·5	20·98	+21 7 27	−82·0
4	7 29 26·2	23·22	+25 34 13	−28·0	4	9 15 43·3	20·93	+20 59 12	−82·9
5	7 31 45·4	23·19	+25 31 21	−29·4	5	9 17 48·7	20·88	+20 50 52	−83·8
6	7 34 4·4	23·15	+25 28 21	−30·7	6	9 19 53·8	20·82	+20 42 27	−84·7
7	7 36 23·2	23·11	+25 25 12	−32·1	7	9 21 58·6	20·77	+20 33 56	−85·6
8	7 38 41·8	23·07	+25 21 56	−33·4	8	9 24 3·0	20·72	+20 25 20	−86·4
9	7 41 0·1	23·03	+25 18 32	−34·7	9	9 26 7·2	20·67	+20 16 38	−87·3
10	7 43 18·2	22·99	+25 14 59	−36·0	10	9 28 11·0	20·62	+20 7 52	−88·2
11	7 45 36·0	22·95	+25 11 19	−37·3	11	9 30 14·6	20·56	+19 59 0	−89·0
12	7 47 53·6	22·91	+25 7 31	−38·6	12	9 32 17·8	20·51	+19 50 4	−89·8
13	7 50 11·0	22·87	+25 3 36	−39·9	13	9 34 20·7	20·46	+19 41 2	−90·7
14	7 52 28·1	22·83	+24 59 32	−41·2	14	9 36 23·3	20·41	+19 31 56	−91·5
15	7 54 44·9	22·78	+24 55 21	−42·5	15	9 38 25·7	20·36	+19 22 45	−92·3
16	7 57 1·5	22·74	+24 51 2	−43·7	16	9 40 27·7	20·31	+19 13 29	−93·1
17	7 59 17·8	22·70	+24 46 36	−45·0	17	9 42 29·4	20·26	+19 4 8	−93·8
18	8 1 33·8	22·65	+24 42 2	−46·2	18	9 44 30·8	20·21	+18 54 43	−94·6
19	8 3 49·6	22·61	+24 37 21	−47·5	19	9 46 31·9	20·16	+18 45 13	−95·4
20	8 6 5·1	22·56	+24 32 32	−48·7	20	9 48 32·7	20·11	+18 35 38	−96·1
21	8 8 20·3	22·51	+24 27 36	−49·9	21	9 50 33·2	20·06	+18 25 59	−96·9
22	8 10 35·3	22·47	+24 22 33	−51·1	22	9 52 33·4	20·01	+18 16 16	−97·6
23	8 12 49·9	22·42	+24 17 23	−52·3	23	9 54 33·3	19·96	+18 6 28	−98·3
24	8 15 4·3	22·37	+24 12 5	−53·5	24	9 56 32·9	19·91	+17 56 36	−99·0

Rectascension und Declination des Mondes.

Donnerstag 9.

Mittlere Green. Zeit	Rectascension	Aenderung in 10m	Declination + Nord	Aenderung in 10m
h	h m s	s	° ′ ″	″
0	9 56 32·9	19·91	+ 17 56 36	− 99·0
1	9 58 32·2	19·87	+ 17 46 39	− 99·7
2	10 0 31·3	19·82	+ 17 36 39	− 100·4
3	10 2 30·1	19·77	+ 17 26 34	− 101·1
4	10 4 28·6	19·72	+ 17 16 25	− 101·8
5	10 6 26·8	19·68	+ 17 6 13	− 102·5
6	10 8 24·7	19·63	+ 16 55 56	− 103·1
7	10 10 22·3	19·59	+ 16 45 35	− 103·8
8	10 12 19·7	19·54	+ 16 35 11	− 104·4
9	10 14 16·8	19·49	+ 16 24 42	− 105·0
10	10 16 13·6	19·45	+ 16 14 10	− 105·7
11	10 18 10·2	19·41	+ 16 3 35	− 106·3
12	10 20 6·5	19·36	+ 15 52 55	− 106·9
13	10 22 2·6	19·32	+ 15 42 12	− 107·5
14	10 23 58·4	19·28	+ 15 31 26	− 108·0
15	10 25 53·9	19·24	+ 15 20 36	− 108·6
16	10 27 49·2	19·19	+ 15 9 42	− 109·2
17	10 29 44·2	19·15	+ 14 58 45	− 109·7
18	10 31 39·0	19·11	+ 14 47 45	− 110·3
19	10 33 33·6	19·07	+ 14 36 42	− 110·8
20	10 35 27·9	19·03	+ 14 25 35	− 111·4
21	10 37 22·0	18·99	+ 14 14 25	− 111·9
22	10 39 15·8	18·95	+ 14 3 12	− 112·4
23	10 41 9·4	18·92	+ 13 51 56	− 112·9

Freitag 10.

Mittlere Green. Zeit	Rectascension	Aenderung in 10m	Declination + Nord	Aenderung in 10m
h	h m s	s	° ′ ″	″
0	10 43 2·8	18·88	+ 13 40 37	− 113·4
1	10 44 56·0	18·84	+ 13 29 15	− 113·9
2	10 46 48·9	18·81	+ 13 17 50	− 114·4
3	10 48 41·6	18·77	+ 13 6 22	− 114·9
4	10 50 34·1	18·73	+ 12 54 51	− 115·3
5	10 52 26·4	18·70	+ 12 43 18	− 115·8
6	10 54 18·5	18·66	+ 12 31 42	− 116·3
7	10 56 10·4	18·63	+ 12 20 3	− 116·7
8	10 58 2·1	18·60	+ 12 8 21	− 117·1
9	10 59 53·6	18·57	+ 11 56 37	− 117·6
10	11 1 44·9	18·53	+ 11 44 50	− 118·0
11	11 3 36·0	18·50	+ 11 33 1	− 118·4
12	11 5 26·9	18·47	+ 11 21 9	− 118·8
13	11 7 17·7	18·44	+ 11 9 15	− 119·2
14	11 9 8·2	18·41	+ 10 57 19	− 119·6
15	11 10 58·6	18·38	+ 10 45 20	− 120·0
16	11 12 48·8	18·36	+ 10 33 19	− 120·4
17	11 14 38·9	18·33	+ 10 21 16	− 120·7
18	11 16 28·8	18·30	+ 10 9 10	− 121·1
19	11 18 18·5	18·27	+ 9 57 3	− 121·4
20	11 20 8·0	18·25	+ 9 44 53	− 121·8
21	11 21 57·4	18·22	+ 9 32 41	− 122·1
22	11 23 46·7	18·20	+ 9 20 27	− 122·5
23	11 25 35·8	18·17	+ 9 8 12	− 122·8
24	11 27 24·8	18·15	+ 8 55 54	− 123·1

Samstag 11.

Mittlere Green. Zeit	Rectascension	Aenderung in 10m	Declination + Nord − Süd	Aenderung in 10m
h	h m s	s	° ′ ″	″
0	11 27 24·8	18·15	+ 8 55 54	− 123·1
1	11 29 13·6	18·13	+ 8 43 34	− 123·4
2	11 31 2·3	18·11	+ 8 31 13	− 123·7
3	11 32 50·9	18·09	+ 8 18 49	− 124·0
4	11 34 39·4	18·06	+ 8 6 24	− 124·3
5	11 36 27·7	18·04	+ 7 53 58	− 124·6
6	11 38 15·9	18·03	+ 7 41 29	− 124·9
7	11 40 4·0	18·01	+ 7 28 59	− 125·2
8	11 41 52·0	17·99	+ 7 16 27	− 125·4
9	11 43 39·9	17·97	+ 7 3 54	− 125·7
10	11 45 27·6	17·95	+ 6 51 19	− 125·9
11	11 47 15·3	17·94	+ 6 38 43	− 126·2
12	11 49 2·9	17·92	+ 6 26 5	− 126·4
13	11 50 50·4	17·91	+ 6 13 26	− 126·6
14	11 52 37·8	17·89	+ 6 0 45	− 126·9
15	11 54 25·1	17·88	+ 5 48 3	− 127·1
16	11 56 12·4	17·87	+ 5 35 20	− 127·3
17	11 57 59·6	17·86	+ 5 22 36	− 127·5
18	11 59 46·7	17·85	+ 5 9 50	− 127·7
19	12 1 33·7	17·83	+ 4 57 4	− 127·9
20	12 3 20·7	17·83	+ 4 44 16	− 128·1
21	12 5 7·6	17·82	+ 4 31 27	− 128·3
22	12 6 54·5	17·81	+ 4 18 37	− 128·4
23	12 8 41·3	17·80	+ 4 5 45	− 128·6

Sonntag 12.

Mittlere Green. Zeit	Rectascension	Aenderung in 10m	Declination + Nord − Süd	Aenderung in 10m
h	h m s	s	° ′ ″	″
0	12 10 28·1	17·79	+ 3 52 53	− 128·8
1	12 12 14·8	17·79	+ 3 40 0	− 128·9
2	12 14 1·5	17·78	+ 3 27 6	− 129·1
3	12 15 48·2	17·78	+ 3 14 12	− 129·2
4	12 17 34·8	17·77	+ 3 1 16	− 129·3
5	12 19 21·4	17·77	+ 2 48 19	− 129·5
6	12 21 8·0	17·76	+ 2 35 22	− 129·6
7	12 22 54·6	17·76	+ 2 22 24	− 129·7
8	12 24 41·2	17·76	+ 2 9 26	− 129·8
9	12 26 27·8	17·76	+ 1 56 26	− 129·9
10	12 28 14·3	17·76	+ 1 43 26	− 130·0
11	12 30 0·9	17·76	+ 1 30 26	− 130·1
12	12 31 47·5	17·76	+ 1 17 25	− 130·2
13	12 33 34·0	17·76	+ 1 4 23	− 130·3
14	12 35 20·6	17·77	+ 0 51 21	− 130·4
15	12 37 7·3	17·77	+ 0 38 19	− 130·4
16	12 38 53·9	17·78	+ 0 25 16	− 130·5
17	12 40 40·6	17·78	+ 0 12 13	− 130·5
18	12 42 27·3	17·79	− 0 0 50	− 130·6
19	12 44 14·0	17·79	− 0 13 54	− 130·6
20	12 46 0·8	17·80	− 0 26 58	− 130·7
21	12 47 47·6	17·81	− 0 40 2	− 130·7
22	12 49 34·5	17·82	− 0 53 6	− 130·7
23	12 51 21·4	17·83	− 1 6 11	− 130·7
24	12 53 8·4	17·84	− 1 19 15	− 130·7

Rectascension und Declination des Mondes.

Mittlere Green. Zeit	Rectascension	Aenderung in 10m	Declination — Süd	Aenderung in 10m	Mittlere Green. Zeit	Rectascension	Aenderung in 10m	Declination — Süd	Aenderung in 10m
	Montag 13.					Mittwoch 15.			
h	h m s	s	° ′ ″	″	h	h m s	s	° ′ ″	″
0	12 53 8·4	17·84	— 1 19 15	— 130·7	0	14 21 21·8	19·21	— 11 35 1	— 122·9
1	12 54 55·5	17·85	— 1 32 20	— 130·7	1	14 23 17·2	19·26	— 11 47 17	— 122·5
2	12 56 42·6	17·86	— 1 45 24	— 130·7	2	14 25 12·9	19·31	— 11 59 31	— 122·2
3	12 58 29·8	17·87	— 1 58 29	— 130·7	3	14 27 8·8	19·36	— 12 11 43	— 121·8
4	13 0 17·1	17·89	— 2 11 33	— 130·7	4	14 29 5·1	19·40	— 12 23 53	— 121·4
5	13 2 4·5	17·90	— 2 24 37	— 130·7	5	14 31 1·7	19·45	— 12 36 0	— 121·0
6	13 3 51·9	17·91	— 2 37 41	— 130·7	6	14 32 58·6	19·50	— 12 48 5	— 120·6
7	13 5 39·4	17·93	— 2 50 45	— 130·6	7	14 34 55·7	19·56	— 13 0 7	— 120·2
8	13 7 27·0	17·95	— 3 3 49	— 130·6	8	14 36 53·2	19·61	— 13 12 7	— 119·7
9	13 9 14·8	17·96	— 3 16 53	— 130·5	9	14 38 51·0	19·66	— 13 24 4	— 119·3
10	13 11 2·6	17·98	— 3 29 56	— 130·5	10	14 40 49·2	19·71	— 13 35 59	— 118·9
11	13 12 50·5	18·00	— 3 42 58	— 130·4	11	14 42 47·6	19·77	— 13 47 51	— 118·4
12	13 14 38·6	18·02	— 3 56 1	— 130·4	12	14 44 46·4	19·82	— 13 59 40	— 117·9
13	13 16 26·8	18·04	— 4 9 3	— 130·3	13	14 46 45·5	19·88	— 14 11 26	— 117·4
14	13 18 15·1	18·06	— 4 22 4	— 130·2	14	14 48 44·9	19·93	— 14 23 9	— 116·9
15	13 20 3·5	18·08	— 4 35 5	— 130·1	15	14 50 44·7	19·99	— 14 34 49	— 116·4
16	13 21 52·0	18·10	— 4 48 6	— 130·0	16	14 52 44·9	20·05	— 14 46 26	— 115·9
17	13 23 40·7	18·12	— 5 1 6	— 129·9	17	14 54 45·3	20·11	— 14 58 0	— 115·4
18	13 25 29·5	18·15	— 5 14 5	— 129·8	18	14 56 46·1	20·17	— 15 9 31	— 114·9
19	13 27 18·5	18·17	— 5 27 4	— 129·7	19	14 58 47·3	20·23	— 15 20 58	— 114·3
20	13 29 7·6	18·20	— 5 40 1	— 129·6	20	15 0 48·9	20·29	— 15 32 22	— 113·7
21	13 30 56·9	18·22	— 5 52 58	— 129·4	21	15 2 50·8	20·35	— 15 43 43	— 113·2
22	13 32 46·3	18·25	— 6 5 55	— 129·3	22	15 4 53·0	20·41	— 15 55 0	— 112·6
23	13 34 35·9	18·28	— 6 18 50	— 129·1	23	15 6 55·7	20·47	— 16 6 14	— 112·0
	Dienstag 14.					Donnerstag 16.			
0	13 36 25·6	18·31	— 6 31 44	— 129·0	0	15 8 58·7	20·53	— 16 17 24	— 111·4
1	13 38 15·6	18·34	— 6 44 38	— 128·8	1	15 11 2·1	20·60	— 16 28 31	— 110·8
2	13 40 5·7	18·37	— 6 57 31	— 128·7	2	15 13 5·8	20·66	— 16 39 33	— 110·1
3	13 41 56·0	18·40	— 7 10 22	— 128·5	3	15 15 10·0	20·72	— 16 50 32	— 109·5
4	13 43 46·4	18·43	— 7 23 13	— 128·3	4	15 17 14·5	20·79	— 17 1 27	— 108·8
5	13 45 37·1	18·46	— 7 36 2	— 128·1	5	15 19 19·5	20·85	— 17 12 18	— 108·1
6	13 47 27·9	18·49	— 7 48 50	— 127·9	6	15 21 24·8	20·92	— 17 23 5	— 107·5
7	13 49 19·0	18·53	— 8 1 37	— 127·7	7	15 23 30·5	20·99	— 17 33 48	— 106·8
8	13 51 10·3	18·56	— 8 14 23	— 127·5	8	15 25 36·6	21·05	— 17 44 26	— 106·1
9	13 53 1·7	18·59	— 8 27 7	— 127·3	9	15 27 43·2	21·12	— 17 55 1	— 105·3
10	13 54 53·4	18·63	— 8 39 50	— 127·0	10	15 29 50·1	21·19	— 18 5 31	— 104·6
11	13 56 45·3	18·67	— 8 52 32	— 126·8	11	15 31 57·4	21·26	— 18 15 56	— 103·9
12	13 58 37·4	18·71	— 9 5 12	— 126·6	12	15 34 5·2	21·33	— 18 26 17	— 103·1
13	14 0 29·8	18·74	— 9 17 50	— 126·3	13	15 36 13·4	21·40	— 18 36 33	— 102·3
14	14 2 22·3	18·78	— 9 30 27	— 126·0	14	15 38 22·0	21·47	— 18 46 45	— 101·5
15	14 4 15·1	18·82	— 9 43 3	— 125·8	15	15 40 31·0	21·54	— 18 56 52	— 100·7
16	14 6 8·2	18·86	— 9 55 37	— 125·5	16	15 42 40·4	21·61	— 19 6 54	— 99·9
17	14 8 1·5	18·90	— 10 8 9	— 125·2	17	15 44 50·3	21·68	— 19 16 51	— 99·1
18	14 9 55·0	18·94	— 10 20 39	— 124·9	18	15 47 0·6	21·75	— 19 26 43	— 98·3
19	14 11 48·8	18·99	— 10 33 7	— 124·6	19	15 49 11·3	21·82	— 19 36 30	— 97·4
20	14 13 42·9	19·03	— 10 45 34	— 124·3	20	15 51 22·4	21·89	— 19 46 12	— 96·5
21	14 15 37·2	19·08	— 10 57 59	— 123·9	21	15 53 34·0	21·97	— 19 55 49	— 95·7
22	14 17 31·8	19·12	— 11 10 21	— 123·6	22	15 55 46·0	22·04	— 20 5 20	— 94·8
23	14 19 26·6	19·16	— 11 22 42	— 123·3	23	15 57 58·5	22·11	— 20 14 46	— 93·8
24	14 21 21·8	19·21	— 11 35 1	— 122·9	24	16 0 11·4	22·18	— 20 24 6	— 92·9

Rectascension und Declination des Mondes.

Mittlere Green. Zeit	Rectascension	Aenderung in 10^m	Declination — Süd	Aenderung in 10^m	Mittlere Green. Zeit	Rectascension	Aenderung in 10^m	Declination — Süd	Aenderung in 10^m
		Freitag 17.					Sonntag 19.		
h	h m s	s	° ′ ″	″	h	h m s	s	° ′ ″	″
0	16 0 11·4	22·18	— 20 24 6	−92·9	0	17 55 0·8	25·50	— 25 35 4	−31·0
1	16 2 24·7	22·26	— 20 33 21	−92·0	1	17 57 34·0	25·56	— 25 38 5	−29·4
2	16 4 38·5	22·33	— 20 42 30	−91·0	2	18 0 7·5	25·61	— 25 40 57	−27·8
3	16 6 52·7	22·41	— 20 51 33	−90·0	3	18 2 41·2	25·66	— 25 43 39	−26·1
4	16 9 7·3	22·48	— 21 0 31	−89·1	4	18 5 15·3	25·71	— 25 46 10	−24·4
5	16 11 22·4	22·55	— 21 9 22	−88·1	5	18 7 49·7	25·75	— 25 48 32	−22·8
6	16 13 38·0	22·63	— 21 18 8	−87·0	6	18 10 24·4	25·80	— 25 50 44	−21·1
7	16 15 54·0	22·70	— 21 26 47	−86·0	7	18 12 59·4	25·85	— 25 52 45	−19·4
8	16 18 10·4	22·78	— 21 35 20	−85·0	8	18 15 34·6	25·89	— 25 54 37	−17·7
9	16 20 27·3	22·85	— 21 43 47	−83·9	9	18 18 10·1	25·93	— 25 56 18	−16·0
10	16 22 44·6	22·93	— 21 52 7	−82·8	10	18 20 45·8	25·98	— 25 57 49	−14·3
11	16 25 2·4	23·00	— 22 0 21	−81·7	11	18 23 21·8	26·02	— 25 59 9	−12·5
12	16 27 20·7	23·08	— 22 8 28	−80·6	12	18 25 58·0	26·05	— 26 0 19	−10·8
13	16 29 39·3	23·15	— 22 16 28	−79·5	13	18 28 34·4	26·09	— 26 1 19	− 9·1
14	16 31 58·5	23·23	— 22 24 22	−78·4	14	18 31 11·1	26·13	— 26 2 8	− 7·3
15	16 34 18·1	23·30	— 22 32 9	−77·2	15	18 33 47·9	26·16	— 26 2 46	− 5·5
16	16 36 38·1	23·37	— 22 39 49	−76·1	16	18 36 25·0	26·19	— 26 3 14	− 3·8
17	16 38 58·5	23·45	— 22 47 22	−74·9	17	18 39 2·2	26·22	— 26 3 32	− 2·0
18	16 41 19·4	23·52	— 22 54 48	−73·7	18	18 41 39·7	26·25	— 26 3 38	− 0·2
19	16 43 40·8	23·60	— 23 2 6	−72·5	19	18 44 17·3	26·28	— 26 3 34	+ 1·6
20	16 46 2·6	23·67	— 23 9 17	−71·3	20	18 46 55·1	26·31	— 26 3 19	+ 3·4
21	16 48 24·8	23·74	— 23 16 21	−70·0	21	18 49 33·0	26·33	— 26 2 54	+ 5·1
22	16 50 47·5	23·81	— 23 23 18	−68·8	22	18 52 11·1	26·36	— 26 2 18	+ 6·9
23	16 53 10·6	23·89	— 23 30 6	−67·5	23	18 54 49·3	26·38	— 26 1 31	+ 8·8
		Samstag 18.					Montag 20.		
0	16 55 34·1	23·96	— 23 36 47	−66·2	0	18 57 27·6	26·40	— 26 0 33	+10·6
1	16 57 58·1	24·03	— 23 43 21	−64·9	1	19 0 6·1	26·42	— 25 59 24	+12·4
2	17 0 22·5	24·10	— 23 49 46	−63·6	2	19 2 44·6	26·43	— 25 58 4	+14·2
3	17 2 47·4	24·17	— 23 56 4	−62·3	3	19 5 23·3	26·45	— 25 56 33	+16·0
4	17 5 12·6	24·24	— 24 2 13	−60·9	4	19 8 2·0	26·46	— 25 54 52	+17·8
5	17 7 38·3	24·31	— 24 8 15	−59·5	5	19 10 40·8	26·47	— 25 52 59	+19·7
6	17 10 4·4	24·38	— 24 14 8	−58·2	6	19 13 19·7	26·48	— 25 50 56	+21·5
7	17 12 30·9	24·45	— 24 19 53	−56·8	7	19 15 58·6	26·49	— 25 48 41	+23·3
8	17 14 57·8	24·52	— 24 25 29	−55·4	8	19 18 37·6	26·50	— 25 46 16	+25·1
9	17 17 25·1	24·59	— 24 30 57	−53·9	9	19 21 16·7	26·51	— 25 43 40	+27·0
10	17 19 52·9	24·65	— 24 36 17	−52·5	10	19 23 55·7	26·51	— 25 40 52	+28·8
11	17 22 21·0	24·72	— 24 41 27	−51·1	11	19 26 34·8	26·51	— 25 37 54	+30·6
12	17 24 49·5	24·79	— 24 46 30	−49·6	12	19 29 13·9	26·51	— 25 34 45	+32·4
13	17 27 18·4	24·85	— 24 51 23	−48·1	13	19 31 52·9	26·51	— 25 31 25	+34·3
14	17 29 47·7	24·91	— 24 56 7	−46·6	14	19 34 32·0	26·51	— 25 27 54	+36·1
15	17 32 17·4	24·98	— 25 0 43	−45·1	15	19 37 11·0	26·50	— 25 24 12	+37·9
16	17 34 47·5	25·04	— 25 5 9	−43·6	16	19 39 50·0	26·50	— 25 20 19	+39·7
17	17 37 17·9	25·10	— 25 9 26	−42·1	17	19 42 29·0	26·49	— 25 16 15	+41·5
18	17 39 48·7	25·16	— 25 13 34	−40·5	18	19 45 7·9	26·48	— 25 12 0	+43·3
19	17 42 19·9	25·22	— 25 17 33	−39·0	19	19 47 46·8	26·47	— 25 7 35	+45·1
20	17 44 51·4	25·28	— 25 21 22	−37·4	20	19 50 25·6	26·46	— 25 2 58	+46·9
21	17 47 23·2	25·34	— 25 25 2	−35·9	21	19 53 4·3	26·45	— 24 58 11	+48·7
22	17 49 55·4	25·39	— 25 28 32	−34·3	22	19 55 42·9	26·43	— 24 53 13	+50·5
23	17 52 27·9	25·45	— 25 31 53	−32·6	23	19 58 21·5	26·41	— 24 48 5	+52·3
24	17 55 0·8	25·50	— 25 35 4	−31·0	24	20 0 59·9	26·40	— 24 42 46	+54·1

Rectascension und Declination des Mondes.

Mittlere Green. Zeit	Rectascension	Aenderung in 10ᵐ	Declination — Süd	Aenderung in 10ᵐ	Mittlere Green. Zeit	Rectascension	Aenderung in 10ᵐ	Declination — Süd	Aenderung in 10ᵐ
	Dienstag 21.					Donnerstag 23.			
h	h m s	s	° ′ ″	″	h	h m s	s	° ′ ″	″
0	20 0 59·9	26·40	— 24 42 46	+ 54·1	0	22 3 26·9	24·33	— 17 18 28	+ 125·5
1	20 3 38·2	26·38	— 24 37 16	+ 55·9	1	22 5 52·7	24·28	— 17 5 52	+ 126·6
2	20 6 16·4	26·35	— 24 31 35	+ 57·6	2	22 8 18·2	24·22	— 16 53 9	+ 127·7
3	20 8 54·5	26·33	— 24 25 44	+ 59·4	3	22 10 43·4	24·17	— 16 40 19	+ 128·8
4	20 11 32·4	26·31	— 24 19 42	+ 61·1	4	22 13 8·2	24·11	— 16 27 23	+ 129·8
5	20 14 10·2	26·28	— 24 13 30	+ 62·9	5	22 15 32·7	24·06	— 16 14 21	+ 130·8
6	20 16 47·8	26·26	— 24 7 8	+ 64·6	6	22 17 56·9	24·00	— 16 1 13	+ 131·8
7	20 19 25·3	26·23	— 24 0 35	+ 66·3	7	22 20 20·7	23·95	— 15 47 59	+ 132·8
8	20 22 2·6	26·20	— 23 53 52	+ 68·1	8	22 22 44·3	23·89	— 15 34 40	+ 133·8
9	20 24 39·7	26·17	— 23 46 58	+ 69·8	9	22 25 7·5	23·84	— 15 21 14	+ 134·7
10	20 27 16·6	26·14	— 23 39 54	+ 71·5	10	22 27 30·3	23·78	— 15 7 43	+ 135·7
11	20 29 53·4	26·11	— 23 32 40	+ 73·1	11	22 29 52·9	23·73	— 14 54 6	+ 136·6
12	20 32 29·9	26·07	— 23 25 17	+ 74·8	12	22 32 15·1	23·68	— 14 40 24	+ 137·5
13	20 35 6·2	26·04	— 23 17 43	+ 76·5	13	22 34 37·0	23·62	— 14 26 37	+ 138·3
14	20 37 42·3	26·00	— 23 9 59	+ 78·1	14	22 36 58·6	23·57	— 14 12 44	+ 139·2
15	20 40 18·2	25·96	— 23 2 5	+ 79·8	15	22 39 19 8	23·52	— 13 58 47	+ 140·0
16	20 42 53·9	25·92	— 22 54 1	+ 81·4	16	22 41 40·8	23·47	— 13 44 44	+ 140·8
17	20 45 29·3	25·89	— 22 45 48	+ 83·0	17	22 44 1·4	23·41	— 13 30 37	+ 141·6
18	20 48 4·5	25·84	— 22 37 25	+ 84·6	18	22 46 21·8	23·36	— 13 16 25	+ 142·4
19	20 50 39·5	25·80	— 22 28 53	+ 86·2	19	22 48 41·8	23·31	— 13 2 8	+ 143·1
20	20 53 14·2	25·76	— 22 20 11	+ 87·8	20	22 51 1·5	23·26	— 12 47 47	+ 143·9
21	20 55 48·6	25·72	— 22 11 19	+ 89·3	21	22 53 20·9	23·21	— 12 33 21	+ 144·6
22	20 58 22·8	25·67	— 22 2 19	+ 90·9	22	22 55 40·0	23·16	— 12 18 52	+ 145·3
23	21 0 56·7	25·63	— 21 53 9	+ 92·4	23	22 57 58·8	23·11	— 12 4 18	+ 146·0
	Mittwoch 22.					Freitag 24.			
0	21 3 30·3	25·58	— 21 43 50	+ 93·9	0	23 0 17·3	23·06	— 11 49 40	+ 146·6
1	21 6 3·7	25·54	— 21 34 21	+ 95·4	1	23 2 35·5	23·01	— 11 34 58	+ 147·3
2	21 8 36·8	25·49	— 21 24 44	+ 96·9	2	23 4 53·5	22·96	— 11 20 12	+ 147·9
3	21 11 9·6	25·44	— 21 14 58	+ 98·4	3	23 7 11·1	22·92	— 11 5 23	+ 148·5
4	21 13 42·1	25·39	— 21 5 3	+ 99·9	4	23 9 28·5	22·87	— 10 50 30	+ 149·1
5	21 16 14·3	25·34	— 20 55 0	+ 101·3	5	23 11 45·6	22·82	— 10 35 34	+ 149·7
6	21 18 46·2	25·29	— 20 44 47	+ 102·7	6	23 14 2·4	22·78	— 10 20 34	+ 150·2
7	21 21 17·8	25·24	— 20 34 27	+ 104·1	7	23 16 18·9	22·73	— 10 5 31	+ 150·8
8	21 23 49·1	25·19	— 20 23 58	+ 105·5	8	23 18 35·1	22·69	— 9 50 24	+ 151·3
9	21 26 20·1	25·14	— 20 13 20	+ 106·9	9	23 20 51·1	22·64	— 9 35 15	+ 151·8
10	21 28 50·8	25·09	— 20 2 34	+ 108·3	10	23 23 6·9	22·60	— 9 20 3	+ 152·3
11	21 31 21·2	25·04	— 19 51 41	+ 109·6	11	23 25 22·4	22·56	— 9 4 48	+ 152·7
12	21 33 51·3	24·98	— 19 40 39	+ 111·0	12	23 27 37·6	22·52	— 8 49 30	+ 153·2
13	21 36 21·0	24·93	— 19 29 29	+ 112·3	13	23 29 52·5	22·47	— 8 34 10	+ 153·6
14	21 38 50·5	24·88	— 19 18 11	+ 113·6	14	23 32 7·3	22·43	— 8 18 47	+ 154·0
15	21 41 19·6	24·82	— 19 6 46	+ 114·8	15	23 34 21·8	22·39	— 8 3 22	+ 154·4
16	21 43 48·4	24·77	— 18 55 13	+ 116·1	16	23 36 36·0	22·35	— 7 47 55	+ 154·8
17	21 46 16·8	24·72	— 18 43 33	+ 117·4	17	23 38 50·0	22·32	— 7 32 25	+ 155·1
18	21 48 45·0	24·66	— 18 31 45	+ 118·6	18	23 41 3·8	22·28	— 7 16 53	+ 155·4
19	21 51 12·8	24·61	— 18 19 50	+ 119·8	19	23 43 17·4	22·24	— 7 1 19	+ 155·8
20	21 53 40·3	24·55	— 18 7 47	+ 121·0	20	23 45 30·7	22·20	— 6 45 44	+ 156·1
21	21 56 7·4	24·50	— 17 55 38	+ 122·1	21	23 47 43·8	22·17	— 6 30 7	+ 156·4
22	21 58 34·2	24·44	— 17 43 21	+ 123·3	22	23 49 56·7	22·13	— 6 14 28	+ 156·6
23	22 1 0·7	24·39	— 17 30 58	+ 124·4	23	23 52 9·4	22·10	— 5 58 47	+ 156·9
24	22 3 26·9	24·33	— 17 18 28	+ 125·5	24	23 54 21·9	22·06	— 5 43 5	+ 157·1

Rectascension und Declination des Mondes.

Mittlere Green. Zeit	Rectascension	Aenderung in 10m	Declination − Süd + Nord	Aenderung in 10m	Mittlere Green. Zeit	Rectascension	Aenderung in 10m	Declination + Nord	Aenderung in 10m
	Samstag 25.					Montag 27.			
h	h m s	s	° ′ ″	″	h	h m s	s	° ′ ″	″
0	23 54 21·9	22·06	− 5 43 5	+157·1	0	1 37 53·2	21·37	+ 6 48 1	+150·2
1	23 56 34·2	22·03	− 5 27 22	+157·3	1	1 40 1·4	21·37	+ 7 3 0	+149·7
2	23 58 46·3	22·00	− 5 11 37	+157·5	2	1 42 9·6	21·38	+ 7 17 57	+149·2
3	0 0 58·2	21·97	− 4 55 51	+157·7	3	1 44 17·9	21·38	+ 7 32 51	+148·7
4	0 3 9·9	21·94	− 4 40 5	+157·9	4	1 46 26·2	21·39	+ 7 47 42	+148·2
5	0 5 21·5	21·91	− 4 24 17	+158·0	5	1 48 34·6	21·40	+ 8 2 29	+147·6
6	0 7 32·8	21·88	− 4 8 28	+158·2	6	1 50 43·0	21·41	+ 8 17 14	+147·1
7	0 9 44·0	21·85	− 3 52 39	+158·3	7	1 52 51·5	21·41	+ 8 31 55	+146·5
8	0 11 55·0	21·82	− 3 36 49	+158·4	8	1 55 0·0	21·42	+ 8 46 32	+146·0
9	0 14 5·9	21·80	− 3 20 58	+158·5	9	1 57 8·5	21·43	+ 9 1 6	+145·4
10	0 16 16·6	21·77	− 3 5 7	+158·5	10	1 59 17·2	21·44	+ 9 15 37	+144·8
11	0 18 27·1	21·75	− 2 49 16	+158·6	11	2 1 25·8	21·45	+ 9 30 4	+144·2
12	0 20 37·5	21·72	− 2 33 24	+158·6	12	2 3 34·6	21·47	+ 9 44 27	+143·5
13	0 22 47·8	21·70	− 2 17 33	+158·6	13	2 5 43·4	21·48	+ 9 58 46	+142·9
14	0 24 57·9	21·67	− 2 1 41	+158·7	14	2 7 52·3	21·49	+ 10 13 2	+142·3
15	0 27 7·9	21·65	− 1 45 49	+158·6	15	2 10 1·3	21·50	+ 10 27 13	+141·6
16	0 29 17·8	21·63	− 1 29 57	+158·6	16	2 12 10·4	21·52	+ 10 41 21	+140·9
17	0 31 27·5	21·61	− 1 14 5	+158·6	17	2 14 19·5	21·53	+ 10 55 25	+140·3
18	0 33 37·1	21·59	− 0 58 14	+158·5	18	2 16 28·8	21·55	+ 11 9 24	+139·6
19	0 35 46·6	21·57	− 0 42 23	+158·5	19	2 18 38·1	21·56	+ 11 23 19	+138·9
20	0 37 56·0	21·55	− 0 26 32	+158·4	20	2 20 47·5	21·58	+ 11 37 10	+138·1
21	0 40 5·3	21·54	− 0 10 42	+158·3	21	2 22 57·0	21·60	+ 11 50 57	+137·4
22	0 42 14·4	21·52	+ 0 5 7	+158·2	22	2 25 6·7	21·61	+ 12 4 39	+136·7
23	0 44 23·5	21·51	+ 0 20 55	+158·0	23	2 27 16·4	21·63	+ 12 18 17	+135·9
	Sonntag 26.					Dienstag 28.			
0	0 46 32·5	21·49	+ 0 36 43	+157·9	0	2 29 26·2	21·65	+ 12 31 50	+135·1
1	0 48 41·4	21·48	+ 0 52 30	+157·7	1	2 31 36·2	21·67	+ 12 45 19	+134·4
2	0 50 50·3	21·46	+ 1 8 16	+157·5	2	2 33 46·3	21·69	+ 12 58 43	+133·6
3	0 52 59·0	21·45	+ 1 24 1	+157·4	3	2 35 56·5	21·71	+ 13 12 2	+132·8
4	0 55 7·7	21·44	+ 1 39 44	+157·1	4	2 38 6·8	21·73	+ 13 25 16	+132·0
5	0 57 16·3	21·43	+ 1 55 27	+156·9	5	2 40 17·2	21·75	+ 13 38 26	+131·2
6	0 59 24·8	21·42	+ 2 11 8	+156·7	6	2 42 27·8	21·77	+ 13 51 30	+130·3
7	1 1 33·3	21·41	+ 2 26 47	+156·5	7	2 44 38·5	21·79	+ 14 4 30	+129·5
8	1 3 41·7	21·40	+ 2 42 25	+156·2	8	2 46 49·3	21·82	+ 14 17 24	+128·6
9	1 5 50·1	21·39	+ 2 58 2	+155·9	9	2 49 0·3	21·84	+ 14 30 14	+127·8
10	1 7 58·5	21·39	+ 3 13 36	+155·6	10	2 51 11·4	21·86	+ 14 42 58	+126·9
11	1 10 6·8	21·38	+ 3 29 9	+155·3	11	2 53 22·6	21·88	+ 14 55 37	+126·0
12	1 12 15·0	21·37	+ 3 44 40	+155·0	12	2 55 34·0	21·91	+ 15 8 10	+125·1
13	1 14 23·2	21·37	+ 4 0 10	+154·7	13	2 57 45·5	21·93	+ 15 20 38	+124·2
14	1 16 31·5	21·37	+ 4 15 37	+154·4	14	2 59 57·2	21·96	+ 15 33 1	+123·3
15	1 18 39·6	21·36	+ 4 31 2	+154·0	15	3 2 9·0	21·98	+ 15 45 18	+122·4
16	1 20 47·8	21·36	+ 4 46 25	+153·6	16	3 4 21·0	22·01	+ 15 57 29	+121·4
17	1 22 56·0	21·36	+ 5 1 46	+153·3	17	3 6 33·1	22·03	+ 16 9 35	+120·5
18	1 25 4·1	21·36	+ 5 17 4	+152·9	18	3 8 45·4	22·06	+ 16 21 35	+119·5
19	1 27 12·3	21·36	+ 5 32 20	+152·4	19	3 10 57·8	22·09	+ 16 33 29	+118·5
20	1 29 20·4	21·36	+ 5 47 33	+152·0	20	3 13 10·4	22·11	+ 16 45 17	+117·6
21	1 31 28·6	21·36	+ 6 2 44	+151·6	21	3 15 23·2	22·14	+ 16 57 0	+116·6
22	1 33 36·8	21·36	+ 6 17 52	+151·1	22	3 17 36·1	22·17	+ 17 8 36	+115·6
23	1 35 45·0	21·37	+ 6 32 58	+150·7	23	3 19 49·2	22·19	+ 17 20 7	+114·6
24	1 37 53·2	21·37	+ 6 48 1	+150·2	24	3 22 2·4	22·22	+ 17 31 31	+113·5

Rectascension und Declination des Mondes.

Mittlere Green. Zeit	Rectascension	Aenderung in 10m	Declination + Nord	Aenderung in 10m
	Mittwoch 29.			
h	h m s	s	° ′ ″	″
0	3 22 2·4	22·22	+ 17 31 31	+ 113·5
1	3 24 15·8	22·25	+ 17 42 49	+ 112·5
2	3 26 29·4	22·27	+ 17 54 1	+ 111·5
3	3 28 43·1	22·30	+ 18 5 7	+ 110·4
4	3 30 57·0	22·33	+ 18 16 7	+ 109·4
5	3 33 11·1	22·36	+ 18 27 0	+ 108·3
6	3 35 25·3	22·39	+ 18 37 46	+ 107·2
7	3 37 39·7	22·41	+ 18 48 26	+ 106·1
8	3 39 54·3	22·44	+ 18 59 0	+ 105·0
9	3 42 9·0	22·47	+ 19 9 26	+ 103·9
10	3 44 24·0	22·50	+ 19 19 47	+ 102·8
11	3 46 39·0	22·53	+ 19 30 0	+ 101·7
12	3 48 54·3	22·56	+ 19 40 7	+ 100·5
13	3 51 9·7	22·59	+ 19 50 6	+ 99·4
14	3 53 25·3	22·61	+ 19 59 59	+ 98·2
15	3 55 41·1	22·64	+ 20 9 45	+ 97·1
16	3 57 57·0	22·67	+ 20 19 24	+ 95·9
17	4 0 13·1	22·70	+ 20 28 56	+ 94·7
18	4 2 29·4	22·73	+ 20 38 21	+ 93·5
19	4 4 45·9	22·75	+ 20 47 39	+ 92·3
20	4 7 2·5	22·78	+ 20 56 49	+ 91·1
21	4 9 19·3	22·81	+ 21 5 52	+ 89·9
22	4 11 36·2	22·84	+ 21 14 48	+ 88·7
23	4 13 53·3	22·87	+ 21 23 36	+ 87·5
	Donnerstag 30.			
0	4 16 10·6	22·89	+ 21 32 18	+ 86·2
1	4 18 28·0	22·92	+ 21 40 51	+ 85·0
2	4 20 45·6	22·95	+ 21 49 17	+ 83·7
3	4 23 3·4	22·97	+ 21 57 36	+ 82·5
4	4 25 21·3	23·00	+ 22 5 47	+ 81·2
5	4 27 39·4	23·02	+ 22 13 50	+ 79·9
6	4 29 57·6	23·05	+ 22 21 46	+ 78·6
7	4 32 16·0	23·07	+ 22 29 34	+ 77·3
8	4 34 34·5	23·10	+ 22 37 14	+ 76·0
9	4 36 53·2	23·12	+ 22 44 46	+ 74·7
10	4 39 12·0	23·15	+ 22 52 11	+ 73·4
11	4 41 30·9	23·17	+ 22 59 27	+ 72·1
12	4 43 50·0	23·19	+ 23 6 36	+ 70·8
13	4 46 9·3	23·22	+ 23 13 37	+ 69·4
14	4 48 28·6	23·24	+ 23 20 30	+ 68·1
15	4 50 48·1	23·26	+ 23 27 14	+ 66·8
16	4 53 7·8	23·28	+ 23 33 51	+ 65·4
17	4 55 27·5	23·30	+ 23 40 19	+ 64·1
18	4 57 47·4	23·32	+ 23 46 40	+ 62·7
19	5 0 7·4	23·34	+ 23 52 52	+ 61·3
20	5 2 27·5	23·36	+ 23 58 56	+ 60·0
21	5 4 47·7	23·38	+ 24 4 51	+ 58·6
22	5 7 8·0	23·40	+ 24 10 39	+ 57·2
23	5 9 28·5	23·41	+ 24 16 18	+ 55·8
24	5 11 49·0	23·43	+ 24 21 49	+ 54·4

Mittlere Green. Zeit	Rectascension	Aenderung in 10m	Declination + Nord	Aenderung in 10m
	Freitag 31.			
h	h m s	s	° ′ ″	″
0	5 11 49·0	23·43	+ 24 21 49	+ 54·4
1	5 14 9·6	23·45	+ 24 27 11	+ 53·0
2	5 16 30·4	23·46	+ 24 32 25	+ 51·6
3	5 18 51·2	23·48	+ 24 37 31	+ 50·2
4	5 21 12·1	23·49	+ 24 42 28	+ 48·8
5	5 23 33·1	23·50	+ 24 47 17	+ 47·4
6	5 25 54·1	23·52	+ 24 51 57	+ 46·0
7	5 28 15·3	23·53	+ 24 56 29	+ 44·6
8	5 30 36·5	23·54	+ 25 0 52	+ 43·2
9	5 32 57·7	23·55	+ 25 5 7	+ 41·7
10	5 35 19·0	23·56	+ 25 9 13	+ 40·3
11	5 37 40·4	23·57	+ 25 13 10	+ 38·9
12	5 40 1·9	23·57	+ 25 16 59	+ 37·4
13	5 42 23·3	23·58	+ 25 20 40	+ 36·0
14	5 44 44·8	23·59	+ 25 24 11	+ 34·6
15	5 47 6·4	23·59	+ 25 27 34	+ 33·1
16	5 49 28·0	23·60	+ 25 30 49	+ 31·7
17	5 51 49·6	23·60	+ 25 33 55	+ 30·2
18	5 54 11·2	23·60	+ 25 36 52	+ 28·8
19	5 56 32·8	23·61	+ 25 39 40	+ 27·4
20	5 58 54·5	23·61	+ 25 42 20	+ 25·9
21	6 1 16·1	23·61	+ 25 44 51	+ 24·5
22	6 3 37·8	23·61	+ 25 47 14	+ 23·0
23	6 5 59·4	23·61	+ 25 49 27	+ 21·6
	Samstag, August 1.			
0	6 8 21·0	23·60	+ 25 51 32	+ 20·1

PHASEN DES MONDES.

Mittlere Greenwicher Zeit.

		h m		
Juli	5.	15 58·9	●	Neumond.
	13.	17 28·9	☽	Erstes Viertel.
	21.	1 54·1	○	Vollmond.
	27.	16 32·7	☾	Letztes Viertel.
		h		
Juli	11.	7	☾	Apogaeum.
	23.	4	☾	Perigaeum.

Venus.						Mars.					
	Mittlerer Greenwicher Mittag.				Im Meridian. Mittlere Gr. Zeit		Mittlerer Greenwicher Mittag.				Im Meridian. Mittlere Gr. Zeit
Datum	Rectascension	Stdl. Aend.	Declination + Nord	Stdl. Aend.		Datum	Rectascension	Stdl. Aend.	Declination + Nord	Stdl. Aend.	
	h m s	s	° ′ ″	s	h m		h m s	″	° ′ ″	″	h m
1	5 8 11.5	+13.01	+22 10 20	+22.3	22 32.4	1	7 19 33.0	+7.01	+23 14 42	−12.7	0 42.5
2	5 13 24.0	+13.04	+22 18 56	+20.8	22 33.6	2	7 22 21.0	+7.00	+23 9 33	−13.1	0 41.4
3	5 18 37.3	+13.07	+22 26 55	+19.2	22 34.9	3	7 25 8.8	+6.98	+23 4 13	−13.5	0 40.2
4	5 23 51.3	+13.10	+22 34 17	+17.6	22 36.2	4	7 27 56.3	+6.97	+22 58 42	−14.0	0 39.1
5	5 29 5.9	+13.12	+22 41 0	+16.0	22 37.5	5	7 30 43.4	+6.96	+22 53 1	−14.4	0 37.9
6	5 34 21.1	+13.15	+22 47 5	+14.4	22 38.9	6	7 33 30.2	+6.95	+22 47 9	−14.9	0 36.8
7	5 39 36.9	+13.17	+22 52 31	+12.8	22 40.2	7	7 36 16.7	+6.93	+22 41 7	−15.3	0 35.6
8	5 44 53.2	+13.19	+22 57 18	+11.1	22 41.5	8	7 39 2.9	+6.92	+22 34 55	−15.7	0 34.4
9	5 50 10.0	+13.21	+23 1 25	+ 9.5	22 42.9	9	7 41 48.8	+6.90	+22 28 33	−16.1	0 33.3
10	5 55 27.2	+13.22	+23 4 52	+ 7.8	22 44.2	10	7 44 34.3	+6.89	+22 22 0	−16.6	0 32.1
11	6 0 44.7	+13.24	+23 7 40	+ 6.1	22 45.6	11	7 47 19.4	+6.88	+22 15 18	−17.0	0 30.9
12	6 6 2.5	+13.25	+23 9 48	+ 4.5	22 46.9	12	7 50 4.2	+6.86	+22 8 25	−17.4	0 29.7
13	6 11 20.6	+13.26	+23 11 15	+ 2.8	22 48.3	13	7 52 48.7	+6.85	+22 1 23	−17.8	0 28.5
14	6 16 38.8	+13.26	+23 12 2	+ 1.1	22 49.7	14	7 55 32.8	+6.83	+21 54 12	−18.2	0 27.3
15	6 21 57.2	+13.27	+23 12 8	− 0.6	22 51.0	15	7 58 16.5	+6.82	+21 46 50	−18.6	0 26.0
16	6 27 15.7	+13.27	+23 11 34	− 2.3	22 52.4	16	8 0 59.9	+6.80	+21 39 19	−19.0	0 24.8
17	6 32 34.3	+13.27	+23 10 19	− 4.0	22 53.8	17	8 3 42.9	+6.79	+21·31 39	−19.4	0 23.6
18	6 37 52.8	+13.27	+23 8 24	− 5.7	22 55.1	18	8 6 25.6	+6.77	+21 23 49	−19.8	0 22.4
19	6 43 11.3	+13.27	+23 5 48	− 7.4	22 56.5	19	8 9 7.9	+6.76	+21 15 50	−20.2	0 21.1
20	6 48 29.6	+13.26	+23 2 31	− 9.0	22 57.9	20	8 11 49.8	+6.74	+21 7 41	−20.5	0 19.9
21	6 53 47.8	+13.25	+22 58 34	−10.7	22 59.2	21	8 14 31.4	+6.72	+20 59 24	−20.9	0 18.6
22	6 59 5.8	+13.24	+22 53 56	−12.4	23 0.6	22	8 17 12.6	+6.71	+20 50 58	−21.3	0 17.4
23	7 4 23.5	+13.23	+22 48 38	−14.1	23 1.9	23	8 19 53.4	+6.69	+20 42 23	−21.6	0 16.1
24	7 9 40.9	+13.22	+22 42 39	−15.8	23 3.3	24	8 22 33.9	+6.68	+20 33 39	−22.0	0 14.9
25	7 14 57.9	+13.20	+22 36 1	−17.4	23 4.6	25	8 25 14.0	+6.66	+20 24 47	−22.4	0 13.6
26	7 20 14.5	+13.18	+22 28 43	−19.1	23 5.9	26	8 27 53.8	+6.65	+20 15 46	−22.7	0 12.3
27	7 25 30.7	+13.16	+22 20 45	−20.7	23 7.3	27	8 30 33.2	+6.63	+20 6 36	−23.1	0 11.0
28	7 30 46.3	+13.14	+22 12 8	−22.4	23 8.6	28	8 33 12.2	+6.62	+19 57 18	−23.4	0 9.7
29	7 36 1.4	+13.12	+22 2 52	−24.0	23 9.9	29	8 35 50.9	+6.60	+19 47 51	−23.8	0 8.4
30	7 41 15.9	+13.09	+21 52 57	−25.6	23 11.2	30	8 38 29.2	+6.59	+19 38 16	−24.1	0 7.1
31	7 46 29.8	+13.06	+21 42 23	−27.2	23 12.4	31	8 41 7.2	+6.57	+19 28 34	−24.5	0 5.8
A. 1	7 51 43.0	+13.04	+21 31 11	−28.8	23 13.7	A. 1	8 43 44.8	+6.56	+19 18 43	−24.8	0 4.5

Datum	Halbmesser	Horizontal-Parallaxe	Datum	Halbmesser	Horizontal-Parallaxe
	″	″		″	″
1	5.4	5.6	1	1.9	3.4
11	5.3	5.5	11	1.9	3.3
21	5.2	5.4	21	1.9	3.3
31	5.1	5.3	31	1.9	3.3

Jupiter.

Datum	Mittlerer Greenwicher Mittag. Rect-ascension	Stdl. Aend.	Declination − Süd	Stdl. Aend.	Im Meridian. Mittlere Gr. Zeit
	h m s	s	° ′ ″	″	h m
1	23 17 36·6	+0·20	−5 53 15	+0·5	16 37·9
2	23 17 41·2	+0·18	−5 53 5	+0·3	16 34·1
3	23 17 45·1	+0·15	−5 53 0	+0·1	16 30·2
4	23 17 48·3	+0·12	−5 52 59	−0·1	16 26·3
5	23 17 50·8	+0·09	−5 53 3	−0·3	16 22·4
6	23 17 52·6	+0·06	−5 53 12	−0·5	16 18·5
7	23 17 53·6	+0·03	−5 53 25	−0·7	16 14·6
8	23 17 53·9	0·00	−5 53 43	−0·8	16 10·6
9	23 17 53·5	−0·03	−5 54 6	−1·0	16 6·7
10	23 17 52·4	−0·06	−5 54 33	−1·2	16 2·7
11	23 17 50·5	−0·09	−5 55 4	−1·4	15 58·8
12	23 17 47·9	−0·12	−5 55 40	−1·6	15 54·8
13	23 17 44·6	−0·15	−5 56 21	−1·8	15 50·8
14	23 17 40·5	−0·18	−5 57 6	−2·0	15 46·8
15	23 17 35·8	−0·21	−5 57 56	−2·2	15 42·7
16	23 17 30·3	−0·24	−5 58 50	−2·4	15 38·7
17	23 17 24·1	−0·27	−5 59 48	−2·5	15 34·7
18	23 17 17·2	−0·30	−6 0 51	−2·7	15 30·6
19	23 17 9·6	−0·33	−6 1 59	−2·9	15 26·6
20	23 17 1·3	−0·36	−6 3 10	−3·1	15 22·5
21	23 16 52·3	−0·39	−6 4 26	−3·3	15 18·4
22	23 16 42·6	−0·42	−6 5 47	−3·4	15 14·3
23	23 16 32·2	−0·45	−6 7 11	−3·6	15 10·2
24	23 16 21·1	−0·48	−6 8 40	−3·8	15 6·1
25	23 16 9·3	−0·51	−6 10 13	−4·0	15 1·9
26	23 15 56·9	−0·53	−6 11 50	−4·1	14 57·8
27	23 15 43·7	−0·56	−6 13 31	−4·3	14 53·6
28	23 15 29·9	−0·59	−6 15 16	−4·5	14 49·5
29	23 15 15·5	−0·62	−6 17 5	−4·6	14 45·3
30	23 15 0·4	−0·64	−6 18 59	−4·8	14 41·1
31	23 14 44·6	−0·67	−6 20 56	−5·0	14 36·9
A. 1	23 14 28·2	−0·70	−6 22 57	−5·1	14 32·7

Datum	Halbmesser	Horizontal-Parallaxe
	″	″
1	20·8	2·0
11	21·4	2·0
21	22·1	2·1
31	22·6	2·1

Saturn.

Datum	Mittlerer Greenwicher Mittag. Rect-ascension	Stdl. Aend.	Declination + Nord	Stdl. Aend.	Im Meridian. Mittlere Gr. Zeit
	h m s	s	° ′ ″	″	h m
1	10 57 58·6	+0·72	+8 44 13	−4·8	4 20·3
2	10 58 16·0	+0·73	+8 42 18	−4·8	4 16·7
3	10 58 33·6	+0·74	+8 40 21	−4·9	4 13·0
4	10 58 51·5	+0·75	+8 38 23	−5·0	4 9·4
5	10 59 9·7	+0·76	+8 36 23	−5·0	4 5·8
6	10 59 28·2	+0·77	+8 34 21	−5·1	4 2·1
7	10 59 46·9	+0·79	+8 32 18	−5·2	3 58·5
8	11 0 5·9	+0·80	+8 30 13	−5·2	3 54·9
9	11 0 25·1	+0·81	+8 28 7	−5·3	3 51·3
10	11 0 44·6	+0·82	+8 25 59	−5·4	3 47·7
11	11 1 4·3	+0·83	+8 23 50	−5·4	3 44·1
12	11 1 24·3	+0·84	+8 21 39	−5·5	3 40·5
13	11 1 44·6	+0·85	+8 19 27	−5·5	3 36·9
14	11 2 5·0	+0·86	+8 17 14	−5·6	3 33·3
15	11 2 25·7	+0·87	+8 14 59	−5·7	3 29·7
16	11 2 46·7	+0·88	+8 12 42	−5·7	3 26·1
17	11 3 7·8	+0·89	+8 10 25	−5·8	3 22·5
18	11 3 29·2	+0·90	+8 8 6	−5·8	3 19·0
19	11 3 50·8	+0·90	+8 5 46	−5·9	3 15·4
20	11 4 12·6	+0·91	+8 3 24	−5·9	3 11·8
21	11 4 34·6	+0·92	+8 1 2	−6·0	3 8·3
22	11 4 56·8	+0·93	+7 58 38	−6·0	3 4·7
23	11 5 19·2	+0·94	+7 56 13	−6·1	3 1·1
24	11 5 41·8	+0·95	+7 53 46	−6·1	2 57·6
25	11 6 4·7	+0·96	+7 51 19	−6·2	2 54·0
26	11 6 27·7	+0·96	+7 48 50	−6·2	2 50·5
27	11 6 50·9	+0·97	+7 46 20	−6·3	2 46·9
28	11 7 14·3	+0·98	+7 43 49	−6·3	2 43·4
29	11 7 37·8	+0·99	+7 41 18	−6·4	2 39·8
30	11 8 1·6	+1·00	+7 38 45	−6·4	2 36·3
31	11 8 25·5	+1·00	+7 36 11	−6·4	2 32·8
A. 1	11 8 49·6	+1·01	+7 33 36	−6·5	2 29·2

Datum	Halbmesser	Horizontal-Parallaxe
	″	″
1	8·0	0·9
11	7·9	0·9
21	7·8	0·9
31	7·7	0·9

MOND-DISTANZEN.

Mittlere Greenwicher Zeit.

Datum	Namen u. Lage der Sterne		Mittag	Lg. pr.	III^h	Lg. pr.	VI^h	Lg. pr.	IX^h	Lg. pr.
			° ′ ″		° ′ ″		° ′ ″		° ′ ″	
1	Fomalhaut	W.	70 27 7	2623	72 5 31	2626	73 43 50	2630	75 22 4	2635
	Jupiter	W.	54 9 50	2453	55 52 9	2460	57 34 18	2466	59 16 19	2473
	α Pegasi	W.	53 41 49	3078	55 10 25	3060	56 39 24	3043	58 8 44	3028
	Sonne	O.	57 12 3	2754	55 36 35	2762	54 1 17	2771	52 26 11	2779
2	Fomalhaut	W.	83 31 29	2663	85 8 58	2671	86 46 17	2678	88 23 26	2686
	Jupiter	W.	67 43 55	2509	69 24 56	2516	71 5 47	2523	72 46 28	2532
	α Pegasi	W.	65 39 3	2984	67 9 36	2980	68 40 14	2977	70 10 56	2974
	Sonne	O.	44 33 25	2823	42 59 27	2832	41 25 41	2842	39 52 7	2852
3	Fomalhaut	W.	96 26 28	2730	98 2 28	2740	99 38 15	2750	101 13 48	2761
	Jupiter	W.	81 7 8	2572	82 46 42	2580	84 26 5	2588	86 5 17	2596
	α Pegasi	W.	77 44 36	2980	79 15 14	2985	80 45 46	2989	82 16 13	2994
	Sonne	O.	32 7 32	2905	30 35 19	2916	29 3 20	2928	27 31 37	2941
8	Sonne	W.	27 18 20	3321	28 42 7	3329	30 5 45	3337	31 29 14	3343
	Spica	O.	69 41 22	2960	68 10 19	2969	66 39 28	2977	65 8 47	2987
	Antares	O.	115 35 0	2951	114 3 46	2959	112 32 42	2968	111 1 49	2975
9	Sonne	W.	38 24 45	3378	39 47 27	3384	41 10 2	3390	42 32 30	3396
	Spica	O.	57 38 8	3029	56 8 31	3037	54 39 4	3044	53 9 46	3052
	Antares	O.	103 29 47	3013	101 59 50	3019	100 30 1	3026	99 0 20	3032
10	Sonne	W.	49 23 11	3423	50 45 1	3427	52 6 47	3431	53 28 28	3435
	Spica	O.	45 45 33	3087	44 17 8	3094	42 48 51	3101	41 20 42	3107
	Antares	O.	91 33 46	3059	90 4 46	3064	88 35 52	3067	87 7 2	3071
11	Sonne	W.	60 15 59	3447	61 37 22	3449	62 58 43	3450	64 20 3	3450
	Regulus	W.	21 8 17	3178	22 34 53	3168	24 1 41	3158	25 28 41	3149
	Spica	O.	34 1 53	3138	32 34 30	3146	31 7 16	3153	29 40 11	3162
	Antares	O.	79 43 55	3085	78 15 27	3086	76 47 0	3087	75 18 34	3087
12	Sonne	W.	71 6 47	3445	72 28 13	3443	73 49 41	3440	75 11 12	3437
	Regulus	W.	32 45 48	3118	34 13 36	3113	35 41 30	3107	37 9 31	3101
	Saturn	W.	17 44 13	3170	19 10 58	3160	20 37 55	3150	22 5 4	3140
	Antares	O.	67 56 28	3084	66 27 59	3083	64 59 29	3080	63 30 55	3078
13	Sonne	W.	81 59 58	3412	83 22 1	3405	84 44 12	3399	86 6 30	3392
	Regulus	W.	44 31 27	3069	46 0 15	3062	47 29 11	3054	48 58 17	3046
	Saturn	W.	29 23 27	3100	30 51 37	3092	32 19 56	3084	33 48 25	3075
	Antares	O.	56 7 6	3058	54 38 5	3052	53 8 57	3047	51 39 42	3040
	α Aquilæ	O.	103 8 21	3878	101 54 39	3863	100 40 42	3849	99 26 30	3835
14	Sonne	W.	93 0 19	3347	94 23 36	3337	95 47 5	3325	97 10 47	3314
	Regulus	W.	56 26 25	3000	57 56 38	2990	59 27 3	2979	60 57 42	2969
	Saturn	W.	41 13 37	3028	42 43 15	3018	44 13 6	3007	45 43 10	2996
	Antares	O.	44 11 23	3005	42 41 16	2996	41 10 58	2988	39 40 30	2979
	α Aquilæ	O.	93 12 4	3772	91 56 33	3761	90 40 50	3751	89 24 57	3741
15	Sonne	W.	104 12 43	3252	105 37 51	3238	107 3 15	3223	108 28 57	3209
	Regulus	W.	68 34 33	2907	70 6 43	2894	71 39 9	2880	73 11 53	2867
	Saturn	W.	53 17 11	2935	54 48 46	2921	56 20 38	2907	57 52 48	2893
	Antares	O.	32 5 23	2935	30 33 48	2925	29 2 1	2917	27 30 4	2909
	α Aquilæ	O.	83 3 1	3698	81 46 12	3692	80 29 16	3686	79 12 14	3680
	Fomalhaut	O.	114 32 22	3097	113 4 9	3080	111 35 35	3062	110 6 39	3044

MOND-DISTANZEN.

Mittlere Greenwicher Zeit.

Datum	Namen u. Lage der Sterne		Mitternacht	Lg. pr.	XV^h	Lg. pr.	XVIII^h	Lg. pr.	XXI^h	Lg. pr.
			° ′ ″		° ′ ″		° ′ ″		° ′ ″	
1	Fomalhaut	W.	77 0 12	2640	78 38 12	2645	80 16 6	2651	81 53 52	2657
	Jupiter	W.	60 58 10	2480	62 39 51	2487	64 21 22	2494	66 2 44	2502
	α Pegasi	W.	59 38 22	3016	61 8 15	3006	62 38 20	2997	64 8 37	2989
	Sonne	O.	50 51 15	2788	49 16 31	2796	47 41 58	2805	46 7 36	2813
2	Fomalhaut	W.	90 0 25	2694	91 37 13	2702	93 13 50	2711	94 50 15	2720
	Jupiter	W.	74 26 57	2539	76 7 16	2546	77 47 25	2555	79 27 22	2563
	α Pegasi	W.	71 41 41	2974	73 12 26	2973	74 43 12	2976	76 13 55	2977
	Sonne	O.	38 18 46	2861	36 45 37	2872	35 12 42	2882	33 40 0	2893
3	Fomalhaut	W.	102 49 7	2772	104 24 11	2785	105 58 59	2796	107 33 32	2808
	Jupiter	W.	87 44 17	2605	89 23 5	2614	91 1 41	2623	92 40 5	2632
	α Pegasi	W.	83 46 33	3001	85 16 45	3008	86 46 48	3015	88 16 42	3023
	Sonne	O.	26 0 10	2954	24 29 0	2969	22 58 8	2985	21 27 36	3001
8	Sonne	W.	32 52 36	3350	34 15 50	3357	35 38 56	3364	37 1 54	3370
	Spica	O.	63 38 18	2996	62 8 0	3004	60 37 52	3013	59 7 55	3021
	Antares	O.	109 31 5	2984	108 0 32	2991	106 30 8	2998	104 59 53	3005
9	Sonne	W.	43 54 51	3402	45 17 5	3408	46 39 13	3413	48 1 15	3418
	Spica	O.	51 40 38	3059	50 11 38	3067	48 42 48	3073	47 14 6	3081
	Antares	O.	97 30 47	3039	96 1 22	3044	94 32 4	3049	93 2 52	3054
10	Sonne	W.	54 50 5	3438	56 11 38	3442	57 33 7	3444	58 54 34	3446
	Spica	O.	39 52 41	3113	38 24 47	3119	36 57 1	3126	35 29 23	3133
	Antares	O.	85 38 17	3075	84 9 37	3078	82 41 0	3080	81 12 26	3082
11	Sonne	W.	65 41 23	3450	67 2 43	3450	68 24 3	3449	69 45 24	3447
	Regulus	W.	26 55 51	3143	28 23 9	3136	29 50 35	3130	31 18 8	3124
	Spica	O.	28 13 16	3170	26 46 31	3180	25 19 58	3191	23 53 38	3204
	Antares	O.	73 50 9	3088	72 21 45	3087	70 53 20	3087	69 24 54	3087
12	Sonne	W.	76 32 47	3432	77 54 27	3428	79 16 12	3423	80 38 2	3418
	Regulus	W.	38 37 39	3096	40 5 54	3089	41 34 17	3082	43 2 48	3076
	Saturn	W.	23 32 25	3132	24 59 56	3124	26 27 37	3116	27 55 27	3108
	Antares	O.	62 2 18	3074	60 33 37	3071	59 4 52	3067	57 36 2	3062
13	Sonne	W.	87 28 56	3383	88 51 32	3375	90 14 17	3365	91 37 13	3357
	Regulus	W.	50 27 33	3037	51 57 0	3029	53 26 37	3020	54 56 25	3010
	Saturn	W.	35 17 5	3066	36 45 56	3057	38 14 58	3048	39 44 11	3038
	Antares	O.	50 10 19	3034	48 40 48	3027	47 11 9	3020	45 41 21	3012
	α Aquilæ	O.	98 12 4	3821	96 57 24	3808	95 42 30	3795	94 27 23	3784
14	Sonne	W.	98 34 42	3302	99 58 51	3290	101 23 14	3278	102 47 51	3265
	Regulus	W.	62 28 34	2957	63 59 41	2945	65 31 3	2933	67 2 40	2920
	Saturn	W.	47 13 28	2984	48 44 1	2972	50 14 49	2960	51 45 52	2947
	Antares	O.	38 9 51	2970	36 39 1	2962	35 8 0	2952	33 36 47	2943
	α Aquilæ	O.	88 8 53	3730	86 52 38	3722	85 36 14	3714	84 19 42	3706
15	Sonne	W.	109 54 55	3194	111 21 11	3179	112 47 45	3163	114 14 38	3148
	Regulus	W.	74 44 54	2852	76 18 14	2838	77 51 53	2823	79 25 51	2808
	Saturn	W.	59 25 16	2879	60 58 2	2865	62 31 6	2849	64 4 30	2834
	Antares	O.	25 57 56	2901	24 25 39	2896	22 53 15	2891	21 20 45	2889
	α Aquilæ	O.	77 55 6	3677	76 37 54	3674	75 20 39	3671	74 3 21	3669
	Fomalhaut	O.	108 37 21	3027	107 7 42	3009	105 37 41	2992	104 7 18	2975

MOND-DISTANZEN.

Mittlere Greenwicher Zeit.

Datum	Namen u. Lage der Sterne		Mittag	Lg. pr.	III^h	Lg. pr.	VI^h	Lg. pr.	IX^h	Lg. pr.
			° ′ ″		° ′ ″		° ′ ″		° ′ ″	
16	Sonne	W.	115 41 49	3132	117 9 20	3115	118 37 11	3099	120 5 22	3082
	Regulus	W.	81 0 8	2793	82 34 45	2777	84 9 43	2761	85 45 2	2745
	Saturn	W.	65 38 14	2818	67 12 18	2803	68 46 42	2787	70 21 27	2770
	Spica	W.	27 12 19	2870	28 45 16	2845	30 18 45	2822	31 52 44	2800
	α Aquilæ	O.	72 46 1	3670	71 28 42	3671	70 11 24	3674	68 54 9	3677
	Fomalhaut	O.	102 36 34	2957	101 5 27	2940	99 33 59	2923	98 2 9	2905
17	Regulus	W.	93 46 59	2663	95 24 29	2646	97 2 22	2629	98 40 38	2612
	Saturn	W.	78 20 38	2687	79 57 35	2669	81 34 56	2653	83 12 39	2635
	Spica	W.	39 49 45	2696	41 26 31	2675	43 3 44	2655	44 41 24	2636
	α Aquilæ	O.	62 29 41	3729	61 13 25	3746	59 57 27	3768	58 41 51	3792
	Fomalhaut	O.	90 17 27	2820	88 43 25	2803	87 9 1	2786	85 34 15	2770
	Jupiter	O.	105 45 59	2647	104 8 8	2630	102 29 54	2613	100 51 17	2595
	α Pegasi	O.	108 38 5	3097	107 9 52	3073	105 41 9	3048	104 11 56	3025
18	Saturn	W.	91 27 10	2548	93 7 16	2532	94 47 45	2515	96 28 38	2497
	Spica	W.	52 56 14	2541	54 36 30	2522	56 17 12	2505	57 58 18	2487
	α Aquilæ	O.	52 31 35	3980	51 19 36	4036	50 8 32	4099	48 58 29	4169
	Fomalhaut	O.	77 35 11	2692	75 58 21	2678	74 21 11	2664	72 43 43	2651
	Jupiter	O.	92 32 10	2509	90 51 9	2492	89 9 44	2474	87 27 54	2458
	α Pegasi	O.	96 38 51	2917	95 6 54	2898	93 34 33	2880	92 1 48	2862
19	Saturn	W.	104 58 58	2415	106 42 11	2400	108 25 46	2384	110 9 44	2368
	Spica	W.	66 30 4	2401	68 13 38	2384	69 57 36	2368	71 41 56	2352
	Antares	W.	20 43 54	2465	22 25 57	2437	24 8 39	2412	25 51 57	2389
	Fomalhaut	O.	64 32 7	2593	62 53 3	2585	61 13 47	2577	59 34 20	2570
	Jupiter	O.	78 52 49	2375	77 8 38	2359	75 24 4	2344	73 39 8	2328
	α Pegasi	O.	84 12 40	2785	82 37 52	2772	81 2 48	2761	79 27 29	2750
20	Spica	W.	80 29 9	2280	82 15 38	2267	84 2 26	2254	85 49 33	2241
	Antares	W.	34 36 1	2294	36 22 9	2279	38 8 40	2264	39 55 33	2249
	Fomalhaut	O.	51 15 23	2558	49 35 30	2561	47 55 42	2567	46 16 2	2576
	Jupiter	O.	64 49 6	2258	63 2 5	2245	61 14 45	2233	59 27 7	2221
	α Pegasi	O.	71 27 55	2716	69 51 37	2713	68 15 15	2713	66 38 52	2714
	α Arietis	O.	113 25 48	2379	111 41 43	2364	109 57 16	2348	108 12 26	2333
21	Spica	W.	94 49 26	2189	96 38 10	2180	98 27 8	2171	100 16 19	2164
	Antares	W.	48 54 55	2189	50 43 39	2178	52 32 39	2169	54 21 53	2161
	Fomalhaut	O.	38 2 15	2677	36 25 4	2713	34 48 42	2759	33 13 20	2814
	Jupiter	O.	50 24 49	2170	48 35 37	2163	46 46 13	2155	44 56 38	2148
	α Pegasi	O.	58 38 14	2751	57 2 42	2767	55 27 31	2786	53 52 45	2808
	α Arietis	O.	99 23 24	2272	97 36 44	2262	95 49 49	2253	94 2 40	2245
22	Antares	W.	63 30 59	2127	65 21 17	2122	67 11 43	2118	69 2 14	2115
	Jupiter	O.	35 46 26	2126	33 56 6	2124	32 5 43	2123	30 15 19	2123
	α Pegasi	O.	46 7 59	2991	44 37 35	3047	43 8 20	3110	41 40 22	3183
	α Arietis	O.	85 4 16	2214	83 16 10	2212	81 28 0	2208	79 39 45	2206
	Aldebaran	O.	115 32 43	2140	113 42 45	2136	111 52 40	2131	110 2 28	2127
23	Antares	W.	78 15 52	2107	80 6 41	2107	81 57 29	2108	83 48 16	2109
	α Aquilæ	W.	42 48 0	4354	43 54 3	4202	45 2 27	4067	46 13 1	3945
	α Arietis	O.	70 38 12	2210	68 49 59	2212	67 1 50	2217	65 13 48	2223
	Aldebaran	O.	100 50 23	2118	98 59 52	2118	97 9 21	2119	95 18 51	2121

MOND-DISTANZEN.

Mittlere Greenwicher Zeit.

Datum	Namen u. Lage der Sterne		Mitternacht	Lg. pr.	XV^h	Lg. pr.	XVIII^h	Lg. pr.	XXI^h	Lg. pr.
			° ′ ″		° ′ ″		° ′ ″		° ″	
16	Sonne	W.	121 33 53	3066	123 2 44	3048	124 31 57	3030	126 1 32	3014
	Regulus	W.	87 20 42	2729	88 56 43	2713	90 33 6	2696	92 9 51	2679
	Saturn	W.	71 56 34	2754	73 32 2	2738	75 7 51	2721	76 44 3	2704
	Spica	W.	33 27 12	2778	35 2 9	2756	36 37 34	2736	38 13 26	2716
	α Aquilæ	O.	67 36 58	3684	66 19 54	3692	65 2 58	3702	63 46 13	3714
	Fomalhaut	O.	96 29 57	2888	94 57 23	2870	93 24 26	2854	91 51 8	2836
17	Regulus	W.	100 19 17	2595	101 58 19	2577	103 37 45	2561	105 17 34	2543
	Saturn	W.	84 50 46	2618	86 29 16	2601	88 8 10	2583	89 47 28	2566
	Spica	W.	46 19 30	2617	47 58 2	2598	49 37 0	2579	51 16 24	2560
	α Aquilæ	O.	57 26 41	3820	56 12 0	3853	54 57 52	3890	53 44 22	3932
	Fomalhaut	O.	83 59 8	2754	82 23 40	2738	80 47 51	2722	79 11 41	2707
	Jupiter	O.	99 12 15	2578	97 32 50	2561	95 53 1	2543	94 12 48	2525
	α Pegasi	O.	102 42 14	3002	101 12 4	2980	99 41 26	2959	98 10 22	2938
18	Saturn	W.	98 9 55	2480	99 51 36	2464	101 33 40	2448	103 16 7	2431
	Spica	W.	59 39 50	2469	61 21 47	2452	63 4 8	2434	64 46 54	2417
	α Aquilæ	O.	47 49 34	4250	46 41 55	4341	45 35 40	4445	44 30 59	4563
	Fomalhaut	O.	71 5 57	2638	69 27 53	2626	67 49 33	2614	66 10 57	2604
	Jupiter	O.	85 45 41	2440	84 3 3	2424	82 20 2	2407	80 36 37	2391
	α Pegasi	O.	90 28 41	2845	88 55 11	2828	87 21 20	2814	85 47 10	2798
19	Saturn	W.	111 54 4	2354	113 38 45	2339	115 23 47	2326	117 9 9	2311
	Spica	W.	73 26 40	2337	75 11 45	2322	76 57 12	2308	78 43 0	2294
	Antares	W.	27 35 48	2367	29 20 10	2347	31 5 1	2329	32 50 18	2311
	Fomalhaut	O.	57 54 44	2564	56 15 0	2560	54 35 10	2558	52 55 17	2557
	Jupiter	O.	71 53 50	2313	70 8 10	2299	68 22 9	2285	66 35 48	2271
	α Pegasi	O.	77 51 56	2741	76 16 10	2733	74 40 14	2725	73 4 8	2720
20	Spica	W.	87 36 59	2230	89 24 42	2219	91 12 41	2208	93 0 56	2198
	Antares	W.	41 42 47	2235	43 30 22	2223	45 18 15	2211	47 6 26	2199
	Fomalhaut	O.	44 36 34	2588	42 57 22	2603	41 18 31	2622	39 40 6	2647
	Jupiter	O.	57 39 11	2210	55 50 59	2199	54 2 30	2190	52 13 47	2180
	α Pegasi	O.	65 2 31	2717	63 26 14	2722	61 50 3	2729	60 14 2	2739
	α Arietis	O.	106 27 15	2320	104 41 44	2307	102 55 55	2295	101 9 48	2282
21	Spica	W.	102 5 41	2157	103 55 14	2152	105 44 56	2145	107 34 47	2139
	Antares	W.	56 11 20	2153	58 0 59	2145	59 50 49	2138	61 40 50	2133
	Fomalhaut	O.	31 39 10	2880	30 6 26	2961	28 35 24	3060	27 6 25	3177
	Jupiter	O.	43 6 52	2141	41 16 56	2137	39 26 53	2132	37 36 42	2128
	α Pegasi	O.	52 18 27	2835	50 44 44	2866	49 11 41	2901	47 39 24	2942
	α Arietis	O.	92 15 20	2237	90 27 48	2231	88 40 6	2225	86 52 15	2219
22	Antares	W.	70 52 51	2112	72 43 32	2110	74 34 16	2108	76 25 3	2107
	Jupiter	O.	28 24 55	2126	26 34 35	2129	24 44 20	2134	22 54 13	2142
	α Pegasi	O.	40 13 52	3267	38 49 2	3364	37 26 4	3476	36 5 13	3606
	α Arietis	O.	77 51 27	2205	76 3 7	2205	74 14 47	2206	72 26 28	2208
	Aldebaran	O.	108 12 10	2124	106 21 48	2122	104 31 22	2120	102 40 53	2119
23	Antares	W.	85 39 1	2111	87 29 43	2115	89 20 20	2117	91 10 53	2121
	α Aquilæ	W.	47 25 35	3839	48 39 57	3744	49 55 58	3658	51 13 30	3582
	α Arietis	O.	63 25 54	2229	61 38 9	2236	59 50 35	2244	58 3 13	2253
	Aldebaran	O.	93 28 24	2123	91 38 0	2126	89 47 40	2128	87 57 24	2133

MOND-DISTANZEN.

Mittlere Greenwicher Zeit.

Datum	Namen u. Lage der Sterne		Mittag	Lg. pr.	III^h	Lg. pr.	VI^h	Lg. pr.	IX^h	Lg. pr.
			° ′ ″		° ′ ″		° ′ ″		° ′ ″	
24	Antares	W.	93 1 20	2125	94 51 41	2130	96 41 55	2136	98 32 0	2141
	α Aquilæ	W.	52 32 24	3514	53 52 32	3454	55 13 48	3400	56 36 5	3352
	α Arietis	O.	56 16 5	2264	54 29 12	2276	52 42 37	2289	50 56 21	2303
	Aldebaran	O.	86 7 15	2137	84 17 12	2141	82 27 16	2147	80 37 29	2153
25	α Aquilæ	W.	63 39 22	3184	65 5 50	3163	66 32 44	3144	68 0 0	3129
	Fomalhaut	W.	28 34 53	2996	30 5 11	2917	31 37 8	2852	33 10 28	2798
	α Arietis	O.	42 11 3	2401	40 27 30	2428	38 44 35	2457	37 2 21	2489
	Aldebaran	O.	71 31 0	2189	69 42 16	2198	67 53 46	2207	66 5 29	2216
	Sonne	O.	125 38 32	2477	123 56 46	2484	122 15 11	2492	120 33 47	2502
26	α Aquilæ	W.	75 20 8	3086	76 48 35	3083	78 17 5	3083	79 45 35	3085
	Fomalhaut	W.	41 11 11	2642	42 49 9	2626	44 27 28	2612	46 6 6	2603
	α Pegasi	W.	29 57 40	4543	31 0 54	4317	32 7 31	4125	33 17 9	3962
	Jupiter	W.	23 36 39	2268	25 23 25	2272	27 10 5	2277	28 56 38	2284
	α Arietis	O.	28 44 51	2736	27 8 59	2811	25 34 45	2901	24 2 27	3008
	Aldebaran	O.	57 7 47	2270	55 21 3	2281	53 34 36	2294	51 48 27	2306
	Sonne	O.	112 10 4	2551	110 30 1	2561	108 50 13	2573	107 10 41	2583
27	α Aquilæ	W.	87 7 3	3114	88 34 56	3124	90 2 37	3135	91 30 4	3148
	Fomalhaut	W.	54 21 40	2583	56 0 58	2584	57 40 15	2585	59 19 30	2589
	α Pegasi	W.	39 39 27	3438	41 1 0	3373	42 23 47	3316	43 47 40	3268
	Jupiter	W.	37 46 41	2325	39 32 4	2335	41 17 13	2344	43 2 8	2354
	Aldebaran	O.	43 2 23	2373	41 18 10	2389	39 34 19	2404	37 50 50	2420
	Sonne	O.	98 56 50	2642	97 18 52	2654	95 41 10	2666	94 3 45	2678
28	α Aquilæ	W.	98 42 59	3231	100 8 32	3251	101 33 41	3272	102 58 25	3295
	Fomalhaut	W.	67 34 21	2615	69 12 56	2621	70 51 22	2629	72 29 38	2636
	Jupiter	W.	51 43 2	2407	53 26 27	2417	55 9 37	2428	56 52 32	2438
	α Pegasi	W.	50 59 4	3107	52 27 5	3087	53 55 30	3069	55 24 17	3056
	Aldebaran	O.	29 19 36	2517	27 38 46	2540	25 58 29	2566	24 18 48	2596
	Sonne	O.	86 0 46	2741	84 25 0	2753	82 49 30	2766	81 14 17	2778
29	Fomalhaut	W.	80 38 9	2681	82 15 15	2690	83 52 8	2701	85 28 47	2710
	Jupiter	W.	65 23 18	2492	67 4 42	2503	68 45 51	2513	70 26 46	2525
	α Pegasi	W.	62 51 37	3016	64 21 30	3012	65 51 28	3010	67 21 28	3010
	α Arietis	W.	19 44 11	3513	21 4 21	3380	22 27 0	3276	23 51 39	3193
	Sonne	O.	73 22 15	2840	71 48 39	2852	70 15 19	2864	68 42 14	2876
30	Fomalhaut	W.	93 28 37	2764	95 3 52	2775	96 38 53	2787	98 13 38	2798
	Jupiter	W.	78 47 40	2576	80 27 8	2585	82 6 23	2596	83 45 24	2606
	α Pegasi	W.	74 51 17	3019	76 21 6	3024	77 50 49	3029	79 20 26	3035
	α Arietis	W.	31 13 58	2971	32 44 47	2949	34 16 4	2931	35 47 44	2916
	Sonne	O.	61 0 43	2936	59 29 10	2948	57 57 52	2960	56 26 49	2972
31	Jupiter	W.	91 57 7	2655	93 34 48	2663	95 12 17	2673	96 49 33	2682
	α Pegasi	W.	86 46 31	3071	88 15 16	3080	89 43 50	3090	91 12 12	3099
	α Arietis	W.	43 29 28	2881	44 2 11	2879	46 34 57	2879	48 7 43	2879
	Sonne	O.	48 55 15	3030	47 25 40	3042	45 56 19	3054	44 27 13	3065

MOND-DISTANZEN.

Mittlere Greenwicher Zeit.

Datum	Namen u. Lage der Sterne		Mitternacht	Lg. pr.	XV^h	Lg. pr.	XVIII^h	Lg. pr.	XXI^h	Lg. pr.
			° ′ ″		° ′ ″		° ′ ″		° ′ ″	
24	Antares	W.	100 21 57	2147	102 11 44	2154	104 1 21	2161	105 50 48	2169
	α Aquilæ	W.	57 59 16	3309	59 23 17	3272	60 48 1	3239	62 13 24	3209
	α Arietis	O.	49 10 26	2319	47 24 54	2337	45 39 48	2356	43 55 10	2378
	Aldebaran	O.	78 47 50	2160	76 58 22	2166	75 9 3	2173	73 19 55	2182
25	α Aquilæ	W.	69 27 35	3114	70 55 27	3105	72 23 31	3096	73 51 46	3090
	Fomalhaut	W.	34 44 58	2754	36 20 26	2717	37 56 43	2687	39 33 40	2662
	α Arietis	O.	35 20 53	2527	33 40 18	2569	32 0 40	2617	30 22 8	2672
	Aldebaran	O.	64 17 26	2227	62 29 38	2237	60 42 5	2247	58 54 48	2258
	Sonne	O.	118 52 36	2511	117 11 38	2520	115 30 53	2530	113 50 22	2540
26	α Aquilæ	W.	81 14 3	3087	82 42 28	3091	84 10 48	3098	85 39 0	3105
	Fomalhaut	W.	47 44 57	2595	49 23 59	2590	51 3 8	2585	52 42 23	2584
	α Pegasi	W.	34 29 26	3823	35 44 4	3704	37 0 47	3602	38 19 19	3514
	Jupiter	W.	30 43 1	2291	32 29 14	2298	34 15 16	2307	36 1 5	2316
	α Arietis	O.	22 32 24	3138	21 5 1	3301	19 40 51	3506	18 20 33	3765
	Aldebaran	O.	50 2 36	2318	48 17 3	2332	46 31 50	2345	44 46 56	2359
	Sonne	O.	105 31 23	2595	103 52 21	2606	102 13 34	2618	100 35 4	2630
27	α Aquilæ	W.	92 57 15	3162	94 24 10	3178	95 50 46	3193	97 17 3	3211
	Fomalhaut	W.	60 58 40	2593	62 37 45	2596	64 16 45	2602	65 55 37	2608
	α Pegasi	W.	45 12 29	3225	46 38 8	3189	48 4 30	3157	49 31 31	3130
	Jupiter	W.	44 46 49	2364	46 31 15	2375	48 15 25	2385	49 59 21	2396
	Aldebaran	O.	36 7 44	2437	34 25 2	2455	32 42 46	2475	31 0 57	2495
	Sonne	O.	92 26 36	2691	90 49 44	2703	89 13 8	2715	87 36 49	2728
28	α Aquilæ	W.	104 22 42	3320	105 46 30	3345	107 9 49	3373	108 32 36	3403
	Fomalhaut	W.	74 7 44	2645	75 45 38	2654	77 23 20	2662	79 0 51	2672
	Jupiter	W.	58 35 12	2450	60 17 36	2460	61 59 45	2471	63 41 39	2482
	α Pegasi	W.	56 53 20	3043	58 22 39	3034	59 52 9	3026	61 21 49	3020
	Aldebaran	O.	22 39 48	2631	21 1 35	2672	19 24 17	2720	17 48 4	2776
	Sonne	O.	79 39 20	2791	78 4 40	2803	76 30 16	2815	74 56 7	2828
29	Fomalhaut	W.	87 5 13	2721	88 41 25	2732	90 17 23	2742	91 53 7	2753
	Jupiter	W.	72 7 25	2535	73 47 50	2545	75 28 1	2556	77 7 57	2565
	α Pegasi	W.	68 51 28	3009	70 21 29	3011	71 51 28	3014	73 21 24	3016
	α Arietis	W.	25 17 56	3129	26 45 31	3075	28 14 11	3033	29 43 43	2998
	Sonne	O.	67 9 25	2888	65 36 51	2901	64 4 33	2912	62 32 30	2925
30	Fomalhaut	W.	99 48 8	2811	101 22 22	2822	102 56 21	2835	104 30 4	2848
	Jupiter	W.	85 24 11	2616	87 2 44	2625	88 41 5	2635	90 19 12	2644
	α Pegasi	W.	80 49 55	3041	82 19 17	3047	83 48 31	3055	85 17 36	3063
	α Arietis	W.	37 19 42	2905	38 51 55	2897	40 24 18	2890	41 56 50	2885
	Sonne	O.	54 56 1	2984	53 25 28	2995	51 55 9	3007	50 25 5	3018
31	Jupiter	W.	98 26 37	2692	100 3 28	2701	101 40 7	2710	103 16 34	2718
	α Pegasi	W.	92 40 23	3110	94 8 21	3120	95 36 6	3132	97 3 37	3143
	α Arietis	W.	49 40 29	2880	51 13 14	2881	52 45 57	2883	54 18 38	2887
	Sonne	O.	42 58 21	3078	41 29 44	3089	40 1 21	3101	38 33 13	3114

Tag im Jahre	Wochentag und Datum		Mittlerer Greenwicher Mittag. Sonne. Rectascension	Stdl. Aend.	Declination + Nord	Stündl. Aenderung	Halbmesser	Zeitgleichung + Zur wahren Zeit zu addiren — Von der wahren Zeit zu subtrah.	Stündl. Aenderung	Declination der Sonne im wahren Greenwicher Mittage
			h m s	s	° ′ ″	″	′ ″	m s	s	° ′ ″
213	Samstag	1	8 45 20·5	9·71	+18 2 39	−37·7	15 48	+6 6·7	−0·14	+18 2 36
214	Sonntag	2	8 49 13·4	9·68	+17 47 25	−38·5	15 48	+6 3·0	−0·17	+17 47 21
215	Montag	3	8 53 5·6	9·66	+17 31 53	−39·2	15 48	+5 58·7	−0·19	+17 31 49
216	Dienst.	4	8 56 57·3	9·64	+17 16 3	−39·9	15 48	+5 53·8	−0·22	+17 15 59
217	Mittw.	5	9 0 48·3	9·62	+16 59 57	−40·6	15 48	+5 48·2	−0·24	+16 59 53
218	Donner.	6	9 4 38·8	9·59	+16 43 35	−41·3	15 49	+5 42·1	−0·27	+16 43 31
219	Freitag	7	9 8 28·6	9·57	+16 26 56	−42·0	15 49	+5 35·4	−0·29	+16 26 52
220	Samstag	8	9 12 17·8	9·54	+16 10 1	−42·6	15 49	+5 28·1	−0·32	+16 9 57
221	Sonntag	9	9 16 6·5	9·51	+15 52 50	−43·3	15 49	+5 20·2	−0·34	+15 52 47
222	Montag	10	9 19 54·5	9·49	+15 35 25	−43·9	15 49	+5 11·7	−0·37	+15 35 21
223	Dienst.	11	9 23 42·0	9·47	+15 17 44	−44·5	15 49	+5 2·6	−0·39	+15 17 40
224	Mittw.	12	9 27 28·9	9·44	+14 59 49	−45·1	15 49	+4 52·9	−0·42	+14 59 45
225	Donner.	13	9 31 15·2	9·42	+14 41 39	−45·7	15 50	+4 42·7	−0·44	+14 41 36
226	Freitag	14	9 35 1·0	9·39	+14 23 16	−46·3	15 50	+4 31·9	−0·46	+14 23 12
227	Samstag	15	9 38 46·2	9·37	+14 4 39	−46·8	15 50	+4 20·5	−0·49	+14 4 35
228	Sonntag	16	9 42 30·8	9·35	+13 45 48	−47·4	15 50	+4 8·6	−0·51	+13 45 45
229	Montag	17	9 46 14·9	9·33	+13 26 44	−47·9	15 50	+3 56·2	−0·53	+13 26 41
230	Dienst.	18	9 49 58·5	9·31	+13 7 28	−48·4	15 51	+3 43·2	−0·55	+13 7 25
231	Mittw.	19	9 53 41·6	9·29	+12 47 59	−49·0	15 51	+3 29·7	−0·57	+12 47 56
232	Donner.	20	9 57 24·2	9·27	+12 28 18	−49·5	15 51	+3 15·7	−0·59	+12 28 16
233	Freitag	21	10 1 6·3	9·25	+12 8 26	−49·9	15 51	+3 1·3	−0·61	+12 8 23
234	Samstag	22	10 4 47·9	9·23	+11 48 21	−50·4	15 51	+2 46.4	−0·63	+11 48 19
235	Sonntag	23	10 8 29·2	9·21	+11 28 6	−50·9	15 52	+2 31·1	−0·65	+11 28 4
236	Montag	24	10 12 10·0	9·19	+11 7 39	−51·3	15 52	+2 15·3	−0·67	+11 7 38
237	Dienst.	25	10 15 50·4	9·18	+10 47 2	−51·8	15 52	+1 59·2	−0·68	+10 47 1
238	Mittw.	26	10 19 30·4	9·16	+10 26 14	−52·2	15 52	+1 42·7	−0·70	+10 26 13
239	Donner.	27	10 23 10·0	9·14	+10 5 17	−52·6	15 52	+1 25·8	−0·71	+10 5 16
240	Freitag	28	10 26 49·3	9·13	+ 9 44 9	−53·0	15 53	+1 8·5	−0·73	+ 9 44 8
241	Samstag	29	10 30 28·3	9·12	+ 9 22 52	−53·4	15 53	+0 50·9	−0·74	+ 9 22 52
242	Sonntag	30	10 34 6·9	9·10	+ 9 1 27	−53·8	15 53	+0 32·9	−0·76	+ 9 1 26
243	Montag	31	10 37 45·2	9·09	+ 8 39 52	−54·1	15 53	+0 14·7	−0·77	+ 8 39 52
244	Dienst.	S. 1	10 41 23·2	9·08	+ 8 18 9	−54·5	15 53	—0 3·9	−0·78	+ 8 18 9

Wochentag und Datum		Sternzeit im mittleren Greenwich. Mittage	Mittlere Greenwicher Zeit. Mond. Obere Culmination	Stündliche Verzögerung	Halbmesser Mittag	Halbmesser Mitternacht	Horizontal-Parallaxe Mittag	Stündl. Aenderung	Horizontal-Parallaxe Mitternacht	Stündl. Aenderung	Alter Mittag
		h m s	h m	m	′ ″	′ ″	′ ″	″	′ ″	″	d
Samstag	1	8 39 13·9	22 17·8	2·24	15 19	15 15	56 8	−1·3	55 53	−1·2	26·3
Sonntag	2	8 43 10·4	23 10·9	2·16	15 11	15 8	55 39	−1·2	55 25	−1·1	27·3
Montag	3	8 47 7·0	*		15 4	15 1	55 12	−1·1	55 0	−1·0	28·3
Dienst.	4	8 51 3·5	0 1·3	2·04	14 58	14 55	54 49	−0·9	54 38	−0·8	29·3
Mittw.	5	8 55 0·1	0 48·7	1·91	14 52	14 50	54 29	−0·7	54 21	−0·6	0·8
Donner.	6	8 58 56·6	1 33·2	1·80	14 48	14 47	54 14	−0·5	54 8	−0·4	1·8
Freitag	7	9 2 53·2	2 15·1	1·71	14 46	14 45	54 4	−0·3	54 2	−0·1	2·8
Samstag	8	9 6 49·7	2 55·5	1·67	14 45	14 45	54 1	0·0	54 3	+0·2	3·8
Sonntag	9	9 10 46·3	3 35·1	1·66	14 46	14 48	54 6	+0·4	54 11	+0·6	4·8
Montag	10	9 14 42·9	4 15·0	1·69	14 50	14 52	54 19	+0·8	54 29	+1·0	5·8
Dienst.	11	9 18 39·4	4 56·3	1·77	14 56	15 0	54 42	+1·2	54 57	+1·4	6·8
Mittw.	12	9 22 36·0	5 40·1	1·90	15 5	15 10	55 14	+1·6	55 34	+1·7	7·8
Donner.	13	9 26 32·5	6 27·4	2·06	15 16	15 22	55 56	+1·9	56 20	+2·1	8·8
Freitag	14	9 30 29·1	7 19·1	2·25	15 29	15 37	56 45	+2·2	57 12	+2·3	9·8
Samstag	15	9 34 25·6	8 15·3	2·42	15 45	15 52	57 40	+2·4	58 9	+2·4	10·8
Sonntag	16	9 38 22·2	9 15·2	2·53	16 0	16 8	58 38	+2·4	59 6	+2·3	11·8
Montag	17	9 42 18·7	10 16·9	2·56	16 15	16 22	59 32	+2·1	59 57	+1·9	12·8
Dienst.	18	9 46 15·3	11 18·1	2·50	16 28	16 33	60 19	+1·7	60 37	+1·4	13·8
Mittw.	19	9 50 11·9	12 17·0	2·39	16 37	16 40	60 52	+1·1	61 2	+0·7	14·8
Donner.	20	9 54 8·4	13 12·8	2·27	16 41	16 42	61 8	+0·3	61 9	−0·1	15·8
Freitag	21	9 58 5·0	14 6·0	2·18	16 41	16 38	61 6	−0·5	60 58	−0·9	16·8
Samstag	22	10 2 1·5	14 57·4	2·13	16 35	16 31	60 46	−1·2	60 30	−1·4	17·8
Sonntag	23	10 5 58·1	15 48·1	2·12	16 26	16 20	60 11	−1·7	59 50	−1·8	18·8
Montag	24	10 9 54·6	16 39·2	2·15	16 14	16 7	59 27	−2·0	59 3	−2·1	19·8
Dienst.	25	10 13 51·2	17 31·4	2·20	16 0	15 54	58 38	−2·1	58 13	−2·1	20·8
Mittw.	26	10 17 47·7	18 25·0	2·25	15 47	15 40	57 49	−2·0	57 25	−2·0	21·8
Donner.	27	10 21 44·3	19 19·5	2·27	15 34	15 28	57 1	−1·9	56 39	−1·8	22·8
Freitag	28	10 25 40·8	20 14·0	2·24	15 22	15 17	56 19	−1·7	56 0	−1·6	23·8
Samstag	29	10 29 37·4	21 7·2	2·17	15 12	15 8	55 42	−1·4	55 25	−1·3	24·8
Sonntag	30	10 33 34·0	21 58·1	2·06	15 4	15 0	55 10	−1·2	54 57	−1·1	25·8
Montag	31	10 37 30·5	22 46·1	1·94	14 57	14 54	54 45	−1·0	54 34	−0·8	26·8
Dienst.	S. 1	10 41 27·1	23 31·1	1·82	14 51	14 49	54 25	−0·7	54 17	−0·6	27·8

Rectascension und Declination des Mondes.

Samstag 1.

Mittlere Green. Zeit	Rectascension	Aenderung in 10m	Declination + Nord	Aenderung in 10m
h	h m s	s	° ′ ″	″
0	6 8 21·0	23·60	+ 25 51 32	+ 20·1
1	6 10 42·6	23·60	+ 25 53 29	+ 18·7
2	6 13 4·2	23·60	+ 25 55 16	+ 17·2
3	6 15 25·8	23·59	+ 25 56 55	+ 15·8
4	6 17 47·3	23·58	+ 25 58 26	+ 14·3
5	6 20 8·8	23·58	+ 25 59 47	+ 12·9
6	6 22 30·3	23·57	+ 26 1 0	+ 11·4
7	6 24 51·7	23·56	+ 26 2 5	+ 10·0
8	6 27 13·0	23·55	+ 26 3 0	+ 8·5
9	6 29 34·3	23·54	+ 26 3 47	+ 7·1
10	6 31 55·5	23·53	+ 26 4 25	+ 5·7
11	6 34 16·6	23·52	+ 26 4 55	+ 4·2
12	6 36 37·7	23·50	+ 26 5 16	+ 2·8
13	6 38 58·7	23·49	+ 26 5 29	+ 1·4
14	6 41 19·6	23·47	+ 26 5 33	− 0·1
15	6 43 40·4	23·46	+ 26 5 28	− 1·5
16	6 46 1·1	23·44	+ 26 5 15	− 2·9
17	6 48 21·7	23·42	+ 26 4 53	− 4·3
18	6 50 42·2	23·40	+ 26 4 23	− 5·8
19	6 53 2·5	23·39	+ 26 3 44	− 7·2
20	6 55 22·8	23·37	+ 26 2 57	− 8·6
21	6 57 42·9	23·34	+ 26 2 1	− 10·0
22	7 0 2·9	23·32	+ 26 0 57	− 11·4
23	7 2 22·8	23·30	+ 25 59 45	− 12·8

Sonntag 2.

Mittlere Green. Zeit	Rectascension	Aenderung in 10m	Declination + Nord	Aenderung in 10m
0	7 4 42·5	23·28	+ 25 58 24	− 14·2
1	7 7 2·1	23·25	+ 25 56 55	− 15·6
2	7 9 21·5	23·23	+ 25 55 17	− 16·9
3	7 11 40·8	23·20	+ 25 53 31	− 18·3
4	7 13 59·9	23·17	+ 25 51 37	− 19·7
5	7 16 18·9	23·14	+ 25 49 35	− 21·1
6	7 18 37·7	23·12	+ 25 47 24	− 22·4
7	7 20 56·3	23·09	+ 25 45 6	− 23·8
8	7 23 14·7	23·05	+ 25 42 39	− 25·1
9	7 25 32·9	23·02	+ 25 40 4	− 26·5
10	7 27 51·0	22·99	+ 25 37 21	− 27·8
11	7 30 8·8	22·96	+ 25 34 30	− 29·2
12	7 32 26·5	22·93	+ 25 31 31	− 30·5
13	7 34 44·0	22·89	+ 25 28 24	− 31·8
14	7 37 1·2	22·86	+ 25 25 10	− 33·1
15	7 39 18·3	22·82	+ 25 21 47	− 34·4
16	7 41 35·1	22·79	+ 25 18 17	− 35·7
17	7 43 51·7	22·75	+ 25 14 38	− 37·0
18	7 46 8·1	22·71	+ 25 10 52	− 38·3
19	7 48 24·3	22·68	+ 25 6 59	− 39·6
20	7 50 40·2	22·64	+ 25 2 58	− 40·8
21	7 52 55·9	22·60	+ 24 58 49	− 42·1
22	7 55 11·4	22·56	+ 24 54 33	− 43·4
23	7 57 26·6	22·52	+ 24 50 9	− 44·6
24	7 59 41·6	22·48	+ 24 45 37	− 45·8

Montag 3.

Mittlere Green. Zeit	Rectascension	Aenderung in 10m	Declination + Nord	Aenderung in 10m
h	h m s	s	° ′ ″	″
0	7 59 41·6	22·48	+ 24 45 37	− 45·8
1	8 1 56·3	22·44	+ 24 40 59	− 47·1
2	8 4 10·8	22·39	+ 24 36 12	− 48·3
3	8 6 25·0	22·35	+ 24 31 19	− 49·5
4	8 8 39·0	22·31	+ 24 26 18	− 50·7
5	8 10 52·8	22·27	+ 24 21 11	− 51·9
6	8 13 6·2	22·22	+ 24 15 56	− 53·1
7	8 15 19·4	22·18	+ 24 10 33	− 54·3
8	8 17 32·3	22·13	+ 24 5 4	− 55·4
9	8 19 45·0	22·09	+ 23 59 28	− 56·6
10	8 21 57·4	22·04	+ 23 53 45	− 57·8
11	8 24 9·5	22·00	+ 23 47 55	− 58·9
12	8 26 21·4	21·95	+ 23 41 58	− 60·0
13	8 28 32·9	21·90	+ 23 35 55	− 61·2
14	8 30 44·2	21·86	+ 23 29 44	− 62·3
15	8 32 55·2	21·81	+ 23 23 27	− 63·4
16	8 35 6·0	21·76	+ 23 17 3	− 64·5
17	8 37 16·4	21·72	+ 23 10 33	− 65·6
18	8 39 26·5	21·67	+ 23 3 56	− 66·7
19	8 41 36·4	21·62	+ 22 57 13	− 67·7
20	8 43 46·0	21·57	+ 22 50 24	− 68·8
21	8 45 55·3	21·52	+ 22 43 28	− 69·8
22	8 48 4·3	21·48	+ 22 36 26	− 70·9
23	8 50 13·0	21·43	+ 22 29 17	− 71·9

Dienstag 4.

Mittlere Green. Zeit	Rectascension	Aenderung in 10m	Declination + Nord	Aenderung in 10m
0	8 52 21·4	21·38	+ 22 22 3	− 72·9
1	8 54 29·5	21·33	+ 22 14 42	− 73·9
2	8 56 37·3	21·28	+ 22 7 15	− 74·9
3	8 58 44·9	21·23	+ 21 59 43	− 75·9
4	9 0 52·1	21·18	+ 21 52 4	− 76·9
5	9 2 59·0	21·13	+ 21 44 20	− 77·9
6	9 5 5·7	21·08	+ 21 36 29	− 78·9
7	9 7 12·0	21·03	+ 21 28 33	− 79·8
8	9 9 18·1	20·98	+ 21 20 32	− 80·7
9	9 11 23·8	20·93	+ 21 12 24	− 81·7
10	9 13 29·3	20·88	+ 21 4 11	− 82·6
11	9 15 34·4	20·83	+ 20 55 53	− 83·5
12	9 17 39·3	20·78	+ 20 47 29	− 84·4
13	9 19 43·8	20·73	+ 20 39 0	− 85·3
14	9 21 48·1	20·69	+ 20 30 25	− 86·2
15	9 23 52·0	20·64	+ 20 21 45	− 87·1
16	9 25 55·7	20·59	+ 20 13 0	− 87·9
17	9 27 59·1	20·54	+ 20 4 10	− 88·8
18	9 30 2·2	20·49	+ 19 55 14	− 89·6
19	9 32 5·0	20·44	+ 19 46 14	− 90·5
20	9 34 7·5	20·39	+ 19 37 9	− 91·3
21	9 36 9·7	20·34	+ 19 27 58	− 92·1
22	9 38 11·6	20·29	+ 19 18 43	− 92·9
23	9 40 13·2	20·25	+ 19 9 23	− 93·7
24	9 42 14·5	20·20	+ 18 59 58	− 94·5

Rectascension und Declination des Mondes.

Mittwoch 5.

Mittlere Green. Zeit	Rectascension	Aenderung in 10m	Declination + Nord	Aenderung in 10m
h	h m s	s	° ′ ″	″
0	9 42 14·5	20·20	+ 18 59 58	− 94·5
1	9 44 15·6	20·15	+ 18 50 29	− 95·3
2	9 46 16·3	20·10	+ 18 40 55	− 96·1
3	9 48 16·8	20·06	+ 18 31 16	− 96·8
4	9 50 17·0	20·01	+ 18 21 33	− 97·6
5	9 52 16·9	19·96	+ 18 11 46	− 98·3
6	9 54 16·5	19·92	+ 18 1 54	− 99·0
7	9 56 15·9	19·87	+ 17 51 58	− 99·7
8	9 58 15·0	19·82	+ 17 41 57	− 100·5
9	10 0 13·8	19·78	+ 17 31 52	− 101·2
10	10 2 12·3	19·73	+ 17 21 43	− 101·8
11	10 4 10·6	19·69	+ 17 11 30	− 102·5
12	10 6 8·6	19·64	+ 17 1 13	− 103·2
13	10 8 6·3	19·60	+ 16 50 52	− 103·8
14	10 10 3·7	19·55	+ 16 40 27	− 104·5
15	10 12 0·9	19·51	+ 16 29 58	− 105·2
16	10 13 57·8	19·47	+ 16 19 25	− 105·8
17	10 15 54·5	19·42	+ 16 8 48	− 106·4
18	10 17 50·9	19·38	+ 15 58 8	− 107·0
19	10 19 47·1	19·34	+ 15 47 24	− 107·6
20	10 21 43·0	19·30	+ 15 36 36	− 108·2
21	10 23 38·6	19·25	+ 15 25 45	− 108·8
22	10 25 34·0	19·21	+ 15 14 50	− 109·4
23	10 27 29·2	19·17	+ 15 3 52	− 110·0

Donnerstag 6.

Mittlere Green. Zeit	Rectascension	Aenderung in 10m	Declination + Nord	Aenderung in 10m
0	10 29 24·1	19·13	+ 14 52 51	− 110·5
1	10 31 18·8	19·09	+ 14 41 46	− 111·1
2	10 33 13·2	19·05	+ 14 30 38	− 111·6
3	10 35 7·4	19·01	+ 14 19 27	− 112·2
4	10 37 1·4	18·98	+ 14 8 12	− 112·7
5	10 38 55·1	18·94	+ 13 56 55	− 113·2
6	10 40 48·6	18·90	+ 13 45 34	− 113·7
7	10 42 41·9	18·86	+ 13 34 10	− 114·2
8	10 44 35·0	18·83	+ 13 22 43	− 114·7
9	10 46 27·9	18·79	+ 13 11 14	− 115·2
10	10 48 20·5	18·76	+ 12 59 41	− 115·6
11	10 50 12·9	18·72	+ 12 48 6	− 116·1
12	10 52 5·2	18·69	+ 12 36 28	− 116·6
13	10 53 57·2	18·65	+ 12 24 47	− 117·0
14	10 55 49·0	18·62	+ 12 13 3	− 117·5
15	10 57 40·6	18·59	+ 12 1 17	− 117·9
16	10 59 32·0	18·55	+ 11 49 29	− 118·3
17	11 1 23·2	18·52	+ 11 37 37	− 118·7
18	11 3 14·3	18·49	+ 11 25 44	− 119·2
19	11 5 5·1	18·46	+ 11 13 47	− 119·6
20	11 6 55·8	18·43	+ 11 1 49	− 119·9
21	11 8 46·3	18·40	+ 10 49 48	− 120·3
22	11 10 36·6	18·37	+ 10 37 45	− 120·7
23	11 12 26·7	18·34	+ 10 25 40	− 121·1
24	11 14 16·6	18·31	+ 10 13 32	− 121·4

Freitag 7.

Mittlere Green. Zeit	Rectascension	Aenderung in 10m	Declination + Nord	Aenderung in 10m
h	h m s	s	° ′ ″	″
0	11 14 16·6	18·31	+ 10 13 32	− 121·4
1	11 16 6·4	18·28	+ 10 1 22	− 121·8
2	11 17 56·1	18·26	+ 9 49 10	− 122·1
3	11 19 45·5	18·23	+ 9 36 56	− 122·5
4	11 21 34·8	18·20	+ 9 24 41	− 122·8
5	11 23 24·0	18·18	+ 9 12 23	− 123·1
6	11 25 13·0	18·16	+ 9 0 3	− 123·4
7	11 27 1·9	18·13	+ 8 47 41	− 123·8
8	11 28 50·6	18·11	+ 8 35 18	− 124·1
9	11 30 39·2	18·08	+ 8 22 53	− 124·3
10	11 32 27·6	18·06	+ 8 10 26	− 124·6
11	11 34 15·9	18·04	+ 7 57 57	− 124·9
12	11 36 4·1	18·02	+ 7 45 27	− 125·2
13	11 37 52·1	18·00	+ 7 32 55	− 125·4
14	11 39 40·1	17·98	+ 7 20 22	− 125·7
15	11 41 27·9	17·96	+ 7 7 47	− 125·9
16	11 43 15·6	17·94	+ 6 55 10	− 126·2
17	11 45 3·2	17·92	+ 6 42 32	− 126·4
18	11 46 50·6	17·90	+ 6 29 53	− 126·7
19	11 48 38·0	17·89	+ 6 17 12	− 126·9
20	11 50 25·3	17·87	+ 6 4 30	− 127·1
21	11 52 12·5	17·86	+ 5 51 47	− 127·3
22	11 53 59·6	17·84	+ 5 39 3	− 127·5
23	11 55 46·6	17·83	+ 5 26 17	− 127·7

Samstag 8.

Mittlere Green. Zeit	Rectascension	Aenderung in 10m	Declination + Nord	Aenderung in 10m
0	11 57 33·5	17·81	+ 5 13 31	− 127·9
1	11 59 20·3	17·80	+ 5 0 43	− 128·1
2	12 1 7·1	17·79	+ 4 47 54	− 128·2
3	12 2 53·8	17·77	+ 4 35 4	− 128·4
4	12 4 40·4	17·76	+ 4 22 13	− 128·6
5	12 6 27·0	17·75	+ 4 9 21	− 128·7
6	12 8 13·5	17·74	+ 3 56 29	− 128·8
7	12 9 59·9	17·73	+ 3 43 35	− 129·0
8	12 11 46·3	17·73	+ 3 30 41	− 129·1
9	12 13 32·6	17·72	+ 3 17 46	− 129·2
10	12 15 18·9	17·71	+ 3 4 50	− 129·4
11	12 17 5·1	17·70	+ 2 51 53	− 129·5
12	12 18 51·3	17·70	+ 2 38 56	− 129·6
13	12 20 37·5	17·69	+ 2 25 58	− 129·7
14	12 22 23·7	17·69	+ 2 13 0	− 129·8
15	12 24 9·8	17·68	+ 2 0 1	− 129·9
16	12 25 55·9	17·68	+ 1 47 2	− 129·9
17	12 27 42·0	17·68	+ 1 34 2	− 130·0
18	12 29 28·0	17·68	+ 1 21 2	− 130·1
19	12 31 14·1	17·67	+ 1 8 1	− 130·1
20	12 33 0·1	17·67	+ 0 55 0	− 130·2
21	12 34 46·2	17·67	+ 0 41 59	− 130·2
22	12 36 32·2	17·67	+ 0 28 58	− 130·3
23	12 38 18·3	17·68	+ 0 15 56	− 130·3
24	12 40 4·3	17·68	+ 0 2 54	− 130·3

Rectascension und Declination des Mondes.

Mittlere Green. Zeit	Rectascension	Aenderung in 10m	Declination + Nord − Süd	Aenderung in 10m	Mittlere Green. Zeit	Rectascension	Aenderung in 10m	Declination − Süd	Aenderung in 10m
	Sonntag 9.					**Dienstag 11.**			
h	h m s	s	° ′ ″	″	h	h m s	s	° ′ ″	″
0	12 40 4·3	17·68	+ 0 2 54	−130·3	0	14 6 29·2	18·60	− 10 13 5	−123·7
1	12 41 50·4	17·68	− 0 10 8	−130·3	1	14 8 20·9	18·64	− 10 25 26	−123·3
2	12 43 36·5	17·68	− 0 23 10	−130·4	2	14 10 12·9	18·67	− 10 37 45	−123·0
3	12 45 22·6	17·69	− 0 36 12	−130·4	3	14 12 5·0	18·71	− 10 50 2	−122·7
4	12 47 8·8	17·69	− 0 49 15	−130·4	4	14 13 57·4	18·75	− 11 2 17	−122·3
5	12 48 55·0	17·70	− 1 2 17	−130·4	5	14 15 50·0	18·79	− 11 14 30	−122·0
6	12 50 41·2	17·70	− 1 15 19	−130·3	6	14 17 42·9	18·83	− 11 26 41	−121·6
7	12 52 27·4	17·71	− 1 28 21	−130·3	7	14 19 36·0	18·87	− 11 38 49	−121·3
8	12 54 13·7	17·72	− 1 41 23	−130·3	8	14 21 29·3	18·91	− 11 50 56	−120·9
9	12 56 0·0	17·73	− 1 54 25	−130·3	9	14 23 22·9	18·95	− 12 3 0	−120·5
10	12 57 46·4	17·74	− 2 7 26	−130·2	10	14 25 16·8	19·00	− 12 15 2	−120·1
11	12 59 32·9	17·75	− 2 20 27	−130·2	11	14 27 10·9	19·04	− 12 27 1	−119·7
12	13 1 19·4	17·76	− 2 33 28	−130·1	12	14 29 5·3	19·09	− 12 38 58	−119·3
13	13 3 6·0	17·77	− 2 46 29	−130·1	13	14 30 59·9	19·13	− 12 50 53	−118·9
14	13 4 52·6	17·78	− 2 59 29	−130·0	14	14 32 54·9	19·18	− 13 2 45	−118·5
15	13 6 39·3	17·79	− 3 12 29	−129·9	15	14 34 50·1	19·22	− 13 14 35	−118·0
16	13 8 26·1	17·80	− 3 25 28	−129·9	16	14 36 45·6	19·27	− 13 26 21	−117·6
17	13 10 13·0	17·82	− 3 38 27	−129·8	17	14 38 41·3	19·32	− 13 38 5	−117·1
18	13 11 59·9	17·83	− 3 51 26	−129·7	18	14 40 37·4	19·37	− 13 49 47	−116·6
19	13 13 47·0	17·85	− 4 4 24	−129·6	19	14 42 33·8	19·42	− 14 1 25	−116·2
20	13 15 34·1	17·86	− 4 17 21	−129·5	20	14 44 30·4	19·47	− 14 13 1	−115·7
21	13 17 21·3	17·88	− 4 30 17	−129·4	21	14 46 27·4	19·52	− 14 24 34	−115·2
22	13 19 8·7	17·90	− 4 43 13	−129·2	22	14 48 24·6	19·57	− 14 36 3	−114·7
23	13 20 56·1	17·92	− 4 56 8	−129·1	23	14 50 22·2	19·62	− 14 47 30	−114·2
	Montag 10.					**Mittwoch 12.**			
0	13 22 43·7	17·94	− 5 9 3	−129·0	0	14 52 20·1	19·67	− 14 58 54	−113·7
1	13 24 31·4	17·96	− 5 21 56	−128·8	1	14 54 18·3	19·73	− 15 10 14	−113·1
2	13 26 19·2	17·98	− 5 34 49	−128·7	2	14 56 16·8	19·78	− 15 21 31	−112·6
3	13 28 7·1	18·00	− 5 47 41	−128·5	3	14 58 15·6	19·83	− 15 32 45	−112·0
4	13 29 55·1	18·02	− 6 0 31	−128·4	4	15 0 14·8	19·89	− 15 43 56	−111·5
5	13 31 43·3	18·04	− 6 13 21	−128·2	5	15 2 14·3	19·95	− 15 55 3	−110·9
6	13 33 31·6	18·06	− 6 26 10	−128·0	6	15 4 14·1	20·00	− 16 6 6	−110·3
7	13 35 20·0	18·09	− 6 38 58	−127·9	7	15 6 14·3	20·06	− 16 17 6	−109·7
8	13 37 8·6	18·11	− 6 51 45	−127·7	8	15 8 14·9	20·12	− 16 28 3	−109·1
9	13 38 57·3	18·14	− 7 4 30	−127·5	9	15 10 15·7	20·17	− 16 38 56	−108·5
10	13 40 46·2	18·16	− 7 17 14	−127·3	10	15 12 17·0	20·23	− 16 49 45	−107·9
11	13 42 35·3	18·19	− 7 29 57	−127·1	11	15 14 18·6	20·29	− 17 0 30	−107·2
12	13 44 24·5	18·22	− 7 42 39	−126·9	12	15 16 20·5	20·35	− 17 11 12	−106·6
13	13 46 13·9	18·24	− 7 55 20	−126·6	13	15 18 22·8	20·41	− 17 21 49	−105·9
14	13 48 3·4	18·27	− 8 7 59	−126·4	14	15 20 25·5	20·47	− 17 32 23	−105·2
15	13 49 53·1	18·30	− 8 20 37	−126·2	15	15 22 28·5	20·54	− 17 42 52	−104·6
16	13 51 43·0	18·33	− 8 33 13	−125·9	16	15 24 31·9	20·60	− 17 53 18	−103·9
17	13 53 33·1	18·36	− 8 45 48	−125·7	17	15 26 35·7	20·66	− 18 3 39	−103·2
18	13 55 23·4	18·39	− 8 58 21	−125·4	18	15 28 39·9	20·72	− 18 13 56	−102·4
19	13 57 13·9	18·43	− 9 10 52	−125·1	19	15 30 44·4	20·79	− 18 24 8	−101·7
20	13 59 4·5	18·46	− 9 23 22	−124·8	20	15 32 49·3	20·85	− 18 34 17	−101·0
21	14 0 55·4	18·49	− 9 35 50	−124·6	21	15 34 54·6	20·92	− 18 44 20	−100·2
22	14 2 46·5	18·53	− 9 48 17	−124·3	22	15 37 0·3	20·98	− 18 54 19	− 99·5
23	14 4 37·7	18·56	− 10 0 42	−124·0	23	15 39 6·4	21·05	− 19 4 14	− 98·7
24	14 6 29·2	18·60	− 10 13 5	−123·7	24	15 41 12·9	21·11	− 19 14 4	− 97·9

Rectascension und Declination des Mondes.

Mittlere Green. Zeit	Rectascension	Aenderung in 10m	Declination – Süd	Aenderung in 10m	Mittlere Green. Zeit	Rectascension	Aenderung in 10m	Declination – Süd	Aenderung in 10m
	Donnerstag 13.					**Samstag 15.**			
h	h m s	s	° ′ ″	″	h	h m s	s	° ′ ″	″
0	15 41 12·9	21·11	— 19 14 4	−97·9	0	17 30 39·4	24·48	— 25 8 8	−44·3
1	15 43 19·8	21·18	— 19 23 49	−97·1	1	17 33 6·4	24·54	— 25 12 30	−42·9
2	15 45 27·1	21·25	— 19 33 29	−96·3	2	17 35 33·9	24·60	— 25 16 43	−41·4
3	15 47 34·8	21·32	— 19 43 4	−95·5	3	17 38 1·7	24·67	— 25 20 47	−39·9
4	15 49 42·9	21·38	— 19 52 35	−94·6	4	17 40 29·9	24·73	— 25 24 43	−38·5
5	15 51 51·4	21·45	— 20 2 0	−93·8	5	17 42 58·5	24·79	— 25 28 29	−36·9
6	15 54 0·3	21·52	— 20 11 20	−92·9	6	17 45 27·4	24·85	— 25 32 6	−35·4
7	15 56 9·7	21·59	— 20 20 35	−92·0	7	17 47 56·7	24·91	— 25 35 34	−33·9
8	15 58 19·4	21·66	— 20 29 44	−91·1	8	17 50 26·3	24·97	— 25 38 53	−32·4
9	16 0 29·6	21·73	— 20 38 49	−90·2	9	17 52 56·3	25·03	— 25 42 2	−30·8
10	16 2 40·2	21·80	— 20 47 47	−89·3	10	17 55 26·7	25·09	— 25 45 3	−29·2
11	16 4 51·2	21·87	— 20 56 41	−88·4	11	17 57 57·4	25·14	— 25 47 53	−27·7
12	16 7 2·6	21·94	— 21 5 28	−87·4	12	18 0 28·4	25·20	— 25 50 35	−26·1
13	16 9 14·5	22·01	— 21 14 10	−86·5	13	18 2 59·8	25·25	— 25 53 6	−24·5
14	16 11 26·8	22·08	— 21 22 46	−85·5	14	18 5 31·5	25·31	— 25 55 28	−22·9
15	16 13 39·5	22·15	— 21 31 16	−84·6	15	18 8 3·5	25·36	— 25 57 41	−21·2
16	16 15 52·6	22·22	— 21 39 41	−83·6	16	18 10 35·8	25·41	— 25 59 43	−19·6
17	16 18 6·2	22·30	— 21 47 59	−82·5	17	18 13 8·4	25·46	— 26 1 36	−18·0
18	16 20 20·2	22·37	— 21 56 11	−81·5	18	18 15 41·3	25·51	— 26 3 19	−16·3
19	16 22 34·6	22·44	— 22 4 17	−80·5	19	18 18 14·5	25·56	— 26 4 51	−14·6
20	16 24 49·4	22·51	— 22 12 17	−79·4	20	18 20 48·0	25·60	— 26 6 14	−13·0
21	16 27 4·7	22·58	— 22 20 11	−78·4	21	18 23 21·8	25·65	— 26 7 27	−11·3
22	16 29 20·5	22·66	— 22 27 58	−77·3	22	18 25 55·8	25·69	— 26 8 30	− 9·6
23	16 31 36·6	22·73	— 22 35 38	−76·2	23	18 28 30·1	25·74	— 26 9 22	− 7·9
	Freitag 14.					**Sonntag 16.**			
0	16 33 53·2	22·80	— 22 43 12	−75·1	0	18 31 4·6	25·78	— 26 10 4	− 6·2
1	16 36 10·2	22·87	— 22 50 39	−74·0	1	18 33 39·4	25·82	— 26 10 36	− 4·4
2	16 38 27·7	22·95	— 22 58 0	−72·8	2	18 36 14·5	25·86	— 26 10 58	− 2·7
3	16 40 45·6	23·02	— 23 5 13	−71·7	3	18 38 49·7	25·89	— 26 11 9	− 1·0
4	16 43 3·9	23·09	— 23 12 20	−70·5	4	18 41 25·2	25·93	— 26 11 9	+ 0·8
5	16 45 22·6	23·16	— 23 19 20	−69·4	5	18 44 0·9	25·97	— 26 11 0	+ 2·5
6	16 47 41·8	23·23	— 23 26 12	−68·2	6	18 46 36·8	26·00	— 26 10 39	+ 4·3
7	16 50 1·4	23·30	— 23 32 58	−67·0	7	18 49 12·9	26·03	— 26 10 8	+ 6·0
8	16 52 21·5	23·38	— 23 39 36	−65·7	8	18 51 49·2	26·06	— 26 9 27	+ 7·8
9	16 54 42·0	23·45	— 23 46 7	−64·5	9	18 54 25·7	26·09	— 26 8 35	+ 9·6
10	16 57 2·9	23·52	— 23 52 30	−63·3	10	18 57 2·3	26·12	— 26 7 32	+11·3
11	16 59 24·2	23·59	— 23 58 46	−62·0	11	18 59 39·1	26·15	— 26 6 19	+13·1
12	17 1 45·9	23·66	— 24 4 54	−60·7	12	19 2 16·1	26·17	— 26 4 54	+14·9
13	17 4 8·1	23·73	— 24 10 54	−59·4	13	19 4 53·2	26·20	— 26 3 19	+16·7
14	17 6 30·7	23·80	— 24 16 47	−58·1	14	19 7 30·4	26·22	— 26 1 33	+18·5
15	17 8 53·7	23·87	— 24 22 32	−56·8	15	19 10 7·8	26·24	— 25 59 37	+20·3
16	17 11 17·2	23·94	— 24 28 9	−55·5	16	19 12 45·3	26·26	— 25 57 29	+22·1
17	17 13 41·0	24·01	— 24 33 38	−54·1	17	19 15 22·9	26·28	— 25 55 11	+23·9
18	17 16 5·3	24·08	— 24 38 59	−52·8	18	19 18 0·6	26·29	— 25 52 42	+25·8
19	17 18 30·0	24·15	— 24 44 11	−51·4	19	19 20 38·4	26·31	— 25 50 2	+27·6
20	17 20 55·1	24·21	— 24 49 15	−50·0	20	19 23 16·3	26·32	— 25 47 11	+29·4
21	17 23 20·5	24·28	— 24 54 11	−48·6	21	19 25 54·2	26·33	— 25 44 9	+31·2
22	17 25 46·4	24·35	— 24 58 59	−47·2	22.	19 28 32·3	26·34	— 25 40 56	+33·0
23	17 28 12·7	24·41	— 25 3 38	−45·8	23	19 31 10·4	26·35	— 25 37 33	+34·8
24	17 30 39·4	24·48	— 25 8 8	−44·3	24	19 33 48·5	26·36	— 25 33 58	+36·7

Rectascension und Declination des Mondes.

Columns: Mittlere Green. Zeit | Rectascension | Aenderung in 10ᵐ | Declination — Süd | Aenderung in 10ᵐ

Montag 17.

h	h	m	s	s	°	′	″	″
0	19	33	48·5	26·36	— 25	33	58	+ 36·7
1	19	36	26·6	26·36	— 25	30	13	+ 38·5
2	19	39	4·8	26·37	— 25	26	16	+ 40·3
3	19	41	43·1	26·37	— 25	22	9	+ 42·1
4	19	44	21·3	26·37	— 25	17	51	+ 43·9
5	19	46	59·5	26·37	— 25	13	21	+ 45·8
6	19	49	37·7	26·37	— 25	8	41	+ 47·6
7	19	52	16·0	26·37	— 25	3	50	+ 49·4
8	19	54	54·1	26·36	— 24	58	49	+ 51·2
9	19	57	32·3	26·35	— 24	53	36	+ 53·0
10	20	0	10·4	26·35	— 24	48	13	+ 54·8
11	20	2	48·5	26·34	— 24	42	39	+ 56·6
12	20	5	26·5	26·33	— 24	36	54	+ 58·4
13	20	8	4·4	26·32	— 24	30	58	+ 60·2
14	20	10	42·3	26·30	— 24	24	52	+ 61·9
15	20	13	20·0	26·29	— 24	18	35	+ 63·7
16	20	15	57·7	26·27	— 24	12	7	+ 65·5
17	20	18	35·3	26·26	— 24	5	29	+ 67·3
18	20	21	12·8	26·24	— 23	58	40	+ 69·0
19	20	23	50·2	26·22	— 23	51	41	+ 70·7
20	20	26	27·4	26·20	— 23	44	31	+ 72·5
21	20	29	4·5	26·17	— 23	37	11	+ 74·2
22	20	31	41·5	26·15	— 23	29	40	+ 75·9
23	20	34	18·4	26·13	— 23	21	59	+ 77·6

Dienstag 18.

h	h	m	s	s	°	′	″	″
0	20	36	55·1	26·10	— 23	14	8	+ 79·4
1	20	39	31·6	26·07	— 23	6	7	+ 81·1
2	20	42	8·0	26·05	— 22	57	55	+ 82·7
3	20	44	44·2	26·02	— 22	49	34	+ 84·4
4	20	47	20·2	25·99	— 22	41	3	+ 86·1
5	20	49	56·0	25·96	— 22	32	21	+ 87·7
6	20	52	31·7	25·93	— 22	23	30	+ 89·4
7	20	55	7·1	25·89	— 22	14	29	+ 91·0
8	20	57	42·4	25·86	— 22	5	18	+ 92·6
9	21	0	17·4	25·82	— 21	55	57	+ 94·2
10	21	2	52·3	25·79	— 21	46	27	+ 95·8
11	21	5	26·9	25·75	— 21	36	48	+ 97·4
12	21	8	1·3	25·71	— 21	26	59	+ 98·9
13	21	10	35·5	25·68	— 21	17	1	+ 100·5
14	21	13	9·4	25·64	— 21	6	53	+ 102·0
15	21	15	43·1	25·60	— 20	56	36	+ 103·5
16	21	18	16·6	25·56	— 20	46	11	+ 105·0
17	21	20	49·8	25·52	— 20	35	36	+ 106·5
18	21	23	22·8	25·47	— 20	24	52	+ 108·0
19	21	25	55·5	25·43	— 20	14	0	+ 109·5
20	21	28	28·0	25·39	— 20	2	59	+ 110·9
21	21	31	0·2	25·35	— 19	51	49	+ 112·3
22	21	33	32·1	25·30	— 19	40	30	+ 113·8
23	21	36	3·8	25·26	— 19	29	4	+ 115·1
24	21	38	35·2	25·21	— 19	17	29	+ 116·5

Mittwoch 19.

h	h	m	s	s	°	′	″	″
0	21	38	35·2	25·21	— 19	17	29	+ 116·5
1	21	41	6·4	25·17	— 19	5	45	+ 117·9
2	21	43	37·2	25·12	— 18	53	54	+ 119·2
3	21	46	7·8	25·08	— 18	41	54	+ 120·6
4	21	48	38·1	25·03	— 18	29	47	+ 121·9
5	21	51	8·2	24·98	— 18	17	32	+ 123·2
6	21	53	38·0	24·94	— 18	5	9	+ 124·4
7	21	56	7·4	24·89	— 17	52	39	+ 125·7
8	21	58	36·6	24·84	— 17	40	1	+ 126·9
9	22	1	5·5	24·79	— 17	27	15	+ 128·1
10	22	3	34·1	24·75	— 17	14	23	+ 129·3
11	22	6	2·5	24·70	— 17	1	23	+ 130·5
12	22	8	30·5	24·65	— 16	48	16	+ 131·7
13	22	10	58·3	24·60	— 16	35	3	+ 132·8
14	22	13	25·8	24·55	— 16	21	42	+ 134·0
15	22	15	52·9	24·51	— 16	8	15	+ 135·1
16	22	18	19·8	24·46	— 15	54	41	+ 136·2
17	22	20	46·4	24·41	— 15	41	1	+ 137·2
18	22	23	12·7	24·36	— 15	27	15	+ 138·3
19	22	25	38·8	24·31	— 15	13	22	+ 139·3
20	22	28	4·5	24·27	— 14	59	23	+ 140·3
21	22	30	29·9	24·22	— 14	45	18	+ 141·3
22	22	32	55·1	24·17	— 14	31	8	+ 142·3
23	22	35	20·0	24·12	— 14	16	51	+ 143·2

Donnerstag 20.

h	h	m	s	s	°	′	″	″
0	22	37	44·6	24·07	— 14	2	29	+ 144·1
1	22	40	8·9	24·03	— 13	48	2	+ 145·0
2	22	42	32·9	23·98	— 13	33	29	+ 145·9
3	22	44	56·7	23·93	— 13	18	51	+ 146·8
4	22	47	20·1	23·89	— 13	4	7	+ 147·6
5	22	49	43·3	23·84	— 12	49	19	+ 148·5
6	22	52	6·2	23·80	— 12	34	26	+ 149·3
7	22	54	28·9	23·75	— 12	19	28	+ 150·1
8	22	56	51·2	23·70	— 12	4	25	+ 150·8
9	22	59	13·3	23·66	— 11	49	18	+ 151·6
10	23	1	35·2	23·62	— 11	34	6	+ 152·3
11	23	3	56·7	23·57	— 11	18	51	+ 153·0
12	23	6	18·0	23·53	— 11	3	31	+ 153·7
13	23	8	39·1	23·48	— 10	48	7	+ 154·3
14	23	10	59·8	23·44	— 10	32	39	+ 155·0
15	23	13	20·4	23·40	— 10	17	7	+ 155·6
16	23	15	40·7	23·36	— 10	1	32	+ 156·2
17	23	18	0·7	23·32	— 9	45	53	+ 156·8
18	23	20	20·5	23·28	— 9	30	10	+ 157·3
19	23	22	40·0	23·24	— 9	14	25	+ 157·9
20	23	24	59·3	23·20	— 8	58	36	+ 158·4
21	23	27	18·4	23·16	— 8	42	44	+ 158·9
22	23	29	37·2	23·12	— 8	26	49	+ 159·4
23	23	31	55·8	23·08	— 8	10	52	+ 159·8
24	23	34	14·1	23·04	— 7	54	51	+ 160·3

Rectascension und Declination des Mondes.

Mittlere Green. Zeit	Rectascension	Aenderung in 10ᵐ	Declination — Sud + Nord	Aenderung in 10ᵐ	Mittlere Green. Zeit	Rectascension	Aenderung in 10ᵐ	Declination + Nord	Aenderung in 10ᵐ
	Freitag 21.					**Sonntag 23.**			
h	h m s	s	° ′ ″	″	h	h m s	s	° ′ ″	″
0	23 34 14·1	23·04	— 7 54 51	+ 160·3	0	1 21 47·4	22·04	+ 5 8 13	+ 159·1
1	23 36 32·3	23·01	— 7 38 48	+ 160·7	1	1 23 59·6	22·04	+ 5 24 6	+ 158·6
2	23 38 50·2	22·97	— 7 22 43	+ 161·1	2	1 26 11·9	22·04	+ 5 39 56	+ 158·2
3	23 41 7·9	22·93	— 7 6 36	+ 161·4	3	1 28 24·1	22·04	+ 5 55 43	+ 157·7
4	23 43 25·4	22·90	— 6 50 26	+ 161·8	4	1 30 36·3	22·04	+ 6 11 28	+ 157·2
5	23 45 42·7	22·86	— 6 34 14	+ 162·1	5	1 32 48·5	22·03	+ 6 27 9	+ 156·7
6	23 47 59·8	22·83	— 6 18 0	+ 162·5	6	1 35 0·7	22·03	+ 6 42 48	+ 156·1
7	23 50 16·7	22·80	— 6 1 44	+ 162·8	7	1 37 12·9	22·04	+ 6 58 23	+ 155·6
8	23 52 33·4	22·76	— 5 45 27	+ 163·0	8	1 39 25·2	22·04	+ 7 13 55	+ 155·1
9	23 54 49·9	22·73	— 5 29 8	+ 163·3	9	1 41 37·4	22·04	+ 7 29 24	+ 154·5
10	23 57 6·2	22·70	— 5 12 47	+ 163·5	10	1 43 49·6	22·04	+ 7 44 49	+ 153·9
11	23 59 22·3	22·67	— 4 56 25	+ 163·7	11	1 46 1·9	22·04	+ 8 0 11	+ 153·3
12	0 1 38·2	22·64	— 4 40 2	+ 163·9	12	1 48 14·2	22·05	+ 8 15 29	+ 152·7
13	0 3 54·0	22·61	— 4 23 38	+ 164·1	13	1 50 26·5	22·05	+ 8 30 43	+ 152·1
14	0 6 9·6	22·58	— 4 7 13	+ 164·3	14	1 52 38·8	22·06	+ 8 45 54	+ 151·4
15	0 8 25·0	22·56	— 3 50 46	+ 164·4	15	1 54 51·2	22·06	+ 9 1 1	+ 150·8
16	0 10 40·3	22·53	— 3 34 19	+ 164·6	16	1 57 3·6	22·07	+ 9 16 4	+ 150·1
17	0 12 55·4	22·50	— 3 17 51	+ 164·7	17	1 59 16·0	22·08	+ 9 31 2	+ 149·4
18	0 15 10·3	22·48	— 3 1 23	+ 164·7	18	2 1 28·5	22·08	+ 9 45 57	+ 148·7
19	0 17 25·1	22·45	— 2 44 54	+ 164·8	19	2 3 41·0	22·09	+ 10 0 47	+ 148·0
20	0 19 39·7	22·43	— 2 28 25	+ 164·9	20	2 5 53·6	22·10	+ 10 15 33	+ 147·3
21	0 21 54·2	22·40	— 2 11 56	+ 164·9	21	2 8 6·2	22·11	+ 10 30 15	+ 146·6
22	0 24 8·6	22·38	— 1 55 27	+ 164·9	22	2 10 18·9	22·12	+ 10 44 52	+ 145·8
23	0 26 22·8	22·36	— 1 38 57	+ 164·9	23	2 12 31·7	22·13	+ 10 59 25	+ 145·1
	Samstag 22.					**Montag 24.**			
0	0 28 36·9	22·34	— 1 22 28	+ 164·9	0	2 14 44·5	22·14	+ 11 13 54	+ 144·3
1	0 30 50·9	22·32	— 1 5 59	+ 164·8	1	2 16 57·4	22·15	+ 11 28 17	+ 143·5
2	0 33 4·7	22·30	— 0 49 30	+ 164·8	2	2 19 10·3	22·16	+ 11 42 36	+ 142·7
3	0 35 18·4	22·28	— 0 33 1	+ 164·7	3	2 21 23·4	22·18	+ 11 56 50	+ 141·9
4	0 37 32·0	22·26	— 0 16 33	+ 164·6	4	2 23 36·5	22·19	+ 12 10 59	+ 141·1
5	0 39 45·6	22·24	— 0 0 6	+ 164·5	5	2 25 49·6	22·20	+ 12 25 3	+ 140·3
6	0 41 59·0	22·22	+ 0 16 20	+ 164·3	6	2 28 2·9	22·22	+ 12 39 2	+ 139·4
7	0 44 12·3	22·21	+ 0 32 46	+ 164·2	7	2 30 16·2	22·23	+ 12 52 56	+ 138·5
8	0 46 25·5	22·19	+ 0 49 11	+ 164·0	8	2 32 29·7	22·25	+ 13 6 45	+ 137·7
9	0 48 38·6	22·18	+ 1 5 34	+ 163·8	9	2 34 43·2	22·26	+ 13 20 28	+ 136·8
10	0 50 51·6	22·16	+ 1 21 57	+ 163·6	10	2 36 56·8	22·28	+ 13 34 6	+ 135·9
11	0 53 4·6	22·15	+ 1 38 18	+ 163·4	11	2 39 10·5	22·29	+ 13 47 39	+ 135·0
12	0 55 17·4	22·14	+ 1 54 38	+ 163·2	12	2 41 24·3	22·31	+ 14 1 6	+ 134·1
13	0 57 30·2	22·13	+ 2 10 56	+ 162·9	13	2 43 38·3	22·33	+ 14 14 28	+ 133·1
14	0 59 43·0	22·12	+ 2 27 13	+ 162·7	14	2 45 52·3	22·34	+ 14 27 44	+ 132·2
15	1 1 55·6	22·10	+ 2 43 28	+ 162·4	15	2 48 6·4	22·36	+ 14 40 54	+ 131·2
16	1 4 8·2	22·10	+ 2 59 41	+ 162·1	16	2 50 20·6	22·38	+ 14 53 59	+ 130·3
17	1 6 20·8	22·09	+ 3 15 53	+ 161·7	17	2 52 34·9	22·40	+ 15 6 57	+ 129·3
18	1 8 33·3	22·08	+ 3 32 2	+ 161·4	18	2 54 49·4	22·42	+ 15 19 50	+ 128·3
19	1 10 45·7	22·07	+ 3 48 10	+ 161·1	19	2 57 3·9	22·43	+ 15 32 37	+ 127·3
20	1 12 58·1	22·06	+ 4 4 15	+ 160·7	20	2 59 18·6	22·45	+ 15 45 18	+ 126·3
21	1 15 10·5	22·06	+ 4 20 18	+ 160·3	21	3 1 33·4	22·47	+ 15 57 53	+ 125·3
22	1 17 22·8	22·05	+ 4 36 19	+ 159·9	22	3 3 48·3	22·49	+ 16 10 22	+ 124·3
23	1 19 35·1	22·05	+ 4 52 17	+ 159·5	23	3 6 3·3	22·51	+ 16 22 44	+ 123·2
24	1 21 47·4	22·04	+ 5 8 13	+ 159·1	24	3 8 18·4	22·53	+ 16 35 0	+ 122·2

Rectascension und Declination des Mondes.

Dienstag 25.

Mittlere Green. Zeit	Rectascension	Aenderung in 10m	Declination + Nord	Aenderung in 10m
h	h m s	s	° ′ ″	″
0	3 8 18.4	22.53	+ 16 35 0	+ 122.2
1	3 10 33.7	22.55	+ 16 47 10	+ 121.1
2	3 12 49.1	22.57	+ 16 59 13	+ 120.0
3	3 15 4.6	22.60	+ 17 11 10	+ 119.0
4	3 17 20.2	22.62	+ 17 23 1	+ 117.9
5	3 19 36.0	22.64	+ 17 34 45	+ 116.8
6	3 21 51.9	22.66	+ 17 46 22	+ 115.6
7	3 24 7.9	22.68	+ 17 57 52	+ 114.5
8	3 26 24.0	22.70	+ 18 9 16	+ 113.4
9	3 28 40.3	22.72	+ 18 20 33	+ 112.3
10	3 30 56.7	22.74	+ 18 31 43	+ 111.1
11	3 33 13.2	22.77	+ 18 42 46	+ 109.9
12	3 35 29.9	22.79	+ 18 53 43	+ 108.8
13	3 37 46.7	22.81	+ 19 4 32	+ 107.6
14	3 40 3.6	22.83	+ 19 15 14	+ 106.4
15	3 42 20.7	22.85	+ 19 25 49	+ 105.2
16	3 44 37.9	22.88	+ 19 36 17	+ 104.0
17	3 46 55.2	22.90	+ 19 46 37	+ 102.8
18	3 49 12.7	22.92	+ 19 56 50	+ 101.6
19	3 51 30.3	22.94	+ 20 6 56	+ 100.4
20	3 53 48.0	22.96	+ 20 16 55	+ 99.1
21	3 56 5.8	22.99	+ 20 26 46	+ 97.9
22	3 58 23.8	23.01	+ 20 36 29	+ 96.6
23	4 0 41.9	23.03	+ 20 46 5	+ 95.4

Mittwoch 26.

Mittlere Green. Zeit	Rectascension	Aenderung in 10m	Declination + Nord	Aenderung in 10m
0	4 3 0.1	23.05	+ 20 55 34	+ 94.1
1	4 5 18.5	23.07	+ 21 4 55	+ 92.8
2	4 7 37.0	23.09	+ 21 14 8	+ 91.5
3	4 9 55.6	23.11	+ 21 23 13	+ 90.3
4	4 12 14.4	23.13	+ 21 32 11	+ 89.0
5	4 14 33.2	23.15	+ 21 41 1	+ 87.7
6	4 16 52.2	23.17	+ 21 49 43	+ 86.4
7	4 19 11.3	23.19	+ 21 58 17	+ 85.0
8	4 21 30.5	23.21	+ 22 6 44	+ 83.7
9	4 23 49.9	23.23	+ 22 15 2	+ 82.4
10	4 26 9.3	23.25	+ 22 23 12	+ 81.1
11	4 28 28.9	23.27	+ 22 31 15	+ 79.7
12	4 30 48.6	23.29	+ 22 39 9	+ 78.4
13	4 33 8.3	23.31	+ 22 46 55	+ 77.0
14	4 35 28.2	23.32	+ 22 54 33	+ 75.7
15	4 37 48.2	23.34	+ 23 2 3	+ 74.3
16	4 40 8.3	23.36	+ 23 9 25	+ 72.9
17	4 42 28.5	23.37	+ 23 16 38	+ 71.5
18	4 44 48.8	23.39	+ 23 23 43	+ 70.2
19	4 47 9.2	23.40	+ 23 30 40	+ 68.8
20	4 49 29.7	23.42	+ 23 37 28	+ 67.4
21	4 51 50.2	23.43	+ 23 44 9	+ 66.0
22	4 54 10.9	23.45	+ 23 50 41	+ 64.6
23	4 56 31.6	23.46	+ 23 57 4	+ 63.2
24	4 58 52.4	23.47	+ 24 3 19	+ 61.8

Donnerstag 27.

Mittlere Green. Zeit	Rectascension	Aenderung in 10m	Declination + Nord	Aenderung in 10m
h	h m s	s	° ′ ″	″
0	4 58 52.4	23.47	+ 24 3 19	+ 61.8
1	5 1 13.3	23.49	+ 24 9 25	+ 60.4
2	5 3 34.3	23.50	+ 24 15 23	+ 59.0
3	5 5 55.3	23.51	+ 24 21 13	+ 57.5
4	5 8 16.4	23.52	+ 24 26 54	+ 56.1
5	5 10 37.6	23.53	+ 24 32 26	+ 54.7
6	5 12 58.8	23.54	+ 24 37 50	+ 53.3
7	5 15 20.0	23.55	+ 24 43 5	+ 51.8
8	5 17 41.4	23.56	+ 24 48 12	+ 50.4
9	5 20 2.7	23.56	+ 24 53 10	+ 49.0
10	5 22 24.1	23.57	+ 24 58 0	+ 47.5
11	5 24 45.6	23.58	+ 25 2 40	+ 46.1
12	5 27 7.1	23.58	+ 25 7 12	+ 44.6
13	5 29 28.6	23.59	+ 25 11 36	+ 43.2
14	5 31 50.1	23.59	+ 25 15 51	+ 41.7
15	5 34 11.7	23.60	+ 25 19 57	+ 40.3
16	5 36 33.3	23.60	+ 25 23 54	+ 38.8
17	5 38 54.9	23.60	+ 25 27 43	+ 37.4
18	5 41 16.5	23.60	+ 25 31 23	+ 35.9
19	5 43 38.1	23.60	+ 25 34 54	+ 34.5
20	5 45 59.7	23.60	+ 25 38 17	+ 33.0
21	5 48 21.3	23.60	+ 25 41 30	+ 31.6
22	5 50 42.9	23.60	+ 25 44 35	+ 30.1
23	5 53 4.5	23.60	+ 25 47 32	+ 28.7

Freitag 28.

Mittlere Green. Zeit	Rectascension	Aenderung in 10m	Declination + Nord	Aenderung in 10m
0	5 55 26.1	23.59	+ 25 50 19	+ 27.2
1	5 57 47.6	23.59	+ 25 52 58	+ 25.7
2	6 0 9.2	23.58	+ 25 55 28	+ 24.3
3	6 2 30.6	23.58	+ 25 57 50	+ 22.8
4	6 4 52.1	23.57	+ 26 0 2	+ 21.4
5	6 7 13.5	23.56	+ 26 2 6	+ 19.9
6	6 9 34.9	23.56	+ 26 4 1	+ 18.5
7	6 11 56.2	23.55	+ 26 5 48	+ 17.0
8	6 14 17.4	23.54	+ 26 7 26	+ 15.6
9	6 16 38.6	23.53	+ 26 8 55	+ 14.1
10	6 18 59.7	23.52	+ 26 10 15	+ 12.7
11	6 21 20.8	23.50	+ 26 11 27	+ 11.2
12	6 23 41.8	23.49	+ 26 12 30	+ 9.8
13	6 26 2.7	23.48	+ 26 13 25	+ 8.3
14	6 28 23.5	23.46	+ 26 14 10	+ 6.9
15	6 30 44.2	23.45	+ 26 14 48	+ 5.5
16	6 33 4.9	23.43	+ 26 15 16	+ 4.0
17	6 35 25.4	23.41	+ 26 15 36	+ 2.6
18	6 37 45.8	23.39	+ 26 15 47	+ 1.2
19	6 40 6.1	23.38	+ 26 15 50	− 0.2
20	6 42 26.3	23.36	+ 26 15 45	− 1.7
21	6 44 46.4	23.34	+ 26 15 31	− 3.1
22	6 47 6.4	23.32	+ 26 15 8	− 4.5
23	6 49 26.2	23.29	+ 26 14 37	− 5.9
24	6 51 45.9	23.27	+ 26 13 57	− 7.3

Rectascension und Declination des Mondes.

Mittlere Green. Zeit	Rectascension	Aenderung in 10m	Declination + Nord	Aenderung in 10m
	Samstag 29.			
h	h m s	s	° ′ ″	″
0	6 51 45·9	23·27	+ 26 13 57	− 7·3
1	6 54 5·5	23·25	+ 26 13 9	− 8·7
2	6 56 24·9	23·22	+ 26 12 13	− 10·1
3	6 58 44·2	23·20	+ 26 11 8	− 11·5
4	7 1 3·3	23·17	+ 26 9 55	− 12·9
5	7 3 22·3	23·15	+ 26 8 34	− 14·2
6	7 5 41·1	23·12	+ 26 7 4	− 15·6
7	7 7 59·7	23·09	+ 26 5 26	− 17·0
8	7 10 18·2	23·06	+ 26 3 40	− 18·4
9	7 12 36·5	23·04	+ 26 1 46	− 19·7
10	7 14 54·6	23·01	+ 25 59 43	− 21·1
11	7 17 12·6	22·98	+ 25 57 33	− 22·4
12	7 19 30·3	22·94	+ 25 55 14	− 23·8
13	7 21 47·9	22·91	+ 25 52 47	− 25·1
14	7 24 5·3	22·88	+ 25 50 12	− 26·4
15	7 26 22·5	22·85	+ 25 47 30	− 27·8
16	7 28 39·5	22·81	+ 25 44 39	− 29·1
17	7 30 56·2	22·78	+ 25 41 41	− 30·4
18	7 33 12·8	22·74	+ 25 38 34	− 31·7
19	7 35 29·2	22·71	+ 25 35 20	− 33·0
20	7 37 45·3	22·67	+ 25 31 58	− 34·3
21	7 40 1·2	22·64	+ 25 28 28	− 35·6
22	7 42 16·9	22·60	+ 25 24 51	− 36·9
23	7 44 32·4	22·56	+ 25 21 6	− 38·1
	Sonntag 30.			
0	7 46 47·7	22·52	+ 25 17 13	− 39·4
1	7 49 2·7	22·48	+ 25 13 13	− 40·7
2	7 51 17·5	22·44	+ 25 9 5	− 41·9
3	7 53 32·0	22·40	+ 25 4 50	− 43·1
4	7 55 46·3	22·36	+ 25 0 28	− 44·4
5	7 58 0·4	22·32	+ 24 55 58	− 45·6
6	8 0 14·2	22·28	+ 24 51 20	− 46·8
7	8 2 27·7	22·24	+ 24 46 36	− 48·0
8	8 4 41·0	22·20	+ 24 41 44	− 49·2
9	8 6 54·1	22·15	+ 24 36 45	− 50·4
10	8 9 6·9	22·11	+ 24 31 38	− 51·6
11	8 11 19·4	22·07	+ 24 26 25	− 52·8
12	8 13 31·7	22·03	+ 24 21 5	− 54·0
13	8 15 43·8	21·98	+ 24 15 38	− 55·1
14	8 17 55·5	21·94	+ 24 10 3	− 56·3
15	8 20 7·0	21·89	+ 24 4 22	− 57·4
16	8 22 18·2	21·85	+ 23 58 34	− 58·6
17	8 24 29·2	21·80	+ 23 52 39	− 59·7
18	8 26 39·9	21·76	+ 23 46 38	− 60·8
19	8 28 50·3	21·71	+ 23 40 29	− 61·9
20	8 31 0·4	21·67	+ 23 34 14	− 63·0
21	8 33 10·3	21·62	+ 23 27 53	− 64·1
22	8 35 19·9	21·57	+ 23 21 25	− 65·2
23	8 37 29·2	21·53	+ 23 14 51	− 66·3
24	8 39 38·2	21·48	+ 23 8 10	− 67·3

Mittlere Green. Zeit	Rectascension	Aenderung in 10m	Declination + Nord	Aenderung in 10m
	Montag 31.			
h	h m s	s	° ′ ″	″
0	8 39 38·2	21·48	+ 23 8 10	− 67·3
1	8 41 46·9	21·43	+ 23 1 22	− 68·4
2	8 43 55·4	21·39	+ 22 54 29	− 69·4
3	8 46 3·6	21·34	+ 22 47 29	− 70·5
4	8 48 11·5	21·29	+ 22 40 23	− 71·5
5	8 50 19·1	21·24	+ 22 33 11	− 72·5
6	8 52 26·4	21·20	+ 22 25 52	− 73·5
7	8 54 33·4	21·15	+ 22 18 28	− 74·5
8	8 56 40·2	21·10	+ 22 10 58	− 75·5
9	8 58 46·6	21·05	+ 22 3 22	− 76·5
10	9 0 52·8	21·01	+ 21 55 40	− 77·5
11	9 2 58·7	20·96	+ 21 47 52	− 78·5
12	9 5 4·3	20·91	+ 21 39 58	− 79·4
13	9 7 9·7	20·86	+ 21 31 59	− 80·4
14	9 9 14·7	20·82	+ 21 23 54	− 81·3
15	9 11 19·5	20·77	+ 21 15 43	− 82·2
16	9 13 23·9	20·72	+ 21 7 27	− 83·1
17	9 15 28·1	20·67	+ 20 59 5	− 84·1
18	9 17 32·0	20·63	+ 20 50 38	− 85·0
19	9 19 35·6	20·58	+ 20 42 6	− 85·8
20	9 21 39·0	20·53	+ 20 33 28	− 86·7
21	9 23 42·0	20·48	+ 20 24 45	− 87·6
22	9 25 44·8	20·44	+ 20 15 57	− 88·5
23	9 27 47·3	20·39	+ 20 7 3	− 89·3
	Dienstag, September 1.			
0	9 29 49·4	20·34	+ 19 58 5	− 90·1

PHASEN DES MONDES.

Mittlere Greenwicher Zeit.

	h m	
August 4.	5 12·3	● Neumond.
12.	9 11·6	☽ Erstes Viertel.
19.	9 28·3	○ Vollmond.
26.	0 9·3	☾ Letztes Viertel.
	h	
August 7.	22	☾ Apogaeum.
20.	9	☾ Perigaeum.

Datum	Venus: Mittlerer Greenwicher Mittag. Rect-ascension	Stdl. Aend.	Declination + Nord	Stdl. Aend.	Im Meridian. Mittlere Gr. Zeit	Datum	Mars: Mittlerer Greenwicher Mittag. Rect-ascension	Stdl. Aend.	Declination + Nord	Stdl. Aend.	Im Meridian. Mittlere Gr. Zeit
	h m s	s	° ′ ″	″	h m		h m s	s	° ′ ″	″	h m
1	7 51 43·0	+13·04	+21 31 11	−28·8	23 13·7	1	8 43 44·8	+6·56	+19 18 43	−24·8	0 4·5
2	7 56 55·5	+13·00	+21 19 22	−30·3	23 15·0	2	8 46 22·0	+6·54	+19 8 44	−25·1	0 3·2
3	8 2 7·2	+12·97	+21 6 55	−31·9	23 16·2	3	8 48 58·9	+6·53	+18 58 37	−25·4	0 1·9
4	8 7 18·1	+12·94	+20 53 52	−33·4	23 17·4	4	8 51 35·4	+6·51	+18 48 23	−25·8	{0 0·5 / 23 59·2}
5	8 12 28·2	+12·90	+20 40 12	−34·9	23 18·6	5	8 54 11·6	+6·50	+18 38 1	−26·1	23 57·8
6	8 17 37·5	+12·87	+20 25 56	−36·4	23 19·8	6	8 56 47·4	+6·48	+18 27 32	−26·4	23 56·5
7	8 22 45·8	+12·83	+20 11 4	−37·9	23 21·0	7	8 59 22·8	+6·47	+18 16 55	−26·7	23 55·1
8	8 27 53·3	+12·79	+19 55 38	−39·3	23 22·2	8	9 1 57·9	+6·45	+18 6 11	−27·0	23 53·8
9	8 32 59·8	+12·75	+19 39 37	−40·7	23 23·3	9	9 4 32·6	+6·44	+17 55 20	−27·3	23 52·4
10	8 38 5·3	+12·71	+19 23 2	−42·1	23 24·5	10	9 7 6·9	+6·42	+17 44 21	−27·6	23 51·0
11	8 43 9·9	+12·67	+19 5 54	−43·5	23 25·6	11	9 9 40·9	+6·41	+17 33 15	−27·9	23 49·7
12	8 48 13·5	+12·63	+18 48 14	−44·9	23 26·7	12	9 12 14·5	+6·39	+17 22 3	−28·2	23 48·3
13	8 53 16·0	+12·59	+18 30 1	−46·2	23 27·8	13	9 14 47·8	+6·38	+17 10 44	−28·4	23 46·9
14	8 58 17·6	+12·54	+18 11 17	−47·5	23 28·9	14	9 17 20·7	+6·36	+16 59 18	−28·7	23 45·5
15	9 3 18·1	+12·50	+17 52 2	−48·8	23 29·9	15	9 19 53·3	+6·35	+16 47 46	−29·0	23 44·1
16	9 8 17·6	+12·46	+17 32 16	−50·0	23 30·9	16	9 22 25·5	+6·34	+16 36 7	−29·3	23 42·7
17	9 13 16·1	+12·42	+17 12 1	−51·2	23 31·9	17	9 24 57·4	+6·32	+16 24 22	−29·5	23 41·3
18	9 18 13·5	+12·37	+16 51 17	−52·4	23 32·9	18	9 27 29·0	+6·31	+16 12 30	−29·8	23 39·8
19	9 23 9·9	+12·33	+16 30 4	−53·6	23 33·9	19	9 30 0·2	+6·29	+16 0 33	−30·0	23 38·4
20	9 28 5·3	+12·29	+16 8 24	−54·8	23 34·9	20	9 32 31·1	+6·28	+15 48 29	−30·3	23 37·0
21	9 32 59·6	+12·24	+15 46 16	−55·9	23 35·8	21	9 35 1·6	+6·27	+15 36 19	−30·5	23 35·5
22	9 37 53·0	+12·20	+15 23 43	−57·0	23 36·8	22	9 37 31·8	+6·25	+15 24 3	−30·8	23 34·1
23	9 42 45·3	+12·16	+15 0 43	−58·0	23 37·7	23	9 40 1·7	+6·24	+15 11 42	−31·0	23 32·6
24	9 47 36·7	+12·12	+14 37 19	−59·0	23 38·6	24	9 42 31·4	+6·23	+14 59 15	−31·3	23 31·2
25	9 52 27·1	+12·08	+14 13 30	−60·0	23 39·5	25	9 45 0·7	+6·21	+14 46 42	−31·5	23 29·7
26	9 57 16·5	+12·04	+13 49 17	−61·0	23 40·3	26	9 47 29·7	+6·20	+14 34 3	−31·7	23 28·2
27	10 2 5·0	+12·00	+13 24 41	−62·0	23 41·2	27	9 49 58·4	+6·19	+14 21 19	−31·9	23 26·8
28	10 6 52·5	+11·96	+12 59 43	−62·9	23 42·0	28	9 52 26·8	+6·18	+14 8 30	−32·2	23 25·3
29	10 11 39·2	+11·93	+12 34 24	−63·7	23 42·8	29	9 54 54·9	+6·17	+13 55 36	−32·4	23 23·8
30	10 16 24·9	+11·89	+12 8 44	−64·6	23 43·6	30	9 57 22·8	+6·15	+13 42 36	−32·6	23 22·3
31	10 21 9·8	+11·85	+11 42 43	−65·4	23 44·4	31	9 59 50·3	+6·14	+13 29 31	−32·8	23 20·8
8.1	10 25 53·8	+11·82	+11 16 23	−66·2	23 45·2	8.1	10 2 17·6	+6·13	+13 16 22	−33·0	23 19·4

Venus: Datum	Halbmesser	Horizontal-Parallaxe	Mars: Datum	Halbmesser	Horizontal-Parallaxe
	″	″		″	″
1	5·1	5·3	1	1·9	3·3
11	5·1	5·2	11	1·9	3·3
21	5·0	5·2	21	1·9	3·3
31	5·0	5·2	31	1·9	3·3

Jupiter.						Saturn.					
Mittlerer Greenwicher Mittag.					Im Meridian. Mittlere Gr. Zeit	Mittlerer Greenwicher Mittag.					Im Meridian. Mittlere Gr. Zeit
Datum	Rectascension	Stdl. Aend.	Declination − Süd	Stdl. Aend.		Datum	Rectascension	Stdl. Aend.	Declination + Nord	Stdl. Aend.	
	h m s	s	° ′ ″	″	h m		h m s	s	° ′ ″	″	h m
1	23 14 28·2	−0·70	−6 22 57	−5·4	14 32·7	1	11 8 49·6	+1·01	+7 33 36	−6·5	2 29·2
2	23 14 11·1	−0·72	−6 25 1	−5·3	14 28·5	2	11 9 13·9	+1·02	+7 31 0	−6·5	2 25·7
3	23 13 53·4	−0·75	−6 27 9	−5·4	14 24·2	3	11 9 38·3	+1·02	+7 28 23	−6·6	2 22·2
4	23 13 35·2	−0·77	−6 29 21	−5·6	14 20·0	4	11 10 2·9	+1·03	+7 25 45	−6·6	2 18·7
5	23 13 16·3	−0·80	−6 31 36	−5·7	14 15·8	5	11 10 27·6	+1·03	+7 23 6	−6·6	2 15·1
6	23 12 56·8	−0·82	−6 33 55	−5·9	14 11.5	6	11 10 52·5	+1·04	+7 20 26	−6·7	2 11·6
7	23 12 36·8	−0·85	−6 36 17	−6 0	14 7·2	7	11 11 17·6	+1·05	+7 17 45	−6·7	2 8·1
8	23 12 16·2	−0·87	−6 38 42	−6·1	14 3·0	8	11 11 42·8	+1·05	+7 15 4	−6·8	2 4·6
9	23 11 55·0	−0·89	−6 41 11	−6·2	13 58·7	9	11 12 8·1	+1·06	+7 12 22	−6·8	2 1·1
10	23 11 33·3	−0·92	−6 43 42	−6·4	13 54·4	10	11 12 33·6	+1·06	+7 9 39	−6·8	1 57·6
11	23 11 11·1	−0·94	−6 46 16	−6·5	13 50·1	11	11 12 59·1	+1·07	+7 6 55	−6 8	1 54·1
12	23 10 48·4	−0·96	−6 48 53	−6·6	13 45·7	12	11 13 24·8	+1·07	+7 4 11	−6·8	1 50·6
13	23 10 25·2	−0·98	−6 51 33	−6·7	13 41·4	13	11 13 50·7	+1·08	+7 1 25	−6·9	1 47·0
14	23 10 1·5	−1·00	−6 54 15	−6·8	13 37·1	14	11 14 16·6	+1·08	+6 58 40	−6·9	1 43·5
15	23 9 37·4	−1·02	−6 57 0	−6·9	13 32·7	15	11 14 42·7	+1·09	+6 55 53	−7·0	1 40·0
16	23 9 12·8	−1·03	−6 59 47	−7·0	13 28·4	16	11 15 8·9	+1·09	+6 53 6	−7·0	1 36·5
17	23 8 47·8	−1·05	−7 2 36	−7·1	13 24·0	17	11 15 35·2	+1·10	+6 50 18	−7·0	1 33·0
18	23 8 22·4	−1·07	−7 5 27	−7·2	13 19·7	18	11 16 1·6	+1·10	+6 47 30	−7·0	1 29·6
19	23 7 56·6	−1·08	−7 8 21	−7·3	13 15·3	19	11 16 28·1	+1·11	+6 44 41	−7·1	1 26·1
20	23 7 30·4	−1·10	−7 11 16	−7·3	13 11·0	20	11 16 54·7	+1·11	+6 41 51	−7·1	1 22·6
21	23 7 3·9	−1·11	−7 14 13	−7·4	13 6·6	21	11 17 21·3	+1·11	+6 39 1	−7·1	1 19·1
22	23 6 37·0	−1·13	−7 17 12	−7·5	13 2·2	22	11 17 48·1	+1·12	+6 36 11	−7·1	1 15·6
23	23 6 9·8	−1·14	−7 20 12	−7·5	12 57·8	23	11 18 15·0	+1·12	+6 33 20	−7·1	1 12·1
24	23 5 42·3	−1·15	−7 23 14	−7·6	12 53·4	24	11 18 41·9	+1·12	+6 30 29	−7·2	1 8·6
25	23 5 14·5	−1·16	−7 26 17	−7·6	12 49·0	25	11 19 8·9	+1·13	+6 27 37	−7·2	1 5·1
26	23 4 46·4	−1·18	−7 29 21	−7·7	12 44·6	26	11 19 36·0	+1·13	+6 24 45	−7·2	1 1·7
27	23 4 18·1	−1·19	−7 32 26	−7·7	12 40·2	27	11 20 3·2	+1·13	+6 21 52	−7·2	0 58·2
28	23 3 49·6	−1·19	−7 35 32	−7·7	12 35·8	28	11 20 30·4	+1·14	+6 18 59	−7·2	0 54·7
29	23 3 20·8	−1·20	−7 38 38	−7·8	12 31·4	29	11 20 57·7	+1·14	+6 16 6	−7·2	0 51·2
30	23 2 51·9	−1·21	−7 41 45	−7·8	12 27·0	30	11 21 25·1	+1·14	+6 13 12	−7·2	0 47·7
31	23 2 22·8	−1·22	−7 44 53	−7·8	12 22·6	31	11 21 52·5	+1·14	+6 10 18	−7·3	0 44·3
8. 1	23 1 53·5	−1·22	−7 48 1	−7·8	12 18·2	8. 1	11 22 20·0	+1·15	+6 7 24	−7·3	0 40·8

Datum	Halbmesser	Horizontal-Parallaxe	Datum	Halbmesser	Horizontal-Parallaxe
	″	″		″	″
1	22·7	2·1	1	7·7	0·9
11	23·2	2·2	11	7·6	0·9
21	23·5	2·2	21	7·5	0·9
31	23·7	2·2	31	7·5	0·9

MOND-DISTANZEN.

Mittlere Greenwicher Zeit.

Datum	Namen u. Lage der Sterne		Mittag	Lg. pr.	III^h	Lg. pr.	VI^h	Lg. pr.	IX^h	Lg. pr.
			° ′ ″		° ′ ″		° ′ ″		° ′ ″	
1	Jupiter	W.	104 52 50	2728	106 28 53	2737	108 4 44	2745	109 40 24	2753
	α Pegasi	W.	98 30 54	3156	99 57 56	3168	101 24 43	3183	102 51 13	3196
	α Arietis	W.	55 51 14	2890	57 23 46	2894	58 56 13	2898	60 28 35	2902
	Sonne	O.	37 5 20	3126	35 37 42	3139	34 10 20	3152	32 43 13	3166
6	Sonne	W.	20 27 42	3514	21 47 51	3506	23 8 8	3500	24 28 32	3496
	Spica	O.	49 13 45	3066	47 44 54	3073	46 16 11	3079	44 47 36	3085
	Antares	O.	95 3 35	3044	93 34 17	3049	92 5 5	3053	90 35 58	3058
7	Sonne	W.	31 11 25	3486	32 32 5	3486	33 52 45	3485	35 13 26	3486
	Spica	O.	37 26 33	3117	35 58 44	3124	34 31 3	3131	33 3 31	3138
	Antares	O.	83 11 38	3076	81 42 59	3079	80 14 24	3082	78 45 52	3084
8	Sonne	W.	41 56 55	3483	43 17 38	3481	44 38 23	3480	45 59 9	3480
	Antares	O.	71 23 50	3092	69 55 31	3093	68 27 13	3094	66 58 56	3094
9	Sonne	W.	52 43 28	3468	54 4 28	3464	55 25 32	3462	56 46 39	3457
	Saturn	W.	23 3 51	3154	24 30 55	3148	25 58 6	3142	27 25 25	3136
	Antares	O.	59 37 24	3090	58 9 2	3088	56 40 38	3086	55 12 11	3083
	α Aquilæ	O.	106 9 41	3942	104 57 4	3928	103 44 13	3915	102 31 8	3902
10	Sonne	W.	63 33 32	3431	64 55 13	3423	66 17 1	3418	67 38 57	3411
	Saturn	W.	34 43 46	3105	36 11 49	3099	37 40 0	3092	39 8 19	3084
	Antares	O.	47 49 1	3065	46 20 9	3061	44 51 12	3056	43 22 9	3051
	α Aquilæ	O.	96 22 42	3848	95 8 29	3838	93 54 6	3830	92 39 35	3821
11	Sonne	W.	74 30 50	3368	75 53 43	3358	77 16 47	3348	78 40 3	3337
	Saturn	W.	46 32 21	3043	48 1 41	3033	49 31 13	3023	51 0 57	3013
	Antares	O.	35 55 10	3022	34 25 24	3015	32 55 30	3009	31 25 28	3001
	α Aquilæ	O.	86 24 58	3788	85 9 43	3782	83 54 22	3776	82 38 55	3773
	Fomalhaut	O.	118 10 23	3212	116 44 28	3197	115 18 15	3183	113 51 45	3168
12	Sonne	W.	85 39 42	3276	87 4 21	3263	88 29 16	3248	89 54 28	3235
	Saturn	W.	58 33 2	2954	60 4 12	2942	61 35 37	2929	63 7 19	2915
	Spica	W.	23 3 4	3021	24 32 51	2996	26 3 9	2972	27 33 57	2950
	α Aquilæ	O.	76 20 50	3761	75 5 7	3761	73 49 24	3762	72 33 42	3764
	Fomalhaut	O.	106 34 48	3093	105 6 30	3078	103 37 54	3063	102 8 59	3048
13	Sonne	W.	97 4 47	3158	98 31 47	3140	99 59 8	3124	101 26 48	3107
	Saturn	W.	70 50 18	2842	72 23 51	2827	73 57 44	2811	75 31 58	2795
	Spica	W.	35 14 40	2849	36 48 4	2829	38 21 54	2810	39 56 9	2792
	α Aquilæ	O.	66 16 9	3793	65 1 0	3804	63 46 2	3817	62 31 17	3832
	Fomalhaut	O.	94 39 38	2969	93 8 47	2954	91 37 36	2937	90 6 4	2921
	Jupiter	O.	108 26 40	2767	106 51 29	2752	105 15 58	2736	103 40 6	2719
	α Pegasi	O.	112 52 24	3266	111 27 33	3241	110 2 12	3216	108 36 22	3191
14	Sonne	W.	108 50 32	3017	110 20 24	2998	111 50 39	2979	113 21 18	2960
	Saturn	W.	83 28 37	2709	85 5 5	2691	86 41 57	2673	88 19 13	2655
	Spica	W.	47 53 36	2696	49 30 21	2676	51 7 33	2657	52 45 10	2638
	α Aquilæ	O.	56 22 20	3950	55 9 51	3986	53 57 58	4025	52 46 43	4071
	Fomalhaut	O.	82 23 20	2841	80 49 45	2825	79 15 49	2808	77 41 32	2793
	Jupiter	O.	95 35 15	2635	93 57 8	2618	92 18 37	2600	90 39 42	2582
	α Pegasi	O.	101 20 1	3076	99 51 22	3055	98 22 17	3033	96 52 45	3012

MOND-DISTANZEN.

Mittlere Greenwicher Zeit.

Datum	Namen u. Lage der Sterne		Mitter-nacht	Lg. pr.	XV^h	Lg. pr.	XVIII^h	Lg. pr.	XXI^h	Lg. pr.
			° ′ ″		° ′ ″		° ′ ″		° ′ ″	
1	Jupiter	W.	111 15 53	2763	112 51 10	2772	114 26 15	2779	116 1 10	2788
	α Pegasi	W.	104 17 27	3210	105 43 24	3226	107 9 2	3242	108 34 22	3259
	α Arietis	W.	62 0 51	2907	63 33 1	2912	65 5 5	2917	66 37 2	2923
	Sonne	O.	31 16 23	3180	29 49 50	3194	28 23 34	3209	26 57 35	3226
6	Sonne	W.	25 49 1	3492	27 9 34	3490	28 30 9	3488	29 50 46	3487
	Spica	O.	43 19 8	3091	41 50 48	3097	40 22 35	3104	38 54 30	3110
	Antares	O.	89 6 57	3061	87 38 0	3065	86 9 8	3069	84 40 21	3073
7	Sonne	W.	36 34 6	3485	37 54 47	3484	39 15 29	3483	40 36 12	3483
	Spica	O.	31 36 7	3146	30 8 53	3153	28 41 48	3163	27 14 55	3173
	Antares	O.	77 17 23	3086	75 48 56	3088	74 20 32	3090	72 52 10	3091
8	Sonne	W.	47 19 56	3477	48 40 46	3476	50 1 37	3473	51 22 31	3471
	Antares	O.	65 30 39	3094	64 2 22	3093	62 34 4	3092	61 5 45	3091
9	Sonne	W.	58 7 51	3453	59 29 8	3448	60 50 30	3443	62 11 58	3438
	Saturn	W.	28 52 51	3130	30 20 24	3124	31 48 4	3119	33 15 51	3112
	Antares	O.	53 43 41	3080	52 15 7	3078	50 46 30	3073	49 17 48	3069
	α Aquilæ	O.	101 17 50	3890	100 4 20	3878	98 50 38	3867	97 36 45	3857
10	Sonne	W.	69 1 1	3403	70 23 14	3395	71 45 36	3387	73 8 7	3377
	Saturn	W.	40 36 48	3077	42 5 26	3069	43 34 14	3060	45 3 12	3052
	Antares	O.	41 52 59	3046	40 23 43	3039	38 54 19	3034	37 24 48	3028
	α Aquilæ	O.	91 24 55	3813	90 10 6	3807	88 55 11	3799	87 40 8	3792
11	Sonne	W.	80 3 32	3326	81 27 13	3313	82 51 9	3302	84 15 18	3289
	Saturn	W.	52 30 54	3001	54 1 5	2991	55 31 29	2979	57 2 8	2967
	Antares	O.	29 55 17	2995	28 24 58	2989	26 54 32	2984	25 23 59	2979
	α Aquilæ	O.	81 23 25	3768	80 7 50	3766	78 52 12	3764	77 36 32	3762
	Fomalhaut	O.	112 24 58	3153	110 57 52	3138	109 30 29	3123	108 2 47	3109
12	Sonne	W.	91 19 56	3220	92 45 41	3204	94 11 45	3190	95 38 6	3173
	Saturn	W.	64 39 19	2901	66 11 36	2887	67 44 11	2873	69 17 5	2858
	Spica	W.	29 5 13	2928	30 36 56	2908	32 9 5	2887	33 41 40	2868
	α Aquilæ	O.	71 18 2	3768	70 2 26	3771	68 46 54	3777	67 31 28	3784
	Fomalhaut	O.	100 39 46	3032	99 10 13	3017	97 40 21	3001	96 10 9	2985
13	Sonne	W.	102 54 49	3089	104 23 12	3072	105 51 56	3053	107 21 3	3035
	Saturn	W.	77 6 33	2777	78 41 31	2761	80 16 50	2744	81 52 32	2726
	Spica	W.	41 30 48	2772	43 5 52	2753	44 41 22	2735	46 17 16	2715
	α Aquilæ	O.	61 16 48	3849	60 2 36	3870	58 48 46	3893	57 35 19	3920
	Fomalhaut	O.	88 34 12	2905	87 2 0	2890	85 29 28	2873	83 56 34	2857
	Jupiter	O.	102 3 52	2704	100 27 17	2687	98 50 19	2670	97 12 59	2652
	α Pegasi	O.	107 10 2	3168	105 43 14	3143	104 15 57	3121	102 48 13	3098
14	Sonne	W.	114 52 21	2942	116 23 47	2922	117 55 38	2902	119 27 54	2883
	Saturn	W.	89 56 54	2636	91 35 0	2618	93 13 31	2599	94 52 28	2580
	Spica	W.	54 23 13	2618	56 1 43	2599	57 40 39	2580	59 20 2	2561
	α Aquilæ	O.	51 36 13	4122	50 26 33	4180	49 17 48	4246	48 10 5	4320
	Fomalhaut	O.	76 6 55	2778	74 31 58	2762	72 56 40	2747	71 21 2	2732
	Jupiter	O.	89 0 22	2564	87 20 37	2545	85 40 26	2527	83 59 50	2508
	α Pegasi	O.	95 22 47	2991	93 52 23	2972	92 21 35	2952	90 50 22	2933

MOND-DISTANZEN.

Mittlere Greenwicher Zeit.

Datum	Namen u. Lage der Sterne		Mittag	Lg. pr.	IIIh	Lg. pr.	VIh	Lg. pr.	IXh	Lg. pr.
			° ' "		° ' "		° ' "		° ' "	
15	Sonne	W.	121 0 35	2864	122 33 40	2844	124 7 11	2825	125 41 6	2805
	Saturn	W.	96 31 50	2561	98 11 38	2543	99 51 52	2524	101 32 32	2505
	Spica	W.	60 59 51	2540	62 40 8	2522	64 20 51	2502	66 2 2	2483
	Fomalhaut	O.	69 45 5	2718	68 8 49	2704	66 32 14	2690	64 55 21	2678
	Jupiter	O.	82 18 48	2490	80 37 21	2471	78 55 27	2453	77 13 7	2433
	α Pegasi	O.	89 18 45	2915	87 46 45	2897	86 14 22	2880	84 41 37	2862
16	Saturn	W.	110 2 29	2412	111 45 47	2393	113 29 32	2375	115 13 42	2357
	Spica	W.	74 34 42	2387	76 18 35	2368	78 2 55	2350	79 47 41	2332
	Antares	W.	28 42 56	2411	30 26 15	2389	32 10 6	2366	33 54 29	2346
	Fomalhaut	O.	56 46 58	2626	55 8 38	2618	53 30 8	2613	51 51 31	2609
	Jupiter	O.	68 34 50	2342	66 49 51	2324	65 4 27	2306	63 18 36	2289
	α Pegasi	O.	76 52 48	2792	75 18 9	2780	73 43 15	2769	72 8 7	2760
	α Arietis	O.	119 13 9	2494	117 31 48	2472	115 49 56	2451	114 7 34	2430
17	Spica	W.	88 38 2	2246	90 25 21	2230	92 13 4	2214	94 1 10	2199
	Antares	W.	42 43 42	2250	44 30 55	2233	46 18 34	2215	48 6 39	2199
	Fomalhaut	O.	43 38 1	2624	41 59 38	2637	40 21 33	2654	38 43 51	2676
	Jupiter	O.	54 23 5	2205	52 34 45	2190	50 46 3	2175	48 56 58	2161
	α Pegasi	O.	64 10 2	2736	62 34 10	2737	60 58 19	2740	59 22 32	2746
	α Arietis	O.	105 28 24	2332	103 43 11	2315	101 57 33	2298	100 11 30	2281
18	Spica	W.	103 7 9	2130	104 57 22	2119	106 47 52	2108	108 38 39	2097
	Antares	W.	57 12 52	2126	59 3 11	2113	60 53 50	2101	62 44 48	2090
	Jupiter	O.	39 46 21	2098	37 55 18	2087	36 3 59	2077	34 12 25	2068
	α Pegasi	O.	51 26 46	2821	49 52 46	2848	48 19 20	2881	46 46 37	2920
	α Arietis	O.	91 15 29	2209	89 27 15	2197	87 38 43	2185	85 49 53	2174
	Aldebaran	O.	121 49 31	2145	119 59 40	2132	118 9 29	2118	116 18 58	2107
19	Antares	W.	72 3 38	2042	73 56 6	2036	75 48 44	2029	77 41 33	2023
	α Aquilæ	W.	39 24 28	4986	40 21 34	4744	41 21 57	4530	42 25 23	4342
	α Pegasi	O.	39 18 33	3245	37 53 17	3345	36 29 58	3464	35 8 54	3604
	α Arietis	O.	76 42 11	2135	74 52 5	2130	73 1 52	2126	71 11 32	2122
	Aldebaran	O.	107 2 11	2058	105 10 7	2051	103 17 52	2044	101 25 26	2038
20	Antares	W.	87 7 26	2007	89 0 50	2005	90 54 16	2005	92 47 42	2005
	α Aquilæ	W.	48 20 39	3668	49 38 0	3574	50 57 3	3489	52 17 39	3415
	α Arietis	O.	61 59 13	2124	60 8 50	2128	58 18 33	2132	56 28 23	2139
	Aldebaran	O.	92 1 26	2021	90 8 24	2019	88 15 20	2020	86 22 17	2020
21	Antares	W.	102 14 18	2019	104 7 22	2024	106 0 19	2030	107 53 6	2036
	α Aquilæ	W.	59 19 16	3145	60 46 31	3108	62 14 31	3076	63 43 10	3048
	α Arietis	O.	47 20 52	2196	45 32 19	2213	43 44 11	2233	41 56 33	2256
	Aldebaran	O.	76 57 36	2035	75 4 56	2040	73 12 24	2046	71 20 1	2053
	Pollux	O.	121 3 5	2016	119 9 55	2020	117 16 52	2025	115 23 57	2032
22	α Aquilæ	W.	71 13 29	2962	72 44 29	2954	74 15 39	2948	75 46 57	2945
	Fomalhaut	W.	36 52 21	2566	38 32 3	2536	40 12 26	2512	41 53 22	2493
	Jupiter	W.	21 16 10	2084	23 7 34	2086	24 58 54	2090	26 50 8	2096
	α Arietis	O.	33 8 17	2424	31 25 16	2474	29 43 26	2532	28 2 57	2601
	Aldebaran	O.	62 1 8	2097	60 10 4	2109	58 19 18	2120	56 28 49	2132
	Pollux	O.	106 2 2	2070	104 10 17	2081	102 18 48	2090	100 27 34	2101

MOND-DISTANZEN.

Mittlere Greenwicher Zeit.

Datum	Namen u. Lage der Sterne		Mitter-nacht	Lg. pr.	XV^h	Lg. pr.	XVIII^h	Lg. pr.	XXI^h	Lg. pr.
			° ′ ″		° ′ ″		° ′ ″		° ′ ″	
15	Sonne	W.	127 15 27	2787	128 50 12	2768	130 25 22	2750	132 0 56	2730
	Saturn	W.	103 13 38	2486	104 55 11	2467	106 37 11	2448	108 19 37	2430
	Spica	W.	67 43 39	2463	69 25 44	2443	71 8 17	2425	72 51 16	2406
	Fomalhaut	O.	63 18 11	2666	61 40 45	2654	60 3 3	2643	58 25 7	2634
	Jupiter	O.	75 30 20	2415	73 47 7	2397	72 3 28	2378	70 19 22	2360
	α Pegasi	O.	83 8 30	2847	81 35 3	2832	80 1 17	2817	78 27 11	2804
16	Saturn	W.	116 58 18	2339	118 43 20	2322	120 28 47	2306	122 14 38	2289
	Spica	W.	81 32 54	2314	83 18 33	2297	85 4 37	2279	86 51 7	2262
	Antares	W.	35 39 22	2326	37 24 44	2305	39 10 36	2287	40 56 55	2268
	Fomalhaut	O.	50 12 48	2607	48 34 3	2607	46 55 17	2610	45 16 35	2615
	Jupiter	O.	61 32 20	2271	59 45 38	2255	57 58 32	2237	56 11 0	2222
	α Pegasi	O.	70 32 47	2752	68 57 16	2746	67 21 37	2741	65 45 51	2738
	α Arietis	O.	112 24 42	2409	110 41 20	2389	108 57 29	2369	107 13 10	2350
17	Spica	W.	95 49 39	2184	97 38 30	2170	99 27 43	2157	101 17 16	2143
	Antares	W.	49 55 8	2184	51 44 0	2168	53 33 16	2154	55 22 53	2139
	Fomalhaut	O.	37 6 39	2704	35 30 5	2741	33 54 20	2786	32 19 34	2843
	Jupiter	O.	47 7 31	2147	45 17 43	2134	43 27 35	2120	41 37 7	2109
	α Pegasi	O.	57 46 53	2754	56 11 25	2765	54 36 11	2780	53 1 17	2798
	α Arietis	O.	98 25 3	2265	96 38 12	2250	94 50 59	2235	93 3 24	2222
18	Spica	W.	110 29 43	2087	112 21 2	2078	114 12 35	2070	116 4 21	2062
	Antares	W.	64 36 3	2079	66 27 35	2069	68 19 22	2060	70 11 23	2051
	Jupiter	O.	32 20 37	2061	30 28 38	2055	28 36 29	2050	26 44 13	2046
	α Pegasi	O.	45 14 44	2966	43 43 49	3021	42 14 2	3084	40 45 33	3158
	α Arietis	O.	84 0 47	2165	82 11 27	2156	80 21 53	2148	78 32 7	2141
	Aldebaran	O.	114 28 9	2095	112 37 2	2085	110 45 40	2075	108 54 2	2066
19	Antares	W.	79 34 31	2019	81 27 36	2014	83 20 48	2011	85 14 5	2009
	α Aquilæ	W.	43 31 37	4175	44 40 27	4025	45 51 42	3892	47 5 10	3774
	α Pegasi	O.	33 50 24	3768	32 34 48	3960	31 22 29	4189	30 13 53	4465
	α Arietis	O.	69 21 7	2120	67 30 39	2120	65 40 10	2119	63 49 40	2121
	Aldebaran	O.	99 32 51	2033	97 40 8	2029	95 47 19	2025	93 54 24	2023
20	Antares	W.	94 41 8	2007	96 34 31	2009	98 27 52	2012	100 21 8	2016
	α Aquilæ	W.	53 39 39	3347	55 2 56	3287	56 27 23	3235	57 52 51	3187
	α Arietis	O.	54 38 23	2147	52 48 36	2157	50 59 3	2169	49 9 48	2181
	Aldebaran	O.	84 29 14	2021	82 36 13	2024	80 43 16	2026	78 50 23	2030
21	Antares	W.	109 45 44	2043	111 38 11	2051	113 30 26	2059	115 22 28	2068
	α Aquilæ	W.	65 12 23	3025	66 42 5	3004	68 12 13	2987	69 42 42	2973
	α Arietis	O.	40 9 28	2281	38 23 1	2311	36 37 17	2343	34 52 20	2380
	Aldebaran	O.	69 27 49	2061	67 35 49	2068	65 44 1	2077	63 52 27	2087
	Pollux	O.	113 31 12	2037	111 38 36	2045	109 46 12	2053	107 54 1	2061
22	α Aquilæ	W.	77 18 19	2944	78 49 42	2945	80 21 4	2948	81 52 22	2954
	Fomalhaut	W.	43 34 45	2478	45 16 29	2467	46 58 29	2459	48 40 40	2453
	Jupiter	W.	28 41 14	2103	30 32 9	2111	32 22 51	2120	34 13 19	2130
	α Arietis	O.	26 24 3	2683	24 47 0	2781	23 12 7	2900	21 39 48	3048
	Aldebaran	O.	54 38 39	2145	52 48 49	2159	50 59 19	2173	49 10 11	2188
	Pollux	O.	98 36 36	2113	96 45 56	2124	94 55 33	2136	93 5 29	2149

MOND-DISTANZEN.

Mittlere Greenwicher Zeit.

Datum	Namen u. Lage der Sterne		Mittag	Lg. pr.	III^h	Lg. pr.	VI^h	Lg. pr.	IX^h	Lg. pr.
			° ′ ″		° ′ ″		° ′ ″		° ′ ″	
23	α Aquilæ	W.	83 23 33	2961	84 54 35	2969	86 25 27	2980	87 56 5	2993
	Fomalhaut	W.	50 22 59	2450	52 5 22	2449	53 47 47	2450	55 30 10	2453
	α Pegasi	W.	36 16 40	3497	37 37 7	3404	38 59 19	3323	40 23 4	3255
	Jupiter	W.	36 3 32	2141	37 53 28	2153	39 43 7	2165	41 32 28	2177
	Aldebaran	O.	47 21 25	2204	45 33 3	2220	43 45 6	2237	41 57 34	2255
	Pollux	O.	91 15 44	2161	89 26 18	2175	87 37 13	2188	85 48 28	2202
	Sonne	O.	129 8 19	2481	127 26 39	2494	125 45 18	2508	124 4 16	2522
24	α Aquilæ	W.	95 24 48	3077	96 53 26	3098	98 21 38	3121	99 49 22	3145
	Fomalhaut	W.	64 0 34	2485	65 42 8	2494	67 23 30	2504	69 4 37	2515
	Jupiter	W.	50 34 17	2245	52 21 37	2260	54 8 35	2275	55 55 11	2289
	α Pegasi	W.	47 38 26	3039	49 7 50	3014	50 37 45	2993	52 8 6	2977
	Aldebaran	O.	33 6 56	2359	31 22 23	2384	29 38 25	2411	27 55 6	2440
	Pollux	O.	76 50 5	2276	75 3 30	2292	73 17 19	2307	71 31 30	2323
	Sonne	O.	115 44 8	2597	114 5 9	2614	112 26 33	2629	110 48 18	2646
25	α Aquilæ	W.	107 0 8	3290	108 24 31	3325	109 48 13	3360	111 11 15	3399
	Fomalhaut	W.	77 26 11	2577	79 5 37	2591	80 44 45	2605	82 23 33	2620
	Jupiter	W.	64 42 43	2366	66 27 6	2381	68 11 8	2396	69 54 48	2412
	α Pegasi	W.	59 43 50	2935	61 15 24	2934	62 47 0	2933	64 18 37	2935
	Pollux	O.	62 48 10	2402	61 4 38	2419	59 21 30	2435	57 38 45	2450
	Sonne	O.	102 42 37	2729	101 6 36	2746	99 30 57	2763	97 55 41	2779
26	Fomalhaut	W.	90 32 35	2695	92 9 22	2710	93 45 49	2725	95 21 55	2742
	Jupiter	W.	78 27 39	2488	80 9 9	2503	81 50 18	2517	83 31 7	2532
	α Pegasi	W.	71 55 40	2959	73 26 44	2966	74 57 39	2975	76 28 23	2984
	α Arietis	W.	28 18 3	2962	29 49 3	2934	31 20 39	2913	32 52 41	2897
	Pollux	O.	49 10 35	2530	47 30 3	2545	45 49 53	2561	44 10 4	2577
	Sonne	O.	90 4 47	2862	88 31 40	2880	86 58 55	2895	85 26 30	2912
27	Jupiter	W.	91 50 13	2603	93 29 4	2616	95 7 37	2629	96 45 52	2643
	α Pegasi	W.	83 59 1	3037	85 28 28	3048	86 57 41	3060	88 26 39	3073
	α Arietis	W.	40 36 32	2864	42 9 37	2864	43 42 42	2866	45 15 45	2867
	Pollux	O.	35 56 17	2652	34 18 33	2668	32 41 10	2683	31 4 7	2698
	Sonne	O.	77 49 29	2990	76 19 4	3005	74 48 57	3019	73 19 8	3034
28	Jupiter	W.	104 52 46	2705	106 29 19	2716	108 5 37	2729	109 41 39	2740
	α Pegasi	W.	95 47 27	3142	97 14 46	3156	98 41 48	3171	100 8 32	3187
	α Arietis	W.	52 59 58	2891	54 32 29	2896	56 4 53	2902	57 37 9	2909
	Sonne	O.	65 54 30	3104	64 26 25	3117	62 58 36	3130	61 31 3	3143
29	α Arietis	W.	65 16 19	2943	66 47 43	2951	68 18 57	2958	69 50 3	2965
	Aldebaran	W.	34 26 5	2903	35 58 20	2909	37 30 28	2913	39 2 30	2918
	Sonne	O.	54 17 5	3204	52 51 1	3216	51 25 11	3227	49 59 34	3239
30	α Arietis	W.	77 23 16	3001	78 53 28	3007	80 23 32	3014	81 53 27	3021
	Aldebaran	W.	46 41 0	2946	48 12 20	2953	49 43 32	2958	51 14 37	2964
	Sonne	O.	42 54 48	3294	41 30 29	3304	40 6 22	3315	38 42 28	3325
31	α Arietis	W.	89 20 59	3054	90 50 5	3060	92 19 4	3067	93 47 54	3073
	Aldebaran	W.	58 48 16	2992	60 18 39	2997	61 48 55	3002	63 19 5	3008
	Sonne	O.	31 46 5	3382	30 23 28	3393	29 1 4	3407	27 38 55	3420

MOND-DISTANZEN.

Mittlere Greenwicher Zeit.

Datum	Namen u. Lage der Sterne		Mitternacht	Lg. pr.	XVʰ	Lg. pr.	XVIIIʰ	Lg. pr.	XXIʰ	Lg. pr.
			° ′ ″		° ′ ″		° ′ ″		° ′ ″	
23	α Aquilæ	W.	89 26 27	3005	90 56 33	3021	92 26 20	3039	93 55 45	3056
	Fomalhaut	W.	57 12 30	2457	58 54 44	2462	60 36 50	2469	62 18 47	2476
	α Pegasi	W.	41 48 8	3193	43 14 22	3147	44 41 35	3105	46 9 38	3069
	Jupiter	W.	43 21 30	2190	45 10 12	2203	46 58 35	2218	48 46 36	2231
	Aldebaran	O.	40 10 28	2274	38 23 50	2294	36 37 41	2315	34 52 3	2336
	Pollux	O.	84 0 4	2216	82 12 1	2231	80 24 20	2246	78 [illegible] 1	2262
	Sonne	O.	122 23 34	2536	120 43 11	2551	119 3 9	2566	117 23 28	2582
24	α Aquilæ	W.	101 16 37	3171	102 43 21	3198	104 9 32	3228	105 35 8	3259
	Fomalhaut	W.	70 45 29	2527	72 26 5	2538	74 6 25	2551	75 46 27	2564
	Jupiter	W.	57 41 26	2305	59 27 18	2320	61 12 49	2335	62 57 57	2350
	α Pegasi	W.	53 38 48	2963	55 9 47	2953	56 40 59	2945	58 12 21	2939
	Aldebaran	O.	26 12 28	2472	24 30 35	2507	22 49 32	2548	21 9 26	2595
	Pollux	O.	69 46 4	2339	68 1 1	2355	66 16 21	2371	64 32 4	2387
	Sonne	O.	109 10 25	2663	107 32 55	2679	105 55 47	2696	104 19 1	2712
25	α Aquilæ	W.	112 33 33	3438	113 55 6	3480	115 15 52	3525	116 35 49	3571
	Fomalhaut	W.	84 2 1	2635	85 40 9	2649	87 17 58	2663	88 55 27	2679
	Jupiter	W.	71 38 5	2427	73 21 1	2443	75 3 35	2458	76 45 47	2472
	α Pegasi	W.	65 50 11	2938	67 21 42	2942	68 53 8	2946	70 24 28	2953
	Pollux	O.	55 56 22	2467	54 14 22	2482	52 32 44	2498	50 51 28	2515
	Sonne	O.	96 20 46	2797	94 46 14	2813	93 12 3	2830	91 38 14	2847
26	Fomalhaut	W.	96 57 39	2757	98 33 3	2773	100 8 6	2790	101 42 47	2805
	Jupiter	W.	85 11 36	2547	86 51 44	2561	88 31 33	2575	90 11 2	2588
	α Pegasi	W.	77 58 56	2994	79 29 16	3003	80 59 25	3014	82 29 20	3026
	α Arietis	W.	34 25 4	2884	35 57 43	2876	37 30 32	2869	39 3 30	2866
	Pollux	O.	42 30 37	2592	40 51 31	2607	39 12 46	2622	37 34 21	2638
	Sonne	O.	83 54 26	2928	82 22 43	2943	80 51 19	2958	79 20 14	2974
27	Jupiter	W.	98 23 49	2655	100 1 29	2669	101 38 51	2681	103 15 57	2693
	α Pegasi	W.	89 55 21	3087	91 23 47	3100	92 51 57	3113	94 19 51	3128
	α Arietis	W.	46 48 46	2871	48 21 42	2875	49 54 33	2879	51 27 19	2884
	Pollux	O.	29 27 24	2713	27 51 1	2728	26 14 58	2743	24 39 15	2760
	Sonne	O.	71 49 38	3048	70 20 25	3062	68 51 29	3077	67 22 51	3091
28	Jupiter	W.	111 17 26	2751	112 52 58	2762	114 28 16	2772	116 3 20	2782
	α Pegasi	W.	101 34 57	3203	103 1 3	3219	104 26 50	3235	105 52 18	3252
	α Arietis	W.	59 9 16	2916	60 41 15	2922	62 13 6	2930	63 44 47	2937
	Sonne	O.	60 3 46	3155	58 36 43	3168	57 9 56	3180	55 43 23	3193
29	α Arietis	W.	71 20 59	2972	72 51 47	2980	74 22 25	2986	75 52 55	2993
	Aldebaran	W.	40 34 26	2924	42 6 15	2929	43 37 57	2935	45 9 32	2940
	Sonne	O.	48 34 11	3250	47 9 1	3261	45 44 4	3272	44 19 20	3282
30	α Arietis	W.	83 23 14	3028	84 52 52	3034	86 22 23	3041	87 51 45	3047
	Aldebaran	W.	52 45 35	2969	54 16 26	2975	55 47 10	2981	57 17 46	2986
	Sonne	O.	37 18 46	3337	35 55 17	3347	34 32 0	3358	33 8 56	3370
31	α Arietis	W.	95 16 37	3079	96 45 12	3085	98 13 40	3091	99 42 1	3097
	Aldebaran	W.	64 49 8	3013	66 19 5	3018	67 48 56	3022	69 18 41	3026
	Sonne	O.	26 17 1	3434	24 55 23	3450	23 34 3	3468	22 13 3	3486

Tag im Jahre	Wochentag und Datum		Mittlerer Greenwicher Mittag. Sonne. Rect-ascension	Stdl. Aend.	Declination + Nord − Sud	Stündl. Aenderung	Halbmesser	Zeitgleichung — Von der wahren Zeit zu subtrah.	Stündl. Aenderung	Declination der Sonne im wahren Greenwicher Mittage
			h m s	s	° ′ ″	″	″ ′	m s	s	° ′ ″
244	Dienst.	1	10 41 23·2	9·08	+8 18 9	−54·5	15 53	— 0 3·9	−0·78	+8 18 9
245	Mittw.	2	10 45 0·9	9·06	+7 56 18	−54·8	15 54	— 0 22·8	−0·79	+7 56 18
246	Donner.	3	10 48 38·3	9·05	+7 34 19	−55·1	15 54	— 0 41·9	−0·80	+7 34 19
247	Freitag	4	10 52 15·4	9·04	+7 12 12	−55·4	15 54	— 1 1·3	−0·82	+7 12 13
248	Samstag	5	10 55 52·3	9·03	+6 49 59	−55·7	15 54	— 1 21·0	−0·83	+6 50 0
249	Sonntag	6	10 59 28·9	9·02	+6 27 39	−56·0	15 55	— 1 40·9	−0·83	+6 27 40
250	Montag	7	11 3 5·4	9·01	+6 5 13	−56·2	15 55	— 2 1·0	−0·84	+6 5 14
251	Dienst.	8	11 6 41·6	9·01	+5 42 40	−56·5	15 55	— 2 21·3	−0·85	+5 42 42
252	Mittw.	9	11 10 17·7	9·00	+5 20 2	−56·7	15 55	— 2 41·8	−0·86	+5 20 4
253	Donner.	10	11 13 53·6	8·99	+4 57 18	−56·9	15 56	— 3 2·5	−0·87	+4 57 21
254	Freitag	11	11 17 29·3	8·99	+4 34 30	−57·1	15 56	— 3 23·3	−0·87	+4 34 33
255	Samstag	12	11 21 4·9	8·98	+4 11 37	−57·3	15 56	— 3 44·3	−0·88	+4 11 40
256	Sonntag	13	11 24 40·4	8·98	+3 48 39	−57·5	15 56	— 4 5·3	−0·88	+3 48 43
257	Montag	14	11 28 15·8	8·97	+3 25 38	−57·6	15 57	— 4 26·5	−0·88	+3 25 42
258	Dienst.	15	11 31 51·1	8·97	+3 2 33	−57·8	15 57	— 4 47·7	−0·89	+3 2 38
259	Mittw.	16	11 35 26·4	8·97	+2 39 25	−57·9	15 57	— 5 9·0	−0·89	+2 39 30
260	Donner.	17	11 39 1·6	8·97	+2 16 14	−58·0	15 57	— 5 30·3	−0·89	+2 16 19
261	Freitag	18	11 42 36·8	8·97	+1 53 0	−58·1	15 58	— 5 51·6	−0·89	+1 53 5
262	Samstag	19	11 46 12·1	8·97	+1 29 43	−58·2	15 58	— 6 12·9	−0·89	+1 29 49
263	Sonntag	20	11 49 47·4	8·97	+1 6 25	−58·3	15 58	— 6 34·2	−0·88	+1 6 31
264	Montag	21	11 53 22·8	8·98	+0 43 4	−58·4	15 59	— 6 55·3	−0·88	+0 43 11
265	Dienst.	22	11 56 58·3	8·98	+0 19 42	−58·4	15 59	— 7 16·4	−0·88	+0 19 49
266	Mittw.	23	12 0 33·9	8·99	−0 3 41	−58·5	15 59	— 7 37·3	−0·87	−0 3 33
267	Donner.	24	12 4 9·7	8·99	−0 27 5	−58·5	15 59	— 7 58·1	−0·86	−0 26 57
268	Freitag	25	12 7 45·6	9·00	−0 50 29	−58·5	16 0	— 8 18·7	−0·86	−0 50 21
269	Samstag	26	12 11 21·7	9·01	−1 13 54	−58·5	16 0	— 8 39·2	−0·85	−1 13 45
270	Sonntag	27	12 14 58·0	9·02	−1 37 18	−58·5	16 0	— 8 59·4	−0·84	−1 37 9
271	Montag	28	12 18 34·6	9·03	−2 0 42	−58·5	16 0	— 9 19·4	−0·83	−2 0 33
272	Dienst.	29	12 22 11·3	9·04	−2 24 5	−58·4	16 1	— 9 39·2	−0·82	−2 23 56
273	Mittw.	30	12 25 48·3	9·05	−2 47 27	−58·4	16 1	— 9 58·8	−0·81	−2 47 17
274	Donner.	O. 1	12 29 25·6	9·06	−3 10 47	−58·3	16 1	—10 18·0	−0·80	−3 10 37

Wochentag und Datum		Sternzeit im mittleren Greenwich. Mittage	Mittlere Greenwicher Zeit. Mond. Obere Culmination	Stündliche Verzögerung	Halbmesser Mittag	Halbmesser Mitternacht	Horizontal-Parallaxe Mittag	Stündl. Aenderung	Mitternacht	Stündl. Aenderung	Alter Mittag
		h m s	h m	m	′ ″	′ ″	′ ″	″	′ ″	″	d
Dienst.	1	10 41 27·1	23 31·1	1·82	14 51	14 49	54 25	−0·7	54 17	−0·6	27·8
Mittw.	2	10 45 23·6	*		14 47	14 46	54 10	−0·5	54 5	−0·4	28·8
Donner.	3	10 49 20·2	0 13·6	1·73	14 45	14 44	54 0	−0·3	53 57	−0·2	0·2
Freitag	4	10 53 16·7	0 54·3	1·67	14 43	14 43	53 56	−0·1	53 56	0·0	1·2
Samstag	5	10 57 13·3	1 34·0	1·65	14 43	14 44	53 57	+0·2	54 0	+0·3	2·2
Sonntag	6	11 1 9·8	2 13·6	1·66	14 45	14 47	54 4	+0·5	54 11	+0·6	3·2
Montag	7	11 5 6·4	2 54·0	1·72	14 49	14 52	54 19	+0·8	54 29	+0·9	4·2
Dienst.	8	11 9 2·9	3 36·4	1·82	14 55	14 59	54 41	+1·1	54 55	+1·3	5·2
Mittw.	9	11 12 59·5	4 21·6	1·96	15 4	15 9	55 11	+1·4	55 29	+1·6	6·2
Donner.	10	11 16 56·0	5 10·4	2·12	15 14	15 20	55 49	+1·8	56 12	+1·9	7·2
Freitag	11	11 20 52·6	6 3·3	2·28	15 27	15 34	56 36	+2·1	57 2	+2·2	8·2
Samstag	12	11 24 49·2	7 0·0	2·42	15 41	15 49	57 29	+2·3	57 57	+2·4	9·2
Sonntag	13	11 28 45·7	7 59·3	2·49	15 57	16 5	58 26	+2·4	58 55	+2·4	10·2
Montag	14	11 32 42·3	8 59·4	2·48	16 12	16 20	59 23	+2·3	59 50	+2·2	11·2
Dienst.	15	11 36 38·8	9 58·5	2·42	16 27	16 33	60 15	+2·0	60 37	+1·7	12·2
Mittw.	16	11 40 35·4	10 55·5	2·33	16 38	16 42	60 56	+1·4	61 11	+1·1	13·2
Donner.	17	11 44 31·9	11 50·2	2·25	16 45	16 46	61 21	+0·7	61 27	+0·2	14·2
Freitag	18	11 48 28·5	12 43·3	2·19	16 46	16 45	61 27	−0·2	61 22	−0·6	15·2
Samstag	19	11 52 25·0	13 35·6	2·19	16 42	16 38	61 12	−1·0	60 58	−1·4	16·2
Sonntag	20	11 56 21·6	14 28·3	2·22	16 33	16 27	60 39	−1·7	60 17	−2·0	17·2
Montag	21	12 0 18·1	15 22·0	2·26	16 21	16 13	59 53	−2·1	59 26	−2·3	18·2
Dienst.	22	12 4 14·7	16 17·0	2·31	16 6	15 58	58 58	−2·4	58 29	−2·4	19·2
Mittw.	23	12 8 11·2	17 12·9	2·33	15 50	15 42	58 1	−2·4	57 33	−2·3	20·2
Donner.	24	12 12 7·8	18 8·8	2·30	15 35	15 28	57 6	−2·2	56 40	−2·1	21·2
Freitag	25	12 16 4·4	19 3·2	2·22	15 21	15 15	56 16	−1·9	55 53	−1·8	22·2
Samstag	26	12 20 0·9	19 55·2	2·10	15 10	15 5	55 33	−1·6	55 14	−1·5	23·2
Sonntag	27	12 23 57·4	20 44·1	1·97	15 0	14 56	54 58	−1·3	54 44	−1·1	24·2
Montag	28	12 27 54·0	21 29·8	1·85	14 53	14 50	54 32	−0·9	54 21	−0·8	25·2
Dienst.	29	12 31 50·6	22 12·8	1·75	14 48	14 46	54 13	−0·6	54 6	−0·5	26·2
Mittw.	30	12 35 47·1	22 53·9	1·68	14 45	14 44	54 1	−0·4	53 58	−0·2	27·2
Donner.	O. 1	12 39 43·7	23 33·7	1·65	14 43	14 43	53 56	−0·1	53 56	0·0	28·2

*

Rectascension und Declination des Mondes.

Mittlere Green. Zeit	Rectascension	Aenderung in 10ᵐ	Declination + Nord	Aenderung in 10ᵐ	Mittlere Green. Zeit	Rectascension	Aenderung in 10ᵐ	Declination + Nord	Aenderung in 10ᵐ
	Dienstag 1.					Donnerstag 3.			
h	h m s	s	° ′ ″	″	h	h m s	s	° ′ ″	″
0	9 29 49·4	20·34	+ 19 58 5	− 90·1	0	11 2 34·6	18·44	+ 11 25 38	− 120·0
1	9 31 51·4	20·30	+ 19 49 2	− 91·0	1	11 4 25·2	18·41	+ 11 13 37	− 120·4
2	9 33 53·0	20·25	+ 19 39 53	− 91·8	2	11 6 15·6	18·39	+ 11 1 33	− 120·8
3	9 35 54·4	20·20	+ 19 30 40	− 92·6	3	11 8 5·8	18·36	+ 10 49 28	− 121·2
4	9 37 55·5	20·16	+ 19 21 22	− 93·4	4	11 9 55·9	18·33	+ 10 37 19	− 121·5
5	9 39 56·3	20·11	+ 19 11 59	− 94·2	5	11 11 45·8	18·30	+ 10 25 9	− 121·9
6	9 41 56·8	20·07	+ 19 2 31	− 95·0	6	11 13 35·5	18·28	+ 10 12 56	− 122·3
7	9 43 57·0	20·02	+ 18 52 58	− 95·8	7	11 15 25·1	18·25	+ 10 0 41	− 122·7
8	9 45 57·0	19·97	+ 18 43 21	− 96·6	8	11 17 14·5	18·22	+ 9 48 24	− 123·0
9	9 47 56·7	19·93	+ 18 33 39	− 97·3	9	11 19 3·7	18·20	+ 9 36 5	− 123·3
10	9 49 56·2	19·88	+ 18 23 53	− 98·1	10	11 20 52·8	18·17	+ 9 23 44	− 123·7
11	9 51 55·4	19·84	+ 18 14 3	− 98·8	11	11 22 41·8	18·15	+ 9 11 21	− 124·0
12	9 53 54·3	19·80	+ 18 4 8	− 99·5	12	11 24 30·6	18·12	+ 8 58 56	− 124·3
13	9 55 52·9	19·75	+ 17 54 8	− 100·3	13	11 26 19·3	18·10	+ 8 46 29	− 124·7
14	9 57 51·3	19·71	+ 17 44 4	− 101·0	14	11 28 7·8	18·08	+ 8 34 0	− 125·0
15	9 59 49·4	19·66	+ 17 33 56	− 101·7	15	11 29 56·3	18·06	+ 8 21 29	− 125·3
16	10 1 47·3	19·62	+ 17 23 44	− 102·4	16	11 31 44·5	18·04	+ 8 8 57	− 125·6
17	10 3 44·9	19·58	+ 17 13 28	− 103·1	17	11 33 32·7	18·01	+ 7 56 23	− 125·8
18	10 5 42·2	19·54	+ 17 3 7	− 103·7	18	11 35 20·7	17·99	+ 7 43 47	− 126·1
19	10 7 39·3	19·49	+ 16 52 43	− 104·4	19	11 37 8·6	17·97	+ 7 31 9	− 126·4
20	10 9 36·1	19·45	+ 16 42 14	− 105·1	20	11 38 56·4	17·96	+ 7 18 30	− 126·6
21	10 11 32·7	19·41	+ 16 31 42	− 105·7	21	11 40 44·1	17·94	+ 7 5 49	− 126·9
22	10 13 29·1	19·37	+ 16 21 6	− 106·4	22	11 42 31·7	17·92	+ 6 53 7	− 127·1
23	10 15 25·2	19·33	+ 16 10 26	− 107·0	23	11 44 19·1	17·90	+ 6 40 23	− 127·4
	Mittwoch 2.					Freitag 4.			
0	10 17 21·0	19·29	+ 15 59 42	− 107·6	0	11 46 6·5	17·88	+ 6 27 38	− 127·6
1	10 19 16·6	19·25	+ 15 48 54	− 108·2	1	11 47 53·7	17·87	+ 6 14 52	− 127·8
2	10 21 12·0	19·21	+ 15 38 3	− 108·8	2	11 49 40·9	17·85	+ 6 2 4	− 128·1
3	10 23 7·1	19·17	+ 15 27 8	− 109·4	3	11 51 28·0	17·84	+ 5 49 15	− 128·3
4	10 25 2·0	19·13	+ 15 16 10	− 110·0	4	11 53 15·0	17·82	+ 5 36 25	− 128·5
5	10 26 56·7	19·09	+ 15 5 8	− 110·6	5	11 55 1·9	17·81	+ 5 23 34	− 128·7
6	10 28 51·1	19·05	+ 14 54 3	− 111·2	6	11 56 48·7	17·79	+ 5 10 41	− 128·8
7	10 30 45·3	19·02	+ 14 42 54	− 111·7	7	11 58 35·4	17·78	+ 4 57 47	− 129·0
8	10 32 39·3	18·98	+ 14 31 42	− 112·3	8	12 0 22·0	17·77	+ 4 44 53	− 129·2
9	10 34 33·1	18·94	+ 14 20 27	− 112·8	9	12 2 8·6	17·76	+ 4 31 57	− 129·4
10	10 36 26·6	18·90	+ 14 9 8	− 113·3	10	12 3 55·1	17·75	+ 4 19 0	− 129·5
11	10 38 19·9	18·87	+ 13 57 47	− 113·9	11	12 5 41·6	17·74	+ 4 6 3	− 129·7
12	10 40 13·1	18·83	+ 13 46 22	− 114·4	12	12 7 28·0	17·73	+ 3 53 4	− 129·8
13	10 42 6·0	18·80	+ 13 34 54	− 114·9	13	12 9 14·3	17·72	+ 3 40 5	− 129·9
14	10 43 58·6	18·76	+ 13 23 23	− 115·4	14	12 11 0·6	17·71	+ 3 27 5	− 130·1
15	10 45 51·1	18·73	+ 13 11 49	− 115·9	15	12 12 46·8	17·70	+ 3 14 4	− 130·2
16	10 47 43·4	18·70	+ 13 0 12	− 116·4	16	12 14 33·0	17·69	+ 3 1 2	− 130·3
17	10 49 35·5	18·66	+ 12 48 32	− 116·9	17	12 16 19·1	17·69	+ 2 48 0	− 130·4
18	10 51 27·3	18·63	+ 12 36 50	− 117·3	18	12 18 5·2	17·68	+ 2 34 57	− 130·5
19	10 53 19·0	18·60	+ 12 25 4	− 117·8	19	12 19 51·3	17·67	+ 2 21 54	− 130·6
20	10 55 10·5	18·57	+ 12 13 16	− 118·2	20	12 21 37·3	17·67	+ 2 8 50	− 130·7
21	10 57 1·8	18·53	+ 12 1 26	− 118·7	21	12 23 23·3	17·66	+ 1 55 45	− 130·8
22	10 58 52·9	18·50	+ 11 49 32	− 119·1	22	12 25 9·3	17·66	+ 1 42 40	− 130·9
23	11 0 43·9	18·47	+ 11 37 36	− 119·5	23	12 26 55·3	17·66	+ 1 29 35	− 130·9
24	11 2 34·6	18·44	+ 11 25 38	− 120·0	24	12 28 41·2	17·65	+ 1 16 29	− 131·0

Rectascension und Declination des Mondes.

Mittlere Green. Zeit	Rect-ascension	Aenderung in 10m	Declination + Nord − Süd	Aenderung in 10m	Mittlere Green. Zeit	Rect-ascension	Aenderung in 10m	Declination − Süd	Aenderung in 10m
	Samstag 5.					Montag 7.			
h	h m s	s	° ′ ″	″	h	h m s	s	° ′ ″	″
0	12 28 41·2	17·65	+1 16 29	−131·0	0	13 54 18·6	18·27	− 9 5 32	−125·4
1	12 30 27·1	17·65	+1 3 23	−131·0	1	13 56 8·2	18·29	− 9 18 3	−125·1
2	12 32 13·0	17·65	+0 50 17	−131·1	2	13 57 58·1	18·32	− 9 30 33	−124·8
3	12 33 58·9	17·65	+0 37 10	−131·1	3	13 59 48·1	18·35	− 9 43 1	−124·5
4	12 35 44·8	17·65	+0 24 3	−131·1	4	14 1 38·3	18·38	− 9 55 28	−124·2
5	12 37 30·7	17·65	+0 10 57	−131·2	5	14 3 28·7	18·41	−10 7 52	−123·9
6	12 39 16·7	17·65	−0 2 11	−131·2	6	14 5 19·3	18·45	−10 20 14	−123·5
7	12 41 2·6	17·65	−0 15 18	−131·2	7	14 7 10·1	18·48	−10 32 35	−123·2
8	12 42 48·5	17·66	−0 28 25	−131·2	8	14 9 1·0	18·51	−10 44 53	−122·9
9	12 44 34·4	17·66	−0 41 32	−131·2	9	14 10 52·2	18·54	−10 57 9	−122·5
10	12 46 20·4	17·66	−0 54 39	−131·2	10	14 12 43·6	18·58	−11 9 23	−122·1
11	12 48 6·4	17·67	−1 7 46	−131·2	11	14 14 35·1	18·61	−11 21 35	−121·8
12	12 49 52·4	17·67	−1 20 53	−131·1	12	14 16 26·9	18·65	−11 33 44	−121·4
13	12 51 38·4	17·68	−1 34 0	−131·1	13	14 18 18·9	18·68	−11 45 51	−121·0
14	12 53 24·5	17·68	−1 47 6	−131·1	14	14 20 11·1	18·72	−11 57 56	−120·6
15	12 55 10·6	17·69	−2 0 12	−131·0	15	14 22 3·6	18·76	−12 9 58	−120·2
16	12 56 56·8	17·70	−2 13 18	−131·0	16	14 23 56·2	18·80	−12 21 58	−119·8
17	12 58 43·0	17·70	−2 26 24	−130·9	17	14 25 49·1	18·83	−12 33 55	−119·3
18	13 0 29·2	17·71	−2 39 29	−130·8	18	14 27 42·3	18·87	−12 45 50	−118·9
19	13 2 15·5	17·72	−2 52 34	−130·7	19	14 29 35·6	18·91	−12 57 42	−118·5
20	13 4 1·9	17·73	−3 5 38	−130·7	20	14 31 29·2	18·95	−13 9 32	−118·0
21	13 5 48·3	17·74	−3 18 42	−130·6	21	14 33 23·1	18·99	−13 21 19	−117·6
22	13 7 34·8	17·75	−3 31 45	−130·5	22	14 35 17·2	19·04	−13 33 3	−117·1
23	13 9 21·3	17·76	−3 44 48	−130·4	23	14 37 11·5	19·08	−13 44 44	−116·6
	Sonntag 6.					Dienstag 8.			
0	13 11 8·0	17·78	−3 57 50	−130·3	0	14 39 6·1	19·12	−13 56 22	−116·1
1	13 12 54·7	17·79	−4 10 51	−130·2	1	14 41 1·0	19·16	−14 7 57	−115·6
2	13 14 41·5	17·80	−4 23 52	−130·0	2	14 42 56·1	19·21	−14 19 29	−115·1
3	13 16 28·3	17·82	−4 36 51	−129·9	3	14 44 51·5	19·25	−14 30 59	−114·6
4	13 18 15·3	17·83	−4 49 50	−129·8	4	14 46 47·2	19·30	−14 42 25	−114·1
5	13 20 2·3	17·85	−5 2 48	−129·6	5	14 48 43·1	19·34	−14 53 48	−113·6
6	13 21 49·4	17·86	−5 15 46	−129·5	6	14 50 39·3	19·39	−15 5 8	−113·0
7	13 23 36·7	17·88	−5 28 42	−129·3	7	14 52 35·8	19·44	−15 16 24	−112·5
8	13 25 24·0	17·90	−5 41 37	−129·1	8	14 54 32·5	19·49	−15 27 37	−111·9
9	13 27 11·5	17·92	−5 54 31	−129·0	9	14 56 29·6	19·53	−15 38 47	−111·3
10	13 28 59·0	17·94	−6 7 25	−128·8	10	14 58 26·9	19·58	−15 49 53	−110·8
11	13 30 46·7	17·95	−6 20 17	−128·6	11	15 0 24·6	19·63	−16 0 56	−110·2
12	13 32 34·5	17·97	−6 33 8	−128·4	12	15 2 22·5	19·68	−16 11 56	−109·6
13	13 34 22·4	18·00	−6 45 57	−128·2	13	15 4 20·8	19·73	−16 22 51	−109·0
14	13 36 10·4	18·02	−6 58 46	−128·0	14	15 6 19·3	19·78	−16 33 43	−108·4
15	13 37 58·6	18·04	−7 11 33	−127·7	15	15 8 18·2	19·83	−16 44 32	−107·7
16	13 39 46·9	18·06	−7 24 19	−127·5	16	15 10 17·3	19·89	−16 55 16	−107·1
17	13 41 35·3	18·08	−7 37 3	−127·3	17	15 12 16·8	19·94	−17 5 57	−106·5
18	13 43 23·9	18·11	−7 49 46	−127·0	18	15 14 16·6	19·99	−17 16 34	−105·8
19	13 45 12·6	18·13	−8 2 28	−126·8	19	15 16 16·7	20·04	−17 27 7	−105·1
20	13 47 1·5	18·16	−8 15 8	−126·5	20	15 18 17·1	20·10	−17 37 36	−104·5
21	13 48 50·5	18·18	−8 27 46	−126·3	21	15 20 17·9	20·15	−17 48 0	−103·8
22	13 50 39·7	18·21	−8 40 23	−126·0	22	15 22 19·0	20·21	−17 58 21	−103·1
23	13 52 29·1	18·24	−8 52 58	−125·7	23	15 24 20·4	20·26	−18 8 37	−102·4
24	13 54 18·6	18·27	−9 5 32	−125·4	24	15 26 22·1	20·32	−18 18 49	−101·7

Rectascension und Declination des Mondes.

Mittlere Green. Zeit	Rectascension	Aenderung in 10ᵐ	Declination — Süd	Aenderung in 10ᵐ	Mittlere Green. Zeit	Rectascension	Aenderung in 10ᵐ	Declination — Süd	Aenderung in 10ᵐ
	Mittwoch 9.					**Freitag 11.**			
h	h m s	s	° ′ ″	″	h	h m s	s	° ′ ″	″
0	15 26 22·1	20·32	— 18 18 49	— 101·7	0	17 10 57·3	23·31	— 24 42 50	— 53·8
1	15 28 24·2	20·38	— 18 28 57	— 100·9	1	17 13 17·4	23·37	— 24 48 9	— 52·5
2	15 30 26·6	20·43	— 18 39 1	— 100·2	2	17 15 37·8	23·44	— 24 53 20	— 51·2
3	15 32 29·4	20·49	— 18 49 0	— 99·4	3	17 17 58·6	23·50	— 24 58 23	— 49·9
4	15 34 32·5	20·55	— 18 58 54	— 98·7	4	17 20 19·8	23·56	— 25 3 19	— 48·6
5	15 36 36·0	20·61	— 19 8 44	— 97·9	5	17 22 41·3	23·62	— 25 8 6	— 47·2
6	15 38 39·8	20·66	— 19 18 29	— 97·1	6	17 25 3·2	23·68	— 25 12 46	— 45·9
7	15 40 43·9	20·72	— 19 28 9	— 96·3	7	17 27 25·4	23·74	— 25 17 17	— 44·5
8	15 42 48·4	20·78	— 19 37 45	— 95·5	8	17 29 48·0	23·80	— 25 21 40	— 43·1
9	15 44 53·3	20·84	— 19 47 16	— 94·7	9	17 32 11·0	23·86	— 25 25 55	— 41·8
10	15 46 58·5	20·90	— 19 56 41	— 93·9	10	17 34 34·3	23·91	— 25 30 1	— 40·4
11	15 49 4·1	20·96	— 20 6 2	— 93·0	11	17 36 58·0	23·97	— 25 33 59	— 39·0
12	15 51 10·1	21·02	— 20 15 18	— 92·2	12	17 39 22·0	24·03	— 25 37 49	— 37·5
13	15 53 16·4	21·08	— 20 24 29	— 91·3	13	17 41 46·3	24·09	— 25 41 30	— 36·1
14	15 55 23·1	21·15	— 20 33 34	— 90·5	14	17 44 11·0	24·14	— 25 45 2	— 34·7
15	15 57 30·2	21·21	— 20 42 34	— 89·6	15	17 46 36·0	24·20	— 25 48 26	— 33·2
16	15 59 37·6	21·27	— 20 51 29	— 88·7	16	17 49 1·4	24·25	— 25 51 41	— 31·7
17	16 1 45·4	21·33	— 21 0 19	— 87·8	17	17 51 27·1	24·30	— 25 54 47	— 30·3
18	16 3 53·6	21·39	— 21 9 3	— 86·9	18	17 53 53·1	24·36	— 25 57 44	— 28·8
19	16 6 2·1	21·46	— 21 17 41	— 85·9	19	17 56 19·4	24·41	— 26 0 32	— 27·3
20	16 8 11·1	21·52	— 21 26 14	— 85·0	20	17 58 46·0	24·46	— 26 3 12	— 25·8
21	16 10 20·4	21·58	— 21 34 42	— 84·1	21	18 1 12·9	24·51	— 26 5 42	— 24·3
22	16 12 30·1	21·65	— 21 43 3	— 83·1	22	18 3 40·1	24·56	— 26 8 3	— 22·7
23	16 14 40·1	21·71	— 21 51 19	— 82·1	23	18 6 7·6	24·61	— 26 10 15	— 21·2
	Donnerstag 10.					**Samstag 12.**			
0	16 16 50·6	21·77	— 21 59 29	— 81·1	0	18 8 35·5	24·66	— 26 12 17	— 19·7
1	16 19 1·4	21·84	— 22 7 33	— 80·1	1	18 11 3·6	24·71	— 26 14 11	— 18·1
2	16 21 12·6	21·90	— 22 15 30	— 79·1	2	18 13 32·0	24·75	— 26 15 55	— 16·5
3	16 23 24·3	21·97	— 22 23 22	— 78·1	3	18 16 0·6	24·80	— 26 17 29	— 15·0
4	16 25 36·3	22·03	— 22 31 8	— 77·1	4	18 18 29·5	24·84	— 26 18 54	— 13·4
5	16 27 48·6	22·10	— 22 38 47	— 76·0	5	18 20 58·7	24·89	— 26 20 10	— 11·8
6	16 30 1·4	22·16	— 22 46 20	— 75·0	6	18 23 28·2	24·93	— 26 21 16	— 10·2
7	16 32 14·6	22·23	— 22 53 46	— 73·9	7	18 25 57·9	24·97	— 26 22 12	— 8·6
8	16 34 28·1	22·29	— 23 1 7	— 72·8	8	18 28 27·8	25·01	— 26 22 59	— 7·0
9	16 36 42·0	22·35	— 23 8 20	— 71·7	9	18 30 58·0	25·05	— 26 23 36	— 5·3
10	16 38 56·4	22·42	— 23 15 27	— 70·6	10	18 33 28·5	25·09	— 26 24 3	— 3·7
11	16 41 11·1	22·48	— 23 22 27	— 69·5	11	18 35 59·1	25·13	— 26 24 21	— 2·1
12	16 43 26·2	22·55	— 23 29 21	— 68·4	12	18 38 30·0	25·16	— 26 24 28	— 0·4
13	16 45 41·6	22·61	— 23 36 8	— 67·2	13	18 41 1·1	25·20	— 26 24 26	+ 1·2
14	16 47 57·5	22·68	— 23 42 48	— 66·0	14	18 43 32·4	25·23	— 26 24 13	+ 2·9
15	16 50 13·8	22·74	— 23 49 20	— 64·9	15	18 46 3·9	25·27	— 26 23 51	+ 4·6
16	16 52 30·4	22·80	— 23 55 46	— 63·7	16	18 48 35·6	25·30	— 26 23 19	+ 6·2
17	16 54 47·4	22·87	— 24 2 5	— 62·5	17	18 51 7·5	25·33	— 26 22 36	+ 7·9
18	16 57 4·8	22·93	— 24 8 16	— 61·3	18	18 53 39·6	25·36	— 26 21 44	+ 9·6
19	16 59 22·6	23·00	— 24 14 20	— 60·1	19	18 56 11·8	25·39	— 26 20 41	+ 11·3
20	17 1 40·8	23·06	— 24 20 17	— 58·8	20	18 58 44·2	25·42	— 26 19 28	+ 13·0
21	17 3 59·4	23·12	— 24 26 7	— 57·6	21	19 1 16·8	25·44	— 26 18 5	+ 14·7
22	17 6 18·3	23·19	— 24 31 49	— 56·4	22	19 3 49·5	25·47	— 26 16 32	+ 16·4
23	17 8 37·6	23·25	— 24 37 23	— 55·1	23	19 6 22·4	25·49	— 26 14 48	+ 18·1
24	17 10 57·3	23·31	— 24 42 50	— 53·8	24	19 8 55·4	25·51	— 26 12 54	+ 19·8



Rectascension und Declination des Mondes.

Mittlere Green. Zeit	Rectascension			Aenderung in 10ᵐ	Declination — Süd			Aenderung in 10ᵐ	Mittlere Green. Zeit	Rectascension			Aenderung in 10ᵐ	Declination — Süd			Aenderung in 10ᵐ
				Sonntag 13.									**Dienstag 15.**				
h	h	m	s	s	°	′	″	″	h	h	m	s	s	°	′	″	″
0	19	8	55·4	25·51	— 26	12	54	+ 19·8	0	21	11	43·6	25·24	— 21	19	34	+ 100·9
1	19	11	28·6	25·53	— 26	10	50	+ 21·6	1	21	14	15·0	25·21	— 21	9	24	+ 102·4
2	19	14	1·8	25·55	— 26	8	36	+ 23·3	2	21	16	46·1	25·18	— 20	59	5	+ 103·9
3	19	16	35·2	25·57	— 26	6	11	+ 25·0	3	21	19	17·1	25·15	— 20	48	36	+ 105·4
4	19	19	8·7	25·59	— 26	3	36	+ 26·7	4	21	21	48·0	25·12	— 20	37	59	+ 106·9
5	19	21	42·3	25·61	— 26	0	50	+ 28·5	5	21	24	18·6	25·09	— 20	27	13	+ 108·4
6	19	24	16·0	25·62	— 25	57	54	+ 30·2	6	21	26	49·0	25·06	— 20	16	18	+ 109·9
7	19	26	49·8	25·64	— 25	54	47	+ 31·9	7	21	29	19·3	25·03	— 20	5	15	+ 111·3
8	19	29	23·7	25·65	— 25	51	30	+ 33·7	8	21	31	49·4	24·99	— 19	54	2	+ 112·8
9	19	31	57·6	25·66	— 25	48	3	+ 35·4	9	21	34	19·2	24·96	— 19	42	41	+ 114·2
10	19	34	31·6	25·67	— 25	44	25	+ 37·2	10	21	36	48·9	24·93	— 19	31	12	+ 115·6
11	19	37	5·7	25·68	— 25	40	37	+ 38·9	11	21	39	18·4	24·89	— 19	19	34	+ 117·0
12	19	39	39·8	25·69	— 25	36	39	+ 40·6	12	21	41	47·6	24·86	— 19	7	48	+ 118·4
13	19	42	14·0	25·70	— 25	32	29	+ 42·4	13	21	44	16·7	24·82	— 18	55	53	+ 119·8
14	19	44	48·2	25·70	— 25	28	10	+ 44·1	14	21	46	45·5	24·79	— 18	43	51	+ 121·1
15	19	47	22·4	25·70	— 25	23	40	+ 45·9	15	21	49	14·1	24·75	— 18	31	40	+ 122·4
16	19	49	56·6	25·71	— 25	18	59	+ 47·6	16	21	51	42·6	24·72	— 18	19	21	+ 123·8
17	19	52	30·9	25·71	— 25	14	8	+ 49·4	17	21	54	10·8	24·68	— 18	6	55	+ 125·1
18	19	55	5·1	25·71	— 25	9	7	+ 51·1	18	21	56	38·8	24·65	— 17	54	20	+ 126·4
19	19	57	39·4	25·71	— 25	3	55	+ 52·8	19	21	59	6·6	24·61	— 17	41	38	+ 127·6
20	20	0	13·7	25·71	— 24	58	33	+ 54·6	20	22	1	34·1	24·58	— 17	28	49	+ 128·9
21	20	2	47·9	25·70	— 24	53	0	+ 56·3	21	22	4	1·5	24·54	— 17	15	52	+ 130·1
22	20	5	22·1	25·70	— 24	47	17	+ 58·0	22	22	6	28·6	24·50	— 17	2	47	+ 131·4
23	20	7	56·3	25·70	— 24	41	24	+ 59·8	23	22	8	55·5	24·47	— 16	49	35	+ 132·6
				Montag 14.									**Mittwoch 16.**				
0	20	10	30·5	25·69	— 24	35	20	+ 61·5	0	22	11	22·2	24·43	— 16	36	16	+ 133·8
1	20	13	4·6	25·68	— 24	29	6	+ 63·2	1	22	13	48·7	24·39	— 16	22	50	+ 134·9
2	20	15	38·6	25·67	— 24	22	41	+ 64·9	2	22	16	15·0	24·36	— 16	9	16	+ 136·1
3	20	18	12·6	25·66	— 24	16	7	+ 66·6	3	22	18	41·0	24·32	— 15	55	36	+ 137·2
4	20	20	46·6	25·65	— 24	9	22	+ 68·3	4	22	21	6·8	24·28	— 15	41	49	+ 138·4
5	20	23	20·5	25·64	— 24	2	27	+ 70·0	5	22	23	32·4	24·25	— 15	27	56	+ 139·5
6	20	25	54·3	25·63	— 23	55	21	+ 71·7	6	22	25	57·8	24·21	— 15	13	56	+ 140·6
7	20	28	28·0	25·61	— 23	48	6	+ 73·4	7	22	28	22·9	24·17	— 14	59	49	+ 141·6
8	20	31	1·6	25·60	— 23	40	41	+ 75·1	8	22	30	47·9	24·14	— 14	45	36	+ 142·7
9	20	33	35·2	25·58	— 23	33	5	+ 76·8	9	22	33	12·6	24·10	— 14	31	17	+ 143·7
10	20	36	8·6	25·57	— 23	25	19	+ 78·4	10	22	35	37·1	24·07	— 14	16	52	+ 144·7
11	20	38	42·0	25·55	— 23	17	24	+ 80·1	11	22	38	1·4	24·03	— 14	2	20	+ 145·7
12	20	41	15·2	25·53	— 23	9	18	+ 81·8	12	22	40	25·4	23·99	— 13	47	43	+ 146·7
13	20	43	48·3	25·51	— 23	1	3	+ 83·4	13	22	42	49·3	23·96	— 13	33	0	+ 147·7
14	20	46	21·3	25·49	— 22	52	37	+ 85·0	14	22	45	12·9	23·92	— 13	18	11	+ 148·6
15	20	48	54·2	25·47	— 22	44	2	+ 86·7	15	22	47	36·4	23·89	— 13	3	17	+ 149·5
16	20	51	26·9	25·45	— 22	35	17	+ 88·3	16	22	49	59·6	23·85	— 12	48	17	+ 150·4
17	20	53	59·6	25·42	— 22	26	23	+ 89·9	17	22	52	22·6	23·82	— 12	33	12	+ 151·3
18	20	56	32·0	25·40	— 22	17	18	+ 91·5	18	22	54	45·4	23·78	— 12	18	1	+ 152·1
19	20	59	4·3	25·37	— 22	8	4	+ 93·1	19	22	57	8·0	23·75	— 12	2	46	+ 153·0
20	21	1	36·5	25·35	— 21	58	41	+ 94·7	20	22	59	30·4	23·72	— 11	47	25	+ 153·8
21	21	4	8·5	25·32	— 21	49	8	+ 96·3	21	23	1	52·6	23·68	— 11	32	0	+ 154·6
22	21	6	40·4	25·30	— 21	39	26	+ 97·8	22	23	4	14·7	23·65	— 11	16	30	+ 155·4
23	21	9	12·1	25·27	— 21	29	35	+ 99·4	23	23	6	36·5	23·62	— 11	0	55	+ 156·2
24	21	11	43·6	25·24	— 21	19	34	+ 100·9	24	23	8	58·1	23·59	— 10	45	16	+ 156·9

Rectascension und Declination des Mondes.

Mittlere Green. Zeit	Rectascension	Aenderung in 10ᵐ	Declination — Süd + Nord	Aenderung in 10ᵐ	Mittlere Green. Zeit	Rectascension	Aenderung in 10ᵐ	Declination + Nord	Aenderung in 10ᵐ
Donnerstag 17.					Samstag 19.				
h	h m s	s	° ′ ″	″	h	h m s	s	° ′ ″	″
0	23 8 58.1	23.59	— 10 45 16	+ 156.9	0	0 59 27.3	22.68	+ 2 34 13	+ 168.3
1	23 11 19.5	23.55	— 10 29 33	+ 157.6	1	1 1 43.3	22.68	+ 2 51 2	+ 168.1
2	23 13 40.7	23.52	— 10 13 45	+ 158.3	2	1 3 59.4	22.68	+ 3 7 50	+ 167.8
3	23 16 1.8	23.49	— 9 57 53	+ 159.0	3	1 6 15.5	22.67	+ 3 24 36	+ 167.5
4	23 18 22.6	23.46	— 9 41 57	+ 159.7	4	1 8 31.5	22.67	+ 3 41 20	+ 167.2
5	23 20 43.3	23.43	— 9 25 57	+ 160.3	5	1 10 47.5	22.67	+ 3 58 2	+ 166.9
6	23 23 3.8	23.40	— 9 9 53	+ 160.9	6	1 13 3.6	22.67	+ 4 14 42	+ 166.5
7	23 25 24.1	23.37	— 8 53 46	+ 161.5	7	1 15 19.6	22.67	+ 4 31 20	+ 166.1
8	23 27 44.3	23.34	— 8 37 35	+ 162.1	8	1 17 35.7	22.67	+ 4 47 56	+ 165.7
9	23 30 4.3	23.32	— 8 21 21	+ 162.7	9	1 19 51.7	22.68	+ 5 4 29	+ 165.3
10	23 32 24.1	23.29	— 8 5 3	+ 163.2	10	1 22 7.8	22.68	+ 5 21 0	+ 164.9
11	23 34 43.7	23.26	— 7 48 42	+ 163.7	11	1 24 23.9	22.68	+ 5 37 28	+ 164.5
12	23 37 3.2	23.23	— 7 32 19	+ 164.2	12	1 26 40.0	22.68	+ 5 53 53	+ 164.0
13	23 39 22.5	23.21	— 7 15 52	+ 164.7	13	1 28 56.1	22.69	+ 6 10 16	+ 163.5
14	23 41 41.7	23.18	— 6 59 23	+ 165.1	14	1 31 12.2	22.69	+ 6 26 35	+ 163.0
15	23 44 0.7	23.16	— 6 42 51	+ 165.6	15	1 33 28.4	22.70	+ 6 42 52	+ 162.5
16	23 46 19.6	23.13	— 6 26 16	+ 166.0	16	1 35 44.6	22.70	+ 6 59 5	+ 162.0
17	23 48 38.3	23.11	— 6 9 39	+ 166.4	17	1 38 0.9	22.71	+ 7 15 15	+ 161.4
18	23 50 56.9	23.09	— 5 52 59	+ 166.7	18	1 40 17.2	22.72	+ 7 31 22	+ 160.8
19	23 53 15.3	23.06	— 5 36 18	+ 167.1	19	1 42 33.5	22.73	+ 7 47 25	+ 160.2
20	23 55 33.6	23.04	— 5 19 34	+ 167.4	20	1 44 49.9	22.73	+ 8 3 25	+ 159.6
21	23 57 51.8	23.02	— 5 2 49	+ 167.7	21	1 47 6.3	22.74	+ 8 19 21	+ 159.0
22	0 0 9.9	23.00	— 4 46 2	+ 168.0	22	1 49 22.8	22.75	+ 8 35 13	+ 158.4
23	0 2 27.8	22.98	— 4 29 13	+ 168.2	23	1 51 39.3	22.76	+ 8 51 1	+ 157.7
Freitag 18.					Sonntag 20.				
0	0 4 45.6	22.96	— 4 12 22	+ 168.5	0	1 53 55.9	22.77	+ 9 6 46	+ 157.0
1	0 7 3.3	22.94	— 3 55 30	+ 168.8	1	1 56 12.6	22.78	+ 9 22 26	+ 156.3
2	0 9 20.9	22.92	— 3 38 37	+ 169.0	2	1 58 29.3	22.80	+ 9 38 2	+ 155.6
3	0 11 38.4	22.90	— 3 21 43	+ 169.1	3	2 0 46.2	22.81	+ 9 53 34	+ 154.9
4	0 13 55.8	22.89	— 3 4 47	+ 169.3	4	2 3 3.0	22.82	+ 10 9 1	+ 154.2
5	0 16 13.0	22.87	— 2 47 51	+ 169.5	5	2 5 20.0	22.83	+ 10 24 24	+ 153.4
6	0 18 30.2	22.85	— 2 30 54	+ 169.6	6	2 7 37.0	22.85	+ 10 39 42	+ 152.6
7	0 20 47.3	22.84	— 2 13 56	+ 169.7	7	2 9 54.2	22.86	+ 10 54 55	+ 151.8
8	0 23 4.3	22.82	— 1 56 58	+ 169.8	8	2 12 11.4	22.87	+ 11 10 4	+ 151.0
9	0 25 21.2	22.81	— 1 39 59	+ 169.8	9	2 14 28.6	22.89	+ 11 25 8	+ 150.2
10	0 27 38.0	22.80	— 1 23 0	+ 169.9	10	2 16 46.0	22.90	+ 11 40 7	+ 149.4
11	0 29 54.8	22.78	— 1 6 0	+ 169.9	11	2 19 3.5	22.92	+ 11 55 0	+ 148.5
12	0 32 11.5	22.77	— 0 49 1	+ 169.9	12	2 21 21.0	22.93	+ 12 9 49	+ 147.6
13	0 34 28.1	22.76	— 0 32 2	+ 169.9	13	2 23 38.7	22.95	+ 12 24 32	+ 146.8
14	0 36 44.6	22.75	— 0 15 2	+ 169.8	14	2 25 56.5	22.97	+ 12 39 10	+ 145.9
15	0 39 1.1	22.74	+ 0 1 56	+ 169.8	15	2 28 14.3	22.98	+ 12 53 43	+ 145.0
16	0 41 17.5	22.73	+ 0 18 55	+ 169.7	16	2 30 32.3	23.00	+ 13 8 10	+ 144.0
17	0 43 33.9	22.72	+ 0 35 53	+ 169.6	17	2 32 50.3	23.02	+ 13 22 31	+ 143.1
18	0 45 50.2	22.72	+ 0 52 50	+ 169.5	18	2 35 8.5	23.04	+ 13 36 47	+ 142.1
19	0 48 6.5	22.71	+ 1 9 46	+ 169.3	19	2 37 26.8	23.06	+ 13 50 57	+ 141.2
20	0 50 22.7	22.70	+ 1 26 42	+ 169.2	20	2 39 45.2	23.07	+ 14 5 1	+ 140.2
21	0 52 38.9	22.70	+ 1 43 36	+ 169.0	21	2 42 3.7	23.09	+ 14 18 59	+ 139.2
22	0 54 55.0	22.69	+ 2 0 30	+ 168.8	22	2 44 22.3	23.11	+ 14 32 51	+ 138.2
23	0 57 11.2	22.69	+ 2 17 22	+ 168.6	23	2 46 41.0	23.13	+ 14 46 37	+ 137.1
24	0 59 27.3	22.68	+ 2 34 13	+ 168.3	24	2 48 59.9	23.15	+ 15 0 17	+ 136.1

Rectascension und Declination des Mondes.

Montag 21.

Mittlere Green. Zeit h	Rectascension h	m	s	Aenderung in 10m s	Declination + Nord °	′	″	Aenderung in 10m ″
0	2	48	59·9	23·15	+15	0	17	+136·1
1	2	51	18·9	23·17	+15	13	50	+135·0
2	2	53	38·0	23·19	+15	27	17	+134·0
3	2	55	57·2	23·21	+15	40	38	+132·9
4	2	58	16·5	23·23	+15	53	52	+131·8
5	3	0	35·9	23·25	+16	7	0	+130·7
6	3	2	55·5	23·27	+16	20	0	+129·6
7	3	5	15·2	23·29	+16	32	54	+128·4
8	3	7	35·0	23·31	+16	45	42	+127·3
9	3	9	55·0	23·34	+16	58	22	+126·2
10	3	12	15·1	23·36	+17	10	56	+125·0
11	3	14	35·3	23·38	+17	23	22	+123·8
12	3	16	55·6	23·40	+17	35	41	+122·6
13	3	19	16·1	23·42	+17	47	53	+121·4
14	3	21	36·7	23·44	+17	59	58	+120·2
15	3	23	57·4	23·46	+18	11	56	+119·0
16	3	26	18·2	23·48	+18	23	46	+117·7
17	3	28	39·2	23·51	+18	35	29	+116·5
18	3	31	0·3	23·53	+18	47	4	+115·2
19	3	33	21·5	23·55	+18	58	32	+114·0
20	3	35	42·8	23·57	+19	9	52	+112·7
21	3	38	4·3	23·59	+19	21	4	+111·4
22	3	40	25·9	23·61	+19	32	8	+110·1
23	3	42	47·6	23·63	+19	43	5	+108·8

Dienstag 22.

Mittlere Green. Zeit h	Rectascension h	m	s	Aenderung in 10m s	Declination + Nord °	′	″	Aenderung in 10m ″
0	3	45	9·5	23·65	+19	53	54	+107·5
1	3	47	31·5	23·67	+20	4	35	+106·2
2	3	49	53·6	23·69	+20	15	8	+104·8
3	3	52	15·8	23·71	+20	25	33	+103·5
4	3	54	38·1	23·73	+20	35	50	+102·1
5	3	57	0·5	23·75	+20	45	59	+100·8
6	3	59	23·1	23·77	+20	55	59	+ 99·4
7	4	1	45·8	23·79	+21	5	52	+ 98·0
8	4	4	8·6	23·81	+21	15	36	+ 96·6
9	4	6	31·5	23·82	+21	25	11	+ 95·3
10	4	8	54·5	23·84	+21	34	39	+ 93·9
11	4	11	17·6	23·86	+21	43	58	+ 92·4
12	4	13	40·8	23·88	+21	53	8	+ 91·0
13	4	16	4·1	23·89	+22	2	10	+ 89·6
14	4	18	27·5	23·91	+22	11	3	+ 88·2
15	4	20	51·0	23·93	+22	19	48	+ 86·7
16	4	23	14·6	23·94	+22	28	24	+ 85·3
17	4	25	38·3	23·96	+22	36	52	+ 83·9
18	4	28	2·1	23·97	+22	45	10	+ 82·4
19	4	30	26·0	23·98	+22	53	20	+ 80·9
20	4	32	49·9	24·00	+23	1	22	+ 79·5
21	4	35	13·9	24·01	+23	9	14	+ 78·0
22	4	37	38·0	24·02	+23	16	58	+ 76·5
23	4	40	2·2	24·03	+23	24	32	+ 75·0
24	4	42	26·5	24·05	+23	31	58	+ 73·6

Mittwoch 23.

Mittlere Green. Zeit h	Rectascension h	m	s	Aenderung in 10m s	Declination + Nord °	′	″	Aenderung in 10m ″
0	4	42	26·5	24·05	+23	31	58	+73·6
1	4	44	50·8	24·06	+23	39	15	+72·1
2	4	47	15·2	24·07	+23	46	23	+70·6
3	4	49	39·6	24·08	+23	53	22	+69·1
4	4	52	4·1	24·09	+24	0	12	+67·6
5	4	54	28·6	24·09	+24	6	53	+66·1
6	4	56	53·2	24·10	+24	13	25	+64·6
7	4	59	17·8	24·11	+24	19	48	+63·1
8	5	1	42·5	24·11	+24	26	2	+61·5
9	5	4	7·2	24·12	+24	32	7	+60·0
10	5	6	32·0	24·13	+24	38	2	+58·5
11	5	8	56·7	24·13	+24	43	49	+57·0
12	5	11	21·5	24·13	+24	49	26	+55·4
13	5	13	46·3	24·14	+24	54	54	+53·9
14	5	16	11·1	24·14	+25	0	13	+52·4
15	5	18	36·0	24·14	+25	5	23	+50·9
16	5	21	0·8	24·14	+25	10	23	+49·3
17	5	23	25·6	24·14	+25	15	14	+47·8
18	5	25	50·5	24·14	+25	19	57	+46·3
19	5	28	15·3	24·14	+25	24	30	+44·7
20	5	30	40·1	24·13	+25	28	53	+43·2
21	5	33	4·9	24·13	+25	33	8	+41·6
22	5	35	29·7	24·12	+25	37	13	+40·1
23	5	37	54·4	24·12	+25	41	9	+38·6

Donnerstag 24.

Mittlere Green. Zeit h	Rectascension h	m	s	Aenderung in 10m s	Declination + Nord °	′	″	Aenderung in 10m ″
0	5	40	19·1	24·11	+25	44	56	+37·0
1	5	42	43·8	24·11	+25	48	34	+35·5
2	5	45	8·4	24·10	+25	52	2	+34·0
3	5	47	33·0	24·09	+25	55	21	+32·4
4	5	49	57·5	24·08	+25	58	31	+30·9
5	5	52	21·9	24·07	+26	1	32	+29·4
6	5	54	46·3	24·06	+26	4	23	+27·8
7	5	57	10·7	24·05	+26	7	6	+26·3
8	5	59	34·9	24·04	+26	9	39	+24·8
9	6	1	59·1	24·02	+26	12	3	+23·2
10	6	4	23·2	24·01	+26	14	18	+21·7
11	6	6	47·2	23·99	+26	16	23	+20·2
12	6	9	11·1	23·98	+26	18	20	+18·7
13	6	11	34·9	23·96	+26	20	8	+17·2
14	6	13	58·6	23·94	+26	21	46	+15·6
15	6	16	22·2	23·92	+26	23	15	+14·1
16	6	18	45·7	23·90	+26	24	36	+12·6
17	6	21	9·1	23·88	+26	25	47	+11·1
18	6	23	32·3	23·86	+26	26	49	+ 9·6
19	6	25	55·4	23·84	+26	27	42	+ 8·1
20	6	28	18·4	23·81	+26	28	27	+ 6·6
21	6	30	41·2	23·79	+26	29	2	+ 5·1
22	6	33	3·9	23·77	+26	29	28	+ 3·7
23	6	35	26·5	23·74	+26	29	46	+ 2·2
24	6	37	48·9	23·72	+26	29	55	+ 0·7

Rectascension und Declination des Mondes.

Freitag 25.

Mittlere Green. Zeit	Rectascension	Aenderung in 10m	Declination + Nord	Aenderung in 10m
h	h m s	s	° ′ ″	″
0	6 37 48·9	23·72	+ 26 29 55	+ 0·7
1	6 40 11·1	23·69	+ 26 29 55	− 0·8
2	6 42 33·2	23·66	+ 26 29 46	− 2·2
3	6 44 55·1	23·64	+ 26 29 28	− 3·7
4	6 47 16·8	23·61	+ 26 29 1	− 5·1
5	6 49 38·4	23·58	+ 26 28 26	− 6·6
6	6 51 59·7	23·55	+ 26 27 42	− 8·0
7	6 54 20·9	23·51	+ 26 26 50	− 9·5
8	6 56 41·9	23·48	+ 26 25 49	− 10·9
9	6 59 2·7	23·45	+ 26 24 39	− 12·3
10	7 1 23·3	23·42	+ 26 23 21	− 13·7
11	7 3 43·7	23·38	+ 26 21 54	− 15·1
12	7 6 3·9	23·35	+ 26 20 19	− 16·5
13	7 8 23·9	23·31	+ 26 18 36	− 17·9
14	7 10 43·7	23·28	+ 26 16 44	− 19·3
15	7 13 3·2	23·24	+ 26 14 44	− 20·7
16	7 15 22·5	23·20	+ 26 12 35	− 22·1
17	7 17 41·6	23·16	+ 26 10 19	− 23·5
18	7 20 0·5	23·13	+ 26 7 54	− 24·8
19	7 22 19·1	23·09	+ 26 5 21	− 26·2
20	7 24 37·5	23·05	+ 26 2 39	− 27·5
21	7 26 55·7	23·00	+ 25 59 50	− 28·9
22	7 29 13·6	22·96	+ 25 56 53	− 30·2
23	7 31 31·3	22·92	+ 25 53 47	− 31·5

Samstag 26.

Mittlere Green. Zeit	Rectascension	Aenderung in 10m	Declination + Nord	Aenderung in 10m
0	7 33 48·7	22·88	+ 25 50 34	− 32·9
1	7 36 5·9	22·84	+ 25 47 13	− 34·2
2	7 38 22·8	22·80	+ 25 43 44	− 35·5
3	7 40 39·4	22·75	+ 25 40 7	− 36·8
4	7 42 55·8	22·71	+ 25 36 23	− 38·1
5	7 45 11·9	22·66	+ 25 32 30	− 39·3
6	7 47 27·8	22·62	+ 25 28 30	− 40·6
7	7 49 43·3	22·57	+ 25 24 23	− 41·9
8	7 51 58·6	22·53	+ 25 20 8	− 43·1
9	7 54 13·7	22·48	+ 25 15 45	− 44·4
10	7 56 28·4	22·43	+ 25 11 15	− 45·6
11	7 58 42·9	22·39	+ 25 6 38	− 46·8
12	8 0 57·1	22·34	+ 25 1 53	− 48·1
13	8 3 11·0	22·29	+ 24 57 1	− 49·3
14	8 5 24·6	22·25	+ 24 52 2	− 50·5
15	8 7 37·9	22·20	+ 24 46 56	− 51·7
16	8 9 51·0	22·15	+ 24 41 42	− 52·8
17	8 12 3·7	22·10	+ 24 36 21	− 54·0
18	8 14 16·2	22·05	+ 24 30 54	− 55·2
19	8 16 28·4	22·00	+ 24 25 19	− 56·4
20	8 18 40·2	21·95	+ 24 19 37	− 57·5
21	8 20 51·8	21·90	+ 24 13 49	− 58·6
22	8 23 3·1	21·85	+ 24 7 54	− 59·8
23	8 25 14·1	21·80	+ 24 1 52	− 60·9
24	8 27 24·8	21·75	+ 23 55 43	− 62·0

Sonntag 27.

Mittlere Green. Zeit	Rectascension	Aenderung in 10m	Declination + Nord	Aenderung in 10m
h	h m s	s	° ′ ″	″
0	8 27 24·8	21·75	+ 23 55 43	− 62·0
1	8 29 35·1	21·70	+ 23 49 28	− 63·1
2	8 31 45·2	21·65	+ 23 43 6	− 64·2
3	8 33 55·0	21·60	+ 23 36 38	− 65·3
4	8 36 4·5	21·55	+ 23 30 3	− 66·3
5	8 38 13·6	21·50	+ 23 23 21	− 67·4
6	8 40 22·5	21·45	+ 23 16 34	− 68·5
7	8 42 31·1	21·40	+ 23 9 40	− 69·5
8	8 44 39·3	21·35	+ 23 2 39	− 70·6
9	8 46 47·3	21·30	+ 22 55 33	− 71·6
10	8 48 54·9	21·25	+ 22 48 20	− 72·6
11	8 51 2·3	21·20	+ 22 41 2	− 73·6
12	8 53 9·3	21·15	+ 22 33 37	− 74·6
13	8 55 16·1	21·10	+ 22 26 6	− 75·6
14	8 57 22·5	21·05	+ 22 18 30	− 76·6
15	8 59 28·6	21·00	+ 22 10 47	− 77·5
16	9 1 34·5	20·95	+ 22 2 59	− 78·5
17	9 3 40·0	20·90	+ 21 55 5	− 79·5
18	9 5 45·2	20·85	+ 21 47 5	− 80·4
19	9 7 50·1	20·79	+ 21 39 0	− 81·3
20	9 9 54·7	20·74	+ 21 30 49	− 82·3
21	9 11 59·1	20·69	+ 21 22 33	− 83·2
22	9 14 3·1	20·64	+ 21 14 11	− 84·1
23	9 16 6·8	20·60	+ 21 5 44	− 85·0

Montag 28.

Mittlere Green. Zeit	Rectascension	Aenderung in 10m	Declination + Nord	Aenderung in 10m
0	9 18 10·2	20·55	+ 20 57 11	− 85·9
1	9 20 13·4	20·50	+ 20 48 33	− 86·8
2	9 22 16·2	20·45	+ 20 39 50	− 87·6
3	9 24 18·7	20·40	+ 20 31 2	− 88·5
4	9 26 21·0	20·35	+ 20 22 8	− 89·3
5	9 28 22·9	20·30	+ 20 13 9	− 90·2
6	9 30 24·6	20·25	+ 20 4 6	− 91·0
7	9 32 26·0	20·21	+ 19 54 57	− 91·8
8	9 34 27·1	20·16	+ 19 45 44	− 92·6
9	9 36 27·9	20·11	+ 19 36 25	− 93·4
10	9 38 28·4	20·06	+ 19 27 2	− 94·2
11	9 40 28·6	20·02	+ 19 17 34	− 95·0
12	9 42 28·6	19·97	+ 19 8 2	− 95·8
13	9 44 28·3	19·92	+ 18 58 25	− 96·6
14	9 46 27·7	19·88	+ 18 48 43	− 97·4
15	9 48 26·8	19·83	+ 18 38 57	− 98·1
16	9 50 25·7	19·79	+ 18 29 6	− 98·8
17	9 52 24·2	19·74	+ 18 19 10	− 99·6
18	9 54 22·6	19·70	+ 18 9 11	− 100·3
19	9 56 20·6	19·65	+ 17 59 7	− 101·0
20	9 58 18·4	19·61	+ 17 48 59	− 101·7
21	10 0 15·9	19·56	+ 17 38 46	− 102·4
22	10 2 13·2	19·52	+ 17 28 30	− 103·1
23	10 4 10·2	19·48	+ 17 18 9	− 103·8
24	10 6 6·9	19·44	+ 17 7 44	− 104·4

Rectascension und Declination des Mondes.

Mittlere Green. Zeit	Rectascension	Aenderung in 10m	Declination + Nord	Aenderung in 10m	Mittlere Green. Zeit	Rectascension	Aenderung in 10m	Declination + Nord	Aenderung in 10m
	Dienstag 29.					**Mittwoch 30.**			
h	h m s	s	° ′ ″	″	h	h m s	s	° ′ ″	″
0	10 6 6·9	19·44	+ 17 7 44	− 104·4	0	10 51 38·5	18·55	+ 12 39 47	− 118·0
1	10 8 3·4	19·39	+ 16 57 15	− 105·1	1	10 53 29·7	18·52	+ 12 27 57	− 118·5
2	10 9 59·6	19·35	+ 16 46 43	− 105·8	2	10 55 20·7	18·49	+ 12 16 4	− 119·0
3	10 11 55·6	19·31	+ 16 36 6	− 106·4	3	10 57 11·6	18·46	+ 12 4 9	− 119·4
4	10 13 51·4	19·27	+ 16 25 26	− 107·1	4	10 59 2·2	18·43	+ 11 52 11	− 119·9
5	10 15 46·9	19·23	+ 16 14 42	− 107·7	5	11 0 52·7	18·40	+ 11 40 11	− 120·3
6	10 17 42·1	19·19	+ 16 3 54	− 108·3	6	11 2 43·0	18·37	+ 11 28 8	− 120·7
7	10 19 37·1	19·15	+ 15 53 2	− 108·9	7	11 4 33·1	18·34	+ 11 16 2	− 121·1
8	10 21 31·9	19·11	+ 15 42 7	− 109·5	8	11 6 23·1	18·31	+ 11 3 54	− 121·5
9	10 23 26·5	19·07	+ 15 31 8	− 110·1	9	11 8 12·9	18·29	+ 10 51 44	− 121·9
10	10 25 20·8	19·03	+ 15 20 5	− 110·7	10	11 10 2·5	18·26	+ 10 39 31	− 122·3
11	10 27 14·9	18·99	+ 15 8 59	− 111·3	11	11 11 52·0	18·23	+ 10 27 16	− 122·7
12	10 29 8·7	18·96	+ 14 57 50	− 111·8	12	11 13 41·3	18·21	+ 10 14 58	− 123·1
13	10 31 2·4	18·92	+ 14 46 37	− 112·4	13	11 15 30·5	18·18	+ 10 2 39	− 123·5
14	10 32 55·8	18·88	+ 14 35 21	− 113·0	14	11 17 19·5	18·16	+ 9 50 17	− 123·8
15	10 34 49·0	18·85	+ 14 24 2	− 113·5	15	11 19 8·4	18·14	+ 9 37 53	− 124·2
16	10 36 42·0	18·81	+ 14 12 39	− 114·0	16	11 20 57·2	18·11	+ 9 25 27	− 124·5
17	10 38 34·8	18·78	+ 14 1 13	− 114·6	17	11 22 45·8	18·09	+ 9 12 58	− 124·9
18	10 40 27·3	18·74	+ 13 49 44	− 115·1	18	11 24 34·3	18·07	+ 9 0 28	− 125·2
19	10 42 19·7	18·71	+ 13 38 12	− 115·6	19	11 26 22·6	18·05	+ 8 47 56	− 125·5
20	10 44 11·9	18·68	+ 13 26 37	− 116·1	20	11 28 10·8	18·03	+ 8 35 22	− 125·8
21	10 46 3·8	18·64	+ 13 14 59	− 116·6	21	11 29 58·9	18·01	+ 8 22 46	− 126·2
22	10 47 55·6	18·61	+ 13 3 17	− 117·1	22	11 31 46·9	17·99	+ 8 10 8	− 126·5
23	10 49 47·2	18·58	+ 12 51 33	− 117·6	23	11 33 34·8	17·97	+ 7 57 28	− 126·7
24	10 51 38·5	18·55	+ 12 39 47	− 118·0	24	11 35 22·5	17·95	+ 7 44 47	− 127·0

PHASEN DES MONDES.

Mittlere Greenwicher Zeit.

		h m	
September	2.	20 16·0	● Neumond.
	10.	23 7·1	☽ Erstes Viertel.
	17.	17 3·8	○ Vollmond.
	24.	11 7·2	☾ Letztes Viertel.
		h	
September	4.	8	☾ Apogaeum.
	17.	19	☾ Perigaeum.

Venus.							Mars.						
	Mittlerer Greenwicher Mittag.				Im Meridian. Mittlere Gr. Zeit		Mittlerer Greenwicher Mittag.					Im Meridian. Mittlere Gr. Zeit	
Datum	Rectascension	Stdl. Aend.	Declination + Nord − Süd	Stdl. Aend.			Datum	Rectascension	Stdl. Aend.	Declination + Nord	Stdl. Aend.	
	h m s	s	° ′ ″	s	h m			h m s	″	° ′ ″	″	h m
1	10 25 53·8	+11·82	+11 16 23	−66·2	23 45·2		1	10 2 17·6	+6·13	+13 16 22	−33·0	23 19·4
2	10 30 37·0	+11·78	+10 49 44	−67·0	23 46·0		2	10 4 44·6	+6·12	+13 3 7	−33·2	23 17·9
3	10 35 19·4	+11·75	+10 22 48	−67·7	23 46·7		3	10 7 11·3	+6·11	+12 49 48	−33·4	23 16·4
4	10 40 1·0	+11·72	+ 9 55 34	−68·4	23 47·5		4	10 9 37·8	+6·10	+12 36 24	−33·6	23 14·9
5	10 44 41·9	+11·69	+ 9 28 4	−69·1	23 48·2		5	10 12 3·9	+6·09	+12 22 56	−33·8	23 13·4
6	10 49 22·0	+11·66	+ 9 0 18	−69·7	23 48·9		6	10 14 29·8	+6·07	+12 9 23	−34·0	23 11·9
7	10 54 1·4	+11·63	+ 8 32 17	−70·3	23 49·6		7	10 16 55·5	+6·06	+11 55 46	−34·1	23 10·3
8	10 58 40·2	+11·60	+ 8 4 2	−70·9	23 50·3		8	10 19 20·9	+6·05	+11 42 4	−34·3	23 8·8
9	11 3 18·4	+11·58	+ 7 35 33	−71·5	23 51·0		9	10 21 46·0	+6·04	+11 28 19	−34·5	23 7·3
10	11 7 56·0	+11·55	+ 7 6 52	−72·0	23 51·7		10	10 24 10·9	+6·03	+11 14 30	−34·6	23 5·7
11	11 12 33·0	+11·53	+ 6 37 58	−72·5	23 52·3		11	10 26 35·5	+6·02	+11 0 36	−34·8	23 4·2
12	11 17 9·4	+11·51	+ 6 8 53	−72·9	23 53·0		12	10 28 59·9	+6·01	+10 46 39	−35·0	23 2·7
13	11 21 45·4	+11·49	+ 5 39 38	−73·4	23 53·6		13	10 31 24·1	+6·00	+10 32 38	−35·1	23 1·2
14	11 26 21·0	+11·47	+ 5 10 13	−73·7	23 54·3		14	10 33 48·0	+5·99	+10 18 34	−35·3	22 59·6
15	11 30 56·1	+11·46	+ 4 40 38	−74·1	23 54·9		15	10 36 11·7	+5·98	+10 4 26	−35·4	22 58·1
16	11 35 30·8	+11·44	+ 4 10 55	−74·5	23 55·6		16	10 38 35·2	+5·97	+ 9 50 14	−35·6	22 56·5
17	11 40 5·2	+11·43	+ 3 41 5	−74·8	23 56·2		17	10 40 58·4	+5·97	+ 9 35 59	−35·7	22 55·0
18	11 44 39·3	+11·42	+ 3 11 8	−75·0	23 56·8		18	10 43 21·5	+5·96	+ 9 21 41	−35·8	22 53·4
19	11 49 13·2	+11·41	+ 2 41 4	−75·3	23 57·4		19	10 45 44·4	+5·95	+ 9 7 20	−36·0	22 51·8
20	11 53 46·8	+11·40	+ 2 10 55	−75·5	23 58·0		20	10 48 7·1	+5·94	+ 8 52 55	−36·1	22 50·2
21	11 58 20·3	+11·39	+ 1 40 41	−75·7	23 58·6		21	10 50 29·6	+5·93	+ 8 38 28	−36·2	22 48·7
22	12 2 53·7	+11·39	+ 1 10 23	−75·8	23 59·3		22	10 52 51·9	+5·93	+ 8 23 57	−36·3	22 47·1
23	12 7 27·0	+11·39	+ 0 40 1	−76·0	23 59·9		23	10 55 14·1	+5·92	+ 8 9 24	−36·4	22 45·5
24	12 12 0·3	+11·39	+ 0 9 37	−76·1	*		24	10 57 36·1	+5·91	+ 7 54 48	−36·6	22 43·9
25	12 16 33·6	+11·39	− 0 20 49	−76·1	0 0·5		25	10 59 57·9	+5·91	+ 7 40 9	−36·7	22 42·4
26	12 21 6·9	+11·39	− 0 51 16	−76·1	0 1·1		26	11 2 19·6	+5·90	+ 7 25 28	−36·8	22 40·8
27	12 25 40·3	+11·39	− 1 21 44	−76·1	0 1·8		27	11 4 41·1	+5·89	+ 7 10 44	−36·9	22 39·2
28	12 30 13·8	+11·40	− 1 52 11	−76·1	0 2·4		28	11 7 2·5	+5·89	+ 6 55 58	−37·0	22 37·6
29	12 34 47·5	+11·41	− 2 22 37	−76·1	0 3·0		29	11 9 23·8	+5·88	+ 6 41 9	−37·1	22 36·0
30	12 39 21·4	+11·42	− 2 53 2	−76·0	0 3·6		30	11 11 44·9	+5·88	+ 6 26 19	−37·2	22 34·5
O. 1	12 43 55·6	+11·43	− 3 23 24	−75·9	0 4·2		O. 1	11 14 5·9	+5·87	+ 6 11 26	−37·2	22 32·9

Datum	Halbmesser	Horizontal-Parallaxe	Datum	Halbmesser	Horizontal-Parallaxe
	″	″		″	″
1	5·0	5·2	1	1·9	3·3
11	5·0	5·1	11	1·9	3·4
21	5·0	5·1	21	1·9	3·4
31	5·0	5·2	31	2·0	3·5

Jupiter.							Saturn.						
Mittlerer Greenwicher Mittag.						Im Meridian. Mittlere Gr. Zeit	Mittlerer Greenwicher Mittag.						Im Meridian. Mittlere Gr. Zeit
Datum	Rectascension	Stdl. Aend.	Declination — Süd	Stdl. Aend.			Datum	Rectascension	Stdl. Aend.	Declination + Nord	Stdl. Aend.		
	h m s	s	° ′ ″	″		h m		h m s	s	° ′ ″	″		h m
1	23 1 53·5	−1·22	—7 48 1	−7·8		12 18·2	1	11 22 20·0	+1·15	+6 7 24	−7·3		0 40·8
2	23 1 24·2	−1·22	—7 51 9	−7·8		12 13·7	2	11 22 47·5	+1·15	+6 4 30	−7·3		0 37·3
3	23 0 54·7	−1·23	—7 54 17	−7·8		12 9·3	3	11 23 15·1	+1·15	+6 1 35	−7·3		0 33·8
4	23 0 25·2	−1·23	—7 57 25	−7·8		12 4·9	4	11 23 42·7	+1·15	+5 58 40	−7·3		0 30·4
5	22 59 55·7	−1·23	—8 0 33	−7·8		12 0·5	5	11 24 10·3	+1·15	+5 55 46	−7·3		0 26·9
6	22 59 26·1	−1·23	—8 3 40	−7·8		11 56·1	6	11 24 38·0	+1·15	+5 52 51	−7·3		0 23·4
7	22 58 56·5	−1·23	—8 6 46	−7·8		11 51·7	7	11 25 5·7	+1·15	+5 49 56	−7·3		0 19·9
8	22 58 26·9	−1·23	—8 9 52	−7·7		11 47·2	8	11 25 33·4	+1·16	+5 47 1	−7·3		0 16·5
9	22 57 57·4	−1·23	—8 12 57	−7·7		11 42·8	9	11 26 1·1	+1·16	+5 44 5	−7·3		0 13·0
10	22 57 27·9	−1·23	—8 16 1	−7·6		11 38·4	10	11 26 28·9	+1·16	+5 41 10	−7·3		0 9·5
11	22 56 58·5	−1·22	—8 19 4	−7·6		11 34·0	11	11 26 56·7	+1·16	+5 38 15	−7·3		0 6·1
12	22 56 29·3	−1·22	—8 22 5	−7·5		11 29·5	12	11 27 24·4	+1·16	+5 35 20	−7·3		{0 2·6 / 23 59·1}
13	22 56 0·2	−1·21	—8 25 5	−7·5		11 25·1	13	11 27 52·2	+1·16	+5 32 25	−7·3		23 55·6
14	22 55 31·2	−1·20	—8 28 4	−7·4		11 20·7	14	11 28 20·0	+1·16	+5 29 30	−7·3		23 52·2
15	22 55 2·4	−1·19	—8 31 1	−7·3		11 16·3	15	11 28 47·7	+1·16	+5 26 35	−7·3		23 48·7
16	22 54 33·9	−1·19	—8 33 56	−7·3		11 11·9	16	11 29 15·5	+1·16	+5 23 41	−7·3		23 45·2
17	22 54 5·5	−1·18	—8 36 49	−7·2		11 7·5	17	11 29 43·2	+1·16	+5 20 46	−7·3		23 41·8
18	22 53 37·4	−1·17	—8 39 40	−7·1		11 3·1	18	11 30 11·0	+1·15	+5 17 52	−7·3		23 38·3
19	22 53 9·5	−1·16	—8 42 29	−7·0		10 58·7	19	11 30 38·7	+1·15	+5 14 58	−7·2		23 34·8
20	22 52 41·9	−1·14	—8 45 16	−6·9		10 54·3	20	11 31 6·4	+1·15	+5 12 4	−7·2		23 31·3
21	22 52 14·6	−1·13	—8 48 0	−6·8		10 50·0	21	11 31 34·1	+1·15	+5 9 11	−7·2		23 27·9
22	22 51 47·6	−1·12	—8 50 42	−6·7		10 45·6	22	11 32 1·7	+1·15	+5 6 18	−7·2		23 24·4
23	22 51 21·0	−1·10	—8 53 21	−6·6		10 41·2	23	11 32 29·3	+1·15	+5 3 25	−7·2		23 20·9
24	22 50 54·8	−1·09	—8 55 57	−6·5		10 36·9	24	11 32 56·9	+1·15	+5 0 32	−7·2		23 17·4
25	22 50 28·9	−1·07	—8 58 30	−6·3		10 32·5	25	11 33 24·4	+1·15	+4 57 40	−7·2		23 14·0
26	22 50 3·4	−1·05	—9 1 1	−6·2		10 28·1	26	11 33 51·9	+1·14	+4 54 49	−7·2		23 10·5
27	22 49 38·3	−1·04	—9 3 29	−6·1		10 23·8	27	11 34 19·4	+1·14	+4 51 57	−7·1		23 7·0
28	22 49 13·6	−1·02	—9 5 53	−6·0		10 19·5	28	11 34 46·7	+1·14	+4 49 6	−7·1		23 3·5
29	22 48 49·4	−0·99	—9 8 14	−5·8		10 15·1	29	11 35 14·1	+1·14	+4 46 16	−7·1		23 0·0
30	22 48 25·7	−0·98	—9 10 32	−5·7		10 10·8	30	11 35 41·3	+1·13	+4 43 26	−7·1		22 56·6
0.1	22 48 2·5	−0·96	—9 12 47	−5·5		10 6·5	0.1	11 36 8·5	+1·13	+4 40 37	−7·1		22 53·1

Datum	Halbmesser	Horizontal-Parallaxe	Datum	Halbmesser	Horizontal-Parallaxe
	″	″		″	″
1	23·7	2·2	1	7·5	0·9
11	23·7	2·2	11	7·5	0·8
21	23·5	2·2	21	7·5	0·8
31	23·1	2·2	31	7·5	0·9

MOND-DISTANZEN.

Mittlere Greenwicher Zeit.

Datum	Namen u. Lage der Sterne		Mittag	Lg. pr.	III^h	Lg. pr.	VI^h	Lg. pr.	IX^h	Lg. pr.
			° ′ ″		° ′ ″		° ′ ″		° ′ ″	
5	Sonne	W.	23 47 39	3546	25 7 12	3536	26 26 56	3527	27 46 50	3519
	Antares	O.	62 41 43	3091	61 13 21	3089	59 44 58	3088	58 16 34	3087
	α Aquilæ	O.	108 46 25	3981	107 34 27	3965	106 22 13	3951	105 9 45	3937
6	Sonne	W.	34 28 22	3486	35 49 2	3480	37 9 49	3473	38 30 43	3467
	Antares	O.	50 54 13	3080	49 25 39	3078	47 57 3	3075	46 28 23	3073
	α Aquilæ	O.	99 4 20	3884	97 50 44	3875	96 36 59	3867	95 23 6	3860
7	Sonne	W.	45 16 57	3435	46 38 34	3428	48 0 19	3421	49 22 12	3413
	Antares	O.	39 4 16	3058	37 35 15	3055	36 6 10	3051	34 37 0	3047
	α Aquilæ	O.	89 12 4	3833	87 57 36	3829	86 43 4	3827	85 28 30	3824
	Fomalhaut	O.	121 7 59	3270	119 43 13	3259	118 18 13	3247	116 52 59	3235
8	Sonne	W.	56 13 52	3372	57 36 41	3362	58 59 41	3352	60 22 52	3342
	Spica	W.	19 44 8	3124	21 11 48	3099	22 39 59	3077	24 8 37	3056
	α Aquilæ	O.	79 15 12	3821	78 0 32	3823	76 45 54	3826	75 31 19	3829
	Fomalhaut	O.	109 43 23	3178	108 16 47	3167	106 49 58	3155	105 22 55	3143
	Jupiter	O.	120 58 11	2946	119 26 50	2938	117 55 19	2930	116 23 38	2921
9	Sonne	W.	67 21 49	3287	68 46 16	3275	70 10 57	3262	71 35 53	3249
	Spica	W.	31 37 42	2969	33 8 34	2954	34 39 45	2938	36 11 16	2923
	α Aquilæ	O.	69 19 33	3861	68 5 34	3871	66 51 45	3883	65 38 8	3897
	Fomalhaut	O.	98 4 11	3085	96 35 43	3073	95 7 1	3061	93 38 4	3049
	Jupiter	O.	108 42 13	2872	107 9 18	2860	105 36 8	2849	104 2 44	2838
	α Pegasi	O.	116 13 42	3404	114 51 30	3382	113 28 53	3359	112 5 50	3338
10	Sonne	W.	78 44 29	3179	80 11 3	3164	81 37 55	3148	83 5 6	3133
	Spica	W.	43 53 40	2846	45 27 8	2832	47 0 56	2815	48 35 4	2799
	α Aquilæ	O.	59 34 4	3994	58 22 19	4021	57 11 0	4052	56 0 12	4086
	Fomalhaut	O.	86 9 29	2986	84 38 59	2973	83 8 12	2961	81 37 10	2947
	Jupiter	O.	96 11 50	2775	94 36 49	2761	93 1 30	2747	91 25 52	2732
	α Pegasi	O.	105 4 28	3235	103 39 0	3215	102 13 9	3197	100 46 56	3178
11	Sonne	W.	90 25 55	3049	91 55 7	3031	93 24 41	3014	94 54 37	2995
	Spica	W.	56 31 4	2716	58 7 22	2699	59 44 3	2682	61 21 7	2665
	α Aquilæ	O.	50 15 53	4331	49 9 29	4399	48 4 7	4475	46 59 53	4560
	Fomalhaut	O.	73 57 49	2882	72 25 7	2869	70 52 8	2856	69 18 53	2844
	Jupiter	O.	83 22 50	2657	81 45 12	2640	80 7 12	2624	78 28 50	2608
	α Pegasi	O.	93 30 19	3088	92 1 55	3071	90 33 10	3055	89 4 5	3038
12	Sonne	W.	102 30 5	2901	104 2 22	2882	105 35 4	2862	107 8 11	2843
	Spica	W.	69 32 28	2574	71 11 58	2556	72 51 54	2538	74 32 15	2518
	Antares	W.	23 42 7	2609	25 20 50	2585	27 0 6	2561	28 39 55	2538
	α Aquilæ	O.	42 0 4	5175	41 5 24	5351	40 12 54	5551	39 22 46	5778
	Fomalhaut	O.	61 28 41	2786	59 53 55	2775	58 18 55	2766	56 43 42	2758
	Jupiter	O.	70 11 14	2522	68 30 31	2504	66 49 24	2486	65 7 51	2469
	α Pegasi	O.	81 33 39	2961	80 2 37	2947	78 31 18	2934	76 59 42	2922
13	Sonne	W.	115 0 8	2745	116 35 48	2725	118 11 55	2705	119 48 28	2687
	Spica	W.	83 0 35	2425	84 43 34	2406	86 27 0	2387	88 10 53	2368
	Antares	W.	37 6 36	2432	38 49 25	2412	40 32 43	2391	42 16 30	2371

MOND-DISTANZEN.

Mittlere Greenwicher Zeit.

Datum	Namen u. Lage der Sterne		Mitternacht	Lg. pr.	XV^h	Lg. pr.	XVIII^h	Lg. pr.	XXI^h	Lg. pr.
			° ′ ″		° ′ ″		° ′ ″		° ′ ″	
5	Sonne	W.	29 6 53	3512	30 27 4	3505	31 47 23	3498	33 7 49	3492
	Antares	O.	56 48 9	3086	55 19 42	3085	53 51 14	3084	52 22 45	3082
	α Aquilæ	O.	103 57 3	3925	102 44 9	3914	101 31 3	3904	100 17 47	3893
6	Sonne	W.	39 51 44	3462	41 12 51	3454	42 34 6	3448	43 55 28	3442
	Antares	O.	44 59 41	3070	43 30 55	3068	42 2 6	3065	40 33 13	3061
	α Aquilæ	O.	94 9 6	3854	92 54 59	3848	91 40 46	3842	90 26 27	3838
7	Sonne	W.	50 44 14	3406	52 6 24	3397	53 28 44	3389	54 51 13	3380
	Antares	O.	33 7 45	3043	31 38 26	3039	30 9 2	3036	28 39 34	3033
	α Aquilæ	O.	84 13 53	3822	82 59 14	3820	81 44 33	3820	80 29 52	3821
	Fomalhaut	O.	115 27 31	3223	114 1 49	3212	112 35 54	3200	111 9 45	3189
8	Sonne	W.	61 46 15	3332	63 9 49	3321	64 33 36	3310	65 57 36	3299
	Spica	W.	25 37 41	3036	27 7 9	3018	28 36 59	3001	30 7 10	2985
	α Aquilæ	O.	74 16 47	3834	73 2 20	3838	71 47 57	3845	70 33 41	3853
	Fomalhaut	O.	103 55 38	3132	102 28 7	3121	101 0 23	3109	99 32 24	3097
	Jupiter	O.	114 51 46	2911	113 19 41	2901	111 47 24	2892	110 14 55	2882
9	Sonne	W.	73 1 4	3236	74 26 30	3222	75 52 13	3209	77 18 12	3193
	Spica	W.	37 43 6	2908	39 15 15	2892	40 47 44	2877	42 20 32	2862
	α Aquilæ	O.	64 24 45	3912	63 11 37	3928	61 58 46	3947	60 46 14	3969
	Fomalhaut	O.	92 8 52	3037	90 39 25	3024	89 9 42	3011	87 39 43	2999
	Jupiter	O.	102 29 5	2826	100 55 11	2814	99 21 1	2801	97 46 34	2788
	α Pegasi	O.	110 42 22	3317	109 18 30	3295	107 54 13	3275	106 29 32	3255
10	Sonne	W.	84 32 36	3117	86 0 25	3101	87 28 34	3083	88 57 4	3066
	Spica	W.	50 9 33	2782	51 44 24	2767	53 19 35	2750	54 55 8	2733
	α Aquilæ	O.	54 49 57	4126	53 40 20	4168	52 31 24	4216	51 23 13	4270
	Fomalhaut	O.	80 5 51	2934	78 34 15	2921	77 2 23	2908	75 30 14	2895
	Jupiter	O.	89 49 55	2718	88 13 39	2703	86 37 3	2688	85 0 7	2672
	α Pegasi	O.	99 20 21	3159	97 53 23	3141	96 26 3	3124	94 58 22	3105
11	Sonne	W.	96 24 56	2977	97 55 38	2958	99 26 43	2939	100 58 12	2920
	Spica	W.	62 58 34	2646	64 36 26	2629	66 14 42	2611	67 53 22	2592
	α Aquilæ	O.	45 56 54	4655	44 55 16	4763	43 55 9	4885	42 56 42	5022
	Fomalhaut	O.	67 45 22	2831	66 11 35	2819	64 37 32	2808	63 3 14	2796
	Jupiter	O.	76 50 6	2591	75 10 58	2574	73 31 27	2557	71 51 33	2539
	α Pegasi	O.	87 34 39	3022	86 4 53	3005	84 34 47	2990	83 4 22	2976
12	Sonne	W.	108 41 43	2823	110 15 41	2804	111 50 4	2784	113 24 53	2764
	Spica	W.	76 13 3	2500	77 54 16	2481	79 35 56	2462	81 18 2	2443
	Antares	W.	30 20 15	2517	32 1 5	2495	33 42 25	2473	35 24 16	2453
	α Aquilæ	O.	38 35 11	6040	37 50 23	6341	37 8 35	6689	36 30 0	7096
	Fomalhaut	O.	55 8 19	2750	53 32 45	2744	51 57 3	2738	50 21 14	2735
	Jupiter	O.	63 25 54	2450	61 43 31	2433	60 0 43	2415	58 17 29	2396
	α Pegasi	O.	75 27 51	2909	73 55 44	2898	72 23 22	2888	70 50 48	2879
13	Sonne	W.	121 25 26	2667	123 2 50	2648	124 40 40	2629	126 18 55	2610
	Spica	W.	89 55 13	2350	91 39 59	2332	93 25 12	2314	95 10 51	2296
	Antares	W.	44 0 46	2352	45 45 30	2333	47 30 42	2313	49 16 22	2294

MOND-DISTANZEN.

Mittlere Greenwicher Zeit.

Datum	Namen u. Lage der Sterne		Mittag	Lg. pr.	III^h	Lg. pr.	VI^h	Lg. pr.	IX^h	Lg. pr.
			° ′ ″		° ′ ″		° ′ ″		° ′ ″	
13	Fomalhaut	O.	48 45 20	2732	47 9 23	2733	45 33 27	2735	43 57 33	2741
	Jupiter	O.	56 33 49	2379	54 49 44	2360	53 5 12	2343	51 20 15	2325
	α Pegasi	O.	69 18 2	2870	67 45 5	2862	66 11 58	2857	64 38 44	2853
	α Arietis	O.	111 0 49	2515	109 19 56	2494	107 38 34	2473	105 56 43	2453
14	Spica	W.	96 56 56	2279	98 43 27	2261	100 30 24	2244	102 17 46	2227
	Antares	W.	51 2 30	2276	52 49 5	2258	54 36 7	2240	56 23 35	2222
	Fomalhaut	O.	36 1 31	2830	34 27 42	2866	32 54 40	2912	31 22 37	2971
	Jupiter	O.	42 29 8	2240	40 41 40	2224	38 53 48	2208	37 5 33	2194
	α Pegasi	O.	56 51 59	2860	55 18 49	2869	53 45 51	2881	52 13 8	2897
	α Arietis	O.	97 20 26	2357	95 35 49	2338	93 50 45	2321	92 5 16	2303
15	Antares	W.	65 27 20	2140	67 17 18	2125	69 7 39	2111	70 58 22	2097
	α Aquilæ	W.	36 38 30	6271	37 20 59	5877	38 7 30	5531	38 57 52	5230
	α Pegasi	O.	44 36 28	3050	43 7 17	3101	41 39 9	3163	40 12 15	3233
	α Arietis	O.	83 11 43	2225	81 23 52	2211	79 35 41	2198	77 47 10	2186
	Aldebaran	O.	113 36 5	2160	111 46 37	2145	109 56 46	2130	108 6 33	2115
16	Antares	W.	80 17 0	2036	82 9 38	2026	84 2 32	2016	85 55 41	2007
	α Aquilæ	W.	43 59 51	4162	45 8 53	4013	46 20 20	3878	47 34 2	3756
	α Arietis	O.	68 40 22	2137	66 50 19	2129	65 0 4	2124	63 9 41	2118
	Aldebaran	O.	98 50 16	2053	96 58 5	2043	95 5 38	2033	93 12 56	2025
17	Antares	W.	95 24 29	1975	97 18 43	1971	99 13 3	1967	101 7 29	1965
	α Aquilæ	W.	54 10 51	3308	55 34 53	3244	57 0 10	3185	58 26 37	3133
	α Arietis	O.	53 56 32	2114	52 5 54	2118	50 15 22	2123	48 24 58	2131
	Aldebaran	O.	83 46 27	1993	81 52 41	1989	79 58 49	1986	78 4 53	1984
18	Antares	W.	110 40 7	1965	112 34 36	1968	114 29 1	1972	116 23 20	1975
	α Aquilæ	W.	65 52 41	2945	67 24 3	2920	68 55 56	2899	70 28 16	2881
	Fomalhaut	W.	31 11 41	2648	32 49 31	2582	34 28 51	2526	36 9 28	2481
	Jupiter	W.	18 13 12	1994	20 6 56	1984	22 0 55	1978	23 55 4	1974
	α Arietis	O.	39 17 2	2206	37 28 43	2231	35 41 1	2261	33 54 4	2296
	Aldebaran	O.	68 34 48	1986	66 40 52	1989	64 47 1	1994	62 53 17	1999
	Pollux	O.	112 37 6	1960	110 42 29	1963	108 47 56	1965	106 53 27	1970
19	α Aquilæ	W.	78 14 26	2835	79 48 9	2834	81 21 53	2834	82 55 37	2838
	Fomalhaut	W.	44 45 18	2348	46 30 7	2335	48 15 15	2326	50 0 37	2319
	Jupiter	W.	33 26 8	1986	35 20 5	1991	37 13 53	1999	39 7 29	2007
	α Pegasi	W.	31 58 31	3837	33 12 55	3664	34 30 20	3518	35 50 24	3396
	Aldebaran	O.	53 27 5	2039	51 34 31	2049	49 42 13	2061	47 50 13	2074
	Pollux	O.	97 23 0	2000	95 29 26	2009	93 36 5	2018	91 42 59	2028
20	α Aquilæ	W.	90 42 16	2885	92 14 54	2901	93 47 11	2919	95 19 6	2938
	Fomalhaut	W.	58 48 51	2317	60 34 25	2322	62 19 52	2328	64 5 10	2336
	Jupiter	W.	48 31 50	2060	50 23 51	2073	52 15 32	2086	54 6 52	2100
	α Pegasi	W.	42 59 48	3007	44 29 52	2962	46 0 52	2923	47 32 42	2891
	Aldebaran	O.	38 35 45	2155	36 46 9	2174	34 57 3	2196	33 8 30	2220
	Pollux	O.	82 21 37	2086	80 30 17	2100	78 39 18	2114	76 48 40	2129
21	Fomalhaut	W.	72 48 19	2391	74 32 6	2404	76 15 35	2419	77 58 43	2434
	Jupiter	W.	63 18 0	2176	65 7 3	2193	66 55 41	2210	68 43 54	2227
	α Pegasi	W.	55 19 57	2801	56 54 23	2794	58 28 59	2790	60 3 40	2788

MOND-DISTANZEN.

Mittlere Greenwicher Zeit.

Datum	Namen u. Lage der Sterne		Mitternacht	Lg. pr.	XVh	Lg. pr.	XVIIIh	Lg. pr.	XXIh	Lg. pr.
			° ′ ″		° ′ ″		° ′ ″		° ′ ″	
13	Fomalhaut	O.	42 21 47	2749	40 46 12	2762	39 10 54	2779	37 35 58	2801
	Jupiter	O.	49 34 52	2308	47 49 4	2290	46 2 50	2273	44 16 11	2257
	α Pegasi	O.	63 5 25	2851	61 32 3	2849	59 58 39	2851	58 25 17	2854
	α Arietis	O.	104 14 24	2433	102 31 36	2413	100 48 20	2394	99 4 37	2375
14	Spica	W.	104 5 33	2210	105 53 45	2194	107 42 21	2179	109 31 20	2163
	Antares	W.	58 11 30	2205	59 59 50	2188	61 48 36	2172	63 37 46	2156
	Fomalhaut	O.	29 51 48	3043	28 22 29	3133	26 55 0	3247	25 29 47	3389
	Jupiter	O.	35 16 56	2179	33 27 57	2165	31 38 37	2153	29 48 58	2141
	α Pegasi	O.	50 40 45	2917	49 8 48	2941	47 37 21	2971	46 6 32	3007
	α Arietis	O.	90 19 21	2286	88 33 1	2270	86 46 18	2255	84 59 12	2239
15	Antares	W.	72 49 26	2083	74 40 51	2071	76 32 35	2058	78 24 39	2047
	α Aquilæ	W.	39 51 51	4965	40 49 14	4727	41 49 51	4518	42 53 27	4331
	α Pegasi	O.	38 46 45	3318	37 22 54	3418	36 0 58	3535	34 41 13	3675
	α Arietis	O.	75 58 21	2174	74 9 15	2163	72 19 52	2153	70 30 14	2144
	Aldebaran	O.	106 15 57	2102	104 25 1	2089	102 33 45	2076	100 42 9	2065
16	Antares	W.	87 49 4	1999	89 42 40	1993	91 36 26	1986	93 30 23	1980
	α Aquilæ	W.	48 49 50	3648	50 7 33	3549	51 27 3	3460	52 48 12	3380
	α Arietis	O.	61 19 10	2115	59 28 34	2113	57 37 54	2111	55 47 12	2113
	Aldebaran	O.	91 20 1	2017	89 26 53	2010	87 33 34	2003	85 40 5	1998
17	Antares	W.	103 1 58	1963	104 56 30	1963	106 51 3	1963	108 45 36	1964
	α Aquilæ	W.	59 54 7	3086	61 22 34	3044	62 51 52	3007	64 21 56	2974
	α Arietis	O.	46 34 46	2141	44 44 49	2153	42 55 10	2167	41 5 52	2185
	Aldebaran	O.	76 10 53	1982	74 16 51	1982	72 22 49	1982	70 28 47	1984
18	Antares	W.	118 17 33	1981	120 11 38	1987	122 5 33	1994	123 59 17	2001
	α Aquilæ	W.	72 0 59	2866	73 34 1	2854	75 7 19	2845	76 40 48	2838
	Fomalhaut	W.	37 51 8	2443	39 33 41	2412	41 16 59	2387	43 0 53	2365
	Jupiter	W.	25 49 19	1973	27 43 36	1974	29 37 51	1977	31 32 2	1980
	α Arietis	O.	32 7 58	2338	30 22 54	2387	28 39 1	2447	26 56 33	2520
	Aldebaran	O.	60 59 41	2005	59 6 14	2012	57 12 58	2020	55 19 55	2028
	Pollux	O.	104 59 5	1974	103 4 50	1979	101 10 43	1986	99 16 46	1993
19	α Aquilæ	W.	84 29 16	2842	86 2 49	2851	87 36 11	2860	89 9 21	2872
	Fomalhaut	W.	51 46 9	2314	53 31 48	2312	55 17 30	2312	57 3 12	2314
	Jupiter	W.	41 0 52	2016	42 54 1	2026	44 46 55	2037	46 39 31	2048
	α Pegasi	W.	37 12 45	3290	38 37 8	3202	40 3 15	3127	41 30 52	3062
	Aldebaran	O.	45 58 34	2087	44 7 15	2103	42 16 20	2118	40 25 49	2136
	Pollux	O.	89 50 8	2038	87 57 33	2050	86 5 16	2061	84 13 17	2073
20	α Aquilæ	W.	96 50 37	2959	98 21 41	2983	99 52 15	3008	101 22 18	3034
	Fomalhaut	W.	65 50 17	2346	67 35 10	2355	69 19 49	2366	71 4 13	2378
	Jupiter	W.	55 57 51	2115	57 48 28	2130	59 38 42	2145	61 28 33	2161
	α Pegasi	W.	49 5 12	2865	50 38 16	2842	52 11 49	2825	53 45 44	2811
	Aldebaran	O.	31 20 32	2245	29 33 12	2273	27 46 33	2304	26 0 40	2340
	Pollux	O.	74 58 25	2143	73 8 32	2159	71 19 3	2175	69 29 58	2192
21	Fomalhaut	W.	79 41 29	2449	81 23 54	2465	83 5 56	2482	84 47 34	2499
	Jupiter	W.	70 31 42	2245	72 19 3	2262	74 5 58	2279	75 52 28	2298
	α Pegasi	W.	61 38 24	2787	63 13 9	2789	64 47 51	2793	66 22 28	2798

MOND-DISTANZEN.

Mittlere Greenwicher Zeit.

Datum	Namen u. Lage der Sterne		Mittag	Lg. pr.	III^h	Lg. pr.	VI^h	Lg. pr.	IX^h	Lg. pr.
			° ′ ″		° ′ ″		° ′ ″		° ′ ″	
21	Pollux	O.	67 41 18	2208	65 53 2	2225	64 5 11	2243	62 17 47	2260
	Sonne	O.	133 50 20	2533	132 9 52	2550	130 29 48	2566	128 50 7	2585
22	Fomalhaut	W.	86 28 48	2517	88 9 38	2535	89 50 3	2553	91 30 2	2572
	Jupiter	W.	77 38 31	2315	79 24 8	2334	81 9 18	2352	82 54 2	2371
	α Pegasi	W.	67 56 58	2805	69 31 19	2813	71 5 30	2822	72 39 29	2832
	α Arietis	W.	24 23 0	2919	25 54 55	2869	27 27 53	2831	29 1 40	2803
	Pollux	O.	53 27 19	2351	51 42 34	2369	49 58 15	2389	48 14 24	2408
	Regulus	O.	89 46 19	2358	88 1 44	2377	86 17 36	2395	84 33 54	2414
	Sonne	O.	120 37 55	2677	119 0 44	2696	117 23 59	2716	115 47 40	2735
23	Fomalhaut	W.	99 43 26	2670	101 20 46	2690	102 57 39	2710	104 34 5	2732
	Jupiter	W.	91 31 5	2462	93 13 12	2480	94 54 53	2498	96 37 9	2516
	α Pegasi	W.	80 25 43	2897	81 58 6	2912	83 30 10	2927	85 1 55	2942
	α Arietis	W.	36 56 56	2750	38 32 30	2749	40 8 5	2751	41 43 37	2755
	Pollux	O.	39 41 52	2502	38 0 42	2522	36 19 59	2540	34 39 42	2559
	Regulus	O.	76 2 3	2507	74 20 59	2525	72 40 21	2543	71 0 8	2561
	Sonne	O.	107 52 30	2832	106 18 44	2852	104 45 23	2871	103 12 27	2891
24	Fomalhaut	W.	112 29 17	2838	114 2 55	2860	115 36 5	2883	117 8 46	2905
	Jupiter	W.	104 56 19	2603	106 35 10	2620	108 13 38	2637	109 51 43	2653
	α Pegasi	W.	92 35 28	3029	94 5 5	3047	95 34 19	3066	97 3 10	3085
	α Arietis	W.	49 39 27	2792	51 14 6	2801	52 48 32	2811	54 22 45	2822
	Aldebaran	W.	18 58 10	2880	20 30 54	2862	22 4 1	2851	23 37 23	2845
	Regulus	O.	62 45 17	2651	61 7 31	2669	59 30 9	2686	57 53 10	2702
	Sonne	O.	95 33 50	2984	94 3 17	3001	92 33 6	3019	91 3 17	3037
25	α Pegasi	W.	104 21 30	3185	105 47 57	3207	107 13 58	3229	108 39 33	3250
	α Arietis	W.	62 10 21	2877	63 43 9	2889	65 15 42	2899	66 48 2	2911
	Aldebaran	W.	31 24 51	2855	32 58 8	2862	34 31 16	2869	36 4 14	2877
	Regulus	O.	49 53 46	2784	48 18 57	2800	46 44 29	2815	45 10 21	2831
	Sonne	O.	83 39 29	3120	82 11 44	3136	80 44 18	3151	79 17 10	3167
26	α Arietis	W.	74 26 9	2965	75 57 6	2975	77 27 50	2985	78 58 22	2995
	Aldebaran	W.	43 46 28	2920	45 18 22	2929	46 50 4	2938	48 21 35	2946
	Regulus	O.	37 24 34	2905	35 52 22	2920	34 20 28	2935	32 48 54	2950
	Sonne	O.	72 5 51	3236	70 40 25	3248	69 15 13	3260	67 50 15	3273
27	α Arietis	W.	86 28 0	3041	87 57 22	3050	89 26 33	3058	90 55 34	3066
	Aldebaran	W.	55 56 34	2987	57 27 3	2994	58 57 23	3001	60 27 34	3008
	Sonne	O.	60 48 52	3328	59 25 13	3338	58 1 45	3347	56 38 28	3357
28	α Arietis	W.	98 18 14	3104	99 46 19	3110	101 14 16	3117	102 42 5	3124
	Aldebaran	W.	67 56 26	3039	69 25 50	3045	70 55 7	3050	72 24 18	3056
	Pollux	W.	23 43 14	3034	25 12 45	3037	26 42 12	3040	28 11 35	3044
	Sonne	O.	49 44 34	3398	48 22 15	3404	47 0 3	3412	45 38 0	3419
29	Aldebaran	W.	79 48 47	3075	81 17 27	3079	82 46 2	3082	84 14 33	3086
	Pollux	W.	35 37 26	3060	37 6 24	3063	38 35 19	3065	40 4 11	3068
	Sonne	O.	38 49 32	3449	37 28 11	3454	36 6 56	3460	34 45 47	3464
30	Aldebaran	W.	91 36 20	3097	93 4 33	3098	94 32 45	3100	96 0 55	3101
	Pollux	W.	47 27 50	3077	48 56 28	3078	50 25 4	3079	51 53 39	3081
	Sonne	O.	28 1 30	3492	26 40 57	3499	25 20 32	3506	24 0 14	3513

MOND-DISTANZEN.

Mittlere Greenwicher Zeit.

Datum	Namen u. Lage der Sterne		Mitternacht	Lg. pr.	XV^h	Lg. pr.	XVIII^h	Lg. pr.	XXI^h	Lg. pr.
			° ′ ″		° ′ ″		° ′ ″		° ′ ″	
21	Pollux	O.	60 30 49	2278	58 44 17	2296	56 58 11	2314	55 12 32	2332
	Sonne	O.	127 10 51	2603	125 32 0	2621	123 53 33	2639	122 15 31	2658
22	Fomalhaut	W.	93 9 36	2591	94 48 43	2610	96 27 24	2630	98 5 38	2649
	Jupiter	W.	84 38 19	2389	86 22 10	2407	88 5 35	2426	89 48 33	2444
	α Pegasi	W.	74 13 15	2844	75 46 46	2855	77 20 2	2869	78 53 1	2882
	α Arietis	W.	30 36 4	2783	32 10 54	2769	33 46 3	2758	35 21 26	2753
	Pollux	O.	46 31 0	2426	44 48 2	2445	43 5 32	2465	41 23 29	2483
	Regulus	O.	82 50 39	2433	81 7 51	2450	79 25 28	2470	77 43 32	2489
	Sonne	O.	114 11 47	2754	112 36 19	2774	111 1 17	2794	109 26 41	2813
23	Fomalhaut	W.	106 10 3	2753	107 45 33	2773	109 20 36	2795	110 55 11	2817
	Jupiter	W.	98 17 0	2534	99 57 26	2551	101 37 28	2569	103 17 5	2586
	α Pegasi	W.	86 33 20	2959	88 4 24	2976	89 35 7	2993	91 5 28	3010
	α Arietis	W.	43 19 4	2760	44 54 24	2767	46 29 35	2774	48 4 37	2783
	Pollux	O.	32 59 51	2579	31 20 27	2598	29 41 29	2617	28 2 57	2637
	Regulus	O.	69 20 20	2580	67 40 58	2598	66 2 0	2616	64 23 27	2633
	Sonne	O.	101 39 56	2909	100 7 49	2928	98 36 6	2946	97 4 46	2965
24	Fomalhaut	W.	118 40 59	2928	120 12 42	2952	121 43 55	2975	123 14 39	3000
	Jupiter	W.	111 29 26	2669	113 6 47	2685	114 43 47	2701	116 20 26	2716
	α Pegasi	W.	98 31 38	3105	99 59 42	3124	101 27 22	3144	102 54 38	3164
	α Arietis	W.	55 56 44	2832	57 30 30	2844	59 4 1	2855	60 37 18	2866
	Aldebaran	W.	25 10 53	2842	26 44 26	2842	28 17 59	2845	29 51 28	2850
	Regulus	O.	56 16 33	2719	54 40 19	2735	53 4 26	2752	51 28 55	2769
	Sonne	O.	89 33 50	3054	88 4 44	3071	86 35 59	3087	85 7 34	3105
25	α Pegasi	W.	110 4 43	3272	111 29 27	3296	112 53 43	3319	114 17 32	3344
	α Arietis	W.	68 20 7	2922	69 51 58	2933	71 23 35	2943	72 54 59	2954
	Aldebaran	W.	37 37 2	2885	39 9 40	2894	40 42 7	2902	42 14 23	2911
	Regulus	O.	43 36 33	2846	42 3 5	2860	40 29 55	2876	38 57 5	2891
	Sonne	O.	77 50 21	3180	76 23 48	3195	74 57 33	3209	73 31 34	3222
26	α Arietis	W.	80 28 41	3005	81 58 48	3014	83 28 43	3023	84 58 27	3032
	Aldebaran	W.	49 52 56	2954	51 24 6	2963	52 55 5	2971	54 25 54	2978
	Regulus	O.	31 17 39	2965	29 46 42	2981	28 16 5	2997	26 45 49	3014
	Sonne	O.	66 25 32	3285	65 1 3	3296	63 36 47	3306	62 12 43	3318
27	α Arietis	W.	92 24 25	3074	93 53 6	3082	95 21 38	3090	96 50 0	3096
	Aldebaran	W.	61 57 37	3015	63 27 31	3022	64 57 17	3028	66 26 55	3034
	Sonne	O.	55 15 22	3365	53 52 26	3373	52 29 39	3382	51 7 2	3390
28	α Arietis	W.	104 9 46	3130	105 37 19	3136	107 4 45	3142	108 32 4	3148
	Aldebaran	W.	73 53 22	3060	75 22 21	3064	76 51 15	3069	78 20 3	3072
	Pollux	W.	29 40 53	3047	31 10 8	3051	32 39 18	3054	34 8 24	3057
	Sonne	O.	44 16 5	3424	42 54 16	3431	41 32 35	3437	40 11 0	3443
29	Aldebaran	W.	85 43 0	3088	87 11 24	3091	88 39 45	3092	90 8 4	3095
	Pollux	W.	41 33 0	3070	43 1 46	3073	44 30 29	3074	45 59 10	3075
	Sonne	O.	33 24 43	3471	32 3 46	3476	30 42 55	3481	29 22 10	3486
30	Aldebaran	W.	97 29 3	3103	98 57 9	3103	100 25 15	3105	101 53 19	3105
	Pollux	W.	53 22 12	3081	54 50 45	3082	56 19 17	3082	57 47 49	3082
	Sonne	O.	22 40 4	3521	21 20 3	3530	20 0 12	3542	18 40 34	3555

*

Tag im Jahre	Wochentag und Datum		Mittlerer Greenwicher Mittag. Sonne. Rectascension	Stdl. Aend.	Declination — Süd	Stündl. Aenderung	Halbmesser	Zeitgleichung: — Von der wahren Zeit zu subtrah.	Zeitgleichung: Stündl. Aenderung	Declination der Sonne im wahren Greenwicher Mittage
			h m s	s	° ′ ″	″	′ ″	m s	s	° ′ ″
274	Donner.	1	12 29 25·6	9·06	— 3 10 47	−58·3	16 1	—10 18·0	−0·80	— 3 10 37
275	Freitag	2	12 33 3·2	9·07	— 3 34 5	−58·2	16 1	—10 37·0	−0·78	— 3 33 55
276	Samstag	3	12 36 41·1	9·09	— 3 57 21	−58·1	16 2	—10 55·7	−0·77	— 3 57 10
277	Sonntag	4	12 40 19·3	9·10	— 4 20 34	−58·0	16 2	—11 14·0	−0·76	— 4 20 23
278	Montag	5	12 43 57·9	9·12	— 4 43 44	−57·8	16 2	—11 32·0	−0·74	— 4 43 33
279	Dienst.	6	12 47 36·9	9·13	— 5 6 50	−57·7	16 3	—11 49·6	−0·73	— 5 6 39
280	Mittw.	7	12 51 16·2	9·15	— 5 29 53	−57·5	16 3	—12 6·8	−0·71	— 5 29 41
281	Donner.	8	12 54 55·9	9·16	— 5 52 51	−57·3	16 3	—12 23·7	−0·69	— 5 52 39
282	Freitag	9	12 58 36·0	9·18	— 6 15 44	−57·1	16 3	—12 40·1	−0·68	— 6 15 32
283	Samstag	10	13 2 16·6	9·20	— 6 38 33	−56·9	16 4	—12 56·1	−0·66	— 6 38 20
284	Sonntag	11	13 5 57·6	9·22	— 7 1 16	−56·7	16 4	—13 11·6	−0·64	— 7 1 3
285	Montag	12	13 9 39·1	9·24	— 7 23 53	−56·4	16 4	—13 26·7	−0·62	— 7 23 40
286	Dienst.	13	13 13 21·0	9·26	— 7 46 24	−56·2	16 5	—13 41·3	−0·60	— 7 46 11
287	Mittw.	14	13 17 3·5	9·28	— 8 8 48	−55·9	16 5	—13 55·4	−0·58	— 8 8 35
288	Donner.	15	13 20 46·5	9·30	— 8 31 5	−55·6	16 5	—14 8·9	−0·55	— 8 30 52
289	Freitag	16	13 24 30·0	9·33	— 8 53 15	−55·3	16 5	—14 21·9	−0·53	— 8 53 2
290	Samstag	17	13 28 14·1	9·35	— 9 15 18	−54·9	16 6	—14 34·4	−0·51	— 9 15 4
291	Sonntag	18	13 31 58·8	9·38	— 9 37 12	−54·6	16 6	—14 46·2	−0·48	— 9 36 58
292	Montag	19	13 35 44·2	9·40	— 9 58 58	−54·2	16 6	—14 57·5	−0·46	— 9 58 45
293	Dienst.	20	13 39 30·1	9·43	—10 20 35	−53·9	16 7	—15 8·1	−0·43	—10 20 22
294	Mittw.	21	13 43 16·8	9·46	—10 42 4	−53·5	16 7	—15 18·0	−0·40	—10 41 50
295	Donner.	22	13 47 4·1	9·49	—11 3 23	−53·1	16 7	—15 27·2	−0·37	—11 3 9
296	Freitag	23	13 50 52·1	9·51	—11 24 32	−52·7	16 7	—15 35·8	−0·34	—11 24 18
297	Samstag	24	13 54 40·8	9·54	—11 45 30	−52·2	16 8	—15 43·6	−0·31	—11 45 17
298	Sonntag	25	13 58 30·2	9·57	—12 6 19	−51·8	16 8	—15 50·8	−0·28	—12 6 5
299	Montag	26	14 2 20·3	9·61	—12 26 56	−51·3	16 8	—15 57·2	−0·25	—12 26 42
300	Dienst.	27	14 6 11·2	9·64	—12 47 22	−50·8	16 8	—16 2·8	−0·22	—12 47 8
301	Mittw.	28	14 10 2·9	9·67	—13 7 36	−50·3	16 9	—16 7·7	−0·19	—13 7 22
302	Donner.	29	14 13 55·3	9·70	—13 27 37	−49·8	16 9	—16 11·9	−0·16	—13 27 24
303	Freitag	30	14 17 48·5	9·73	—13 47 26	−49·3	16 9	—16 15·2	−0·12	—13 47 13
304	Samstag	31	14 21 42·5	9·77	—14 7 2	−48·7	16 9	—16 17·8	−0·09	—14 6 49
305	Sonntag	N. 1	14 25 37·3	9·80	—14 26 24	−48·1	16 10	—16 19·6	−0·06	—14 26 11

Wochentag und Datum		Sternzeit im mittleren Greenwich. Mittage	Mittlere Greenwicher Zeit. Mond. Obere Culmination	Stündliche Verzögerung	Halbmesser Mittag	Halbmesser Mitternacht	Horizontal-Parallaxe Mittag	Stündl. Aenderung	Mitternacht	Stündl. Aenderung	Alter Mittag
		h m s	h m	m	′ ″	′ ″	′ ″	″	′ ″	″	d
Donner.	1	12 39 43·7	23 33·7	1·65	14 43	14 43	53 56	0·0	53 56	0·0	28·2
Freitag	2	12 43 40·2	*		14 43	14 44	53 57	+0·1	53 59	+0·2	29·2
Samstag	3	12 47 36·8	0 13·2	1·66	14 45	14 46	54 2	+0·3	54 7	+0·5	0·5
Sonntag	4	12 51 33·3	0 53·4	1·71	14 48	14 50	54 13	+0·6	54 21	+0·7	1·5
Montag	5	12 55 29·9	1 35·2	1·79	14 52	14 55	54 29	+0·8	54 39	+0·9	2·5
Dienst.	6	12 59 26·4	2 19·3	1·90	14 58	15 2	54 51	+1·0	55 4	+1·2	3·5
Mittw.	7	13 3 23·0	3 6·6	2·04	15 6	15 10	55 18	+1·3	55 34	+1·4	4·5
Donner.	8	13 7 19·5	3 57·5	2·19	15 15	15 20	55 52	+1·5	56 11	+1·7	5·5
Freitag	9	13 11 16·1	4 51·8	2·31	15 26	15 32	56 32	+1·8	56 54	+1·9	6·5
Samstag	10	13 15 12·6	5 48·6	2·39	15 38	15 45	57 17	+2·0	57 42	+2·1	7·5
Sonntag	11	13 19 9·2	6 46·5	2·40	15 52	15 59	58 7	+2·1	58 32	+2·1	8·5
Montag	12	13 23 5·8	7 44·0	2·36	16 6	16 13	58 58	+2·1	59 23	+2·1	9·5
Dienst.	13	13 27 2·3	8 39·9	2·29	16 19	16 25	59 47	+1·9	60 10	+1·8	10·5
Mittw.	14	13 30 58·9	9 34·1	2·23	16 31	16 35	60 30	+1·6	60 47	+1·3	11·5
Donner.	15	13 34 55·4	10 26·8	2·19	16 39	16 42	61 0	+0·9	61 9	+0·6	12·5
Freitag	16	13 38 52·0	11 19·1	2·19	16 43	16 43	61 14	+0·2	61 14	−0·2	13·5
Samstag	17	13 42 48·5	12 11·9	2·23	16 41	16 39	61 9	−0·6	60 59	−1·0	14·5
Sonntag	18	13 46 45·1	13 6·0	2·29	16 35	16 30	60 45	−1·4	60 26	−1·7	15·5
Montag	19	13 50 41·6	14 2·1	2·37	16 24	16 17	60 4	−1·9	59 40	−2·1	16·5
Dienst.	20	13 54 38·2	14 59·7	2·41	16 10	16 2	59 13	−2·3	58 45	−2·4	17·5
Mittw.	21	13 58 34·7	15 57·8	2·40	15 54	15 46	58 16	−2·4	57 47	−2·4	18·5
Donner.	22	14 2 31·3	16 54·8	2·32	15 38	15 31	57 18	−2·3	56 50	−2·2	19·5
Freitag	23	14 6 27·8	17 49·2	2·19	15 24	15 17	56 24	−2·1	56 0	−2·0	20·5
Samstag	24	14 10 24·4	18 40·0	2·04	15 11	15 6	55 37	−1·8	55 17	−1·6	21·5
Sonntag	25	14 14 21·0	19 27·2	1·90	15 1	14 56	54 59	−1·4	54 44	−1·2	22·5
Montag	26	14 18 17·5	20 11·2	1·78	14 53	14 50	54 31	−1·0	54 20	−0·8	23·5
Dienst.	27	14 22 14·1	20 52·8	1·70	14 48	14 46	54 12	−0·6	54 6	−0·4	24·5
Mittw.	28	14 26 10·6	21 32·8	1·66	14 45	14 45	54 2	−0·2	54 1	−0·1	25·5
Donner.	29	14 30 7·2	22 12·3	1·66	14 45	14 45	54 1	+0·1	54 3	+0·2	26·5
Freitag	30	14 34 3·7	22 52·3	1·69	14 46	14 47	54 6	+0·4	54 11	+0·5	27·5
Samstag	31	14 38 0·3	23 33·6	1·77	14 49	14 51	54 18	+0·6	54 25	+0·7	28·5
Sonntag	N. 1	14 41 56·9	*		14 54	14 56	54 34	+0·8	54 44	+0·9	29·5

Rectascension und Declination des Mondes.

Mittlere Green. Zeit	Rectascension	Aenderung in 10m	Declination + Nord − Süd	Aenderung in 10m
h	h m s	s	° ′ ″	″
	Donnerstag 1.			
0	11 35 22·5	17·95	+ 7 44 47	− 127·0
1	11 37 10·2	17·93	+ 7 32 4	− 127·3
2	11 38 57·7	17·91	+ 7 19 19	− 127·6
3	11 40 45·1	17·90	+ 7 6 33	− 127·9
4	11 42 32·5	17·88	+ 6 53 45	− 128·1
5	11 44 19·7	17·87	+ 6 40 55	− 128·4
6	11 46 6·9	17·85	+ 6 28 4	− 128·6
7	11 47 53·9	17·84	+ 6 15 12	− 128·8
8	11 49 40·9	17·82	+ 6 2 18	− 129·1
9	11 51 27·8	17·81	+ 5 49 23	− 129·3
10	11 53 14·6	17·80	+ 5 36 27	− 129·5
11	11 55 1·3	17·78	+ 5 23 29	− 129·7
12	11 56 48·0	17·77	+ 5 10 30	− 129·9
13	11 58 34·6	17·76	+ 4 57 30	− 130·1
14	12 0 21·1	17·75	+ 4 44 29	− 130·3
15	12 2 7·6	17·74	+ 4 31 27	− 130·5
16	12 3 54·0	17·73	+ 4 18 23	− 130·6
17	12 5 40·3	17·72	+ 4 5 19	− 130·8
18	12 7 26·6	17·71	+ 3 52 14	− 130·9
19	12 9 12·9	17·71	+ 3 39 8	− 131·1
20	12 10 59·1	17·70	+ 3 26 1	− 131·2
21	12 12 45·3	17·69	+ 3 12 53	− 131·4
22	12 14 31·4	17·69	+ 2 59 44	− 131·5
23	12 16 17·5	17·68	+ 2 46 35	− 131·6
	Freitag 2.			
0	12 18 3·6	17·68	+ 2 33 24	− 131·7
1	12 19 49·6	17·67	+ 2 20 14	− 131·8
2	12 21 35·6	17·67	+ 2 7 3	− 131·9
3	12 23 21·6	17·67	+ 1 53 51	− 132·0
4	12 25 7·6	17·66	+ 1 40 38	− 132·1
5	12 26 53·6	17·66	+ 1 27 25	− 132·2
6	12 28 39·6	17·66	+ 1 14 12	− 132·2
7	12 30 25·6	17·66	+ 1 0 58	− 132·3
8	12 32 11·5	17·66	+ 0 47 44	− 132·4
9	12 33 57·5	17·66	+ 0 34 30	− 132·4
10	12 35 43·5	17·66	+ 0 21 15	− 132·4
11	12 37 29·4	17·66	+ 0 8 1	− 132·5
12	12 39 15·4	17·67	− 0 5 14	− 132·5
13	12 41 1·4	17·67	− 0 18 29	− 132·5
14	12 42 47·5	17·67	− 0 31 44	− 132·5
15	12 44 33·5	17·68	− 0 45 0	− 132·5
16	12 46 19·6	17·68	− 0 58 15	− 132·5
17	12 48 5·7	17·69	− 1 11 30	− 132·5
18	12 49 51·9	17·69	− 1 24 45	− 132·5
19	12 51 38·1	17·70	− 1 38 0	− 132·5
20	12 53 24·3	17·71	− 1 51 15	− 132·4
21	12 55 10·6	17·72	− 2 4 29	− 132·4
22	12 56 56·9	17·72	− 2 17 43	− 132·3
23	12 58 43·3	17·73	− 2 30 57	− 132·3
24	13 0 29·7	17·74	− 2 44 10	− 132·2

Mittlere Green. Zeit	Rectascension	Aenderung in 10m	Declination − Süd	Aenderung in 10m
h	h m s	s	° ′ ″	″
	Samstag 3.			
0	13 0 29·7	17·74	— 2 44 10	− 132·2
1	13 2 16·2	17·75	— 2 57 23	− 132·1
2	13 4 2·7	17·76	— 3 10 36	− 132·0
3	13 5 49·4	17·78	— 3 23 48	− 132·0
4	13 7 36·0	17·79	— 3 37 0	− 131·9
5	13 9 22·8	17·80	— 3 50 11	− 131·8
6	13 11 9·7	17·81	— 4 3 21	− 131·7
7	13 12 56·6	17·83	— 4 16 31	− 131·5
8	13 14 43·6	17·84	— 4 29 40	− 131·4
9	13 16 30·7	17·86	— 4 42 48	− 131·3
10	13 18 17·9	17·87	— 4 55 55	− 131·1
11	13 20 5·2	17·89	— 5 9 1	− 131·0
12	13 21 52·6	17·91	— 5 22 7	− 130·8
13	13 23 40·1	17·92	— 5 35 11	− 130·7
14	13 25 27·7	17·94	— 5 48 15	− 130·5
15	13 27 15·4	17·96	— 6 1 17	− 130·3
16	13 29 3·2	17·98	— 6 14 19	− 130·1
17	13 30 51·1	18·00	— 6 27 19	− 129·9
18	13 32 39·2	18·02	— 6 40 18	− 129·7
19	13 34 27·4	18·04	— 6 53 16	− 129·5
20	13 36 15·7	18·06	— 7 6 13	− 129·3
21	13 38 4·1	18·08	— 7 19 8	− 129·1
22	13 39 52·7	18·11	— 7 32 2	− 128·8
23	13 41 41·4	18·13	— 7 44 54	− 128·6
	Sonntag 4.			
0	13 43 30·3	18·16	— 7 57 45	− 128·4
1	13 45 19·3	18·18	— 8 10 34	− 128·1
2	13 47 8·4	18·20	— 8 23 22	− 127·8
3	13 48 57·7	18·23	— 8 36 8	− 127·6
4	13 50 47·2	18·26	— 8 48 53	− 127·3
5	13 52 36·8	18·28	— 9 1 36	− 127·0
6	13 54 26·6	18·31	— 9 14 17	− 126·7
7	13 56 16·6	18·34	— 9 26 56	− 126·4
8	13 58 6·7	18·37	— 9 39 33	− 126·1
9	13 59 57·0	18·40	— 9 52 9	− 125·7
10	14 1 47·5	18·43	— 10 4 42	− 125·4
11	14 3 38·1	18·46	— 10 17 13	− 125·1
12	14 5 29·0	18·49	— 10 29 43	− 124·7
13	14 7 20·0	18·52	— 10 42 10	− 124·4
14	14 9 11·2	18·55	— 10 54 35	− 124·0
15	14 11 2·6	18·59	— 11 6 58	− 123·6
16	14 12 54·2	18·62	— 11 19 18	− 123·2
17	14 14 46·1	18·65	— 11 31 37	− 122·8
18	14 16 38·1	18·69	— 11 43 53	− 122·4
19	14 18 30·3	18·72	— 11 56 6	− 122·0
20	14 20 22·7	18·76	— 12 8 17	− 121·6
21	14 22 15·4	18·79	— 12 20 25	− 121·2
22	14 24 8·2	18·83	— 12 32 31	− 120·7
23	14 26 1·3	18·87	— 12 44 34	− 120·3
24	14 27 54·6	18·90	— 12 56 34	− 119·8

Rectascension und Declination des Mondes.

Mittlere Green. Zeit	Rectascension	Aenderung in 10m	Declination — Süd	Aenderung in 10m	Mittlere Green. Zeit	Rectascension	Aenderung in 10m	Declination — Süd	Aenderung in 10m
	Montag 5.					**Mittwoch 7.**			
h	h m s	s	° ′ ″	″	h	h m s	s	° ′ ″	″
0	14 27 54·6	18·90	— 12 56 34	— 119·8	0	16 3 53·7	21·24	— 21 21 23	— 86·6
1	14 29 48·2	18·94	— 13 8 32	— 119·4	1	16 6 1·3	21·30	— 21 30 0	— 85·7
2	14 31 42·0	18·98	— 13 20 27	— 118·9	2	16 8 9·2	21·35	— 21 38 31	— 84·7
3	14 33 36·0	19·02	— 13 32 19	— 118·4	3	16 10 17·5	21·41	— 21 46 56	— 83·8
4	14 35 30·2	19·06	— 13 44 8	— 117·9	4	16 12 26·1	21·46	— 21 55 16	— 82·8
5	14 37 24·7	19·10	— 13 55 54	— 117·4	5	16 14 35·1	21·52	— 22 3 30	— 81·8
6	14 39 19·4	19·14	— 14 7 37	— 116·9	6	16 16 44·4	21·58	— 22 11 38	— 80·8
7	14 41 14·4	19·18	— 14 19 17	— 116·4	7	16 18 54·1	21·64	— 22 19 39	— 79·8
8	14 43 9·6	19·22	— 14 30 54	— 115·9	8	16 21 4·1	21·69	— 22 27 35	— 78·8
9	14 45 5·1	19·27	— 14 42 28	— 115·3	9	16 23 14·4	21·75	— 22 35 24	— 77·7
10	14 47 0·8	19·31	— 14 53 58	— 114·8	10	16 25 25·0	21·81	— 22 43 8	— 76·7
11	14 48 56·8	19·35	— 15 5 25	— 114·2	11	16 27 36·0	21·86	— 22 50 45	— 75·6
12	14 50 53·1	19·40	— 15 16 49	— 113·7	12	16 29 47·4	21·92	— 22 58 15	— 74·6
13	14 52 49·6	19·44	— 15 28 9	— 113·1	13	16 31 59·1	21·98	— 23 5 39	— 73·5
14	14 54 46·4	19·49	— 15 39 26	— 112·5	14	16 34 11·1	22·03	— 23 12 57	— 72·4
15	14 56 43·4	19·53	— 15 50 40	— 111·9	15	16 36 23·5	22·09	— 23 20 8	— 71·3
16	14 58 40·7	19·58	— 16 1 49	— 111·3	16	16 38 36·2	22·15	— 23 27 13	— 70·2
17	15 0 38·3	19·62	— 16 12 55	— 110·7	17	16 40 49·3	22·20	— 23 34 10	— 69·1
18	15 2 36·2	19·67	— 16 23 58	— 110·1	18	16 43 2·7	22·26	— 23 41 1	— 67·9
19	15 4 34·4	19·72	— 16 34 56	— 109·4	19	16 45 16·4	22·32	— 23 47 46	— 66·8
20	15 6 32·8	19·76	— 16 45 51	— 108·8	20	16 47 30·5	22·37	— 23 54 23	— 65·6
21	15 8 31·5	19·81	— 16 56 42	— 108·1	21	16 49 44·9	22·43	— 24 0 53	— 64·5
22	15 10 30·6	19·86	— 17 7 29	— 107·5	22	16 51 59·6	22·48	— 24 7 17	— 63·3
23	15 12 29·9	19·91	— 17 18 12	— 106·8	23	16 54 14·7	22·54	— 24 13 33	— 62·1
	Dienstag 6.					**Donnerstag 8.**			
0	15 14 29·5	19·96	— 17 28 51	— 106·1	0	16 56 30·1	22·60	— 24 19 42	— 60·9
1	15 16 29·4	20·01	— 17 39 25	— 105·4	1	16 58 45·8	22·65	— 24 25 44	— 59·7
2	15 18 29·6	20·06	— 17 49 56	— 104·7	2	17 1 1·9	22·71	— 24 31 39	— 58·5
3	15 20 30·1	20·11	— 18 0 22	— 104·0	3	17 3 18·3	22·76	— 24 37 26	— 57·3
4	15 22 30·9	20·16	— 18 10 44	— 103·3	4	17 5 35·0	22·81	— 24 43 6	— 56·0
5	15 24 32·0	20·21	— 18 21 2	— 102·6	5	17 7 52·1	22·87	— 24 48 38	— 54·8
6	15 26 33·4	20·26	— 18 31 15	— 101·8	6	17 10 9·4	22·92	— 24 54 3	— 53·5
7	15 28 35·1	20·31	— 18 41 24	— 101·1	7	17 12 27·1	22·97	— 24 59 20	— 52·2
8	15 30 37·2	20·37	— 18 51 28	— 100·3	8	17 14 45·1	23·03	— 25 4 30	— 51·0
9	15 32 39·5	20·42	— 19 1 27	— 99·5	9	17 17 3·5	23·08	— 25 9 32	— 49·7
10	15 34 42·2	20·47	— 19 11 22	— 98·7	10	17 19 22·1	23·13	— 25 14 26	— 48·4
11	15 36 45·2	20·52	— 19 21 12	— 97·9	11	17 21 41·0	23·18	— 25 19 13	— 47·1
12	15 38 48·5	20·58	— 19 30 58	— 97·1	12	17 24 0·3	23·23	— 25 23 51	— 45·7
13	15 40 52·1	20·63	— 19 40 38	— 96·3	13	17 26 19·8	23·28	— 25 28 22	— 44·4
14	15 42 56·1	20·69	— 19 50 13	— 95·5	14	17 28 39·7	23·33	— 25 32 44	— 43·1
15	15 45 0·4	20·74	— 19 59 44	— 94·6	15	17 30 59·9	23·38	— 25 36 59	— 41·7
16	15 47 5·0	20·79	— 20 9 9	— 93·8	16	17 33 20·3	23·43	— 25 41 5	— 40·4
17	15 49 9·9	20·85	— 20 18 30	— 92·9	17	17 35 41·1	23·48	— 25 45 3	— 39·0
18	15 51 15·1	20·90	— 20 27 45	— 92·1	18	17 38 2·1	23·53	— 25 48 53	— 37·6
19	15 53 20·7	20·96	— 20 36 54	— 91·2	19	17 40 23·4	23·58	— 25 52 35	— 36·2
20	15 55 26·7	21·02	— 20 45 59	— 90·3	20	17 42 45·0	23·62	— 25 56 8	— 34·8
21	15 57 32·9	21·07	— 20 54 58	— 89·4	21	17 45 6·9	23·67	— 25 59 33	— 33·4
22	15 59 39·5	21·13	— 21 3 52	— 88·5	22	17 47 29·1	23·71	— 26 2 49	— 32·0
23	16 1 46·4	21·18	— 21 12 40	— 87·6	23	17 49 51·5	23·76	— 26 5 57	— 30·6
24	16 3 53·7	21·24	— 21 21 23	— 86·6	24	17 52 14·2	23·80	— 26 8 56	— 29·1

Rectascension und Declination des Mondes.

Mittlere Green. Zeit	Rectascension			Aenderung in 10m	Declination — Süd			Aenderung in 10m
				Freitag 9.				
h	h	m	s	s	°	′	″	″
0	17	52	14·2	23·80	— 26	8	56	— 29·1
1	17	54	37·2	23·85	— 26	11	47	— 27·7
2	17	57	0·4	23·89	— 26	14	29	— 26·3
3	17	59	23·8	23·93	— 26	17	2	— 24·8
4	18	1	47·5	23·97	— 26	19	26	— 23·3
5	18	4	11·5	24·01	— 26	21	42	— 21·9
6	18	6	35·7	24·05	— 26	23	49	— 20·4
7	18	9	0·1	24·09	— 26	25	47	— 18·9
8	18	11	24·8	24·13	— 26	27	35	— 17·4
9	18	13	49·7	24·17	— 26	29	15	— 15·9
10	18	16	14·8	24·20	— 26	30	46	— 14·4
11	18	18	40·1	24·24	— 26	32	8	— 12·9
12	18	21	5·7	24·27	— 26	33	21	— 11·3
13	18	23	31·4	24·31	— 26	34	24	— 9·8
14	18	25	57·4	24·34	— 26	35	18	— 8·3
15	18	28	23·5	24·37	— 26	36	3	— 6·7
16	18	30	49·8	24·40	— 26	36	39	— 5·2
17	18	33	16·3	24·43	— 26	37	5	— 3·6
18	18	35	43·0	24·46	— 26	37	22	— 2·0
19	18	38	9·9	24·49	— 26	37	30	— 0·5
20	18	40	36·9	24·52	— 26	37	28	+ 1·1
21	18	43	4·1	24·54	— 26	37	17	+ 2·7
22	18	45	31·4	24·57	— 26	36	56	+ 4·3
23	18	47	58·9	24·59	— 26	36	26	+ 5·8
				Samstag 10.				
0	18	50	26·5	24·62	— 26	35	46	+ 7·4
1	18	52	54·3	24·64	— 26	34	56	+ 9·0
2	18	55	22·2	24·66	— 26	33	57	+ 10·6
3	18	57	50·2	24·68	— 26	32	49	+ 12·2
4	19	0	18·4	24·70	— 26	31	30	+ 13·8
5	19	2	46·6	24·72	— 26	30	2	+ 15·5
6	19	5	15·0	24·73	— 26	28	25	+ 17·1
7	19	7	43·4	24·75	— 26	26	37	+ 18·7
8	19	10	12·0	24·77	— 26	24	40	+ 20·3
9	19	12	40·7	24·78	— 26	22	33	+ 21·9
10	19	15	9·4	24·79	— 26	20	17	+ 23·6
11	19	17	38·2	24·81	— 26	17	50	+ 25·2
12	19	20	7·1	24·82	— 26	15	14	+ 26·8
13	19	22	36·0	24·83	— 26	12	28	+ 28·5
14	19	25	5·0	24·84	— 26	9	33	+ 30·1
15	19	27	34·1	24·85	— 26	6	27	+ 31·7
16	19	30	3·2	24·85	— 26	3	12	+ 33·4
17	19	32	32·3	24·86	— 25	59	47	+ 35·0
18	19	35	1·5	24·86	— 25	56	12	+ 36·6
19	19	37	30·7	24·87	— 25	52	27	+ 38·3
20	19	39	59·9	24·87	— 25	48	32	+ 39·9
21	19	42	29·1	24·87	— 25	44	28	+ 41·5
22	19	44	58·4	24·87	— 25	40	14	+ 43·2
23	19	47	27·6	24·87	— 25	35	50	+ 44·8
24	19	49	56·8	24·87	— 25	31	16	+ 46·4

Mittlere Green. Zeit	Rectascension			Aenderung in 10m	Declination — Süd			Aenderung in 10m
				Sonntag 11.				
h	h	m	s	s	°	′	″	″
0	19	49	56·8	24·87	— 25	31	16	+ 46·4
1	19	52	26·1	24·87	— 25	26	32	+ 48·1
2	19	54	55·3	24·87	— 25	21	39	+ 49·7
3	19	57	24·5	24·86	— 25	16	36	+ 51·3
4	19	59	53·7	24·86	— 25	11	23	+ 53·0
5	20	2	22·8	24·85	— 25	6	0	+ 54·6
6	20	4	51·9	24·85	— 25	0	28	+ 56·2
7	20	7	21·0	24·84	— 24	54	46	+ 57·8
8	20	9	50·0	24·83	— 24	48	54	+ 59·4
9	20	12	19·0	24·82	— 24	42	52	+ 61·0
10	20	14	47·9	24·81	— 24	36	41	+ 62·7
11	20	17	16·7	24·80	— 24	30	20	+ 64·3
12	20	19	45·5	24·79	— 24	23	50	+ 65·9
13	20	22	14·2	24·78	— 24	17	10	+ 67·5
14	20	24	42·8	24·76	— 24	10	20	+ 69·0
15	20	27	11·4	24·75	— 24	3	21	+ 70·6
16	20	29	39·9	24·74	— 23	56	13	+ 72·2
17	20	32	8·2	24·72	— 23	48	55	+ 73·8
18	20	34	36·5	24·70	— 23	41	28	+ 75·3
19	20	37	4·7	24·69	— 23	33	51	+ 76·9
20	20	39	32·8	24·67	— 23	26	5	+ 78·5
21	20	42	0·7	24·65	— 23	18	9	+ 80·0
22	20	44	28·6	24·63	— 23	10	4	+ 81·6
23	20	46	56·4	24·61	— 23	1	50	+ 83·1
				Montag 12.				
0	20	49	24·0	24·59	— 22	53	27	+ 84·6
1	20	51	51·5	24·57	— 22	44	55	+ 86·1
2	20	54	18·9	24·55	— 22	36	13	+ 87·7
3	20	56	46·1	24·53	— 22	27	23	+ 89·2
4	20	59	13·2	24·51	— 22	18	23	+ 90·7
5	21	1	40·2	24·48	— 22	9	15	+ 92·1
6	21	4	7·0	24·46	— 21	59	58	+ 93·6
7	21	6	33·7	24·44	— 21	50	31	+ 95·1
8	21	9	0·3	24·41	— 21	40	56	+ 96·6
9	21	11	26·7	24·39	— 21	31	12	+ 98·0
10	21	13	52·9	24·36	— 21	21	20	+ 99·5
11	21	16	19·0	24·34	— 21	11	19	+ 100·9
12	21	18	45·0	24·31	— 21	1	9	+ 102·3
13	21	21	10·8	24·28	— 20	50	51	+ 103·7
14	21	23	36·4	24·26	— 20	40	24	+ 105·1
15	21	26	1·9	24·23	— 20	29	49	+ 106·5
16	21	28	27·2	24·20	— 20	19	5	+ 107·9
17	21	30	52·3	24·18	— 20	8	14	+ 109·3
18	21	33	17·3	24·15	— 19	57	14	+ 110·7
19	21	35	42·1	24·12	— 19	46	6	+ 112·0
20	21	38	6·8	24·09	— 19	34	50	+ 113·4
21	21	40	31·2	24·06	— 19	23	25	+ 114·7
22	21	42	55·5	24·04	— 19	11	53	+ 116·0
23	21	45	19·7	24·01	— 19	0	13	+ 117·3
24	21	47	43·6	23·98	— 18	48	26	+ 118·6

Rectascension und Declination des Mondes.

Mittlere Green. Zeit	Rectascension	Aenderung in 10m	Declination — Süd	Aenderung in 10m	Mittlere Green. Zeit	Rectascension	Aenderung in 10m	Declination — Süd + Nord	Aenderung in 10m
	Dienstag 13.					**Donnerstag 15.**			
h	h m s	s	° ′ ″	″	h	h m s	s	° ′ ″	″
0	21 47 43·6	23·98	— 18 48 26	+118·6	0	23 39 43·4	22·80	— 7 17 15	+163·3
1	21 50 7·4	23·95	— 18 36 30	+119·9	1	23 42 0·2	22·79	— 7 0 54	+163·8
2	21 52 31·0	23·92	— 18 24 27	+121·1	2	23 44 16·9	22·78	— 6 44 30	+164·3
3	21 54 54·5	23·89	— 18 12 16	+122·4	3	23 46 33·5	22·76	— 6 28 3	+164·7
4	21 57 17·7	23·86	— 17 59 58	+123·6	4	23 48 50·0	22·75	— 6 11 33	+165·2
5	21 59 40·8	23·83	— 17 47 33	+124·9	5	23 51 6·5	22·74	— 5 55 0	+165·6
6	22 2 3·7	23·80	— 17 35 0	+126·1	6	23 53 22·9	22·73	— 5 38 25	+166·1
7	22 4 26·5	23·78	— 17 22 20	+127·3	7	23 55 39·2	22·72	— 5 21 47	+166·5
8	22 6 49·0	23·75	— 17 9 32	+128·5	8	23 57 55·5	22·71	— 5 5 7	+166·8
9	22 9 11·4	23·72	— 16 56 38	+129·7	9	0 0 11·7	22·70	— 4 48 25	+167·2
10	22 11 33·6	23·69	— 16 43 36	+130·8	10	0 2 27·8	22·69	— 4 31 41	+167·6
11	22 13 55·7	23·66	— 16 30 28	+132·0	11	0 4 43·9	22·68	— 4 14 54	+167·9
12	22 16 17·6	23·63	— 16 17 13	+133·1	12	0 7 0·0	22·67	— 3 58 6	+168·2
13	22 18 39·3	23·60	— 16 3 51	+134·2	13	0 9 16·0	22·67	— 3 41 16	+168·5
14	22 21 0·8	23·57	— 15 50 22	+135·3	14	0 11 32·0	22·66	— 3 24 24	+168·7
15	22 23 22·2	23·55	— 15 36 47	+136·4	15	0 13 47·9	22·65	— 3 7 31	+169·0
16	22 25 43·4	23·52	— 15 23 5	+137·5	16	0 16 3·8	22·65	— 2 50 36	+169·2
17	22 28 4·4	23·49	— 15 9 17	+138·5	17	0 18 19·7	22·65	— 2 33 40	+169·4
18	22 30 25·2	23·46	— 14 55 23	+139·6	18	0 20 35·6	22·64	— 2 16 43	+169·6
19	22 32 45·9	23·43	— 14 41 22	+140·6	19	0 22 51·4	22·64	— 1 59 45	+169·8
20	22 35 6·5	23·41	— 14 27 16	+141·6	20	0 25 7·3	22·64	— 1 42 45	+169·9
21	22 37 26·8	23·38	— 14 13 3	+142·6	21	0 27 23·1	22·63	— 1 25 45	+170·1
22	22 39 47·0	23·35	— 13 58 44	+143·6	22	0 29 38·9	22·63	— 1 8 45	+170·2
23	22 42 7·1	23·33	— 13 44 19	+144·6	23	0 31 54·7	22·63	— 0 51 43	+170·3
	Mittwoch 14.					**Freitag 16.**			
0	22 44 27·0	23·30	— 13 29 49	+145·5	0	0 34 10·5	22·63	— 0 34 41	+170·3
1	22 46 46·7	23·28	— 13 15 13	+146·5	1	0 36 26·3	22·64	— 0 17 39	+170·4
2	22 49 6·3	23·25	— 13 0 32	+147·4	2	0 38 42·1	22·64	— 0 0 37	+170·4
3	22 51 25·7	23·23	— 12 45 45	+148·3	3	0 40 58·0	22·64	+ 0 16 26	+170·4
4	22 53 45·0	23·20	— 12 30 52	+149·2	4	0 43 13·8	22·64	+ 0 33 29	+170·4
5	22 56 4·1	23·18	— 12 15 54	+150·0	5	0 45 29·7	22·65	+ 0 50 31	+170·4
6	22 58 23·1	23·15	— 12 0 52	+150·9	6	0 47 45·6	22·65	+ 1 7 33	+170·3
7	23 0 42·0	23·13	— 11 45 44	+151·7	7	0 50 1·5	22·66	+ 1 24 35	+170·3
8	23 3 0·7	23·11	— 11 30 31	+152·5	8	0 52 17·5	22·66	+ 1 41 36	+170·2
9	23 5 19·3	23·08	— 11 15 13	+153·3	9	0 54 33·5	22·67	+ 1 58 37	+170·1
10	23 7 37·7	23·06	— 10 59 51	+154·1	10	0 56 49·5	22·68	+ 2 15 37	+169·9
11	23 9 56·0	23·04	— 10 44 24	+154·9	11	0 59 5·6	22·68	+ 2 32 36	+169·8
12	23 12 14·2	23·02	— 10 28 52	+155·7	12	1 1 21·7	22·69	+ 2 49 35	+169·6
13	23 14 32·2	23·00	— 10 13 16	+156·4	13	1 3 37·9	22·70	+ 3 6 32	+169·4
14	23 16 50·2	22·98	— 9 57 35	+157·1	14	1 5 54·1	22·71	+ 3 23 28	+169·2
15	23 19 8·0	22·96	— 9 41 50	+157·8	15	1 8 10·4	22·72	+ 3 40 23	+169·0
16	23 21 25·7	22·94	— 9 26 2	+158·5	16	1 10 26·8	22·73	+ 3 57 16	+168·7
17	23 23 43·3	22·92	— 9 10 9	+159·1	17	1 12 43·2	22·74	+ 4 14 7	+168·5
18	23 26 0·7	22·90	— 8 54 12	+159·8	18	1 14 59·7	22·76	+ 4 30 57	+168·2
19	23 28 18·1	22·88	— 8 38 11	+160·4	19	1 17 16·3	22·77	+ 4 47 45	+167·9
20	23 30 35·3	22·87	— 8 22 7	+161·0	20	1 19 33·0	22·78	+ 5 4 32	+167·5
21	23 32 52·5	22·85	— 8 5 59	+161·6	21	1 21 49·7	22·80	+ 5 21 16	+167·2
22	23 35 9·5	22·83	— 7 49 48	+162·2	22	1 24 6·5	22·81	+ 5 37 58	+166·8
23	23 37 26·5	22·82	— 7 33 33	+162·7	23	1 26 23·4	22·83	+ 5 54 38	+166·4
24	23 39 43·4	22·80	— 7 17 15	+163·3	24	1 28 40·4	22·84	+ 6 11 15	+166·0

Rectascension und Declination des Mondes.

Samstag 17.

Mittlere Green. Zeit	Rect-ascension	Aenderung in 10ᵐ	Declination + Nord	Aenderung in 10ᵐ
h	h m s	s	° ′ ″	″
0	1 28 40·4	22·84	+ 6 11 15	+166·0
1	1 30 57·5	22·86	+ 6 27 50	+165·6
2	1 33 14·8	22·88	+ 6 44 22	+165·1
3	1 35 32·1	22·89	+ 7 0 52	+164·7
4	1 37 49·5	22·91	+ 7 17 18	+164·2
5	1 40 7·0	22·93	+ 7 33 42	+163·7
6	1 42 24·7	22·95	+ 7 50 2	+163·1
7	1 44 42·4	22·97	+ 8 6 20	+162·6
8	1 47 0·3	22·99	+ 8 22 33	+162·0
9	1 49 18·3	23·01	+ 8 38 44	+161·5
10	1 51 36·4	23·03	+ 8 54 51	+160·8
11	1 53 54·7	23·05	+ 9 10 54	+160·2
12	1 56 13·1	23·08	+ 9 26 54	+159·6
13	1 58 31·6	23·10	+ 9 42 49	+158·9
14	2 0 50·3	23·12	+ 9 58 41	+158·2
15	2 3 9·1	23·15	+10 14 28	+157·5
16	2 5 28·0	23·17	+10 30 11	+156·8
17	2 7 47·1	23·19	+10 45 50	+156·1
18	2 10 6·4	23·22	+11 1 24	+155·3
19	2 12 25·8	23·25	+11 16 54	+154·6
20	2 14 45·3	23·27	+11 32 19	+153·8
21	2 17 5·0	23·30	+11 47 39	+152·9
22	2 19 24·9	23·32	+12 2 54	+152·1
23	2 21 44·9	23·35	+12 18 4	+151·3

Sonntag 18.

Mittlere Green. Zeit	Rect-ascension	Aenderung in 10ᵐ	Declination + Nord	Aenderung in 10ᵐ
0	2 24 5·1	23·38	+12 33 10	+150·4
1	2 26 25·4	23·40	+12 48 9	+149·5
2	2 28 45·9	23·43	+13 3 4	+148·6
3	2 31 6·6	23·46	+13 17 53	+147·7
4	2 33 27·5	23·49	+13 32 36	+146·8
5	2 35 48·5	23·52	+13 47 14	+145·8
6	2 38 9·7	23·55	+14 1 46	+144·8
7	2 40 31·0	23·57	+14 16 12	+143·9
8	2 42 52·6	23·60	+14 30 32	+142·9
9	2 45 14·3	23·63	+14 44 47	+141·8
10	2 47 36·2	23·66	+14 58 54	+140·8
11	2 49 58·2	23·69	+15 12 56	+139·7
12	2 52 20·5	23·72	+15 26 51	+138·7
13	2 54 42·9	23·75	+15 40 40	+137·6
14	2 57 5·5	23·78	+15 54 22	+136·5
15	2 59 28·2	23·81	+16 7 58	+135·4
16	3 1 51·2	23·84	+16 21 27	+134·2
17	3 4 14·3	23·87	+16 34 49	+133·1
18	3 6 37·7	23·90	+16 48 4	+131·9
19	3 9 1·1	23·93	+17 1 12	+130·7
20	3 11 24·8	23·96	+17 14 13	+129·5
21	3 13 48·7	23·99	+17 27 6	+128·3
22	3 16 12·7	24·02	+17 39 53	+127·1
23	3 18 36·9	24·05	+17 52 32	+125·9
24	3 21 1·3	24·08	+18 5 3	+124·6

Montag 19.

Mittlere Green. Zeit	Rect-ascension	Aenderung in 10ᵐ	Declination + Nord	Aenderung in 10ᵐ
h	h m s	s	° ′ ″	″
0	3 21 1·3	24·08	+18 5 3	+124·6
1	3 23 25·9	24·11	+18 17 27	+123·3
2	3 25 50·6	24·14	+18 29 43	+122·1
3	3 28 15·5	24·17	+18 41 52	+120·8
4	3 30 40·6	24·20	+18 53 53	+119·5
5	3 33 5·9	24·22	+19 5 46	+118·1
6	3 35 31·3	24·25	+19 17 30	+116·8
7	3 37 56·9	24·28	+19 29 7	+115·5
8	3 40 22·7	24·31	+19 40 36	+114·1
9	3 42 48·6	24·34	+19 51 57	+112·7
10	3 45 14·7	24·36	+20 3 9	+111·4
11	3 47 41·0	24·39	+20 14 13	+110·0
12	3 50 7·4	24·42	+20 25 9	+108·6
13	3 52 34·0	24·44	+20 35 56	+107·1
14	3 55 0·7	24·47	+20 46 34	+105·7
15	3 57 27·6	24·49	+20 57 4	+104·3
16	3 59 54·7	24·52	+21 7 25	+102·8
17	4 2 21·9	24·54	+21 17 38	+101·4
18	4 4 49·2	24·57	+21 27 42	+ 99·9
19	4 7 16·7	24·59	+21 37 37	+ 98·4
20	4 9 44·3	24·61	+21 47 23	+ 96·9
21	4 12 12·0	24·63	+21 57 0	+ 95·4
22	4 14 39·9	24·66	+22 6 28	+ 93·9
23	4 17 7·9	24·68	+22 15 46	+ 92·4

Dienstag 20.

Mittlere Green. Zeit	Rect-ascension	Aenderung in 10ᵐ	Declination + Nord	Aenderung in 10ᵐ
0	4 19 36·0	24·70	+22 24 56	+ 90·9
1	4 22 4·3	24·72	+22 33 57	+ 89·3
2	4 24 32·6	24·74	+22 42 48	+ 87·8
3	4 27 1·1	24·75	+22 51 30	+ 86·2
4	4 29 29·7	24·77	+23 0 3	+ 84·7
5	4 31 58·4	24·79	+23 8 27	+ 83·1
6	4 34 27·1	24·80	+23 16 41	+ 81·5
7	4 36 56·0	24·82	+23 24 45	+ 80·0
8	4 39 25·0	24·83	+23 32 40	+ 78·4
9	4 41 54·0	24·85	+23 40 26	+ 76·8
10	4 44 23·2	24·86	+23 48 2	+ 75·2
11	4 46 52·4	24·87	+23 55 28	+ 73·6
12	4 49 21·7	24·88	+24 2 45	+ 72·0
13	4 51 51·0	24·89	+24 9 52	+ 70·4
14	4 54 20·4	24·90	+24 16 49	+ 68·8
15	4 56 49·9	24·91	+24 23 37	+ 67·1
16	4 59 19·4	24·92	+24 30 15	+ 65·5
17	5 1 48·9	24·93	+24 36 43	+ 63·9
18	5 4 18·5	24·93	+24 43 1	+ 62·2
19	5 6 48·1	24·94	+24 49 10	+ 60·6
20	5 9 17·7	24·94	+24 55 9	+ 59·0
21	5 11 47·4	24·94	+25 0 58	+ 57·3
22	5 14 17·1	24·95	+25 6 37	+ 55·7
23	5 16 46·8	24·95	+25 12 6	+ 54·0
24	5 19 16·4	24·95	+25 17 25	+ 52·4

Rectascension und Declination des Mondes.

Mittlere Green. Zeit	Rectascension	Aenderung in 10m	Declination + Nord	Aenderung in 10m	Mittlere Green. Zeit	Rectascension	Aenderung in 10m	Declination + Nord	Aenderung in 10m
	Mittwoch 21.					**Freitag 23.**			
h	h m s	s	° ′ ″	″	h	h m s	s	° ′ ″	″
0	5 19 16·4	24·95	+ 25 17 25	+ 52·4	0	7 17 2·7	23·75	+ 26 22 3	− 23·7
1	5 21 46·1	24·95	+ 25 22 35	+ 50·7	1	7 19 25·0	23·70	+ 26 19 37	− 25·1
2	5 24 15·8	24·94	+ 25 27 34	+ 49·1	2	7 21 47·0	23·65	+ 26 17 2	− 26·6
3	5 26 45·5	24·94	+ 25 32 24	+ 47·4	3	7 24 8·8	23·60	+ 26 14 18	− 28·0
4	5 29 15·1	24·94	+ 25 37 3	+ 45·8	4	7 26 30·3	23·55	+ 26 11 26	− 29·4
5	5 31 44·7	24·93	+ 25 41 33	+ 44·1	5	7 28 51·4	23·50	+ 26 8 25	− 30·8
6	5 34 14·3	24·92	+ 25 45 53	+ 42·5	6	7 31 12·3	23·45	+ 26 5 16	− 32·2
7	5 36 43·8	24·92	+ 25 50 3	+ 40·8	7	7 33 32·9	23·40	+ 26 1 59	− 33·6
8	5 39 13·3	24·91	+ 25 54 3	+ 39·2	8	7 35 53·1	23·35	+ 25 58 34	− 34·9
9	5 41 42·7	24·90	+ 25 57 53	+ 37·5	9	7 38 13·1	23·30	+ 25 55 0	− 36·3
10	5 44 12·1	24·89	+ 26 1 33	+ 35·9	10	7 40 32·7	23·25	+ 25 51 18	− 37·6
11	5 46 41·4	24·88	+ 26 5 4	+ 34·2	11	7 42 52·1	23·19	+ 25 47 28	− 39·0
12	5 49 10·6	24·86	+ 26 8 24	+ 32·6	12	7 45 11·1	23·14	+ 25 43 30	− 40·3
13	5 51 39·8	24·85	+ 26 11 35	+ 30·9	13	7 47 29·8	23·09	+ 25 39 25	− 41·6
14	5 54 8·9	24·84	+ 26 14 35	+ 29·3	14	7 49 48·1	23·03	+ 25 35 11	− 42·9
15	5 56 37·8	24·82	+ 26 17 26	+ 27·6	15	7 52 6·2	22·98	+ 25 30 50	− 44·2
16	5 59 6·7	24·80	+ 26 20 7	+ 26·0	16	7 54 23·9	22·92	+ 25 26 21	− 45·5
17	6 1 35·5	24·79	+ 26 22 38	+ 24·4	17	7 56 41·3	22·87	+ 25 21 44	− 46·8
18	6 4 4·1	24·77	+ 26 25 0	+ 22·7	18	7 58 58·3	22·81	+ 25 16 59	− 48·0
19	6 6 32·7	24·75	+ 26 27 11	+ 21·1	19	8 1 15·0	22·76	+ 25 12 7	− 49·3
20	6 9 1·1	24·73	+ 26 29 13	+ 19·5	20	8 3 31·4	22·70	+ 25 7 8	− 50·5
21	6 11 29·4	24·70	+ 26 31 5	+ 17·9	21	8 5 47·4	22·64	+ 25 2 1	− 51·8
22	6 13 57·6	24·68	+ 26 32 47	+ 16·2	22	8 8 3·1	22·59	+ 24 56 46	− 53·0
23	6 16 25·6	24·66	+ 26 34 20	+ 14·6	23	8 10 18·5	22·53	+ 24 51 25	− 54·2
	Donnerstag 22.					**Samstag 24.**			
0	6 18 53·5	24·63	+ 26 35 43	+ 13·0	0	8 12 33·5	22·47	+ 24 45 56	− 55·4
1	6 21 21·2	24·60	+ 26 36 56	+ 11·4	1	8 14 48·2	22·42	+ 24 40 19	− 56·6
2	6 23 48·7	24·58	+ 26 38 0	+ 9·8	2	8 17 2·5	22·36	+ 24 34 36	− 57·8
3	6 26 16·1	24·55	+ 26 38 54	+ 8·2	3	8 19 16·5	22·30	+ 24 28 46	− 59·0
4	6 28 43·3	24·52	+ 26 39 39	+ 6·6	4	8 21 30·1	22·24	+ 24 22 48	− 60·1
5	6 31 10·3	24·49	+ 26 40 14	+ 5·0	5	8 23 43·4	22·18	+ 24 16 44	− 61·3
6	6 33 37·2	24·46	+ 26 40 39	+ 3·5	6	8 25 56·3	22·13	+ 24 10 33	− 62·4
7	6 36 3·8	24·43	+ 26 40 55	+ 1·9	7	8 28 8·9	22·07	+ 24 4 15	− 63·5
8	6 38 30·3	24·39	+ 26 41 2	+ 0·3	8	8 30 21·1	22·01	+ 23 57 50	− 64·7
9	6 40 56·6	24·36	+ 26 40 59	− 1·2	9	8 32 33·0	21·95	+ 23 51 19	− 65·8
10	6 43 22·6	24·32	+ 26 40 47	− 2·8	10	8 34 44·5	21·89	+ 23 44 41	− 66·9
11	6 45 48·5	24·29	+ 26 40 26	− 4·3	11	8 36 55·7	21·83	+ 23 37 56	− 68·0
12	6 48 14·1	24·25	+ 26 39 55	− 5·9	12	8 39 6·5	21·77	+ 23 31 5	− 69·0
13	6 50 39·5	24·21	+ 26 39 16	− 7·4	13	8 41 17·0	21·72	+ 23 24 8	− 70·1
14	6 53 4·6	24·17	+ 26 38 27	− 8·9	14	8 43 27·1	21·66	+ 23 17 4	− 71·2
15	6 55 29·6	24·14	+ 26 37 29	− 10·4	15	8 45 36·9	21·60	+ 23 9 54	− 72·2
16	6 57 54·3	24·10	+ 26 36 22	− 11·9	16	8 47 46·3	21·54	+ 23 2 38	− 73·2
17	7 0 18·7	24·05	+ 26 35 5	− 13·4	17	8 49 55·4	21·48	+ 22 55 15	− 74·3
18	7 2 42·9	24·01	+ 26 33 40	− 14·9	18	8 52 4·1	21·42	+ 22 47 47	− 75·3
19	7 5 6·9	23·97	+ 26 32 6	− 16·4	19	8 54 12·5	21·37	+ 22 40 12	− 76·3
20	7 7 30·6	23·93	+ 26 30 23	− 17·9	20	8 56 20·5	21·31	+ 22 32 31	− 77·3
21	7 9 54·0	23·88	+ 26 28 31	− 19·4	21	8 58 28·2	21·25	+ 22 24 45	− 78·2
22	7 12 17·2	23·84	+ 26 26 31	− 20·8	22	9 0 35·5	21·19	+ 22 16 52	− 79·2
23	7 14 40·1	23·79	+ 26 24 21	− 22·3	23	9 2 42·5	21·13	+ 22 8 54	− 80·2
24	7 17 2·7	23·75	+ 26 22 3	− 23·7	24	9 4 49·1	21·08	+ 22 0 50	− 81·1

Rectascension und Declination des Mondes.

Mittlere Green. Zeit	Rectascension			Aenderung in 10^m	Declination + Nord			Aenderung in 10^m
h	h	m	s	s	°	′	″	″
Sonntag 25.								
0	9	4	49·1	21·08	+22	0	50	−81·1
1	9	6	55·4	21·02	+21	52	41	−82·1
2	9	9	1·4	20·96	+21	44	26	−83·0
3	9	11	7·0	20·91	+21	36	5	−83·9
4	9	13	12·2	20·85	+21	27	39	−84·8
5	9	15	17·2	20·79	+21	19	7	−85·7
6	9	17	21·8	20·74	+21	10	30	−86·6
7	9	19	26·0	20·68	+21	1	48	−87·5
8	9	21	30·0	20·63	+20	53	0	−88·4
9	9	23	33·6	20·57	+20	44	7	−89·2
10	9	25	36·8	20·52	+20	35	9	−90·1
11	9	27	39·8	20·46	+20	26	6	−90·9
12	9	29	42·4	20·41	+20	16	58	−91·7
13	9	31	44·6	20·35	+20	7	45	−92·6
14	9	33	46·6	20·30	+19	58	27	−93·4
15	9	35	48·3	20·25	+19	49	5	−94·2
16	9	37	49·6	20·19	+19	39	37	−95·0
17	9	39	50·6	20·14	+19	30	5	−95·7
18	9	41	51·3	20·09	+19	20	28	−96·5
19	9	43	51·7	20·04	+19	10	47	−97·3
20	9	45	51·8	19·99	+19	1	1	−98·0
21	9	47	51·5	19·94	+18	51	10	−98·8
22	9	49	51·0	19·89	+18	41	15	−99·5
23	9	51	50·2	19·84	+18	31	16	−100·2
Montag 26.								
0	9	53	49·0	19·79	+18	21	12	−101·0
1	9	55	47·6	19·74	+18	11	5	−101·7
2	9	57	45·9	19·69	+18	0	52	−102·4
3	9	59	43·9	19·64	+17	50	36	−103·0
4	10	1	41·6	19·59	+17	40	16	−103·7
5	10	3	39·0	19·55	+17	29	51	−104·4
6	10	5	36·1	19·50	+17	19	23	−105·1
7	10	7	33·0	19·45	+17	8	51	−105·7
8	10	9	29·6	19·41	+16	58	14	−106·4
9	10	11	25·9	19·36	+16	47	34	−107·0
10	10	13	21·9	19·32	+16	36	50	−107·6
11	10	15	17·7	19·27	+16	26	3	−108·2
12	10	17	13·2	19·23	+16	15	11	−108·9
13	10	19	8·5	19·19	+16	4	16	−109·5
14	10	21	3·5	19·14	+15	53	18	−110·1
15	10	22	58·2	19·10	+15	42	16	−110·6
16	10	24	52·7	19·06	+15	31	10	−111·2
17	10	26	46·9	19·02	+15	20	1	−111·8
18	10	28	40·9	18·98	+15	8	48	−112·4
19	10	30	34·7	18·94	+14	57	33	−112·9
20	10	32	28·2	18·90	+14	46	13	−113·5
21	10	34	21·5	18·86	+14	34	51	−114·0
22	10	36	14·6	18·82	+14	23	26	−114·5
23	10	38	7·4	18·79	+14	11	57	−115·0
24	10	40	0·0	18·75	+14	0	25	−115·5
Dienstag 27.								
0	10	40	0·0	18·75	+14	0	25	−115·5
1	10	41	52·4	18·71	+13	48	50	−116·1
2	10	43	44·5	18·68	+13	37	12	−116·6
3	10	45	36·5	18·64	+13	25	32	−117·0
4	10	47	28·2	18·61	+13	13	48	−117·5
5	10	49	19·8	18·57	+13	2	1	−118·0
6	10	51	11·1	18·54	+12	50	12	−118·5
7	10	53	2·2	18·51	+12	38	20	−118·9
8	10	54	53·2	18·47	+12	26	25	−119·4
9	10	56	43·9	18·44	+12	14	27	−119·8
10	10	58	34·5	18·41	+12	2	27	−120·2
11	11	0	24·9	18·38	+11	50	24	−120·7
12	11	2	15·1	18·35	+11	38	19	−121·1
13	11	4	5·1	18·32	+11	26	11	−121·5
14	11	5	54·9	18·29	+11	14	1	−121·9
15	11	7	44·6	18·26	+11	1	48	−122·3
16	11	9	34·1	18·24	+10	49	33	−122·7
17	11	11	23·4	18·21	+10	37	15	−123·1
18	11	13	12·6	18·18	+10	24	56	−123·5
19	11	15	1·6	18·16	+10	12	34	−123·8
20	11	16	50·5	18·13	+10	0	10	−124·2
21	11	18	39·2	18·11	+9	47	43	−124·6
22	11	20	27·8	18·08	+9	35	15	−124·9
23	11	22	16·2	18·06	+9	22	44	−125·2
Mittwoch 28.								
0	11	24	4·5	18·04	+9	10	12	−125·6
1	11	25	52·7	18·02	+8	57	37	−125·9
2	11	27	40·8	18·00	+8	45	1	−126·2
3	11	29	28·7	17·98	+8	32	23	−126·5
4	11	31	16·5	17·96	+8	19	43	−126·8
5	11	33	4·1	17·94	+8	7	1	−127·1
6	11	34	51·7	17·92	+7	54	17	−127·4
7	11	36	39·2	17·90	+7	41	32	−127·7
8	11	38	26·5	17·88	+7	28	44	−128·0
9	11	40	13·7	17·87	+7	15	56	−128·3
10	11	42	0·9	17·85	+7	3	5	−128·5
11	11	43	47·9	17·83	+6	50	13	−128·8
12	11	45	34·9	17·82	+6	37	20	−129·0
13	11	47	21·8	17·80	+6	24	25	−129·3
14	11	49	8·5	17·79	+6	11	29	−129·5
15	11	50	55·2	17·78	+5	58	31	−129·7
16	11	52	41·9	17·76	+5	45	32	−130·0
17	11	54	28·4	17·75	+5	32	31	−130·2
18	11	56	14·9	17·74	+5	19	30	−130·4
19	11	58	1·3	17·73	+5	6	27	−130·6
20	11	59	47·7	17·72	+4	53	23	−130·8
21	12	1	34·0	17·71	+4	40	17	−131·0
22	12	3	20·2	17·70	+4	27	11	−131·1
23	12	5	6·4	17·69	+4	14	3	−131·3
24	12	6	52·5	17·69	+4	0	55	−131·5

Rectascension und Declination des Mondes.

Mittlere Green. Zeit	Rectascension	Aenderung in 10m	Declination + Nord — Süd	Aenderung in 10m
	Donnerstag 29.			
h	h m s	s	° ′ ″	″
0	12 6 52·5	17·69	+ 4 0 55	− 131·5
1	12 8 38·7	17·68	+ 3 47 46	− 131·6
2	12 10 24·7	17·67	+ 3 34 35	− 131·8
3	12 12 10·8	17·67	+ 3 21 24	− 131·9
4	12 13 56·8	17·66	+ 3 8 12	− 132·1
5	12 15 42·7	17·66	+ 2 54 59	− 132·2
6	12 17 28·7	17·66	+ 2 41 45	− 132·3
7	12 19 14·6	17·65	+ 2 28 31	− 132·5
8	12 21 0·5	17·65	+ 2 15 16	− 132·6
9	12 22 46·5	17·65	+ 2 2 0	− 132·7
10	12 24 32·4	17·65	+ 1 48 44	− 132·8
11	12 26 18·3	17·65	+ 1 35 27	− 132·9
12	12 28 4·2	17·65	+ 1 22 10	− 132·9
13	12 29 50·1	17·65	+ 1 8 52	− 133·0
14	12 31 36·0	17·65	+ 0 55 33	− 133·1
15	12 33 21·9	17·65	+ 0 42 15	− 133·1
16	12 35 7·8	17·66	+ 0 28 56	− 133·2
17	12 36 53·8	17·66	+ 0 15 36	− 133·2
18	12 38 39·8	17·66	+ 0 2 17	− 133·3
19	12 40 25·8	17·67	— 0 11 3	− 133·3
20	12 42 11·8	17·67	— 0 24 23	− 133·4
21	12 43 57·9	17·68	— 0 37 44	− 133·4
22	12 45 44·0	17·69	— 0 51 4	− 133·4
23	12 47 30·1	17·69	— 1 4 24	− 133·4
	Freitag 30.			
0	12 49 16·3	17·70	— 1 17 45	− 133·4
1	12 51 2·5	17·71	— 1 31 5	− 133·4
2	12 52 48·8	17·72	— 1 44 25	− 133·4
3	12 54 35·2	17·73	— 1 57 45	− 133·3
4	12 56 21·6	17·74	— 2 11 5	− 133·3
5	12 58 8·1	17·75	— 2 24 25	− 133·3
6	12 59 54·6	17·76	— 2 37 44	− 133·2
7	13 1 41·2	17·78	— 2 51 3	− 133·2
8	13 3 27·9	17·79	— 3 4 22	− 133·1
9	13 5 14·7	17·80	— 3 17 41	− 133·0
10	13 7 1·5	17·82	— 3 30 59	− 133·0
11	13 8 48·5	17·83	— 3 44 16	− 132·9
12	13 10 35·5	17·85	— 3 57 33	− 132·8
13	13 12 22·6	17·86	— 4 10 49	− 132·7
14	13 14 9·9	17·88	— 4 24 5	− 132·6
15	13 15 57·2	17·90	— 4 37 20	− 132·5
16	13 17 44·6	17·91	— 4 50 35	− 132·3
17	13 19 32·2	17·93	— 5 3 48	− 132·2
18	13 21 19·8	17·95	— 5 17 1	− 132·1
19	13 23 7·6	17·97	— 5 30 13	− 131·9
20	13 24 55·5	17·99	— 5 43 24	− 131·8
21	13 26 43·5	18·01	— 5 56 34	− 131·6
22	13 28 31·6	18·03	— 6 9 43	− 131·4
23	13 30 19·9	18·06	— 6 22 51	− 131·3
24	13 32 8·3	18·08	— 6 35 58	− 131·1

Mittlere Green. Zeit	Rectascension	Aenderung in 10m	Declination — Süd	Aenderung in 10m
	Samstag 31.			
h	h m s	s	° ′ ″	″
0	13 32 8·3	18·08	— 6 35 58	− 131·1
1	13 33 56·9	18·10	— 6 49 4	− 130·9
2	13 35 45·6	18·13	— 7 2 9	− 130·7
3	13 37 34·4	18·15	— 7 15 12	− 130·5
4	13 39 23·4	18·18	— 7 28 15	− 130·2
5	13 41 12·5	18·20	— 7 41 15	− 130·0
6	13 43 1·8	18·23	— 7 54 15	− 129·8
7	13 44 51·3	18·26	— 8 7 13	− 129·5
8	13 46 40·9	18·28	— 8 20 9	− 129·3
9	13 48 30·7	18·31	— 8 33 4	− 129·0
10	13 50 20·7	18·34	— 8 45 57	− 128·8
11	13 52 10·8	18·37	— 8 58 49	− 128·5
12	13 54 1·1	18·40	— 9 11 39	− 128·2
13	13 55 51·6	18·43	— 9 24 27	− 127·9
14	13 57 42·3	18·46	— 9 37 14	− 127·6
15	13 59 33·2	18·49	— 9 49 58	− 127·3
16	14 1 24·3	18·53	— 10 2 41	− 126·9
17	14 3 15·5	18·56	— 10 15 22	− 126·6
18	14 5 7·0	18·59	— 10 28 0	− 126·3
19	14 6 58·6	18·63	— 10 40 37	− 125·9
20	14 8 50·5	18·66	— 10 53 12	− 125·6
21	14 10 42·6	18·70	— 11 5 44	− 125·2
22	14 12 34·9	18·73	— 11 18 14	− 124·8
23	14 14 27·4	18·77	— 11 30 42	− 124·4
	Sonntag, November 1.			
0	14 16 20·1	18·81	— 11 43 7	− 124·0

PHASEN DES MONDES.

Mittlere Greenwicher Zeit.

	h m	
October 2.	12 57·9	● Neumond.
10.	10 56·8	☽ Erstes Viertel.
17.	1 45·0	○ Vollmond.
24.	1 56·2	☾ Letztes Viertel.
	h	
October 1.	10	☾ Apogaeum.
16.	6	☾ Perigaeum.
28.	16	☾ Apogaeum.

Venus.

Datum	Mittlerer Greenwicher Mittag. Rect-ascension	Stdl. Aend.	Declination — Süd	Stdl. Aend.	Im Meridian. Mittlere Gr. Zeit
	h m s	s	° ′ ″	″	h m
1	12 43 55·6	+11·43	— 3 23 24	−75·9	0 4·2
2	12 48 30·1	+11·44	— 3 53 42	−75·7	0 4·8
3	12 53 4·9	+11·46	— 4 23 57	−75·5	0 5·5
4	12 57 40·1	+11·48	— 4 54 6	−75·3	0 6·1
5	13 2 15·7	+11·49	— 5 24 10	−75·0	0 6·8
6	13 6 51·7	+11·51	— 5 54 8	−74·8	0 7·4
7	13 11 28·2	+11·53	— 6 23 58	−74·4	0 8·1
8	13 16 5·3	+11·56	— 6 53 40	−74·1	0 8·8
9	13 20 42·9	+11·58	— 7 23 14	−73·7	0 9·4
10	13 25 21·2	+11·61	— 7 52 38	−73·3	0 10·1
11	13 30 0·1	+11·64	— 8 21 52	−72·9	0 10·8
12	13 34 39·7	+11·67	— 8 50 55	−72·4	0 11·5
13	13 39 20·0	+11·70	— 9 19 46	−71·9	0 12·3
14	13 44 1·1	+11·73	— 9 48 24	−71·3	0 13·1
15	13 48 42·9	+11·76	—10 16 49	−70·7	0 13·8
16	13 53 25·6	+11·80	—10 44 59	−70·1	0 14·6
17	13 58 9·2	+11·84	—11 12 55	−69·5	0 15·4
18	14 2 53·7	+11·87	—11 40 35	−68·8	0 16·2
19	14 7 39·1	+11·91	—12 7 59	−68·1	0 17·0
20	14 12 25·5	+11·95	—12 35 5	−67·4	0 17·8
21	14 17 12·9	+12·00	—13 1 53	−66·6	0 18·7
22	14 22 1·3	+12·04	—13 28 22	−65·8	0 19·5
23	14 26 50·8	+12·09	—13 54 32	−65·0	0 20·4
24	14 31 41·5	+12·13	—14 20 21	−64·1	0 21·3
25	14 36 33·2	+12·18	—14 45 49	−63·2	0 22·2
26	14 41 26·0	+12·23	—15 10 55	−62·3	0 23·2
27	14 46 20·0	+12·28	—15 35 38	−61·3	0 24·1
28	14 51 15·2	+12·33	—15 59 57	−60·3	0 25·1
29	14 56 11·6	+12·83	—16 23 52	−59·3	0 26·1
30	15 1 9·2	+12·43	—16 47 22	−58·2	0 27·1
31	15 6 8·0	+12·48	—17 10 25	−57·1	0 28·1
N.1	15 11 8·1	+12·53	—17 33 2	−56·0	0 29·2

Mars.

Datum	Mittlerer Greenwicher Mittag. Rect-ascension	Stdl. Aend.	Declination + Nord — Süd	Stdl. Aend.	Im Meridian. Mittlere Gr. Zeit
	h m s	s	° ′ ″	″	h m
1	11 14 5·9	+5·87	+6 11 26	−37·2	22 32·9
2	11 16 26·7	+5·87	+5 56 31	−37·3	22 31·3
3	11 18 47·4	+5·86	+5 41 35	−37·4	22 29·7
4	11 21 8·0	+5·86	+5 26 37	−37·5	22 28·1
5	11 23 28·5	+5·85	+5 11 37	−37·6	22 26·5
6	11 25 48·9	+5·85	+4 56 35	−37·6	22 24·9
7	11 28 9·2	+5·84	+4 41 32	−37·7	22 23·3
8	11 30 29·4	+5·84	+4 26 27	−37·7	22 21·7
9	11 32 49·5	+5·83	+4 11 22	−37·8	22 20·1
10	11 35 9·4	+5·83	+3 56 15	−37·8	22 18·5
11	11 37 29·3	+5·83	+3 41 7	−37·9	22 16·8
12	11 39 49·2	+5·83	+3 25 58	−37·9	22 15·2
13	11 42 8·9	+5·82	+3 10 48	−37·9	22 13·6
14	11 44 28·6	+5·82	+2 55 37	−38·0	22 12·0
15	11 46 48·2	+5·82	+2 40 25	−38·0	22 10·4
16	11 49 7·8	+5·81	+2 25 13	−38·0	22 8·8
17	11 51 27·4	+5·81	+2 10 0	−38·0	22 7·1
18	11 53 46·9	+5·81	+1 54 47	−38·1	22 5·5
19	11 56 6·3	+5·81	+1 39 33	−38·1	22 3·9
20	11 58 25·8	+5·81	+1 24 19	−38·1	22 2·3
21	12 0 45·3	+5·81	+1 9 4	−38·1	22 0·7
22	12 3 4·7	+5·81	+0 53 50	−38·1	21 59·1
23	12 5 24·1	+5·81	+0 38 35	−38·1	21 57·5
24	12 7 43·5	+5·81	+0 23 20	−38·1	21 55·9
25	12 10 3·0	+5·81	+0 8 5	−38·1	21 54·2
26	12 12 22·4	+5·81	—0 7 9	−38·1	21 52·6
27	12 14 41·9	+5·81	—0 22 23	−38·1	21 51·0
28	12 17 1·4	+5·81	—0 37 37	−38·1	21 49·4
29	12 19 20·9	+5·81	—0 52 51	−38·0	21 47·8
30	12 21 20·4	+5·81	—1 8 4	−38·0	21 46·1
31	12 24 0·0	+5·82	—1 23 16	−38·0	21 44·5
N.1	12 26 19·6	+5·82	—1 38 27	−38·0	21 42·9

Datum	Venus Halbmesser	Venus Horizontal-Parallaxe	Datum	Mars Halbmesser	Mars Horizontal-Parallaxe
	″	″		″	″
1	5·0	5·2	1	2·0	3·5
11	5·0	5·2	11	2·0	3·5
21	5·1	5·2	21	2·0	3·6
31	5·1	5·2	31	2·1	3·7

Jupiter.						Saturn.					
Mittlerer Greenwicher Mittag.					Im Meridian.	Mittlerer Greenwicher Mittag.					Im Meridian.
Datum	Rectascension	Stdl. Aend.	Declination − Süd	Stdl. Aend.	Mittlere Gr. Zeit	Datum	Rectascension	Stdl. Aend.	Declination + Nord	Stdl. Aend.	Mittlere Gr. Zeit
	h m s	s	° ′ ″	″	h m		h m s	s	° ′ ″	″	h m
1	22 48 2·5	−0·96	−9 12 47	−5·5	10 6·5	1	11 36 8·5	+1·13	+4 40 37	−7·1	22 53·1
2	22 47 39·8	−0·94	−9 14 58	−5·4	10 2·2	2	11 36 35·6	+1·13	+4 37 48	−7·0	22 49·6
3	22 47 17·6	−0·91	−9 17 5	−5·2	9 57·9	3	11 37 2·7	+1·13	+4 35 0	−7·0	22 46·1
4	22 46 55·9	−0·89	−9 19 8	−5·1	9 53·6	4	11 37 29·7	+1·12	+4 32 13	−7·0	22 42·6
5	22 46 34·8	−0·87	−9 21 8	−4·9	9 49·3	5	11 37 56·6	+1·12	+4 29 26	−6·9	22 39·1
6	22 46 14·3	−0·84	−9 23 4	−4·8	9 45·1	6	11 38 23·4	+1·11	+4 26 40	−6·9	22 35·6
7	22 45 54·4	−0·82	−9 24 56	−4·6	9 40·8	7	11 38 50·1	+1·11	+4 23 55	−6·9	22 32·2
8	22 45 35·0	−0·79	−9 26 43	−4·4	9 36·6	8	11 39 16·7	+1·11	+4 21 10	−6·8	22 28·7
9	22 45 16·3	−0·77	−9 28 27	−4·2	9 32·3	9	11 39 43·2	+1·10	+4 18 26	−6·8	22 25·2
10	22 44 58·2	−0·74	−9 30 7	−4·1	9 28·1	10	11 40 9·6	+1·10	+4 15 43	−6·8	22 21·7
11	22 44 40·8	−0·71	−9 31 42	−3·9	9 23·9	11	11 40 35·9	+1·09	+4 13 1	−6·7	22 18·2
12	22 44 24·0	−0·69	−9 33 14	−3·7	9 19·7	12	11 41 2·1	+1·09	+4 10 20	−6·7	22 14·7
13	22 44 7·8	−0·66	−9 34 41	−3·5	9 15·5	13	11 41 28·1	+1·08	+4 7 39	−6·7	22 11·2
14	22 43 52·4	−0·63	−9 36 3	−3·4	9 11·3	14	11 41 54·1	+1·08	+4 5 0	−6·6	22 7·7
15	22 43 37·6	−0·60	−9 37 21	−3·2	9 7·1	15	11 42 19·9	+1·07	+4 2 21	−6·6	22 4·2
16	22 43 23·5	−0·57	−9 38 35	−3·0	9 3·0	16	11 42 45·6	+1·07	+3 59 44	−6·5	22 0·7
17	22 43 10·1	−0·54	−9 39 45	−2·8	8 58·8	17	11 43 11·1	+1·06	+3 57 7	−6·5	21 57·2
18	22 42 57·3	−0·52	−9 40 50	−2·6	8 54·7	18	11 43 36·5	+1·06	+3 54 32	−6·5	21 53·6
19	22 42 45·3	−0·49	−9 41 50	−2·4	8 50·5	19	11 44 1·8	+1·05	+3 51 57	−6·4	21 50·1
20	22 42 34·1	−0·46	−9 42 46	−2·2	8 46·4	20	11 44 27·0	+1·04	+3 49 24	−6·4	21 46·6
21	22 42 23·5	−0·43	−9 43 37	−2·1	8 42·3	21	11 44 52·0	+1·04	+3 46 52	−6·3	21 43·1
22	22 42 13·6	−0·40	−9 44 24	−1·9	8 38·2	22	11 45 16·8	+1·03	+3 44 20	−6·3	21 39·6
23	22 42 4·5	−0·36	−9 45 7	−1·7	8 34·2	23	11 45 41·5	+1·03	+3 41 50	−6·2	21 36·1
24	22 41 56·1	−0·33	−9 45 44	−1·5	8 30·1	24	11 46 6·0	+1·02	+3 39 21	−6·2	21 32·5
25	22 41 48·5	−0·30	−9 46 17	−1·3	8 26·0	25	11 46 30·4	+1·01	+3 36 54	−6·1	21 29·0
26	22 41 41·6	−0·27	−9 46 46	−1·1	8 22·0	26	11 46 54·6	+1·00	+3 34 28	−6·1	21 25·5
27	22 41 35·5	−0·24	−9 47 9	−0·9	8 18·0	27	11 47 18·6	+1·00	+3 32 3	−6·0	21 21·9
28	22 41 30·2	−0·21	−9 47 28	−0·7	8 14·0	28	11 47 42·4	+0·99	+3 29 39	−6·0	21 18·4
29	22 41 25·6	−0·18	−9 47 43	−0·5	8 10·0	29	11 48 6·1	+0·98	+3 27 16	−5·9	21 14·9
30	22 41 21·8	−0·14	−9 47 52	−0·3	8 6·0	30	11 48 29·5	+0·97	+3 24 55	−5·9	21 11·3
31	22 41 18·7	−0·11	−9 47 57	−0·1	8 2·0	31	11 48 52·8	+0·97	+3 22 35	−5·8	21 7·8
N.1	22 41 16·4	−0·08	−9 47 57	+0·1	7 58·0	N.1	11 49 15·9	+0·96	+3 20 17	−5·7	21 4·2

Datum	Halbmesser	Horizontal-Parallaxe	Datum	Halbmesser	Horizontal-Parallaxe
	″	″		″	″
1	23·1	2·2	1	7·5	0·9
11	22·6	2·1	11	7·6	0·9
21	22·1	2·1	21	7·6	0·9
31	21·4	2·0	31	7·7	0·9

MOND-DISTANZEN.

Mittlere Greenwicher Zeit.

Datum	Namen u. Lage der Sterne		Mittag	Lg. pr.	III^h	Lg. pr.	VI^h	Lg. pr.	IX^h	Lg. pr.
			° ′ ″		° ′ ″		° ′ ″		° ′ ″	
5	Sonne	W.	26 55 56	3404	28 18 8	3395	29 40 30	3386	31 3 3	3376
	α Aquilæ	O.	81 43 31	3822	80 28 52	3824	79 14 15	3827	77 59 41	3831
	Fomalhaut	O.	112 26 34	3189	111 0 12	3181	109 33 40	3171	108 6 56	3162
6	Sonne	W.	37 58 27	3331	39 22 3	3321	40 45 50	3312	42 9 48	3302
	α Aquilæ	O.	71 48 11	3866	70 34 17	3877	69 20 34	3889	68 7 3	3902
	Fomalhaut	O.	100 50 33	3117	99 22 44	3109	97 54 45	3099	96 26 34	3091
	Jupiter	O.	108 31 40	2918	106 59 44	2911	105 27 39	2903	103 55 24	2896
7	Sonne	W.	49 12 26	3253	50 37 33	3242	52 2 53	3231	53 28 25	3220
	α Aquilæ	O.	62 3 26	3998	60 51 44	4023	59 40 27	4050	58 29 37	4083
	Fomalhaut	O.	89 3 4	3047	87 33 49	3039	86 4 24	3030	84 34 48	3022
	Jupiter	O.	96 11 40	2855	94 38 23	2846	93 4 55	2836	91 31 14	2827
	α Pegasi	O.	107 56 9	3313	106 32 13	3297	105 7 58	3282	103 43 26	3266
8	Sonne	W.	60 39 29	3162	62 6 24	3148	63 33 35	3136	65 1 1	3124
	α Aquilæ	O.	52 44 14	4296	51 37 18	4353	50 31 14	4417	49 26 8	4488
	Fomalhaut	O.	77 4 6	2977	75 33 24	2969	74 2 32	2960	72 31 29	2951
	Jupiter	O.	83 39 40	2776	82 4 41	2765	80 29 27	2753	78 53 58	2743
	α Pegasi	O.	96 36 23	3196	95 10 9	3183	93 43 39	3170	92 16 54	3158
9	Sonne	W.	72 22 15	3054	73 51 21	3039	75 20 46	3024	76 50 29	3009
	Antares	W.	20 3 24	2764	21 38 39	2742	23 14 23	2722	24 50 34	2702
	α Aquilæ	O.	44 18 17	4975	43 21 2	5108	42 25 31	5258	41 31 53	5426
	Fomalhaut	O.	64 53 37	2912	63 21 33	2904	61 49 19	2898	60 16 57	2891
	Jupiter	O.	70 52 41	2681	69 15 36	2668	67 38 13	2655	66 0 33	2642
	α Pegasi	O.	84 59 27	3098	83 31 15	3088	82 2 51	3078	80 34 14	3068
10	Sonne	W.	84 23 51	2931	85 55 31	2913	87 27 33	2897	88 59 55	2880
	Antares	W.	32 57 47	2612	34 36 25	2595	36 15 27	2577	37 54 53	2560
	Fomalhaut	O.	52 33 19	2869	51 0 20	2868	49 27 20	2868	47 54 20	2869
	Jupiter	O.	57 47 37	2572	56 8 4	2558	54 28 11	2543	52 47 58	2529
	α Pegasi	O.	73 8 17	3026	71 38 36	3019	70 8 47	3013	68 38 50	3008
	α Arietis	O.	115 6 33	2697	113 29 49	2679	111 52 41	2661	110 15 9	2643
11	Sonne	W.	96 47 15	2795	98 21 50	2777	99 56 48	2760	101 32 9	2742
	Antares	W.	46 17 56	2475	47 59 44	2458	49 41 56	2442	51 24 31	2424
	Fomalhaut	O.	40 10 39	2911	38 38 34	2931	37 6 54	2954	35 35 43	2984
	Jupiter	O.	44 21 46	2455	42 39 30	2440	40 56 52	2425	39 13 54	2411
	α Pegasi	O.	61 8 2	3001	59 37 51	3004	58 7 43	3009	56 37 42	3017
	α Arietis	O.	102 1 30	2556	100 21 34	2539	98 41 15	2522	97 0 32	2504
12	Sonne	W.	109 34 43	2655	111 12 24	2637	112 50 29	2620	114 28 57	2603
	Antares	W.	60 3 31	2340	61 48 32	2324	63 33 57	2308	65 19 45	2291
	Jupiter	O.	30 33 59	2344	28 49 3	2332	27 3 50	2321	25 18 21	2312
	α Pegasi	O.	49 10 56	3096	47 42 42	3125	46 15 3	3158	44 48 4	3198
	α Arietis	O.	88 31 3	2422	86 48 0	2406	85 4 34	2391	83 20 46	2375
	Aldebaran	O.	118 56 26	2365	117 12 1	2348	115 27 12	2333	113 41 58	2315
13	Sonne	W.	122 47 0	2521	124 27 44	2505	126 8 50	2491	127 50 16	2475
	Antares	W.	74 14 40	2213	76 2 48	2198	77 51 18	2184	79 40 10	2170
	α Aquilæ	W.	40 43 20	4952	41 40 53	4739	42 41 20	4546	43 44 32	4373

MOND-DISTANZEN.

Mittlere Greenwicher Zeit.

Datum	Namen u. Lage der Sterne		Mitter-nacht	Lg. pr.	XV^{h}	Lg. pr.	XVIII^{h}	Lg. pr.	XXI^{h}	Lg. pr.
			° ′ ″		° ′ ″		° ′ ″		° ′ ″	
5	Sonne	W.	32 25 47	3367	33 48 41	3358	35 11 46	3349	36 35 1	3339
	α Aquilæ	O.	76 45 11	3837	75 30 46	3842	74 16 27	3849	73 2 15	3856
	Fomalhaut	O.	106 40 1	3153	105 12 55	3143	103 45 38	3135	102 18 11	3126
6	Sonne	W.	43 33 57	3293	44 58 17	3283	46 22 48	3273	47 47 31	3263
	α Aquilæ	O.	66 53 45	3918	65 40 43	3934	64 27 58	3953	63 15 32	3973
	Fomalhaut	O.	94 58 13	3082	93 29 42	3073	92 1 0	3065	90 32 7	3056
	Jupiter	O.	102 23 0	2888	100 50 26	2880	99 17 41	2872	97 44 46	2863
7	Sonne	W.	54 54 10	3209	56 20 9	3198	57 46 21	3185	59 12 48	3173
	α Aquilæ	O.	57 19 19	4117	56 9 34	4156	55 0 26	4198	53 51 58	4245
	Fomalhaut	O.	83 5 2	3012	81 35 4	3004	80 4 56	2994	78 34 36	2986
	Jupiter	O.	89 57 21	2818	88 23 16	2807	86 48 57	2797	85 14 25	2787
	α Pegasi	O.	102 18 35	3252	100 53 27	3237	99 28 2	3224	98 2 21	3209
8	Sonne	W.	66 28 42	3110	67 56 40	3096	69 24 55	3082	70 53 26	3068
	α Aquilæ	O.	48 22 5	4565	47 19 10	4651	46 17 29	4747	45 17 9	4854
	Fomalhaut	O.	71 0 15	2943	69 28 51	2935	67 57 16	2927	66 25 32	2919
	Jupiter	O.	77 18 15	2730	75 42 15	2719	74 6 0	2707	72 29 29	2694
	α Pegasi	O.	90 49 54	3144	89 22 38	3133	87 55 9	3121	86 27 25	3110
9	Sonne	W.	78 20 30	2993	79 50 51	2978	81 21 31	2962	82 52 31	2946
	Antares	W.	26 27 11	2683	28 4 14	2665	29 41 41	2647	31 19 32	2629
	α Aquilæ	O.	40 40 17	5617	39 50 54	5833	39 3 55	6076	38 19 29	6355
	Fomalhaut	O.	58 44 27	2885	57 11 49	2880	55 39 4	2876	54 6 14	2872
	Jupiter	O.	64 22 35	2629	62 44 19	2615	61 5 44	2601	59 26 50	2587
	α Pegasi	O.	79 5 25	3058	77 36 24	3048	76 7 12	3040	74 37 49	3033
10	Sonne	W.	90 32 39	2863	92 5 45	2846	93 39 13	2829	95 13 3	2812
	Antares	W.	39 34 43	2543	41 14 56	2527	42 55 32	2510	44 36 32	2492
	Fomalhaut	O.	46 21 21	2873	44 48 27	2877	43 15 39	2886	41 43 2	2897
	Jupiter	O.	51 7 25	2514	49 26 31	2499	47 45 17	2485	46 3 42	2470
	α Pegasi	O.	67 8 47	3005	65 38 40	3001	64 8 29	3000	62 38 16	2999
	α Arietis	O.	108 37 13	2626	106 58 53	2608	105 20 9	2591	103 41 2	2573
11	Sonne	W.	103 7 53	2724	104 44 1	2707	106 20 32	2689	107 57 26	2672
	Antares	W.	53 7 31	2408	54 50 55	2391	56 34 43	2374	58 18 55	2357
	Fomalhaut	O.	34 5 10	3021	32 35 23	3068	31 6 34	3124	29 38 54	3193
	Jupiter	O.	37 30 35	2397	35 46 56	2382	34 2 56	2369	32 18 37	2356
	α Pegasi	O.	55 7 50	3026	53 38 9	3039	52 8 44	3054	50 39 38	3073
	α Arietis	O.	95 19 25	2488	93 37 55	2471	91 56 1	2455	90 13 44	2438
12	Sonne	W.	116 7 48	2586	117 47 2	2569	119 26 39	2553	121 6 38	2537
	Antares	W.	67 5 57	2275	68 52 33	2260	70 39 32	2243	72 26 55	2229
	Jupiter	O.	23 32 39	2304	21 46 46	2299	20 0 45	2297	18 14 41	2300
	α Pegasi	O.	43 21 52	3245	41 56 36	3300	40 32 24	3365	39 9 28	3442
	α Arietis	O.	81 36 36	2360	79 52 4	2346	78 7 11	2332	76 21 58	2318
	Aldebaran	O.	111 56 20	2298	110 10 17	2282	108 23 51	2265	106 37 0	2250
13	Sonne	W.	129 32 4	2462	131 14 11	2448	132 56 38	2434	134 39 24	2421
	Antares	W.	81 29 23	2156	83 18 57	2143	85 8 52	2130	86 59 6	2117
	α Aquilæ	W.	44 50 18	4216	45 58 29	4074	47 8 56	3946	48 21 29	3829

MOND-DISTANZEN.

Mittlere Greenwicher Zeit.

Datum	Namen u. Lage der Sterne		Mittag	Lg. pr.	III^h	Lg. pr.	VI^h	Lg. pr.	IX^h	Lg. pr.
			° ′ ″		° ′ ″		° ′ ″		° ′ ″	
13	α Arietis	O.	74 36 25	2304	72 50 32	2291	71 4 20	2280	69 17 51	2268
	Aldebaran	O.	104 49 47	2234	103 2 10	2219	101 14 11	2204	99 25 49	2190
14	Antares	W.	88 49 39	2105	90 40 31	2094	92 31 40	2083	94 23 6	2072
	α Aquilæ	W.	49 36 1	3724	50 52 23	3627	52 10 28	3538	53 30 10	3458
	α Arietis	O.	60 21 29	2221	58 33 33	2215	56 45 28	2210	54 57 15	2206
	Aldebaran	O.	90 18 51	2125	88 28 30	2113	86 37 51	2102	84 46 55	2092
15	Antares	W.	103 44 4	2028	105 36 54	2022	107 29 54	2016	109 23 3	2010
	α Aquilæ	W.	60 28 58	3150	61 56 7	3103	63 24 13	3062	64 53 9	3024
	Fomalhaut	W.	25 31 55	3080	27 0 29	2944	28 31 52	2831	30 5 40	2735
	α Arietis	O.	45 55 18	2207	44 7 1	2214	42 18 54	2223	40 31 0	2235
	Aldebaran	O.	75 28 37	2050	73 36 21	2044	71 43 55	2038	69 51 20	2033
	Pollux	O.	119 33 48	2025	117 40 53	2017	115 47 46	2012	113 54 30	2006
16	α Aquilæ	W.	72 28 10	2887	74 0 45	2869	75 33 44	2853	77 7 3	2841
	Fomalhaut	W.	38 20 31	2441	40 3 8	2405	41 46 36	2374	43 30 48	2348
	Jupiter	W.	29 0 25	2003	30 53 54	1998	32 47 31	1995	34 41 13	1993
	Aldebaran	O.	60 27 3	2023	58 34 4	2023	56 41 6	2025	54 48 10	2027
	Pollux	O.	104 26 19	1989	102 32 27	1987	100 38 33	1987	98 44 39	1987
17	α Aquilæ	W.	84 56 36	2815	86 30 44	2817	88 4 50	2821	89 38 50	2827
	Fomalhaut	W.	52 19 27	2270	54 6 11	2263	55 53 5	2257	57 40 8	2253
	Jupiter	W.	44 9 54	2000	46 3 29	2003	47 56 58	2009	49 50 19	2014
	α Pegasi	W.	37 36 42	3231	39 2 14	3139	40 29 36	3060	41 58 35	2992
	Aldebaran	O.	45 25 2	2055	43 32 54	2065	41 41 1	2076	39 49 25	2088
	Pollux	O.	89 15 43	2002	87 22 12	2007	85 28 49	2012	83 35 34	2019
18	α Aquilæ	W.	97 25 53	2892	98 58 22	2912	100 30 26	2933	102 2 3	2958
	Fomalhaut	W.	66 35 51	2260	68 22 49	2266	70 9 38	2273	71 56 17	2281
	Jupiter	W.	59 14 20	2056	61 6 27	2066	62 58 18	2077	64 49 52	2089
	α Pegasi	W.	49 41 15	2773	51 16 18	2747	52 51 55	2727	54 27 59	2709
	Pollux	O.	74 12 22	2064	72 20 27	2074	70 28 48	2086	68 37 28	2098
	Regulus	O.	110 29 21	2077	108 37 46	2086	106 46 26	2098	104 55 24	2110
19	Fomalhaut	W.	80 46 4	2337	82 31 9	2350	84 15 55	2366	86 0 19	2381
	Jupiter	W.	74 2 50	2158	75 52 21	2172	77 41 30	2188	79 30 15	2205
	α Pegasi	W.	62 32 36	2672	64 9 54	2672	65 47 12	2673	67 24 28	2677
	α Arietis	W.	19 19 18	3105	20 47 21	2975	22 18 5	2876	23 50 55	2801
	Pollux	O.	59 25 44	2168	57 36 28	2184	55 47 36	2200	53 59 8	2216
	Regulus	O.	95 45 2	2178	93 56 1	2194	92 7 24	2209	90 19 10	2225
20	Fomalhaut	W.	94 36 31	2468	96 18 29	2487	98 0 0	2507	99 41 3	2527
	Jupiter	W.	88 27 46	2291	90 13 58	2309	91 59 44	2328	93 45 3	2346
	α Pegasi	W.	75 28 49	2719	77 5 4	2732	78 41 2	2744	80 16 43	2758
	α Arietis	W.	31 52 55	2629	33 31 11	2617	35 9 43	2610	36 48 24	2607
	Pollux	O.	45 3 6	2304	43 17 13	2322	41 31 46	2342	39 46 48	2361
	Regulus	O.	81 24 12	2311	79 38 29	2331	77 53 14	2349	76 8 26	2367
	Saturn	O.	107 57 28	2336	106 12 21	2355	104 27 41	2373	102 43 27	2391
	Mars	O.	112 8 39	2504	110 27 31	2523	108 46 50	2541	107 6 34	2561
21	Jupiter	W.	102 24 51	2442	104 7 26	2461	105 49 34	2480	107 31 15	2499
	α Pegasi	W.	88 10 4	2842	89 43 37	2862	91 16 45	2881	92 49 28	2901
	α Arietis	W.	45 1 41	2628	46 39 58	2637	48 18 3	2648	49 55 53	2658

MOND-DISTANZEN.

Mittlere Greenwicher Zeit.

Datum	Namen u. Lage der Sterne		Mitternacht	Lg. pr.	XV^h	Lg. pr.	XVIII^h	Lg. pr.	XXI^h	Lg. pr.
			° ′ ″		° ′ ″		° ′ ″		° ′ ″	
13	α Arietis	O.	67 31 4	2258	65 44 2	2247	63 56 44	2238	62 9 13	2229
	Aldebaran	O.	97 37 6	2176	95 48 2	2163	93 58 38	2149	92 8 54	2137
14	Antares	W.	96 14 49	2062	98 6 47	2053	99 58 59	2044	101 51 25	2035
	α Aquilæ	W.	54 51 21	3385	56 13 55	3318	57 37 46	3256	59 2 49	3200
	α Arietis	O.	53 8 56	2202	51 20 32	2201	49 32 6	2202	47 43 41	2203
	Aldebaran	O.	82 55 44	2082	81 4 17	2073	79 12 37	2064	77 20 43	2057
15	Antares	W.	111 16 21	2005	113 9 47	2002	115 3 18	2000	116 56 53	1997
	α Aquilæ	W.	66 22 52	2989	67 53 18	2959	69 24 22	2931	70 56 1	2908
	Fomalhaut	W.	31 41 33	2656	33 19 12	2588	34 58 23	2531	36 38 53	2482
	α Arietis	O.	38 43 24	2250	36 56 11	2269	35 9 26	2293	33 23 16	2322
	Aldebaran	O.	67 58 38	2030	66 5 50	2026	64 12 57	2025	62 20 1	2023
	Pollux	O.	112 1 5	2001	110 7 32	1997	108 13 53	1993	106 20 8	1991
16	α Aquilæ	W.	78 40 38	2831	80 14 26	2824	81 48 23	2818	83 22 28	2815
	Fomalhaut	W.	45 15 38	2326	47 0 59	2308	48 46 47	2292	50 32 58	2280
	Jupiter	W.	36 34 58	1993	38 28 44	1993	40 22 30	1994	42 16 14	1996
	Aldebaran	O.	52 55 18	2031	51 2 32	2035	49 9 52	2041	47 17 22	2048
	Pollux	O.	96 50 45	1989	94 56 54	1991	93 3 6	1994	91 9 22	1997
17	α Aquilæ	W.	91 12 43	2836	92 46 24	2847	94 19 51	2859	95 53 2	2875
	Fomalhaut	W.	59 27 17	2251	61 14 28	2252	63 1 38	2253	64 48 47	2256
	Jupiter	W.	51 43 31	2021	53 36 32	2030	55 29 21	2037	57 21 58	2046
	α Pegasi	W.	43 28 58	2933	45 0 35	2883	46 33 16	2840	48 6 52	2804
	Aldebaran	O.	37 58 7	2101	36 7 10	2117	34 16 37	2134	32 26 30	2155
	Pollux	O.	81 42 30	2027	79 49 38	2035	77 56 59	2044	76 4 33	2053
18	α Aquilæ	W.	103 33 9	2984	105 3 42	3013	106 33 39	3044	108 2 57	3078
	Fomalhaut	W.	73 42 44	2290	75 28 58	2300	77 14 57	2312	79 0 39	2324
	Jupiter	W.	66 41 8	2102	68 32 4	2115	70 22 41	2129	72 12 56	2143
	α Pegasi	W.	56 4 27	2696	57 41 12	2686	59 18 11	2678	60 55 20	2673
	Pollux	O.	66 46 26	2111	64 55 44	2124	63 5 22	2139	61 15 22	2153
	Regulus	O.	103 4 40	2122	101 14 14	2136	99 24 9	2149	97 34 25	2163
19	Fomalhaut	W.	87 44 21	2396	89 28 1	2414	91 11 16	2431	92 54 6	2449
	Jupiter	W.	81 18 35	2221	83 6 31	2238	84 54 2	2256	86 41 7	2273
	α Pegasi	W.	69 1 39	2682	70 38 43	2689	72 15 37	2698	73 52 19	2707
	α Arietis	W.	25 25 21	2744	27 1 2	2701	28 37 41	2669	30 15 2	2646
	Pollux	O.	52 11 4	2233	50 23 26	2250	48 36 13	2268	46 49 26	2286
	Regulus	O.	88 31 20	2241	86 43 54	2259	84 56 54	2277	83 10 20	2294
20	Fomalhaut	W.	101 21 38	2548	103 1 44	2569	104 41 21	2591	106 20 28	2613
	Jupiter	W.	95 29 55	2365	97 14 20	2384	98 58 18	2403	100 41 48	2422
	α Pegasi	W.	81 52 6	2774	83 27 8	2790	85 1 49	2807	86 36 8	2825
	α Arietis	W.	38 27 10	2607	40 5 55	2610	41 44 37	2614	43 23 13	2620
	Pollux	O.	38 2 17	2380	36 18 14	2400	34 34 39	2420	32 51 33	2441
	Regulus	O.	74 24 4	2387	72 40 10	2405	70 56 43	2425	69 13 44	2445
	Saturn	O.	100 59 39	2410	99 16 19	2429	97 33 25	2448	95 50 59	2467
	Mars	O.	105 26 46	2580	103 47 24	2600	102 8 29	2620	100 30 1	2640
21	Jupiter	W.	109 12 29	2519	110 53 16	2538	112 33 36	2557	114 13 30	2577
	α Pegasi	W.	94 21 45	2923	95 53 35	2944	97 24 58	2965	98 55 54	2988
	α Arietis	W.	51 33 29	2671	53 10 48	2683	54 47 51	2696	56 24 36	2710

MOND-DISTANZEN.

Mittlere Greenwicher Zeit.

Datum	Namen u. Lage der Sterne		Mittag ° ′ ″	Lg. pr.	III^h ° ′ ″	Lg. pr.	VI^h ° ′ ″	Lg. pr.	IX^h ° ′ ″	Lg. pr.
21	Pollux	O.	31 8 56	2460	29 26 47	2482	27 45 8	2502	26 3 58	2524
	Regulus	O.	67 31 13	2464	65 49 9	2483	64 7 32	2503	62 26 23	2522
	Saturn	O.	94 8 59	2486	92 27 26	2506	90 46 21	2525	89 5 42	2543
	Mars	O	98 52 0	2660	97 14 26	2680	95 37 19	2699	94 0 38	2719
	Sonne	O.	126 58 51	2781	125 23 58	2801	123 49 32	2821	122 15 32	2842
22	α Pegasi	W.	100 26 22	3011	101 56 21	3034	103 25 51	3059	104 54 51	3083
	α Arietis	W.	58 1 2	2723	59 37 11	2738	61 13 0	2753	62 48 30	2767
	Aldebaran	W.	27 20 16	2727	28 56 20	2733	30 32 16	2740	32 8 3	2749
	Regulus	O.	54 7 27	2621	52 29 0	2640	50 51 0	2660	49 13 26	2679
	Saturn	O.	80 49 2	2639	79 11 0	2657	77 33 22	2676	75 56 10	2693
	Mars	O.	86 3 49	2818	84 29 45	2837	82 56 5	2857	81 22 51	2875
	Sonne	O.	114 32 3	2942	113 0 37	2962	111 29 37	2982	109 59 2	3001
23	α Arietis	W.	70 41 13	2841	72 14 48	2855	73 48 4	2869	75 21 2	2884
	Aldebaran	W.	40 3 39	2805	41 38 0	2817	43 12 6	2830	44 45 55	2842
	Regulus	O.	41 12 0	2775	39 36 59	2793	38 2 22	2812	36 28 10	2831
	Saturn	O.	67 56 4	2781	66 21 11	2798	64 46 41	2814	63 12 31	2831
	Mars	O.	73 42 35	2966	72 11 40	2984	70 41 7	3001	69 10 56	3018
	Sonne	O.	102 31 58	3094	101 3 41	3112	99 35 46	3129	98 8 12	3146
24	α Arietis	W.	83 1 20	2953	84 32 32	2965	86 3 28	2978	87 34 8	2991
	Aldebaran	W.	52 31 1	2904	54 3 15	2915	55 35 15	2927	57 6 59	2939
	Saturn	O.	55 26 45	2905	53 54 32	2919	52 22 37	2932	50 50 59	2946
	Mars	O.	61 44 58	3096	60 16 43	3110	58 48 46	3124	57 21 5	3138
	Sonne	O.	90 55 18	3225	89 29 39	3241	88 4 18	3254	86 39 13	3268
25	α Arietis	W.	95 3 40	3049	96 32 52	3060	98 1 51	3070	99 30 37	3080
	Aldebaran	W.	64 42 15	2990	66 12 40	3000	67 42 53	3008	69 12 56	3018
	Pollux	W.	20 26 31	2985	21 57 3	2991	23 27 27	2998	24 57 42	3005
	Saturn	O.	43 16 47	3005	41 46 40	3015	40 16 46	3026	38 47 6	3036
	Mars	O.	50 6 40	3199	48 40 30	3211	47 14 34	3221	45 48 50	3231
	Sonne	O.	79 37 39	3331	78 14 3	3341	76 50 39	3351	75 27 27	3362
26	Aldebaran	W.	76 40 37	3055	78 9 42	3060	79 38 40	3066	81 7 31	3072
	Pollux	W.	32 26 53	3037	33 56 20	3043	35 25 40	3048	36 54 53	3053
	Saturn	O.	31 21 40	3081	29 53 7	3089	28 24 44	3097	26 56 31	3105
	Mars	O.	38 43 3	3277	37 18 24	3285	35 53 55	3293	34 29 35	3300
	Sonne	O.	68 34 10	3405	67 11 59	3413	65 49 57	3419	64 28 2	3425
27	Aldebaran	W.	88 30 12	3094	89 58 29	3097	91 26 42	3100	92 54 52	3102
	Pollux	W.	44 19 35	3073	45 48 18	3076	47 16 57	3078	48 45 33	3081
	Mars	O.	27 29 58	3334	26 6 26	3340	24 43 1	3347	23 19 44	3353
	Sonne	O.	57 40 2	3450	56 18 42	3454	54 57 26	3457	53 36 14	3459
28	Aldebaran	W.	100 15 2	3110	101 42 59	3111	103 10 55	3111	104 38 51	3111
	Pollux	W.	56 8 2	3087	57 36 28	3087	59 4 54	3086	60 33 21	3086
	Sonne	O.	46 50 49	3468	45 29 49	3468	44 8 49	3468	42 47 49	3468
29	Pollux	W.	67 55 49	3078	69 24 25	3077	70 53 3	3074	72 21 44	3071
	Sonne	O.	36 2 40	3462	34 41 33	3460	33 20 24	3458	31 59 13	3456

MOND-DISTANZEN.

Mittlere Greenwicher Zeit.

Datum	Namen u. Lage der Sterne		Mitternacht	Lg. pr.	XV^h	Lg. pr.	XVIII^h	Lg. pr.	XXI^h	Lg. pr.
			° ′ ″		° ′ ″		° ′ ″		° ′ ″	
21	Pollux	O.	24 23 18	2545	22 43 8	2568	21 3 29	2591	19 24 22	2615
	Regulus	O.	60 45 41	2543	59 5 27	2562	57 25 40	2582	55 46 20	2601
	Saturn	O.	87 25 29	2563	85 45 43	2583	84 6 24	2601	82 27 30	2620
	Mars	O.	92 24 24	2739	90 48 36	2760	89 13 15	2779	87 38 19	2798
	Sonne	O.	120 41 58	2862	119 8 51	2882	117 36 9	2902	116 3 53	2923
22	α Pegasi	W.	106 23 21	3108	107 51 21	3133	109 18 50	3160	110 45 47	3187
	α Arietis	W.	64 23 41	2782	65 58 33	2796	67 33 6	2811	69 7 19	2826
	Aldebaran	W.	33 43 38	2759	35 19 0	2769	36 54 8	2781	38 29 1	2792
	Regulus	O.	47 36 18	2698	45 59 35	2717	44 23 18	2737	42 47 27	2755
	Saturn	O.	74 19 21	2712	72 42 57	2729	71 6 56	2747	69 31 19	2764
	Mars	O.	79 50 0	2894	78 17 34	2912	76 45 31	2931	75 13 52	2949
	Sonne	O.	108 28 50	3020	106 59 2	3039	105 29 38	3058	104 0 37	3076
23	α Arietis	W.	76 53 41	2898	78 26 2	2912	79 58 6	2926	81 29 52	2940
	Aldebaran	W.	46 19 29	2855	47 52 46	2867	49 25 47	2880	50 58 32	2892
	Regulus	O.	34 54 23	2850	33 21 0	2869	31 48 2	2889	30 15 29	2909
	Saturn	O.	61 38 43	2845	60 5 14	2861	58 32 5	2876	56 59 16	2891
	Mars	O.	67 41 5	3034	66 11 34	3050	64 42 23	3065	63 13 31	3081
	Sonne	O.	96 40 58	3163	95 14 4	3179	93 47 30	3195	92 21 15	3210
24	α Arietis	W.	89 4 32	3004	90 34 40	3015	92 4 34	3026	93 34 14	3038
	Aldebaran	W.	58 38 29	2950	60 9 45	2960	61 40 48	2970	63 11 38	2981
	Saturn	O.	49 19 38	2958	47 48 32	2970	46 17 42	2982	44 47 7	2994
	Mars	O.	55 53 42	3151	54 26 34	3163	52 59 41	3176	51 33 3	3188
	Sonne	O.	85 14 24	3282	83 49 51	3294	82 25 33	3306	81 1 29	3319
25	α Arietis	W.	100 59 11	3090	102 27 33	3099	103 55 44	3109	105 23 43	3117
	Aldebaran	W.	70 42 47	3026	72 12 28	3033	73 42 0	3040	75 11 23	3047
	Pollux	W.	26 27 49	3012	27 57 47	3018	29 27 37	3025	30 57 19	3031
	Saturn	O.	37 17 38	3045	35 48 21	3055	34 19 16	3065	32 50 23	3073
	Mars	O.	44 23 18	3242	42 57 58	3251	41 32 49	3260	40 7 51	3269
	Sonne	O.	74 4 27	3372	72 41 38	3380	71 18 59	3389	69 56 30	3397
26	Aldebaran	W.	82 36 15	3078	84 4 52	3082	85 33 24	3087	87 1 50	3090
	Pollux	W.	38 24 0	3057	39 53 2	3062	41 21 58	3066	42 50 49	3070
	Saturn	O.	25 28 28	3113	24 0 34	3121	22 32 50	3130	21 5 17	3138
	Mars	O.	33 5 24	3307	31 41 21	3314	30 17 26	3320	28 53 38	3327
	Sonne	O.	63 6 14	3431	61 44 32	3437	60 22 57	3441	59 1 27	3446
27	Aldebaran	W.	94 22 59	3105	95 51 3	3107	97 19 4	3108	98 47 4	3110
	Pollux	W.	50 14 6	3082	51 42 37	3083	53 11 7	3085	54 39 35	3086
	Mars	O.	21 56 34	3361	20 33 33	3369	19 10 41	3379	17 48 0	3389
	Sonne	O.	52 15 4	3463	50 53 58	3463	49 32 53	3465	48 11 50	3467
28	Aldebaran	W.	106 6 47	3111	107 34 43	3110	109 2 40	3110	110 30 37	3109
	Pollux	W.	62 1 48	3085	63 30 16	3084	64 58 45	3082	66 27 16	3081
	Sonne	O.	41 26 49	3467	40 5 48	3467	38 44 47	3465	37 23 44	3464
29	Pollux	W.	73 50 29	3069	75 19 17	3065	76 48 9	3062	78 17 5	3058
	Sonne	O.	30 38 0	3453	29 16 43	3450	27 55 23	3446	26 33 59	3444

Tag im Jahre	Wochentag und Datum		Mittlerer Greenwicher Mittag. Sonne. Rect-ascension	Stdl. Aend.	Declination — Süd	Stündl. Aenderung	Halbmesser	Zeitgleichung — Von der wahren Zeit zu subtrah.	Zeitgleichung Stündl. Aenderung	Declination der Sonne im wahren Greenwicher Mittage
			h m s	s	° ′ ″	″	′ ″	m s	s	° ′ ″
305	Sonntag	1	14 25 37·3	9·80	—14 26 24	—48·1	16 10	—16 19·6	—0·06	—14 26 11
306	Montag	2	14 29 32·9	9·83	—14 45 32	—47·6	16 10	—16 20·5	—0·02	—14 45 20
307	Dienst.	3	14 33 29·3	9·87	—15 4 26	—46·9	16 10	—16 20·7	+0·01	—15 4 14
308	Mittw.	4	14 37 26·5	9·90	—15 23 6	—46·3	16 10	—16 20·0	+0·04	—15 22 53
309	Donner.	5	14 41 24·5	9·93	—15 41 30	—45·7	16 11	—16 18·6	+0·08	—15 41 17
310	Freitag	6	14 45 23·4	9·97	—15 59 38	—45·0	16 11	—16 16·3	+0·11	—15 59 25
311	Samstag	7	14 49 23·0	10·00	—16 17 30	—44·3	16 11	—16 13·2	+0·15	—16 17 18
312	Sonntag	8	14 53 23·5	10·04	—16 35 6	—43·6	16 11	—16 9·2	+0·18	—16 34 54
313	Montag	9	14 57 24·8	10·07	—16 52 24	—42·9	16 12	—16 4·5	+0·21	—16 52 13
314	Dienst.	10	15 1 26·9	10·11	—17 9 26	—42·2	16 12	—15 58·9	+0·25	—17 9 14
315	Mittw.	11	15 5 29·9	10·14	—17 26 9	—41·4	16 12	—15 52·5	+0·28	—17 25 58
316	Donner.	12	15 9 33·7	10·18	—17 42 35	—40·7	16 12	—15 45·3	+0·32	—17 42 24
317	Freitag	13	15 13 38·3	10·21	—17 58 42	—39·9	16 12	—15 37·2	+0·35	—17 58 31
318	Samstag	14	15 17 43·7	10·25	—18 14 30	—39·1	16 13	—15 28·3	+0·39	—18 14 20
319	Sonntag	15	15 21 50·0	10·28	—18 29 59	—38·3	16 13	—15 18·6	+0·42	—18 29 49
320	Montag	16	15 25 57·2	10·32	—18 45 8	—37·5	16 13	—15 8·0	+0·46	—18 44 58
321	Dienst.	17	15 30 5·2	10·35	—18 59 57	—36·6	16 13	—14 56·6	+0·49	—18 59 48
322	Mittw.	18	15 34 14·0	10·39	—19 14 26	—35·8	16 14	—14 44·3	+0·53	—19 14 17
323	Donner.	19	15 38 23·6	10·42	—19 28 35	—34·9	16 14	—14 31·2	+0·56	—19 28 26
324	Freitag	20	15 42 34·1	10·45	—19 42 22	—34·0	16 14	—14 17·3	+0·60	—19 42 14
325	Samstag	21	15 46 45·5	10·49	—19 55 48	—33·1	16 14	—14 2·5	+0·63	—19 55 40
326	Sonntag	22	15 50 57·6	10·52	—20 8 52	—32·2	16 14	—13 46·9	+0·67	—20 8 45
327	Montag	23	15 55 10·6	10·56	—20 21 34	—31·3	16 14	—13 30·5	+0·70	—20 21 27
328	Dienst.	24	15 59 24·3	10·59	—20 33 54	—30·3	16 15	—13 13·3	+0·73	—20 33 47
329	Mittw.	25	16 3 38·8	10·62	—20 45 51	—29·4	16 15	—12 55·4	+0·77	—20 45 44
330	Donner.	26	16 7 54·1	10·65	—20 57 24	—28·4	16 15	—12 36·6	+0·80	—20 57 18
331	Freitag	27	16 12 10·2	10·69	—21 8 34	—27·4	16 15	—12 17·1	+0·83	—21 8 29
332	Samstag	28	16 16 27·0	10·72	—21 19 21	—26·4	16 15	—11 56·9	+0·86	—21 19 15
333	Sonntag	29	16 20 44·5	10·74	—21 29 43	—25·4	16 15	—11 35·9	+0·89	—21 29 38
334	Montag	30	16 25 2·7	10·77	—21 39 40	—24·4	16 16	—11 14·3	+0·92	—21 39 36
335	Dienst.	D. 1	16 29 21·6	10·80	—21 49 13	—23·4	16 16	—10 52·0	+0·94	—21 49 9

Wochentag und Datum		Sternzeit im mittleren Greenwich. Mittage	Mittlere Greenwicher Zeit. Mond. Obere Culmination	Stündliche Verzögerung	Halbmesser Mittag	Halbmesser Mitternacht	Horizontal-Parallaxe Mittag	Stündl. Aenderung	Mitternacht	Stündl. Aenderung	Alter Mittag
		h m s	h m	m	′ ″	′ ″	′ ″	″	′ ″	″	d
Sonntag	1	14 41 56·9	*		14 54	14 56	54 34	+0·8	54 44	+0·9	29·5
Montag	2	14 45 53·4	0 17·3	1·88	14 59	15 2	54 54	+0·9	55 5	+1·0	0·7
Dienst.	3	14 49 50·0	1 4·0	2·02	15 6	15 9	55 18	+1·1	55 31	+1·1	1·7
Mittw.	4	14 53 46·5	1 54·2	2·19	15 13	15 17	55 44	+1·2	55 59	+1·2	2·7
Donner.	5	14 57 43·1	2 47·6	2·28	15 21	15 25	56 14	+1·3	56 30	+1·4	3·7
Freitag	6	15 1 39·6	3 43·6	2·34	15 30	15 34	56 46	+1·4	57 4	+1·5	4·7
Samstag	7	15 5 36·2	4 40·5	2·36	15 39	15 44	57 22	+1·5	57 40	+1·6	5·7
Sonntag	8	15 9 32·7	5 36·8	2·31	15 50	15 55	57 59	+1·6	58 18	+1·6	6·7
Montag	9	15 13 29·3	6 31·5	2·24	16 0	16 5	58 38	+1·6	58 57	+1·6	7·7
Dienst.	10	15 17 25·8	7 24·2	2·16	16 10	16 15	59 15	+1·5	59 33	+1·4	8·7
Mittw.	11	15 21 22·4	8 15·3	2·11	16 20	16 24	59 49	+1·3	60 3	+1·1	9·7
Donner.	12	15 25 19·0	9 5·7	2·11	16 27	16 29	60 15	+0·9	60 24	+0·6	10·7
Freitag	13	15 29 15·5	9 56·6	2·15	16 31	16 31	60 30	+0·3	60 32	+0·0	11·7
Samstag	14	15 33 12·1	10 49·0	2·23	16 31	16 30	60 31	−0·3	60 26	−0·6	12·7
Sonntag	15	15 37 8·6	11 43·9	2·34	16 27	16 23	60 16	−0·9	60 3	−1·2	13·7
Montag	16	15 41 5·2	12 41·3	2·43	16 19	16 14	59 47	−1·5	59 27	−1·7	14·7
Dienst.	17	15 45 1·7	13 40·5	2·47	16 8	16 1	59 5	−1·9	58 41	−2·1	15·7
Mittw.	18	15 48 58·3	14 39·8	2·43	15 54	15 47	58 16	−2·2	57 50	−2·2	16·7
Donner.	19	15 52 54·9	15 37·3	2·32	15 40	15 33	57 23	−2·2	56 57	−2·2	17·7
Freitag	20	15 56 51·4	16 31·2	2·16	15 26	15 19	56 31	−2·1	56 7	−1·9	18·7
Samstag	21	16 0 48·0	17 21·0	1·99	15 13	15 7	55 45	−1·8	55 25	−1·6	19·7
Sonntag	22	16 4 44·5	18 6·9	1·85	15 2	14 58	55 6	−1·4	54 50	−1·2	20·7
Montag	23	16 8 41·1	18 49·7	1·74	14 54	14 51	54 37	−1·0	54 26	−0·8	21·7
Dienst.	24	16 12 37·6	19 30·3	1·67	14 49	14 48	54 18	−0·6	54 12	−0·4	22·7
Mittw.	25	16 16 34·2	20 9·8	1·65	14 47	14 47	54 9	−0·2	54 8	0·0	23·7
Donner.	26	16 20 30·8	20 49·4	1·67	14 47	14 48	54 10	+0·2	54 14	+0·4	24·7
Freitag	27	16 24 27·3	21 30·1	1·74	14 50	14 52	54 20	+0·6	54 28	+0·7	25·7
Samstag	28	16 28 23·9	22 13·0	1·85	14 54	14 57	54 37	+0·9	54 48	+1·0	26·7
Sonntag	29	16 32 20·4	22 58·9	1·99	15 1	15 4	55 0	+1·1	55 13	+1·1	27·7
Montag	30	16 36 17·0	23 48·5	2·14	15 8	15 12	55 27	+1·2	55 42	+1·2	28·7
Dienst.	D. 1	16 40 13·5	*		15 16	15 20	55 57	+1·3	56 12	+1·3	0·0

Rectascension und Declination des Mondes.

Mittlere Green. Zeit	Rectascension	Aenderung in 10m	Declination — Süd	Aenderung in 10m	Mittlere Green. Zeit	Rectascension	Aenderung in 10m	Declination — Süd	Aenderung in 10m
	Sonntag 1.					Dienstag 3.			
h	h m s	s	° ′ ″	″	h	h m s	s	° ′ ″	″
0	14 16 20·1	18·81	— 11 43 7	— 124·0	0	15 51 44·9	21·10	— 20 34 7	— 93·2
1	14 18 13·1	18·84	— 11 55 30	— 123·6	1	15 53 51·7	21·15	— 20 43 24	— 92·3
2	14 20 6·2	18·88	— 12 7 51	— 123·2	2	15 55 58·8	21·21	— 20 52 34	— 91·3
3	14 21 59·6	18·92	— 12 20 9	— 122·8	3	15 58 6·2	21·26	— 21 1 40	— 90·4
4	14 23 53·3	18·96	— 12 32 25	— 122·4	4	16 0 13·9	21·32	— 21 10 39	— 89·5
5	14 25 47·2	19·00	— 12 44 38	— 121·9	5	16 2 22·0	21·37	— 21 19 33	— 88·5
6	14 27 41·3	19·04	— 12 56 48	— 121·5	6	16 4 30·4	21·43	— 21 28 21	— 87·5
7	14 29 35·6	19·08	— 13 8 55	— 121·0	7	16 6 39·1	21·48	— 21 37 4	— 86·6
8	14 31 30·2	19·12	— 13 21 0	— 120·5	8	16 8 48·2	21·54	— 21 45 40	— 85·6
9	14 33 25·0	19·16	— 13 33 2	— 120·1	9	16 10 57·6	21·59	— 21 54 10	— 84·6
10	14 35 20·1	19·20	— 13 45 1	— 119·6	10	16 13 7·3	21·65	— 22 2 35	— 83·6
11	14 37 15·5	19·24	— 13 56 57	— 119·1	11	16 15 17·4	21·71	— 22 10 53	— 82·5
12	14 39 11·1	19·29	— 14 8 50	— 118·6	12	16 17 27·8	21·76	— 22 19 5	— 81·5
13	14 41 6·9	19·33	— 14 20 39	— 118·0	13	16 19 38·5	21·82	— 22 27 11	— 80·5
14	14 43 3·0	19·38	— 14 32 26	— 117·5	14	16 21 49·6	21·87	— 22 35 11	— 79·4
15	14 44 59·4	19·42	— 14 44 9	— 117·0	15	16 24 1·0	21·93	— 22 43 4	— 78·3
16	14 46 56·1	19·47	— 14 55 50	— 116·4	16	16 26 12·7	21·98	— 22 50 51	— 77·3
17	14 48 53·0	19·51	— 15 7 27	— 115·8	17	16 28 24·8	22·04	— 22 58 31	— 76·2
18	14 50 50·2	19·56	— 15 19 0	— 115·3	18	16 30 37·2	22·09	— 23 6 5	— 75·1
19	14 52 47·7	19·60	— 15 30 30	— 114·7	19	16 32 49·9	22·15	— 23 13 32	— 74·0
20	14 54 45·5	19·65	— 15 41 56	— 114·1	20	16 35 2·9	22·20	— 23 20 53	— 72·8
21	14 56 43·5	19·70	— 15 53 19	— 113·5	21	16 37 16·3	22·25	— 23 28 6	— 71·7
22	14 58 41·8	19·74	— 16 4 38	— 112·9	22	16 39 30·0	22·31	— 23 35 13	— 70·6
23	15 0 40·4	19·79	— 16 15 54	— 112·3	23	16 41 44·0	22·36	— 23 42 13	— 69·4
	Montag 2.					Mittwoch 4.			
0	15 2 39·3	19·84	— 16 27 5	— 111·6	0	16 43 58·3	22·41	— 23 49 6	— 68·2
1	15 4 38·5	19·89	— 16 38 13	— 111·0	1	16 46 13·0	22·47	— 23 55 52	— 67·1
2	15 6 38·0	19·94	— 16 49 17	— 110·3	2	16 48 28·0	22·52	— 24 2 31	— 65·9
3	15 8 37·8	19·99	— 17 0 17	— 109·7	3	16 50 43·2	22·57	— 24 9 3	— 64·7
4	15 10 37·9	20·04	— 17 11 13	— 109·0	4	16 52 58·8	22·63	— 24 15 27	— 63·5
5	15 12 38·2	20·09	— 17 22 5	— 108·3	5	16 55 14·8	22·68	— 24 21 44	— 62·2
6	15 14 38·9	20·14	— 17 32 53	— 107·6	6	16 57 31·0	22·73	— 24 27 54	— 61·0
7	15 16 39·9	20·19	— 17 43 37	— 106·9	7	16 59 47·5	22·78	— 24 33 56	— 59·8
8	15 18 41·2	20·24	— 17 54 16	— 106·2	8	17 2 4·3	22·83	— 24 39 51	— 58·5
9	15 20 42·8	20·29	— 18 4 51	— 105·4	9	17 4 21·5	22·88	— 24 45 39	— 57·3
10	15 22 44·7	20·34	— 18 15 21	— 104·7	10	17 6 38·9	22·93	— 24 51 19	— 56·0
11	15 24 46·9	20·40	— 18 25 47	— 104·0	11	17 8 56·6	22·98	— 24 56 51	— 54·7
12	15 26 49·5	20·45	— 18 36 9	— 103·2	12	17 11 14·7	23·03	— 25 2 15	— 53·4
13	15 28 52·3	20·50	— 18 46 26	— 102·4	13	17 13 33·0	23·08	— 25 7 32	— 52·1
14	15 30 55·5	20·55	— 18 56 38	— 101·6	14	17 15 51·6	23·12	— 25 12 41	— 50·8
15	15 32 59·0	20·61	— 19 6 45	— 100·8	15	17 18 10·5	23·17	— 25 17 42	— 49·5
16	15 35 2·8	20·66	— 19 16 48	— 100·0	16	17 20 29·6	23·22	— 25 22 35	— 48·2
17	15 37 6·9	20·72	— 19 26 46	— 99·2	17	17 22 49·1	23·26	— 25 27 20	— 46·8
18	15 39 11·4	20·77	— 19 36 38	— 98·4	18	17 25 8·8	23·31	— 25 31 57	— 45·5
19	15 41 16·2	20·82	— 19 46 26	— 97·5	19	17 27 28·8	23·35	— 25 36 26	— 44·1
20	15 43 21·3	20·88	— 19 56 9	— 96·7	20	17 29 49·0	23·40	— 25 40 46	— 42·8
21	15 45 26·7	20·93	— 20 5 46	— 95·8	21	17 32 9·6	23·44	— 25 44 59	— 41·4
22	15 47 32·4	20·99	— 20 15 19	— 94·9	22	17 34 30·3	23·48	— 25 49 3	— 40·0
23	15 49 38·5	21·04	— 20 24 46	— 94·1	23	17 36 51·4	23·53	— 25 52 59	— 38·6
24	15 51 44·9	21·10	— 20 34 7	— 93·2	24	17 39 12·6	23·57	— 25 56 46	— 37·2

Rectascension und Declination des Mondes.

Mittlere Green. Zeit	Rectascension	Aenderung in 10ᵐ	Declination — Süd	Aenderung in 10ᵐ	Mittlere Green. Zeit	Rectascension	Aenderung in 10ᵐ	Declination — Süd	Aenderung in 10ᵐ
	Donnerstag 5.					**Samstag 7.**			
h	h m s	s	° ′ ″	″	h	h m s	s	° ′ ″	″
0	17 39 12·6	23·57	— 25 56 46	— 37·2	0	19 35 24·3	24·47	— 26 2 28	+ 36·2
1	17 41 34·2	23·61	— 26 0 25	— 35·8	1	19 37 51·1	24·47	— 25 58 45	+ 37·8
2	17 43 55·9	23·65	— 26 3 56	— 34·4	2	19 40 17·9	24·46	— 25 54 54	+ 39·4
3	17 46 17·9	23·69	— 26 7 18	— 33·0	3	19 42 44·7	24·45	— 25 50 53	+ 41·0
4	17 48 40·2	23·72	— 26 10 32	— 31·5	4	19 45 11·4	24·44	— 25 46 42	+ 42·5
5	17 51 2·6	23·76	— 26 13 37	— 30·1	5	19 47 38·0	24·43	— 25 42 22	+ 44·1
6	17 53 25·3	23·80	— 26 16 33	— 28·6	6	19 50 4·6	24·42	— 25 37 53	+ 45·7
7	17 55 48·2	23·83	— 26 19 20	— 27·2	7	19 52 31·1	24·41	— 25 33 14	+ 47·2
8	17 58 11·3	23·87	— 26 21 59	— 25·7	8	19 54 57·5	24·40	— 25 28 26	+ 48·8
9	18 0 34·6	23·90	— 26 24 29	— 24·3	9	19 57 23·9	24·39	— 25 23 29	+ 50·3
10	18 2 58·1	23·94	— 26 26 50	— 22·8	10	19 59 50·2	24·37	— 25 18 22	+ 51·9
11	18 5 21·8	23·97	— 26 29 3	— 21·3	11	20 2 16·4	24·36	— 25 13 6	+ 53·4
12	18 7 45·7	24·00	— 26 31 6	— 19·8	12	20 4 42·5	24·35	— 25 7 41	+ 55·0
13	18 10 9·8	24·03	— 26 33 1	— 18·3	13	20 7 8·6	24·33	— 25 2 7	+ 56·5
14	18 12 34·1	24·06	— 26 34 46	— 16·8	14	20 9 34·5	24·31	— 24 56 23	+ 58·0
15	18 14 58·6	24·09	— 26 36 23	— 15·3	15	20 12 0·3	24·30	— 24 50 30	+ 59·6
16	18 17 23·2	24·12	— 26 37 50	— 13·8	16	20 14 26·0	24·28	— 24 44 28	+ 61·1
17	18 19 48·0	24·14	— 26 39 8	— 12·3	17	20 16 51·6	24·26	— 24 38 17	+ 62·6
18	18 22 12·9	24·17	— 26 40 18	— 10·8	18	20 19 17·1	24·24	— 24 31 57	+ 64·1
19	18 24 38·0	24·19	— 26 41 18	— 9·2	19	20 21 42·5	24·22	— 24 25 28	+ 65·6
20	18 27 3·2	24·22	— 26 42 8	— 7·7	20	20 24 7·8	24·20	— 24 18 50	+ 67·1
21	18 29 28·6	24·24	— 26 42 50	— 6·2	21	20 26 32·9	24·18	— 24 12 3	+ 68·6
22	18 31 54·1	24·26	— 26 43 22	— 4·6	22	20 28 57·9	24·15	— 24 5 7	+ 70·1
23	18 34 19·7	24·28	— 26 43 46	— 3·1	23	20 31 22·7	24·13	— 23 58 2	+ 71·6
	Freitag 6.					**Sonntag 8.**			
0	18 36 45·5	24·30	— 26 44 0	— 1·5	0	20 33 47·4	24·11	— 23 50 48	+ 73·0
1	18 39 11·4	24·32	— 26 44 4	0·0	1	20 36 12·0	24·08	— 23 43 25	+ 74·5
2	18 41 37·3	24·34	— 26 43 59	+ 1·6	2	20 38 36·4	24·06	— 23 35 54	+ 76·0
3	18 44 3·4	24·36	— 26 43 45	+ 3·1	3	20 41 0·7	24·03	— 23 28 14	+ 77·4
4	18 46 29·6	24·37	— 26 43 22	+ 4·7	4	20 43 24·8	24·01	— 23 20 25	+ 78·9
5	18 48 55·9	24·39	— 26 42 49	+ 6·3	5	20 45 48·8	23·98	— 23 12 27	+ 80·3
6	18 51 22·3	24·40	— 26 42 7	+ 7·8	6	20 48 12·6	23·95	— 23 4 21	+ 81·7
7	18 53 48·7	24·41	— 26 41 15	+ 9·4	7	20 50 36·2	23·93	— 22 56 6	+ 83·2
8	18 56 15·2	24·42	— 26 40 14	+ 11·0	8	20 52 59·7	23·90	— 22 47 43	+ 84·6
9	18 58 41·8	24·44	— 26 39 3	+ 12·5	9	20 55 23·0	23·87	— 22 39 11	+ 86·0
10	19 1 8·4	24·44	— 26 37 43	+ 14·1	10	20 57 46·1	23·84	— 22 30 31	+ 87·4
11	19 3 35·1	24·45	— 26 36 14	+ 15·7	11	21 0 9·1	23·81	— 22 21 42	+ 88·8
12	19 6 1·9	24·46	— 26 34 35	+ 17·3	12	21 2 31·9	23·78	— 22 12 46	+ 90·2
13	19 8 28·7	24·47	— 26 32 47	+ 18·9	13	21 4 54·5	23·75	— 22 3 40	+ 91·5
14	19 10 55·5	24·47	— 26 30 49	+ 20·4	14	21 7 16·9	23·72	— 21 54 27	+ 92·9
15	19 13 22·3	24·48	— 26 28 41	+ 22·0	15	21 9 39·2	23·69	— 21 45 6	+ 94·3
16	19 15 49·2	24·48	— 26 26 24	+ 23·6	16	21 12 1·3	23·66	— 21 35 36	+ 95·6
17	19 18 16·1	24·48	— 26 23 58	+ 25·2	17	21 14 23·2	23·63	— 21 25 58	+ 96·9
18	19 20 43·0	24·48	— 26 21 22	+ 26·8	18	21 16 44·9	23·60	— 21 16 13	+ 98·3
19	19 23 9·9	24·48	— 26 18 37	+ 28·3	19	21 19 6·4	23·57	— 21 6 19	+ 99·6
20	19 25 36·8	24·48	— 26 15 42	+ 29·9	20	21 21 27·7	23·54	— 20 56 18	+ 100·9
21	19 28 3·7	24·48	— 26 12 38	+ 31·5	21	21 23 48·9	23·51	— 20 46 9	+ 102·2
22	19 30 30·6	24·48	— 26 9 24	+ 33·1	22	21 26 9·9	23·48	— 20 35 52	+ 103·5
23	19 32 57·5	24·48	— 26 6 0	+ 34·7	23	21 28 30·6	23·45	— 20 25 27	+ 104·8
24	19 35 24·3	24·47	— 26 2 28	+ 36·2	24	21 30 51·2	23·41	— 20 14 54	+ 106·0

Rectascension und Declination des Mondes.

Mittlere Green. Zeit	Rectascension			Aenderung in 10m	Declination — Süd			Aenderung in 10m
				Montag 9.				
h	h	m	s	s	°	′	″	″
0	21	30	51·2	23·41	— 20	14	54	+ 106·0
1	21	33	11·6	23·38	— 20	4	14	+ 107·3
2	21	35	31·8	23·35	— 19	53	27	+ 108·5
3	21	37	51·8	23·32	— 19	42	32	+ 109·8
4	21	40	11·6	23·29	— 19	31	30	+ 111·0
5	21	42	31·2	23·25	— 19	20	20	+ 112·2
6	21	44	50·7	23·22	— 19	9	3	+ 113·4
7	21	47	9·9	23·19	— 18	57	39	+ 114·6
8	21	49	29·0	23·16	— 18	46	8	+ 115·8
9	21	51	47·8	23·13	— 18	34	30	+ 116·9
10	21	54	6·5	23·10	— 18	22	45	+ 118·1
11	21	56	25·0	23·06	— 18	10	53	+ 119·2
12	21	58	43·3	23·03	— 17	58	54	+ 120·4
13	22	1	1·4	23·00	— 17	46	48	+ 121·5
14	22	3	19·3	22·97	— 17	34	36	+ 122·6
15	22	5	37·0	22·94	— 17	22	17	+ 123·7
16	22	7	54·5	22·91	— 17	9	51	+ 124·8
17	22	10	11·9	22·88	— 16	57	19	+ 125·9
18	22	12	29·1	22·85	— 16	44	41	+ 126·9
19	22	14	46·1	22·82	— 16	31	56	+ 128·0
20	22	17	2·9	22·79	— 16	19	5	+ 129·0
21	22	19	19·5	22·76	— 16	6	7	+ 130·1
22	22	21	36·0	22·73	— 15	53	4	+ 131·1
23	22	23	52·3	22·70	— 15	39	55	+ 132·1
				Dienstag 10.				
0	22	26	8·4	22·67	— 15	26	39	+ 133·1
1	22	28	24·3	22·64	— 15	13	18	+ 134·0
2	22	30	40·1	22·61	— 14	59	51	+ 135·0
3	22	32	55·7	22·59	— 14	46	18	+ 135·9
4	22	35	11·1	22·56	— 14	32	39	+ 136·9
5	22	37	26·4	22·53	— 14	18	55	+ 137·8
6	22	39	41·5	22·51	— 14	5	6	+ 138·7
7	22	41	56·5	22·48	— 13	51	11	+ 139·6
8	22	44	11·3	22·46	— 13	37	10	+ 140·5
9	22	46	26·0	22·43	— 13	23	5	+ 141·4
10	22	48	40·5	22·41	— 13	8	54	+ 142·2
11	22	50	54·9	22·38	— 12	54	38	+ 143·1
12	22	53	9·1	22·36	— 12	40	17	+ 143·9
13	22	55	23·2	22·34	— 12	25	51	+ 144·7
14	22	57	37·1	22·31	— 12	11	20	+ 145·5
15	22	59	50·9	22·29	— 11	56	45	+ 146·3
16	23	2	4·6	22·27	— 11	42	5	+ 147·1
17	23	4	18·2	22·25	— 11	27	20	+ 147·8
18	23	6	31·6	22·23	— 11	12	31	+ 148·6
19	23	8	44·9	22·21	— 10	57	37	+ 149·3
20	23	10	58·1	22·19	— 10	42	39	+ 150·0
21	23	13	11·2	22·17	— 10	27	37	+ 150·7
22	23	15	24·2	22·15	— 10	12	31	+ 151·4
23	23	17	37·1	22·14	— 9	57	20	+ 152·1
24	23	19	49·8	22·12	— 9	42	6	+ 152·7

Mittlere Green. Zeit	Rectascension			Aenderung in 10m	Declination — Süd + Nord			Aenderung in 10m
				Mittwoch 11.				
h	h	m	s	s	°	′	″	″
0	23	19	49·8	22·12	— 9	42	6	+ 152·7
1	23	22	2·5	22·10	— 9	26	47	+ 153·4
2	23	24	15·0	22·09	— 9	11	25	+ 154·0
3	23	26	27·5	22·07	— 8	55	59	+ 154·6
4	23	28	39·9	22·06	— 8	40	30	+ 155·2
5	23	30	52·2	22·04	— 8	24	57	+ 155·8
6	23	33	4·4	22·03	— 8	9	20	+ 156·4
7	23	35	16·6	22·02	— 7	53	40	+ 156·9
8	23	37	28·7	22·01	— 7	37	57	+ 157·4
9	23	39	40·7	22·00	— 7	22	11	+ 158·0
10	23	41	52·6	21·99	— 7	6	22	+ 158·5
11	23	44	4·5	21·98	— 6	50	29	+ 159·0
12	23	46	16·3	21·97	— 6	34	34	+ 159·5
13	23	48	28·1	21·96	— 6	18	36	+ 159·9
14	23	50	39·8	21·95	— 6	2	35	+ 160·4
15	23	52	51·5	21·94	— 5	46	31	+ 160·8
16	23	55	3·2	21·94	— 5	30	25	+ 161·2
17	23	57	14·8	21·93	— 5	14	17	+ 161·6
18	23	59	26·4	21·93	— 4	58	6	+ 162·0
19	0	1	37·9	21·92	— 4	41	53	+ 162·3
20	0	3	49·5	21·92	— 4	25	38	+ 162·7
21	0	6	1·0	21·92	— 4	9	21	+ 163·0
22	0	8	12·5	21·92	— 3	53	2	+ 163·3
23	0	10	24·0	21·92	— 3	36	41	+ 163·6
				Donnerstag 12.				
0	0	12	35·5	21·92	— 3	20	18	+ 163·9
1	0	14	47·0	21·92	— 3	3	54	+ 164·2
2	0	16	58·5	21·92	— 2	47	28	+ 164·4
3	0	19	10·0	21·92	— 2	31	1	+ 164·7
4	0	21	21·5	21·92	— 2	14	32	+ 164·9
5	0	23	33·1	21·93	— 1	58	2	+ 165·1
6	0	25	44·6	21·93	— 1	41	31	+ 165·3
7	0	27	56·2	21·93	— 1	24	59	+ 165·4
8	0	30	7·9	21·94	— 1	8	26	+ 165·6
9	0	32	19·5	21·95	— 0	51	52	+ 165·7
10	0	34	31·2	21·95	— 0	35	17	+ 165·8
11	0	36	43·0	21·96	— 0	18	42	+ 165·9
12	0	38	54·8	21·97	— 0	2	6	+ 166·0
13	0	41	6·6	21·98	+ 0	14	30	+ 166·1
14	0	43	18·6	21·99	+ 0	31	7	+ 166·1
15	0	45	30·5	22·00	+ 0	47	44	+ 166·1
16	0	47	42·6	22·01	+ 1	4	21	+ 166·2
17	0	49	54·7	22·03	+ 1	20	58	+ 166·2
18	0	52	6·9	22·04	+ 1	37	35	+ 166·1
19	0	54	19·2	22·05	+ 1	54	11	+ 166·1
20	0	56	31·5	22·07	+ 2	10	48	+ 166·0
21	0	58	44·0	22·08	+ 2	27	24	+ 166·0
22	1	0	56·6	22·10	+ 2	43	59	+ 165·9
23	1	3	9·2	22·12	+ 3	0	34	+ 165·7
24	1	5	21·9	22·13	+ 3	17	8	+ 165·6

Rectascension und Declination des Mondes.

Mittlere Green. Zeit	Rectascension	Aenderung in 10ᵐ	Declination + Nord	Aenderung in 10ᵐ
	Freitag 13.			
h	h m s	s	° ′ ″	″
0	1 5 21·9	22·13	+ 3 17 8	+165·6
1	1 7 34·8	22·15	+ 3 33 42	+165·5
2	1 9 47·8	22·17	+ 3 50 14	+165·3
3	1 12 0·9	22·19	+ 4 6 45	+165·1
4	1 14 14·1	22·21	+ 4 23 15	+164·9
5	1 16 27·4	22·23	+ 4 39 44	+164·7
6	1 18 40·9	22·26	+ 4 56 12	+164·4
7	1 20 54·5	22·28	+ 5 12 38	+164·2
8	1 23 8·2	22·30	+ 5 29 2	+163·9
9	1 25 22·1	22·32	+ 5 45 24	+163·6
10	1 27 36·1	22·35	+ 6 1 45	+163·3
11	1 29 50·3	22·37	+ 6 18 4	+163·0
12	1 32 4·6	22·40	+ 6 34 21	+162·6
13	1 34 19·1	22·43	+ 6 50 36	+162·3
14	1 36 33·7	22·45	+ 7 6 48	+161·9
15	1 38 48·5	22·48	+ 7 22 58	+161·5
16	1 41 3·5	22·51	+ 7 39 6	+161·0
17	1 43 18·7	22·54	+ 7 55 11	+160·6
18	1 45 34·0	22·57	+ 8 11 13	+160·1
19	1 47 49·5	22·60	+ 8 27 12	+159·6
20	1 50 5·2	22·63	+ 8 43 9	+159·1
21	1 52 21·1	22·66	+ 8 59 2	+158·6
22	1 54 37·2	22·69	+ 9 14 52	+158·1
23	1 56 53·4	22·73	+ 9 30 39	+157·5
	Samstag 14.			
0	1 59 9·9	22·76	+ 9 46 23	+157·0
1	2 1 26·5	22·79	+ 10 2 3	+156·4
2	2 3 43·4	22·83	+ 10 17 39	+155·8
3	2 6 0·5	22·86	+ 10 33 12	+155·1
4	2 8 17·8	22·90	+ 10 48 41	+154·5
5	2 10 35·3	22·93	+ 11 4 6	+153·8
6	2 12 53·0	22·97	+ 11 19 27	+153·1
7	2 15 10·9	23·00	+ 11 34 43	+152·4
8	2 17 29·0	23·04	+ 11 49 56	+151·7
9	2 19 47·4	23·08	+ 12 5 4	+150·9
10	2 22 6·0	23·12	+ 12 20 7	+150·2
11	2 24 24·8	23·16	+ 12 35 6	+149·4
12	2 26 43·8	23·19	+ 12 50 0	+148·6
13	2 29 3·1	23·23	+ 13 4 49	+147·8
14	2 31 22·6	23·27	+ 13 19 34	+147·0
15	2 33 42·4	23·31	+ 13 34 13	+146·1
16	2 36 2·4	23·35	+ 13 48 47	+145·2
17	2 38 22·6	23·39	+ 14 3 16	+144·3
18	2 40 43·1	23·43	+ 14 17 39	+143·4
19	2 43 3·8	23·47	+ 14 31 57	+142·5
20	2 45 24·7	23·51	+ 14 46 9	+141·6
21	2 47 45·9	23·55	+ 15 0 16	+140·6
22	2 50 7·4	23·60	+ 15 14 17	+139·6
23	2 52 29·1	23·64	+ 15 28 11	+138·6
24	2 54 51·0	23·68	+ 15 42 0	+137·6

Mittlere Green. Zeit	Rectascension	Aenderung in 10ᵐ	Declination + Nord	Aenderung in 10ᵐ
	Sonntag 15.			
h	h m s	s	° ′ ″	″
0	2 54 51·0	23·68	+ 15 42 0	+137·6
1	2 57 13·2	23·72	+ 15 55 43	+136·6
2	2 59 35·6	23·76	+ 16 9 19	+135·5
3	3 1 58·3	23·80	+ 16 22 49	+134·5
4	3 4 21·3	23·84	+ 16 36 13	+133·4
5	3 6 44·5	23·89	+ 16 49 30	+132·3
6	3 9 7·9	23·93	+ 17 2 40	+131·2
7	3 11 31·6	23·97	+ 17 15 44	+130·0
8	3 13 55·6	24·01	+ 17 28 41	+128·9
9	3 16 19·8	24·05	+ 17 41 30	+127·7
10	3 18 44·2	24·09	+ 17 54 13	+126·5
11	3 21 8·9	24·14	+ 18 6 49	+125·3
12	3 23 33·8	24·18	+ 18 19 17	+124·1
13	3 25 59·0	24·22	+ 18 31 38	+122·9
14	3 28 24·5	24·26	+ 18 43 52	+121·6
15	3 30 50·2	24·30	+ 18 55 58	+120·3
16	3 33 16·1	24·34	+ 19 7 56	+119·1
17	3 35 42·3	24·38	+ 19 19 46	+117·8
18	3 38 8·7	24·42	+ 19 31 29	+116·5
19	3 40 35·3	24·46	+ 19 43 4	+115·1
20	3 43 2·2	24·50	+ 19 54 31	+113·8
21	3 45 29·3	24·54	+ 20 5 49	+112·4
22	3 47 56·7	24·58	+ 20 17 0	+111·1
23	3 50 24·3	24·62	+ 20 28 2	+109·7
	Montag 16.			
0	3 52 52·1	24·65	+ 20 38 56	+108·3
1	3 55 20·1	24·69	+ 20 49 42	+106·9
2	3 57 48·4	24·73	+ 21 0 18	+105·4
3	4 0 16·8	24·76	+ 21 10 47	+104·0
4	4 2 45·5	24·80	+ 21 21 6	+102·5
5	4 5 14·4	24·83	+ 21 31 17	+101·1
6	4 7 43·5	24·87	+ 21 41 19	+ 99·6
7	4 10 12·9	24·90	+ 21 51 13	+ 98·1
8	4 12 42·4	24·94	+ 22 0 57	+ 96·6
9	4 15 12·1	24·97	+ 22 10 32	+ 95·1
10	4 17 42·0	25·00	+ 22 19 58	+ 93·6
11	4 20 12·1	25·03	+ 22 29 15	+ 92·0
12	4 22 42·4	25·06	+ 22 38 23	+ 90·5
13	4 25 12·8	25·09	+ 22 47 21	+ 88·9
14	4 27 43·4	25·12	+ 22 56 10	+ 87·4
15	4 30 14·2	25·15	+ 23 4 50	+ 85·8
16	4 32 45·2	25·17	+ 23 13 20	+ 84·2
17	4 35 16·3	25·20	+ 23 21 40	+ 82·6
18	4 37 47·6	25·22	+ 23 29 51	+ 81·0
19	4 40 19·0	25·25	+ 23 37 52	+ 79·4
20	4 42 50·6	25·27	+ 23 45 44	+ 77·8
21	4 45 22·3	25·29	+ 23 53 26	+ 76·1
22	4 47 54·1	25·31	+ 24 0 58	+ 74·5
23	4 50 26·0	25·33	+ 24 8 20	+ 72·9
24	4 52 58·1	25·35	+ 24 15 32	+ 71·2

Rectascension und Declination des Mondes.

Mittlere Green. Zeit	Rectascension	Aenderung in 10m	Declination + Nord	Aenderung in 10m	Mittlere Green. Zeit	Rectascension	Aenderung in 10m	Declination + Nord	Aenderung in 10m
	Dienstag 17.					Donnerstag 19.			
h	h m s	s	° ′ ″	″	h	h m s	s	° ′ ″	″
0	4 52 58·1	25·35	+ 24 15 32	+71·2	0	6 54 32·5	24·81	+ 26 41 19	−10·0
1	4 55 30·3	25·37	+ 24 22 34	+69·5	1	6 57 1·3	24·77	+ 26 40 14	−11·6
2	4 58 2·5	25·39	+ 24 29 27	+67·9	2	6 59 29·8	24·73	+ 26 39 0	−13·2
3	5 0 34·9	25·40	+ 24 36 9	+66·2	3	7 1 58·0	24·68	+ 26 37 36	−14·8
4	5 3 7·4	25·42	+ 24 42 41	+64·5	4	7 4 26·0	24·64	+ 26 36 3	−16·3
5	5 5 39·9	25·43	+ 24 49 3	+62·8	5	7 6 53·7	24·59	+ 26 34 20	−17·9
6	5 8 12·6	25·44	+ 24 55 15	+61·2	6	7 9 21·1	24·55	+ 26 32 27	−19·5
7	5 10 45·3	25·45	+ 25 1 17	+59·5	7	7 11 48·3	24·50	+ 26 30 26	−21·0
8	5 13 18·0	25·46	+ 25 7 9	+57·8	8	7 14 15·1	24·45	+ 26 28 15	−22·5
9	5 15 50·9	25·47	+ 25 12 50	+56·1	9	7 16 41·7	24·40	+ 26 25 55	−24·1
10	5 18 23·7	25·48	+ 25 18 22	+54·4	10	7 19 7·9	24·35	+ 26 23 26	−25·6
11	5 20 56·6	25·49	+ 25 23 43	+52·6	11	7 21 33·9	24·30	+ 26 20 48	−27·1
12	5 23 29·6	25·49	+ 25 28 53	+50·9	12	7 23 59·5	24·25	+ 26 18 1	−28·6
13	5 26 2·5	25·50	+ 25 33 54	+49·2	13	7 26 24·9	24·20	+ 26 15 5	−30·1
14	5 28 35·5	25·50	+ 25 38 44	+47·5	14	7 28 49·9	24·14	+ 26 12 0	−31·5
15	5 31 8·5	25·50	+ 25 43 24	+45·8	15	7 31 14·6	24·09	+ 26 8 46	−33·0
16	5 33 41·5	25·50	+ 25 47 53	+44·1	16	7 33 39·0	24·03	+ 26 5 24	−34·5
17	5 36 14·5	25·50	+ 25 52 12	+42·3	17	7 36 3·0	23·98	+ 26 1 53	−35·9
18	5 38 47·5	25·50	+ 25 56 21	+40·6	18	7 38 26·7	23·92	+ 25 58 13	−37·3
19	5 41 20·5	25·49	+ 26 0 20	+38·9	19	7 40 50·0	23·86	+ 25 54 25	−38·8
20	5 43 53·4	25·49	+ 26 4 8	+37·1	20	7 43 13·0	23·80	+ 25 50 28	−40·2
21	5 46 26·3	25·48	+ 26 7 46	+35·4	21	7 45 35·7	23·75	+ 25 46 23	−41·6
22	5 48 59·2	25·47	+ 26 11 13	+33·7	22	7 47 58·0	23·69	+ 25 42 9	−42·9
23	5 51 32·0	25·46	+ 26 14 30	+32·0	23	7 50 19·9	23·63	+ 25 37 47	−44·3
	Mittwoch 18.					Freitag 20.			
0	5 54 4·7	25·45	+ 26 17 37	+30·2	0	7 52 41·5	23·57	+ 25 33 17	−45·7
1	5 56 37·4	25·44	+ 26 20 33	+28·5	1	7 55 2·7	23·51	+ 25 28 39	−47·0
2	5 59 10·0	25·43	+ 26 23 19	+26·8	2	7 57 23·6	23·44	+ 25 23 53	−48·4
3	6 1 42·5	25·41	+ 26 25 54	+25·1	3	7 59 44·1	23·38	+ 25 18 58	−49·7
4	6 4 15·0	25·40	+ 26 28 20	+23·4	4	8 2 4·2	23·32	+ 25 13 56	−51·0
5	6 6 47·3	25·38	+ 26 30 35	+21·6	5	8 4 23·9	23·26	+ 25 8 46	−52·3
6	6 9 19·5	25·36	+ 26 32 40	+19·9	6	8 6 43·3	23·20	+ 25 3 29	−53·6
7	6 11 51·6	25·34	+ 26 34 34	+18·2	7	8 9 2·3	23·13	+ 24 58 3	−54·9
8	6 14 23·6	25·32	+ 26 36 18	+16·5	8	8 11 20·9	23·07	+ 24 52 30	−56·1
9	6 16 55·5	25·30	+ 26 37 53	+14·8	9	8 13 39·1	23·00	+ 24 46 49	−57·4
10	6 19 27·2	25·27	+ 26 39 16	+13·1	10	8 15 56·9	22·94	+ 24 41 1	−58·6
11	6 21 58·8	25·25	+ 26 40 30	+11·4	11	8 18 14·4	22·88	+ 24 35 6	−59·9
12	6 24 30·2	25·22	+ 26 41 34	+ 9·8	12	8 20 31·4	22·81	+ 24 29 3	−61·1
13	6 27 1·4	25·19	+ 26 42 27	+ 8·1	13	8 22 48·1	22·75	+ 24 22 53	−62·3
14	6 29 32·5	25·17	+ 26 43 11	+ 6·4	14	8 25 4·4	22·68	+ 24 16 35	−63·5
15	6 32 3·4	25·14	+ 26 43 44	+ 4·7	15	8 27 20·3	22·62	+ 24 10 11	−64·7
16	6 34 34·2	25·10	+ 26 44 7	+ 3·1	16	8 29 35·8	22·55	+ 24 3 39	−65·8
17	6 37 4·7	25·07	+ 26 44 21	+ 1·4	17	8 31 50·9	22·48	+ 23 57 1	−67·0
18	6 39 35·0	25·04	+ 26 44 24	− 0·2	18	8 34 5·6	22·42	+ 23 50 16	−68·1
19	6 42 5·2	25·00	+ 26 44 18	− 1·9	19	8 36 19·9	22·35	+ 23 43 23	−69·3
20	6 44 35·1	24·97	+ 26 44 2	− 3·5	20	8 38 33·9	22·29	+ 23 36 25	−70·4
21	6 47 4·8	24·93	+ 26 43 36	− 5·2	21	8 40 47·4	22·22	+ 23 29 19	−71·5
22	6 49 34·2	24·89	+ 26 43 0	− 6·8	22	8 43 0·5	22·16	+ 23 22 7	−72·6
23	6 52 3·5	24·85	+ 26 42 14	− 8·4	23	8 45 13·3	22·09	+ 23 14 48	−73·6
24	6 54 32·5	24·81	+ 26 41 19	−10·0	24	8 47 25·6	22·02	+ 23 7 23	−74·7

Rectascension und Declination des Mondes.

Mittlere Green. Zeit	Rectascension	Aenderung in 10ᵐ	Declination + Nord	Aenderung in 10ᵐ
		Samstag 21.		
h	h m s	s	° ′ ″	″
0	8 47 25·6	22·02	+ 23 7 23	− 74·7
1	8 49 37·6	21·96	+ 22 59 51	− 75·8
2	8 51 49·1	21·89	+ 22 52 14	− 76·8
3	8 54 0·3	21·83	+ 22 44 30	− 77·8
4	8 56 11·1	21·76	+ 22 36 40	− 78·9
5	8 58 21·4	21·70	+ 22 28 43	− 79·9
6	9 0 31·4	21·63	+ 22 20 41	− 80·9
7	9 2 41·0	21·57	+ 22 12 33	− 81·8
8	9 4 50·2	21·50	+ 22 4 19	− 82·8
9	9 6 59·0	21·44	+ 21 55 59	− 83·8
10	9 9 7·5	21·37	+ 21 47 33	− 84·7
11	9 11 15·5	21·31	+ 21 39 2	− 85·7
12	9 13 23·2	21·24	+ 21 30 25	− 86·6
13	9 15 30·4	21·18	+ 21 21 43	− 87·5
14	9 17 37·3	21·12	+ 21 12 55	− 88·4
15	9 19 43·8	21·05	+ 21 4 2	− 89·3
16	9 21 50·0	20·99	+ 20 55 3	− 90·2
17	9 23 55·7	20·93	+ 20 46 0	− 91·0
18	9 26 1·1	20·87	+ 20 36 51	− 91·9
19	9 28 6·1	20·80	+ 20 27 37	− 92·7
20	9 30 10·8	20·74	+ 20 18 18	− 93·6
21	9 32 15·1	20·68	+ 20 8 54	− 94·4
22	9 34 19·0	20·62	+ 19 59 25	− 95·2
23	9 36 22·5	20·56	+ 19 49 51	− 96·0
		Sonntag 22.		
0	9 38 25·7	20·50	+ 19 40 13	− 96·8
1	9 40 28·5	20·44	+ 19 30 29	− 97·6
2	9 42 31·0	20·38	+ 19 20 41	− 98·4
3	9 44 33·1	20·32	+ 19 10 49	− 99·1
4	9 46 34·9	20·27	+ 19 0 52	− 99·9
5	9 48 36·3	20·21	+ 18 50 50	− 100·6
6	9 50 37·4	20·15	+ 18 40 45	− 101·3
7	9 52 38·1	20·09	+ 18 30 34	− 102·0
8	9 54 38·5	20·04	+ 18 20 20	− 102·8
9	9 56 38·6	19·98	+ 18 10 1	− 103·5
10	9 58 38·3	19·93	+ 17 59 38	− 104·1
11	10 0 37·7	19·87	+ 17 49 11	− 104·8
12	10 2 36·8	19·82	+ 17 38 40	− 105·5
13	10 4 35·6	19·77	+ 17 28 6	− 106·1
14	10 6 34·0	19·71	+ 17 17 27	− 106·8
15	10 8 32·1	19·66	+ 17 6 44	− 107·4
16	10 10 30·0	19·61	+ 16 55 57	− 108·1
17	10 12 27·5	19·56	+ 16 45 7	− 108·7
18	10 14 24·7	19·51	+ 16 34 13	− 109·3
19	10 16 21·6	19·46	+ 16 23 16	− 109·9
20	10 18 18·2	19·41	+ 16 12 14	− 110·5
21	10 20 14·5	19·36	+ 16 1 10	− 111·1
22	10 22 10·5	19·31	+ 15 50 1	− 111·6
23	10 24 6·2	19·26	+ 15 38 50	− 112·2
24	10 26 1·6	19·22	+ 15 27 35	− 112·8

Mittlere Green. Zeit	Rectascension	Aenderung in 10ᵐ	Declination + Nord	Aenderung in 10ᵐ
		Montag 23.		
h	h m s	s	° ′ ″	″
0	10 26 1·6	19·22	+ 15 27 35	− 112·8
1	10 27 56·8	19·17	+ 15 16 17	− 113·3
2	10 29 51·7	19·12	+ 15 4 55	− 113·8
3	10 31 46·3	19·08	+ 14 53 31	− 114·4
4	10 33 40·6	19·03	+ 14 42 3	− 114·9
5	10 35 34·7	18·99	+ 14 30 32	− 115·4
6	10 37 28·5	18·95	+ 14 18 58	− 115·9
7	10 39 22·1	18·91	+ 14 7 21	− 116·4
8	10 41 15·4	18·86	+ 13 55 41	− 116·9
9	10 43 8·5	18·82	+ 13 43 58	− 117·4
10	10 45 1·3	18·78	+ 13 32 12	− 117·9
11	10 46 53·8	18·74	+ 13 20 23	− 118·3
12	10 48 46·2	18·70	+ 13 8 32	− 118·8
13	10 50 38·3	18·66	+ 12 56 38	− 119·2
14	10 52 30·1	18·63	+ 12 44 41	− 119·7
15	10 54 21·8	18·59	+ 12 32 42	− 120·1
16	10 56 13·2	18·55	+ 12 20 40	− 120·5
17	10 58 4·4	18·52	+ 12 8 36	− 120·9
18	10 59 55·4	18·48	+ 11 56 29	− 121·3
19	11 1 46·2	18·45	+ 11 44 20	− 121·7
20	11 3 36·8	18·41	+ 11 32 8	− 122·1
21	11 5 27·1	18·38	+ 11 19 54	− 122·5
22	11 7 17·3	18·35	+ 11 7 38	− 122·9
23	11 9 7·3	18·32	+ 10 55 19	− 123·3
		Dienstag 24.		
0	11 10 57·1	18·28	+ 10 42 58	− 123·6
1	11 12 46·7	18·25	+ 10 30 36	− 124·0
2	11 14 36·2	18·22	+ 10 18 11	− 124·3
3	11 16 25·4	18·20	+ 10 5 43	− 124·7
4	11 18 14·5	18·17	+ 9 53 14	− 125·0
5	11 20 3·4	18·14	+ 9 40 43	− 125·3
6	11 21 52·2	18·11	+ 9 28 10	− 125·7
7	11 23 40·8	18·09	+ 9 15 35	− 126·0
8	11 25 29·3	18·06	+ 9 2 58	− 126·3
9	11 27 17·6	18·04	+ 8 50 19	− 126·6
10	11 29 5·7	18·01	+ 8 37 39	− 126·9
11	11 30 53·7	17·99	+ 8 24 57	− 127·2
12	11 32 41·6	17·97	+ 8 12 13	− 127·5
13	11 34 29·3	17·95	+ 7 59 27	− 127·7
14	11 36 16·9	17·92	+ 7 46 40	− 128·0
15	11 38 4·4	17·90	+ 7 33 51	− 128·3
16	11 39 51·8	17·88	+ 7 21 1	− 128·5
17	11 41 39·0	17·86	+ 7 8 9	− 128·8
18	11 43 26·1	17·85	+ 6 55 16	− 129·0
19	11 45 13·2	17·83	+ 6 42 21	− 129·2
20	11 47 0·1	17·81	+ 6 29 25	− 129·5
21	11 48 46·9	17·79	+ 6 16 28	− 129·7
22	11 50 33·6	17·78	+ 6 3 29	− 129·9
23	11 52 20·3	17·76	+ 5 50 29	− 130·1
24	11 54 6·8	17·75	+ 5 37 28	− 130·3

Rectascension und Declination des Mondes.

Mittlere Green. Zeit	Rect-ascension	Aenderung in 10m	Declination + Nord − Süd	Aenderung in 10m	Mittlere Green. Zeit	Rect-ascension	Aenderung in 10m	Declination − Süd	Aenderung in 10m
	Mittwoch 25.					**Freitag 27.**			
h	h m s	s	° ′ ″	″	h	h m s	s	° ′ ″	″
0	11 54 6·8	17·75	+ 5 37 28	− 130·3	0	13 19 2·5	17·91	− 4 58 47	− 132·3
1	11 55 53·3	17·74	+ 5 24 25	− 130·5	1	13 20 50·0	17·93	− 5 12 0	− 132·1
2	11 57 39·7	17·72	+ 5 11 22	− 130·7	2	13 22 37·7	17·95	− 5 25 12	− 132·0
3	11 59 26·0	17·71	+ 4 58 17	− 130·8	3	13 24 25·4	17·97	− 5 38 24	− 131·9
4	12 1 12·2	17·70	+ 4 45 12	− 131·0	4	13 26 13·3	17·99	− 5 51 35	− 131·7
5	12 2 58·4	17·69	+ 4 32 5	− 131·2	5	13 28 1·3	18·01	− 6 4 44	− 131·6
6	12 4 44·5	17·68	+ 4 18 57	− 131·4	6	13 29 49·5	18·04	− 6 17 53	− 131·4
7	12 6 30·6	17·67	+ 4 5 49	− 131·5	7	13 31 37·8	18·06	− 6 31 1	− 131·2
8	12 8 16·6	17·66	+ 3 52 39	− 131·7	8	13 33 26·3	18·09	− 6 44 8	− 131·0
9	12 10 2·6	17·66	+ 3 39 29	− 131·8	9	13 35 14·9	18·11	− 6 57 14	− 130·9
10	12 11 48·5	17·65	+ 3 26 17	− 131·9	10	13 37 3·6	18·14	− 7 10 18	− 130·7
11	12 13 34·3	17·64	+ 3 13 5	− 132·1	11	13 38 52·6	18·17	− 7 23 21	− 130·4
12	12 15 20·2	17·64	+ 2 59 52	− 132·2	12	13 40 41·6	18·20	− 7 36 24	− 130·2
13	12 17 6·0	17·63	+ 2 46 39	− 132·3	13	13 42 30·9	18·22	− 7 49 24	− 130·0
14	12 18 51·8	17·63	+ 2 33 25	− 132·4	14	13 44 20·3	18·25	− 8 2 24	− 129·8
15	12 20 37·5	17·62	+ 2 20 10	− 132·5	15	13 46 10·0	18·28	− 8 15 22	− 129·6
16	12 22 23·3	17·62	+ 2 6 54	− 132·6	16	13 47 59·7	18·31	− 8 28 19	− 129·3
17	12 24 9·0	17·62	+ 1 53 38	− 132·7	17	13 49 49·7	18·34	− 8 41 14	− 129·1
18	12 25 54·7	17·62	+ 1 40 21	− 132·8	18	13 51 39·9	18·38	− 8 54 7	− 128·8
19	12 27 40·4	17·62	+ 1 27 4	− 132·9	19	13 53 30·2	18·41	− 9 6 59	− 128·5
20	12 29 26·1	17·62	+ 1 13 47	− 133·0	20	13 55 20·8	18·44	− 9 19 50	− 128·3
21	12 31 11·8	17·62	+ 1 0 29	− 133·0	21	13 57 11·5	18·48	− 9 32 38	− 128·0
22	12 32 57·6	17·62	+ 0 47 10	− 133·1	22	13 59 2·5	18·51	− 9 45 25	− 127·7
23	12 34 43·3	17·62	+ 0 33 52	− 133·1	23	14 0 53·7	18·55	− 9 58 10	− 127·4
	Donnerstag 26.					**Samstag 28.**			
0	12 36 29·0	17·63	+ 0 20 33	− 133·2	0	14 2 45·1	18·58	− 10 10 54	− 127·0
1	12 38 14·8	17·63	+ 0 7 14	− 133·2	1	14 4 36·7	18·62	− 10 23 35	− 126·7
2	12 40 0·6	17·63	− 0 6 6	− 133·2	2	14 6 28·5	18·65	− 10 36 14	− 126·4
3	12 41 46·4	17·64	− 0 19 25	− 133·3	3	14 8 20·5	18·69	− 10 48 52	− 126·1
4	12 43 32·2	17·64	− 0 32 45	− 133·3	4	14 10 12·8	18·73	− 11 1 27	− 125·7
5	12 45 18·1	17·65	− 0 46 5	− 133·3	5	14 12 5·3	18·77	− 11 14 0	− 125·4
6	12 47 4·1	17·66	− 0 59 25	− 133·3	6	14 13 58·0	18·81	− 11 26 32	− 125·0
7	12 48 50·0	17·67	− 1 12 45	− 133·3	7	14 15 51·0	18·85	− 11 39 0	− 124·6
8	12 50 36·1	17·67	− 1 26 5	− 133·3	8	14 17 44·2	18·89	− 11 51 27	− 124·2
9	12 52 22·1	17·68	− 1 39 24	− 133·3	9	14 19 37·6	18·93	− 12 3 51	− 123·8
10	12 54 8·3	17·69	− 1 52 44	− 133·3	10	14 21 31·3	18·97	− 12 16 13	− 123·4
11	12 55 54·5	17·70	− 2 6 4	− 133·2	11	14 23 25·3	19·01	− 12 28 32	− 123·0
12	12 57 40·7	17·72	− 2 19 23	− 133·2	12	14 25 19·5	19·06	− 12 40 49	− 122·6
13	12 59 27·1	17·73	− 2 32 42	− 133·2	13	14 27 14·0	19·10	− 12 53 4	− 122·2
14	13 1 13·5	17·74	− 2 46 1	− 133·1	14	14 29 8·7	19·14	− 13 5 15	− 121·7
15	13 2 59·9	17·75	− 2 59 20	− 133·1	15	14 31 3·7	19·19	− 13 17 24	− 121·3
16	13 4 46·5	17·77	− 3 12 38	− 133·0	16	14 32 59·0	19·23	− 13 29 31	− 120·8
17	13 6 33·2	17·78	− 3 25 56	− 132·9	17	14 34 54·5	19·28	− 13 41 34	− 120·3
18	13 8 19·9	17·80	− 3 39 14	− 132·9	18	14 36 50·3	19·33	− 13 53 35	− 119·8
19	13 10 6·8	17·81	− 3 52 31	− 132·8	19	14 38 46·4	19·37	− 14 5 32	− 119·3
20	13 11 53·7	17·83	− 4 5 47	− 132·7	20	14 40 42·8	19·42	− 14 17 27	− 118·8
21	13 13 40·7	17·85	− 4 19 3	− 132·6	21	14 42 39·5	19·47	− 14 29 18	− 118·3
22	13 15 27·9	17·87	− 4 32 18	− 132·5	22	14 44 36·4	19·52	− 14 41 7	− 117·8
23	13 17 15·2	17·89	− 4 45 33	− 132·4	23	14 46 33·7	19·57	− 14 52 52	− 117·3
24	13 19 2·5	17·91	− 4 58 47	− 132·3	24	14 48 31·2	19·62	− 15 4 34	− 116·7

Rectascension und Declination des Mondes.

Mittlere Green. Zeit	Rectascension	Aenderung in 10m	Declination — Süd	Aenderung in 10m	Mittlere Green. Zeit	Rectascension	Aenderung in 10m	Declination — Süd	Aenderung in 10m
	Sonntag 29.					Montag 30.			
h	h m s	s	° ′ ″	″	h	h m s	s	° ′ ″	″
0	14 48 31·2	19·62	— 15 4 34	— 116·7	0	15 37 8·0	20·93	— 19 26 19	— 100·3
1	14 50 29·1	19·67	— 15 16 13	— 116·2	1	15 39 13·8	20·99	— 19 36 18	— 99·4
2	14 52 27·2	19·72	— 15 27 48	— 115·6	2	15 41 19·9	21·05	— 19 46 12	— 98·6
3	14 54 25·7	19·77	— 15 39 20	— 115·0	3	15 43 26·4	21·11	— 19 56 1	— 97·7
4	14 56 24·4	19·82	— 15 50 49	— 114·4	4	15 45 33·2	21·17	— 20 5 45	— 96·9
5	14 58 23·5	19·87	— 16 2 14	— 113·8	5	15 47 40·4	21·23	— 20 15 24	— 96·0
6	15 0 22·9	19·92	— 16 13 35	— 113·2	6	15 49 48·0	21·29	— 20 24 57	— 95·1
7	15 2 22·6	19·98	— 16 24 52	— 112·6	7	15 51 55·9	21·35	— 20 34 25	— 94·2
8	15 4 22·6	20·03	— 16 36 6	— 112·0	8	15 54 4·1	21·41	— 20 43 48	— 93·3
9	15 6 22·9	20·08	— 16 47 16	— 111·3	9	15 56 12·8	21·47	— 20 53 5	— 92·4
10	15 8 23·6	20·14	— 16 58 22	— 110·7	10	15 58 21·8	21·53	— 21 2 16	— 91·4
11	15 10 24·6	20·19	— 17 9 24	— 110·0	11	16 0 31·1	21·59	— 21 11 22	— 90·5
12	15 12 25·9	20·25	— 17 20 22	— 109·3	12	16 2 40·8	21·65	— 21 20 22	— 89·5
13	15 14 27·5	20·30	— 17 31 16	— 108·6	13	16 4 50·9	21·71	— 21 29 16	— 88·5
14	15 16 29·5	20·36	— 17 42 6	— 107·9	14	16 7 1·3	21·77	— 21 38 4	— 87·5
15	15 18 31·8	20·41	— 17 52 52	— 107·2	15	16 9 12·1	21·83	— 21 46 46	— 86·5
16	15 20 34·5	20·47	— 18 3 33	— 106·5	16	16 11 23·3	21·89	— 21 55 22	— 85·5
17	15 22 37·5	20·53	— 18 14 10	— 105·8	17	16 13 34·8	21·95	— 22 3 52	— 84·5
18	15 24 40·8	20·58	— 18 24 42	— 105·0	18	16 15 46·7	22·01	— 22 12 16	— 83·4
19	15 26 44·5	20·64	— 18 35 10	— 104·3	19	16 17 58·9	22·07	— 22 20 33	— 82·4
20	15 28 48·5	20·70	— 18 45 33	— 103·5	20	16 20 11·5	22·13	— 22 28 44	— 81·3
21	15 30 52·8	20·76	— 18 55 52	— 102·7	21	16 22 24·5	22·19	— 22 36 49	— 80·2
22	15 32 57·6	20·81	— 19 6 6	— 101·9	22	16 24 37·8	22·25	— 22 44 47	— 79·1
23	15 35 2·6	20·87	— 19 16 15	— 101·1	23	16 26 51·5	22·31	— 22 52 38	— 78·0
24	15 37 8·0	20·93	— 19 26 19	— 100·3	24	16 29 5·5	22·37	— 23 0 23	— 76·9

PHASEN DES MONDES.

Mittlere Greenwicher Zeit.

	h m	
November 1.	6 32·6	● Neumond.
8.	20 46·4	☽ Erstes Viertel.
15.	12 16·2	○ Vollmond.
22.	20 25·8	☾ Letztes Viertel.
30.	23 45·0	● Neumond.
	h	
November 13.	14	☾ Perigaeum.
25.	9	☾ Apogaeum.

Venus.

Datum	Mittlerer Greenwicher Mittag. Rect-ascension	Stdl. Aend.	Declination — Süd	Stdl. Aend.	Im Meridian. Mittlere Gr. Zeit
	h m s	s	° ′ ″	s	h m
1	15 11 8·1	+12·53	—17 33 2	—56·0	0 29·2
2	15 16 9·4	+12·58	—17 55 11	—54·8	0 30·3
3	15 21 11·9	+12·63	—18 16 51	—53·6	0 31·4
4	15 26 15·7	+12·68	—18 38 2	—52·3	0 32·5
5	15 31 20·7	+12·74	—18 58 43	—51·1	0 33·7
6	15 36 26·9	+12·79	—19 18 53	—49·8	0 34·8
7	15 41 34·4	+12·84	—19 38 31	—48·4	0 36·0
8	15 46 43·1	+12·89	—19 57 37	—47·1	0 37·2
9	15 51 53·0	+12·94	—20 16 10	—45·7	0 38·4
10	15 57 4·2	+12·99	—20 34 9	—44·3	0 39·7
11	16 2 16·5	+13·04	—20 51 34	—42·8	0 40·9
12	16 7 29·9	+13·09	—21 8 23	—41·3	0 42·2
13	16 12 44·5	+13·13	—21 24 36	—39·8	0 43·5
14	16 18 0·3	+13·18	—21 40 12	—38·3	0 44·8
15	16 23 17·1	+13·23	—21 55 12	—36·7	0 46·2
16	16 28 35·0	+13·27	—22 9 33	—35·1	0 47·5
17	16 33 54·0	+13·31	—22 23 16	—33·5	0 48·9
18	16 39 14·0	+13·35	—22 36 19	—31·8	0 50·3
19	16 44 35·0	+13·39	—22 48 43	—30·2	0 51·7
20	16 49 56·9	+13·43	—23 0 27	—28·5	0 53·2
21	16 55 19·7	+13·47	—23 11 30	—26·8	0 54·6
22	17 0 43·3	+13·50	—23 21 51	—25·0	0 56·0
23	17 6 7·8	+13·54	—23 31 31	—23·3	0 57·5
24	17 11 33·0	+13·57	—23 40 29	—21·5	0 59·0
25	17 16 59·0	+13·60	—23 48 44	—19·7	1 0·5
26	17 22 25·6	+13·62	—23 56 16	—17·9	1 2·0
27	17 27 52·8	+13·65	—24 3 4	—16·1	1 3·5
28	17 33 20·5	+13·67	—24 9 9	—14·3	1 5·0
29	17 38 48·7	+13·68	—24 14 30	—12·4	1 6·5
30	17 44 17·3	+13·70	—24 19 6	—10·6	1 8·1
D. 1	17 49 46·3	+13·71	—24 22 58	— 8·7	1 9·6

Datum	Halbmesser	Horizontal-Parallaxe
	″	″
1	5·1	5·3
11	5·2	5·4
21	5·3	5·5
31	5·4	5·6

Mars.

Datum	Mittlerer Greenwicher Mittag. Rect-ascension	Stdl. Aend.	Declination — Süd	Stdl. Aend.	Im Meridian. Mittlere Gr. Zeit
	h m s	″	° ′ ″	″	h m
1	12 26 19·6	+5·82	—1 38 27	—38·0	21 42·9
2	12 28 39·2	+5·82	—1 53 37	—37·9	21 41·3
3	12 30 58·9	+5·82	—2 8 47	—37·9	21 39·7
4	12 33 18·7	+5·82	—2 23 55	—37·8	21 38·1
5	12 35 38·5	+5·83	—2 39 2	—37·8	21 36·5
6	12 37 58·3	+5·83	—2 54 8	—37·7	21 34·9
7	12 40 18·2	+5·83	—3 9 13	—37·7	21 33·3
8	12 42 38·2	+5·83	—3 24 16	—37·6	21 31·7
9	12 44 58·3	+5·84	—3 39 17	—37·5	21 30·1
10	12 47 18·4	+5·84	—3 54 17	—37·5	21 28·5
11	12 49 38·6	+5·85	—4 9 15	—37·4	21 26·9
12	12 51 58·9	+5·85	—4 24 11	—37·3	21 25·3
13	12 54 19·4	+5·85	—4 39 5	—37·2	21 23·7
14	12 56 39·9	+5·86	—4 53 57	—37·1	21 22·1
15	12 59 0·5	+5·86	—5 8 47	—37·0	21 20·5
16	13 1 21·2	+5·87	—5 23 35	—37·0	21 18·9
17	13 3 42·1	+5·87	—5 38 21	—36·9	21 17·3
18	13 6 3·1	+5·88	—5 53 5	—36·8	21 15·7
19	13 8 24·2	+5·88	—6 7 46	—36·7	21 14·1
20	13 10 45·5	+5·89	—6 22 25	—36·6	21 12·5
21	13 13 6·9	+5·90	—6 37 1	—36·4	21 10·9
22	13 15 28·5	+5·90	—6 51 34	—36·3	21 9·3
23	13 17 50·2	+5·91	—7 6 5	—36·2	21 7·8
24	13 20 12·1	+5·91	—7 20 33	—36·1	21 6·2
25	13 22 34·1	+5·92	—7 34 57	—36·0	21 4·6
26	13 24 56·3	+5·93	—7 49 19	—35·8	21 3·1
27	13 27 18·6	+5·94	—8 3 38	—35·7	21 1·5
28	13 29 41·2	+5·94	—8 17 53	—35·6	20 59·9
29	13 32 3·9	+5·95	—8 32 5	—35·4	20 58·3
30	13 34 26·7	+5·96	—8 46 13	—35·3	20 56·8
D. 1	13 36 49·8	+5·96	—9 0 18	—35·1	20 55·3

Datum	Halbmesser	Horizontal-Parallaxe
	″	″
1	2·1	3·7
11	2·1	3·8
21	2·2	3·9
31	2·3	4·0

Jupiter.

Datum	Mittlerer Greenwicher Mittag. Rectascension	Stdl. Aend.	Declination − Süd	Stdl. Aend.	Im Meridian. Mittlere Gr. Zeit
	h m s	s	° ′ ″	″	h m
1	22 41 16·4	−0·08	−9 47 57	+0·1	7 58·0
2	22 41 14·9	−0·05	−9 47 53	+0·3	7 54·0
3	22 41 14·2	−0·01	−9 47 44	+0·5	7 50·1
4	22 41 14·2	+0·02	−9 47 30	+0·7	7 46·2
5	22 41 15·0	+0·05	−9 47 11	+0·9	7 42·3
6	22 41 16·6	+0·08	−9 46 48	+1·1	7 38·4
7	22 41 19·0	+0·12	−9 46 20	+1·3	7 34·5
8	22 41 22·1	+0·15	−9 45 47	+1·5	7 30·6
9	22 41 26·1	+0·18	−9 45 9	+1·7	7 26·8
10	22 41 30·7	+0·21	−9 44 27	+1·9	7 22·9
11	22 41 36·2	+0·24	−9 43 40	+2·0	7 19·1
12	22 41 42·4	+0·28	−9 42 49	+2·2	7 15·2
13	22 41 49·4	+0·31	−9 41 53	+2·4	7 11·4
14	22 41 57·1	+0·34	−9 40 53	+2·6	7 7·6
15	22 42 5·6	+0·37	−9 39 48	+2·8	7 3·8
16	22 42 14·8	+0·40	−9 38 39	+3·0	7 0·1
17	22 42 24·7	+0·43	−9 37 25	+3·2	6 56·3
18	22 42 35·4	+0·46	−9 36 7	+3·4	6 52·6
19	22 42 46·9	+0·49	−9 34 44	+3·5	6 48·8
20	22 42 59·0	+0·52	−9 33 17	+3·7	6 45·1
21	22 43 11·9	+0·55	−9 31 46	+3·9	6 41·4
22	22 43 25·5	+0·58	−9 30 10	+4·1	6 37·7
23	22 43 39·8	+0·61	−9 28 30	+4·3	6 34·0
24	22 43 54·9	+0·64	−9 26 46	+4·4	6 30·3
25	22 44 10·6	+0·67	−9 24 57	+4·6	6 26·6
26	22 44 27·1	+0·70	−9 23 4	+4·8	6 23·0
27	22 44 44·2	+0·73	−9 21 7	+5·0	6 19·3
28	22 45 2·1	+0·76	−9 19 6	+5·1	6 15·7
29	22 45 20·6	+0·79	−9 17 1	+5·3	6 12·1
30	22 45 39·8	+0·82	−9 14 51	+5·5	6 8·5
D.1	22 45 59·7	+0·84	−9 12 37	+5·7	6 4·9

Datum	Halbmesser	Horizontal-Parallaxe
	″	″
1	21·5	2·0
11	20·7	1·9
21	20·0	1·9
31	19·4	1·8

Saturn.

Datum	Mittlerer Greenwicher Mittag. Rectascension	Stdl. Aend.	Declination + Nord	Stdl. Aend.	Im Meridian. Mittlere Gr. Zeit
	h m s	s	° ′ ″	″	h m
1	11 49 15·9	+0·96	+3 20 17	−5·7	21 4·2
2	11 49 38·8	+0·95	+3 18 0	−5·7	21 0·7
3	11 50 1·5	+0·94	+3 15 45	−5·6	20 57·1
4	11 50 23·9	+0·93	+3 13 31	−5·6	20 53·5
5	11 50 46·2	+0·92	+3 11 19	−5·5	20 50·0
6	11 51 8·2	+0·91	+3 9 8	−5·4	20 46·4
7	11 51 30·0	+0·90	+3 6 59	−5·4	20 42·8
8	11 51 51·6	+0·89	+3 4 52	−5·3	20 39·2
9	11 52 12·9	+0·88	+3 2 46	−5·2	20 35·7
10	11 52 34·0	+0·88	+3 0 42	−5·1	20 32·1
11	11 52 54·9	+0·87	+2 58 39	−5·1	20 28·5
12	11 53 15·6	+0·86	+2 56 38	−5·0	20 24·9
13	11 53 36·0	+0·84	+2 54 39	−4·9	20 21·3
14	11 53 56·1	+0·83	+2 52 42	−4·9	20 17·7
15	11 54 16·0	+0·82	+2 50 47	−4·8	20 14·1
16	11 54 35·6	+0·81	+2 48 53	−4·7	20 10·5
17	11 54 55·0	+0·80	+2 47 2	−4·6	20 6·9
18	11 55 14·1	+0·79	+2 45 12	−4·5	20 3·2
19	11 55 32·9	+0·78	+2 43 24	−4·5	19 59·6
20	11 55 51·4	+0·77	+2 41 38	−4·4	19 56·0
21	11 56 9·7	+0·76	+2 39 54	−4·3	19 52·4
22	11 56 27·7	+0·74	+2 38 12	−4·2	19 48·7
23	11 56 45·5	+0·73	+2 36 32	−4·1	19 45·1
24	11 57 2·9	+0·72	+2 34 53	−4·1	19 41·4
25	11 57 20·0	+0·71	+2 33 17	−4·0	19 37·8
26	11 57 36·9	+0·70	+2 31 43	−3·9	19 34·1
27	11 57 53·4	+0·68	+2 30 11	−3·8	19 30·4
28	11 58 9·6	+0·67	+2 28 42	−3·7	19 26·8
29	11 58 25·5	+0·66	+2 27 14	−3·6	19 23·1
30	11 58 41·1	+0·64	+2 25 49	−3·5	19 19·4
D.1	11 58 56·4	+0·63	+2 24 26	−3·4	19 15·7

Datum	Halbmesser	Horizontal-Parallaxe
	″	″
1	7·7	0·9
11	7·8	0·9
21	7·9	1·0
31	8·0	1·0

MOND-DISTANZEN.

Mittlere Greenwicher Zeit.

Datum	Namen u. Lage der Sterne	Mittag	Lg. pr.	III^h	Lg. pr.	VI^h	Lg. pr.	IX^h	Lg. pr.
		° ′ ″		° ′ ″		° ′ ″		° ′ ″	
3	Sonne W.	19 24 10	3232	20 49 41	3223	22 15 23	3214	23 41 16	3204
	α Aquilæ O.	64 23 37	3925	63 10 43	3948	61 58 12	3973	60 46 6	4001
	Fomalhaut O.	91 51 35	3025	90 21 53	3018	88 52 2	3010	87 22 2	3003
	Jupiter O.	97 55 35	2866	96 22 32	2859	94 49 20	2851	93 15 58	2843
	α Pegasi O.	110 37 2	3312	109 13 4	3295	107 48 47	3280	106 24 12	3265
4	Sonne W.	30 53 30	3157	32 20 31	3148	33 47 42	3138	35 15 6	3129
	α Aquilæ O.	54 53 28	4191	53 44 53	4241	52 37 6	4297	51 30 11	4358
	Fomalhaut O.	79 49 47	2969	78 18 56	2962	76 47 56	2957	75 16 49	2950
	Jupiter O.	85 26 38	2804	83 52 15	2796	82 17 42	2788	80 42 59	2780
	α Pegasi O.	99 17 12	3201	97 51 4	3189	96 24 42	3179	94 58 8	3168
5	Sonne W.	42 34 54	3080	44 3 28	3071	45 32 13	3060	47 1 11	3051
	α Aquilæ O.	46 11 27	4778	45 11 33	4892	44 13 12	5019	43 16 32	5158
	Fomalhaut O.	67 39 30	2926	66 7 44	2922	64 35 53	2919	63 3 58	2916
	Jupiter O.	72 46 38	2738	71 10 49	2729	69 34 48	2721	67 58 36	2712
	α Pegasi O.	87 42 20	3124	86 14 39	3116	84 46 49	3110	83 18 51	3103
6	Sonne W.	54 29 9	2998	55 59 24	2988	57 29 52	2977	59 0 34	2965
	Fomalhaut O.	55 23 37	2909	53 51 30	2910	52 19 24	2912	50 47 21	2916
	Jupiter O.	59 54 35	2667	58 17 11	2657	56 39 33	2648	55 1 43	2639
	α Pegasi O.	75 57 14	3078	74 28 38	3075	72 59 58	3073	71 31 15	3072
	α Arietis O.	118 6 48	2766	116 31 36	2754	114 56 8	2741	113 20 22	2728
7	Sonne W.	66 37 36	2908	68 9 45	2897	69 42 8	2885	71 14 46	2873
	Fomalhaut O.	43 8 48	2958	41 37 43	2973	40 6 57	2992	38 36 34	3015
	Jupiter O.	46 49 21	2591	45 10 13	2581	43 30 52	2572	41 51 18	2562
	α Pegasi O.	64 7 35	3078	62 38 58	3082	61 10 27	3089	59 42 4	3096
	α Arietis O.	105 17 20	2666	103 39 54	2653	102 2 11	2640	100 24 11	2629
8	Sonne W.	79 1 52	2811	80 36 5	2798	82 10 35	2786	83 45 21	2773
	Jupiter O.	33 30 13	2517	31 49 23	2508	30 8 21	2501	28 27 9	2494
	α Pegasi O.	52 23 17	3167	50 56 28	3190	49 30 7	3216	48 4 17	3247
	α Arietis O.	92 10 10	2569	90 30 33	2558	88 50 40	2546	87 10 31	2535
	Aldebaran O.	122 36 6	2517	120 55 16	2504	119 14 8	2492	117 32 43	2478
9	Sonne W.	91 43 25	2709	93 19 53	2696	94 56 38	2683	96 33 41	2670
	α Aquilæ W.	38 45 59	5724	39 34 10	5456	40 25 25	5214	41 19 36	4999
	α Arietis O.	78 45 48	2479	77 4 5	2469	75 22 8	2458	73 39 56	2448
	Aldebaran O.	109 1 3	2415	107 17 49	2402	105 34 17	2389	103 50 27	2377
10	Sonne W.	104 43 11	2607	106 21 56	2595	108 0 58	2583	109 40 16	2571
	α Aquilæ W.	46 28 48	4197	47 37 17	4077	48 47 41	3968	49 59 52	3869
	α Arietis O.	65 5 28	2403	63 21 57	2394	61 38 14	2387	59 54 21	2380
	Aldebaran O.	95 6 54	2317	93 21 20	2306	91 35 29	2294	89 49 21	2283
11	Sonne W.	118 0 51	2515	119 41 44	2504	121 22 52	2494	123 4 14	2484
	α Aquilæ W.	56 23 56	3480	57 44 43	3419	59 6 38	3363	60 29 37	3312
	α Arietis O.	51 12 53	2359	49 28 20	2358	47 43 45	2358	45 59 10	2361
	Aldebaran O.	80 54 43	2232	79 7 3	2222	77 19 8	2213	75 31 0	2204
	Pollux O.	125 2 31	2208	123 14 15	2198	121 25 44	2188	119 36 58	2178

MOND-DISTANZEN.

Mittlere Greenwicher Zeit.

Datum	Namen u. Lage der Sterne		Mitternacht	Lg. pr.	XV^h	Lg. pr.	XVIII^h	Lg. pr.	XXI^h	Lg. pr.
			° ′ ″		° ′ ″		° ′ ″		° ′ ″	
3	Sonne	W.	25 7 20	3194	26 33 36	3185	28 0 3	3176	29 26 41	3167
	α Aquilæ	O.	59 34 27	4032	58 23 19	4066	57 12 44	4104	56 2 46	4145
	Fomalhaut	O.	85 51 53	2995	84 21 34	2989	82 51 7	2981	81 20 31	2975
	Jupiter	O.	91 42 26	2835	90 8 44	2828	88 34 52	2820	87 0 50	2812
	α Pegasi	O.	104 59 20	3251	103 34 11	3237	102 8 46	3225	100 43 7	3212
4	Sonne	W.	36 42 40	3119	38 10 26	3110	39 38 24	3101	41 6 33	3091
	α Aquilæ	O.	50 24 12	4427	49 19 15	4501	48 15 24	4585	47 12 46	4677
	Fomalhaut	O.	73 45 34	2945	72 14 12	2940	70 42 44	2935	69 11 10	2931
	Jupiter	O.	79 8 5	2772	77 33 0	2763	75 57 44	2755	74 22 17	2746
	α Pegasi	O.	93 31 21	3158	92 4 22	3149	90 37 12	3140	89 9 51	3132
5	Sonne	W.	48 30 21	3041	49 59 43	3030	51 29 19	3020	52 59 7	3009
	α Aquilæ	O.	42 21 39	5317	41 28 44	5491	40 37 54	5689	39 49 20	5911
	Fomalhaut	O.	61 31 59	2912	59 59 56	2911	58 27 51	2911	56 55 45	2909
	Jupiter	O.	66 22 12	2703	64 45 36	2694	63 8 48	2685	61 31 48	2675
	α Pegasi	O.	81 50 45	3097	80 22 32	3091	78 54 11	3087	77 25 45	3082
6	Sonne	W.	60 31 30	2954	62 2 40	2943	63 34 4	2931	65 5 43	2920
	Fomalhaut	O.	49 15 22	2920	47 43 29	2927	46 11 44	2935	44 40 10	2945
	Jupiter	O.	53 23 41	2629	51 45 25	2620	50 6 57	2610	48 28 15	2601
	α Pegasi	O.	70 2 31	3070	68 33 45	3071	67 5 0	3072	65 36 16	3074
	α Arietis	O.	111 44 19	2715	110 7 59	2703	108 31 23	2690	106 54 30	2678
7	Sonne	W.	72 47 39	2861	74 20 48	2848	75 54 14	2836	77 27 55	2824
	Fomalhaut	O.	37 6 40	3043	35 37 20	3076	34 8 41	3117	32 40 52	3166
	Jupiter	O.	40 11 31	2552	38 31 30	2543	36 51 17	2534	35 10 51	2525
	α Pegasi	O.	58 13 50	3106	56 45 48	3118	55 18 0	3131	53 50 28	3148
	α Arietis	O.	98 45 56	2617	97 7 24	2604	95 28 35	2593	93 49 31	2581
8	Sonne	W.	85 20 24	2760	86 55 44	2747	88 31 21	2735	90 7 14	2722
	Jupiter	O.	26 45 47	2488	25 4 17	2483	23 22 40	2480	21 40 59	2479
	α Pegasi	O.	46 39 3	3282	45 14 30	3322	43 50 44	3369	42 27 52	3423
	α Arietis	O.	85 30 6	2523	83 49 25	2512	82 8 28	2501	80 27 16	2489
	Aldebaran	O.	115 50 59	2465	114 8 57	2453	112 26 37	2440	110 43 59	2427
9	Sonne	W.	98 11 1	2658	99 48 37	2645	101 26 31	2632	103 4 42	2619
	α Aquilæ	W.	42 16 32	4805	43 16 4	4630	44 18 3	4471	45 22 21	4328
	α Arietis	O.	71 57 29	2438	70 14 49	2429	68 31 55	2419	66 48 48	2410
	Aldebaran	O.	102 6 19	2365	100 21 54	2353	98 37 12	2340	96 52 11	2329
10	Sonne	W.	111 19 51	2559	112 59 42	2547	114 39 50	2536	116 20 13	2525
	α Aquilæ	W.	51 13 43	3777	52 29 9	3693	53 46 4	3616	55 4 21	3545
	α Arietis	O.	58 10 18	2375	56 26 7	2369	54 41 48	2365	52 57 23	2362
	Aldebaran	O.	88 2 57	2272	86 16 17	2262	84 29 21	2251	82 42 10	2241
11	Sonne	W.	124 45 50	2475	126 27 39	2465	128 9 42	2457	129 51 56	2448
	α Aquilæ	W.	61 53 35	3265	63 18 28	3221	64 44 12	3181	66 10 44	3144
	α Arietis	O.	44 14 39	2364	42 30 13	2370	40 45 55	2378	39 1 49	2390
	Aldebaran	O.	73 42 39	2196	71 54 5	2188	70 5 20	2181	68 16 24	2174
	Pollux	O.	117 47 57	2170	115 58 44	2161	114 9 17	2152	112 19 37	2145

MOND-DISTANZEN.

Mittlere Greenwicher Zeit.

Datum	Namen u. Lage der Sterne		Mittag	Lg. pr.	III^h	Lg. pr.	VI^h	Lg. pr.	IX^h	Lg. pr.
			° ′ ″		° ′ ″		° ′ ″		° ′ ″	
12	α Aquilæ	W.	67 38 0	3111	69 5 56	3080	70 34 30	3052	72 3 39	3027
	Fomalhaut	W.	32 58 40	2735	34 34 33	2674	36 11 48	2622	37 50 13	2576
	Jupiter	W.	23 26 37	2200	25 15 4	2186	27 3 53	2174	28 53 0	2163
	α Arietis	O.	37 18 0	2404	35 34 31	2422	33 51 28	2446	32 8 59	2475
	Aldebaran	O.	66 27 17	2168	64 38 1	2161	62 48 35	2157	60 59 2	2152
	Pollux	O.	110 29 46	2137	108 39 43	2130	106 49 30	2124	104 59 7	2118
13	α Aquilæ	W.	79 36 11	2936	81 7 44	2925	82 39 31	2916	84 11 30	2909
	Fomalhaut	W.	46 15 52	2417	47 59 2	2396	49 42 43	2378	51 26 50	2361
	Jupiter	W.	38 2 4	2126	39 52 23	2122	41 42 49	2118	43 33 21	2115
	Aldebaran	O.	51 49 51	2139	49 59 52	2139	48 9 52	2139	46 19 53	2141
	Pollux	O.	95 45 9	2095	93 54 2	2092	92 2 51	2090	90 11 37	2088
14	α Aquilæ	W.	91 52 49	2904	93 25 3	2909	94 57 11	2916	96 29 9	2926
	Fomalhaut	W.	60 12 24	2309	61 58 11	2303	63 44 6	2299	65 30 7	2296
	Jupiter	W.	52 46 44	2112	54 37 25	2113	56 28 4	2115	58 18 40	2118
	α Pegasi	W.	44 8 2	2976	45 38 45	2923	47 10 35	2876	48 43 25	2836
	Aldebaran	O.	37 11 13	2169	35 21 58	2178	33 32 57	2190	31 44 14	2204
	Pollux	O.	80 55 4	2089	79 3 48	2092	77 12 36	2094	75 21 27	2098
	Regulus	O.	117 10 40	2105	115 19 48	2107	113 28 59	2108	111 38 12	2111
15	Fomalhaut	W.	74 20 38	2300	76 6 37	2305	77 52 29	2310	79 38 14	2316
	Jupiter	W.	67 30 12	2143	69 20 6	2150	71 9 49	2158	72 59 20	2166
	α Pegasi	W.	56 38 30	2703	58 15 6	2687	59 52 3	2675	61 29 16	2664
	Pollux	O.	66 7 23	2124	64 17 0	2131	62 26 48	2139	60 36 49	2147
	Regulus	O.	102 25 46	2136	100 35 41	2143	98 45 47	2150	96 56 4	2159
16	Fomalhaut	W.	88 24 14	2362	90 8 44	2373	91 52 57	2386	93 36 52	2399
	Jupiter	W.	82 3 33	2216	83 51 36	2228	85 39 22	2240	87 26 50	2253
	α Pegasi	W.	69 37 49	2646	71 15 41	2649	72 53 30	2652	74 31 14	2657
	α Arietis	W.	26 0 42	2687	27 37 40	2642	29 15 38	2607	30 54 23	2582
	Pollux	O.	51 30 21	2199	49 41 52	2210	47 53 40	2223	46 5 47	2237
	Regulus	O.	87 50 55	2208	86 2 39	2220	84 14 42	2233	82 27 3	2245
17	Fomalhaut	W.	102 11 19	2477	103 53 4	2495	105 34 24	2514	107 15 18	2534
	Jupiter	W.	96 19 10	2324	98 4 35	2340	99 49 36	2355	101 34 15	2371
	α Pegasi	W.	82 37 32	2703	84 14 8	2716	85 50 27	2730	87 26 27	2744
	α Arietis	W.	39 14 30	2527	40 55 5	2527	42 35 40	2529	44 16 13	2533
	Pollux	O.	37 11 30	2310	35 25 45	2326	33 40 23	2342	31 55 25	2359
	Regulus	O.	73 33 45	2317	71 48 10	2332	70 2 57	2348	68 18 7	2365
	Saturn	O.	102 53 49	2330	101 8 33	2345	99 23 39	2361	97 39 8	2377
18	α Pegasi	W.	95 21 12	2832	96 54 58	2852	98 28 18	2873	100 1 11	2895
	α Arietis	W.	52 36 55	2573	54 16 27	2585	55 55 43	2596	57 34 43	2609
	Aldebaran	W.	22 0 9	2626	23 38 28	2618	25 16 58	2615	26 55 32	2616
	Regulus	O.	59 40 0	2450	57 57 37	2468	56 15 39	2487	54 34 7	2505
	Saturn	O.	89 2 22	2460	87 20 13	2477	85 38 28	2494	83 57 7	2512
	Mars	O.	108 43 3	2638	107 5 0	2656	105 27 21	2675	103 50 7	2692
19	α Pegasi	W.	107 38 18	3017	109 8 10	3043	110 37 29	3071	112 6 14	3100
	α Arietis	W.	65 45 12	2680	67 22 19	2694	68 59 7	2710	70 35 34	2725
	Aldebaran	W.	35 6 56	2654	36 44 38	2665	38 22 5	2678	39 59 15	2690

MOND-DISTANZEN.

Mittlere Greenwicher Zeit.

Datum	Namen u. Lage der Sterne	Mitter-nacht	Lg. pr.	XV^h	Lg. pr.	XVIII^h	Lg. pr.	XXI^h	Lg. pr.
		° ′ ″		° ′ ″		° ′ ″		° ′ ″	
12	α Aquilæ W.	73 33 18	3004	75 3 26	2984	76 33 59	2965	78 4 55	2950
	Fomalhaut W.	39 29 41	2535	41 10 5	2499	42 51 19	2469	44 33 16	2441
	Jupiter W.	30 42 24	2154	32 32 1	2145	34 21 52	2138	36 11 53	2132
	α Arietis O.	30 27 11	2512	28 46 14	2558	27 6 21	2614	25 27 45	2685
	Aldebaran O.	59 9 22	2148	57 19 36	2144	55 29 44	2142	53 39 49	2140
	Pollux O.	103 8 35	2112	101 17 54	2107	99 27 6	2102	97 36 10	2099
13	α Aquilæ W.	85 43 38	2903	87 15 53	2901	88 48 11	2899	90 20 31	2901
	Fomalhaut W.	53 11 21	2346	54 56 13	2335	56 41 22	2324	58 26 47	2315
	Jupiter W.	45 23 57	2113	47 14 37	2112	49 5 18	2111	50 56 1	2111
	Aldebaran O.	44 29 57	2144	42 40 5	2148	40 50 19	2153	39 0 41	2160
	Pollux O.	88 20 20	2087	86 29 1	2086	84 37 41	2087	82 46 22	2088
14	α Aquilæ W.	98 0 55	2937	99 32 27	2951	101 3 41	2967	102 34 35	2986
	Fomalhaut W.	67 16 13	2295	69 2 20	2294	70 48 28	2296	72 34 34	2297
	Jupiter W.	60 9 12	2122	61 59 37	2126	63 49 57	2131	65 40 9	2137
	α Pegasi W.	50 17 6	2801	51 51 32	2770	53 26 39	2744	55 2 20	2722
	Aldebaran O.	29 55 52	2222	28 7 57	2242	26 20 32	2266	24 33 43	2296
	Pollux O.	73 30 24	2101	71 39 27	2106	69 48 37	2111	67 57 55	2118
	Regulus O.	109 47 30	2115	107 56 54	2118	106 6 23	2124	104 16 1	2129
15	Fomalhaut W.	81 23 50	2324	83 9 15	2332	84 54 28	2341	86 39 28	2350
	Jupiter W.	74 48 39	2174	76 37 45	2184	78 26 36	2194	80 15 13	2205
	α Pegasi W.	63 6 44	2657	64 44 22	2652	66 22 7	2648	67 59 57	2646
	Pollux O.	58 47 2	2157	56 57 29	2166	55 8 10	2176	53 19 7	2188
	Regulus O.	95 6 34	2167	93 17 17	2176	91 28 14	2186	89 39 26	2198
16	Fomalhaut W.	95 20 28	2413	97 3 44	2429	98 46 38	2444	100 29 10	2460
	Jupiter W.	89 13 58	2266	91 0 47	2280	92 47 16	2294	94 33 24	2309
	α Pegasi W.	76 8 51	2664	77 46 19	2672	79 23 36	2681	81 0 41	2692
	α Arietis W.	32 33 43	2561	34 13 31	2547	35 53 39	2538	37 34 0	2531
	Pollux O.	44 18 14	2250	42 31 1	2264	40 44 9	2279	38 57 39	2294
	Regulus O.	80 39 43	2258	78 52 52	2272	77 6 2	2287	75 19 43	2301
17	Fomalhaut W.	108 55 44	2553	110 35 43	2574	112 15 13	2596	113 54 13	2618
	Jupiter W.	103 18 31	2388	105 2 23	2405	106 45 50	2422	108 28 54	2439
	α Pegasi W.	89 2 8	2760	90 37 28	2777	92 12 26	2795	93 47 1	2813
	α Arietis W.	45 56 40	2538	47 37 0	2545	49 17 10	2553	50 57 9	2563
	Pollux O.	30 10 52	2377	28 26 44	2396	26 43 3	2414	24 59 48	2433
	Regulus O.	66 33 41	2381	64 49 39	2398	63 6 1	2415	61 22 48	2433
	Saturn O.	95 55 0	2393	94 11 15	2410	92 27 54	2426	90 44 56	2443
18	α Pegasi W.	101 33 36	2918	103 5 32	2942	104 36 58	2965	106 7 54	2991
	α Arietis W.	59 13 26	2622	60 51 51	2636	62 29 57	2650	64 7 44	2664
	Aldebaran W.	28 34 5	2621	30 12 32	2626	31 50 51	2634	33 29 0	2643
	Regulus O.	52 53 1	2524	51 12 21	2543	49 32 8	2561	47 52 20	2581
	Saturn O.	82 16 11	2530	80 35 40	2548	78 55 33	2566	77 15 51	2583
	Mars O.	102 13 17	2711	100 36 52	2730	99 0 52	2748	97 25 16	2766
19	α Pegasi W.	113 34 24	3129	115 1 58	3160	116 28 55	3191	117 55 15	3224
	α Arietis W.	72 11 40	2741	73 47 26	2757	75 22 50	2772	76 57 54	2788
	Aldebaran W.	41 36 8	2704	43 12 43	2717	44 49 0	2732	46 24 58	2745

MOND-DISTANZEN.

Mittlere Greenwicher Zeit.

Datum	Namen u. Lage der Sterne		Mittag	Lg. pr.	III^h	Lg. pr.	VI^h	Lg. pr.	IX^h	Lg. pr.
			° ′ ″		° ′ ″		° ′ ″		° ′ ″	
19	Regulus	O.	46 12 59	2601	44 34 5	2620	42 55 37	2640	41 17 36	2660
	Saturn	O.	75 36 33	2601	73 57 40	2619	72 19 11	2637	70 41 6	2655
	Mars	O.	95 50 4	2785	94 15 17	2804	92 40 54	2822	91 6 55	2841
	Sonne	O.	134 35 6	2911	133 3 1	2931	131 31 22	2950	130 0 6	2969
20	α Arietis	W.	78 32 38	2804	80 7 1	2820	81 41 3	2835	83 14 45	2851
	Aldebaran	W.	48 0 38	2760	49 35 59	2774	51 11 1	2788	52 45 45	2803
	Regulus	O.	33 14 19	2763	31 39 3	2785	30 4 15	2807	28 29 56	2831
	Saturn	O.	62 36 37	2742	61 0 53	2758	59 25 30	2775	57 50 30	2792
	Mars	O.	83 22 55	2931	81 51 16	2949	80 19 59	2965	78 49 3	2983
	Spica	O.	87 12 6	2725	85 36 0	2742	84 0 16	2759	82 24 54	2775
	Sonne	O.	122 29 44	3063	121 0 49	3080	119 32 15	3099	118 4 4	3116
21	α Arietis	W.	90 58 17	2927	92 30 2	2942	94 1 28	2956	95 32 36	2970
	Aldebaran	W.	60 34 45	2872	62 7 40	2886	63 40 17	2898	65 12 38	2912
	Saturn	O.	50 0 42	2869	48 27 44	2884	46 55 5	2899	45 22 45	2913
	Mars	O.	71 19 38	3065	69 50 45	3079	68 22 10	3094	66 53 53	3108
	Spica	O.	74 33 19	2852	72 59 59	2868	71 26 59	2882	69 54 17	2896
	Sonne	O.	110 48 19	3200	109 22 10	3215	107 56 19	3231	106 30 46	3246
22	Aldebaran	W.	72 50 25	2970	74 21 15	2981	75 51 51	2992	77 22 14	3001
	Pollux	W.	28 35 6	2954	30 6 16	2964	31 37 14	2974	33 7 59	2983
	Saturn	O.	37 45 24	2978	36 14 44	2990	34 44 19	3002	33 14 9	3014
	Mars	O.	59 36 41	3174	58 10 1	3187	56 43 36	3198	55 17 24	3209
	Spica	O.	62 15 7	2961	60 44 5	2973	59 13 18	2985	57 42 46	2995
	Sonne	O.	99 27 15	3313	98 3 19	3326	96 39 38	3338	95 16 10	3349
23	Aldebaran	W.	84 51 14	3045	86 20 31	3053	87 49 38	3060	89 18 37	3066
	Pollux	W.	40 38 59	3025	42 8 41	3031	43 38 15	3039	45 7 40	3045
	Mars	O.	48 9 30	3257	46 44 28	3265	45 19 36	3272	43 54 52	3280
	Spica	O.	50 13 22	3045	48 44 5	3054	47 14 59	3062	45 46 3	3071
	Sonne	O.	88 21 54	3399	86 59 36	3406	85 37 26	3414	84 15 25	3422
24	Aldebaran	W.	96 41 42	3092	98 10 1	3096	99 38 15	3100	101 6 25	3102
	Pollux	W.	52 33 2	3069	54 1 50	3073	55 30 33	3075	56 59 13	3078
	Mars	O.	36 53 8	3308	35 29 6	3313	34 5 9	3317	32 41 17	3319
	Spica	O.	38 23 50	3108	36 55 50	3114	35 27 58	3121	34 0 14	3128
	Sonne	O.	77 27 13	3449	76 5 52	3454	74 44 36	3457	73 23 24	3460
25	Aldebaran	W.	108 26 32	3111	109 54 28	3112	111 22 23	3112	112 50 18	3111
	Pollux	W.	64 21 57	3083	65 50 27	3083	67 18 57	3082	68 47 28	3082
	Regulus	W.	28 21 4	3145	29 48 19	3140	31 15 40	3134	32 43 8	3129
	Sonne	O.	66 38 1	3467	65 17 0	3467	63 55 59	3467	62 34 58	3465
26	Pollux	W.	76 10 30	3070	77 39 16	3067	79 8 6	3063	80 37 1	3059
	Regulus	W.	40 2 4	3103	41 30 10	3097	42 58 23	3092	44 26 42	3086
	Sonne	O.	55 49 24	3454	54 28 8	3450	53 6 48	3446	51 45 24	3441
27	Pollux	W.	88 3 1	3033	89 32 33	3026	91 2 13	3021	92 32 0	3014
	Regulus	W.	51 50 12	3054	53 19 18	3047	54 48 33	3039	56 17 57	3032
	Sonne	O.	44 56 58	3414	43 34 57	3408	42 12 49	3400	40 50 33	3393
28	Pollux	W.	100 3 9	2977	101 33 51	2968	103 4 44	2961	104 35 46	2952
	Regulus	W.	63 47 20	2992	65 17 43	2983	66 48 17	2974	68 19 2	2966
	Sonne	O.	33 57 4	3354	32 33 55	3345	31 10 36	3336	29 47 6	3328

MOND-DISTANZEN.

Mittlere Greenwicher Zeit.

Datum	Namen u. Lage der Sterne		Mitternacht	Lg. pr.	XV^h	Lg. pr.	XVIII^h	Lg. pr.	XXI^h	Lg. pr.
			° ′ ″		° ′ ″		° ′ ″		° ′ ″	
19	Regulus	O.	39 40 2	2680	38 2 55	2700	36 26 15	2721	34 50 3	2742
	Saturn	O.	69 3 25	2672	67 26 8	2690	65 49 15	2707	64 12 45	2724
	Mars	O.	89 33 20	2859	88 0 9	2877	86 27 21	2896	84 54 57	2913
	Sonne	O.	128 29 15	2988	126 58 47	3007	125 28 43	3026	123 59 2	3044
20	α Arietis	W.	84 48 7	2867	86 21 8	2882	87 53 50	2897	89 26 13	2912
	Aldebaran	W.	54 20 9	2817	55 54 15	2831	57 28 3	2845	59 1 33	2859
	Regulus	O.	26 56 8	2855	25 22 51	2880	23 50 7	2908	22 17 58	2938
	Saturn	O.	56 15 51	2808	54 41 33	2824	53 7 36	2839	51 33 59	2855
	Mars	O.	77 18 29	3000	75 48 16	3017	74 18 24	3032	72 48 51	3048
	Spica	O.	80 49 54	2791	79 15 14	2807	77 40 55	2823	76 6 57	2838
	Sonne	O.	116 36 14	3133	115 8 45	3150	113 41 36	3168	112 14 48	3183
21	α Arietis	W.	97 3 26	2984	98 33 59	2997	100 4 15	3011	101 34 14	3024
	Aldebaran	W.	66 44 42	2924	68 16 31	2936	69 48 4	2948	71 19 22	2960
	Saturn	O.	43 50 43	2927	42 18 58	2940	40 47 30	2954	39 16 19	2966
	Mars	O.	65 25 53	3123	63 58 11	3136	62 30 45	3149	61 3 35	3163
	Spica	O.	68 21 53	2910	66 49 47	2923	65 17 57	2936	63 46 24	2949
	Sonne	O.	105 5 31	3260	103 40 33	3274	102 15 51	3288	100 51 25	3301
22	Aldebaran	W.	78 52 25	3011	80 22 24	3021	81 52 11	3029	83 21 48	3038
	Pollux	W.	34 38 33	2993	36 8 55	3001	37 39 7	3009	39 9 8	3018
	Saturn	O.	31 44 13	3025	30 14 31	3035	28 45 2	3046	27 15 46	3056
	Mars	O.	53 51 25	3220	52 25 39	3230	51 0 5	3239	49 34 42	3248
	Spica	O.	56 12 27	3006	54 42 22	3017	53 12 30	3026	51 42 50	3036
	Sonne	O.	93 52 55	3360	92 29 53	3370	91 7 2	3380	89 44 23	3389
23	Aldebaran	W.	90 47 28	3073	92 16 11	3078	93 44 48	3083	95 13 18	3088
	Pollux	W.	46 36 57	3050	48 6 8	3056	49 35 12	3061	51 4 9	3065
	Mars	O.	42 30 17	3286	41 5 49	3293	39 41 29	3299	38 17 16	3303
	Spica	O.	44 17 18	3078	42 48 42	3087	41 20 16	3094	39 51 59	3101
	Sonne	O.	82 53 33	3428	81 31 48	3434	80 10 10	3440	78 48 39	3445
24	Aldebaran	W.	102 34 32	3105	104 2 35	3107	105 30 36	3109	106 58 35	3110
	Pollux	W.	58 27 50	3080	59 56 24	3082	61 24 56	3082	62 53 27	3083
	Mars	O.	31 17 28	3323	29 53 43	3325	28 30 1	3328	27 6 22	3329
	Spica	O.	32 32 38	3135	31 5 11	3142	29 37 52	3150	28 10 43	3157
	Sonne	O.	72 2 15	3462	70 41 8	3464	69 20 4	3466	67 59 2	3467
25	Aldebaran	W.	114 18 14	3111	115 46 10	3110	117 14 7	3109	118 42 6	3109
	Pollux	W.	70 16 0	3081	71 44 33	3078	73 13 9	3076	74 41 48	3073
	Regulus	W.	34 10 43	3124	35 38 24	3119	37 6 11	3114	38 34 4	3108
	Sonne	O.	61 13 55	3464	59 52 51	3463	58 31 45	3460	57 10 36	3457
26	Pollux	W.	82 6 1	3054	83 35 7	3050	85 4 18	3044	86 33 36	3039
	Regulus	W.	45 55 9	3080	47 23 43	3073	48 52 25	3068	50 21 14	3060
	Sonne	O.	50 23 54	3437	49 2 19	3432	47 40 39	3426	46 18 52	3420
27	Pollux	W.	94 1 56	3006	95 32 1	3000	97 2 14	2992	98 32 37	2985
	Regulus	W.	57 47 30	3024	59 17 13	3017	60 47 5	3008	62 17 8	3001
	Sonne	O.	39 28 9	3386	38 5 36	3379	36 42 55	3370	35 20 4	3362
28	Pollux	W.	106 6 59	2943	107 38 23	2935	109 9 58	2925	110 41 45	2916
	Regulus	W.	69 49 57	2957	71 21 4	2947	72 52 23	2939	74 23 53	2929
	Sonne	O.	28 23 27	3319	26 59 37	3309	25 35 36	3300	24 11 25	3290

Tag im Jahre	Wochentag und Datum		Mittlerer Greenwicher Mittag. Sonne. Rectascension	Stdl. Aend.	Declination — Süd	Stündl. Aenderung	Halbmesser	Zeitgleichung: — Von der wahren Zeit zu subtrah. + Zur wahren Zeit zu addiren	Stündl. Aenderung	Declination der Sonne im wahren Greenwicher Mittage
			h m s	s	° ′ ″	″	′ ″	m s	s	° ′ ″
335	Dienst.	1	16 29 21·6	10·80	—21 49 13	—23·3	16 16	—10 52·0	+0·94	—21 49 9
336	Mittw.	2	16 33 41·1	10·83	—21 58 20	—22·3	16 16	—10 29·0	+0·97	—21 58 16
337	Donner.	3	16 38 1·2	10·85	—22 7 3	—21·2	16 16	—10 5·4	+0·99	—22 6 59
338	Freitag	4	16 42 22·0	10·88	—22 15 19	—20·2	16 16	— 9 41·3	+1·02	—22 15 16
339	Samstag	5	16 46 43·3	10·90	—22 23 10	—19·1	16 16	— 9 16·5	+1·04	—22 23 7
340	Sonntag	6	16 51 5·1	10·92	—22 30 34	—18·0	16 16	— 8 51·3	+1·06	—22 30 32
341	Montag	7	16 55 27·4	10·94	—22 37 32	—16·9	16 17	— 8 25·5	+1·08	—22 37 30
342	Dienst.	8	16 59 50·2	10·96	—22 44 3	—15·7	16 17	— 7 59·3	+1·10	—22 44 1
343	Mittw.	9	17 4 13·4	10·98	—22 50 8	—14·6	16 17	— 7 32·6	+1·12	—22 50 6
344	Donner.	10	17 8 37·1	10·99	—22 55 45	—13·5	16 17	— 7 5·5	+1·14	—22 55 43
345	Freitag	11	17 13 1·2	11·01	—23 0 55	—12·4	16 17	— 6 38·0	+1·15	—23 0 54
346	Samstag	12	17 17 25·6	11·02	—23 5 38	—11·2	16 17	— 6 10·1	+1·17	—23 5 37
347	Sonntag	13	17 21 50·3	11·04	—23 9 53	—10·1	16 17	— 5 41·9	+1·18	—23 9 52
348	Montag	14	17 26 15·4	11·05	—23 13 40	— 8·9	16 17	— 5 13·4	+1·19	—23 13 40
349	Dienst.	15	17 30 40·7	11·06	—23 17 0	— 7·7	16 17	— 4 44·6	+1·20	—23 17 0
350	Mittw.	16	17 35 6·3	11·07	—23 19 52	— 6·6	16 18	— 4 15·6	+1·21	—23 19 52
351	Donner.	17	17 39 32·1	11·08	—23 22 16	— 5·4	16 18	— 3 46·3	+1·22	—23 22 16
352	Freitag	18	17 43 58·2	11·09	—23 24 12	— 4·2	16 18	— 3 16·9	+1·23	—23 24 12
353	Samstag	19	17 48 24·4	11·09	—23 25 40	— 3·1	16 18	— 2 47·3	+1·24	—23 25 40
354	Sonntag	20	17 52 50·7	11·10	—23 26 40	— 1·9	16 18	— 2 17·5	+1·24	—23 26 40
355	Montag	21	17 57 17·1	11·10	—23 27 11	— 0·7	16 18	— 1 47·6	+1·25	—23 27 11
356	Dienst.	22	18 1 43·6	11·11	—23 27 14	+ 0·5	16 18	— 1 17·7	+1·25	—23 27 14
357	Mittw.	23	18 6 10·1	11·11	—23 26 49	+ 1·6	16 18	— 0 47·7	+1·25	—23 26 49
358	Donner.	24	18 10 36·6	11·11	—23 25 56	+ 2·8	16 18	— 0 17·8	+1·25	—23 25 56
359	Freitag	25	18 15 3·1	11·10	—23 24 34	+ 4·0	16 18	+ 0 12·2	+1·25	—23 24 34
360	Samstag	26	18 19 29·5	11·10	—23 22 44	+ 5·2	16 18	+ 0 42·0	+1·24	—23 22 44
361	Sonntag	27	18 23 55·9	11·09	—23 20 26	+ 6·3	16 18	+ 1 11·8	+1·24	—23 20 26
362	Montag	28	18 28 22·1	11·09	—23 17 40	+ 7·5	16 18	+ 1 41·4	+1·23	—23 17 40
363	Dienst.	29	18 32 48·1	11·08	—23 14 26	+ 8·7	16 18	+ 2 10·9	+1·22	—23 14 25
364	Mittw.	30	18 37 13·9	11·07	—23 10 43	+ 9·8	16 18	+ 2 40·1	+1·21	—23 10 43
365	Donner.	31	18 41 39·4	11·06	—23 6 33	+11·0	16 18	+ 3 9·1	+1·20	—23 6 33
	Freitag	J. 1	18 46 4·7	11·05	—23 1 55	+12·2	16 18	+ 3 37·8	+1·19	—23 1 55

Wochentag und	Datum	Sternzeit im mittleren Greenwich. Mittage	Mittlere Greenwicher Zeit. Mond. Obere Culmination	Stündliche Verzögerung	Halbmesser Mittag	Halbmesser Mitternacht	Horizontal-Parallaxe Mittag	Stündl. Aenderung	Mitternacht	Stündl. Aenderung	Alter Mittag
		h m s	h m	m	′ ″	′ ″	′ ″	″	′ ″	″	d
Dienst.	1	16 40 13·5	*		15 16	15 20	55 57	+1·3	56 12	+1·3	0·0
Mittw.	2	16 44 10·1	0 41·8	2·28	15 24	15 29	56 27	+1·3	56 42	+1·2	1·0
Donner.	3	16 48 6·7	1 38·0	2·37	15 33	15 37	56 57	+1·2	57 11	+1·2	2·0
Freitag	4	16 52 3·2	2 35·6	2·39	15 40	15 44	57 25	+1·2	57 39	+1·1	3·0
Samstag	5	16 55 59·8	3 32·8	2·34	15 48	15 51	57 52	+1·1	58 5	+1·1	4·0
Sonntag	6	16 59 56·3	4 27·9	2·25	15 54	15 58	58 17	+1·0	58 29	+1·0	5·0
Montag	7	17 3 52·9	5 20·5	2·15	16 1	16 4	58 40	+0·9	58 51	+0·9	6·0
Dienst.	8	17 7 49·5	6 10·9	2·07	16 6	16 9	59 1	+0·8	59 10	+0·7	7·0
Mittw.	9	17 11 46·0	6 59·8	2·03	16 11	16 13	59 18	+0·6	59 25	+0·5	8·0
Donner.	10	17 15 42·6	7 48·5	2·05	16 15	16 16	59 31	+0·4	59 35	+0·3	9·0
Freitag	11	17 19 39·1	8 38·2	2·12	16 16	16 16	59 37	+0·1	59 37	−0·1	10·0
Samstag	12	17 23 35·7	9 30·2	2·22	16 16	16 14	59 35	−0·3	59 30	−0·5	11·0
Sonntag	13	17 27 32·2	10 25·0	2·34	16 12	16 10	59 23	−0·7	59 13	−0·9	12·0
Montag	14	17 31 28·8	11 22·7	2·44	16 6	16 2	59 1	−1·1	58 46	−1·3	13·0
Dienst.	15	17 35 25·4	12 22·2	2·47	15 58	15 53	58 29	−1·5	58 11	−1·6	14·0
Mittw.	16	17 39 21·9	13 21·2	2·41	15 47	15 42	57 51	−1·7	57 30	−1·8	15·0
Donner.	17	17 43 18·5	14 17·9	2·28	15 36	15 30	57 8	−1·8	56 46	−1·8	16·0
Freitag	18	17 47 15·0	15 10·6	2·11	15 24	15 18	56 24	−1·8	56 3	−1·7	17·0
Samstag	19	17 51 11·6	15 59·2	1·94	15 12	15 7	55 43	−1·6	55 24	−1·5	18·0
Sonntag	20	17 55 8·2	16 43·9	1·80	15 3	14 59	55 7	−1·3	54 53	−1·2	19·0
Montag	21	17 59 4·7	17 25·7	1·71	14 55	14 52	54 40	−1·0	54 29	−0·8	20·0
Dienst.	22	18 3 1·3	18 5·8	1·66	14 50	14 49	54 21	−0·6	54 16	−0·3	21·0
Mittw.	23	18 6 57·8	18 45·2	1·65	14 48	14 48	54 13	−0·1	54 13	+0·1	22·0
Donner.	24	18 10 54·4	19 25·1	1·70	14 49	14 50	54 16	+0·3	54 21	+0·5	23·0
Freitag	25	18 14 50·9	20 6·7	1·79	14 52	14 55	54 29	+0·7	54 39	+0·9	24·0
Samstag	26	18 18 47·5	20 51·0	1·92	14 58	15 2	54 51	+1·1	55 5	+1·3	25·0
Sonntag	27	18 22 44·1	21 39·0	2·08	15 6	15 11	55 21	+1·4	55 38	+1·5	26·0
Montag	28	18 26 40·6	22 31·1	2·25	15 16	15 21	55 57	+1·6	56 16	+1·6	27·0
Dienst.	29	18 30 37·2	23 27·1	2·38	15 27	15 32	56 35	+1·6	56 54	+1·6	28·0
Mittw.	30	18 34 33·7	*		15 37	15 42	57 13	+1·6	57 32	+1·5	29·0
Donner.	31	18 38 30·3	0 25·5	2·45	15 47	15 51	57 49	+1·4	58 5	+1·3	0·4
Freitag	J. 1	18 42 26·9	1 24·5	2·47	15 55	15 59	58 20	+1·2	58 33	+1·0	1·4

Rectascension und Declination des Mondes.

Mittlere Green. Zeit (h)	Rectascension (h m s)	Aenderung in 10ᵐ (s)	Declination — Süd (° ′ ″)	Aenderung in 10ᵐ (″)	Mittlere Green. Zeit (h)	Rectascension (h m s)	Aenderung in 10ᵐ (s)	Declination — Süd (° ′ ″)	Aenderung in 10ᵐ (″)
Dienstag 1.					**Donnerstag 3.**				
0	16 29 5·5	22·37	— 23 0 23	— 76·9	0	18 22 22·3	24·54	— 26 39 40	— 10·7
1	16 31 19·9	22·43	— 23 8 1	— 75·8	1	18 24 49·6	24·57	— 26 40 40	— 9·2
2	16 33 34·7	22·49	— 23 15 33	— 74·6	2	18 27 17·1	24·59	— 26 41 30	— 7·6
3	16 35 49·8	22·54	— 23 22 57	— 73·5	3	18 29 44·7	24·61	— 26 42 11	— 6·0
4	16 38 5·2	22·60	— 23 30 14	— 72·3	4	18 32 12·4	24·63	— 26 42 42	— 4·4
5	16 40 21·0	22·66	— 23 37 25	— 71·2	5	18 34 40·2	24·65	— 26 43 4	— 2·8
6	16 42 37·1	22·72	— 23 44 28	— 70·0	6	18 37 8·2	24·66	— 26 43 16	— 1·2
7	16 44 53·6	22·78	— 23 51 25	— 68·8	7	18 39 36·2	24·68	— 26 43 19	+ 0·4
8	16 47 10·4	22·83	— 23 58 14	— 67·6	8	18 42 4·3	24·69	— 26 43 12	+ 2·0
9	16 49 27·6	22·89	— 24 4 55	— 66·3	9	18 44 32·5	24·71	— 26 42 55	+ 3·6
10	16 51 45·1	22·95	— 24 11 30	— 65·1	10	18 47 0·8	24·72	— 26 42 29	+ 5·2
11	16 54 3·0	23·00	— 24 17 56	— 63·8	11	18 49 29·2	24·73	— 26 41 53	+ 6·8
12	16 56 21·1	23·06	— 24 24 16	— 62·6	12	18 51 57·6	24·74	— 26 41 7	+ 8·4
13	16 58 39·6	23·11	— 24 30 27	— 61·3	13	18 54 26·1	24·75	— 26 40 12	+ 10·0
14	17 0 58·5	23·16	— 24 36 31	— 60·0	14	18 56 54·6	24·76	— 26 39 7	+ 11·6
15	17 3 17·6	23·22	— 24 42 28	— 58·7	15	18 59 23·1	24·76	— 26 37 52	+ 13·3
16	17 5 37·1	23·27	— 24 48 16	— 57·4	16	19 1 51·7	24·77	— 26 36 27	+ 14·9
17	17 7 56·9	23·32	— 24 53 57	— 56·1	17	19 4 20·3	24·77	— 26 34 53	+ 16·5
18	17 10 17·0	23·38	— 24 59 30	— 54·8	18	19 6 49·0	24·77	— 26 33 9	+ 18·1
19	17 12 37·4	23·43	— 25 4 54	— 53·4	19	19 9 17·6	24·77	— 26 31 16	+ 19·7
20	17 14 58·1	23·48	— 25 10 11	— 52·1	20	19 11 46·3	24·78	— 26 29 12	+ 21·4
21	17 17 19·1	23·53	— 25 15 20	— 50·8	21	19 14 14·9	24·77	— 26 26 59	+ 23·0
22	17 19 40·4	23·58	— 25 20 20	— 49·4	22	19 16 43·6	24·77	— 26 24 37	+ 24·6
23	17 22 2·0	23·62	— 25 25 12	— 48·0	23	19 19 12·2	24·77	— 26 22 4	+ 26·2
Mittwoch 2.					**Freitag 4.**				
0	17 24 23·9	23·67	— 25 29 56	— 46·6	0	19 21 40·8	24·76	— 26 19 22	+ 27·8
1	17 26 46·1	23·72	— 25 34 32	— 45·2	1	19 24 9·4	24·76	— 26 16 30	+ 29·4
2	17 29 8·6	23·76	— 25 38 59	— 43·8	2	19 26 37·9	24·75	— 26 13 29	+ 31·0
3	17 31 31·3	23·81	— 25 43 18	— 42·4	3	19 29 6·4	24·74	— 26 10 18	+ 32·6
4	17 33 54·3	23·86	— 25 47 28	— 41·0	4	19 31 34·8	24·73	— 26 6 57	+ 34·3
5	17 36 17·6	23·90	— 25 51 29	— 39·5	5	19 34 3·2	24·72	— 26 3 27	+ 35·9
6	17 38 41·1	23·94	— 25 55 22	— 38·1	6	19 36 31·5	24·71	— 25 59 47	+ 37·4
7	17 41 4·9	23·98	— 25 59 6	— 36·6	7	19 38 59·7	24·70	— 25 55 57	+ 39·0
8	17 43 28·9	24·02	— 26 2 42	— 35·2	8	19 41 27·9	24·69	— 25 51 58	+ 40·6
9	17 45 53·2	24·06	— 26 6 8	— 33·7	9	19 43 55·9	24·67	— 25 47 50	+ 42·2
10	17 48 17·7	24·10	— 26 9 26	— 32·2	10	19 46 23·9	24·66	— 25 43 32	+ 43·8
11	17 50 42·4	24·14	— 26 12 35	— 30·7	11	19 48 51·8	24·64	— 25 39 4	+ 45·4
12	17 53 7·4	24·18	— 26 15 35	— 29·2	12	19 51 19·6	24·62	— 25 34 27	+ 47·0
13	17 55 32·6	24·22	— 26 18 26	— 27·7	13	19 53 47·3	24·60	— 25 29 40	+ 48·5
14	17 57 58·0	24·25	— 26 21 8	— 26·2	14	19 56 14·8	24·58	— 25 24 44	+ 50·1
15	18 0 23·6	24·28	— 26 23 41	— 24·7	15	19 58 42·2	24·56	— 25 19 39	+ 51·7
16	18 2 49·4	24·32	— 26 26 4	— 23·2	16	20 1 9·5	24·54	— 25 14 24	+ 53·2
17	18 5 15·4	24·35	— 26 28 19	— 21·6	17	20 3 36·7	24·52	— 25 9 0	+ 54·8
18	18 7 41·6	24·38	— 26 30 24	— 20·1	18	20 6 3·7	24·49	— 25 3 27	+ 56·3
19	18 10 7·9	24·41	— 26 32 20	— 18·6	19	20 8 30·6	24·47	— 24 57 45	+ 57·8
20	18 12 34·5	24·44	— 26 34 7	— 17·0	20	20 10 57·4	24·44	— 24 51 53	+ 59·4
21	18 15 1·2	24·47	— 26 35 44	— 15·5	21	20 13 24·0	24·42	— 24 45 52	+ 60·9
22	18 17 28·1	24·49	— 26 37 12	— 13·9	22	20 15 50·4	24·39	— 24 39 42	+ 62·4
23	18 19 55·1	24·52	— 26 38 31	— 12·3	23	20 18 16·7	24·36	— 24 33 23	+ 63·9
24	18 22 22·3	24·54	— 26 39 40	— 10·7	24	20 20 42·8	24·33	— 24 26 55	+ 65·4

Rectascension und Declination des Mondes.

Mittlere Green. Zeit	Rect-ascension	Aenderung in 10m	Declination — Süd	Aenderung in 10m	Mittlere Green. Zeit	Rect-ascension	Aenderung in 10m	Declination — Süd	Aenderung in 10m
	Samstag 5.					**Montag 7.**			
h	h m s	s	° ′ ″	″	h	h m s	s	° ′ ″	″
0	20 20 42·8	24·33	— 24 26 55	+ 65·4	0	22 13 18·6	22·51	— 16 38 13	+ 125·6
1	20 23 8·7	24·30	— 24 20 18	+ 66·9	1	22 15 33·5	22·47	— 16 25 36	+ 126·6
2	20 25 34·4	24·27	— 24 13 33	+ 68·4	2	22 17 48·2	22·43	— 16 12 54	+ 127·5
3	20 28 0·0	24·24	— 24 6 38	+ 69·9	3	22 20 2·7	22·39	— 16 0 6	+ 128·5
4	20 30 25·3	24·21	— 23 59 34	+ 71·3	4	22 22 17·0	22·36	— 15 47 12	+ 129·4
5	20 32 50·5	24·18	— 23 52 22	+ 72·8	5	22 24 31·0	22·32	— 15 34 13	+ 130·3
6	20 35 15·5	24·15	— 23 45 1	+ 74·2	6	22 26 44·8	22·28	— 15 21 9	+ 131·2
7	20 37 40·3	24·11	— 23 37 31	+ 75·7	7	22 28 58·4	22·25	— 15 7 59	+ 132·1
8	20 40 4·9	24·08	— 23 29 52	+ 77·1	8	22 31 11·8	22·21	— 14 54 44	+ 133·0
9	20 42 29·2	24·05	— 23 22 5	+ 78·5	9	22 33 25·0	22·18	— 14 41 23	+ 133·8
10	20 44 53·4	24·01	— 23 14 10	+ 80·0	10	22 35 37·9	22·14	— 14 27 58	+ 134·7
11	20 47 17·4	23·97	— 23 6 6	+ 81·4	11	22 37 50·7	22·11	— 14 14 27	+ 135·5
12	20 49 41·1	23·94	— 22 57 53	+ 82·8	12	22 40 3·2	22·07	— 14 0 52	+ 136·3
13	20 52 4·6	23·90	— 22 49 32	+ 84·2	13	22 42 15·6	22·04	— 13 47 12	+ 137·1
14	20 54 27·9	23·87	— 22 41 3	+ 85·5	14	22 44 27·7	22·01	— 13 33 27	+ 137·9
15	20 56 51·0	23·83	— 22 32 26	+ 86·9	15	22 46 39·7	21·98	— 13 19 37	+ 138·7
16	20 59 13·9	23·79	— 22 23 41	+ 88·2	16	22 48 51·4	21·94	— 13 5 42	+ 139·5
17	21 1 36·5	23·75	— 22 14 47	+ 89·6	17	22 51 3·0	21·91	— 12 51 43	+ 140·2
18	21 3 58·9	23·71	— 22 5 45	+ 90·9	18	22 53 14·4	21·88	— 12 37 40	+ 141·0
19	21 6 21·1	23·67	— 21 56 36	+ 92·3	19	22 55 25·6	21·85	— 12 23 32	+ 141·7
20	21 8 43·0	23·63	— 21 47 18	+ 93·6	20	22 57 36·7	21·82	— 12 9 19	+ 142·4
21	21 11 4·7	23·60	— 21 37 53	+ 94·9	21	22 59 47·5	21·80	— 11 55 3	+ 143·1
22	21 13 26·2	23·56	— 21 28 20	+ 96·2	22	23 1 58·2	21·77	— 11 40 42	+ 143·8
23	21 15 47·4	23·52	— 21 18 39	+ 97·5	23	23 4 8·7	21·74	— 11 26 18	+ 144·5
	Sonntag 6.					**Dienstag 8.**			
0	21 18 8·3	23·48	— 21 8 50	+ 98·7	0	23 6 19·1	21·71	— 11 11 49	+ 145·1
1	21 20 29·1	23·43	— 20 58 54	+ 100·0	1	23 8 29·3	21·69	— 10 57 16	+ 145·8
2	21 22 49·6	23·39	— 20 48 50	+ 101·2	2	23 10 39·3	21·66	— 10 42 40	+ 146·4
3	21 25 9·8	23·35	— 20 38 39	+ 102·5	3	23 12 49·2	21·64	— 10 28 0	+ 147·0
4	21 27 29·8	23·31	— 20 28 21	+ 103·7	4	23 14 58·9	21·61	— 10 13 16	+ 147·6
5	21 29 49·6	23·27	— 20 17 55	+ 104·9	5	23 17 8·5	21·59	— 9 58 28	+ 148·2
6	21 32 9·1	23·23	— 20 7 22	+ 106·1	6	23 19 18·0	21·56	— 9 43 37	+ 148·8
7	21 34 28·4	23·19	— 19 56 42	+ 107·3	7	23 21 27·3	21·54	— 9 28 43	+ 149·3
8	21 36 47·4	23·15	— 19 45 55	+ 108·5	8	23 23 36·5	21·52	— 9 13 45	+ 149·9
9	21 39 6·1	23·11	— 19 35 0	+ 109·6	9	23 25 45·6	21·50	— 8 58 44	+ 150·4
10	21 41 24·7	23·07	— 19 23 59	+ 110·8	10	23 27 54·5	21·48	— 8 43 40	+ 151·0
11	21 43 43·0	23·03	— 19 12 51	+ 111·9	11	23 30 3·3	21·46	— 8 28 33	+ 151·5
12	21 46 1·0	22·99	— 19 1 36	+ 113·1	12	23 32 12·0	21·44	— 8 13 22	+ 152·0
13	21 48 18·8	22·94	— 18 50 14	+ 114·2	13	23 34 20·6	21·42	— 7 58 9	+ 152·4
14	21 50 36·3	22·90	— 18 38 46	+ 115·3	14	23 36 29·1	21·41	— 7 42 53	+ 152·9
15	21 52 53·6	22·86	— 18 27 11	+ 116·4	15	23 38 37·5	21·39	— 7 27 34	+ 153·4
16	21 55 10·7	22·82	— 18 15 30	+ 117·4	16	23 40 45·8	21·37	— 7 12 13	+ 153·8
17	21 57 27·5	22·78	— 18 3 42	+ 118·5	17	23 42 54·0	21·36	— 6 56 49	+ 154·2
18	21 59 44·1	22·74	— 17 51 48	+ 119·6	18	23 45 2·1	21·34	— 6 41 22	+ 154·6
19	22 2 0·4	22·70	— 17 39 47	+ 120·6	19	23 47 10·1	21·33	— 6 25 53	+ 155·0
20	22 4 16·5	22·66	— 17 27 40	+ 121·6	20	23 49 18·0	21·32	— 6 10 21	+ 155·4
21	22 6 32·4	22·62	— 17 15 28	+ 122·6	21	23 51 25·9	21·31	— 5 54 48	+ 155·8
22	22 8 48·0	22·58	— 17 3 9	+ 123·6	22	23 53 33·7	21·29	— 5 39 12	+ 156·2
23	22 11 3·4	22·55	— 16 50 44	+ 124·6	23	23 55 41·4	21·28	— 5 23 34	+ 156·5
24	22 13 18·6	22·51	— 16 38 13	+ 125·6	24	23 57 49·1	21·27	— 5 7 54	+ 156·8

Rectascension und Declination des Mondes.

Mittlere Green. Zeit	Rectascension			Aenderung in 10m	Declination — Süd + Nord			Aenderung in 10m
h	h	m	s	s	°	′	″	″
Mittwoch 9.								
0	23	57	49·1	21·27	— 5	7	54	+156·8
1	23	59	56·7	21·27	— 4	52	12	+157·2
2	0	2	4·3	21·26	— 4	36	28	+157·5
3	0	4	11·8	21·25	— 4	20	42	+157·8
4	0	6	19·3	21·24	— 4	4	54	+158·0
5	0	8	26·8	21·24	— 3	49	5	+158·3
6	0	10	34·2	21·23	— 3	33	15	+158·5
7	0	12	41·6	21·23	— 3	17	23	+158·8
8	0	14	49·0	21·23	— 3	1	30	+159·0
9	0	16	56·3	21·22	— 2	45	35	+159·2
10	0	19	3·6	21·22	— 2	29	39	+159·4
11	0	21	11·0	21·22	— 2	13	43	+159·6
12	0	23	18·3	21·22	— 1	57	45	+159·7
13	0	25	25·7	21·22	— 1	41	46	+159·9
14	0	27	33·0	21·22	— 1	25	46	+160·0
15	0	29	40·4	21·23	— 1	9	46	+160·1
16	0	31	47·7	21·23	— 0	53	45	+160·2
17	0	33	55·1	21·23	— 0	37	43	+160·3
18	0	36	2·5	21·24	— 0	21	41	+160·4
19	0	38	10·0	21·25	— 0	5	38	+160·5
20	0	40	17·5	21·25	+ 0	10	25	+160·5
21	0	42	25·0	21·26	+ 0	26	28	+160·5
22	0	44	32·6	21·27	+ 0	42	31	+160·5
23	0	46	40·2	21·28	+ 0	58	34	+160·6
Donnerstag 10.								
0	0	48	47·9	21·29	+ 1	14	38	+160·5
1	0	50	55·7	21·30	+ 1	30	41	+160·5
2	0	53	3·5	21·31	+ 1	46	44	+160·5
3	0	55	11·4	21·32	+ 2	2	47	+160·4
4	0	57	19·4	21·34	+ 2	18	49	+160·3
5	0	59	27·4	21·35	+ 2	34	51	+160·2
6	1	1	35·6	21·36	+ 2	50	52	+160·1
7	1	3	43·8	21·38	+ 3	6	52	+160·0
8	1	5	52·1	21·40	+ 3	22	52	+159·9
9	1	8	0·6	21·41	+ 3	38	51	+159·8
10	1	10	9·1	21·43	+ 3	54	49	+159·6
11	1	12	17·7	21·45	+ 4	10	47	+159·4
12	1	14	26·5	21·47	+ 4	26	42	+159·2
13	1	16	35·4	21·49	+ 4	42	37	+159·0
14	1	18	44·4	21·51	+ 4	58	31	+158·8
15	1	20	53·5	21·53	+ 5	14	23	+158·6
16	1	23	2·8	21·56	+ 5	30	13	+158·3
17	1	25	12·2	21·58	+ 5	46	2	+158·0
18	1	27	21·7	21·60	+ 6	1	50	+157·7
19	1	29	31·4	21·63	+ 6	17	35	+157·4
20	1	31	41·3	21·65	+ 6	33	19	+157·1
21	1	33	51·3	21·68	+ 6	49	1	+156·8
22	1	36	1·5	21·71	+ 7	4	41	+156·4
23	1	38	11·8	21·74	+ 7	20	18	+156·1
24	1	40	22·3	21·77	+ 7	35	54	+155·7

Mittlere Green. Zeit	Rectascension			Aenderung in 10m	Declination + Nord			Aenderung in 10m
h	h	m	s	s	°	′	″	″
Freitag 11.								
0	1	40	22·3	21·77	+ 7	35	54	+155·7
1	1	42	33·0	21·79	+ 7	51	27	+155·3
2	1	44	43·9	21·83	+ 8	6	58	+154·9
3	1	46	54·9	21·86	+ 8	22	26	+154·5
4	1	49	6·1	21·89	+ 8	37	51	+154·0
5	1	51	17·6	21·92	+ 8	53	14	+153·6
6	1	53	29·2	21·95	+ 9	8	34	+153·1
7	1	55	41·0	21·99	+ 9	23	51	+152·6
8	1	57	53·0	22·02	+ 9	39	5	+152·1
9	2	0	5·2	22·05	+ 9	54	16	+151·6
10	2	2	17·7	22·09	+ 10	9	24	+151·0
11	2	4	30·3	22·13	+ 10	24	28	+150·5
12	2	6	43·2	22·16	+ 10	39	30	+149·9
13	2	8	56·3	22·20	+ 10	54	27	+149·3
14	2	11	9·6	22·24	+ 11	9	21	+148·7
15	2	13	23·2	22·28	+ 11	24	11	+148·1
16	2	15	37·0	22·32	+ 11	38	58	+147·4
17	2	17	51·0	22·36	+ 11	53	41	+146·8
18	2	20	5·2	22·40	+ 12	8	19	+146·1
19	2	22	19·7	22·44	+ 12	22	54	+145·4
20	2	24	34·5	22·48	+ 12	37	24	+144·7
21	2	26	49·5	22·52	+ 12	51	51	+144·0
22	2	29	4·7	22·56	+ 13	6	12	+143·3
23	2	31	20·2	22·60	+ 13	20	30	+142·5
Samstag 12.								
0	2	33	36·0	22·65	+ 13	34	42	+141·7
1	2	35	52·0	22·69	+ 13	48	50	+140·9
2	2	38	8·3	22·73	+ 14	2	54	+140·1
3	2	40	24·8	22·78	+ 14	16	52	+139·3
4	2	42	41·6	22·82	+ 14	30	45	+138·5
5	2	44	58·7	22·87	+ 14	44	34	+137·6
6	2	47	16·0	22·91	+ 14	58	17	+136·8
7	2	49	33·6	22·96	+ 15	11	55	+135·9
8	2	51	51·5	23·01	+ 15	25	27	+135·0
9	2	54	9·7	23·05	+ 15	38	54	+134·0
10	2	56	28·1	23·10	+ 15	52	16	+133·1
11	2	58	46·9	23·14	+ 16	5	32	+132·1
12	3	1	5·9	23·19	+ 16	18	42	+131·2
13	3	3	25·2	23·24	+ 16	31	46	+130·2
14	3	5	44·7	23·29	+ 16	44	44	+129·2
15	3	8	4·6	23·33	+ 16	57	36	+128·2
16	3	10	24·7	23·38	+ 17	10	22	+127·1
17	3	12	45·2	23·43	+ 17	23	2	+126·1
18	3	15	5·9	23·48	+ 17	35	35	+125·0
19	3	17	26·9	23·52	+ 17	48	2	+123·9
20	3	19	48·2	23·57	+ 18	0	23	+122·8
21	3	22	9·7	23·62	+ 18	12	36	+121·7
22	3	24	31·6	23·67	+ 18	24	43	+120·6
23	3	26	53·8	23·72	+ 18	36	44	+119·5
24	3	29	16·2	23·76	+ 18	48	37	+118·3

Rectascension und Declination des Mondes.

Mittlere Green. Zeit	Rectascension	Aenderung in 10m	Declination + Nord	Aenderung in 10m	Mittlere Green. Zeit	Rectascension	Aenderung in 10m	Declination + Nord	Aenderung in 10m
	Sonntag 13.					Dienstag 15.			
h	h m s	s	° ′ ″	″	h	h m s	s	° ′ ″	″
0	3 29 16·2	23·76	+ 18 48 37	+ 118·3	0	5 28 4·2	25·45	+ 25 36 29	+ 47·4
1	3 31 38·9	23·81	+ 19 0 23	+ 117·1	1	5 30 37·0	25·46	+ 25 41 8	+ 45·7
2	3 34 1·9	23·86	+ 19 12 2	+ 115·9	2	5 33 9·8	25·47	+ 25 45 37	+ 44·0
3	3 36 25·2	23·91	+ 19 23 34	+ 114·7	3	5 35 42·6	25·48	+ 25 49 56	+ 42·3
4	3 38 48·8	23·95	+ 19 34 59	+ 113·5	4	5 38 15·5	25·49	+ 25 54 4	+ 40·6
5	3 41 12·7	24·00	+ 19 46 16	+ 112·2	5	5 40 48·5	25·49	+ 25 58 3	+ 38·9
6	3 43 36·8	24·05	+ 19 57 26	+ 111·0	6	5 43 21·5	25·50	+ 26 1 51	+ 37·1
7	3 46 1·3	24·09	+ 20 8 28	+ 109·7	7	5 45 54·5	25·50	+ 26 5 28	+ 35·4
8	3 48 26·0	24·14	+ 20 19 22	+ 108·4	8	5 48 27·5	25·50	+ 26 8 56	+ 33·7
9	3 50 51·0	24·19	+ 20 30 9	+ 107·1	9	5 51 0·5	25·50	+ 26 12 13	+ 32·0
10	3 53 16·2	24·23	+ 20 40 48	+ 105·8	10	5 53 33·5	25·50	+ 26 15 20	+ 30·3
11	3 55 41·7	24·28	+ 20 51 19	+ 104·5	11	5 56 6·6	25·50	+ 26 18 16	+ 28·6
12	3 58 7·5	24·32	+ 21 1 42	+ 103·2	12	5 58 39·6	25·50	+ 26 21 2	+ 26·8
13	4 0 33·6	24·37	+ 21 11 57	+ 101·8	13	6 1 12·5	25·49	+ 26 23 38	+ 25·1
14	4 3 0·0	24·41	+ 21 22 4	+ 100·4	14	6 3 45·5	25·49	+ 26 26 4	+ 23·4
15	4 5 26·6	24·46	+ 21 32 3	+ 99·1	15	6 6 18·4	25·48	+ 26 28 19	+ 21·7
16	4 7 53·4	24·50	+ 21 41 53	+ 97·7	16	6 8 51·2	25·47	+ 26 30 24	+ 20·0
17	4 10 20·5	24·54	+ 21 51 35	+ 96·3	17	6 11 24·0	25·46	+ 26 32 19	+ 18·2
18	4 12 47·9	24·58	+ 22 1 8	+ 94·8	18	6 13 56·8	25·45	+ 26 34 3	+ 16·5
19	4 15 15·5	24·62	+ 22 10 33	+ 93·4	19	6 16 29·4	25·43	+ 26 35 37	+ 14·8
20	4 17 43·4	24·66	+ 22 19 49	+ 92·0	20	6 19 2·0	25·42	+ 26 37 1	+ 13·1
21	4 20 11·5	24·71	+ 22 28 56	+ 90·5	21	6 21 34·4	25·40	+ 26 38 14	+ 11·4
22	4 22 39·9	24·75	+ 22 37 55	+ 89·0	22	6 24 6·8	25·38	+ 26 39 18	+ 9·7
23	4 25 8·5	24·78	+ 22 46 45	+ 87·5	23	6 26 39·1	25·37	+ 26 40 11	+ 8·0
	Montag 14.					Mittwoch 16.			
0	4 27 37·3	24·82	+ 22 55 26	+ 86·0	0	6 29 11·2	25·35	+ 26 40 53	+ 6·3
1	4 30 6·3	24·86	+ 23 3 58	+ 84·5	1	6 31 43·2	25·32	+ 26 41 26	+ 4·6
2	4 32 35·6	24·90	+ 23 12 20	+ 83·0	2	6 34 15·1	25·30	+ 26 41 49	+ 2·9
3	4 35 5·1	24·93	+ 23 20 34	+ 81·5	3	6 36 46·8	25·27	+ 26 42 1	+ 1·2
4	4 37 34·8	24·97	+ 23 28 38	+ 80·0	4	6 39 18·4	25·25	+ 26 42 3	− 0·4
5	4 40 4·7	25·00	+ 23 36 33	+ 78·4	5	6 41 49·8	25·22	+ 26 41 56	− 2·1
6	4 42 34·8	25·03	+ 23 44 19	+ 76·8	6	6 44 21·0	25·19	+ 26 41 38	− 3·8
7	4 45 5·1	25·07	+ 23 51 56	+ 75·3	7	6 46 52·1	25·16	+ 26 41 10	− 5·5
8	4 47 35·6	25·10	+ 23 59 23	+ 73·7	8	6 49 23·0	25·13	+ 26 40 32	− 7·1
9	4 50 6·3	25·13	+ 24 6 40	+ 72·1	9	6 51 53·7	25·10	+ 26 39 45	− 8·8
10	4 52 37·2	25·16	+ 24 13 48	+ 70·5	10	6 54 24·2	25·06	+ 26 38 47	− 10·4
11	4 55 8·2	25·18	+ 24 20 46	+ 68·9	11	6 56 54·5	25·03	+ 26 37 40	− 12·0
12	4 57 39·4	25·21	+ 24 27 35	+ 67·3	12	6 59 24·5	24·99	+ 26 36 23	− 13·7
13	5 0 10·7	25·24	+ 24 34 14	+ 65·7	13	7 1 54·4	24·96	+ 26 34 56	− 15·3
14	5 2 42·2	25·26	+ 24 40 43	+ 64·0	14	7 4 24·0	24·92	+ 26 33 19	− 16·9
15	5 5 13·9	25·29	+ 24 47 3	+ 62·4	15	7 6 53·4	24·88	+ 26 31 33	− 18·5
16	5 7 45·7	25·31	+ 24 53 12	+ 60·8	16	7 9 22·5	24·83	+ 26 29 37	− 20·1
17	5 10 17·6	25·33	+ 24 59 12	+ 59·1	17	7 11 51·4	24·79	+ 26 27 32	− 21·7
18	5 12 49·7	25·35	+ 25 5 1	+ 57·4	18	7 14 20·0	24·75	+ 26 25 17	− 23·3
19	5 15 21·8	25·37	+ 25 10 41	+ 55·8	19	7 16 48·4	24·70	+ 26 22 52	− 24·8
20	5 17 54·1	25·39	+ 25 16 11	+ 54·1	20	7 19 16·5	24·66	+ 26 20 19	− 26·4
21	5 20 26·5	25·41	+ 25 21 30	+ 52·4	21	7 21 44·3	24·61	+ 26 17 36	− 27·9
22	5 22 59·0	25·42	+ 25 26 40	+ 50·7	22	7 24 11·8	24·56	+ 26 14 43	− 29·5
23	5 25 31·6	25·44	+ 25 31 39	+ 49·1	23	7 26 39·0	24·51	+ 26 11 42	− 31·0
24	5 28 4·2	25·45	+ 25 36 29	+ 47·4	24	7 29 5·9	24·46	+ 26 8 31	− 32·5

Rectascension und Declination des Mondes.

Mittlere Green. Zeit	Rectascension	Aenderung in 10ᵐ	Declination + Nord	Aenderung in 10ᵐ	Mittlere Green. Zeit	Rectascension	Aenderung in 10ᵐ	Declination + Nord	Aenderung in 10ᵐ
	Donnerstag 17.					**Samstag 19.**			
h	h m s	s	° ′ ″	″	h	h m s	s	° ′ ″	″
0	7 29 5.9	24.46	+ 26 8 31	− 32.5	0	9 19 32.8	21.43	+ 20 59 53	− 91.1
1	7 31 32.6	24.41	+ 26 5 11	− 34.0	1	9 21 41.2	21.36	+ 20 50 43	− 92.0
2	7 33 58.9	24.36	+ 26 1 42	− 35.5	2	9 23 49.2	21.30	+ 20 41 28	− 92.9
3	7 36 24.9	24.31	+ 25 58 5	− 37.0	3	9 25 56.8	21.23	+ 20 32 8	− 93.8
4	7 38 50.6	24.26	+ 25 54 18	− 38.5	4	9 28 4.0	21.17	+ 20 22 42	− 94.7
5	7 41 16.0	24.20	+ 25 50 23	− 40.0	5	9 30 10.8	21.10	+ 20 13 12	− 95.5
6	7 43 41.0	24.15	+ 25 46 18	− 41.4	6	9 32 17.2	21.04	+ 20 3 36	− 96.4
7	7 46 5.7	24.09	+ 25 42 5	− 42.9	7	9 34 23.2	20.97	+ 19 53 55	− 97.2
8	7 48 30.1	24.03	+ 25 37 44	− 44.3	8	9 36 28.9	20.91	+ 19 44 9	− 98.0
9	7 50 54.1	23.97	+ 25 33 14	− 45.7	9	9 38 34.2	20.85	+ 19 34 19	− 98.8
10	7 53 17.8	23.92	+ 25 28 35	− 47.1	10	9 40 39.1	20.78	+ 19 24 23	− 99.6
11	7 55 41.1	23.86	+ 25 23 48	− 48.5	11	9 42 43.6	20.72	+ 19 14 23	− 100.4
12	7 58 4.1	23.80	+ 25 18 53	− 49.9	12	9 44 47.7	20.66	+ 19 4 18	− 101.2
13	8 0 26.7	23.74	+ 25 13 49	− 51.3	13	9 46 51.4	20.59	+ 18 54 9	− 101.9
14	8 2 48.9	23.68	+ 25 8 37	− 52.6	14	9 48 54.8	20.53	+ 18 43 55	− 102.7
15	8 5 10.8	23.62	+ 25 3 17	− 54.0	15	9 50 57.8	20.47	+ 18 33 36	− 103.4
16	8 7 32.3	23.55	+ 24 57 49	− 55.3	16	9 53 0.5	20.41	+ 18 23 13	− 104.2
17	8 9 53.5	23.49	+ 24 52 14	− 56.6	17	9 55 2.8	20.35	+ 18 12 46	− 104.9
18	8 12 14.2	23.43	+ 24 46 30	− 58.0	18	9 57 4.7	20.29	+ 18 2 15	− 105.6
19	8 14 34.6	23.36	+ 24 40 38	− 59.3	19	9 59 6.3	20.23	+ 17 51 39	− 106.3
20	8 16 54.6	23.30	+ 24 34 39	− 60.5	20	10 1 7.5	20.17	+ 17 41 0	− 106.9
21	8 19 14.2	23.24	+ 24 28 32	− 61.8	21	10 3 8.4	20.11	+ 17 30 16	− 107.6
22	8 21 33.4	23.17	+ 24 22 17	− 63.1	22	10 5 8.9	20.06	+ 17 19 28	− 108.3
23	8 23 52.3	23.11	+ 24 15 55	− 64.3	23	10 7 9.0	20.00	+ 17 8 37	− 108.9
	Freitag 18.					**Sonntag 20.**			
0	8 26 10.7	23.04	+ 24 9 25	− 65.5	0	10 9 8.9	19.94	+ 16 57 41	− 109.5
1	8 28 28.8	22.97	+ 24 2 48	− 66.8	1	10 11 8.4	19.89	+ 16 46 42	− 110.2
2	8 30 46.4	22.91	+ 23 56 4	− 68.0	2	10 13 7.5	19.83	+ 16 35 39	− 110.8
3	8 33 3.7	22.84	+ 23 49 13	− 69.1	3	10 15 6.3	19.78	+ 16 24 33	− 111.4
4	8 35 20.5	22.78	+ 23 42 14	− 70.3	4	10 17 4.8	19.72	+ 16 13 23	− 112.0
5	8 37 37.0	22.71	+ 23 35 9	− 71.5	5	10 19 3.0	19.67	+ 16 2 9	− 112.6
6	8 39 53.0	22.64	+ 23 27 56	− 72.7	6	10 21 0.8	19.61	+ 15 50 52	− 113.1
7	8 42 8.7	22.57	+ 23 20 37	− 73.8	7	10 22 58.4	19.56	+ 15 39 31	− 113.7
8	8 44 23.9	22.51	+ 23 13 11	− 74.9	8	10 24 55.6	19.51	+ 15 28 7	− 114.3
9	8 46 38.7	22.44	+ 23 5 38	− 76.0	9	10 26 52.5	19.46	+ 15 16 40	− 114.8
10	8 48 53.2	22.37	+ 22 57 58	− 77.1	10	10 28 49.1	19.41	+ 15 5 10	− 115.3
11	8 51 7.2	22.30	+ 22 50 12	− 78.2	11	10 30 45.4	19.36	+ 14 53 36	− 115.9
12	8 53 20.8	22.24	+ 22 42 20	− 79.3	12	10 32 41.4	19.31	+ 14 41 59	− 116.4
13	8 55 34.1	22.17	+ 22 34 21	− 80.3	13	10 34 37.1	19.26	+ 14 30 19	− 116.9
14	8 57 46.9	22.10	+ 22 26 16	− 81.4	14	10 36 32.5	19.21	+ 14 18 36	− 117.4
15	8 59 59.3	22.03	+ 22 18 4	− 82.4	15	10 38 27.6	19.16	+ 14 6 51	− 117.9
16	9 2 11.3	21.97	+ 22 9 47	− 83.4	16	10 40 22.4	19.12	+ 13 55 2	− 118.3
17	9 4 22.9	21.90	+ 22 1 23	− 84.5	17	10 42 17.0	19.07	+ 13 43 11	− 118.8
18	9 6 34.1	21.83	+ 21 52 53	− 85.5	18	10 44 11.3	19.02	+ 13 31 16	− 119.3
19	9 8 44.9	21.76	+ 21 44 17	− 86.4	19	10 46 5.3	18.98	+ 13 19 19	− 119.7
20	9 10 55.3	21.70	+ 21 35 36	− 87.4	20	10 47 59.0	18.93	+ 13 7 20	− 120.2
21	9 13 5.2	21.63	+ 21 26 49	− 88.3	21	10 49 52.5	18.89	+ 12 55 17	− 120.6
22	9 15 14.8	21.56	+ 21 17 56	− 89.3	22	10 51 45.7	18.85	+ 12 43 12	− 121.0
23	9 17 24.0	21.50	+ 21 8 57	− 90.2	23	10 53 38.7	18.80	+ 12 31 5	− 121.4
24	9 19 32.8	21.43	+ 20 59 53	− 91.1	24	10 55 31.4	18.76	+ 12 18 55	− 121.8

Rectascension und Declination des Mondes.

Mittlere Green. Zeit	Rectascension			Aenderung in 10m	Declination + Nord			Aenderung in 10m
Montag 21.								
h	h	m	s	s	°	′	″	″
0	10	55	31·4	18·76	+12	18	55	−121·8
1	10	57	23·8	18·72	+12	6	43	−122·2
2	10	59	16·0	18·68	+11	54	28	−122·6
3	11	1	8·0	18·64	+11	42	11	−123·0
4	11	2	59·8	18·61	+11	29	52	−123·4
5	11	4	51·3	18·57	+11	17	31	−123·7
6	11	6	42·6	18·53	+11	5	7	−124·1
7	11	8	33·6	18·49	+10	52	41	−124·5
8	11	10	24·5	18·46	+10	40	14	−124·8
9	11	12	15·1	18·42	+10	27	44	−125·1
10	11	14	5·5	18·39	+10	15	12	−125·5
11	11	15	55·8	18·35	+10	2	38	−125·8
12	11	17	45·8	18·32	+9	50	3	−126·1
13	11	19	35·6	18·29	+9	37	26	−126·4
14	11	21	25·2	18·26	+9	24	46	−126·7
15	11	23	14·7	18·23	+9	12	5	−127·0
16	11	25	4·0	18·19	+8	59	23	−127·2
17	11	26	53·0	18·17	+8	46	39	−127·5
18	11	28	41·9	18·14	+8	33	53	−127·8
19	11	30	30·7	18·11	+8	21	5	−128·0
20	11	32	19·3	18·08	+8	8	16	−128·3
21	11	34	7·7	18·06	+7	55	26	−128·5
22	11	35	55·9	18·03	+7	42	34	−128·8
23	11	37	44·0	18·01	+7	29	40	−129·0
Dienstag 22.								
0	11	39	32·0	17·98	+7	16	46	−129·2
1	11	41	19·8	17·96	+7	3	50	−129·4
2	11	43	7·5	17·94	+6	50	52	−129·6
3	11	44	55·1	17·91	+6	37	54	−129·8
4	11	46	42·5	17·89	+6	24	54	−130·0
5	11	48	29·8	17·87	+6	11	53	−130·2
6	11	50	16·9	17·85	+5	58	51	−130·4
7	11	52	4·0	17·83	+5	45	48	−130·6
8	11	53	50·9	17·81	+5	32	44	−130·8
9	11	55	37·8	17·80	+5	19	39	−130·9
10	11	57	24·5	17·78	+5	6	33	−131·1
11	11	59	11·1	17·76	+4	53	26	−131·2
12	12	0	57·7	17·75	+4	40	18	−131·4
13	12	2	44·1	17·73	+4	27	10	−131·5
14	12	4	30·5	17·72	+4	14	0	−131·6
15	12	6	16·8	17·71	+4	0	50	−131·8
16	12	8	3·0	17·70	+3	47	39	−131·9
17	12	9	49·1	17·68	+3	34	28	−132·0
18	12	11	35·2	17·67	+3	21	15	−132·1
19	12	13	21·2	17·66	+3	8	2	−132·2
20	12	15	7·2	17·65	+2	54	49	−132·3
21	12	16	53·1	17·65	+2	41	35	−132·4
22	12	18	38·9	17·64	+2	28	20	−132·5
23	12	20	24·7	17·63	+2	15	5	−132·5
24	12	22	10·5	17·62	+2	1	50	−132·6

Mittlere Green. Zeit	Rectascension			Aenderung in 10m	Declination + Nord − Süd			Aenderung in 10m
Mittwoch 23.								
h	h	m	s	s	°	′	″	″
0	12	22	10·5	17·62	+2	1	50	−132·6
1	12	23	56·2	17·62	+1	48	34	−132·7
2	12	25	41·9	17·61	+1	35	18	−132·7
3	12	27	27·6	17·61	+1	22	2	−132·8
4	12	29	13·3	17·61	+1	8	45	−132·8
5	12	30	58·9	17·60	+0	55	28	−132·8
6	12	32	44·5	17·60	+0	42	11	−132·9
7	12	34	30·1	17·60	+0	28	54	−132·9
8	12	36	15·8	17·60	+0	15	36	−132·9
9	12	38	1·4	17·60	+0	2	19	−132·9
10	12	39	47·0	17·60	−0	10	59	−132·9
11	12	41	32·6	17·61	−0	24	16	−132·9
12	12	43	18·3	17·61	−0	37	34	−132·9
13	12	45	4·0	17·61	−0	50	51	−132·9
14	12	46	49·7	17·62	−1	4	9	−132·9
15	12	48	35·4	17·62	−1	17	26	−132·9
16	12	50	21·1	17·63	−1	30	43	−132·8
17	12	52	6·9	17·63	−1	44	0	−132·8
18	12	53	52·7	17·64	−1	57	17	−132·7
19	12	55	38·6	17·65	−2	10	33	−132·7
20	12	57	24·5	17·66	−2	23	49	−132·6
21	12	59	10·5	17·67	−2	37	5	−132·6
22	13	0	56·5	17·68	−2	50	20	−132·5
23	13	2	42·7	17·69	−3	3	35	−132·4
Donnerstag 24.								
0	13	4	28·8	17·70	−3	16	49	−132·4
1	13	6	15·1	17·71	−3	30	3	−132·3
2	13	8	1·4	17·73	−3	43	16	−132·2
3	13	9	47·8	17·74	−3	56	29	−132·1
4	13	11	34·3	17·76	−4	9	41	−132·0
5	13	13	20·9	17·77	−4	22	53	−131·8
6	13	15	7·6	17·79	−4	36	3	−131·7
7	13	16	54·3	17·80	−4	49	13	−131·6
8	13	18	41·2	17·82	−5	2	22	−131·5
9	13	20	28·2	17·84	−5	15	31	−131·3
10	13	22	15·3	17·86	−5	28	38	−131·2
11	13	24	2·5	17·88	−5	41	45	−131·0
12	13	25	49·9	17·90	−5	54	51	−130·9
13	13	27	37·4	17·92	−6	7	55	−130·7
14	13	29	25·0	17·95	−6	20	59	−130·5
15	13	31	12·7	17·97	−6	34	1	−130·3
16	13	33	0·6	17·99	−6	47	3	−130·1
17	13	34	48·6	18·02	−7	0	3	−129·9
18	13	36	36·8	18·04	−7	13	2	−129·7
19	13	38	25·1	18·07	−7	26	0	−129·5
20	13	40	13·6	18·09	−7	38	57	−129·3
21	13	42	2·3	18·12	−7	51	52	−129·1
22	13	43	51·1	18·15	−8	4	46	−128·9
23	13	45	40·0	18·18	−8	17	38	−128·6
24	13	47	29·2	18·21	−8	30	29	−128·4

Rectascension und Declination des Mondes.

Mittlere Green. Zeit	Rect-ascension	Aenderung in 10m	Declination — Süd	Aenderung in 10m	Mittlere Green. Zeit	Rect-ascension	Aenderung in 10m	Declination — Süd	Aenderung in 10m
	Freitag 25.					**Sonntag 27.**			
h	h m s	s	° ′ ″	″	h	h m s	s	° ′ ″	″
0	13 47 29·2	18·21	— 8 30 29	– 128·4	0	15 19 36·0	20·41	— 18 2 4	– 106·1
1	13 49 18·5	18·24	— 8 43 18	– 128·1	1	15 21 38·7	20·47	— 18 12 39	– 105·4
2	13 51 8·1	18·27	— 8 56 6	– 127·9	2	15 23 41·7	20·54	— 18 23 10	– 104·7
3	13 52 57·8	18·30	— 9 8 53	– 127·6	3	15 25 45·1	20·60	— 18 33 36	– 104·0
4	13 54 47·7	18·33	— 9 21 37	– 127·3	4	15 27 48·9	20·66	— 18 43 57	– 103·2
5	13 56 37·8	18·37	— 9 34 20	– 127·0	5	15 29 53·0	20·72	— 18 54 14	– 102·5
6	13 58 28·1	18·40	— 9 47 2	– 126·7	6	15 31 57·5	20·78	— 19 4 27	– 101·7
7	14 0 18·6	18·43	— 9 59 41	– 126·4	7	15 34 2·4	20·84	— 19 14 35	– 100·9
8	14 2 9·3	18·47	— 10 12 19	– 126·1	8	15 36 7·6	20·91	— 19 24 38	– 100·1
9	14 4 0·2	18·51	— 10 24 54	– 125·8	9	15 38 13·2	20·97	— 19 34 36	– 99·3
10	14 5 51·4	18·54	— 10 37 28	– 125·5	10	15 40 19·3	21·03	— 19 44 29	– 98·5
11	14 7 42·8	18·58	— 10 50 0	– 125·1	11	15 42 25·6	21·10	— 19 54 17	– 97·6
12	14 9 34·4	18·62	— 11 2 30	– 124·8	12	15 44 32·4	21·16	— 20 4 1	– 96·8
13	14 11 26·2	18·66	— 11 14 57	– 124·4	13	15 46 39·6	21·22	— 20 13 39	– 95·9
14	14 13 18·2	18·70	— 11 27 23	– 124·1	14	15 48 47·1	21·29	— 20 23 12	– 95·1
15	14 15 10·5	18·74	— 11 39 46	– 123·7	15	15 50 55·1	21·35	— 20 32 40	– 94·2
16	14 17 3·1	18·78	— 11 52 7	– 123·3	16	15 53 3·4	21·42	— 20 42 2	– 93·3
17	14 18 55·9	18·82	— 12 4 26	– 122·9	17	15 55 12·1	21·48	— 20 51 19	– 92·4
18	14 20 48·9	18·86	— 12 16 43	– 122·5	18	15 57 21·2	21·55	— 21 0 31	– 91·4
19	14 22 42·2	18·90	— 12 28 57	– 122·1	19	15 59 30·7	21·62	— 21 9 37	– 90·5
20	14 24 35·8	18·95	— 12 41 9	– 121·7	20	16 1 40·6	21·68	— 21 18 37	– 89·6
21	14 26 29·6	18·99	— 12 53 18	– 121·3	21	16 3 50·9	21·75	— 21 27 31	– 88·6
22	14 28 23·7	19·04	— 13 5 24	– 120·9	22	16 6 1·6	21·81	— 21 36 20	– 87·6
23	14 30 18·0	19·08	— 13 17 28	– 120·4	23	16 8 12·6	21·88	— 21 45 3	– 86·6
	Samstag 26.					**Montag 28.**			
0	14 32 12·7	19·13	— 13 29 29	– 120·0	0	16 10 24·1	21·94	— 21 53 40	– 85·6
1	14 34 7·6	19·18	— 13 41 28	– 119·5	1	16 12 36·0	22·01	— 22 2 10	– 84·6
2	14 36 2·8	19·22	— 13 53 24	– 119·1	2	16 14 48·2	22·08	— 22 10 35	– 83·6
3	14 37 58·3	19·27	— 14 5 17	– 118·6	3	16 17 0·9	22·14	— 22 18 54	– 82·6
4	14 39 54·0	19·32	— 14 17 7	– 118·1	4	16 19 14·0	22·21	— 22 27 6	– 81·5
5	14 41 50·1	19·37	— 14 28 54	– 117·6	5	16 21 27·4	22·28	— 22 35 12	– 80·4
6	14 43 46·5	19·42	— 14 40 38	– 117·1	6	16 23 41·3	22·34	— 22 43 11	– 79·4
7	14 45 43·1	19·47	— 14 52 19	– 116·6	7	16 25 55·5	22·41	— 22 51 4	– 78·3
8	14 47 40·1	19·52	— 15 3 57	– 116·0	8	16 28 10·2	22·47	— 22 58 50	– 77·2
9	14 49 37·4	19·57	— 15 15 32	– 115·5	9	16 30 25·2	22·54	— 23 6 30	– 76·0
10	14 51 35·0	19·63	— 15 27 3	– 114·9	10	16 32 40·6	22·60	— 23 14 3	– 74·9
11	14 53 32·9	19·68	— 15 38 31	– 114·4	11	16 34 56·4	22·67	— 23 21 29	– 73·8
12	14 55 31·1	19·73	— 15 49 56	– 113·8	12	16 37 12·6	22·73	— 23 28 48	– 72·6
13	14 57 29·7	19·79	— 16 1 17	– 113·2	13	16 39 29·2	22·80	— 23 36 0	– 71·4
14	14 59 28·6	19·84	— 16 12 35	– 112·7	14	16 41 46·2	22·86	— 23 43 5	– 70·2
15	15 1 27·8	19·89	— 16 23 49	– 112·1	15	16 44 3·6	22·93	— 23 50 3	– 69·0
16	15 3 27·3	19·95	— 16 34 59	– 111·4	16	16 46 21·4	22·99	— 23 56 54	– 67·8
17	15 5 27·2	20·01	— 16 46 6	– 110·8	17	16 48 39·5	23·05	— 24 3 37	– 66·6
18	15 7 27·4	20·06	— 16 57 9	– 110·2	18	16 50 58·0	23·12	— 24 10 13	– 65·4
19	15 9 28·0	20·12	— 17 8 8	– 109·5	19	16 53 16·9	23·18	— 24 16 42	– 64·1
20	15 11 28·9	20·18	— 17 19 4	– 108·9	20	16 55 36·2	23·24	— 24 23 3	– 62·9
21	15 13 30·1	20·24	— 17 29 55	– 108·2	21	16 57 55·8	23·30	— 24 29 16	– 61·6
22	15 15 31·7	20·30	— 17 40 42	– 107·5	22	17 0 15·9	23·37	— 24 35 22	– 60·3
23	15 17 33·7	20·36	— 17 51 25	– 106·8	23	17 2 36·2	23·43	— 24 41 20	– 59·0
24	15 19 36·0	20·41	— 18 2 4	– 106·1	24	17 4 57·0	23·49	— 24 47 10	– 57·7

Rectascension und Declination des Mondes.

Dienstag 29.

Mittlere Green. Zeit	Rectascension	Aenderung in 10m	Declination — Süd	Aenderung in 10m
h	h m s	s	° ′ ″	″
0	17 4 57·0	23·49	— 24 47 10	−57·7
1	17 7 18·1	23·55	— 24 52 52	−56·4
2	17 9 39·6	23·61	— 24 58 26	−55·0
3	17 12 1·4	23·67	— 25 3 52	−53·7
4	17 14 23·5	23·72	— 25 9 10	−52·3
5	17 16 46·1	23·78	— 25 14 20	−50·9
6	17 19 8·9	23·84	— 25 19 21	−49·5
7	17 21 32·1	23·89	— 25 24 15	−48·1
8	17 23 55·6	23·95	— 25 28 59	−46·7
9	17 26 19·5	24·00	— 25 33 36	−45·3
10	17 28 43·7	24·06	— 25 38 3	−43·9
11	17 31 8·2	24·11	— 25 42 22	−42·4
12	17 33 33·0	24·16	— 25 46 33	−41·0
13	17 35 58·1	24·21	— 25 50 34	−39·5
14	17 38 23·5	24·26	— 25 54 27	−38·1
15	17 40 49·3	24·31	— 25 58 11	−36·6
16	17 43 15·3	24·36	— 26 1 46	−35·1
17	17 45 41·6	24·41	— 26 5 12	−33·6
18	17 48 8·2	24·45	— 26 8 29	−32·1
19	17 50 35·1	24·50	— 26 11 37	−30·5
20	17 53 2·2	24·54	— 26 14 35	−29·0
21	17 55 29·6	24·59	— 26 17 25	−27·5
22	17 57 57·2	24·63	— 26 20 5	−25·9
23	18 0 25·1	24·67	— 26 22 36	−24·3

Mittwoch 30.

Mittlere Green. Zeit	Rectascension	Aenderung in 10m	Declination — Süd	Aenderung in 10m
0	18 2 53·3	24·71	— 26 24 57	−22·8
1	18 5 21·7	24·75	— 26 27 9	−21·2
2	18 7 50·3	24·79	— 26 29 11	−19·6
3	18 10 19·1	24·82	— 26 31 4	−18·0
4	18 12 48·1	24·86	— 26 32 47	−16·4
5	18 15 17·4	24·89	— 26 34 21	−14·8
6	18 17 46·9	24·92	— 26 35 45	−13·2
7	18 20 16·5	24·96	— 26 36 59	−11·6
8	18 22 46·3	24·99	— 26 38 3	− 9·9
9	18 25 16·3	25·02	— 26 38 58	− 8·3
10	18 27 46·5	25·04	— 26 39 43	− 6·6
11	18 30 16·9	25·07	— 26 40 18	− 5·0
12	18 32 47·4	25·09	— 26 40 43	− 3·4
13	18 35 18·0	25·12	— 26 40 58	− 1·7
14	18 37 48·8	25·14	— 26 41 3	0·0
15	18 40 19·7	25·16	— 26 40 59	+ 1·6
16	18 42 50·7	25·18	— 26 40 44	+ 3·3
17	18 45 21·9	25·20	— 26 40 19	+ 5·0
18	18 47 53·1	25·22	— 26 39 44	+ 6·6
19	18 50 24·4	25·23	— 26 38 59	+ 8·3
20	18 52 55·9	25·25	— 26 38 4	+10·0
21	18 55 27·4	25·26	— 26 36 59	+11·7
22	18 57 59·0	25·27	— 26 35 44	+13·4
23	19 0 30·6	25·28	— 26 34 19	+15·1
24	19 3 2·3	25·29	— 26 32 43	+16·8

Donnerstag 31.

Mittlere Green. Zeit	Rectascension	Aenderung in 10m	Declination — Süd	Aenderung in 10m
h	h m s	s	° ′ ″	″
0	19 3 2·3	25·29	— 26 32 43	+16·8
1	19 5 34·1	25·29	— 26 30 58	+18·4
2	19 8 5·9	25·30	— 26 29 2	+20·1
3	19 10 37·7	25·30	— 26 26 56	+21·8
4	19 13 9·5	25·31	— 26 24 40	+23·5
5	19 15 41·4	25·31	— 26 22 14	+25·2
6	19 18 13·3	25·31	— 26 19 37	+26·9
7	19 20 45·1	25·31	— 26 16 51	+28·6
8	19 23 17·0	25·31	— 26 13 54	+30·3
9	19 25 48·8	25·30	— 26 10 48	+32·0
10	19 28 20·6	25·30	— 26 7 31	+33·6
11	19 30 52·4	25·29	— 26 4 4	+35·3
12	19 33 24·1	25·28	— 26 0 27	+37·0
13	19 35 55·7	25·27	— 25 56 40	+38·7
14	19 38 27·3	25·26	— 25 52 42	+40·4
15	19 40 58·9	25·25	— 25 48 35	+42·0
16	19 43 30·3	25·24	— 25 44 18	+43·7
17	19 46 1·7	25·22	— 25 39 51	+45·3
18	19 48 33·0	25·21	— 25 35 14	+47·0
19	19 51 4·2	25·19	— 25 30 27	+48·7
20	19 53 35·3	25·17	— 25 25 30	+50·3
21	19 56 6·3	25·15	— 25 20 23	+51·9
22	19 58 37·1	25·13	— 25 15 6	+53·6
23	20 1 7·9	25·11	— 25 9 40	+55·2

Freitag, Januar 1, 1892.

Mittlere Green. Zeit	Rectascension	Aenderung in 10m	Declination — Süd	Aenderung in 10m
0	20 3 38·4	25·09	— 25 4 4	+56·8

PHASEN DES MONDES.

Mittlere Greenwicher Zeit.

	h m	
December 8.	5 13·3	☽ Erstes Viertel.
15.	0 52·9	○ Vollmond.
22.	17 38·5	☾ Letztes Viertel.
30.	15 19·9	● Neumond.

	h	
December 11.	7	☾ Perigaeum.
23.	6	☾ Apogaeum.

Venus.

Datum	Mittlerer Greenwicher Mittag. Rect-ascension	Stdl. Aend.	Declination – Süd	Stdl. Aend.	Im Meridian. Mittlere Gr. Zeit
	h m s	s	° ′ ″	″	h m
1	17 49 46·3	+13·71	—24 22 58	— 8·7	1 9·6
2	17 55 15·5	+13·72	—24 26 4	— 6·9	1 11·2
3	18 0 45·0	+13·73	—24 28 26	— 5·0	1 12·7
4	18 6 14·6	+13·74	—24 30 3	— 3·1	1 14·3
5	18 11 44·3	+13·74	—24 30 55	— 1·2	1 15·8
6	18 17 13·9	+13·73	—24 31 1	+ 0·7	1 17·4
7	18 22 43·5	+13·73	—24 30 22	+ 2·6	1 18·9
8	18 28 13·0	+13·72	—24 28 57	+ 4·5	1 20·5
9	18 33 42·3	+13·71	—24 26 47	+ 6·3	1 22·0
10	18 39 11·2	+13·70	—24 23 52	+ 8·2	1 23·6
11	18 44 39·8	+13·69	—24 20 13	+10·1	1 25·1
12	18 50 8·1	+13·67	—24 15 48	+12·0	1 26·6
13	18 55 35·8	+13·65	—24 10 38	+13·8	1 28·2
14	19 1 3·0	+13·62	—24 4 44	+15·7	1 29·7
15	19 6 29·6	+13·60	—23 58 6	+17·5	1 31·2
16	19 11 55·6	+13·57	—23 50 44	+19·3	1 32·7
17	19 17 20·9	+13·54	—23 42 38	+21·1	1 34·1
18	19 22 45·4	+13·50	—23 33 49	+22·9	1 35·6
19	19 28 9·0	+13·47	—23 24 17	+24·7	1 37·0
20	19 33 31·8	+13·43	—23 14 3	+26·5	1 38·5
21	19 38 53·7	+13·39	—23 3 7	+28·2	1 39·9
22	19 44 14·6	+13·35	—22 51 29	+29·9	1 41·3
23	19 49 34·5	+13·31	—22 39 10	+31·6	1 42·7
24	19 54 53·3	+13·26	—22 26 11	+33·1	1 44·1
25	20 0 11·1	+13·22	—22 12 32	+35·0	1 45·4
26	20 5 27·7	+13·17	—21 58 13	+36·6	1 46·8
27	20 10 43·2	+13·12	—21 43 15	+38·2	1 48·1
28	20 15 57·5	+13·07	—21 27 39	+39·8	1 49·4
29	20 21 10·5	+13·02	—21 11 25	+41·4	1 50·7
30	20 26 22·3	+12·96	—20 54 34	+42·9	1 51·9
31	20 31 32·7	+12·91	—20 37 7	+44·4	1 53·2
J.1	20 36 41·9	+12·86	—20 19 4	+45·9	1 54·4

Datum	Halbmesser	Horizontal-Parallaxe
	″	″
1	5·4	5·6
11	5·5	5·7
21	5·6	5·8
31	5·8	6·0

Mars.

Datum	Mittlerer Greenwicher Mittag. Rect-ascension	Stdl. Aend.	Declination – Süd	Stdl. Aend.	Im Meridian. Mittlere Gr. Zeit
	h m s	s	° ′ ″	″	h m
1	13 36 49·8	+5·96	— 9 0 18	—35·1	20 55·3
2	13 39 13·0	+5·97	— 9 14 19	—35·0	20 53·7
3	13 41 36·4	+5·98	— 9 28 16	—34·8	20 52·2
4	13 44 0·0	+5·99	— 9 42 9	—34·6	20 50·6
5	13 46 23·7	+5·99	— 9 55 59	—34·5	20 49·1
6	13 48 47·7	+6·00	—10 9 44	—34·3	20 47·5
7	13 51 11·8	+6·01	—10 23 25	—34·1	20 46·0
8	13 53 36·1	+6·02	—10 37 1	—33·9	20 44·4
9	13 56 0·7	+6·03	—10 50 33	—33·8	20 42·9
10	13 58 25·4	+6·03	—11 4 1	—33·6	20 41·4
11	14 0 50·3	+6·04	—11 17 25	—33·4	20 39·9
12	14 3 15·5	+6·05	—11 30 43	—33·2	20 38·3
13	14 5 40·8	+6·06	—11 43 57	—33·0	20 36·8
14	14 8 6·4	+6·07	—11 57 7	—32·8	20 35·3
15	14 10 32·2	+6·08	—12 10 11	—32·6	20 33·8
16	14 12 58·3	+6·09	—12 23 10	—32·4	20 32·3
17	14 15 24·5	+6·10	—12 36 5	—32·2	20 30·8
18	14 17 51·0	+6·11	—12 48 54	—31·9	20 29·3
19	14 20 17·8	+6·12	—13 1 38	—31·7	20 27·8
20	14 22 44·8	+6·13	—13 14 17	—31·5	20 26·3
21	14 25 12·0	+6·14	—13 26 50	—31·3	20 24·8
22	14 27 39·4	+6·15	—13 39 18	—31·0	20 23·4
23	14 30 7·1	+6·16	—13 51 40	—30·8	20 21·9
24	14 32 35·1	+6·17	—14 3 57	—30·6	20 20·4
25	14 35 3·3	+6·18	—14 16 8	—30·3	20 19·0
26	14 37 31·7	+6·19	—14 28 13	—30·1	20 17·5
27	14 40 0·4	+6·20	—14 40 11	—29·8	20 16·0
28	14 42 29·3	+6·21	—14 52 4	—29·6	20 14·5
29	14 44 58·5	+6·22	—15 3 51	—29·3	20 13·1
30	14 47 27·9	+6·23	—15 15 32	—29·1	20 11·6
31	14 49 57·5	+6·24	—15 27 6	—28·8	20 10·2
J.1	14 52 27·3	+6·25	—15 38 33	—28·5	20 8·7

Datum	Halbmesser	Horizontal-Parallaxe
	″	″
1	2·3	4·0
11	2·4	4·1
21	2·5	4·3
31	2·6	4·5

Jupiter.

Datum	Rectascension (Mittlerer Greenwicher Mittag)	Stdl. Aend.	Declination − Süd	Stdl. Aend.	Im Meridian. Mittlere Gr. Zeit
	h m s	s	° ′ ″	″	h m
1	22 45 59·7	+0·84	−9 12 37	+ 5·7	6 4·9
2	22 46 20·3	+0·87	−9 10 20	+ 5·8	6 1·3
3	22 46 41·5	+0·90	−9 7 58	+ 6·0	5 57·7
4	22 47 3·4	+0·93	−9 5 32	+ 6·2	5 54·1
5	22 47 26·0	+0·95	−9 3 2	+ 6·3	5 50·6
6	22 47 49·2	+0·98	−9 0 29	+ 6·5	5 47·0
7	22 48 13·0	+1·00	−8 57 52	+ 6·6	5 43·5
8	22 48 37·4	+1·03	−8 55 10	+ 6·8	5 40·0
9	22 49 2·5	+1·06	−8 52 25	+ 7·0	5 36·5
10	22 49 28·2	+1·08	−8 49 36	+ 7·1	5 33·0
11	22 49 54·5	+1·11	−8 46 44	+ 7·3	5 29·5
12	22 50 21·3	+1·13	−8 43 48	+ 7·4	5 26·0
13	22 50 48·8	+1·16	−8 40 48	+ 7·6	5 22·5
14	22 51 16·8	+1·18	−8 37 45	+ 7·7	5 19·0
15	22 51 45·4	+1·20	−8 34 38	+ 7·9	5 15·6
16	22 52 14·6	+1·23	−8 31 28	+ 8·0	5 12·1
17	22 52 44·3	+1·25	−8 28 14	+ 8·2	5 8·7
18	22 53 14·6	+1·27	−8 24 57	+ 8·3	5 5·3
19	22 53 45·4	+1·30	−8 21 36	+ 8·4	5 1·8
20	22 54 16·8	+1·32	−8 18 12	+ 8·6	4 58·4
21	22 54 48·7	+1·34	−8 14 45	+ 8·7	4 55·0
22	22 55 21·1	+1·36	−8 11 14	+ 8·8	4 51·6
23	22 55 54·0	+1·38	−8 7 40	+ 9·0	4 48·3
24	22 56 27·5	+1·40	−8 4 3	+ 9·1	4 44·9
25	22 57 1·4	+1·43	−8 0 23	+ 9·2	4 41·5
26	22 57 35·9	+1·45	−7 56 40	+ 9·4	4 38·2
27	22 58 10·8	+1·47	−7 52 53	+ 9·5	4 34·8
28	22 58 46·2	+1·49	−7 49 4	+ 9·6	4 31·5
29	22 59 22·1	+1·51	−7 45 11	+ 9·8	4 28·1
30	22 59 58·5	+1·52	−7 41 16	+ 9·9	4 24·8
31	23 0 35·3	+1·54	−7 37 17	+10·0	4 21·5
J. 1	23 1 12·6	+1·56	−7 33 16	+10·1	4 18·2

Saturn.

Datum	Rectascension (Mittlerer Greenwicher Mittag)	Stdl. Aend.	Declination + Nord	Stdl. Aend.	Im Meridian. Mittlere Gr. Zeit
	h m s	s	° ′ ″	″	h m
1	11 58 56·4	+0·63	+2 24 26	−3·4	19 15·7
2	11 59 11·3	+0·62	+2 23 5	−3·3	19 12·1
3	11 59 26·0	+0·60	+2 21 46	−3·2	19 8·4
4	11 59 40.3	+0·59	+2 20 30	−3·1	19 4·7
5	11 59 54·2	+0·57	+2 19 16	−3·0	19 1·0
6	12 0 7·8	+0·56	+2 18 4	−2·9	18 57·2
7	12 0 21·1	+0·55	+2 16 54	−2·8	18 53·5
8	12 0 34·0	+0·53	+2 15 47	−2·7	18 49·8
9	12 0 46·6	+0·52	+2 14 42	−2·6	18 46·1
10	12 0 58·9	+0·50	+2 13 40	−2·5	18 42·4
11	12 1 10·8	+0·49	+2 12 40	−2·4	18 38·6
12	12 1 22·3	+0·47	+2 11 42	−2·3	18 34·9
13	12 1 33·5	+0·46	+2 10 47	−2·2	18 31·1
14	12 1 44·3	+0·44	+2 9 54	−2·1	18 27·4
15	12 1 54·8	+0·43	+2 9 4	−2·0	18 23·6
16	12 2 4·9	+0·41	+2 8 16	−1·9	18 19·8
17	12 2 14·6	+0·40	+2 7 31	−1·8	18 16·1
18	12 2 24·0	+0·38	+2 6 48	−1·7	18 12·3
19	12 2 32·9	+0·37	+2 6 8	−1·6	18 8·5
20	12 2 41·5	+0·35	+2 5 30	−1·5	18 4·7
21	12 2 49·8	+0·33	+2 4 55	−1·4	18 0·9
22	12 2 57·6	+0·32	+2 4 22	−1·3	17 57·1
23	12 3 5·1	+0·30	+2 3 52	−1·2	17 53·3
24	12 3 12·2	+0·29	+2 3 24	−1·1	17 49·4
25	12 3 18·9	+0·27	+2 2 59	−1·0	17 45·6
26	12 3 25·2	+0·25	+2 2 36	−0·9	17 41·8
27	12 3 31·1	+0·24	+2 2 16	−0·8	17 38·0
28	12 3 36·6	+0·22	+2 1 59	−0·7	17 34·1
29	12 3 41·7	+0·21	+2 1 45	−0·6	17 30·3
30	12 3 46·4	+0·19	+2 1 33	−0·5	17 26·4
31	12 3 50·7	+0·17	+2 1 23	−0·3	17 22·5
J. 1	12 3 54·6	+0·16	+2 1 16	−0·2	17 18·7

Datum	Jupiter Halbmesser	Jupiter Horizontal-Parallaxe	Datum	Saturn Halbmesser	Saturn Horizontal-Parallaxe
	″	″		″	″
1	19·4	1·8	1	8·0	1·0
11	18·8	1·8	11	8·2	1·0
21	18·2	1·7	21	8·3	1·0
31	17·7	1·7	31	8·5	1·0

MOND-DISTANZEN.

Mittlere Greenwicher Zeit.

Datum	Namen u. Lage der Sterne		Mittag	Lg. pr.	III^h	Lg. pr.	VI^h	Lg. pr.	IX^h	Lg. pr.
			° ′ ″		° ′ ″		° ′ ″		° ′ ″	
3	Sonne	W.	24 8 44	2955	25 39 53	2946	27 11 14	2936	28 42 47	2927
	Fomalhaut	O.	58 26 1	2844	56 52 30	2845	55 19 0	2847	53 45 33	2850
	Jupiter	O.	64 35 51	2647	62 58 0	2640	61 19 59	2632	59 41 47	2624
	α Pegasi	O.	78 51 56	3019	77 22 7	3017	75 52 15	3014	74 22 20	3013
4	Sonne	W.	36 23 23	2883	37 56 4	2875	39 28 55	2867	41 1 56	2859
	Fomalhaut	O.	45 59 55	2889	44 27 22	2902	42 55 6	2920	41 23 12	2939
	Jupiter	O.	51 28 16	2588	49 49 5	2582	48 9 45	2574	46 30 15	2569
	α Pegasi	O.	66 52 49	3023	65 23 5	3028	63 53 27	3035	62 23 58	3044
	α Arietis	O.	108 18 26	2640	106 40 25	2630	105 2 11	2621	103 23 45	2612
5	Sonne	W.	48 49 39	2819	50 23 42	2811	51 57 55	2805	53 32 17	2797
	Jupiter	O.	38 10 43	2540	36 30 26	2536	34 50 3	2531	33 9 33	2527
	α Pegasi	O.	54 59 55	3115	53 32 4	3137	52 4 39	3162	50 37 44	3189
	α Arietis	O.	95 8 42	2572	93 29 9	2565	91 49 26	2558	90 9 33	2551
6	Sonne	W.	61 26 33	2760	63 1 53	2753	64 37 22	2747	66 13 0	2739
	α Aquilæ	W.	37 26 14	6322	38 8 13	5993	38 53 30	5704	39 41 54	5447
	α Arietis	O.	81 47 52	2520	80 7 6	2515	78 26 13	2509	76 45 12	2504
	Aldebaran	O.	112 6 18	2459	110 24 7	2452	108 41 46	2444	106 59 14	2438
7	Sonne	W.	74 13 28	2705	75 50 1	2699	77 26 42	2692	79 3 33	2686
	α Aquilæ	W.	44 24 43	4518	45 28 19	4383	46 33 56	4260	47 41 26	4149
	α Arietis	O.	68 18 28	2482	66 36 50	2480	64 55 8	2476	63 13 21	2473
	Aldebaran	O.	98 24 11	2404	96 40 42	2397	94 57 3	2391	93 13 16	2385
8	Sonne	W.	87 9 54	2654	88 47 36	2648	90 25 26	2642	92 3 24	2636
	α Aquilæ	W.	53 42 58	3722	54 59 22	3656	56 16 56	3597	57 35 34	3541
	α Arietis	O.	54 43 46	2468	53 1 48	2470	51 19 52	2472	49 37 59	2474
	Aldebaran	O.	84 32 9	2355	82 47 30	2350	81 2 44	2345	79 17 50	2340
9	Sonne	W.	100 15 11	2608	101 53 55	2603	103 32 46	2598	105 11 44	2593
	α Aquilæ	W.	64 22 36	3324	65 46 20	3290	67 10 43	3259	68 35 43	3230
	Fomalhaut	W.	29 31 8	3045	31 0 25	2965	32 31 22	2896	34 3 46	2837
	α Arietis	O.	41 10 5	2509	39 29 4	2521	37 48 20	2537	36 7 58	2556
	Aldebaran	O.	70 31 31	2316	68 45 55	2312	67 0 13	2309	65 14 26	2304
	Pollux	O.	114 35 24	2288	112 49 7	2283	111 2 43	2278	109 16 11	2273
10	Sonne	W.	113 28 8	2572	115 7 41	2568	116 47 20	2565	118 27 3	2562
	α Aquilæ	W.	75 48 15	3121	77 15 59	3105	78 44 2	3091	80 12 22	3079
	Fomalhaut	W.	42 2 6	2633	43 40 16	2606	45 19 3	2581	46 58 24	2558
	Jupiter	W.	31 23 9	2320	33 8 40	2313	34 54 21	2307	36 40 10	2302
	Aldebaran	O.	56 24 18	2291	54 38 5	2289	52 51 50	2289	51 5 34	2288
	Pollux	O.	100 21 54	2253	98 34 45	2249	96 47 31	2246	95 0 12	2243
11	α Aquilæ	W.	87 37 4	3043	89 6 23	3042	90 35 44	3041	92 5 6	3042
	Fomalhaut	W.	55 21 51	2478	57 3 35	2467	58 45 35	2457	60 27 49	2448
	Jupiter	W.	45 30 55	2283	47 17 19	2281	49 3 46	2279	50 50 16	2278
	α Pegasi	W.	40 3 36	3308	41 27 38	3232	42 53 9	3165	44 20 0	3105
	Aldebaran	O.	42 14 16	2294	40 28 8	2298	38 42 5	2302	36 56 9	2309
	Pollux	O.	86 2 37	2232	84 14 57	2231	82 27 15	2229	80 39 31	2229

MOND-DISTANZEN.

Mittlere Greenwicher Zeit.

Datum	Namen u. Lage der Sterne		Mitter-nacht	Lg. pr.	XV^h	Lg. pr.	XVIII^h	Lg. pr.	XXI^h	Lg. pr.
			° ′ ″		° ′ ″		° ′ ″		° ′ ″	
3	Sonne	W.	30 14 32	2918	31 46 28	2909	33 18 35	2900	34 50 54	2892
	Fomalhaut	O.	52 12 10	2855	50 38 53	2860	49 5 43	2868	47 32 43	2877
	Jupiter	O.	58 3 25	2617	56 24 53	2609	54 46 10	2602	53 7 18	2595
	α Pegasi	O.	72 52 24	3013	71 22 27	3014	69 52 32	3016	68 22 39	3018
4	Sonne	W.	42 35 8	2850	44 8 31	2843	45 42 3	2835	47 15 46	2827
	Fomalhaut	O.	39 51 43	2963	38 20 44	2991	36 50 20	3024	35 20 37	3062
	Jupiter	O.	44 50 37	2562	43 10 50	2557	41 30 56	2551	39 50 53	2545
	α Pegasi	O.	60 54 40	3054	59 25 34	3066	57 56 43	3080	56 28 9	3096
	α Arietis	O.	101 45 7	2604	100 6 18	2596	98 27 17	2588	96 48 5	2580
5	Sonne	W.	55 6 49	2789	56 41 31	2782	58 16 22	2775	59 51 23	2768
	Jupiter	O.	31 28 58	2525	29 48 19	2522	28 7 36	2520	26 26 51	2520
	α Pegasi	O.	49 11 22	3220	47 45 37	3258	46 20 36	3299	44 56 23	3345
	α Arietis	O.	88 29 31	2544	86 49 19	2538	85 8 59	2531	83 28 29	2526
6	Sonne	W.	67 48 48	2733	69 24 44	2725	71 0 50	2719	72 37 5	2713
	α Aquilæ	W.	40 33 15	5219	41 27 22	5016	42 24 5	4832	43 23 15	4666
	α Arietis	O.	75 4 4	2499	73 22 49	2494	71 41 28	2490	70 0 1	2486
	Aldebaran	O.	105 16 33	2431	103 33 42	2424	101 50 41	2417	100 7 31	2410
7	Sonne	W.	80 40 32	2679	82 17 40	2673	83 54 56	2666	85 32 21	2660
	α Aquilæ	W.	48 50 41	4047	50 1 34	3955	51 13 58	3870	52 27 48	3792
	α Arietis	O.	61 31 30	2472	59 49 37	2470	58 7 41	2469	56 25 44	2468
	Aldebaran	O.	91 29 20	2379	89 45 15	2373	88 1 1	2367	86 16 39	2362
8	Sonne	W.	93 41 30	2630	95 19 44	2625	96 58 5	2619	98 36 34	2613
	α Aquilæ	W.	58 55 13	3489	60 15 49	3443	61 37 17	3400	62 59 33	3359
	α Arietis	O.	47 56 9	2478	46 14 25	2483	44 32 48	2490	42 51 21	2498
	Aldebaran	O.	77 32 49	2335	75 47 40	2330	74 2 24	2325	72 17 1	2320
9	Sonne	W.	106 50 48	2588	108 29 59	2584	110 9 16	2580	111 48 39	2575
	α Aquilæ	W.	70 1 17	3204	71 27 21	3180	72 53 54	3159	74 20 52	3138
	Fomalhaut	W.	35 37 26	2785	37 12 13	2741	38 47 59	2700	40 24 39	2665
	α Arietis	O.	34 28 2	2578	32 48 37	2606	31 9 50	2640	29 31 49	2680
	Aldebaran	O.	63 28 33	2301	61 42 35	2298	59 56 33	2296	58 10 27	2294
	Pollux	O.	107 29 32	2269	105 42 47	2265	103 55 56	2260	102 8 58	2256
10	Sonne	W.	120 6 50	2559	121 46 41	2556	123 26 36	2555	125 6 33	2553
	α Aquilæ	W.	81 40 57	3069	83 9 44	3060	84 38 43	3053	86 7 50	3047
	Fomalhaut	W.	48 38 16	2539	50 18 35	2521	51 59 19	2505	53 40 25	2491
	Jupiter	W.	38 26 7	2297	40 12 11	2293	41 58 21	2289	43 44 36	2287
	Aldebaran	O.	49 19 17	2287	47 32 59	2289	45 46 43	2289	44 0 28	2291
	Pollux	O.	93 12 48	2240	91 25 20	2238	89 37 49	2235	87 50 14	2234
11	α Aquilæ	W.	93 34 27	3045	95 3 44	3050	96 32 55	3056	98 1 59	3064
	Fomalhaut	W.	62 10 15	2441	63 52 52	2434	65 35 38	2429	67 18 32	2424
	Jupiter	W.	52 36 48	2277	54 23 22	2277	56 9 56	2276	57 56 31	2277
	α Pegasi	W.	45 48 4	3052	47 17 12	3005	48 47 18	2964	50 18 16	2927
	Aldebaran	O.	35 10 22	2316	33 24 46	2325	31 39 23	2337	29 54 17	2350
	Pollux	O.	78 51 47	2229	77 4 2	2229	75 16 17	2229	73 28 33	2230

MOND-DISTANZEN.

Mittlere Greenwicher Zeit.

Datum	Namen u. Lage der Sterne		Mittag	Lg. pr.	III^h	Lg. pr.	VI^h	Lg. pr.	IX^h	Lg. pr.
			° ′ ″		° ′ ″		° ′ ″		° ′ ″	
12	α Aquilæ	W.	99 30 53	3074	100 59 34	3086	102 28 1	3100	103 56 11	3115
	Fomalhaut	W.	69 1 33	2420	70 44 39	2418	72 27 48	2416	74 11 0	2415
	Jupiter	W.	59 43 5	2277	61 29 38	2279	63 16 9	2280	65 2 38	2282
	α Pegasi	W.	51 50 0	2894	53 22 27	2866	54 55 30	2839	56 29 7	2817
	Pollux	O.	71 40 50	2231	69 53 9	2233	68 5 30	2235	66 17 54	2237
	Regulus	O.	107 58 28	2243	106 11 5	2245	104 23 44	2247	102 36 26	2249
13	Fomalhaut	W.	82 46 57	2422	84 30 0	2426	86 12 58	2431	87 55 49	2436
	Jupiter	W.	73 54 4	2299	75 40 5	2304	77 25 59	2309	79 11 45	2315
	α Pegasi	W.	64 23 24	2742	65 59 8	2733	67 35 4	2726	69 11 9	2721
	α Arietis	W.	20 59 24	3028	22 29 2	2924	24 0 51	2841	25 34 26	2776
	Pollux	O.	57 21 1	2256	55 33 56	2261	53 46 59	2266	52 0 10	2272
	Regulus	O.	93 40 53	2266	91 54 3	2270	90 7 19	2276	88 20 44	2281
14	Fomalhaut	W.	96 27 50	2473	98 9 41	2484	99 51 17	2494	101 32 39	2505
	Jupiter	W.	87 58 18	2350	89 43 5	2359	91 27 39	2367	93 12 1	2376
	α Pegasi	W.	77 12 40	2716	78 48 58	2719	80 25 12	2724	82 1 20	2730
	α Arietis	W.	33 38 55	2600	35 17 50	2583	36 57 9	2570	38 36 45	2561
	Pollux	O.	43 8 29	2309	41 22 43	2317	39 37 9	2327	37 51 49	2337
	Regulus	O.	79 30 5	2317	77 44 30	2325	75 59 7	2334	74 13 57	2343
	Saturn	O.	110 39 11	2319	108 53 39	2326	107 8 18	2335	105 23 10	2344
15	Jupiter	W.	101 50 19	2429	103 33 13	2441	105 15 50	2453	106 58 10	2465
	α Pegasi	W.	89 59 40	2773	91 34 43	2785	93 9 30	2798	94 44 0	2812
	α Arietis	W.	46 56 56	2547	48 37 4	2550	50 17 8	2553	51 57 7	2558
	Pollux	O.	29 8 57	2394	27 25 14	2408	25 41 50	2422	23 58 46	2436
	Regulus	O.	65 31 40	2396	63 48 0	2408	62 4 36	2420	60 21 30	2433
	Saturn	O.	96 40 55	2395	94 57 13	2406	93 13 47	2417	91 30 37	2430
16	α Pegasi	W.	102 31 35	2896	104 3 59	2916	105 35 57	2937	107 7 29	2959
	α Arietis	W.	60 14 56	2596	61 53 56	2606	63 32 43	2617	65 11 15	2627
	Aldebaran	W.	29 34 29	2591	31 13 37	2593	32 52 41	2598	34 31 39	2604
	Regulus	O.	51 50 38	2502	50 9 27	2516	48 28 36	2532	46 48 7	2547
	Saturn	O.	82 59 11	2493	81 17 48	2507	79 36 44	2521	77 56 0	2535
	Spica	O.	105 53 12	2494	104 11 50	2507	102 30 47	2520	100 50 2	2535
17	α Arietis	W.	73 20 3	2689	74 56 58	2702	76 33 35	2715	78 9 55	2729
	Aldebaran	W.	42 43 50	2651	44 21 36	2663	45 59 6	2674	47 36 21	2686
	Regulus	O.	38 31 11	2630	36 52 57	2649	35 15 8	2666	33 37 43	2686
	Saturn	O.	69 37 14	2607	67 58 29	2622	66 20 4	2637	64 41 59	2652
	Spica	O.	92 31 12	2607	90 52 26	2621	89 13 59	2636	87 35 53	2651
	Mars	O.	105 46 48	2803	104 12 24	2819	102 38 21	2834	101 4 37	2850
18	α Arietis	W.	86 6 54	2801	87 41 21	2815	89 15 30	2830	90 49 19	2844
	Aldebaran	W.	55 38 24	2750	57 13 57	2764	58 49 12	2777	60 24 10	2791
	Saturn	O.	56 36 38	2727	55 0 34	2742	53 24 50	2756	51 49 25	2772
	Spica	O.	79 30 25	2726	77 54 20	2741	76 18 34	2756	74 43 8	2771
	Mars	O.	93 21 2	2928	91 49 19	2944	90 17 56	2959	88 46 52	2974
19	α Arietis	W.	98 33 44	2917	100 5 41	2931	101 37 20	2946	103 8 41	2960
	Aldebaran	W.	68 14 37	2857	69 47 51	2869	71 20 49	2883	72 53 30	2895
	Pollux	W.	23 59 21	2845	25 32 50	2856	27 6 5	2867	28 39 6	2879

MOND-DISTANZEN.

Mittlere Greenwicher Zeit.

Datum	Namen u. Lage der Sterne		Mitternacht	Lg. pr.	XV^h	Lg. pr.	XVIII^h	Lg. pr.	XXI^h	Lg. pr.
			° ′ ″		° ′ ″		° ′ ″		° ′ ″	
12	α Aquilæ	W.	105 24 2	3133	106 51 31	3154	108 18 35	3177	109 45 12	3203
	Fomalhaut	W.	75 54 13	2415	77 37 27	2415	79 20 40	2417	81 3 50	2419
	Jupiter	W.	66 49 4	2285	68 35 26	2287	70 21 44	2291	72 7 57	2295
	α Pegasi	W.	58 3 13	2797	59 37 45	2780	61 12 39	2765	62 47 53	2752
	Pollux	O.	64 30 22	2240	62 42 54	2243	60 55 31	2247	59 8 13	2251
	Regulus	O.	100 49 11	2251	99 1 59	2253	97 14 51	2258	95 27 49	2262
13	Fomalhaut	W.	89 38 32	2442	91 21 7	2448	93 3 33	2457	94 45 47	2465
	Jupiter	W.	80 57 23	2321	82 42 52	2328	84 28 11	2335	86 13 20	2342
	α Pegasi	W.	70 47 21	2717	72 23 38	2714	73 59 59	2714	75 36 20	2715
	α Arietis	W.	27 9 25	2723	28 45 34	2681	30 22 39	2648	32 0 29	2621
	Pollux	O.	50 13 30	2279	48 26 59	2285	46 40 38	2293	44 54 28	2300
	Regulus	O.	86 34 17	2287	84 47 59	2294	83 1 50	2301	81 15 52	2309
14	Fomalhaut	W.	103 13 45	2517	104 54 34	2530	106 35 5	2543	108 15 18	2558
	Jupiter	W.	94 56 10	2387	96 40 4	2396	98 23 44	2407	100 7 9	2417
	α Pegasi	W.	83 37 20	2736	85 13 12	2744	86 48 54	2753	88 24 23	2763
	α Arietis	W.	40 16 34	2553	41 56 33	2549	43 36 38	2547	45 16 46	2545
	Pollux	O.	36 6 43	2347	34 21 52	2358	32 37 17	2369	30 52 58	2382
	Regulus	O.	72 29 0	2353	70 44 17	2363	68 59 49	2374	67 15 37	2384
	Saturn	O.	103 38 15	2354	101 53 34	2363	100 9 6	2373	98 24 53	2384
15	Jupiter	W.	108 40 13	2477	110 21 58	2490	112 3 25	2504	113 44 33	2517
	α Pegasi	W.	96 18 12	2827	97 52 5	2843	99 25 37	2859	100 58 48	2878
	α Arietis	W.	53 37 0	2564	55 16 44	2571	56 56 19	2579	58 35 43	2587
	Pollux	O.	22 16 3	2453	20 33 43	2470	18 51 48	2489	17 10 20	2510
	Regulus	O.	58 38 42	2445	56 56 12	2459	55 14 1	2473	53 32 10	2487
	Saturn	O.	89 47 45	2441	88 5 9	2454	86 22 51	2467	84 40 52	2480
16	α Pegasi	W.	108 38 33	2981	110 9 9	3006	111 39 14	3031	113 8 48	3057
	α Arietis	W.	66 49 33	2639	68 27 35	2651	70 5 21	2663	71 42 51	2676
	Aldebaran	W.	36 10 28	2612	37 49 7	2620	39 27 35	2630	41 5 49	2640
	Regulus	O.	45 7 59	2563	43 28 13	2579	41 48 49	2596	40 9 48	2613
	Saturn	O.	76 15 35	2549	74 35 30	2563	72 55 44	2578	71 16 19	2593
	Spica	O.	99 9 37	2548	97 29 31	2563	95 49 45	2577	94 10 19	2591
17	α Arietis	W.	79 45 56	2744	81 21 38	2757	82 57 2	2771	84 32 8	2786
	Aldebaran	W.	49 13 20	2698	50 50 2	2712	52 26 26	2724	54 2 34	2738
	Regulus	O.	32 0 44	2706	30 24 12	2726	28 48 7	2748	27 12 31	2769
	Saturn	O.	63 4 15	2666	61 26 50	2682	59 49 46	2697	58 13 2	2712
	Spica	O.	85 58 7	2666	84 20 42	2681	82 43 36	2696	81 6 51	2710
	Mars	O.	99 31 14	2866	97 58 11	2881	96 25 28	2897	94 53 5	2912
18	α Arietis	W.	92 22 50	2859	93 56 1	2873	95 28 54	2887	97 1 29	2903
	Aldebaran	W.	61 58 50	2805	63 33 12	2818	65 7 17	2830	66 41 6	2844
	Saturn	O.	50 14 20	2786	48 39 34	2800	47 5 6	2815	45 30 58	2829
	Spica	O.	73 8 2	2785	71 33 15	2800	69 58 47	2815	68 24 38	2829
	Mars	O.	87 16 7	2989	85 45 41	3005	84 15 34	3019	82 45 45	3034
19	α Arietis	W.	104 39 44	2974	106 10 29	2988	107 40 57	3002	109 11 7	3016
	Aldebaran	W.	74 25 55	2907	75 58 5	2919	77 30 0	2931	79 1 39	2942
	Pollux	W.	30 11 52	2891	31 44 23	2902	33 16 39	2912	34 48 42	2924

MOND-DISTANZEN.

Mittlere Greenwicher Zeit.

Datum	Namen u. Lage der Sterne		Mittag	Lg. pr.	III^h	Lg. pr.	VI^h	Lg. pr.	IX^h	Lg. pr.
			° ′ ″		° ′ ″		° ′ ″		° ′ ″	
19	Saturn	O.	43 57 8	2843	42 23 36	2857	40 50 22	2871	39 17 26	2884
	Spica	O.	66 50 48	2843	65 17 16	2857	63 44 2	2871	62 11 6	2884
	Mars	O.	81 16 15	3048	79 47 2	3063	78 18 7	3077	76 49 29	3091
	Sonne	O.	131 20 35	3198	129 54 24	3213	128 28 30	3227	127 2 53	3242
20	Aldebaran	W.	80 33 4	2954	82 4 14	2965	83 35 11	2976	85 5 54	2985
	Pollux	W.	36 20 30	2935	37 52 5	2945	39 23 27	2956	40 54 35	2965
	Saturn	O.	31 36 57	2949	30 5 40	2961	28 34 38	2973	27 3 51	2985
	Spica	O.	54 30 39	2949	52 59 22	2962	51 28 21	2973	49 57 35	2985
	Mars	O.	69 30 23	3154	68 3 19	3167	66 36 30	3178	65 9 54	3189
	Sonne	O.	119 58 51	3307	118 34 48	3319	117 10 59	3331	115 47 23	3343
21	Aldebaran	W.	92 36 26	3032	94 5 59	3040	95 35 22	3048	97 4 35	3056
	Pollux	W.	48 27 21	3010	49 57 21	3018	51 27 12	3025	52 56 54	3031
	Spica	O.	42 27 15	3039	40 57 51	3050	39 28 40	3060	37 59 41	3069
	Mars	O.	58 0 3	3237	56 34 38	3246	55 9 23	3254	53 44 18	3262
	Sonne	O.	108 52 32	3393	107 30 7	3401	106 7 52	3410	104 45 47	3417
22	Aldebaran	W.	104 28 37	3086	105 57 4	3090	107 25 26	3094	108 53 43	3099
	Pollux	W.	60 23 28	3059	61 52 28	3064	63 21 22	3067	64 50 12	3070
	Regulus	W.	24 25 7	3138	25 52 31	3134	27 19 59	3131	28 47 31	3128
	Spica	O.	30 37 48	3119	29 10 1	3129	27 42 27	3141	26 15 7	3153
	Mars	O.	46 40 52	3292	45 16 31	3296	43 52 15	3300	42 28 3	3304
	Sonne	O.	97 57 21	3449	96 36 0	3454	95 14 44	3458	93 53 33	3462
23	Pollux	W.	72 13 35	3078	73 42 11	3078	75 10 47	3079	76 39 22	3078
	Regulus	W.	36 6 0	3116	37 33 50	3114	39 1 43	3111	40 29 39	3109
	Mars	O.	35 27 54	3313	34 3 57	3313	32 40 1	3313	31 16 4	3312
	Sonne	O.	87 8 26	3471	85 47 30	3472	84 26 35	3471	83 5 39	3471
24	Pollux	W.	84 2 49	3066	85 31 40	3063	87 0 35	3058	88 29 36	3054
	Regulus	W.	47 50 19	3089	49 18 42	3084	50 47 11	3079	52 15 46	3073
	Sonne	O.	76 20 38	3460	74 59 29	3456	73 38 16	3451	72 16 57	3446
25	Pollux	W.	95 56 14	3024	97 25 57	3017	98 55 49	3009	100 25 50	3001
	Regulus	W.	59 40 33	3039	61 9 57	3033	62 39 29	3024	64 9 12	3015
	Saturn	W.	28 1 42	3043	29 31 2	3034	31 0 32	3026	32 30 13	3017
	Sonne	O.	65 28 53	3415	64 6 54	3408	62 44 46	3400	61 22 29	3392
26	Pollux	W.	107 58 35	2956	109 29 43	2946	111 1 4	2935	112 32 38	2925
	Regulus	W.	71 40 34	2968	73 11 27	2958	74 42 33	2947	76 13 52	2936
	Saturn	W.	40 1 32	2968	41 32 25	2957	43 3 32	2946	44 34 52	2935
	Spica	W.	18 0 41	3110	19 28 38	3078	20 57 14	3050	22 26 25	3025
	Sonne	O.	54 28 32	3344	53 5 11	3332	51 41 37	3322	50 17 51	3312
27	Regulus	W.	83 54 3	2878	85 26 50	2866	86 59 53	2853	88 33 12	2841
	Saturn	W.	52 15 13	2875	53 48 4	2863	55 21 10	2851	56 54 32	2838
	Spica	W.	29 59 21	2924	31 31 9	2907	33 3 19	2890	34 35 51	2873
	Sonne	O.	43 15 44	3253	41 50 37	3240	40 25 15	3228	38 59 39	3216
28	Regulus	W.	96 23 53	2776	97 58 52	2763	99 34 8	2750	101 9 41	2737
	Saturn	W.	64 45 35	2772	66 20 39	2759	67 56 1	2745	69 31 41	2732
	Spica	W.	42 23 40	2795	43 58 14	2780	45 33 8	2766	47 8 21	2751
	Sonne	O.	31 48 2	3156	30 21 0	3144	28 53 44	3133	27 26 14	3123

MOND-DISTANZEN.

Mittlere Greenwicher Zeit.

Datum	Namen u. Lage der Sterne		Mitter-nacht	Lg. pr.	XV^h	Lg. pr.	XVIII^h	Lg. pr.	XXI^h	Lg. pr.
			° ′ ″		° ′ ″		° ′ ″		° ′ ″	
19	Saturn	O.	37 44 47	2898	36 12 25	2910	34 40 19	2924	33 8 30	2936
	Spica	O.	60 38 27	2898	59 6 5	2911	57 34 0	2924	56 2 12	2936
	Mars	O.	75 21 8	3104	73 53 3	3117	72 25 14	3130	70 57 41	3143
	Sonne	O.	125 37 34	3255	124 12 30	3269	122 47 42	3282	121 23 9	3294
20	Aldebaran	W.	86 36 25	2996	88 6 43	3006	89 36 48	3014	91 6 43	3024
	Pollux	W.	42 25 32	2975	43 56 16	2985	45 26 48	2993	46 57 10	3001
	Saturn	O.	25 33 19	2996	24 3 1	3009	22 32 59	3020	21 3 11	3031
	Spica	O.	48 27 3	2997	46 56 46	3007	45 26 42	3018	43 56 52	3029
	Mars	O.	63 43 32	3199	62 17 22	3209	60 51 24	3220	59 25 38	3229
	Sonne	O.	114 24 1	3353	113 0 51	3364	111 37 53	3374	110 15 7	3384
21	Aldebaran	W.	98 33 39	3062	100 2 35	3069	101 31 23	3075	103 0 3	3080
	Pollux	W.	54 26 28	3038	55 55 54	3044	57 25 12	3050	58 54 23	3055
	Spica	O.	36 30 54	3080	35 2 20	3089	33 33 57	3099	32 5 46	3110
	Mars	O.	52 19 22	3269	50 54 34	3275	49 29 53	3281	48 5 19	3287
	Sonne	O.	103 23 50	3425	102 2 2	3432	100 40 22	3438	99 18 48	3444
22	Aldebaran	W.	110 21 54	3101	111 50 2	3105	113 18 6	3107	114 46 7	3110
	Pollux	W.	66 18 58	3073	67 47 41	3075	69 16 21	3077	70 44 59	3078
	Regulus	W.	30 15 7	3125	31 42 46	3123	33 10 28	3120	34 38 13	3119
	Spica	O.	24 48 1	3166	23 21 11	3180	21 54 38	3198	20 28 26	3217
	Mars	O.	41 3 56	3306	39 39 52	3308	38 15 50	3311	36 51 51	3313
	Sonne	O.	92 32 26	3464	91 11 22	3468	89 50 22	3469	88 29 23	3471
23	Pollux	W.	78 7 59	3076	79 36 38	3074	81 5 19	3073	82 34 2	3069
	Regulus	W.	41 57 38	3105	43 25 42	3101	44 53 50	3098	46 22 2	3094
	Mars	O.	29 52 6	3311	28 28 7	3309	27 4 6	3306	25 40 2	3304
	Sonne	O.	81 44 43	3471	80 23 46	3468	79 2 46	3466	77 41 44	3463
24	Pollux	W.	89 58 42	3049	91 27 54	3043	92 57 13	3037	94 26 40	3031
	Regulus	W.	53 44 28	3068	55 13 17	3061	56 42 14	3055	58 11 19	3047
	Sonne	O.	70 55 33	3442	69 34 4	3436	68 12 28	3429	66 50 44	3423
25	Pollux	W.	101 56 1	2993	103 26 23	2985	104 56 55	2975	106 27 39	2965
	Regulus	W.	65 39 6	3007	67 9 10	2997	68 39 26	2988	70 9 54	2978
	Saturn	W.	34 0 5	3008	35 30 8	2997	37 0 24	2988	38 30 52	2978
	Sonne	O.	60 0 3	3382	58 37 26	3373	57 14 39	3364	55 51 41	3354
26	Pollux	W.	114 4 25	2914	115 36 26	2903	117 8 41	2891	118 41 11	2880
	Regulus	W.	77 45 25	2925	79 17 12	2913	80 49 14	2901	82 21 31	2890
	Saturn	W.	46 6 27	2924	47 38 16	2912	49 10 20	2900	50 42 39	2888
	Spica	W.	23 56 7	3002	25 26 17	2981	26 56 54	2962	28 27 55	2942
	Sonne	O.	48 53 53	3300	47 29 41	3288	46 5 16	3276	44 40 37	3265
27	Regulus	W.	90 6 47	2828	91 40 38	2815	93 14 46	2802	94 49 11	2789
	Saturn	W.	58 28 11	2825	60 2 6	2811	61 36 19	2799	63 10 48	2785
	Spica	W.	36 8 44	2858	37 41 57	2842	39 15 31	2826	40 49 25	2810
	Sonne	O.	37 33 49	3204	36 7 44	3191	34 41 24	3179	33 14 50	3168
28	Regulus	W.	102 45 32	2724	104 21 40	2711	105 58 5	2698	107 34 47	2685
	Saturn	W.	71 7 38	2719	72 43 53	2705	74 20 26	2692	75 57 17	2678
	Spica	W.	48 43 53	2736	50 19 45	2721	51 55 57	2707	53 32 27	2692
	Sonne	O.	25 58 32	3114	24 30 39	3105	23 2 35	3096	21 34 21	3091

JANUAR.						FEBRUAR.
Ort des Ein- und Austrittes, gesehen im astronomischen Fernrohre.						
I: A			III: A			
II: A			IV: E A			
Datum	Ein- und Austritte	Mittlere Greenwicher Zeit	Datum	Ein- und Austritte	Mittlere Greenwicher Zeit	
		h m s			h m s	
2	I A	16 2 59	9	I A	17 57 47	
3	IV E	4 44 11	11	I A	12 26 29	
3	IV A	9 27 18	11	II A	13 8 55	
4	II A	10 30 41	13	I A	6 55 9	
4	I A	10 31 43	13	III A	9 11 43	
6	I A	5 0 24	15	I A	1 23 49	
6	III A	5 10 44	15	II A	2 27 26	
7	I A	23 29 5	16	I A	19 52 29	
7	II A	23 49 15				

Vom 18. Januar bis 13. März sind die Jupiters-Trabanten unsichtbar, weil Jupiter der Sonne zu nahe steht.

MÄRZ.		APRIL.	
Ort des Ein- und Austrittes, gesehen im astronomischen Fernrohre.			
I: E *	III: E *	I: E *	III: E * A *
II: E *	IV: E * A *	II: E *	IV: E * A *

Datum	Ein- und Austritte	Mittlere Greenwicher Zeit	Datum	Ein- und Austritte	Mittlere Greenwicher Zeit	Datum	Ein- und Austritte	Mittlere Greenwicher Zeit	Datum	Ein- und Austritte	Mittlere Greenwicher Zeit
		h m s			h m s			h m s			h m s
14	I E	8 52 39	24	I E	23 43 51	1	I E	1 37 56	18	I E	18 22 56
16	I E	3 21 14	25	III E	21 44 46	2	III E	1 45 9	20	I E	12 51 29
16	II E	9 54 25	26	I E	18 12 23	2	I E	20 6 27	20	II E	22 56 22
17	I E	21 49 45	27	II E	1 49 11	3	II E	4 25 42	22	I E	7 19 57
18	III E	17 44 24	27	IV E	23 41 1	4	I E	14 34 56	23	III E	13 46 57
19	I E	16 18 17	28	IV A	4 16 15	6	I E	9 3 29	23	III A	17 15 29
19	II E	23 12 27	28	I E	12 40 53	6	II E	17 44 11	24	I E	1 48 28
21	I E	10 46 47	30	I E	7 9 27	8	I E	3 31 58	24	II E	12 14 5
23	I E	5 15 22	30	II E	15 7 47	9	III E	5 46 8	25	I E	20 16 55
23	II E	12 31 12				9	III A	9 15 30	27	I E	14 45 27
						9	I E	22 0 29	28	II E	1 32 9
						10	II E	7 2 1	29	I E	9 13 55
						11	I E	16 28 57	30	IV E	12 3 23
						13	I E	10 57 30	30	IV A	16 32 45
						13	IV E	17 52 6	30	III E	17 46 57
						13	II E	20 20 22	30	III A	21 15 2
						13	IV A	22 24 36			
						15	I E	5 25 58			
						16	III E	9 46 30			
						16	III A	13 15 28			
						16	I E	23 54 29			
						17	II E	9 38 9			

MAI.						JUNI.					
Ort des Ein- und Austrittes, gesehen im astronomischen Fernrohre.											
I: E			III: E A			I: E			III: E A		
II: E			IV: E A			II: E			IV: E A		
Datum	Ein- und Austritte	Mittlere Greenwicher Zeit	Datum	Ein- und Austritte	Mittlere Greenwicher Zeit	Datum	Ein- und Austritte	Mittlere Greenwicher Zeit	Datum	Ein- und Austritte	Mittlere Greenwicher Zeit
		h m s			h m s			h m s			h m s
1	I E	3 42 26	19	II E	9 18 26	2	I E	0 15 17	19	IV E	18 38 33
1	II E	14 49 49	20	I E	14 55 47	2	II E	14 28 30	19	III E	21 49 33
2	I E	22 10 52	22	III E	5 47 33	3	IV E	0 26 26	19	IV A	22 56 3
4	I E	16 39 25	22	III A	9 14 8	3	IV A	4 48 18	20	III A	1 13 51
5	II E	4 7 45	22	I E	9 24 18	3	I E	18 43 45	20	II E	8 55 22
6	I E	11 7 52	22	II E	22 35 56	5	I E	13 12 17	21	I E	11 28 51
7	III E	21 46 55	24	I E	3 52 45	5	III E	13 48 55	23	I E	5 57 26
8	III A	1 14 32	25	I E	22 21 18	5	III A	17 14 24	23	II E	22 12 41
8	I E	5 36 23	26	II E	11 53 32	6	II E	3 45 53	25	I E	0 25 56
8	II E	17 25 21	27	I E	16 49 45	7	I E	7 40 44	26	I E	18 54 30
10	I E	0 4 50	29	III E	9 48 31	9	I E	2 9 18	27	III E	1 49 45
11	I E	18 33 22	29	I E	11 18 17	9	II E	17 3 19	27	III A	5 13 24
12	II E	6 43 11	29	III A	13 14 33	10	I E	20 37 46	27	II E	11 29 59
13	I E	13 1 49	30	II E	1 10 59	12	I E	15 6 19	28	I E	13 22 59
15	III E	1 47 14	31	I E	5 46 43	12	III E	17 49 25	30	I E	7 51 34
15	III A	5 14 20				12	III A	21 14 19			
15	I E	7 30 20				13	II E	6 20 41			
15	II E	20 0 43				14	I E	9 34 46			
17	I E	1 58 47				16	I E	4 3 21			
17	IV E	6 14 56				16	II E	19 38 3			
17	IV A	10 40 45				17	I E	22 31 50			
18	I E	20 27 20				19	I E	17 0 23			

JULI.						AUGUST.					
Ort des Ein- und Austrittes, gesehen im astronomischen Fernrohre.											
I: E			III: E A			I: E			III: E		
II: E			IV: E A			II: E			IV: E A		
Datum	Ein- und Austritte	Mittlere Greenwicher Zeit	Datum	Ein- und Austritte	Mittlere Greenwicher Zeit	Datum	Ein- und Austritte	Mittlere Greenwicher Zeit	Datum	Ein- und Austritte	Mittlere Greenwicher Zeit
		h m s			h m s			h m s			h m s
1	II E	0 47 16	18	III A	17 14 4	1	I E	4 26 9	19	II E	18 49 34
2	I E	2 20 5	18	II E	19 13 34	1	III E	21 54 21	20	I E	15 41 31
3	I E	20 48 41	19	I E	19 5 46	2	II E	0 22 42	22	I E	10 10 17
4	III E	5 50 22	21	I E	13 34 25	2	III A	1 14 32	23	II E	8 7 2
4	III A	9 13 22	22	II E	8 30 49	2	I E	22 54 43	23	III E	9 57 27
4	II E	14 4 32	23	IV E	7 4 13	4	I E	17 23 25	24	I E	4 38 56
5	I E	15 17 10	23	I E	8 2 59	5	II E	13 40 1	25	IV E	19 33 34
6	IV E	12 51 11	23	IV A	11 11 38	6	I E	11 52 2	25	I E	23 7 44
6	IV A	17 3 54	25	I E	2 31 39	8	I E	6 20 45	26	II E	21 24 32
7	I E	9 45 47	25	III E	17 53 20	9	IV E	1 18 23	27	I E	17 36 25
8	II E	3 21 47	25	III A	21 14 15	9	III E	1 55 7	29	I E	12 5 14
9	I E	4 14 19	25	II E	21 48 6	9	II E	2 57 22	30	II E	10 42 4
10	I E	22 42 26	26	I E	21 0 11	9	IV A	5 20 6	30	III E	13 58 59
11	III E	9 51 3	28	I E	15 28 52	10	I E	0 49 20	31	I E	6 33 55
11	III A	13 13 22	29	II E	11 5 23	11	I E	19 18 4			
11	II E	16 39 3	30	I E	9 57 27	12	II E	16 14 44			
12	I E	17 11 26				13	I E	13 46 43			
14	I E	11 40 4				15	I E	8 15 28			
15	II E	5 56 18				16	II E	5 32 8			
16	I E	6 8 36				16	III E	5 56 1			
18	I E	0 37 15				17	I E	2 44 5			
18	III E	13 52 26				18	I E	21 12 51			

SEPTEMBER.	OCTOBER.

Ort des Ein- und Austrittes, gesehen im astronomischen Fernrohre.

September I	September III	October I	October III
A	A	A	E A
September II	**September IV**	**October II**	**October IV**
A	A	A	E A

Datum	Ein- und Austritte	Mittlere Greenwicher Zeit	Datum	Ein- und Austritte	Mittlere Greenwicher Zeit	Datum	Ein- und Austritte	Mittlere Greenwicher Zeit	Datum	Ein- und Austritte	Mittlere Greenwicher Zeit
		h m s			h m s			h m s			h m s
2	I E	1 2 45	24	II A	10 31 51	1	II A	13 7 34	19	III A	21 23 52
2	II E	23 59 39	25	I A	3 31 24	2	I A	5 26 46	19	I A	22 15 30
3	I E	19 31 27	26	I A	22 0 18	3	I A	23 55 41	21	I A	16 44 26
6	II A	16 3 27	27	II A	23 49 40	5	II A	2 25 30	22	II A	20 56 0
6	III A	21 17 23	28	IV E	8 6 53	5	III A	13 21 2	23	I A	11 13 17
7	I A	10 43 25	28	III A	9 20 7	5	I A	18 24 28	25	I A	5 42 15
9	I A	5 12 14	28	IV A	11 48 19	7	I A	12 53 23	26	II A	10 14 18
10	II A	5 21 2	28	I A	16 29 4	8	II A	15 43 29	26	III E	22 16 15
10	I A	23 40 58	30	I A	10 57 57	9	I A	7 22 12	27	I A	0 11 6
11	IV A	17 38 12				11	I A	1 51 8	27	III A	1 25 55
12	I A	18 9 49				12	II A	5 1 33	28	I A	18 40 2
13	II A	18 38 39				12	III E	14 10 49	29	II A	23 32 34
14	III A	1 18 18				12	III A	17 22 26	30	I A	13 8 55
14	I A	12 38 32				12	I A	20 19 57	31	IV E	20 44 19
16	I A	7 7 22				14	I A	14 48 52			
17	II A	7 56 20				15	IV E	2 25 14			
18	I A	1 36 8				15	IV A	5 58 52			
19	I A	20 5 0				15	II A	18 19 38			
20	II A	21 14 3				16	I A	9 17 43			
21	III A	5 19 20				18	I A	3 46 40			
21	I A	14 33 45				19	II A	7 37 49			
23	I A	9 2 37				19	III E	18 13 12			

NOVEMBER.						DECEMBER.					
Ort des Ein- und Austrittes, gesehen im astronomischen Fernrohre.											
I: A			III: E A			I: A			III: E A		
II: A			IV: E A			II: A			IV: E A		
Datum	Ein- und Austritte	Mittlere Greenwicher Zeit	Datum	Ein- und Austritte	Mittlere Greenwicher Zeit	Datum	Ein- und Austritte	Mittlere Greenwicher Zeit	Datum	Ein- und Austritte	Mittlere Greenwicher Zeit
		h m s			h m s			h m s			h m s
1	IV A	0 9 30	17	IV E	15 4 30	1	I A	9 49 21	18	II A	17 53 37
1	I A	7 37 53	17	IV A	18 20 34	1	III E	18 28 35	19	I A	2 38 17
2	II A	12 51 0	19	I A	0 27 0	1	III A	21 33 4	20	I A	21 7 13
3	I A	2 6 44	20	II A	7 23 26	3	I A	4 18 17	21	IV E	3 46 16
3	III E	2 18 45	20	I A	18 55 53	4	IV E	9 25 11	21	IV A	6 41 48
3	III A	5 27 25	22	I A	13 24 51	4	IV A	12 31 25	22	II A	7 12 51
4	I A	20 35 41	23	II A	20 42 15	4	II A	12 38 14	22	I A	15 36 3
6	II A	2 9 20	24	I A	7 53 43	4	I A	22 47 9	23	III E	6 37 2
6	I A	15 4 34	24	III E	14 25 50	6	I A	17 16 6	23	III A	9 38 11
8	I A	9 33 32	24	III A	17 31 22	8	II A	1 57 16	24	I A	10 4 56
9	II A	15 27 54	26	I A	2 22 39	8	I A	11 44 58	25	II A	20 31 30
10	I A	4 2 23	27	II A	10 0 45	8	III E	22 31 14	26	I A	4 33 46
10	III E	6 21 17	27	I A	20 51 32	9	III A	1 34 38	27	I A	23 2 41
10	III A	9 28 55	29	I A	15 20 29	10	I A	6 13 53	29	II A	9 50 49
11	I A	22 31 20	30	II A	23 19 41	11	II A	15 15 52	29	I A	17 31 31
13	II A	4 46 18				12	I A	0 42 44	30	III E	10 39 31
13	I A	17 0 13				13	I A	19 11 41	30	III A	13 39 31
15	I A	11 29 11				15	II A	4 35 0	31	I A	12 0 22
16	II A	18 4 59				15	I A	13 40 32			
17	I A	5 58 3				16	III E	2 34 28			
17	III E	10 23 32				16	III A	5 36 44			
17	III A	13 30 7				17	I A	8 9 26			

Mittlere Oerter von 100 Hauptsternen für 1891, Januar 0.

Namen der Sterne.	Grösse	Rectascension	Jährl. Veränderung	Declination + Nord — Süd	Jährl. Veränderung
		h m s	s	° ′ ″	″
* α Andromedae (Sirrah)	2	0 2 45·16	+ 3·091	+ 28 29 19·1	+ 19·90
* γ Pegasi (Algenib)	3·2	0 7 37·33	+ 3·083	+ 14 34 39·1	+ 20·03
β Hydri	3	0 20 1·51	+ 3·252	— 77 52 5·4	+ 20·30
* α Cassiopeiae (var.) (Shedir)	2·3	0 34 19·27	+ 3·371	+ 55 56 22·0	+ 19·79
* β Ceti (Deneb Kaitos)	2	0 38 7·05	+ 3·013	— 18 35 5·3	+ 19·81
* β Andromedae	2·3	1 3 37·73	+ 3·344	+ 35 2 33·7	+ 19·20
* α Ursae minoris (Polaris)	2	1 18 53·39	+ 23·581	+ 88 43 37·3	+ 18·88
θ Ceti	3	1 18 34·47	+ 2·997	— 8 44 45·1	+ 18·69
* α Eridani (Achernar)	1	1 33 39·22	+ 2·237	— 57 47 27·3	+ 18·33
* β Arietis	3·2	1 48 37·06	+ 3·303	+ 20 16 29·6	+ 17·74
* α Arietis	2	2 1 1·66	+ 3·371	+ 22 56 48·2	+ 17·19
* α Ceti (Menkar)	2·3	2 56 34·80	+ 3·129	+ 3 39 42·3	+ 14·32
* α Persei	2	3 16 32·42	+ 4·257	+ 49 28 21·0	+ 13·06
η Tauri (Alcyone)	3	3 41 0·25	+ 3·556	+ 23 46 3·3	+ 11·39
* α Tauri (Aldebaran)	1	4 29 39·91	+ 3·437	+ 16 17 22·5	+ 7·52
* α Aurigae (Capella)	1	5 8 38·15	+ 4·425	+ 45 53 10·5	+ 4·03
* β Orionis (Rigel)	1	5 9 17·92	+ 2·881	— 8 19 40·7	+ 4·40
* β Tauri	2	5 19 24·05	+ 3·789	+ 28 30 52·9	+ 3·35
* δ Orionis	2	5 26 26·21	+ 3·062	— 0 22 49·2	+ 2·92
α Leporis	3	5 27 55·28	+ 2·644	— 17 54 4·2	+ 2·81
* ε Orionis	2	5 30 40·88	+ 3·041	— 1 16 19·2	+ 2·56
* α Columbae	2	5 35 42·16	+ 2·177	— 34 7 57·0	+ 2·09
* χ Orionis	3·2	5 42 35·15	+ 2·843	— 9 42 31·7	+ 1·52
* α Orionis (var.) (Beteigeuze)	1	5 49 16·19	+ 3·246	+ 7 23 10·6	+ 0·96
μ Geminorum	3	6 16 21·97	+ 3·631	+ 22 34 8·2	— 1·53
* α Argus (Canopus)	1	6 21 31·85	+ 1·329	— 52 38 10·6	— 1·88
γ Geminorum	2·3	6 31 24·86	+ 3·467	+ 16 29 30·3	— 2·78
* α Canis majoris (Sirius)	1	6 40 20·55	+ 2·644	— 16 34 2·3	— 4·71
* 51 Cephei (Hev.)	5	6 49 16·21	+ 29·890	+ 87 13 0·6	— 4·35
* ε Canis majoris	2·1	6 54 20·49	+ 2·356	— 28 49 26·4	— 4·70
β Canis minoris	3	7 21 14·37	+ 3·256	+ 8 30 30·7	— 6·99
* α^2 Geminorum (Castor)	2·1	7 27 38·68	+ 3·836	+ 32 7 37·3	— 7·57
* α Canis minoris (Procyon)	1	7 33 35·70	+ 3·144	+ 5 30 13·9	— 9·00
* β Geminorum (Pollux)	1·2	7 38 38·73	+ 3·678	+ 28 17 19·9	— 8·42
15 Argus	3	8 2 54·09	+ 2·554	— 23 59 25·0	— 10·19
ι Ursae majoris	3	8 51 44·56	+ 4·133	+ 48 28 9·2	— 13·91
* ι Argus	2	9 14 10·39	+ 1·610	— 58 49 5·1	— 15·03
* α Hydrae (Alphard)	2	9 22 13·84	+ 2·948	— 8 11 10·7	— 15·44
θ Ursae majoris	3	9 25 33·86	+ 4·042	+ 52 10 24·6	— 16·24
ε Leonis	3	9 39 39·82	+ 3·415	+ 24 16 32·8	— 16·42
* α Leonis (Regulus)	1·2	10 2 33·99	+ 3·200	+ 12 29 59·0	— 17·46
* γ^1 Leonis	2	10 13 57·72	+ 3·313	+ 20 23 32·9	— 18·10
* α Ursae majoris (Dubhe)	2	10 56 59·81	+ 3·746	+ 62 20 21·6	— 19·37
* δ Leonis	2·3	11 8 18·67	+ 3·198	+ 21 7 14·8	— 19·66
* β Leonis (Denebola)	2	11 43 29·97	+ 3·063	+ 15 10 52·9	— 20·10
* γ Ursae majoris	2·3	11 48 5·72	+ 3·179	+ 54 18 2·8	— 20·02
ε Corvi	3	12 4 31·10	+ 3·077	— 22 0 47·4	— 20·03
* α^1 Crucis	1	12 20 32·33	+ 3·297	— 62 29 41·7	— 20·01
* δ^2 Corvi	2·3	12 24 13·48	+ 3·099	— 15 54 30·8	— 20·09
β Corvi	2·3	12 28 39·62	+ 3·139	— 22 47 37·4	— 19·95

Mittlere Oerter von 100 Hauptsternen für 1891, Januar 0.

Namen der Sterne.	Grösse	Rect-ascension	Jährl. Veränderung	Declination + Nord — Süd	Jährl. Veränderung
		h m s	s	° ′ ″	″
* γ¹ Virginis	3·2	12 36 8·10	+ 3·037	— 0 51 2·7	— 19·79
δ Virginis	3	12 50 6·72	+ 3·019	+ 3 59 23·9	— 19·62
α Canum venaticorum	3	12 50 55·74	+ 2·813	+ 38 54 25·6	— 19·49
* ε Virginis (Vindemiatrix)	3·2	12 56 45·05	+ 2·986	+ 11 32 42·5	— 19·41
* α Virginis (Spica)	1	13 19 26·98	+ 3·153	— 10 35 31·5	— 18·88
* η Ursae majoris (Benetnasch)	2	13 43 14·72	+ 2·371	+ 49 51 26·7	— 18·07
η Bootis	3	13 49 29·67	+ 2·857	+ 18 56 39·1	— 18·15
* β Centauri	1	13 56 8·02	+ 4·181	— 59 50 48·7	— 17·58
* α Bootis (Arcturus)	1	14 10 41·32	+ 2·733	+ 19 45 0·5	— 18·86
* α² Centauri	1	14 32 12·48	+ 4·036	— 60 22 58·0	— 15·05
* ε² Bootis (Mirak)	2·3	14 40 13·56	+ 2·619	+ 27 32 2·1	— 15·34
* α Librae	2·3	14 44 50·86	+ 3·309	— 15 35 18·2	— 15·16
* β Ursae minoris (Kochab)	2	14 51 1·52	— 0·229	+ 74 36 3·3	— 14·73
* β Librae	2	15 11 8·43	+ 3·221	— 8 58 48·8	— 13·49
* α Coronae (Gemma)	2	15 30 4·34	+ 2·539	+ 27 4 54·4	— 12·30
* α Serpentis (Unuk)	2·3	15 38 53·89	+ 2·951	+ 6 46 8·0	— 11·52
* β¹ Scorpii	2	15 59 5·89	+ 3·479	— 19 30 23·3	— 10·12
δ Ophiuchi	3	16 8 37·94	+ 3·138	— 3 24 47·1	— 9·50
γ Herculis	3	16 17 6·65	+ 2·643	+ 19 24 34·3	— 8·65
* η² Draconis	3·2	16 22 31·04	+ 0·811	+ 61 45 39·3	— 8·22
* α Scorpii (Antares)	1·2	16 22 43·39	+ 3·670	— 26. 11 22·3	— 8·28
* ζ Ophiuchi	3·2	16 31 9·35	+ 3·298	— 10 20 44·3	— 7·54
* α Trianguli australis	2	16 37 7·58	+ 6·302	— 68 49 35·2	— 7·14
* ζ Herculis	3·2	16 37 10·65	+ 2·262	+ 31 48 2·1	— 6·68
* ε Ursae minoris	4·5	16 57 8·99	— 6·331	+ 82 12 56·6	— 5·44
* η Ophiuchi	2·3	17 4 7·54	+ 3·435	— 15 35 21·6	— 4·74
* α¹ Herculis (Ras Algethi)	3·4	17 9 40·59	+ 2·733	+ 14 30 53·8	— 4·34
* β Draconis	3·2	17 27 58·15	+ 1·353	+ 52 22 56·1	— 2·79
* α Ophiuchi (Ras Alhague)	2	17 29 52·43	+ 2·782	+ 12 38 23·3	— 2·84
β Ophiuchi	3	17 38 5·21	+ 2·961	+ 4 36 48·0	— 1·75
* γ Draconis	2·3	17 54 4·42	+ 1·391	+ 51 30 6·4	— 0·55
* δ Ursae minoris	4·5	18 7 27·84	— 19·468	+ 86 36 42·2	+ 0·68
η Serpentis	3	18 15 40·11	+ 3·101	— 2 55 34·8	+ 0·70
λ Sagittarii	3	18 21 14·58	+ 3·702	— 25 28 53·0	+ 1·62
* α Lyrae (Vega)	1	18 33 14·83	+ 2·031	+ 38 40 57·0	+ 3·19
* σ Octantis	6	18 44 6·47	+ 105·410	— 89 15 57·2	+ 3·89
ζ Aquilae	3	19 0 23·96	+ 2·755	+ 13 42 6·4	+ 5·14
γ Aquilae	3	19 41 4·61	+ 2·851	+ 10 20 52·6	+ 8·57
* α Aquilae (Atair)	1·2	19 45 27·87	+ 2·927	+ 8 34 50·9	+ 9·29
* α Pavonis	2	20 17 1·37	+ 4·779	— 57 5 0·8	+ 11·20
* α Cygni (Deneb)	2·1	20 37 42·92	+ 2·044	+ 44 53 27·9	+ 12·74
ζ Cygni	3	21 8 17·78	+ 2·550	+ 29 46 47·7	+ 14·62
* α Cephei	3·2	21 15 58·61	+ 1·435	+ 62 7 25·3	+ 15·16
* β Aquarii	3	21 25 49·20	+ 3·160	— 6 3 1·6	+ 15·68
β² Cephei	3	21 27 15·07	+ 0·793	+ 70 4 55·6	+ 15·75
* ε Pegasi (Enif)	2·3	21 38 49·93	+ 2·946	+ 9 22 31·7	+ 16·38
* α Aquarii	3	22 0 11·08	+ 3·082	— 0 50 56·4	+ 17·38
* α Gruis	2	22 1 21·66	+ 3·805	— 47 29 18·1	+ 17·28
* α Piscis Aust. (Fomalhaut)	1·2	22 51 37·58	+ 3·324	— 30 11 59·2	+ 19·01
* α Pegasi (Markab)	2	22 59 19·84	+ 2·984	+ 14 37 7·9	+ 19·33

Scheinbare Oerter für die obere Culmination in Greenwich.

DATUM	α Ursae minoris (Polaris) A. R.	Dec.	51 Cephei (Hev.) A. R.	Dec.	ε Ursae minoris A. R.	Dec.	δ Ursae minoris A. R.	Dec.	σ Octantis A. R.	Dec.
	1h	+88°	6h	+87°	16h	+82°	18h	+86°	18h	−89°
	m s	′ ″	m s	′ ″	m s	′ ″	m s	′ ″	m s	′ ″
Januar 1	18 49·6	43 52	49 35·5	13 3	57 2·3	12 47	7 11·1	36 37	41 50·0	16 1
11	18 40·3	43 53	49 36·3	13 7	57 2·9	12 44	7 11·4	36 33	41 56·6	15 57
21	18 30·5	43 53	49 35·9	13 10	57 3·9	12 41	7 12·6	36 30	42 5·3	15 54
31	18 20·3	43 53	49 34·7	13 13	57 5·2	12 38	7 14·4	36 27	42 17·0	15 51
Februar 10	18 11·2	43 52	49 33·0	13 16	57 6·6	12 36	7 16·7	36 24	42 32·1	15 49
Februar 20	18 3·3	43 50	49 30·3	13 19	57 8·1	12 35	7 19·5	36 22	42 48·8	15 47
März 2	17 56·0	43 48	49 26·8	13 21	57 9·8	12 34	7 22·8	36 20	43 6·2	15 45
12	17 50·1	43 45	49 23·1	13 22	57 11·4	12 34	7 26·3	36 19	43 25·5	15 44
22	17 46·4	43 42	49 19·2	13 23	57 13·0	12 35	7 29·8	36 19	43 46·3	15 43
April 1	17 44·6	43 39	49 14·9	13 23	57 14·4	12 36	7 33·4	36 19	44 6·3	15 43
April 11	17 44·2	43 36	49 10·7	13 23	57 15·8	12 37	7 36·8	36 20	44 26·1	15 43
21	17 45·6	43 33	49 6·9	13 22	57 16·9	12 40	7 39·9	36 22	44 46·0	15 44
Mai 1	17 49·3	43 30	49 3·4	13 21	57 17·8	12 42	7 42·5	36 24	45 5·2	15 45
11	17 54·6	43 28	49 0·3	13 19	57 18·4	12 45	7 44·7	36 26	45 22·2	15 46
21	18 0·7	43 26	48 57·7	13 17	57 18·8	12 48	7 46·5	36 29	45 37·4	15 48
Mai 31	18 8·2	43 24	48 56·1	13 14	57 18·9	12 51	7 47·4	36 32	45 51·5	15 50
Juni 10	18 17·1	43 23	48 55·2	13 11	57 18·7	12 54	7 47·8	36 35	46 3·1	15 53
20	18 26·3	43 22	48 54·7	13 8	57 18·2	12 57	7 47·6	36 38	46 11·1	15 56
30	18 35·6	43 22	48 55·2	13 5	57 17·4	13 0	7 46·8	36 41	46 16·9	15 59
Juli 10	18 45·4	43 23	48 56·8	13 2	57 16·4	13 3	7 45·2	36 44	46 20·6	16 2
Juli 20	18 55·4	43 24	48 58·9	12 59	57 15·2	13 5	7 43·1	36 47	46 20·4	16 5
30	19 4·7	43 26	49 1·5	12 56	57 13·9	13 7	7 40·6	36 49	46 16·9	16 8
August 9	19 13·2	43 28	49 4·9	12 53	57 12·3	13 8	7 37·5	36 52	46 11·2	16 11
19	19 21·5	43 30	49 9·0	12 51	57 10·6	13 9	7 33·9	36 53	46 3·2	16 14
29	19 29·0	43 33	49 13·3	12 49	57 9·9	13 9	7 30·1	36 55	45 51·9	16 16
September 8	19 34·9	43 36	49 17·9	12 48	57 7·1	13 9	7 26·1	36 56	45 38·3	16 17
18	19 39·7	43 40	49 23·1	12 46	57 5·3	13 9	7 21·8	36 56	45 24·2	16 19
28	19 43·8	43 43	49 28·6	12 46	57 3·5	13 8	7 17·4	36 56	45 9·1	16 19
October 8	19 46·3	43 47	49 33·9	12 45	57 1·8	13 6	7 13·2	36 56	44 52·5	16 19
18	19 46·9	43 51	49 39·2	12 46	57 0·2	13 4	7 9·0	36 55	44 36·7	16 19
October 28	19 46·1	43 55	49 44·6	12 46	56 58·8	13 1	7 4·9	36 54	44 22·5	16 18
November 7	19 44·3	43 59	49 49·7	12 48	56 57·6	12 58	7 1·2	36 52	44 9·3	16 16
17	19 40·5	44 2	49 54·3	12 49	56 56·6	12 55	6 58·1	36 49	43 57·6	16 14
27	19 34·9	44 5	49 58·4	12 51	56 55·9	12 52	6 55·3	36 46	43 49·0	16 11
December 7	19 28·5	44 8	50 2·2	12 54	56 55·5	12 48	6 53·0	36 43	43 44·0	16 8
December 17	19 21·0	44 10	50 5·1	12 57	56 55·4	12 44	6 51·5	36 40	43 41·3	16 5
27	19 12·0	44 12	50 6·9	13 0	56 55·7	12 41	6 50·7	36 36	43 41·4	16 2
1892 Januar 6	19 2·2	44 14	50 8·2	13 3	56 56·2	12 37	6 50·7	36 33	43 46·4	15 58
Zwei obere Culm. finden statt:	April 10		Juli 3		December 7		December 23		December 31	

Scheinbare Oerter für die obere Culmination in Greenwich.

DATUM		α Andromedae (Sirrah) A. R.	Dec.	γ Pegasi (Algenib) A. R.	Dec.	α Cassiopeïae (Shedir) A. R.	Dec.	β Ceti (Deneb Kaitos) A. R.	Dec.	β Andromedae A. R.	Dec.
		0h	+28°	0h	+14°	0h	+55°	0h	−18°	1h	+35°
		m s	′ ″	m s	′ ″	m s	′ ″	m s	′ ″	m s	′ ″
Januar	1	2 43·9	29 21	7 36·1	34 36	34 17·9	56 32	38 6·1	35 19	3 36·8	2 39
	21	2 43·6	29 19	7 35·9	34 35	34 17·4	56 31	38 5·9	35 20	3 36·4	2 37
Februar	10	2 43·4	29 16	7 35·7	34 33	34 16·8	56 27	38 5·7	35 19	3 36·1	2 35
März	2	2 43·3	29 13	7 35·6	34 31	34 16·5	56 23	38 5·6	35 18	3 35·9	2 32
	22	2 43·3	29 10	7 35·7	34 29	34 16·4	56 18	38 5·5	35 15	3 35·8	2 29
April	11	2 45·5	29 8	7 35·9	34 29	34 16·5	56 13	38 5·7	35 11	3 35·9	2 26
Mai	1	2 43·9	29 7	7 36·3	34 30	34 17·0	56 10	38 6·0	35 7	3 36·2	2 24
	21	2 44·5	29 8	7 36·8	34 32	34 17·7	56 8	38 6·5	35 2	3 36·7	2 24
Juni	10	2 45·2	29 11	7 37·4	34 35	34 18·6	56 8	38 7·1	34 57	3 37·3	2 25
	30	2 45·9	29 15	7 38·1	34 39	34 19·6	56 10	38 7·7	34 53	3 38·0	2 28
Juli	20	2 46·5	29 19	7 38·7	34 44	34 20·5	56 14	38 8·4	34 50	3 38·8	2 32
August	9	2 47·1	29 24	7 39·2	34 48	34 21·3	56 19	38 9·0	34 47	3 39·4	2 36
	29	2 47·5	29 29	7 39·6	34 52	34 22·0	56 26	38 9·4	34 46	3 40·0	2 41
September	18	2 47·7	29 34	7 39·8	34 55	34 22·4	56 32	38 9·7	34 47	3 40·4	2 46
October	8	2 47·8	29 38	7 39·9	34 57	34 22·5	56 39	38 9·9	34 48	3 40·6	2 51
	28	2 47·7	29 41	7 39·9	34 59	34 22·5	56 45	38 9·9	34 51	3 40·7	2 55
November	17	2 47·6	29 43	7 39·8	34 59	34 22·3	56 49	38 9·8	34 53	3 40·6	2 58
December	7	2 47·4	29 43	7 39·6	34 59	34 21·9	56 52	38 9·7	34 56	3 40·5	2 59
	27	2 47·1	29 42	7 39·4	34 58	34 21·4	56 53	38 9·4	34 58	3 40·2	3 0
Zwei obere Culm. finden statt:		März 21		März 22		März 29		März 30		April 6	

DATUM		α Eridani (Achernar) A. R.	Dec.	β Arietis A. R.	Dec.	α Arietis A. R.	Dec.	α Ceti (Menkar) A. R.	Dec.	α Persei A. R.	Dec.
		1h	−57°	1h	+20°	2h	+22°	2h	+3°	3h	+49°
		m s	′ ″	m s	′ ″	m s	′ ″	m s	′ ″	m s	′ ″
Januar	1	33 39·3	47 50	48 36·4	16 30	1 1·1	56 50	56 34·6	39 39	16 32·3	28 30
	21	33 38·7	47 50	48 36·1	16 29	1 0·8	56 49	56 34·4	39 38	16 31·9	28 31
Februar	10	33 38·1	47 48	48 35·9	16 28	1 0·5	56 48	56 34·1	39 37	16 31·5	28 31
März	2	33 37·5	47 43	48 35·6	16 26	1 0·2	56 46	56 33·8	39 36	16 31·0	28 30
	22	33 37·2	47 38	48 35·5	16 25	1 0·0	56 44	56 33·6	39 36	16 30·5	28 28
April	11	33 37·1	47 31	48 35·4	16 24	1 0·0	56 43	56 33·4	39 37	16 30·2	28 25
Mai	1	33 37·3	47 23	48 35·6	16 24	1 0·2	56 42	56 33·5	39 39	16 30·2	28 21
	21	33 37·8	47 16	48 36·0	16 25	1 0·6	56 43	56 33·7	39 41	16 30·5	28 18
Juni	10	33 38·5	47 10	48 36·6	16 26	1 1·1	56 45	56 34·1	39 44	16 31·0	28 16
	30	33 39·4	47 5	48 37·2	16 29	1 1·7	56 47	56 34·6	39 50	16 31·7	28 15
Juli	20	33 40·3	47 2	48 37·9	16 33	1 2·4	56 51	56 35·2	39 52	16 32·6	28 16
August	9	33 41·3	47 1	48 38·5	16 37	1 3·0	56 54	56 35·9	39 55	16 33·5	28 18
	29	33 42·1	47 2	48 39·1	16 41	1 3·6	56 58	56 36·4	39 58	16 34·3	28 21
September	18	33 42·8	47 6	48 39·5	16 44	1 4·1	57 1	56 36·9	39 59	16 35·1	28 24
October	8	33 43·1	47 11	48 39·8	16 47	1 4·4	57 4	56 37·4	40 0	16 35·8	28 29
	28	33 43·2	47 16	48 40·0	16 49	1 4·7	57 7	56 37·7	40 0	16 36·3	28 33
November	17	33 43·1	47 22	48 40·1	16 50	1 4·8	57 8	56 37·9	39 59	16 36·6	28 38
December	7	33 42·6	47 26	48 40·0	16 51	1 4·7	57 9	56 37·9	39 58	16 36·8	28 42
	27	33 42·1	47 29	48 39·9	16 50	1 4·6	57 9	56 37·9	39 56	16 36·7	28 45
Zwei obere Culm. finden statt:		April 15		April 19		April 22		Mai 6		Mai 12	

Scheinbare Oerter für die obere Culmination in Greenwich.

DATUM		α Tauri (Aldebaran) A. R.	Dec.	α Aurigae (Capella) A. R.	Dec.	β Orionis (Rigel) A. R.	Dec.	β Tauri A. R.	Dec.	δ Orionis A. R.	Dec.
		4h	+16°	5h	+45°	5h	—8°	5h	+28°	5h	—0°
		m s	′ ″	m s	′ ″	m s	′ ″	m s	′ ″	m s	′ ″
Januar	1	29 40·0	17 24	8 38·5	53 16	9 18·3	19 43	19 24·3	30 56	26 26·5	22 50
	21	29 39·9	17 23	8 38·4	53 19	9 18·2	19 45	19 24·3	30 57	26 26·5	22 52
Februar	10	29 39·7	17 23	8 38·1	53 21	9 18·0	19 47	19 24·1	30 58	26 26·3	22 53
März	2	29 39·3	17 23	8 37·7	53 22	9 17·7	19 48	19 23·7	30 58	26 26·0	22 54
	22	29 39·0	17 22	8 37·2	53 21	9 17·3	19 48	19 23·4	30 58	26 25·7	22 54
April	11	29 38·7	17 22	8 36·8	53 20	9 17·0	19 47	19 23·0	30 57	26 25·4	22 53
Mai	1	29 38·6	17 22	8 36·5	53 17	9 16·8	19 45	19 22·8	30 57	26 25·2	22 52
	21	29 38·7	17 23	8 36·5	53 15	9 16·8	19 42	19 22·8	30 56	26 25·1	22 50
Juni	10	29 38·9	17 24	8 36·7	53 12	9 16·9	19 38	19 23·0	30 55	26 25·2	22 47
	30	29 39·4	17 26	8 37·2	53 10	9 17·2	19 34	19 23·3	30 55	26 25·5	22 44
Juli	20	29 39·9	17 28	8 37·8	53 9	9 17·7	19 30	19 23·8	30 55	26 26·0	22 41
August	9	29 40·5	17 30	8 38·6	53 8	9 18·2	19 27	19 24·4	30 56	26 26·5	22 38
	29	29 41·1	17 32	8 39·4	53 9	9 18·8	19 24	19 25·1	30 57	26 27·0	22 36
September	18	29 41·8	17 33	8 40·2	53 10	9 19·4	19 23	19 25·8	30 58	26 27·6	22 35
October	8	29 42·3	17 34	8 41·1	53 11	9 19·9	19 23	19 26·5	30 59	26 28·2	22 35
	28	29 42·8	17 35	8 41·8	53 13	9 20·4	19 25	19 27·1	30 59	26 28·7	22 36
November	17	29 43·2	17 35	8 42·4	53 16	9 20·9	19 28	19 27·6	31 0	26 29·2	22 38
December	7	29 43·5	17 35	8 42·9	53 19	9 21·2	19 31	19 28·0	31 1	26 29·5	22 40
	27	29 43·6	17 34	8 43·1	53 22	9 21·3	19 35	19 28·2	31 2	26 29·7	22 43
Zwei obere Culm. finden statt:		Mai 30		Juni 8		Juni 9		Juni 11		Juni 13	

DATUM		ε Orionis A. R.	Dec.	α Columbae A. R.	Dec.	κ Orionis A. R.	Dec.	α Orionis (Beteigeuze) A. R.	Dec.	α Argus (Canopus) A. R.	Dec.
		5h	—1°	5h	—34°	5h	—9°	5h	+7°	6h	—52°
		m s	′ ″	m s	′ ″	m s	′ ″	m s	′ ″	m s	′ ″
Januar	1	30 41·2	16 20	35 43·1	8 0	42 35·6	42 32	49 16·5	23 12	21 33·7	38 10
	21	30 41·2	16 22	35 43·0	8 5	42 35·6	42 36	49 16·5	23 10	21 33·5	38 17
Februar	10	30 41·0	16 23	35 42·7	8 8	42 35·4	42 38	49 16·4	23 9	21 33·1	38 22
März	2	30 40·7	16 24	35 42·2	8 10	42 35·1	42 39	49 16·1	23 9	21 32·5	38 25
	22	30 40·4	16 24	35 41·8	8 11	42 34·7	42 39	49 15·8	23 9	21 31·8	38 26
April	11	30 40·1	16 23	35 41·3	8 9	42 34·4	42 38	49 15·5	23 9	21 31·1	38 26
Mai	1	30 39·9	16 22	35 41·0	8 6	42 34·2	42 36	49 15·2	23 10	21 30·5	38 23
	21	30 39·8	16 20	35 40·8	8 1	42 34·1	42 33	49 15·1	23 11	21 30·1	38 18
Juni	10	30 39·9	16 17	35 40·8	7 55	42 34·1	42 30	49 15·2	23 13	21 29·8	38 13
	30	30 40·2	16 14	35 41·0	7 49	42 34·4	42 26	49 15·5	23 15	21 29·9	38 6
Juli	20	30 40·6	16 10	35 41·4	7 43	42 34·8	42 22	49 15·9	23 17	21 30·1	37 59
August	9	30 41·1	16 8	35 41·9	7 38	42 35·3	42 18	49 16·4	23 19	21 30·6	37 53
	29	30 41·7	16 5	35 42·5	7 35	42 35·8	42 16	49 17·0	23 21	21 31·3	37 49
September	18	30 42·3	16 4	35 43·2	7 34	42 36·4	42 15	49 17·6	23 22	21 32·0	37 47
October	8	30 42·8	16 4	35 43·8	7 34	42 37·0	42 15	49 18·2	23 22	21 32·8	37 47
	28	30 43·4	16 6	35 44·4	7 37	42 37·5	42 17	49 18·7	23 21	21 33·6	37 49
November	17	30 43·8	16 8	35 44·9	7 42	42 38·0	42 20	49 19·2	23 20	21 34·3	37 54
December	7	30 44·2	16 11	35 45·2	7 48	42 38·4	42 23	49 19·6	23 18	21 34·8	38 1
	27	30 44·4	16 13	35 45·4	7 54	42 38·6	42 27	49 19·9	23 16	21 35·0	38 8
Zwei obere Culm. finden statt:		Juni 14		Juni 15		Juni 17		Juni 18		Juni 26	

Scheinbare Oerter für die obere Culmination in Greenwich.

DATUM		α Canis majoris (Sirius) A. R.	Dec.	ε Canis majoris A. R.	Dec.	α² Geminorum (Castor) A. R.	Dec.	α Canis minoris (Procyon) A. R.	Dec.	β Geminorum (Pollux) A. R.	Dec.
		6^h	-16^0	6^h	-28^0	7^h	$+32^0$	7^h	$+5^0$	7^h	$+28^0$
		m s	′ ″	m s	′ ″	m s	′ ″	m s	′ ″	m s	′ ″
Januar	1	40 21·1	34 1	54 21·3	49 24	27 39·1	7 38	33 36·0	30 16	38 39·1	17 21
	21	40 21·2	34 5	54 21·4	49 29	27 39·3	7 39	33 36·3	30 14	38 39·4	17 21
Februar	10	40 21·1	34 8	54 21·2	49 34	27 39·4	7 41	33 36·3	30 13	38 39·4	17 23
März	2	40 20·8	34 10	54 20·9	49 37	27 39·2	7 43	33 36·1	30 12	38 39·3	17 24
	22	40 20·5	34 11	54 20·5	49 38	27 38·9	7 44	33 35·8	30 12	38 39·0	17 25
April	11	40 20·1	34 11	54 20·1	49 38	27 38·5	7 45	33 35·5	30 12	38 38·6	17 26
Mai	1	40 19·8	34 10	54 19·7	49 36	27 38·1	7 45	33 35·2	30 13	38 38·3	17 27
	21	40 19·6	34 7	54 19·4	49 33	27 37·9	7 45	33 35·0	30 14	38 38·0	17 27
Juni	10	40 19·5	34 3	54 19·3	49 29	27 37·8	7 44	33 34·9	30 15	38 37·9	17 26
	30	40 19·6	33 59	54 19·4	49 24	27 37·9	7 43	33 35·0	30 17	38 38·0	17 25
Juli	20	40 19·9	33 55	54 19·6	49 18	27 38·2	7 41	33 35·2	30 19	38 38·3	17 24
August	9	40 20·3	33 51	54 20·0	49 13	27 38·6	7 40	33 35·5	30 20	38 38·6	17 23
	29	40 20·8	33 48	54 20·5	49 10	27 39·1	7 38	33 36·0	30 21	38 39·1	17 22
September	18	40 21·3	33 46	54 21·0	49 8	27 39·8	7 37	33 36·5	30 21	38 39·7	17 20
October	8	40 21·9	33 47	54 21·6	49 8	27 40·4	7 35	33 37·0	30 20	38 40·3	17 19
	28	40 22·5	33 49	54 22·3	49 10	27 41·2	7 34	33 37·8	30 19	38 41·0	17 17
November	17	40 23·1	33 52	54 22·9	49 13	27 41·9	7 33	33 38·3	30 16	38 41·7	17 16
December	7	40 23·5	33 57	54 23·4	49 19	27 42·5	7 32	33 38·8	30 13	38 42·4	17 15
	27	40 23·9	34 2	54 23·7	49 24	27 43·1	7 33	33 39·3	30 10	38 42·9	17 14
Zwei obere Culm. finden statt:		Juni 30		Juli 4		Juli 12		Juli 13		Juli 15	

DATUM		ι Argus A. R.	Dec.	α Hydrae (Alphard) A. R.	Dec.	α Leonis (Regulus) A. R.	Dec.	γ¹ Leonis A. R.	Dec.	α Ursae majoris (Dubhe) A. R.	Dec.
		9^h	-58^0	9^h	-8^0	10^h	$+12^0$	10^h	$+20^0$	10^h	$+62^0$
		m s	′ ″	m s	′ ″	m s	′ ″	m s	′ ″	m s	′ ″
Januar	1	14 11·8	48 49	22 14·0	11 4	2 33·9	30 1	13 57·6	23 32	57 0·2	20 11
	21	14 12·2	48 56	22 14·4	11 9	2 34·4	29 58	13 58·2	23 31	57 1·3	20 13
Februar	10	14 12·3	49 4	22 14·6	11 12	2 34·7	29 57	13 58·5	23 30	57 2·1	20 16
März	2	14 12·1	49 11	22 14·6	11 15	2 34·9	29 56	13 58·7	23 31	57 2·5	20 21
	22	14 11·7	49 16	22 14·5	11 16	2 34·8	29 57	13 58·7	23 32	57 2·5	20 26
April	11	14 11·0	49 20	22 14·2	11 17	2 34·6	29 58	13 58·5	23 34	57 2·2	20 30
Mai	1	14 10·3	49 22	22 14·0	11 17	2 34·4	29 59	13 58·3	23 35	57 1·7	20 35
	21	14 9·6	49 22	22 13·7	11 16	2 34·2	30 0	13 58·0	23 37	57 1·0	20 37
Juni	10	14 8·9	49 20	22 13·5	11 14	2 34·0	30 1	13 57·8	23 38	57 0·4	20 37
	30	14 8·4	49 16	22 13·4	11 12	2 33·8	30 2	13 57·6	23 38	56 59·8	20 36
Juli	20	14 8·1	49 11	22 13·4	11 10	2 33·8	30 3	13 57·6	23 38	56 59·4	20 33
August	9	14 8·1	49 5	22 13·5	11 7	2 33·8	30 2	13 57·6	23 37	56 59·2	20 28
	29	14 8·3	48 59	22 13·7	11 5	2 34·0	30 2	13 57·8	23 35	56 59·2	20 22
September	18	14 8·7	48 54	22 14·0	11 4	2 34·3	30 0	13 58·0	23 33	56 59·4	20 15
October	8	14 9·4	48 51	22 14·5	11 5	2 34·7	29 58	13 58·4	23 30	57 0·0	20 9
	28	14 10·3	48 50	22 15·1	11 6	2 35·2	29 55	13 59·0	23 26	57 0·8	20 2
November	17	14 11·3	48 51	22 15·7	11 9	2 35·8	29 52	13 59·6	23 22	57 1·8	19 57
December	7	14 12·3	48 55	22 16·3	11 13	2 36·5	29 48	14 0·3	23 18	57 3·0	19 53
	27	14 13·1	49 1	22 16·9	11 18	2 37·2	29 44	14 1·0	23 15	57 4·2	19 52
Zwei obere Culm. finden statt:		August 8		August 10		August 21		August 24		September 5	

Scheinbare Oeter für die obere Culmination in Greenwich.

DATUM		δ Leonis A. R.	Dec.	β Leonis (Denebola) A. R.	Dec.	γ Ursae majoris A. R.	Dec.	α[1] Crucis A. R.	Dec.	δ[2] Corvi A. R.	Dec.
		11^h	$+21^\circ$	11^h	$+15^\circ$	11^h	$+54^\circ$	12^h	-62°	12^h	-15°
		m s	′ ″	m s	′ ″	m s	′ ″	m s	′ ″	m s	′ ″
Januar	1	8 18·3	7 13	43 29·4	10 53	48 5·5	17 52	20 31·3	29 19	24 12·6	54 21
	21	8 18·9	7 11	43 30·0	10 49	48 6·5	17 52	20 32·4	29 23	24 13·2	54 25
Februar	10	8 19·4	7 10	43 30·5	10 48	48 7·2	17 53	20 33·3	29 29	24 13·8	54 30
März	2	8 19·7	7 10	43 30·9	10 47	48 7·7	17 57	20 33·9	29 36	24 14·2	54 34
	22	8 19·8	7 12	43 31·0	10 48	48 7·9	18 2	20 34·2	29 43	24 14·4	54 37
April	11	8 19·7	7 14	43 31·0	10 49	48 7·9	18 7	20 34·2	29 50	24 14·5	54 39
Mai	1	8 19·5	7 16	43 30·9	10 51	48 7·6	18 11	20 34·0	29 56	24 14·5	54 40
	21	3 19·3	7 18	43 30·7	10 53	48 7·2	18 14	20 33·6	30 0	24 14·4	54 41
Juni	10	8 19·1	7 19	43 30·5	10 54	48 6·7	18 16	20 33·0	30 3	24 14·2	54 41
	30	8 18·9	7 20	43 30·3	10 56	48 6·3	18 16	20 32·4	30 4	24 14·0	54 40
Juli	20	8 18·7	7 20	43 30·2	10 56	48 5·9	18 14	20 31·7	30 3	24 13·8	54 38
August	9	8 18·7	7 19	43 30·0	10 56	48 5·6	18 11	20 31·1	30 0	24 13·6	54 36
	29	8 18·7	7 17	43 30·0	10 55	48 5·4	18 6	20 30·6	29 55	24 13·5	54 35
September	18	8 18·9	7 14	43 30·1	10 52	48 5·4	18 0	20 30·4	29 50	24 13·4	54 33
October	8	8 19·2	7 11	43 30·3	10 50	48 5·7	17 53	20 30·5	29 45	24 13·6	54 32
	28	8 19·6	7 7	43 30·7	10 46	48 6·2	17 46	20 31·0	29 40	24 13·9	54 33
November	17	8 20·2	7 2	43 31·2	10 41	48 6·9	17 40	20 31·9	29 38	24 14·3	54 34
December	7	8 20·9	6 58	43 31·8	10 37	48 7·8	17 35	20 32·9	29 37	24 14·9	54 37
	27	8 21·6	6 54	43 32·5	10 33	48 8·8	17 32	20 34·1	29 39	24 15·6	54 41
Zwei obere Culm. finden statt:		September 8		September 18		September 19		September 28		September 29	

DATUM		γ[1] Virginis A. R.	Dec.	ε Virginis (Vindemiatrix) A. R.	Dec.	α Virginis (Spica) A. R.	Dec.	η Ursae majoris (Benetnasch) A. R.	Dec.	β Centauri A. R.	Dec.
		12^h	-0°	12^h	$+11^\circ$	13^h	-10°	13^h	$+49^\circ$	13^h	-59°
		m s	′ ″	m s	′ ″	m s	′ ″	m s	′ ″	m s	′ ″
Januar	1	36 7·2	50 58	56 44·1	32 42	19 25·8	35 24	43 13·6	51 15	56 5·7	50 28
	21	36 7·8	51 2	56 44·7	32 39	19 26·4	35 29	43 14·5	51 12	56 6·8	50 31
Februar	10	36 8·4	51 6	56 45·3	32 36	19 27·0	35 32	43 15·3	51 11	56 7·9	50 35
März	2	36 8·8	51 8	56 45·8	32 35	19 27·5	35 36	43 16·0	51 12	56 8·8	50 40
	22	36 9·0	51 10	56 46·1	32 35	19 27·8	35 38	43 16·5	51 16	56 9·5	50 46
April	11	36 9·1	51 10	56 46·2	32 36	19 28·0	35 39	43 16·8	51 21	56 9·9	50 52
Mai	1	36 9·1	51 10	56 46·2	32 38	19 28·1	35 40	43 16·9	51 26	56 10·1	50 58
	21	36 9·0	51 9	56 46·2	32 40	19 28·1	35 40	43 16·8	51 31	56 10·1	51 3
Juni	10	36 8·9	51 8	56 46·0	32 42	19 28·0	35 40	43 16·5	51 35	56 9·9	51 7
	30	36 8·7	51 6	56 45·8	32 43	19 27·8	35 39	43 16·1	51 37	56 9·5	51 10
Juli	20	36 8·5	51 5	56 45·6	32 44	19 27·6	35 38	43 15·6	51 38	56 8·9	51 11
August	9	36 8·4	51 4	56 45·4	32 44	19 27·4	35 37	43 15·2	51 37	56 8·3	51 10
	29	36 8·2	51 4	56 45·3	32 44	19 27·2	35 36	43 14·8	51 34	56 7·7	51 8
September	18	36 8·2	51 4	56 45·2	32 42	19 27·1	35 35	43 14·4	51 29	56 7·2	51 4
October	8	36 8·3	51 5	56 45·2	32 40	19 27·1	35 35	43 14·3	51 23	56 7·0	50 59
	28	36 8·5	51 7	56 45·5	32 36	19 27·3	35 36	43 14·4	51 16	56 7·1	50 54
November	17	36 9·0	51 10	56 45·9	32 32	19 27·7	35 37	43 14·7	51 9	56 7·6	50 51
December	7	36 9·6	51 14	56 46·4	32 27	19 28·2	35 40	43 15·3	51 2	56 8·4	50 48
	27	36 10·2	51 18	56 47·1	32 22	19 28·9	35 44	43 16·1	50 56	56 9·5	50 48
Zwei obere Culm. finden statt:		October 2		October 8		October 14		October 20		October 24	

Scheinbare Oerter für die obere Culmination in Greenwich.

DATUM		α Bootis (Arcturus) A. R. 14h	Dec. +19°	α² Centauri A. R. 14h	Dec. −60°	ε² Bootis (Mirak) A. R. 14h	Dec. +27°	α Librae A. R. 14h	Dec. −15°	β Ursae minoris (Kochab) A. R. 14h	Dec. +74°
		m s	′ ″	m s	′ ″	m s	′ ″	m s	′ ″	m s	′ ″
Januar	1	10 40·0	44 57	32 9·6	22 40	40 12·1	31 56	44 49·1	35 12	50 59·3	35 49
	21	10 40·6	44 52	32 10·7	22 41	40 12·7	31 51	44 49·7	35 15	51 0·9	35 45
Februar	10	10 41·3	44 49	32 11·9	22 44	40 13·4	31 48	44 50·4	35 19	51 2·7	35 44
März	2	10 41·8	44 48	32 12·8	22 48	40 14·0	31 48	44 51·0	35 22	51 4·5	35 45
	22	10 42·3	44 49	32 13·6	22 53	40 14·5	31 49	44 51·5	35 24	51 5·8	35 48
April	11	10 42·6	44 51	32 14·2	22 59	40 14·9	31 51	44 51·9	35 26	51 6·8	35 53
Mai	1	10 42·7	44 54	32 14·6	23 5	40 15·1	31 55	44 52·1	35 27	51 7·1	36 0
	21	10 42·8	44 57	32 14·7	23 10	40 15·2	31 59	44 52·3	35 27	51 6·9	36 6
Juni	10	10 42·7	44 59	32 14·5	23 15	40 15·1	32 3	44 52·3	35 27	51 6·2	36 11
	30	10 42·5	45 2	32 14·2	23 18	40 15·0	32 6	44 52·2	35 27	51 5·0	36 15
Juli	20	10 42·3	45 3	32 13·7	23 19	40 14·8	32 8	44 52·1	35 26	51 3·6	36 16
August	9	10 42·0	45 3	32 13·0	23 19	40 14·4	32 8	44 51·8	35 26	51 2·1	36 16
	29	10 41·8	45 3	32 12·3	23 18	40 14·1	32 8	44 51·5	35 25	51 0·6	36 13
September	18	10 41·5	45 1	32 11·8	23 14	40 13·8	32 6	44 51·3	35 24	50 59·2	36 9
October	8	10 41·4	44 57	32 11·4	23 10	40 13·6	32 2	44 51·1	35 23	50 58·1	36 3
	28	10 41·5	44 53	32 11·3	23 6	40 13·6	31 57	44 51·2	35 23	50 57·5	35 56
November	17	10 41·7	44 48	32 11·7	23 1	40 13·8	31 51	44 51·4	35 24	50 57·4	35 48
December	7	10 42·1	44 42	32 12·4	22 58	40 14·2	31 45	44 51·8	35 26	50 58·0	35 40
	27	10 42·7	44 37	32 13·4	22 57	40 14·7	31 39	44 52·4	35 29	50 59·1	35 33
Zwei obere Culm. finden statt:		October 28		November 2		November 4		November 5		November 7	

DATUM		β Librae A. R. 15h	Dec. −8°	α Coronae (Gemma) A. R. 15h	Dec. +27°	α Serpentis (Unuk) A. R. 15h	Dec. +6°	β¹ Scorpii A. R. 15h	Dec. −19°	η² Draconis A. R. 16h	Dec. +61°
		m s	′ ″	m s	′ ″	m s	′ ″	m s	′ ″	m s	′ ″
Januar	1	11 6·6	58 45	30 2·6	4 48	38 52·0	46 6	59 3·7	30 19	22 28·6	45 29
	21	11 7·2	58 49	30 3·2	4 43	38 52·6	46 2	59 4·3	30 22	22 29·3	45 23
Februar	10	11 7·9	58 52	30 3·9	4 40	38 53·3	45 59	59 5·0	30 24	22 30·3	45 18
März	2	11 8·5	58 55	30 4·5	4 38	38 53·9	45 57	59 5·6	30 26	22 31·4	45 17
	22	11 9·0	58 56	30 5·1	4 39	38 54·4	45 56	59 6·2	30 28	22 32·4	45 18
April	11	11 9·4	58 57	30 5·5	4 41	38 54·8	45 57	59 6·7	30 29	22 33·2	45 21
Mai	1	11 9·7	58 57	30 5·9	4 45	38 55·2	45 59	59 7·2	30 30	22 33·8	45 27
	21	11 9·9	58 57	30 6·0	4 49	38 55·4	46 1	59 7·5	30 31	22 34·1	45 33
Juni	10	11 10·0	58 56	30 6·1	4 53	38 55·5	46 3	59 7·6	30 31	22 34·1	45 39
	30	11 9·9	58 55	30 6·0	4 57	38 55·5	46 6	59 7·7	30 32	22 33·8	45 45
Juli	20	11 9·8	58 55	30 5·8	4 59	38 55·4	46 8	59 7·6	30 32	22 33·3	45 49
August	9	11 9·5	58 54	30 5·5	5 1	38 55·1	46 9	59 7·4	30 31	22 32·5	45 51
	29	11 9·3	58 53	30 5·1	5 1	38 54·8	46 9	59 7·1	30 31	22 31·7	45 52
September	18	11 9·0	58 53	30 4·8	4 59	38 54·5	46 9	59 6·8	30 30	22 30·8	45 50
October	8	11 8·8	58 53	30 4·5	4 56	38 54·3	46 7	59 6·5	30 30	22 30·0	45 47
	28	11 8·8	58 54	30 4·4	4 52	38 54·2	46 5	59 6·4	30 29	22 29·3	45 42
November	17	11 8·9	58 55	30 4·4	4 47	38 54·3	46 2	59 6·4	30 29	22 29·0	45 35
December	7	11 9·3	58 58	30 4·7	4 40	38 54·6	45 58	59 6·7	30 30	22 29·0	45 27
	27	11 9·8	59 1	30 5·2	4 34	38 55·0	45 53	59 7·2	30 32	22 29·4	45 19
Zwei obere Culm. finden statt:		November 12		November 17		November 19		November 23		November 29	

Scheinbare Oerter für die obere Culmination in Greenwich.

DATUM		α Scorpii (Antares) A. R.	Dec.	ζ Ophiuchi A. R.	Dec.	α Trianguli australis A. R.	Dec.	ζ Herculis A. R.	Dec.	η Ophiuchi A. R.	Dec.
		16ʰ	−26°	16ʰ	−10°	16ʰ	−68°	16ʰ	+31°	17ʰ	−15°
		m s	′ ″	m s	′ ″	m s	′ ″	m s	′ ″	m s	′ ″
Januar	1	22 41·0	11 18	31 7·2	20 44	37 2·3	49 26	37 8·6	47 55	4 5·2	35 22
	21	22 41·6	11 19	31 7·7	20 46	37 3·6	49 23	37 9·1	47 49	4 5·7	35 23
Februar	10	22 42·3	11 21	31 8·3	20 49	37 5·1	49 22	37 9·8	47 45	4 6·3	35 25
März	2	22 43·0	11 23	31 9·0	20 51	37 6·6	49 23	37 10·4	47 43	4 6·9	35 27
	22	22 43·6	11 25	31 9·6	20 52	37 8·1	49 25	37 11·1	47 43	4 7·6	35 28
April	11	22 44·2	11 27	31 10·1	20 53	37 9·5	49 29	37 11·6	47 45	4 8·1	35 28
Mai	1	22 44·7	11 28	31 10·5	20 52	37 10·6	49 33	37 12·1	47 49	4 8·6	35 28
	21	22 45·0	11 29	31 10·9	20 52	37 11·4	49 38	37 12·4	47 54	4 9·1	35 28
Juni	10	22 45·3	11 30	31 11·1	20 51	37 11·9	49 44	37 12·5	47 59	4 9·4	35 27
	30	22 45·4	11 31	31 11·2	20 50	37 11·9	49 49	37 12·5	48 4	4 9·5	35 27
Juli	20	22 45·3	11 32	31 11·1	20 49	37 11·6	49 53	37 12·4	48 8	4 9·5	35 27
August	9	22 45·1	11 32	31 11·0	20 48	37 10·9	49 56	37 12·1	48 10	4 9·4	35 26
	29	22 44·8	11 32	31 10·7	20 48	37 10·0	49 58	37 11·7	48 11	4 9·1	35 26
September	18	22 44·4	11 31	31 10·4	20 48	37 9·0	49 57	37 11·3	48 11	4 8·9	35 26
October	8	22 44·1	11 30	31 10·1	20 48	37 8·1	49 55	37 10·9	48 9	4 8·5	35 26
	28	22 43·9	11 29	31 9·9	20 48	37 7·5	49 51	37 10·6	48 5	4 8·2	35 26
November	17	22 44·0	11 29	31 9·9	20 49	37 7·3	49 46	37 10·5	48 0	4 8·2	35 26
December	7	22 44·2	11 28	31 10·1	20 51	37 7·6	49 41	37 10·6	47 54	4 8·3	35 27
	27	22 44·7	11 29	31 10·5	20 53	37 8·5	49 37	37 10·9	47 47	4 8·7	35 29
Zwei obere Culm. finden statt:		November 29		December 1		December 2		December 2		December 8	

DATUM		α¹ Herculis (Ras Algethi) A. R.	Dec.	β Draconis A. R.	Dec.	α Ophiuchi (Ras Alhague) A. R.	Dec.	γ Draconis A. R.	Dec.	α Lyrae (Vega) A. R.	Dec.
		17ʰ	+14°	17ʰ	+52°	17ʰ	+12°	17ʰ	+51°	18ʰ	+38°
		m s	′ ″	m s	′ ″	m s	′ ″	m s	′ ″	m s	′ ″
Januar	1	9 38·5	30 49	27 55·6	22 48	29 50·3	38 19	54 1·9	30 0	33 12·5	40 52
	21	9 38·9	30 45	27 56·1	22 42	29 50·7	38 14	54 2·3	29 53	33 12·7	40 46
Februar	10	9 39·5	30 41	27 56·8	22 36	29 51·2	38 11	54 2·9	29 47	33 13·2	40 40
März	2	9 40·1	30 39	27 57·6	22 33	29 51·8	38 8	54 3·6	29 44	33 13·8	40 36
	22	9 40·7	30 38	27 58·4	22 33	29 52·4	38 8	54 4·4	29 43	33 14·5	40 35
April	11	9 41·2	30 39	27 59·2	22 35	29 53·0	38 9	54 5·2	29 44	33 15·1	40 36
Mai	1	9 41·7	30 42	27 59·9	22 39	29 53·5	38 11	54 5·9	29 48	33 15·8	40 39
	21	9 42·1	30 45	28 0·3	22 45	29 53·9	38 14	54 6·4	29 54	33 16·3	40 43
Juni	10	9 42·4	30 49	28 0·6	22 51	29 54·2	38 18	54 6·8	30 0	33 16·7	40 49
	30	9 42·5	30 52	28 0·6	22 57	29 54·3	38 22	54 6·9	30 6	33 17·0	40 55
Juli	20	9 42·4	30 56	28 0·4	23 3	29 54·3	38 25	54 6·7	30 12	33 17·0	41 1
August	9	9 42·3	30 58	28 0·0	23 7	29 54·2	38 27	54 6·3	30 16	33 16·8	41 5
	29	9 42·0	30 59	27 59·4	23 9	29 53·9	38 28	54 5·8	30 19	33 16·5	41 9
September	18	9 41·6	30 59	27 58·7	23 9	29 53·6	38 29	54 5·1	30 21	33 16·0	41 11
October	8	9 41·3	30 58	27 58·0	23 8	29 53·2	38 28	54 4·5	30 20	33 15·5	41 11
	28	9 41·0	30 56	27 57·4	23 4	29 52·9	38 26	54 3·9	30 17	33 15·0	41 9
November	17	9 40·9	30 53	27 57·0	22 59	29 52·8	38 23	54 3·4	30 12	33 14·7	41 6
December	7	9 41·0	30 48	27 56·9	22 52	29 52·9	38 19	54 3·2	30 6	33 14·5	41 1
	27	9 41·3	30 43	27 57·0	22 45	29 53·1	38 14	54 3·3	29 58	33 14·5	40 55
Zwei obere Culm. finden statt:		December 10		December 14		December 14		December 20		December 29	

Scheinbare Oerter für die obere Culmination in Greenwich.

DATUM		α Aquilae (Atair) A. R.	α Aquilae (Atair) Dec.	α Pavonis A. R.	α Pavonis Dec.	α Cygni (Deneb) A. R.	α Cygni (Deneb) Dec.	α Cephei A. R.	α Cephei Dec.	β Aquarii A. R.	β Aquarii Dec.
		19h	+8°	20h	−57°	20h	+44°	21h	+62°	21h	−6°
		m s	′ ″	m s	′ ″	m s	′ ″	m s	′ ″	m s	′ ″
Januar	1	45 25·6	34 45	16 57·7	5 14	37 40·5	53 28	15 55·7	7 30	25 47·2	3 11
	21	45 25·8	34 42	16 57·9	5 9	37 40·5	53 22	15 55·3	7 24	25 47·2	3 12
Februar	10	45 26·1	34 39	16 58·4	5 4	37 40·6	53 16	15 55·3	7 17	25 47·3	3 13
März	2	45 26·6	34 37	16 59·1	5 0	37 41·0	53 11	15 55·6	7 11	25 47·6	3 13
	22	45 27·1	34 36	17 0·0	4 56	37 41·5	53 7	15 56·2	7 6	25 48·0	3 12
April	11	45 27·7	34 37	17 0·9	4 53	37 42·2	53 6	15 57·0	7 3	25 48·5	3 11
Mai	1	45 28·3	34 39	17 2·0	4 51	37 42·9	53 7	15 58·0	7 3	25 49·0	3 8
	21	45 28·8	34 42	17 3·0	4 51	37 43·6	53 10	15 59·0	7 5	25 49·7	3 5
Juni	10	45 29·4	34 46	17 4·0	4 51	37 44·3	53 15	16 0·0	7 9	25 50·3	3 1
	30	45 29·8	34 50	17 4·8	4 53	37 44·8	53 21	16 0·8	7 15	25 50·8	2 58
Juli	20	45 30·0	34 54	17 5·3	4 57	37 45·1	53 28	16 1·3	7 22	25 51·3	2 55
August	9	45 30·1	34 57	17 5·6	5 1	37 45·2	53 34	16 1·4	7 29	25 51·6	2 53
	29	45 30·0	34 59	17 5·5	5 5	37 45·1	53 40	16 1·3	7 36	25 51·7	2 52
September	18	45 29·8	35 1	17 5·2	5 8	37 44·8	53 44	16 0·9	7 42	25 51·6	2 51
October	8	45 29·4	35 1	17 4·6	5 11	37 44·3	53 47	16 0·2	7 47	25 51·4	2 51
	28	45 29·1	35 0	17 4·0	5 12	37 43·8	53 49	15 59·4	7 49	25 51·2	2 52
November	17	45 28·8	34 59	17 3·5	5 11	37 43·3	53 48	15 58·5	7 50	25 50·9	2 53
December	7	45 28·7	34 57	17 3·1	5 9	37 42·9	53 45	15 57·7	7 49	25 50·7	2 54
	27	45 28·7	34 54	17 2·9	5 6	37 42·6	53 41	15 57·1	7 45	25 50·6	2 56
Zwei obere Culm. finden statt:		Januar 14		Januar 21		Januar 26		Februar 5		Februar 7	

DATUM		ε Pegasi (Enif) A. R.	ε Pegasi (Enif) Dec.	α Aquarii A. R.	α Aquarii Dec.	α Gruis A. R.	α Gruis Dec.	α Piscis aust. (Fomalhaut) A. R.	α Piscis aust. (Fomalhaut) Dec.	α Pegasi (Markab) A. R.	α Pegasi (Markab) Dec.
		21h	+9°	22h	−0°	22h	−47°	22h	−30°	22h	+14°
		m s	′ ″	m s	′ ″	m s	′ ″	m s	′ ″	m s	′ ″
Januar	1	38 48·0	22 26	0 9·2	51 5	1 19·3	29 37	51 35·9	12 16	59 18·3	37 4
	21	38 48·0	22 23	0 9·2	51 6	1 19·2	29 34	51 35·8	12 15	59 18·1	37 2
Februar	10	38 48·1	22 21	0 9·2	51 8	1 19·3	29 30	51 35·7	12 13	59 18·0	36 59
März	2	38 48·3	22 19	0 9·4	51 8	1 19·5	29 25	51 35·8	12 10	59 18·1	36 57
	22	38 48·6	22 18	0 9·7	51 8	1 20·0	29 20	51 36·1	12 6	59 18·3	36 56
April	11	38 49·1	22 18	0 10·2	51 6	1 20·6	29 15	51 36·5	12 2	59 18·6	36 56
Mai	1	38 49·6	22 20	0 10·7	51 4	1 21·3	29 10	51 37·0	11 57	59 19·1	36 57
	21	38 50·3	22 23	0 11·3	51 1	1 22·2	29 7	51 37·7	11 53	59 19·7	36 59
Juni	10	38 50·9	22 27	0 12·0	50 57	1 23·1	29 4	51 38·4	11 49	59 20·3	37 3
	30	38 51·4	22 32	0 12·5	50 53	1 23·9	29 4	51 39·1	11 46	59 20·9	37 7
Juli	20	38 51·9	22 36	0 13·0	50 50	1 24·6	29 5	51 39·7	11 45	59 21·5	37 12
August	9	38 52·2	22 40	0 13·4	50 47	1 25·1	29 7	51 40·2	11 44	59 21·9	37 16
	29	38 52·3	22 43	0 13·5	50 45	1 25·3	29 10	51 40·5	11 46	59 22·2	37 20
September	18	38 52·2	22 45	0 13·5	50 44	1 25·3	29 14	51 40·6	11 48	59 22·3	37 23
October	8	38 52·1	22 46	0 13·4	50 43	1 25·1	29 18	51 40·6	11 50	59 22·2	37 26
	28	38 51·8	22 47	0 13·2	50 44	1 24·7	29 21	51 40·4	11 53	59 22·1	37 27
November	17	38 51·5	22 46	0 12·9	50 45	1 24·3	29 22	51 40·1	11 55	59 21·9	37 27
December	7	38 51·3	22 44	0 12·7	50 46	1 23·9	29 22	51 39·8	11 57	59 21·6	37 26
	27	38 51·1	22 42	0 12·5	50 47	1 23·6	29 21	51 39·6	11 57	59 21·4	37 25
Zwei obere Culm. finden statt:		Februar 10		Februar 16		Februar 16		März 1		März 3	

Elemente der Sternbedeckungen.

Datum	Name und Grösse des Sternes	Scheinbarer Ort des Sternes: Rectascension	Scheinbarer Ort des Sternes: Declination + Nord − Sud	Breitengrenzen der Sichtbarkeit	Mittl. Gr. Zeit der Conjunction in Rectasc. T_0	p' stets +	q_0	q'	log n	N
	Januar	h m s	° ′ ″		h m s					° ′
6	β¹ Scorpii 2	15 59 3·8	−19 30 20	38 N 34 S	17 48 59	0·5615	+0·1390	−0·1679	9·7680	106 39
6	ω¹ Scorpii 4	16 0 23·9	−20 22 21	70 N 13 N	18 23 41	0·5621	+0·9383	−0·1669	9·7681	106 32
6	ν² Scorpii 4	16 5 37·5	−19 10 33	6 S 90 S	20 39 7	0·5643	−0·6700	−0·1628	9·7689	106 6
13	τ² Aquarii 4	22 43 47·5	−14 10 17	70 N 11 S	6 53 38	0·5683	+0·5688	+0·2249	9·7862	68 25
22	ε Geminor. 3½	6 37 14·1	+25 14 21	46 N 11 S	8 9 39	0·5580	+0·0861	+0·0094	9·7467	89 2
23	κ Geminor. 3½	7 37 52·6	+24 39 33	48 N 13 S	11 12 29	0·5524	+0·1221	−0·0532	9·7442	95 30
26	η Leonis 3½	10 1 24·0	+17 17 36	41 N 32 S	7 49 1	0·5192	+0·0034	−0·1771	9·7392	108 50
28	ι Leonis 4	11 18 14·8	+11 7 44	35 S 79 S	0 27 43	0·5017	−1·2508	−0·2177	9·7379	113 27
	Februar									
3	β¹ Scorpii 2	15 59 4·7	−19 30 23	27 N 45 S	3 22 28	0·5523	−0·0591	−0·1642	9·7606	106 33
3	ω¹ Scorpii 4	16 0 24·8	−20 22 24	68 N 1 N	3 58 12	0·5529	+0·7514	−0·1632	9·7608	106 27
3	ν² Scorpii 4	16 5 38·4	−19 10 37	18 S 90 S	6 17 31	0·5551	−0·8748	−0·1592	9·7615	106 0
4	θ Ophiuchi 3½	17 15 17·3	−24 53 25	65 N 43 N	11 38 53	0·5825	+1·2254	−0·0971	9·7712	99 28
5	λ Sagittarii 3	18 21 12·8	−25 28 57	28 N 30 S	13 18 57	0·6014	+0·1963	−0·0271	9·7796	92 35
5	σ Sagittarii 2½	18 48 28·4	−26 25 58	64 N 22 N	23 32 56	0·6062	+1·0259	+0·0037	9·7826	89 39
18	ε Geminor. 3½	6 37 13·9	+25 14 22	57 N 2 S	13 51 40	0·5549	+0·2496	+0·0076	9·7443	89 13
19	κ Geminor. 3½	7 37 52·6	+24 39 34	56 N 7 S	17 4 18	0·5490	+0·2376	−0·0549	9·7417	95 43
22	η Leonis 3½	10 1 24·4	+17 17 36	40 N 35 S	14 3 51	0·5184	−0·0327	−0·1793	9·7392	109 4
	März									
2	β¹ Scorpii 2	15 59 5·6	−19 30 26	11 N 64 S	10 48 34	0·5450	−0·3602	−0·1620	9·7548	106 33
2	ω¹ Scorpii 4	16 0 25·7	−20 22 27	56 N 16 S	11 25 12	0·5454	+0·4618	−·01609	9·7548	106 26
2	ν² Scorpii 4	16 5 39·3	−19 10 40	41 S 90 S	13 48 7	0·5475	−1·1855	−0·1568	9·7555	105 59
3	θ Ophiuchi 3½	17 15 18·2	−24 53 27	65 N 17 N	20 1 18	0·5723	+0·9743	−0·0946	9·7634	99 23
4	λ Sagittarii 3	18 21 13·6	−25 28 56	15 N 43 S	22 32 35	0·5899	−0·0333	−0·0251	9·7712	92 26
5	σ Sagittarii 2½	18 48 29·2	−26 25 57	64 N 7 N	9 7 5	0·5950	+0·8270	+0·0054	9·7745	89 29
17	ε Geminor. 3½	6 37 13·5	+25 14 23	77 N 13 N	20 5 53	0·5565	+0·5169	+0·0066	9·7455	89 19
18	κ Geminor. 3½	7 37 52·3	+24 39 36	73 N 6 N	23 5 24	0·5482	+0·4754	−0·0562	9·7412	95 51
21	η Leonis 3½	10 1 24·3	+17 17 37	46 N 29 S	20 8 34	0·5162	+0·0849	−0·1808	9·7379	109 18
23	ι Leonis 4	11 18 15·5	+11 7 42	51 S 79 S	12 54 32	0·5018	−1·3655	−0·2225	9·7395	113 55
29	β¹ Scorpii 2	15 59 6·4	−19 30 29	2 S 86 S	16 37 30	0·5439	−0·6224	−0·1625	9·7541	106 38
29	ω¹ Scorpii 4	16 0 26·5	−20 22 30	41 N 30 S	17 14 21	0·5444	+0·2039	−0·1615	9·7542	106 32
31	θ Ophiuchi 3½	17 15 19·1	−24 53 28	66 N 1 S	2 12 40	0·5674	+0·7159	−0·0940	9·7598	99 24
	April									
1	λ Sagittarii 3	18 21 14·5	−25 28 56	1 N 60 S	5 17 55	0·5818	−0·2942	−0·0244	9·7652	92 24
1	σ Sagittarii 2½	18 48 30·1	−26 25 56	51 N 8 S	16 9 46	0·5857	+0·5856	+0·0058	9·7677	89 26
5	τ² Aquarii 4	22 43 48·0	−14 10 12	71 N 10 S	14 38 45	0·5674	+0·5900	+0·2321	9·7875	67 45
14	ε Geminor. 3½	6 37 13·0	+25 14 23	90 N 25 N	3 51 33	0·5629	+0·7553	+0·0067	9·7504	89 19
15	κ Geminor. 3½	7 37 51·8	+24 39 37	90 N 18 N	6 18 1	0·5520	+0·7134	−0·0570	9·7442	95 54
18	η Leonis 3½	10 1 24·1	+17 17 39	58 N 19 S	2 47 34	0·5146	+0·2767	−0·1817	9·7370	109 27
19	ι Leonis 4	11 18 15·4	+11 7 43	32 S 79 S	19 35 54	0·4999	−1·2307	−0·2235	9·7385	114 5
25	β¹ Scorpii 2	15 59 7·1	−19 30 30	9 S 90 S	22 26 20	0·5478	−0·7434	−0·1650	9·7575	106 46
25	ω¹ Scorpii 4	16 0 27·1	−20 22 32	34 N 37 S	23 2 48	0·5483	+0·0795	−0·1639	9·7576	106 39
27	θ Ophiuchi 3½	17 15 19·9	−24 53 29	56 N 10 S	7 43 19	0·5699	+0·5626	−0·0952	9·7618	99 29
28	λ Sagittarii 3	18 21 15·4	−25 28 56	7 S 73 S	10 44 49	0·5820	−0·4622	−0·0249	9·7653	92 27
28	φ Sagittarii 3½	18 38 51·5	−27 6 9	63 N 30 N	17 47 56	0·5837	+1·1142	−0·0053	9·7662	90 31
28	σ Sagittarii 2½	18 48 31·0	−26 25 55	39 N 18 S	21 39 4	0·5844	+0·4180	+0·0054	9·7667	89 28

Elemente der Sternbedeckungen.

Datum	Name und Grösse des Sternes	Scheinbarer Ort des Sternes: Rectascension	Scheinbarer Ort des Sternes: Declination + Nord − Sud	Breitengrenzen der Sichtbarkeit	Mittl. Gr. Zeit der Conjunction in Rectasc. T_0	p' stets +	q_0	q'	log n	N
	Mai	h m s	° ′ ″		h m s					° ′
2	τ^2 Aquarii 4	22 43 48·7	−14 10 7	63 N 17 S	22 12 54	0·5572	+0·4623	+0·2291	9·7799	67 39
9	Mars —	4 48 29·3	+23 12 55	41 N 27 S	15 44 21	0·5448	−0·0185	+0·1204	9·7466	77 32
11	ε Geminor. 3½	6 37 12·7	+25 14 23	90 N 32 N	12 51 15	0·5696	+0·8681	+0·0071	9·7556	89 17
12	ϰ Geminor. 3½	7 37 51·4	+24 39 38	90 N 25 N	14 45 32	0·5578	+0·8364	−0·0576	9·7488	95 54
15	η Leonis 3½	10 1 23·7	+17 17 41	67 N 13 S	10 20 55	0·5153	+0·4042	−0·1823	9·7377	109 29
17	ι Leonis 4	11 18 15·2	+11 7 46	22 S 79 S	3 4 47	0·4982	−1·1186	−0·2234	9·7372	114 9
23	β^1 Scorpii 2	15 59 7·5	−19 30 31	10 S 90 S	5 33 5	0·5522	−0·7484	−0·1669	9·7611	106 49
23	ω^1 Scorpii 4	16 0 27·6	−20 22 33	34 N 38 S	6 9 2	0·5527	+0·0684	−0·1659	9·7612	106 42
24	θ Ophiuchi 3½	17 15 20·5	−24 53 29	54 N 12 S	14 16 44	0·5761	+0·5297	−0·0967	9·7665	99 32
25	λ Sagittarii 3	18 21 16·2	−25 28 56	10 S 76 S	16 48 58	0·5882	−0·4984	−0·0255	9·7699	92 29
25	φ Sagittarii 3½	18 38 52·3	−27 6 9	63 N 25 N	23 44 53	0·5897	+1·0660	−0·0057	9·7706	90 33
26	σ Sagittarii 2½	18 48 31·8	−26 25 54	36 N 21 S	3 32 16	0·5902	+0·3731	+0·0053	9·7710	89 29
30	τ^2 Aquarii 4	22 43 49·6	−14 10 1	61 N 20 S	3 52 50	0·5527	+0·4172	+0·2275	9·7765	67 38
	Juni									
3	Venus —	2 53 37·2	+14 54 20	31 N 48 S	23 14 27	0·5047	−0·2061	+0·2053	9·7362	67 52
8	ϰ Geminor. 3½	7 37 51·3	+24 39 38	90 N 25 N	23 34 14	0·5621	+0·8315	−0·0581	9·7521	95 54
11	η Leonis 3½	10 1 23·4	+17 17 42	66 N 13 S	18 28 44	0·5176	+0·3891	−0·1833	9·7397	109 30
13	ι Leonis 4	11 18 14·9	+11 7 47	23 S 79 S	11 4 45	0·4979	−1·1407	−0·2234	9·7369	114 10
19	β^1 Scorpii 2	15 59 7·7	−19 30 32	10 S 90 S	14 10 16	0·5530	−0·7524	−0·1668	9·7616	106 47
19	ω^1 Scorpii 4	16 0 27·7	−20 22 33	34 N 39 S	14 46 1	0·5535	+0·0614	−0·1657	9·7617	106 40
20	θ Ophiuchi 3½	17 15 20·9	−24 53 30	55 N 12 S	22 35 35	0·5800	+0·5341	−0·0969	9·7694	99 29
22	λ Sagittarii 3	18 21 16·7	−25 28 56	8 S 74 S	0 40 58	0·5943	−0·4718	−0·0252	9·7745	92 26
22	φ Sagittarii 3½	18 38 52·9	−27 6 9	63 N 27 N	7 28 27	0·5965	+1·0810	−0·0052	9·7756	90 30
22	σ Sagittarii 2½	18 48 32·5	−26 25 54	38 N 19 S	11 11 1	0·5972	+0·3969	+0·0059	9·7761	89 26
26	τ^2 Aquarii 4	22 43 50·4	−14 9 57	65 N 16 S	9 32 1	0·5565	+0·4954	+0·2294	9·7796	67 36
	Juli									
9	η Leonis 3½	10 1 23·3	+17 17 43	58 N 20 S	2 26 16	0·5196	+0·2667	−0·1849	9·7416	109 35
10	ι Leonis 4	11 18 14·7	+11 7 48	39 S 79 S	18 57 55	0·4984	−1·2987	−0·2242	9·7376	114 13
16	β^1 Scorpii 2	15 59 7·6	−19 30 32	16 S 90 S	23 31 13	0·5488	−0·8652	−0·1645	9·7581	106 41
17	ω^1 Scorpii 4	16 0 27·7	−20 22 33	28 N 45 S	0 7 21	0·5494	−0·0475	−0·1634	9·7575	106 36
18	θ Ophiuchi 3½	17 15 21·0	−24 53 31	50 N 16 S	8 9 27	0·5784	+0·4687	−0·0952	9·7680	99 20
19	λ Sagittarii 3	18 21 17·0	−25 28 56	10 S 76 S	10 12 0	0·5958	−0·4956	−0·0237	9·7754	92 16
19	φ Sagittarii 3½	18 38 53·2	−27 6 10	63 N 25 N	16 56 33	0·5986	+1·0611	−0·0036	9·7771	90 20
19	σ Sagittarii 2½	18 48 32·8	−26 25 55	37 N 20 S	20 37 8	0·5998	+0·3860	+0·0076	9·7780	89 17
23	τ^2 Aquarii 4	22 43 51·2	−14 9 53	73 N 8 S	16 55 38	0·5651	+0·6326	+0·2342	9·7865	67 29
	August									
1	ε Geminor. 3½	6 37 13·4	+25 14 22	90 N 35 N	12 15 13	0·5665	+0·9120	+0·0043	9·7532	89 34
13	β^1 Scorpii 2	15 59 7·3	−19 30 31	34 S 90 S	8 22 4	0·5419	−1·1131	−0·1615	9·7524	106 36
13	ω^1 Scorpii 4	16 0 27·4	−20 22 33	16 N 59 S	8 58 59	0·5425	−0·2866	−0·1605	9·7526	106 29
14	θ Ophiuchi 3½	17 15 20·8	−24 53 32	39 N 26 S	17 41 30	0·5712	+0·2818	−0·0927	9·7624	99 13
15	λ Sagittarii 3	18 21 16·9	−25 28 57	18 S 90 S	20 11 17	0·5899	−0·6419	−0·0216	9·7711	92 6
16	φ Sagittarii 3½	18 38 53·2	−27 6 11	63 N 15 N	3 1 20	0·5933	+0·9368	−0·0016	9·7733	90 9
16	σ Sagittarii 2½	18 48 32·8	−26 25 56	30 N 27 S	6 44 35	0·5948	+0·2657	+0·0095	9·7745	89 5
20	τ^2 Aquarii 4	22 43 51·7	−14 9 51	76 N 3 S	2 32 54	0·5716	+0·7258	+0·2395	9·7922	67 16
28	ε Geminor. 3½	6 37 14·2	+25 14 22	90 N 48 N	17 46 29	0·5636	+1·0995	+0·0026	9·7510	89 44
29	ϰ Geminor. 3½	7 37 52·4	+24 39 35	90 N 32 N	20 3 8	0·5554	+0·9450	−0·0623	9·7473	96 24

Elemente der Sternbedeckungen.

Datum	Name und Grösse des Sternes	Scheinbarer Ort des Sternes: Rectascension	Scheinbarer Ort des Sternes: Declination + Nord − Sud	Breitengrenzen der Sichtbarkeit	Mittl. Gr. Zeit der Conjunction in Rectasc. T_0	p' stets +	q_0	q'	log n	N
	September	h m s	° ' "		h m s					° '
5	γ¹ Virginis 2½	12 36 8·2	− 0 51 4	89 N 42 N	4 13 13	0·4907	+1·3386	−0·2430	9·7384	116 21
8	α Librae 2½	14 44 51·4	−15 35 24	74 N 27 N	2 59 58	0·5107	+1·1773	−0·2095	9·7420	112 18
9	ω¹ Scorpii 4	16 0 27·0	−20 22 32	0 82 S	16 23 10	0·5366	−0·5824	−0·1589	9·7480	106 30
11	θ Ophiuchi 3½	17 15 20·4	−24 53 32	24 N 42 S	1 52 34	0·5626	+0·0147	−0·0906	9·7558	99 9
12	λ Sagittarii 3	18 21 16·5	−25 28 58	32 S 90 S	5 7 8	0·5801	−0·8900	−0·0201	9·7638	91 59
12	φ Sagittarii 3½	18 38 52·8	−27 6 12	62 N 1 S	12 9 4	0·5834	+0·7201	−0·0003	9·7660	90 2
12	σ Sagittarii 2½	18 48 32·4	−26 25 57	17 N 40 S	15 58 45	0·5849	+0·0454	+0·0107	9·7672	88 57
16	τ² Aquarii 4	22 43 51·9	−14 9 51	76 N 5 S	13 26 9	0·5707	+0·7074	+0·2419	9·7923	67 2
26	κ Geminor. 3½	7 37 53·2	+24 39 33	90 N 49 N	1 47 3	0·5553	+1·1702	−0·0634	9·7473	96 31
28	η Leonis 3½	10 1 24·0	+17 17 37	59 N 19 S	21 34 50	0·5152	+0·2799	−0·1896	9·7396	110 12
	October									
5	α Librae 2½	14 44 51·2	−15 35 24	74 N 13 N	8 52 46	0·5118	+0·9946	−0·2113	9·7433	112 26
6	ω¹ Scorpii 4	16 0 26·6	−20 22 31	13 S 90 S	22 22 15	0·5355	−0·8072	−0·1596	9·7473	106 36
8	θ Ophiuchi 3½	17 15 19·9	−24 53 31	11 N 56 S	8 15 5	0·5581	−0·2187	−0·0904	9·7523	99 12
9	λ Sagittarii 3	18 21 16·0	−25 28 59	50 S 90 S	12 4 16	0·5724	−1·1327	−0·0197	9·7580	91 58
9	φ Sagittarii 3½	18 38 52·3	−27 6 13	44 N 14 S	19 17 20	0·5750	+0·5023	−0·0001	9·7597	90 0
9	σ Sagittarii 2½	18 48 32·0	−26 25 58	5 N 53 S	23 13 26	0·5761	−0·1804	+0·0109	9·7606	88 55
13	τ² Aquarii 4	22 43 51·8	−14 9 52	72 N 11 S	23 44 55	0·5618	+0·6018	+0·2402	9·7861	66 51
26	η Leonis 3½	10 1 24·7	+17 17 33	70 N 12 S	3 51 23	0·5144	+0·4444	−0·1902	9·7391	110 18
29	γ¹ Virginis 2½	12 36 8·6	− 0 51 7	89 N 41 N	16 34 23	0·4899	+1·3395	−0·2464	9·7391	116 42
	November									
2	Venus —	15 17 44·2	−18 2 2	47 N 30 S	7 31 49	0·4710	+0·2321	−0·1775	9·7018	110 39
3	ω¹ Scorpii 4	16 0 26·4	−20 22 31	18 S 90 S	3 4 52	0·5374	−0·8856	−0·1632	9·7494	106 54
4	θ Ophiuchi 3½	17 15 19·6	−24 53 31	6 N 63 S	13 46 10	0·5600	−0·3213	−0·0912	9·7539	99 15
5	λ Sagittarii 3	18 21 15·7	−25 28 58	62 S 90 S	17 36 18	0·5719	−1·2518	−0·0201	9·7576	92 1
6	φ Sagittarii 3½	18 38 51·9	−27 6 13	37 N 20 S	0 52 1	0·5736	+0·3900	−0·0003	9·7586	90 2
6	σ Sagittarii 2½	18 48 31·5	−26 25 58	0 61 S	4 50 1	0·5743	−0·2980	+0·0105	9·7592	88 57
6	τ Sagittarii 3½	19 0 9·3	−27 49 50	62 N 51 N	9 35 49	0·5749	+1·2552	+0·0236	9·7600	87 39
10	τ² Aquarii 4	22 43 51·5	−14 9 55	67 N 15 S	7 51 11	0·5508	+0·5159	+0·2360	9·7776	66 48
22	η Leonis 3½	10 1 25·6	+17 17 28	74 N 9 S	11 24 5	0·5171	+0·5014	−0·1916	9·7415	110 20
24	ι Leonis 4	11 18 16·1	+11 7 35	49 S 79 S	4 0 51	0·4949	−1·3737	−0·2304	9·7371	114 58
25	γ¹ Virginis 2½	12 36 9·2	− 0 51 12	89 N 45 N	23 48 44	0·4881	+1·3710	−0·2459	9·7376	116 44
28	α Librae 2½	14 44 51·6	−15 35 25	74 N 11 N	22 7 45	0·5152	+0·9602	−0·2141	9·7466	112 34
	December									
2	Merkur —	17 57 8·5	−25 50 29	8 S 79 S	13 39 36	0·5150	−0·5252	−0·0472	9·7137	95 14
3	φ Sagittarii 3½	18 38 51·8	−27 6 12	37 N 20 S	6 42 0	0·5792	+0·4009	−0·0002	9·7628	90 1
3	σ Sagittarii 2½	18 48 31·4	−26 25 58	0 60 S	10 36 37	0·5797	−0·2829	+0·0108	9·7633	88 56
3	τ Sagittarii 3½	19 0 9·1	−27 49 49	62 N 54 N	15 18 34	0·5801	+1·2644	+0·0240	9·7639	87 38
7	τ² Aquarii 4	22 43 51·2	−14 9 57	70 N 13 S	13 43 25	0·5453	+0·5552	+0·2339	9·7733	66 47
19	η Leonis 3½	10 1 26·5	+17 17 23	67 N 14 S	20 9 26	0·5219	+0·3969	+0·1940	9·7457	110 23
23	γ¹ Virginis 2½	12 36 10·1	− 0 51 18	89 N 30 N	7 56 47	0·4870	+1·2471	−0·2451	9·7365	116 43
26	Mars —	14 37 49·8	−14 29 41	63 N 19 S	2 55 37	0·4838	+0·4607	−0·2072	9·7213	113 11
26	α Librae 2½	14 44 52·3	−15 35 29	74 N 5 N	6 33 52	0·5130	+0·8776	−0·2125	9·7445	112 30
27	ω¹ Scorpii 4	16 0 27·2	−20 22 33	20 S 90 S	19 26 6	0·5420	−0·9132	−0·1614	9·7525	106 35

Elemente der Sternbedeckungen.

Datum	Name des Sternes	log p'	log q'
	Januar		
6	β^1 Scorpii	9·7494	9_n2250
6	ω^1 Scorpii	9·7498	9_n2224
6	ν^2 Scorpii	9·7515	9_n2117
13	τ^2 Aquarii	9·7546	9·3519
22	ε Geminor.	9·7466	7·9711
23	$\varkappa$ Geminor.	9·7422	8_n7259
26	η Leonis	9·7153	9_n2482
28	ι Leonis	9·7005	9_n3378
	Februar		
3	β^1 Scorpii	9·7422	9_n2154
3	ω^1 Scorpii	9·7427	9_n2127
3	ν^2 Scorpii	9·7444	9_n2019
4	θ Ophiuchi	9·7653	8_n9872
5	λ Sagittarii	9·7791	8_n4327
5	σ Sagittarii	9·7826	7·5645
18	ε Geminor.	9·7442	7·8833
19	$\varkappa$ Geminor.	9·7395	8_n7394
20	η Leonis	9·7147	9_n2535
	März		
2	β^1 Scorpii	9·7364	9_n2094
2	ω^1 Scorpii	9·7367	9_n2066
2	ν^2 Scorpii	9·7384	9_n1954
3	θ Ophiuchi	9·7576	8_n9757
4	λ Sagittarii	9·7708	8_n3991
5	σ Sagittarii	9·7745	7·7296
17	ε Geminor.	9·7455	7·8220
18	$\varkappa$ Geminor.	9·7389	8_n7495
21	η Leonis	9·7128	9_n2571
23	ι Leonis	9·7005	9_n3474
29	β^1 Scorpii	9·7355	9_n2108
29	ω^1 Scorpii	9·7359	9_n2082
31	θ Ophiuchi	9·7539	8_n9729
	April		
1	λ Sagittarii	9·7648	8_n3872
1	σ Sagittarii	9·7677	7·7629
5	τ^2 Aquarii	9·7539	9·3657
14	ε Geminor.	9·7504	7·8269
15	$\varkappa$ Geminor.	9·7419	8_n7562
18	η Leonis	9·7115	9_n2594
19	ι Leonis	9·6989	9_n3492
25	β^1 Scorpii	9·7386	9_n2176
25	ω^1 Scorpii	9·7390	9_n2146
27	θ Ophiuchi	9·7558	8_n9787
28	λ Sagittarii	9·7649	8_n3962
28	φ Sagittarii	9·7662	7_n7213
28	σ Sagittarii	9·7667	7·7356

Datum	Name des Sternes	log p'	log q'
	Mai		
2	τ^2 Aquarii	9·7460	9·3600
9	Mars	9·7362	9·0808
11	ε Geminor.	9·7556	7·8528
12	$\varkappa$ Geminor.	9·7465	8_n7608
15	η Leonis	9·7121	9_n2608
17	ι Leonis	9·6974	9_n3491
23	β^1 Scorpii	9·7421	9_n2225
23	ω^1 Scorpii	9·7425	9_n2198
24	θ Ophiuchi	9·7605	8_n9856
25	λ Sagittarii	9·7695	8_n4067
25	φ Sagittarii	9·7706	7_n7528
26	σ Sagittarii	9·7710	7·7261
30	τ^2 Aquarii	9·7425	9·3569
	Juni		
3	Venus	9·7030	9·3123
8	$\varkappa$ Geminor.	9·7498	8_n7641
11	η Leonis	9·7140	9_n2632
13	ι Leonis	9·6971	9_n3490
19	β^1 Scorpii	9·7427	9_n2221
19	ω^1 Scorpii	9·7431	9_n2193
22	θ Ophiuchi	9·7634	8·9863
22	λ Sagittarii	9.7740	8_n4024
22	φ Sagittarii	9·7756	7_n7164
22	σ Sagittarii	9·7761	7·7713
26	τ^2 Aquarii	9·7455	9·3606
	Juli		
9	η Leonis	9·7159	9_n2669
10	ι Leonis	9·6976	9_n3506
16	β^1 Scorpii	9·7394	9_n2161
17	ω^1 Scorpii	9·7390	9_n2133
18	θ Ophiuchi	9·7622	8_n9780
19	λ Sagittarii	9·7751	8_n3726
19	φ Sagittarii	9·7771	7_n5419
19	σ Sagittarii	9·7780	7·8752
23	τ^2 Aquarii	9·7521	9·3696
	August		
1	ε Geminor.	9·7532	7·6319
13	β^1 Scorpii	9·7339	9_n2083
13	ω^1 Scorpii	9·7344	9_n2055
14	θ Ophiuchi	9·7568	8_n9670
15	λ Sagittarii	9·7708	8_n3351
16	φ Sagittarii	9·7733	7_n1913
16	σ Sagittarii	9·7744	7·9786
20	τ^2 Aquarii	9·7571	9·3793
28	ε Geminor.	9·7510	7·4188
29	$\varkappa$ Geminor.	9·7446	8_n7945

Datum	Name des Sternes	log p'	log q'
	September		
5	γ^1 Virginis	9·6908	9_n3856
8	α Librae	9·7082	9_n3212
9	ω^1 Scorpii	9·7297	9_n2011
11	θ Ophiuchi	9·7502	8_n9573
12	γ Sagittarii	9·7635	8_n3030
12	φ Sagittarii	9·7660	6_n5308
12	σ Sagittarii	9·7671	8·0302
16	τ^2 Aquarii	9·7564	9·3836
26	$\varkappa$ Geminor.	9·7445	8_n8023
28	η Leonis	9·7120	9_n2778
	October		
5	α Librae	9·7091	9_n3249
6	ω^1 Scorpii	9·7288	9_n2030
8	θ Ophiuchi	9·7467	8_n9561
9	λ Sagittarii	9·7577	8_n2935
9	φ Sagittarii	9·7597	5_n7202
9	σ Sagittarii	9·7605	8·0372
13	τ^2 Aquarii	9·7496	9·3806
26	η Leonis	9·7113	9_n2793
29	γ^1 Virginis	9·6901	9_n3917
	November		
2	Venus	9·6730	9_n2492
3	ω^1 Scorpii	9·7303	9_n2127
4	θ Ophiuchi	9·7482	8_n9600
5	λ Sagittarii	9·7573	8_n3040
6	φ Sagittarii	9·7586	6_n5244
6	σ Sagittarii	9·7591	8·0222
6	τ Sagittarii	9·7596	8·3728
10	τ^2 Aquarii	9·7410	9·3730
22	η Leonis	9·7136	9_n2824
24	ι Leonis	9·6945	9_n3625
25	γ^1 Virginis	9·6885	9_n3907
28	α Librae	9.7120	9_n3307
	December		
2	Merkur	9·7118	8_n6737
3	φ Sagittarii	9·7628	6_n2435
3	σ Sagittarii	9·7632	8·0332
3	τ Sagittarii	9·7635	8·3798
7	τ^2 Aquarii	9·7366	9·3690
19	η Leonis	9·7176	9·2877
23	γ^1 Virginis	9·6875	9_n3893
26	Mars	9·6847	9_n3164
26	α Librae	9·7101	9_n3273
27	ω^1 Scorpii	9·7340	9_n2080

TAFEL I.

Correction der aus einer Monddistanz gefundenen Greenwicher Zeit wegen der Differenzen der Proportional-Logarithmen.

Argumente: **Genähertes Zeitintervall und Differenz der Proportional-Logarithmen.**

Genähertes Zeitintervall.		Differenz der Proportional-Logarithmen.																									
		2	4	6	8	10	12	14	16	18	20	22	24	26	28	30	32	34	36	38	40	42	44	46	48	50	52
h m	h m	s	s	s	s	s	s	s	s	s	s	s	s	s	s	s	s	s	s	s	s	s	s	s	s	s	s
0 0	3 0	0	0	0	0	0	0	0	0	0	0	0	0	0	0	0	0	0	0	0	0	0	0	0	0	0	0
0 10	2 50	0	0	0	1	1	1	1	1	1	1	1	2	2	2	2	2	2	2	2	3	3	3	3	3	3	3
0 20	2 40	0	1	1	1	1	2	2	2	2	2	3	3	3	3	4	4	4	4	5	5	5	5	6	6	6	6
0 30	2 30	0	1	1	2	2	2	2	3	3	3	4	4	5	5	5	6	6	6	7	7	7	8	8	8	9	9
0 40	2 20	0	1	1	2	2	3	3	3	4	4	5	5	6	6	6	7	7	8	8	9	9	10	10	10	11	11
0 50	2 10	1	1	2	2	3	3	4	4	5	5	5	6	6	7	7	8	8	9	9	10	10	11	12	12	13	13
1 0	2 0	1	1	2	2	3	3	4	4	5	6	6	7	7	8	8	9	9	10	10	11	12	12	13	13	14	14
1 10	1 50	1	1	2	2	3	4	4	5	5	6	6	7	8	8	9	9	10	11	11	12	12	13	14	14	15	15
1 20	1 40	1	1	2	3	3	4	4	5	6	6	7	7	8	9	9	10	10	11	12	12	13	14	14	15	15	16
1 30	1 30	1	1	2	3	3	4	4	5	6	6	7	8	8	9	9	10	11	11	12	12	13	14	14	15	16	16

Genähertes Zeitintervall.		Differenz der Proportional-Logarithmen.																								
		54	56	58	60	62	64	66	68	70	72	74	76	78	80	82	84	86	88	90	92	94	96	98	100	102
h m	h m	s	s	s	s	s	s	s	s	s	s	s	s	s	s	s	s	s	s	s	s	s	s	s	s	s
0 0	3 0	0	0	0	0	0	0	0	0	0	0	0	0	0	0	0	0	0	0	0	0	0	0	0	0	0
0 10	2 50	4	4	4	4	4	4	4	4	5	5	5	5	5	5	5	6	6	6	6	6	6	6	6	7	7
0 20	2 40	7	7	7	7	8	8	8	8	9	9	9	9	10	10	10	10	11	11	11	11	12	12	12	12	13
0 30	2 30	9	10	10	10	11	11	12	12	12	13	13	13	14	14	14	14	15	15	16	16	16	17	17	17	18
0 40	2 20	12	12	13	13	13	14	14	15	15	16	16	16	17	17	18	18	19	19	19	20	20	21	21	22	22
0 50	2 10	14	14	15	15	16	16	16	17	17	18	19	19	20	20	21	21	22	22	22	23	23	24	24	25	26
1 0	2 0	15	16	16	17	17	18	18	19	19	20	21	21	22	22	23	23	24	24	25	25	26	27	27	28	28
1 10	1 50	16	17	17	18	18	19	19	20	21	21	22	22	23	24	24	25	25	26	27	27	28	28	29	30	30
1 20	1 40	17	17	18	19	19	20	20	21	21	22	23	23	24	25	25	26	26	27	28	28	29	29	30	31	31
1 30	1 30	17	18	18	19	19	20	21	21	22	23	23	24	24	25	25	26	27	27	28	29	29	30	31	31	32

Genähertes Zeitintervall.		Differenz der Proportional-Logarithmen.																	
		104	106	108	110	112	114	116	118	120	122	124	126	128	130	132	134	136	138
h m	h m	s	s	s	s	s	s	s	s	s	s	s	s	s	s	s	s	s	s
0 0	3 0	0	0	0	0	0	0	0	0	0	0	0	0	0	0	0	0	0	0
0 10	2 50	7	7	7	7	7	7	8	8	8	8	8	8	8	8	9	9	9	9
0 20	2 40	13	13	13	14	14	14	14	15	15	15	15	15	16	16	16	16	17	17
0 30	2 30	18	18	19	19	19	20	20	20	21	21	21	22	22	22	23	23	24	24
0 40	2 20	22	23	23	24	24	25	25	25	26	26	27	27	28	28	28	29	29	30
0 50	2 10	26	26	27	27	28	29	29	29	30	30	31	31	32	32	33	33	34	34
1 0	2 0	29	29	30	30	31	31	32	33	33	34	34	35	35	36	37	37	38	38
1 10	1 50	31	31	32	32	33	34	34	35	35	36	37	37	38	38	39	40	40	41
1 20	1 40	32	33	33	34	34	35	35	36	37	38	38	39	39	40	41	41	42	42
1 30	1 30	32	33	34	34	35	35	36	36	37	38	39	39	40	40	41	42	42	43

Diese Correction wird zur genäherten Greenwicher Zeit *addirt*, wenn die Proportional-Logarithmen *abnehmen;* sie wird *subtrahirt*, wenn die Proportional-Logarithmen *zunehmen*.

TAFEL II.
Bestimmung der Breite nach der Höhe des Polarsternes.

A. Erste Correction.
Argument: Sternzeit der Beobachtung.

Sternzeit	Correction	Diff. für 1m	Sternzeit	Correction	Diff. für 1m	Sternzeit	Correction	Diff. für 1m	Sternzeit	Correction	Diff. für 1m
h m	° ′ ″	″	h m	° ′ ″	″	h m	° ′ ″	″	h m	° ′ ″	″
0 0	— 1 12 32	6·3	6 0	— 0 26 41	18·9	12 0	+ 1 10 32	6·3	18 0	+ 0 24 41	18·9
10	— 1 13 35	5·5	10	— 0 23 32	19·1	10	+ 1 11 35	5·5	10	+ 0 21 32	19·1
20	— 1 14 30	4·6	20	— 0 20 21	19·4	20	+ 1 12 30	4·6	20	+ 0 18 21	19·4
30	— 1 15 16	3·8	30	— 0 17 7	19·5	30	+ 1 13 16	3·8	30	+ 0 15 7	19·5
40	— 1 15 54	2·9	40	— 0 13 52	19·7	40	+ 1 13 54	2·9	40	+ 0 11 52	19·7
50	— 1 16 23	2·1	50	— 0 10 35	19·7	50	+ 1 14 23	2·1	50	+ 0 8 35	19·7
1 0	— 1 16 44	1·3	7 0	— 0 7 18	19·9	13 0	+ 1 14 44	1·3	19 0	+ 0 5 18	19·9
10	— 1 16 57	0·3	10	— 0 3 59	19·9	10	+ 1 14 57	0·3	10	+ 0 1 59	19·9
20	— 1 17 0	0·5	20	— 0 0 40	19·9	20	+ 1 15 0	0·5	20	— 0 1 20	19·9
30	— 1 16 55	1·4	30	+ 0 2 39	19·8	30	+ 1 14 55	1·4	30	— 0 4 39	19·8
40	— 1 16 41	2·3	40	+ 0 5 57	19·8	40	+ 1 14 41	2·3	40	— 0 7 57	19·8
50	— 1 16 18	3·1	50	+ 0 9 15	19·6	50	+ 1 14 18	3·1	50	— 0 11 15	19·6
2 0	— 1 15 47	3·9	8 0	+ 0 12 31	19·5	14 0	+ 1 13 47	3·9	20 0	— 0 14 31	19·5
10	— 1 15 8	4·9	10	+ 0 15 46	19·3	10	+ 1 13 8	4·9	10	— 0 17 46	19·3
20	— 1 14 19	5·6	20	+ 0 18 59	19·1	20	+ 1 12 19	5·6	20	— 0 20 59	19·1
30	— 1 13 23	6·5	30	+ 0 22 10	18·8	30	+ 1 11 23	6·5	30	— 0 24 10	18·8
40	— 1 12 18	7·3	40	+ 0 25 18	18·5	40	+ 1 10 18	7·3	40	— 0 27 18	18·5
50	— 1 11 5	8·1	50	+ 0 28 23	18·2	50	+ 1 9 5	8·1	50	— 0 30 23	18·2
3 0	— 1 9 44	8·8	9 0	+ 0 31 25	17·8	15 0	+ 1 7 44	8·8	21 0	— 0 33 25	17·8
10	— 1 8 16	9·7	10	+ 0 34 23	17·4	10	+ 1 6 16	9·7	10	— 0 36 23	17·4
20	— 1 6 39	10·4	20	+ 0 37 17	17·0	20	+ 1 4 39	10·4	20	— 0 39 17	17·0
30	— 1 4 55	11·1	30	+ 0 40 7	16·5	30	+ 1 2 55	11·1	30	— 0 42 7	16·5
40	— 1 3 4	11·9	40	+ 0 42 52	16·0	40	+ 1 1 4	11·9	40	— 0 44 52	16·0
50	— 1 1 5	12·5	50	+ 0 45 32	15·4	50	+ 0 59 5	12·5	50	— 0 47 32	15·4
4 0	— 0 59 0	13·2	10 0	+ 0 48 6	14·9	16 0	+ 0 57 0	13·2	22 0	— 0 50 6	14·9
10	— 0 56 48	13·8	10	+ 0 50 35	14·3	10	+ 0 54 48	13·8	10	— 0 52 35	14·3
20	— 0 54 30	14·4	20	+ 0 52 58	13·7	20	+ 0 52 30	14·4	20	— 0 54 58	13·7
30	— 0 52 6	15·0	30	+ 0 55 15	13·1	30	+ 0 50 6	15·0	30	— 0 57 15	13·1
40	— 0 49 36	15·6	40	+ 0 57 26	12·4	40	+ 0 47 36	15·6	40	— 0 59 26	12·4
50	— 0 47 0	16·1	50	+ 0 59 30	11·7	50	+ 0 45 0	16·1	50	— 1 1 30	11·7
5 0	— 0 44 19	16·6	11 0	+ 1 1 27	10·9	17 0	+ 0 42 19	16·6	23 0	— 1 3 27	10·9
10	— 0 41 33	17·0	10	+ 1 3 16	10·3	10	+ 0 39 33	17·0	10	— 1 5 16	10·3
20	— 0 38 43	17·5	20	+ 1 4 59	9·5	20	+ 0 36 43	17·5	20	— 1 6 59	9·5
30	— 0 35 48	17·9	30	+ 1 6 34	8·7	30	+ 0 33 48	17·9	30	— 1 8 34	8·7
40	— 0 32 49	18·2	40	+ 1 8 1	7·9	40	+ 0 30 49	18·2	40	— 1 10 1	7·9
50	— 0 29 47	18·6	50	+ 1 9 20	7·2	50	+ 0 27 47	18·6	50	— 1 11 20	7·2
6 0	— 0 26 41		12 0	+ 1 10 32		18 0	+ 0 24 41		24 0	— 1 12 32	

TAFEL II.

B. Zweite Correction, stets positiv.

Argumente: Sternzeit und Höhe des Polarsternes.

Sternzeit	Höhe des Polarsternes.								Sternzeit
	0°	5°	10°	15°	20°	25°	30°	35°	
h m	′ ″	′ ″	′ ″	′ ″	′ ″	′ ″	′ ″	′ ″	h m
0 0	0 0	0 1	0 1	0 2	0 2	0 3	0 3	0 4	12 0
30	0 0	0 0	0 0	0 1	0 1	0 1	0 1	0 2	30
1 0	0 0	0 0	0 0	0 0	0 0	0 0	0 0	0 0	13 0
30	0 0	0 0	0 0	0 0	0 0	0 0	0 0	0 0	30
2 0	0 0	0 0	0 0	0 0	0 1	0 1	0 1	0 1	14 0
30	0 0	0 0	0 1	0 1	0 2	0 2	0 3	0 3	30
3 0	0 0	0 1	0 2	0 2	0 3	0 4	0 5	0 6	15 0
30	0 0	0 1	0 3	0 4	0 5	0 7	0 9	0 10	30
4 0	0 0	0 2	0 4	0 6	0 8	0 10	0 12	0 15	16 0
30	0 0	0 2	0 5	0 7	0 10	0 13	0 16	0 19	30
5 0	0 0	0 3	0 6	0 9	0 12	0 16	0 20	0 24	17 0
30	0 0	0 3	0 7	0 11	0 14	0 19	0 23	0 28	30
6 0	0 0	0 4	0 8	0 12	0 16	0 21	0 26	0 31	18 0
30	0 0	0 4	0 8	0 13	0 17	0 22	0 28	0 34	30
7 0	0 0	0 4	0 9	0 13	0 18	0 23	0 29	0 35	19 0
30	0 0	0 4	0 9	0 14	0 18	0 23	0 29	0 35	30
8 0	0 0	0 4	0 9	0 13	0 18	0 23	0 28	0 34	20 0
30	0 0	0 4	0 8	0 12	0 17	0 21	0 26	0 32	30
9 0	0 0	0 4	0 7	0 11	0 15	0 19	0 24	0 29	21 0
30	0 0	0 3	0 6	0 10	0 13	0 17	0 21	0 25	30
10 0	0 0	0 3	0 5	0 8	0 11	0 14	0 17	0 21	22 0
30	0 0	0 2	0 4	0 6	0 8	0 11	0 13	0 16	30
11 0	0 0	0 1	0 3	0 4	0 6	0 7	0 10	0 11	23 0
30	0 0	0 1	0 2	0 3	0 4	0 5	0 6	0 7	30
12 0	0 0	0 1	0 1	0 2	0 2	0 3	0 3	0 4	24 0

TAFEL II.

C. Dritte Correction, stets positiv.

Argumente: Sternzeit und Datum (1891).

Sternzeit	Januar 1	Februar 1	März 1	April 1	Mai 1	Juni 1	Juli 1
h	′ ″	′ ″	′ ″	′ ″	′ ″	′ ″	′ ″
0	0 51	0 48	0 42	0 32	0 24	0 20	0 22
2	0 53	0 55	0 52	0 44	0 35	0 27	0 24
4	0 56	1 3	1 4	1 1	0 52	0 43	0 36
6	1 1	1 10	1 16	1 17	1 12	1 4	0 55
8	1 5	1 15	1 23	1 28	1 28	1 23	1 14
10	1 8	1 15	1 24	1 32	1 37	1 36	1 30
12	1 9	1 12	1 18	1 28	1 36	1 40	1 38
14	1 7	1 5	1 8	1 16	1 25	1 33	1 36
16	1 4	0 57	0 56	0 59	1 8	1 17	1 24
18	0 59	0 50	0 44	0 43	0 48	0 56	1 5
20	0 55	0 45	0 37	0 32	0 32	0 37	0 46
22	0 52	0 45	0 36	0 28	0 23	0 24	0 30
24	0 51	0 48	0 42	0 32	0 24	0 20	0 22

TAFEL II.

B. Zweite Correction, stets positiv.

Argumente: Sternzeit und Höhe des Polarsternes.

Sternzeit	Höhe des Polarsternes.								Sternzeit
	35°	40°	45°	50°	55°	60°	65°	70°	
h m	′ ″	′ ″	′ ″	′ ″	′ ″	′ ″	′ ″	′ ″	h m
0 0	0 4	0 5	0 6	0 7	0 8	0 10	0 12	0 16	12 0
30	0 2	0 2	0 2	0 3	0 3	0 4	0 5	0 6	30
1 0	0 0	0 0	0 0	0 0	0 0	0 1	0 1	0 1	13 0
30	0 0	0 0	0 0	0 0	0 0	0 0	0 0	0 0	30
2 0	0 1	0 1	0 2	0 2	0 2	0 3	0 3	0 4	14 0
30	0 3	0 4	0 5	0 6	0 7	0 8	0 10	0 13	30
3 0	0 6	0 8	0 9	0 11	0 13	0 16	0 20	0 25	15 0
30	0 10	0 12	0 15	0 18	0 21	0 26	0 32	0 41	30
4 0	0 15	0 18	0 21	0 25	0 30	0 36	0 45	0 58	16 0
30	0 19	0 23	0 28	0 33	0 39	0 48	0 59	1 16	30
5 0	0 24	0 29	0 34	0 40	0 49	0 58	1 12	1 33	17 0
30	0 28	0 33	0 40	0 47	0 57	1 9	1 25	1 49	30
6 0	0 31	0 38	0 45	0 53	1 4	1 17	1 36	2 3	18 0
30	0 34	0 40	0 48	0 57	1 9	1 23	1 43	2 12	30
7 0	0 35	0 42	0 50	1 0	1 12	1 27	1 47	2 18	19 0
30	0 35	0 42	0 50	1 0	1 12	1 27	1 48	2 18	30
8 0	0 34	0 41	0 49	0 58	1 10	1 24	1 44	2 14	20 0
30	0 32	0 38	0 46	0 54	1 7	1 19	1 38	2 6	30
9 0	0 29	0 35	0 41	0 49	0 59	1 11	1 28	1 53	21 0
30	0 25	0 30	0 36	0 42	0 51	1 2	1 16	1 38	30
10 0	0 21	0 25	0 29	0 35	0 42	0 51	1 3	1 21	22 0
30	0 16	0 19	0 23	0 27	0 32	0 39	0 48	1 2	30
11 0	0 11	0 13	0 16	0 19	0 23	0 28	0 34	0 44	23 0
30	0 7	0 9	0 11	0 13	0 15	0 18	0 23	0 29	30
12 0	0 4	0 5	0 6	0 7	0 8	0 10	0 12	0 16	24 0

TAFEL II.

C. Dritte Correction, stets positiv.

Argumente: Sternzeit und Datum (1891).

Sternzeit	Juli 1	August 1	September 1	October 1	November 1	December 1	December 31
h	′ ″	′ ″	′ ″	′ ″	′ ″	′ ″	′ ″
0	0 22	0 29	0 39	0 50	1 2	1 10	1 13
2	0 24	0 26	0 32	0 42	0 54	1 4	1 12
4	0 36	0 33	0 33	0 39	0 47	0 58	1 8
6	0 55	0 46	0 42	0 41	0 45	0 52	1 2
8	1 14	1 4	0 55	0 48	0 46	0 48	0 55
10	1 30	1 20	1 9	0 59	0 51	0 48	0 50
12	1 38	1 31	1 21	1 10	0 58	0 50	0 47
14	1 36	1 34	1 28	1 18	1 6	0 56	0 48
16	1 24	1 27	1 27	1 21	1 13	1 2	0 52
18	1 5	1 14	1 18	1 19	1 15	1 8	0 58
20	0 46	0 56	1 5	1 12	1 14	1 12	1 5
22	0 30	0 40	0 51	1 1	1 9	1 12	1 10
24	0 22	0 29	0 39	0 50	1 2	1 10	1 13

TAFEL III.

Verwandlung der mittleren Zeit in Sternzeit.

Stunden.		Minuten.				Secunden.			
Mittlere Zeit	Sternzeit	Mittlere Zeit	Sternzeit	Mittlere Zeit	Sternzeit	Mittlere Zeit	Sternzeit	Mittlere Zeit	Sternzeit
h	h m s	m	m s	m	m s	s	s	s	s
1	1 0 9·86	1	1 0·16	31	31 5·09	1	1·00	31	31·08
2	2 0 19·71	2	2 0·33	32	32 5·26	2	2·01	32	32·09
3	3 0 29·57	3	3 0·49	33	33 5·42	3	3·01	33	33·09
4	4 0 39·43	4	4 0·66	34	34 5·59	4	4·01	34	34·09
5	5 0 49·28	5	5 0·82	35	35 5·75	5	5·01	35	35·10
6	6 0 59·14	6	6 0·99	36	36 5·91	6	6·02	36	36·10
7	7 1 9·00	7	7 1·15	37	37 6·08	7	7·02	37	37·10
8	8 1 18·85	8	8 1·31	38	38 6·24	8	8·02	38	38·10
9	9 1 28·71	9	9 1·48	39	39 6·41	9	9·02	39	39·11
10	10 1 38·56	10	10 1·64	40	40 6·57	10	10·03	40	40·11
11	11 1 48·42	11	11 1·81	41	41 6·74	11	11·03	41	41·11
12	12 1 58·28	12	12 1·97	42	42 6·90	12	12·03	42	42·12
13	13 2 8·13	13	13 2·14	43	43 7·06	13	13·04	43	43·12
14	14 2 17·99	14	14 2·30	44	44 7·23	14	14·04	44	44·12
15	15 2 27·85	15	15 2·46	45	45 7·39	15	15·04	45	45·12
16	16 2 37·70	16	16 2·63	46	46 7·56	16	16·04	46	46·13
17	17 2 47·56	17	17 2·79	47	47 7·72	17	17·05	47	47·13
18	18 2 57·42	18	18 2·96	48	48 7·89	18	18·05	48	48·13
19	19 3 7·27	19	19 3·12	49	49 8·05	19	19·05	49	49·13
20	20 3 17·13	20	20 3·29	50	50 8·21	20	20·05	50	50·14
21	21 3 26·99	21	21 3·45	51	51 8·38	21	21·06	51	51·14
22	22 3 36·84	22	22 3·61	52	52 8·54	22	22·06	52	52·14
23	23 3 46·70	23	23 3·78	53	53 8·71	23	23·06	53	53·15
24	24 3 56·56	24	24 3·94	54	54 8·87	24	24·07	54	54·15
		25	25 4·11	55	55 9·04	25	25·07	55	55·15
		26	26 4·27	56	56 9·20	26	26·07	56	56·15
		27	27 4·44	57	57 9·36	27	27·07	57	57·16
		28	28 4·60	58	58 9·53	28	28·08	58	58·16
		29	29 4·76	59	59 9·69	29	29·08	59	59·16
		30	30 4·93	60	60 9·86	30	30·08	60	60·16

BEISPIEL. 1891 Januar 21, $2^h\ 22^m\ 25{\cdot}6^s$ mittlere Greenwicher Zeit soll in Sternzeit verwandelt werden.

Nach Seite 3: Sternzeit im mittleren Greenwicher Mittage. . .		20^h	2^m	$15{\cdot}1^s$
Nach vorstehender Tafel	2^h	2	0	19·71
	22^m		22	3·61
	25^s			25·07
	0·6			0·60
Gesuchte Greenwicher Sternzeit Januar 21 . . .		22^h	25^m	$4{\cdot}1^s$

TAFEL IV.
Verwandlung der Sternzeit in mittlere Zeit.

Stunden.		Minuten.				Secunden.			
Sternzeit	Mittlere Zeit	Sternzeit	Mittlere Zeit	Sternzeit	Mittlere Zeit	Sternzeit	Mittlere Zeit	Sternzeit	Mittlere Zeit
h	h m s	m	m s	m	m s	s	s	s	s
1	0 59 50·17	1	0 59·84	31	30 54·92	1	1·00	31	30·92
2	1 59 40·34	2	1 59·67	32	31 54·76	2	1·99	32	31·91
3	2 59 30·51	3	2 59·51	33	32 54·59	3	2·99	33	32·91
4	3 59 20·68	4	3 59·34	34	33 54·43	4	3·99	34	33·91
5	4 59 10·85	5	4 59·18	35	34 54·27	5	4·99	35	34·90
6	5 59 1·02	6	5 59·02	36	35 54·10	6	5·98	36	35·90
7	6 58 51·19	7	6 58·85	37	36 53·94	7	6·98	37	36·90
8	7 58 41·36	8	7 58·69	38	37 53·77	8	7·98	38	37·90
9	8 58 31·53	9	8 58·53	39	38 53·61	9	8·98	39	38·89
10	9 58 21·70	10	9 58·36	40	39 53·45	10	9·97	40	39·89
11	10 58 11·87	11	10 58·20	41	40 53·28	11	10·97	41	40·89
12	11 58 2·05	12	11 58·03	42	41 53·12	12	11·97	42	41·89
13	12 57 52·22	13	12 57·87	43	42 52·96	13	12·96	43	42·88
14	13 57 42·39	14	13 57·71	44	43 52·79	14	13·96	44	43·88
15	14 57 32·56	15	14 57·54	45	44 52·63	15	14·96	45	44·88
16	15 57 22·73	16	15 57·38	46	45 52·46	16	15·96	46	45·87
17	16 57 12·90	17	16 57·22	47	46 52·30	17	16·95	47	46·87
18	17 57 3·07	18	17 57·05	48	47 52·14	18	17·95	48	47·87
19	18 56 53·24	19	18 56·89	49	48 51·97	19	18·95	49	48·87
20	19 56 43·41	20	19 56·72	50	49 51·81	20	19·95	50	49·86
21	20 56 33·58	21	20 56·56	51	50 51·64	21	20·94	51	50·86
22	21 56 23·75	22	21 56·40	52	51 51·48	22	21·94	52	51·86
23	22 56 13·92	23	22 56·23	53	52 51·32	23	22·94	53	52·86
24	23 56 4·09	24	23 56·07	54	53 51·15	24	23·93	54	53·85
		25	24 55·90	55	54 50·99	25	24·93	55	54·85
		26	25 55·74	56	55 50·83	26	25·93	56	55·85
		27	26 55·58	57	56 50·66	27	26·93	57	56·84
		28	27 55·41	58	57 50·50	28	27·92	58	57·84
		29	28 55·25	59	58 50·33	29	28·92	59	58·84
		30	29 55·09	60	59 50·17	30	29·92	60	59·84

BEISPIEL. 1891 Januar 21, $22^h\ 25^m\ 4{\cdot}1^s$ Greenwicher Sternzeit ist in mittlere Zeit zu verwandeln.

Von der gegebenen Sternzeit . . . . $22^h\ 25^m\ 4{\cdot}1^s$
wird subtrahirt die Sternzeit im vorangehenden mittl. Mittage (Seite 3) 20 2 15·1

Rest . . $2^h\ 22^m\ 49{\cdot}0^s$

Nach voranstehender Tafel findet sich 2^h . . . $1^h\ 59^m\ 40{\cdot}34^s$
22^m . . . 21 56·40
$49{\cdot}0^s$ . . . 48·87

Gesuchte mittlere Greenwicher Zeit Januar 21 . . . $2^h\ 22^m\ 25{\cdot}6^s$

TAFEL V.
Kimmtiefe.

Höhe des Auges in Metern.	Kimmtiefe.
m	' "
0·5	1 15
1·0	1 46
1·5	2 10
2·0	2 30
2·5	2 48
3·0	3 4
3·5	3 19
4·0	3 33
4·5	3 46
5·0	3 58
5·5	4 9
6·0	4 21
6·5	4 31
7·0	4 41
7·5	4 51
8·0	5 1
8·5	5 10
9·0	5 19
9·5	5 28
10·0	5 36
10.5	5 45
11·0	5 53
11·5	6 1
12·0	6 8
12·5	6 16
13·0	6 23
13·5	6 31
14·0	6 38
14·5	6 45
15·0	6 52
15·5	6 59
16·0	7 5
16·5	7 12
17·0	7 19
17·5	7 25
18·0	7 31
18·5	7 37
19·0	7 44
19·5	7 50
20·0	7 56

TAFEL VI.
Mittlere Refraction.

Scheinb. Höhe	Refraction	Scheinb. Höhe	Refraction	Scheinb. Höhe	Refraction	Scheinb. Höhe	Refraction	Scheinb. Höhe	Refraction
° '	' "	° '	' "	° '	' "	° '	' "	°	"
2 0	18 9	9 0	5 49	16 0	3 19	30 0	1 40	44	60
10	17 23	10	5 43	20	3 15	20	1 38	45	58
20	16 41	20	5 38	40	3 11	40	1 37	46	56
30	16 1	30	5 32	17 0	3 7	31 0	1 36	47	54
40	15 23	40	5 27	20	3 3	20	1 35	48	52
50	14 48	50	5 21	40	2 59	40	1 33	49	50
3 0	14 15	10 0	5 16	18 0	2 56	32 0	1 32	50	48
10	13 44	10	5 11	20	2 53	20	1 31	51	47
20	13 15	20	5 6	40	2 49	40	1 30	52	45
30	12 48	30	5 2	19 0	2 46	33 0	1 29	53	44
40	12 24	40	4 57	20	2 43	20	1 28	54	42
50	12 1	50	4 53	40	2 40	40	1 27	55	40
4 0	11 39	11 0	4 49	20 0	2 37	34 0	1 25	56	39
10	11 18	10	4 44	20	2 35	20	1 24	57	38
20	10 59	20	4 40	40	2 32	40	1 23	58	36
30	10 40	30	4 36	21 0	2 29	35 0	1 22	59	35
40	10 21	40	4 32	20	2 27	20	1 21	60	33
50	10 3	50	4 29	40	2 24	40	1 20	61	32
5 0	9 47	12 0	4 25	22 0	2 22	36 0	1 19	62	31
10	9 31	10	4 21	20	2 20	20	1 18	63	29
20	9 16	20	4 18	40	2 17	40	1 17	64	28
30	9 2	30	4 15	23 0	2 15	37 0	1 17	65	27
40	8 48	40	4 11	20	2 13	20	1 16	66	26
50	8 36	50	4 8	40	2 11	40	1 15	67	25
6 0	8 23	13 0	4 5	24 0	2 9	38 0	1 14	68	23
10	8 12	10	4 2	20	2 7	20	1 13	69	22
20	8 0	20	3 59	40	2 5	40	1 12	70	21
30	7 50	30	3 56	25 0	2 3	39 0	1 11	71	20
40	7 39	40	3 53	20	2 1	20	1 10	72	19
50	7 29	50	3 50	40	2 0	40	1 10	73	18
7 0	7 20	14 0	3 47	26 0	1 58	40 0	1 9	74	17
10	7 11	10	3 45	20	1 56	20	1 8	75	16
20	7 2	20	3 42	40	1 54	40	1 7	76	15
30	6 53	30	3 40	27 0	1 53	41 0	1 6	77	13
40	6 45	40	3 37	20	1 51	20	1 5	78	12
50	6 37	50	3 35	40	1 50	40	1 5	79	11
8 0	6 30	15 0	3 32	28 0	1 48	42 0	1 4	80	10
10	6 22	10	3 30	20	1 47	20	1 3	81	9
20	6 15	20	3 27	40	1 45	40	1 3	82	8
30	6 8	30	3 25	29 0	1 44	43 0	1 2	83	7
40	6 2	40	3 23	20	1 42	20	1 1	84	6
50	5 55	50	3 21	40	1 41	40	1 0	87	3
9 0	5 49	16 0	3 19	30 0	1 40	44 0	1 0	90	0

TAFEL VII.

Correction der mittleren Refraction für Temperatur.

Celsius Therm.		Mittlere Refraction.																	
		1′	2′	3′	4′	5′	6′	7′	8′	9′	10′	11′	12′	13′	14′	15′	16′	17′	18′
°		″	″	″	″	″	″	″	″	″	″	″	″	″	″	″	″	″	″
— 12	+	5	10	15	21	26	32	37	44	50	56	63	71	78	86	93	102	110	119
— 11	+	5	10	14	19	25	30	35	41	47	54	60	67	74	81	89	96	104	112
— 10	+	5	9	14	18	23	28	34	39	45	51	57	63	70	77	84	91	99	107
— 9	+	4	9	13	17	22	27	32	37	42	48	54	60	66	72	79	86	93	100
— 8	+	4	8	12	16	21	25	30	35	40	45	50	56	62	68	74	81	88	94
— 7	+	4	8	11	15	19	23	28	32	37	42	47	53	58	64	70	76	82	89
— 6	+	4	7	11	14	18	22	26	30	35	39	44	49	54	60	65	71	76	82
— 5	+	3	7	10	13	17	20	24	28	32	37	41	46	50	55	60	66	71	77
— 4	+	3	6	9	12	16	19	22	26	30	34	38	42	47	51	56	61	66	71
— 3	+	3	6	8	11	14	17	21	24	28	31	35	39	43	47	51	56	60	65
— 2	+	3	5	8	10	13	16	19	22	25	28	32	35	39	43	47	51	55	59
— 1	+	2	5	7	9	12	14	17	20	23	26	29	32	35	39	42	46	50	54
0	+	2	4	6	8	11	13	15	18	20	23	26	29	32	35	38	41	45	48
+ 1	+	2	4	6	7	9	11	14	16	18	20	23	25	28	31	34	37	40	43
+ 2	+	2	3	5	6	8	10	12	14	16	18	20	22	25	27	29	32	35	37
+ 3	+	1	3	4	6	7	9	10	12	13	15	17	19	21	23	25	27	30	32
+ 4	+	1	2	3	5	6	7	8	10	11	13	14	16	17	19	21	23	24	26
+ 5	+	1	2	3	4	5	6	7	8	9	10	11	12	14	15	16	18	19	21
+ 6	+	1	1	2	3	3	4	5	6	7	7	8	9	10	11	12	13	15	16
+ 7	+	1	1	1	2	2	3	3	4	4	5	6	6	7	7	8	9	10	11
+ 8	+	0	0	1	1	1	1	2	2	2	2	3	3	3	4	4	4	5	5
+ 9		0	0	0	0	0	0	0	0	0	0	0	0	0	0	0	0	0	0
+ 10	—	0	1	1	1	1	2	2	2	2	3	3	3	4	4	4	5	5	5
+ 11	—	0	1	1	2	2	3	3	4	5	5	6	6	7	8	8	9	10	10
+ 12	—	1	1	2	3	3	4	5	6	7	8	8	9	10	11	12	13	14	15
+ 13	—	1	2	3	4	5	6	7	8	9	10	11	12	14	15	16	18	19	20
+ 14	—	1	2	3	5	6	7	8	10	11	12	14	15	17	19	20	22	23	25
+ 15	—	1	3	4	5	7	8	10	11	13	15	17	18	20	22	24	26	28	30
+ 16	—	2	3	5	6	8	10	11	13	15	17	19	21	23	26	28	30	33	35
+ 17	—	2	4	5	7	9	11	13	15	17	20	22	24	27	29	32	35	37	40
+ 18	—	2	4	6	8	10	12	15	17	19	22	24	27	30	33	36	39	42	45
+ 19	—	2	4	7	9	11	14	16	19	21	24	27	30	33	36	39	43	46	50
+ 20	—	2	5	7	10	12	15	18	20	23	26	30	33	36	40	43	47	51	54
+ 21	—	3	5	8	11	13	16	19	22	25	29	32	36	39	43	47	51	55	59
+ 22	—	3	6	8	11	14	17	21	24	27	31	35	38	42	46	51	55	59	64
+ 23	—	3	6	9	12	15	19	22	26	29	33	37	41	45	50	54	59	63	68
+ 24	—	3	6	10	13	16	20	24	27	31	35	40	44	48	53	58	63	68	73
+ 25	—	3	7	10	14	17	21	25	29	33	38	42	47	51	57	62	67	72	78
+ 26	—	4	7	11	15	18	22	26	31	35	40	45	49	54	60	65	71	76	82
+ 27	—	4	8	12	15	19	24	28	33	37	42	47	52	57	63	69	74	80	87
+ 28	—	4	8	12	16	20	25	29	34	39	44	49	55	60	66	72	78	85	91
+ 29	—	4	8	13	17	21	26	31	36	41	46	52	58	63	70	76	82	89	95
+ 30	—	4	9	13	18	22	27	32	38	43	49	54	60	66	73	79	86	93	100
+ 31	—	5	9	14	19	23	29	34	39	45	51	57	63	69	76	83	90	97	104
+ 32	—	5	10	14	19	24	30	35	41	47	53	59	65	72	79	86	93	101	109
+ 33	—	5	10	15	20	25	31	37	42	48	55	61	68	75	82	90	97	105	113
+ 34	—	5	10	16	21	26	32	38	44	50	57	64	71	78	85	93	101	109	117
+ 35	—	5	11	16	22	27	33	39	46	52	59	66	73	81	88	96	105	113	121

TAFEL VIII.

Correction der mittleren Refraction für Barometerstand.

Barometer-stand. Millimeter.		Mittlere Refraction + Correction für Temperatur.																	
		1′	2′	3′	4′	5′	6′	7′	8′	9′	10′	11′	12′	13′	14′	15′	16′	17′	18′
mm		″	″	″	″	″	″	″	″	″	″	″	″	″	″	″	″	″	″
710	—	3	7	10	13	17	20	23	27	30	34	37	41	44	48	51	55	59	62
712	—	3	6	10	13	16	19	22	26	29	32	36	39	42	46	49	52	56	59
714	—	3	6	9	12	15	18	21	24	27	31	34	37	40	43	46	50	53	56
716	—	3	6	9	12	14	17	20	23	26	29	32	35	38	41	44	47	50	53
718	—	3	6	8	11	14	16	19	22	24	27	30	33	36	39	42	44	47	50
720	—	3	5	8	10	13	15	18	21	23	26	28	31	34	36	39	42	44	47
722	—	2	5	7	10	12	14	17	19	22	24	27	29	32	34	37	39	42	44
724	—	2	5	7	9	11	13	16	18	20	23	25	27	30	32	34	37	39	42
726	—	2	4	6	8	10	12	15	17	19	21	23	25	27	30	32	34	36	39
728	—	2	4	6	8	10	11	14	15	17	19	21	23	25	27	29	31	33	36
730	—	2	4	5	7	9	11	12	14	16	18	20	21	23	25	27	29	30	33
732	—	2	3	5	6	8	10	11	13	14	16	18	19	21	23	24	26	28	30
734	—	1	3	4	6	7	9	10	12	13	14	16	17	19	20	22	23	25	27
736	—	1	3	4	5	6	8	9	10	11	13	14	15	17	18	19	21	22	24
738	—	1	2	3	5	6	7	8	9	10	11	12	13	15	16	17	18	19	21
740	—	1	2	3	4	5	6	7	8	9	10	11	11	12	14	15	16	17	18
742	—	1	2	2	3	4	5	6	6	7	8	9	10	10	11	12	13	14	15
744	—	1	1	2	3	3	4	4	5	6	6	7	8	8	9	10	10	11	12
746	—	1	1	1	2	2	3	3	4	4	5	5	6	6	7	7	8	8	9
748	—	0	1	1	1	2	2	2	3	3	3	3	4	4	4	5	5	5	6
750	—	0	0	0	1	1	1	1	1	1	2	2	2	2	2	2	2	3	3
752		0	0	0	0	0	0	0	0	0	0	0	0	0	0	0	0	0	0
754	+	0	0	1	1	1	1	1	1	2	2	2	2	2	3	3	3	3	3
756	+	0	1	1	1	2	2	2	3	3	4	4	4	5	5	5	6	6	6
758	+	1	1	2	2	3	3	4	4	5	5	6	6	7	7	8	8	9	9
760	+	1	1	2	3	3	4	5	5	6	7	7	8	9	10	10	11	12	12
762	+	1	2	3	3	4	5	6	7	7	8	9	10	11	12	13	14	14	15
764	+	1	2	3	4	5	6	7	8	9	10	11	12	13	14	15	16	17	18
766	+	1	2	3	5	6	7	8	9	10	12	13	14	15	16	18	19	20	21
768	+	1	3	4	5	6	8	9	11	12	13	15	16	17	19	20	21	23	24
770	+	2	3	4	6	7	9	10	12	13	15	16	18	19	21	23	24	26	27
772	+	2	3	5	7	8	10	11	13	15	17	18	20	22	23	25	27	28	30
774	+	2	4	5	7	9	11	13	14	16	18	20	22	24	26	28	29	31	33
776	+	2	4	6	8	10	12	14	16	18	20	22	24	26	28	30	32	34	36
778	+	2	4	6	8	11	13	15	17	19	21	23	26	28	30	32	35	37	39
780	+	2	5	7	9	11	14	16	18	20	23	25	28	30	33	35	37	40	42
782	+	2	5	7	10	12	15	17	20	22	25	27	30	32	35	37	40	43	45
784	+	3	5	8	10	13	16	18	21	23	26	29	32	34	37	40	43	45	48
786	+	3	6	8	11	14	17	19	22	25	28	31	33	36	39	42	45	48	51
788	+	3	6	9	12	14	18	20	23	26	29	32	35	39	42	45	48	51	54
790	+	3	6	9	12	15	19	22	25	28	31	34	37	41	44	47	51	54	57

TAFEL IX. Verwandlung der Thermometer- und Barometer-Scalen.

Réaumur	Celsius	Fahrenheit	Celsius	Pariser Zoll und Linien	Millimeter	Englische Zoll	Millimeter
o	o	o	o	" '''	mm	"	mm
0	0·00	+ 14	− 10·0	26 0	703·8	27·6	701·0
1	1·25	+ 16	− 8·9	1	706·1	27·7	703·6
2	2·50	+ 18	− 7·8	2	708·3	27·8	706·1
3	3·75	+ 20	− 6·7	3	710·6	27·9	708·6
4	5·00	+ 22	− 5·6	4	712·8		
5	6·25	+ 24	− 4·4	5	715·1	28·0	711·2
6	7·50	+ 26	− 3·3	6	717·4	28·1	713·7
7	8·75	+ 28	− 2·2	7	719·6	28·2	716·3
8	10·00	+ 30	− 1·1	8	721·9	28·3	718·8
9	11·25	+ 32	0·0	9	724·1	28·4	721·3
		+ 34	+ 1·1	10	726·4	28·5	723·9
10	12·50	+ 36	+ 2·2	11	728·6	28·6	726·4
11	13·75	+ 38	+ 3·3			28·7	729·0
12	15·00	+ 40	+ 4·4	27 0	730·9	28·8	731·5
13	16·25	+ 42	+ 5·6	1	733·1	28·9	734·0
14	17·50	+ 44	+ 6·7	2	735·4		
15	18·75	+ 46	+ 7·8	3	737·7	29·0	736·6
16	20·00	+ 48	+ 8·9	4	739·9	29·1	739·1
17	21·25	+ 50	+ 10·0	5	742·2	29·2	741·7
18	22·50	+ 52	+ 11·1	6	744·4	29·3	744·2
19	23·75	+ 54	+ 12·2	7	746·7	29·4	746·7
		+ 56	+ 13·3	8	748·9	29·5	749·3
20	25·00	+ 58	+ 14·4	9	751·2	29·6	751·8
21	26·25	+ 60	+ 15·6	10	753·4	29·7	754·4
22	27·50	+ 62	+ 16·7	11	755·7	29·8	756·9
23	28·75	+ 64	+ 17·8			29·9	759·4
24	30·00	+ 66	+ 18·9	28 0	758·0		
25	31·25	+ 68	+ 20·0	1	760·2	30·0	762·0
26	32·50	+ 70	+ 21·1	2	762·5	30·1	764·5
27	33·75	+ 72	+ 22·2	3	764·7	30·2	767·1
28	35·00	+ 74	+ 23·3	4	767·0	30·3	769·6
29	36·25	+ 76	+ 24·4	5	769·2	30·4	772·1
		+ 78	+ 25·6	6	771·5	30·5	774·7
30	37·50	+ 80	+ 26·7	7	773·7	30·6	777·2
31	38·75	+ 82	+ 27·8	8	776·0	30·7	779·8
32	40·00	+ 84	+ 28·9	9	778·3	30·8	782·3
33	41·25	+ 86	+ 30·0	10	780·5	30·9	784·8
34	42·50	+ 88	+ 31·1	11	782·8		
35	43·75	+ 90	+ 32·2			31·0	787·4
36	45·00	+ 92	+ 33·3	29 0	785·0	31·1	789·9
37	46·25	+ 94	+ 34·4	1	787·3	31·2	792·5
38	47·50	+ 96	+ 35·6	2	789·5	31·3	795·0

TAFEL X. Höhen-Parallaxe der Sonne.

MONAT.	HÖHE.										MONAT.
	0°	10°	20°	30°	40°	50°	60°	70°	80°	90°	
	"	"	"	"	"	"	"	"	"	"	
Januar	9	9	8	8	7	6	4	3	2	0	December
Februar	9	9	8	8	7	6	4	3	2	0	November
März	9	8	8	7	7	6	4	3	1	0	October
April	9	8	8	7	7	5	4	3	1	0	September
Mai	8	8	8	7	6	5	4	3	1	0	August
Juni	8	8	8	7	6	5	4	3	1	0	Juli

TAFEL XI. Verkürzung des verticalen Sonnen- und Mond-Halbmessers durch Refraction.

Scheinbare Höhe des Randes.	Unterer Rand. Halbmesser. 14′ 40″	15′ 0″	15′ 20″	15′ 40″	16′ 0″	16′ 20″	16′ 40″	Oberer Rand. Halbmesser. 14′ 40″	15′ 0″	15′ 20″	15′ 40″	16′ 0″	16′ 20″	16′ 40″
° ′	″	″	″	″	″	″	″	″	″	″	″	″	″	″
2 0	66	67	69	70	71	73	74	74	76	78	80	81	83	85
10	61	62	64	65	67	68	69	68	70	72	73	75	76	78
20	57	58	60	61	63	64	65	63	65	66	68	69	71	72
30	54	55	56	58	59	60	61	59	61	62	63	65	66	67
40	51	52	53	54	55	56	57	56	57	58	60	61	62	63
50	47	48	50	51	52	53	54	52	54	55	56	57	58	60
3 0	44	45	46	47	48	49	50	49	50	51	53	54	55	56
10	41	42	43	44	45	46	47	46	47	48	49	50	51	52
20	38	39	40	41	42	43	44	43	44	45	46	47	48	49
30	36	37	37	38	39	40	41	40	41	42	43	44	45	45
40	34	34	35	36	37	37	38	37	38	39	40	41	42	42
50	32	32	33	34	35	35	36	35	36	36	37	38	39	40
4 0	30	31	32	32	33	34	34	33	33	34	35	36	36	37
20	27	28	28	29	30	30	31	29	30	31	31	32	33	33
40	25	25	26	26	27	27	28	27	27	28	28	29	30	30
5 0	22	23	23	24	24	25	25	24	25	25	26	26	27	27
20	20	21	21	22	22	23	23	22	22	23	23	24	24	25
40	18	19	19	20	20	21	21	20	20	21	21	22	22	23
6 0	17	17	18	18	18	19	19	18	18	19	19	20	20	21
20	16	16	16	17	17	18	18	17	17	17	18	18	19	19
40	14	15	15	15	16	16	16	15	16	16	16	17	17	17
7 0	13	13	14	14	14	15	15	14	14	15	15	15	16	16
20	12	13	13	13	13	14	14	13	13	14	14	14	15	15
40	11	12	12	12	12	13	13	12	12	13	13	13	14	14
8 0	11	11	11	11	12	12	12	11	11	12	12	12	13	13
9 0	9	9	9	9	9	10	10	9	9	9	10	10	10	10
10 0	7	7	8	8	8	8	8	8	8	8	8	8	8	9
11 0	6	6	6	7	7	7	7	6	7	7	7	7	7	7
12 0	5	5	5	6	6	6	6	5	6	6	6	6	6	6
13 0	5	5	5	5	5	5	5	5	5	5	5	5	5	5
14 0	4	4	4	4	4	4	4	4	4	4	4	4	5	5
15 0	3	4	4	4	4	4	4	4	4	4	4	4	4	4
20 0	2	2	2	2	2	2	2	2	2	2	2	2	2	2
30 0	1	1	1	1	1	1	1	1	1	1	1	1	1	1
40 0	1	1	1	1	1	1	1	1	1	1	1	1	1	1
50 0	0	0	0	0	0	0	0	0	0	0	0	0	0	0

TAFEL XII. Höhen-Parallaxe der Planeten.

Horizontal-Parallaxe.	HÖHE. 0°	10°	20°	30°	40°	50°	60°	70°	80°	90°
″	″	″	″	″	″	″	″	″	″	″
1	1	1	1	1	1	1	1	0	0	0
2	2	2	2	2	2	1	1	1	0	0
3	3	3	3	3	2	2	2	1	1	0
4	4	4	4	3	3	3	2	1	1	0
5	5	5	5	4	4	3	3	2	1	0
6	6	6	6	5	5	4	3	2	1	0
7	7	7	7	6	5	5	4	2	1	0
8	8	8	8	7	6	5	4	3	1	0
9	9	9	8	8	7	6	5	3	2	0
10	10	10	9	9	8	6	5	3	2	0
20	20	20	19	17	15	13	10	7	3	0

TAFEL XIII. Verkürzung des Sonnen- und Mond-Halbmessers in schräger Richtung. Halbmesser = 15′ 40″.

Argumente: Scheinbare Höhe des Mittelpunctes und Winkel mit dem Verticalkreise.

Scheinbare Höhe.	Winkel mit dem Verticalkreise.																
	0° 180	10° 170	15° 165	20° 160	25° 155	30° 150	35° 145	40° 140	45° 135	50° 130	55° 125	60° 120	65° 115	70° 110	75° 105	80° 100	90° 90
° ′	″	″	″	″	″	″	″	″	″	″	″	″	″	″	″	″	″
2 0	70	68	65	62	57	53	47	41	35	29	23	18	12	8	5	2	0
10	65	63	61	58	54	49	44	38	33	27	21	16	12	8	4	2	0
20	61	59	57	54	50	46	41	36	31	25	20	15	11	7	4	2	0
30	58	56	54	51	47	43	39	34	29	24	19	14	10	7	4	2	0
40	54	52	50	48	44	41	36	32	27	22	18	14	10	6	4	2	0
50	51	49	47	45	42	38	34	30	25	21	17	13	9	6	3	2	0
3 0	47	46	44	42	39	36	32	28	24	20	15	12	8	6	3	1	0
10	44	43	41	39	36	33	30	26	22	18	14	11	8	5	3	1	0
20	41	40	38	36	34	31	28	24	21	17	13	10	7	5	3	1	0
30	38	37	36	34	31	29	26	23	19	16	13	10	7	5	3	1	0
40	36	35	33	32	29	27	24	21	18	15	12	9	6	4	2	1	0
50	34	33	32	30	28	25	23	20	17	14	11	8	6	4	2	1	0
4 0	32	31	30	28	26	24	22	19	16	13	11	8	6	4	2	1	0
20	29	28	27	26	24	22	19	17	15	12	10	7	5	3	2	1	0
40	26	25	24	23	22	20	18	15	13	11	9	7	5	3	2	1	0
5 0	24	23	22	21	19	18	16	14	12	10	8	6	4	3	2	1	0
20	22	21	20	19	18	16	15	13	11	9	7	5	4	3	1	1	0
40	20	19	18	17	16	15	13	12	10	8	6	5	3	2	1	1	0
6 0	18	18	17	16	15	14	12	11	9	7	6	5	3	2	1	1	0
20	17	16	16	15	14	13	11	10	8	7	6	4	3	2	1	1	0
40	15	15	14	14	13	12	10	9	8	6	5	4	3	2	1	1	0
7 0	14	14	13	12	12	11	9	8	7	6	5	4	3	2	1	0	0
20	13	13	12	12	11	10	9	7	7	5	4	3	2	2	1	0	0
40	12	12	11	11	10	9	8	7	6	5	4	3	2	1	1	0	0
8 0	11	11	11	10	9	9	8	7	6	5	4	3	2	1	1	0	0
9 0	9	9	9	8	8	7	6	5	5	4	3	2	2	1	1	0	0
10 0	8	7	7	7	6	6	5	5	4	3	3	2	1	1	1	0	0
11 0	7	6	6	6	5	5	4	4	3	3	2	2	1	1	0	0	0
12 0	6	5	5	5	5	4	4	3	3	2	2	1	1	1	0	0	0
13 0	5	5	5	4	4	4	3	3	2	2	2	1	1	1	0	0	0
14 0	4	4	4	4	3	3	3	2	2	2	1	1	1	0	0	0	0
15 0	4	4	3	3	3	3	2	2	2	2	1	1	1	0	0	0	0
20 0	2	2	2	2	2	2	1	1	1	1	1	1	0	0	0	0	0
30 0	1	1	1	1	1	1	1	1	1	0	0	0	0	0	0	0	0
40 0	1	1	1	1	1	1	0	0	0	0	0	0	0	0	0	0	0
50 0	0	0	0	0	0	0	0	0	0	0	0	0	0	0	0	0	0

TAFEL XIV. Correction der voranstehenden Tafel XIII, wenn der Halbmesser grösser oder kleiner ist als 15′ 40″.

Halbmesser.	Werthe der Verkürzung nach Tafel XIII.								
	0′	10″	20″	30″	40″	50″	60″	70″	80″
′ ″	″	″	″	″	″	″	″	″	″
14 40	0	− 1	− 1	− 2	− 3	− 3	− 4	− 4	− 5
50	0	− 1	− 1	− 2	− 2	− 3	− 3	− 4	− 4
15 0	0	0	− 1	− 1	− 2	− 2	− 3	− 3	− 3
10	0	0	− 1	− 1	− 1	− 2	− 2	− 2	− 3
20	0	0	0	− 1	− 1	− 1	− 1	− 1	− 2
30	0	0	0	0	0	− 1	− 1	− 1	− 1
40	0	0	0	0	0	0	0	0	0
50	0	0	0	0	0	+ 1	+ 1	+ 1	+ 1
16 0	0	0	0	+ 1	+ 1	+ 1	+ 1	+ 1	+ 2
10	0	0	0	+ 1	+ 1	+ 2	+ 2	+ 2	+ 3
20	0	0	+ 1	+ 1	+ 2	+ 2	+ 3	+ 3	+ 3
30	0	+ 1	+ 1	+ 2	+ 2	+ 3	+ 3	+ 4	+ 4
40	0	+ 1	+ 1	+ 2	+ 3	+ 3	+ 4	+ 4	+ 5
50	0	+ 1	+ 1	+ 2	+ 3	+ 4	+ 4	+ 5	+ 6

TAFEL XV. Correction der Höhe, zur Berechnung der Höhen-Parallaxe des Mondes mit Rücksicht auf die Abplattung der Erde.

Die Correction ist *positiv* für Azimuthe 0° bis 90°, *negativ* für Azimuthe 90° bis 180°.

Polhöhe	Azimuth des Mondes.															
	0°	10°	20°	30°	35°	40°	45°	50°	55°	60°	65°	70°	75°	80°	85°	90°
°	′	′	′	′	′	′	′	′	′	′	′	′	′	′	′	′
0	0	0	0	0	0	0	0	0	0	0	0	0	0	0	0	0
5	2	2	2	2	2	2	1	1	1	1	1	1	1	0	0	0
10	4	4	4	3	3	3	3	3	2	2	2	1	1	1	0	0
15	6	6	5	5	5	4	4	4	3	3	2	2	1	1	1	0
20	7	7	7	6	6	6	5	5	4	4	3	3	2	1	1	0
25	9	9	8	8	7	7	6	6	5	4	4	3	2	2	1	0
30	10	10	9	9	8	8	7	6	6	5	4	3	3	2	1	0
35	11	11	10	9	9	8	8	7	6	5	5	4	3	2	1	0
40	11	11	11	10	9	9	8	7	6	6	5	4	3	2	1	0
45	12	11	11	10	9	9	8	7	7	6	5	4	3	2	1	0
50	11	11	11	10	9	9	8	7	6	6	5	4	3	2	1	0
55	11	11	10	9	9	8	8	7	6	5	5	4	3	2	1	0
60	10	10	9	9	8	8	7	6	6	5	4	3	3	2	1	0
65	9	9	8	8	7	7	6	6	5	4	4	3	2	2	1	0
70	7	7	7	6	6	6	5	5	4	4	3	3	2	1	1	0
75	6	6	5	5	5	4	4	4	3	3	2	2	1	1	1	0
	180°	170°	160°	150°	145°	140°	135°	130°	125°	120°	115°	110°	105°	100°	95°	90°

TAFEL XVI.

Correction der Horizontal-Parallaxe, zur Berechnung der Höhen-Parallaxe des Mondes mit Rücksicht auf die Abplattung der Erde.

Polhöhe	Horizontal-Parallaxe.								
	53′	54′	55′	56′	57′	58′	59′	60′	61′
°	″	″	″	″	″	″	″	″	″
0	0	0	0	0	0	0	0	0	0
5	0	0	0	0	0	0	0	0	0
10	0	0	0	0	0	0	0	0	0
15	− 1	− 1	− 1	− 1	− 1	− 1	− 1	− 1	− 1
20	− 1	− 1	− 1	− 1	− 1	− 1	− 1	− 1	− 1
25	− 2	− 2	− 2	− 2	− 2	− 2	− 2	− 2	− 2
30	− 3	− 3	− 3	− 3	− 3	− 3	− 3	− 3	− 3
35	− 3	− 3	− 4	− 4	− 4	− 4	− 4	− 4	− 4
40	− 4	− 4	− 5	− 5	− 5	− 5	− 5	− 5	− 5
45	− 5	− 5	− 5	− 6	− 6	− 6	− 6	− 6	− 6
50	− 6	− 6	− 6	− 7	− 7	− 7	− 7	− 7	− 7
55	− 7	− 7	− 7	− 8	− 8	− 8	− 8	− 8	− 8
60	− 8	− 8	− 8	− 8	− 9	− 9	− 9	− 9	− 9
65	− 9	− 9	− 9	− 9	− 9	− 9	−10	−10	−10
70	− 9	−10	−10	−10	−10	−10	−10	−11	−11
75	−10	−10	−10	−10	−11	−11	−11	−11	−11

TAFEL XVII.

Vergrösserung des Mond-Halbmessers.

Höhe	Halbmesser.						
	14′ 40″	15′ 0″	15′ 20″	15′ 40″	16′ 0″	16′ 20″	16′ 40″
°	″	″	″	″	″	″	″
0	0	0	0	0	0	0	0
5	1	1	1	1	1	1	2
10	2	3	3	3	3	3	3
15	4	4	4	4	4	4	5
20	5	5	5	5	6	6	6
25	6	6	6	7	7	7	8
30	7	7	8	8	8	8	9
35	8	8	9	9	9	10	10
40	9	9	10	10	11	11	11
45	10	10	11	11	12	12	13
50	11	11	12	12	13	13	14
55	11	12	12	13	13	14	15
60	12	12	13	14	14	15	16
70	13	14	14	15	15	16	17
80	14	14	15	15	16	17	18
90	14	14	15	16	16	17	18

TAFEL XVIII. Seiten-Parallaxe des Mondes, als Folge der Abplattung der Erde.

Polhöhe.	Azimuth des Mondes.													
	0° 180	5° 175	10° 170	15° 165	20° 160	25° 155	30° 150	35° 145	40° 140	50° 130	60° 120	70° 110	80° 100	90° 90
°	″	″	″	″	″	″	″	″	″	″	″	″	″	″
0	0·0	0·0	0·0	0·0	0.0	0·0	0·0	0·0	0·0	0·0	0·0	0·0	0·0	0·0
5	0·0	0·2	0·3	0·5	0·7	0·8	1·0	1·1	1·3	1·5	1·7	1·9	2·0	2·0
10	0·0	0·3	0·7	1·0	1·4	1·7	2·0	2·3	2·5	3·0	3·4	3·7	3·9	3·9
15	0·0	0·5	1·0	1·5	2·0	2·4	2·9	3·3	3·7	4·4	5·0	5·4	5·7	5·8
20	0·0	0·6	1·3	1·9	2·5	3·1	3·7	4·2	4·8	5·7	6·4	7·0	7·3	7·4
25	0·0	0·8	1·5	2·3	3·0	3·7	4·4	5·1	5·7	6·8	7·6	8·3	8·7	8·8
30	0·0	0·9	1·7	2·6	3·4	4·2	5·0	5·7	6·4	7·6	8·6	9·4	9·8	10·0
35	0·0	1·0	1·9	2·8	3·7.	4·6	5·4	6·2	7·0	8·3	9·4	10·2	10·7	10·8
40	0·0	1·0	2·0	2·9	3·9	4·8	5·7	6·5	7·3	8·7	9·8	10·7	11·2	11·4
45	0·0	1·0	2·0	3·0	3·9	4·9	5·8	6·6	7·4	8·8	10·0	10·8	11·4	11·5
50	0·0	1·0	2·0	2·9	3·9	4·8	5·7	6·5	7·3	8·7	9·8	10·7	11·2	11·4
55	0·0	1·0	1·9	2·8	3·7	4·6	5·4	6·2	7·0	8·3	9·4	10·2	10·7	10·8
60	0·0	0·9	1·7	2·6	3·4	4·2	5·0	5·7	6·4	7·7	8·7	9·4	9·8	10·0
65	0·0	0·8	1·5	2·3	3·0	3·7	4·4	5·1	5·7	6·8	7·7	8·3	8·7	8·8
70	0·0	0·7	1·3	1·9	2·5	3·1	3·7	4·3	4·8	5·7	6·4	7·0	7·3	7·4
75	0·0	0·5	1·0	1·5	2·0	2·4	2·9	3·3	3·7	4·4	5·0	5·4	5·7	5·8

TAFEL XIX. Correction einer Monddistanz, wegen der Seiten-Parallaxe des Mondes.

Winkel mit dem Verticalkreise.		Seiten-Parallaxe des Mondes.											
		1″	2″	3″	4″	5″	6″	7″	8″	9″	10″	11″	12″
°	°	″	″	″	″	″	″	″	″	″	″	″	″
0	180	0	0	0	0	0	0	0	0	0	0	0	0
10	170	0	0	1	1	1	1	1	1	2	2	2	2
20	160	0	1	1	1	2	2	2	3	3	3	4	4
30	150	1	1	2	2	3	3	4	4	5	5	6	6
40	140	1	1	2	3	3	4	5	5	6	6	7	8
50	130	1	2	2	3	4	5	5	6	7	8	8	9
60	120	1	2	3	3	4	5	6	7	8	9	10	10
70	110	1	2	3	4	5	6	7	8	8	9	10	11
80	100	1	2	3	4	5	6	7	8	9	10	11	12
90	90	1	2	3	4	5	6	7	8	9	10	11	12

Diese Correction wird zur Distanz addirt oder davon abgezogen, je nachdem das folgende Täfelchen das Zeichen + oder — ergiebt.

Breite nördlich.				Breite südlich.			
☾ in Osten.		☾ in Westen.		☾ in Osten.		☾ in Westen.	
* links	* rechts	* links	* rechts	* links	* rechts	* links	* rechts
+	—	—	+	—	+	+	—

Die „**Reduction der Ortszeit auf Greenwicher Zeit**" ist die in Zeit ausgedrückte Länge, mit demjenigen Vorzeichen angesetzt, welches Ortszeit in Greenwicher Zeit verwandelt.

Die „**Correction für die Sternzeit-Reduction**" ist die Differenz: „Sternzeit im mittleren Mittage des Ortes — Sternzeit im mittleren Greenwicher Mittage."

Name des Ortes.	Geogr. Breite + Nord – Süd	Länge gegen Grw. O. östlich W. westlich	Reduction der Ortszeit auf Greenw. Zeit	Correct. für die Sternzeit-Reduction
	° ′ ″	° ′ ″	h m s	s
Aberdeen	+ 57 8 57·8	2 5 42·0 W.	+ 0 8 22·8	+ 1·4
Abo	+ 60 26 56·8	22 16 36·0 O.	— 1 29 6·4	— 14·6
Adelaide	— 34 55 33·8	138 35 19·5 O.	— 9 14 21·3	— 91·1
Albany (U. S.)	+ 42 39 49·6	73 44 52·5 W.	+ 4 54 59·5	+ 48·5
Algier	+ 36 45 7·9	3 2 51·0 O.	— 0 12 11·4	— 2·0
Ann-Arbor (U. S.)	+ 42 16 48·0	83 43 48·0 W.	+ 5 34 55·2	+ 55·0
Athen	+ 37 58 20·0	23 43 55·5 O.	— 1 34 55·7	— 15·6
Berlin	+ 52 30 16·7	13 23 43·5 O.	— 0 53 34·9	— 8·8
Bilk (Düsseldorf)	+ 51 12 25·0	6 46 22·5 O.	— 0 27 5·5	— 4·5
Birr Castle (Earl of Rosse)	+ 53 5 47·0	7 55 13·5 W.	+ 0 31 40·9	+ 5·2
Bonn	+ 50 43 45·0	7 5 58·5 O.	— 0 28 23·9	— 4·7
Breslau	+ 51 6 56·1	17 2 16·5 O.	— 1 8 9·1	— 11·2
Brüssel	+ 50 51 10·7	4 22 13·5 O.	— 0 17 28·9	— 2·9
Cairo	+ 30 4 38·2	31 17 13·5 O.	— 2 5 8·9	— 20·6
Cambridge (England)	+ 52 12 51·6	0 5 40·5 O.	— 0 0 22·7	— 0·1
Cambridge (U. S.)	+ 42 22 48·0	71 7 40·5 W.	+ 4 44 30·7	+ 46·7
Chicago	+ 41 50 1·0	87 36 42·0 W.	+ 5 50 26·8	+ 57·6
Christiania	+ 59 54 43·7	10 43 33·0 O.	— 0 42 54·2	— 7·0
Cincinnati	+ 39 6 26·5	84 29 45·0 W.	+ 5 37 59·0	+ 55·5
Clinton (New-York)	+ 43 3 16·5	75 24 21·0 W.	+ 5 1 37·4	+ 49·5
Cordoba	— 31 25 15·0	64 11 15·0 W.	+ 4 16 45·0	+ 42·2
Danzig	+ 54 21 18·0	18 39 54·0 O.	— 1 14 39·6	— 12·3
Dorpat	+ 58 22 47·1	26 43 24·0 O.	— 1 46 53·6	— 17·6
Dresden (B. Engelhardt)	+ 51 2 16·8	13 43 42·0 O.	— 0 54 54·8	— 9·0
Dublin	+ 53 23 13·0	6 20 16·5 W.	+ 0 25 21·1	+ 4·2
Edinburg	+ 55 57 23·2	3 10 54·0 W.	+ 0 12 43·6	+ 2·1
Florenz (Arcetri)	+ 43 45 14·4	11 15 46·5 O.	— 0 45 3·1	— 7·4
Genf	+ 46 11 58·8	6 9 16·5 O.	— 0 24 37·1	— 4·0
Glasgow (Schottland)	+ 55 52 42·8	4 17 39·0 W.	+ 0 17 10·6	+ 2·8
Glasgow (U. S.)	+ 39 16 16·8	92 49 43·5 W.	+ 6 11 18·9	+ 61·0
Göttingen	+ 51 31 47·9	9 56 37·5 O.	— 0 39 46·5	— 6·5
Gotha (Neue Sternwarte)	+ 50 56 37·5	10 42 37·5 O.	— 0 42 50·5	— 7·0
Greenwich	+ 51 28 38·4	0 0 0·0	0 0 0·0	0·0
Hamburg	+ 53 33 7·0	9 58 25·5 O.	— 0 39 53·7	— 6·6
Helsingfors	+ 60 9 42·3	24 57 18·0 O.	— 1 39 49·2	— 16·4
Kapstadt	— 33 56 3·5	18 28 40·5 O.	— 1 13 54·7	— 12·1
Kasan	+ 55 47 24·2	49 7 13·5 O.	— 3 16 28·9	— 32·3
Kiel	+ 54 20 28·6	10 8 52·5 O.	— 0 40 35·5	— 6·7
Königsberg	+ 54 42 50·6	20 29 43·5 O.	— 1 21 58·9	— 13·5
Kopenhagen	+ 55 41 12·9	12 34 43·5 O.	— 0 50 18·9	— 8·3
Krakau	+ 50 3 50·0	19 57 36·0 O.	— 1 19 50·4	— 13·1
Kremsmünster	+ 48 3 23·8	14 8 12·0 O.	— 0 56 32·8	— 9·3
Leiden	+ 52 9 20·2	4 29 4·5 O.	— 0 17 56·3	— 2·9
Leipzig	+ 51 20 6·2	12 23 30·0 O.	— 0 49 34·0	— 8·1
Lissabon (Neue Sternwarte)	+ 38 42 31·3	9 11 9·0 W.	+ 0 36 44·6	+ 6·0
Lissabon (Marine-Sternwarte)	+ 38 42 17·6	9 8 22·5 W.	+ 0 36 33·5	+ 6·0
Liverpool (Neue Sternwarte)	+ 53 24 3·8	3 4 18·0 W.	+ 0 12 17·2	+ 2·0
Lübeck	+ 53 51 31·1	10 41 25·5 O.	— 0 42 45·7	— 7·0
Lund	+ 55 41 54·0	13 11 28·5 O.	— 0 52 45·9	— 8·7
Lyon	+ 45 41 40·0	4 46 58·5 O.	— 0 19 7·9	— 3·1

Die „**Reduction der Ortszeit auf Greenwicher Zeit**“ ist die in Zeit ausgedrückte Länge, mit demjenigen Vorzeichen angesetzt, welches Ortszeit in Greenwicher Zeit verwandelt.

Die „**Correction für die Sternzeit-Reduction**“ ist die Differenz: „Sternzeit im mittleren Mittage des Ortes — Sternzeit im mittleren Greenwicher Mittage.“

Name des Ortes.	Geogr. Breite + Nord — Süd	Länge gegen Grw. O. östlich W. westlich	Reduction der Ortszeit auf Greenw. Zeit	Correct. für die Sternzeit-Reduction
	° ′ ″	° ′ ″	h m s	s
Madras	+ 13 4 8·1	80 14 51·0 O.	— 5 20 59·4	— 52·7
Madrid	+ 40 24 29·7	3 41 21·0 W.	+ 0 14 45·4	+ 2·4
Mailand (Brera)	+ 45 28 0·7	9 11 31·5 O.	— 0 36 46·1	— 6·0
Marseille (Neue Sternwarte)	+ 43 18 19·1	5 23 39·0 O.	— 0 21 34·6	— 3·5
Melbourne	— 37 49 53·1	144 58 34·5 O.	— 9 39 54·3	— 95·3
Mexico	+ 19 26 1·0	99 6 39·0 W.	+ 6 36 26·6	+ 65·1
Moskau	+ 55 45 19·8	37 34 15·0 O.	— 2 30 17·0	— 24·7
München (Bogenhausen)	+ 48 8 45·0	11 36 31·5 O.	— 0 46 26·1	— 7·6
Neapel (Capo di Monte)	+ 40 51 45·4	14 14 57·0 O.	— 0 56 59·8	— 9·4
Neuchâtel	+ 46 59 51·0	6 57 27·0 O.	— 0 27 49·8	— 4·6
New-York (Sternw. Rutherfurd)	+ 40 43 48·5	73 59 9·0 W.	+ 4 55 56·6	+ 48·6
Nicolajew	+ 46 58 20·6	31 58 46·5 O.	— 2 7 55·1	— 21·0
Odessa	+ 46 28 36·2	30 45 36·0 O.	— 2 3 2·4	— 20·2
O. Gyalla	+ 47 52 43·3	18 11 24·0 O.	— 1 12 45·6	— 12·0
Padua	+ 45 24 2·5	11 52 15·0 O.	— 0 47 29·0	— 7·8
Palermo	+ 38 6 44·0	13 21 3·0 O.	— 0 53 24·2	— 8·8
Paramatta	— 33 48 49·8	151 1 33·0 O.	— 10 4 6·2	— 99·2
Paris (Obs. National)	+ 48 50 11·2	2 20 15·0 O.	— 0 9 21·0	— 1·5
Petersburg (Akademie)	+ 59 56 29·7	30 18 22·5 O.	— 2 1 13·5	— 19·9
Philadelphia	+ 39 57 7·5	75 9 37·5 W.	+ 5 0 38·5	+ 49·4
Pola	+ 44 51 49·0	13 50 48·0 O.	— 0 55 23·2	— 9·1
Portsmouth	+ 50 48 3·0	1 5 58·5 W.	+ 0 4 23·9	+ 0·7
Potsdam	+ 52 22 56·0	13 3 58·5 O.	— 0 52 15·9	— 8·6
Prag	+ 50 5 18·5	14 25 22·5 O.	— 0 57 41·5	— 9·5
Pulkowa	+ 59 46 18·7	30 19 40·5 O.	— 2 1 18·7	— 19·9
Quebec	+ 46 48 17·3	71 12 19·5 W.	+ 4 44 49·3	+ 46·8
Rio de Janeiro	— 22 54 23·8	43 10 21·0 W.	+ 2 52 41·4	+ 28·4
Rom (Collegio Romano)	+ 41 53 53·7	12 28 24·0 O.	— 0 49 53·6	— 8·2
San Fernando (Cadiz)	+ 36 27 41·5	6 12 24·0 W.	+ 0 24 49·6	+ 4·1
San Francisco	+ 37 47 24·1	122 25 37·5 W.	+ 8 9 42·5	+ 80·5
Santiago d. Chilì (Neue Sternw.)	— 33 26 42·0	70 41 34·5 W.	+ 4 42 46·3	+ 46·5
Stockholm	+ 59 20 34·0	18 3 30·0 O.	— 1 12 14·0	— 11·9
Strassburg (Neue Sternwarte)	+ 48 35 0·2	7 46 10·5 O.	— 0 31 4·7	— 5·1
Sydney	— 33 51 41·1	151 12 42·0 O.	— 10 4 50·8	— 99·4
Toulouse	+ 43 36 47·0	1 27 45·0 O.	— 0 5 51·0	— 1·0
Triest	+ 45 38 45·4	13 45 45·0 O.	— 0 55 3·0	— 9·0
Turin	+ 45 4 8·4	7 41 48·0 O.	— 0 30 47·2	— 5·1
Upsala	+ 59 51 29·4	17 37 34·5 O.	— 1 10 30·3	— 11·6
Utrecht	+ 52 5 10·5	5 7 49·5 O.	— 0 20 31·3	— 3·4
Venedig	+ 45 25 49·5	12 21 21·0 O.	— 0 49 25·4	— 8·1
Wien (Alte Sternwarte)	+ 48 12 35·5	16 22 55·5 O.	— 1 5 31·7	— 10·8
Wien (Sternwarte Oppolzer)	+ 48 12 53·8	16 21 19·5 O.	— 1 5 25·3	— 10·7
Wien (Neue St. Türkenschanze)	+ 48 13 55·4	16 20 22·5 O.	— 1 5 21·5	— 10·7
Warschau	+ 52 13 5·7	21 1 51·0 O.	— 1 24 7·4	— 13·8
Washburn (U. S.)	+ 43 4 36·6	89 24 28·5 W.	+ 5 57 37·9	+ 58·8
Washington	+ 38 53 38·8	77 3 1·5 W.	+ 5 8 12·1	+ 50·6
Wilhelmshaven	+ 53 31 51·8	8 8 48·0 O.	— 0 32 35·2	— 5·4
Williamstown (Mass.)	+ 42 42 49·0	73 13 22·5 W.	+ 4 52 53·5	+ 48·1
Windsor (N. S. W.)	— 33 36 28·9	150 50 27·0 O.	— 10 3 21·8	— 99·1
Zürich	+ 47 22 40·0	8 33 6·0 O.	— 0 34 12·4	— 5·6

Mittlerer Mittag.		SONNE: Horiz.-Parallaxe	SONNE: Aberration	Präcession in Länge	Nutation in Länge	Nutation in Rectascension (in Zeit)	Schiefe der Ekliptik: mittlere	Schiefe der Ekliptik: scheinbare	Mittl. Länge des aufsteigenden Knotens der Mondbahn
							° ′ 23 27	° ′ 23 27	
		″	″	″	″	s	″	″	° ′
Januar	1	9·00	20·79	0·00	— 15·93	— 0·98	12·32	14·55	73 11·25
	11	9·00	20·79	1·38	— 15·50	— 0·95	12·30	14·72	72 39·48
	21	8·99	20·77	2·75	— 15·18	— 0·93	12·29	14·94	72 7·71
	[illegible]	8·98	20·75	4·13	— 14·99	— 0·92	12·28	15·19	71 35·94
Februar	[illegible]	8·96	20·71	5·50	— 14·96	— 0·92	12·26	15·45	71 4·17
	[illegible]	8·94	20·67	6·88	— 15·08	— 0·92	12·25	15·69	70 32·39
März	[illegible]	[illegible]	20·62	8·26	— 15·32	— 0·94	12·24	15·90	70 0·62
	12	[illegible]	20·57	9·63	— 15·66	— 0·96	12·23	16·06	69 28·85
	22	[illegible]	20·51	11·01	— 16·03	— 0·98	12·22	16·14	68 57·08
April	1	8·8[illegible]	20·45	12·38	— 16·40	— 1·00	12·22	16·18	68 25·30
	11	8·82	[illegible]39	13·76	— 16·70	— 1·02	12·21	16·15	67 53·53
	21	8·80	20·33	15·13	— 16·90	— 1·03	12·19	16·06	67 21·76
Mai	1	8·78	20·28	16·51	— 16·97	— 1·04	12·17	15·94	66 49·99
	11	8·76	20·23	17·89	— 16·89	— 1·03	12·16	15·82	66 18·21
	21	8·74	20·19	19·26	— 16·67	— 1·02	12·14	15·71	65 46·44
	31	8·72	20·16	20·64	— 16·34	— 1·00	12·12	15·62	65 14·67
Juni	10	8·71	20·13	22·01	— 15·91	— 0·97	12·10	15·59	64 42·90
	20	8·71	20·12	23·39	— 15·42	— 0·94	12·10	15·62	64 11·12
	30	8·70	20·11	24·77	— 14·93	— 0·91	12·09	15·71	63 39·35
Juli	10	8·70	20·11	26·14	— 14·48	— 0·89	12·07	15·85	63 7·58
	20	8·71	20·12	27·52	— 14·11	— 0·86	12·05	16·03	62 35·81
	30	8·72	20·14	28·89	— 13·85	— 0·85	12·03	16·25	62 4·03
August	9	8·73	20·17	30·27	— 13·73	— 0·84	12·02	16·50	61 32·26
	19	8·74	20·20	31·65	— 13·74	— 0·84	12·01	16·74	61 0·49
	29	8·76	20·25	33·02	— 13·89	— 0·85	12·00	16·96	60 28·72
September	8	8·79	20·30	34·40	— 14·14	— 0·86	11·98	17·13	59 56·94
	18	8·81	20·36	35·77	— 14·46	— 0·88	11·98	17·26	59 25·17
	28	8·84	20·42	37·15	— 14·81	— 0·91	11·97	17·32	58 53·40
October	8	8·86	20·47	38·53	— 15·13	— 0·93	11·95	17·31	58 21·63
	18	8·88	20·53	39·90	— 15·38	— 0·94	11·93	17·24	57 49·86
	28	8·91	20·58	41·28	— 15·52	— 0·95	11·92	17·13	57 18·08
November	7	8·93	20·64	42·65	— 15·51	— 0·95	11·91	17·00	56 46·31
	17	8·95	20·69	44·03	— 15·35	— 0·94	11·90	16·87	56 14·54
	27	8·97	20·73	45·40	— 15·03	— 0·92	11·89	16·74	55 42·77
December	7	8·98	20·76	46·78	— 14·60	— 0·89	11·88	16·70	55 10·99
	17	8·99	20·78	48·16	— 14·08	— 0·86	11·86	16·68	54 39·22
	27	9·00	20·79	49·53	— 13·54	— 0·83	11·85	16·74	54 7·45
	37	9·00	20·79	50·91	— 13·03	— 0·80	11·85	16·88	53 35·68

Präcession für das Jahr 1891 . . . . 50″2617
Tägliche Präcession . . . . 0·1376

Tägliche Bewegung — 3′1773.

Finsternisse und Merkursdurchgang, 1891.

Im Jahre 1891 treten zwei Sonnen- und zwei Mondesfinsternisse ein.

I. **Totale Mondesfinsterniss, Mai 23,** sichtbar in Australien, Asien, Afrika, im Indischen und im südlichen Theile des Atlantischen Oceans und in Europa, ausschliesslich der nördlichen Länder.

Erster Contact mit dem Halbschatten	Mai	23,	$3^h 36^m.9$	Mittlere Zeit Greenwich.
Erster Contact mit dem Vollschatten	—	23,	4 41·3	
Beginn der Totalität	—	23,	5 49·7	
Mitte der Finsterniss (1,299 Monddurchm.) .	—	23,	6 29·2	
Ende der Totalität.	—	23,	7 8·7	
Letzter Contact mit dem Vollschatten	—	23,	8 17·1	
Letzter Contact mit dem Halbschatten	—	23,	9 21·5	

II. **Ringförmige Sonnenfinsterniss, Juni 6,** sichtbar am Nordpole, in Europa, mit Ausnahme Spaniens, und in dem grössten Theile von Nordamerika, ausschliesslich des südöstlischen Theiles.

Anfang der Finsterniss	Juni	6,	$2^h 3^m.4$	Mittlere Zeit Greenwich.
Anfang der ringförmigen Finsterniss .	—	6,	3 52·3	
Ende der ringförmigen Finsterniss .	—	6,	4 39·1	
Ende der Finsterniss	—	6,	6 28·0	

III. **Totale Mondesfinsterniss, November 15,** sichtbar in Europa, Asien, Afrika und Amerika, sowie im Atlantischen und Indischen Ocean.

Erster Contact mit dem Halbschatten,	Novbr.	15,	$9^h 36^m.7$	Mittlere Zeit Greenwich.
Erster Contact mit dem Vollschatten.	—	15,	10 35·1	
Beginn der Totalität	—	15,	11 37·4	
Mitte der Finsterniss (1,386 Monddurchm.) .	—	15,	12 18·9	
Ende der Totalität.	—	15,	13 0·4	
Letzter Contact mit dem Vollschatten	—	15,	14 2·7	
Letzter Contact mit dem Halbschatten	—	15,	15 1·1	

IV. **Partielle Sonnenfinsterniss, November 30—December 1,** nur sichtbar am Südpole und an der Südspitze von Südamerika.

Anfang der Finsterniss	Novbr.	30,	$21^h 44^m.2$	Mittlere Zeit Greenwich.
Grösste Phase (0,534 Sonnendurchm.)	—	30,	23 31·1	
Ende der Finsterniss	Decbr.	1,	1 18·1	

Vorübergang des Merkur vor der Sonnenscheibe, Mai 9, sichtbar in Asien, im Indischen Ocean, in Ostafrika und in Europa, ausschliesslich Spaniens, Irlands und des süd-westlichen Frankreichs, ferner in Nordamerika und Australien (der ganze Verlauf sichtbar in Australien und Ostasien).

Aeussere Berührung beim Eintritt .	Mai	9,	$11^h 53^m 44^s$	Mittlere Zeit Greenwich.
Innere Berührung beim Eintritt . .	—	9,	11 58 41	
Kleinste Distanz der Mittelp. 12′ 33″.5	—	9,	14 22 16	
Innere Berührung beim Austritt . .	—	9,	16 45 31	
Aeussere Berührung beim Austritt .	—	9,	16 50 25	